

dr. ing. Augustin Câmpeanu

BAZELE MECANICII STRUCTURILOR



Editura U.T. PRES
Cluj-Napoca, 2002

CUPRINS

VII

PREFATĂ

Cap. 1 NOȚIUNI FUNDAMENTALE

1.1 Obiectul și principiile de bază ale Mecanicii.....	1
1.2 Forțe și legături. Sisteme de forțe. Clasificarea forțelor și sistemelor de forțe...	2
1.3 Proiecția unei forțe pe o axă.....	9
1.4 Expresia analitică a unei forțe.....	11
1.5 Adunarea (compunerea) forțelor concurente.....	13
1.5.1 Adunarea forțelor concurente - soluție geometrică.....	14
1.5.2 Adunarea forțelor concurente - soluție analitică.....	17
1.6 Descompunerea unei forțe.....	19
1.7 Momentul unei forțe în raport cu un punct.....	20
1.8 Momentul unei forțe în raport cu o axă.....	24
1.9 Teorema momentelor sau teorema lui Varignon.....	26
1.10 Cuplu de forțe. Momentul unui cuplu.....	27
1.11 Exemple de calcul.....	29

Cap. 2 REDUCEREA FORȚELOR ȘI A SISTEMELOR DE FORȚE

2.1 Reducerea unei forțe într-un punct arbitrar.....	32
2.2 Reducerea unui sistem de forțe.....	33
2.3 Proprietățile elementelor torsorului de reducere.....	36
2.4 Cazuri de reducere.....	38
2.5 Reducerea sistemelor de forțe particulare.....	40
2.5.1 Reducerea sistemelor de forțe concurente.....	40
2.5.2 Reducerea sistemelor de forțe coplanare.....	43
2.5.2.a Reducerea sistemelor de forțe coplanare - soluție analitică.....	44
2.5.2.b Reducerea sistemelor de forțe coplanare - soluție grafică.....	45
2.5.2.c Cazuri de reducere a sistemelor de forțe coplanare.....	49
2.5.3 Reducerea sistemelor de forțe paralele...	50

2.5.4 Centrul forțelor paralele legate.....	52
2.5.5 Operații simple cu forțe paralele.....	54
2.5.6 Reducerea sistemelor de forțe continuu distribuite.....	57
2.6 Exemple de calcul.....	59

Cap. 3 CENTRE DE GREUTATE

3.1 Determinarea centrelor de greutate.....	65
3.2 Proprietățile centrelor de greutate.....	71
3.3 Teoremele lui Guldin-Pappus.....	72
3.4 Exemple de calcul.....	75

Cap. 4 ECHILIBRUL PUNCTULUI MATERIAL

4.1 Echilibrul punctului material liber.....	79
4.2 Echilibrul punctului material supus la legături.....	81
4.3 Exemple de calcul.....	86

Cap. 5 STATICA CORPULUI SOLID RIGID ȘI A SISTEMELOR DE CORPURI

5.1 Echilibrul solidului rigid liber.....	91
5.2 Echilibrul solidului rigid supus la legături....	93
5.3 Fixarea solidului rigid în spațiu și plan. Structuri statice și mecanisme.....	97
5.4 Determinarea forțelor de legătură.....	100
5.5 Echilibrul sistemelor de corpuri.....	101
5.6 Exemple de calcul.....	102

Cap. 6 RĂSPUNSUL CORPULUI SOLID DEFORMABIL LA ACȚIUNI MECANICE

6.1 Modelarea corpurilor ca elemente de construcție.....	116
6.2 Tensiuni și eforturi.....	118
6.3 Deplasări și deformații. Legătura dintre tensiuni și deformații - legile lui Hooke.....	123
6.4 Comportarea materialelor sub sarcini. Caracteristicile mecanice ale materialelor.....	126
6.5 Ipotezele de calcul ale rezistenței materialelor.....	133
6.6 Determinarea eforturilor secționale.....	135
6.7 Tipuri de solicitări.....	138

Cap. 7 DIAGrame DE EFORTURI LA STRUCTURI ALCĂTUIITE DIN BARE

7.1 Generalități. Trasarea diagramelor de eforturi pe baza expresiei lor analitice.....	141
7.2 Relațiile diferențiale dintre eforturi și încărcări și utilizarea lor la trasarea diagramelor de eforturi.....	144
7.3 Diagrame de eforturi la structuri static determinate.....	151
7.3.1 Diagrame de eforturi la grinzi drepte static determinate.....	151
7.3.2 Diagrame de eforturi pe console.....	156
7.3.3 Diagrame de eforturi pe grinzi simplu rezamate încărcate numai pe console.....	158
7.3.4 Utilizarea principiului suprapunerii efectelor în trasarea diagramelor de eforturi.....	161
7.3.5 Grinzi cu console și articulații.....	163
7.3.6 Cadre plane static determinate.....	165
7.3.7 Arca static determinate.....	168
7.4 Grinzi cu zăbrele.....	173
7.4.1 Generalități și definiții.....	173
7.4.2 Metoda izolării nodurilor.....	178
7.4.3 Metoda secțiunilor.....	180
7.5 Exemple de calcul.....	182

Cap. 8 CARACTERISTICILE GEOMETRICE ALE FIGURILOR PLANE

8.1 Generalități și definiții.....	197
8.2 Variația momentelor de inerție în raport cu axe paralele. Teorema lui Steiner.....	200
8.3 Momente de inerție ale figurilor simple și compuse.....	202
8.4 Variația momentelor de inerție cu rotirea axelor. Momente de inerție principale și direcții principale.....	206
8.5 Module de rezistență și axe de rotație.....	208
8.6 Exemple de calcul.....	210

Cap. 9 ÎNTINDEREA ȘI COMPRESIUNEA AXIALĂ

9.1 Definiții. Eforturi și tensiuni în barele solicitate axial.....	214
9.2 Deformații și deplasări.....	217
9.3 Calculul practic al barelor solicitate axial....	220
9.4 Bare cu variație bruscă de secțiune solicitate axial.....	224

9.5 Influența greutateii proprii în calculul barelor solicitate axial.....	227
9.6 Bare static nedeterminate supuse la eforturi axiale.....	229
9.7 Exemple de calcul.....	233

Cap. 10 FORFECAREA

10.1 Eforturi și tensiuni la forfecare pură.....	239
10.2 Principiul dualității tensiunilor tangențiale.....	242
10.3 Calcule de rezistență la forfecare pură.....	243
10.4 Aplicațiile forfecării. Calculul elementelor de prindere a îmbinărilor.....	244
10.4,a Calculul îmbinărilor nituite.....	245
10.4,b Calculul îmbinărilor sudate.....	251
10.5 Exemple de calcul.....	254

Cap. 11 TORSIUNEA (RĂSUCIREA)

11.1 Definiții. Eforturi și diagrame de eforturi....	261
11.2 Tensiuni și deformații la torsiunea barelor de secțiune circulară și inelară.....	264
11.3 Calculul de rezistență și rigiditate a barelor de secțiune circulară și inelară.....	268
11.4 Torsiunea barelor de secțiune oarecare.....	269
11.4.1 Torsiunea barelor de secțiune dreptunghiulară.....	271
11.4.2 Torsiunea barelor cu pereți subțiri profil deschis.....	273
11.4.3 Torsiunea barelor cu pereți subțiri profil închis.....	277
11.5 Exemple de calcul.....	281

Cap. 12 ÎNCOVOIEREA PLANĂ PURĂ A BAREI DREPT

12.1 Generalități și definiții.....	289
12.2 Tensiuni normale la încovoierea pură. Formula lui Navier.....	291
12.3 Deformațiile barelor solicitate la încovoiere pură.....	298
12.4 Metoda grinzii conjugate pentru determinarea axei deformație (Metoda Mohr).....	303
12.4.1 Grinda simplu rezemată încărcată cu o forță uniform distribuită q	307
12.4.2 Grinda simplu rezemată încărcată cu o sarcină concentrată la mijlocul deschiderii... ..	308
12.4.3 Consola încărcată cu o forță uniform distribuită q	309

12.5 Calculul practic de rezistență și rigiditate la încovoiere pură.....	310
12.6 Forme raționale pentru secțiunile barelor încovoiate. Secțiuni economice.....	315
12.7 Exemple de calcul.....	317
Cap. 13 ÎNCOVOIEREA PLANĂ CU FORȚĂ TĂIETOARE	
13.1 Generalități. Determinarea tensiunilor tangențiale - formula lui Juravski.....	323
13.2 Variația tensiunilor tangențiale pe secțiuni uzuale de grinzi.....	326
13.3 Lunecarea longitudinală.....	333
13.4 Calculul elementelor de solidarizare la grinzele metalice de secțiune compusă.....	330
13.5 Influența forței tăietoare asupra deplasărilor.....	343
13.6 Calculul practic de rezistență la încovoierea cu forță tăietoare.....	346
13.7 Tensiuni tangențiale în secțiuni la care forța tăietoare nu acționează după o axă de simetrie. Centrul de încovoiere sau forfecare.....	348
13.8 Tensiuni principale și direcții principale la încovoierea cu forță tăietoare.....	351
13.9 Traectoriile tensiunilor normale principale la grinzele încovoiate.....	350
13.10 Exemple de calcul.....	361

Cap. 14 ÎNCOVOIEREA OBLICĂ

14.1 Definiții. Eforturi în secțiuni.....	370
14.2 Tensiuni în secțiuni normale.....	372
14.3 Deformațiile grinzilor solicitate la încovoiere oblică.....	377
14.4 Calcule de rezistență la încovoiere oblică.....	379
14.5 Exemple de calcul.....	302

Cap. 15 COMPRESIUNE ȘI ÎNTINDERE EXCENTRICĂ

15.1 Generalități. Eforturi și tensiuni în secțiuni normale.....	
15.2 Sâmbura central.....	394
15.3 Întindere și compresiune centrică când punctul de aplicație al forței este situat pe o axă principală de inerție a secțiunii.....	400
15.4 Compresiune excentrică în cazul materialelor ce nu preiau tensiuni de întindere.....	405
15.6 Exemple de calcul.....	409
	412

Cap. 16 ÎNCOVOIEREA CU TORSIUNE	
16.1 Generalități. Eforturi secționale.....	428
16.2 Tensiuni la încovoierea cu torsiune a barei de secțiune circulară.....	430
16.3 Calculul de rezistență al barelor de secțiune circulară sollicitate la încovoiere cu torsiune.....	433
16.4 Tensiuni la încovoierea cu torsiune a barei de secțiune dreptunghiulară.....	434
16.5 Exemple de calcul.....	437
Cap. 17 STABILITATEA BAREI DREPT	
17.1 Generalități. Fenomenul fizic și explicarea lui.....	439
17.2 Determinarea sarcinii critice de flambaj. Formula lui Euler.....	440
17.3 Limita de valabilitate a formulei lui Euler....	445
17.4 Calculul practic al barelor de flambaj.....	449
17.5 Flambajul barelor de secțiune compusă.....	453
17.6 Exemple de calcul.....	458
Cap. 18 SOLICITĂRI DINAMICE	
18.1 Generalități.....	464
18.2 Solicitări dinamice cu accelerație constantă...	466
18.3 Solicitări dinamice prin șoc.....	469
18.4 Calcule de rezistență la solicitările dinamice.....	472
18.5 Solicitări dinamice cu accelerație variabilă în timp (Vibrațiile sistemelor elastice).....	473
18.6 Exemple de calcul.....	476
Cap. 19 PLĂCI PLANE	
19.1 Definiții. Tensiuni și eforturi.....	481
19.2 Metode de calcul a plăcilor dreptunghiulare....	488
19.3 Metoda fâșiilor în calculul plăcilor dreptunghiulare reșemate pe contur.....	489
BIBLIOGRAFIE.....	497
ANEXE.....	501

PREFAȚĂ

În sec. I î.H., teoreticianul arhitecturii antice Vitruviu, caracterizând calitățile pe care trebuia să le posedă un arhitect al timpului său spunea: "... să fie talentat și capabil de învățatură, căci nici talentul fără învățatură, nici învățatura fără talent, nu-l poate face pe artist desăvârșit. El trebuie să cunoască scrisul, să fie destoinic la desen, instruit în geometrie, să știe multe legende, să-i fi ascultat cu sârguință pe filozofi, să știe muzică, să nu ignoreze medicina, să cunoască soluțiile juristconsultilor, să aibă cunoștințe de astrologie și de legile cerului."

Acest vast domeniu al cunoașterii, la vremea menționată, aparținea unei singure persoane "meșterul constructor" sau arhitectul (de la grecescul arhitekton = șeful constructor) care își asuma atât responsabilitatea concepției, cât și pe aceea a execuției.

Evantaiul calităților menționate de Vitruviu le găsim bine ilustrate și în Renaștere, personalități ca Brunelleschi, Michelangelo, Leonardo da Vinci etc fiind în același timp arhitecți, fizicieni, mecanici, pictori, sculptori, muzicieni și chiar poeți.

De remarcat însă că în aceste perioade construcțiile erau executate pe baza intuiției, a regulilor empirice și experienței acumulate și transmise din generație în generație.

Renașterea a introdus însă ceva nou, deosebit de important: experimentul intenționat în locul simplei observări, ca mijloc de studiu a elementelor naturii.

Totuși, începuturile studiului sistematic al construcțiilor aparțin lui Galileo Galilei (1564 - 1642), care analizează pentru prima dată distribuția tensiunilor într-o consolă, teoretic și experimental.

Începând cu el, studiul construcțiilor progresa rapid, cunoștințele empirice și intuiția unor oameni de excepție fiind înlocuită treptat, treptat, cu formule și calcule matematice mult mai precise. Știința acestora, comportarea construcțiilor și elementelor de construcție la acțiuni mecanice de orice fel devenind așa-numita *latură tehnică* a procesului complex de realizare a unei construcții. Volumul mare de informații dobândite în acest domeniu și studiul aprofundat al acestora au dat naștere unei specializări noi, cea de *inginer constructor*.

Arhitectul, plecând de la necesitățile omului, caută să-i creeze ambianță și volum optim pentru desfășurarea activităților acestuia, rezolvând latura funcțională și estetică a oricărei construcții, iar inginerul constructor, prin cunoștințele sale tehnice face ca materializarea concepției arhitecturale să se constituie într-o construcție care să satisfacă cerința de rezistență (să nu se rupă) și condiția de rigiditate (să nu se deformeze peste anumite limite ce ar putea deveni periculoase). Pe lângă considerentele arhitecturale și ingineresti construcțiile de orice fel trebuie gândite și sub efect ECONOMIC privind costul și materialele puse în operă.

Satisfacerea concomitentă a cerințelor precizate mai sus impune un înalt profesionalism pentru arhitect și inginerul constructor - soluțiile adoptate rezultând dintr-o strânsă colaborare și muncă de echipă a celor doi specialiști.

Pentru dobândirea "limbajului comun" necesar acestei munci, pentru gândirea unei construcții sub

aspect structural și pentru a putea rezolva singur o serie de probleme privind rezistența și rigiditatea elementelor de construcție, ARHITECTUL trebuie să posede un volum însemnat de cunoștințe din domeniul disciplinelor tehnice ingineresti.

Opinia conform căreia concepția unei structuri de rezistență poate fi rezultatul exclusiv al intuiției este depășită.

Deși se bazează pe cunoștințe solide și experiență îndelungată, intuiția poate fi înșelătoare, de aceea este bine să fie dublată de un calcul matematic bazat pe "traducerea" în relații și formule de calcul a comportării structurii la acțiuni mecanice. Efectuarea acestuia nu este însă posibilă fără cunoașterea elementelor lui de bază, a principiilor de modelare structurală a construcțiilor prin scheme de calcul care să reflecte cât mai fidel comportarea reală a elementului studiat și a construcției în ansamblu. Atingerea profesionalismului necesar acestor abordări, în ordine didactică, începe cu însușirea elementelor de bază ale Mecanicii Tehnice, Staticii Construcțiilor și Rezistenței Materialelor al căror conținut reprezintă baza științei construcțiilor. Ele sunt continuate apoi cu disciplinele de Teoria Structurilor, Structuri Speciale, Reabilitarea Construcțiilor și Terapeutica Construcțiilor ce fac parte din pregătirea academică a studentului arhitect.

Un vechi proverb chinezesc spunea: "A învăța fără a gândi este nefolositor; a gândi fără a învăța este primejdios". Învățăturile rezultate din înțelepciunea acestuia sunt perfect valabile și în zilele noastre și, cu siguranță, vor fi valabile în toate timpurile ce vor urma.

În domeniul tehnic, importanța lor este hotărâtoare: învățarea trebuie făcută cu înțelegerea fenomenelor studiate, cu logica fiecăruia dintre ele, mecanismul învățării

contribuind la formarea unei gândiri profunde, atât de necesare în conceperea unei construcții sub aspect structural.

Dowrich și Key, referindu-se la acest aspect constată că: "niciodată nu va putea un inginer constructor să realizeze o structură suficient de rezistentă la acțiuni mecanice (cutremure) pentru o clădire prost concepută (evident, sub aspect structural)". Ideea că în zilele noastre programele de calcul și calculatoarele permit inginerului structurist să asigure rezistența unei clădiri, indiferent de concepția ei arhitecturală s-a dovedit a fi eronată, lucru confirmat în numeroase cazuri practice.

De altfel, referindu-se la acest aspect, Arnold și Reitherman arătau că "un aspect al proiectării, de importanță egală sau chiar mai mare decât calculul structurii, este alegerea configurației clădirii". Opiniile în acest sens sunt numeroase și dacă în citatele date se referă la acțiuni seismice, ele pot fi extinse la orice acțiune mecanică.

O clădire bine conformată în acest sens va prelua cu eficiență toate încărcările la care este supusă și se va realiza cu un efort material și financiar mai redus.

Cartea de față selectează și redă, într-o formă accesibilă, o tematică vastă care cuprinde forțele și sistemele de forțe, echilibrul corpurilor și sistemelor de corpuri, diagramele de eforturi la diverse tipuri de structuri, solicitările simple, solicitările compuse, flambajul și solicitările dinamice.

Ea pune astfel la dispoziția cititorului volumul de informații necesare în rezolvarea unui însemnat număr de probleme din tehnica construcțiilor, asigurându-i totodată nivelul de cunoștințe necesare abordării celorlalte discipline și lucrări de specialitate în domeniu, conținut ce

formează Bazele Mecanicii Structurilor de rezistență la construcțiile de orice tip.

Dedicată studenților Facultății de Arhitectură, cartea poate fi utilă tuturor celor interesați în dobândirea sau reîmprospătarea cunoștințelor de bază ale Mecanicii, Staticii Construcțiilor și Rezistenței Materialelor, cu aplicabilitate în alcătuirea și calculul construcțiilor.

Autorul

CAPITOLUL 1

GENERALITĂȚI. NOȚIUNI ȘI PRINCIPII FUNDAMENTALE

1.1 OBIECTUL MECANICII. NOȚIUNI ȘI PRINCIPII FUNDAMENTALE

MECANICA TEORETICĂ este o parte a FIZICII care studiază legile obiective ale echilibrului și mișcării corpurilor materiale.

Ea cuprinde 3 părți distincte: Statica, Cinematica și Dinamica. STATICA studiază repausul corpurilor și condițiile lor de repaus (echilibru). Obiectul CINEMATII îl constituie mișcarea corpurilor fără a ține seama de cauzele care o produc, iar DINAMICA studiază mișcările corpurilor (sistemelor materiale) luând în considerare cauzele care le determină.

Legile fundamentale ale mecanicii au fost enunțate de Isaac Newton, în anul 1687, sub forma a trei principii:

- Principiul inerției:

Orice corp își păstrează starea de repaus sau de mișcare rectilinie și uniformă atâta timp cât asupra lui nu intervine o acțiune exterioară care să-i modifice această stare.

Prezența în natură a mai multor corpuri, în repaus și în mișcare, în baza acestui principiu, conduce inevitabil la interacțiuni reciproce care modifică stările de repaus sau de mișcare ale corpurilor respective. Cauza acestor modificări poartă denumirea de forță și reprezintă o măsură a interacțiunii dintre corpuri.

- Legea fundamentală a dinamicii:

Accelerația (variația stării de mișcare) unui corp este proporțională cu forța aplicată acestuia și este îndreptată în direcția și sensul forței. Matematic această lege se exprimă prin relația:

$$\vec{F} = m \cdot \vec{a} \quad (1.1)$$

În care m reprezintă o constantă numită masă.

Newton mai observă că, dacă asupra unui corp acționează două sau mai multe forțe, efectul lor este egal cu suma efectelor produse de fiecare forță în parte (principiul independenței acțiunii forțelor). Tot Newton arată că dacă asupra unui corp acționează simultan două forțe, efectul lor este același cu cel al unei singure forțe având mărimea și direcția diagonalei paralelogramului ce are ca laturi cele două forțe (principiul paralelogramului forțelor, cunoscut și sub denumirea de corolarul I al lui Newton).

• Principiul acțiunii și reacțiunii

Oricărei acțiuni îi corespunde întotdeauna o reacțiune egală și direct opusă.

În baza acestui principiu, acțiunile reciproce a două corpuri sunt totdeauna egale și îndreptate în sens contrar. Principiul este valabil în mecanica clasică atât în cazul corpurilor aflate la distanță cât și a celor în contact.

Observație

Principiile enunțate mai sus sunt admise ca postulate ale mecanicii clasice, ele nu sunt deduse pe cale teoretică, dar se verifică practic în toate problemele în care intervine aplicarea lor.

1.2 FORȚE ȘI LEGĂTURI. SISTEME DE FORȚE.

CLASIFICAREA FORȚELOR ȘI SISTEMELOR DE FORȚE

Interacțiunile dintre corpuri cuprind acțiuni și reacțiuni egale în mărime și direct opuse. În mecanică sunt studiate numai acțiunile ce au ca

efect modificarea stării de repaus sau de mișcare, făcându-se abstracție de schimbările în structura chimică sau starea fizică a corpurilor. Formal, aceste acțiuni se reprezintă prin forțe și legături.

Atunci când o acțiune se manifestă cu intensitate, direcție și sens, ea se reprezintă printr-o forță iar geometric printr-un segment orientat.

Rezultă deci că forța este o mărime vectorială caracterizată prin modul, direcție, sens și punct de aplicație (vezi fig. 1.1.).

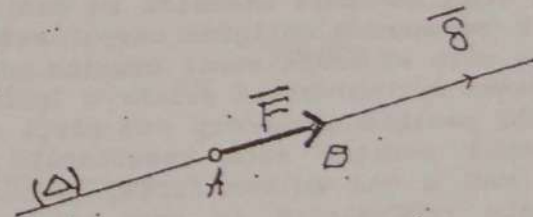


Fig. 1.1

Modulul reprezintă mărimea, în valoare absolută a segmentului AB; este întotdeauna pozitiv și se notează cu:

$$F = |\vec{F}| = |\overline{AB}| \quad (1.2)$$

Direcția (suportul forței) este materializată prin dreapta (Δ) ce poate fi precizată în raport cu un sistem de referință și orientată prin versorul ei $\vec{\delta}$.

Sensul forței pe suportul (Δ) este precizat prin săgeată, de la A la B, punctul A purtând și denumirea de punct de aplicație a forței.

În raport de restricțiile impuse acestuia, forțele pot avea caracter de:

- vectori liberi atunci când punctul lor de aplicație poate ocupa orice poziție în spațiu.
- vectori alunecători când punctele de aplicație pot ocupa orice poziție pe suportul Δ al acestora.
- vectori legați dacă punctul lor de aplicație are o poziție unică (fixă) în spațiu.

Referindu-ne la acțiunea forțelor asupra corpurilor, acestea au caracter de vectori legați (forțe legate) atunci când sunt aplicate unor corpuri cu dimensiuni neglijabile (puncte materiale) și caracter de vectori alunecători dacă sunt aplicate corpurilor a căror dimensiuni nu pot fi neglijate.

Atunci când acțiunea mecanică se manifestă ca o restricție geometrică obligând corpul sau anumite porțiuni ale sale să ocupe numai anumite poziții în spațiu, aceasta se reprezintă printr-o legătură.

Întrucât poziția unui corp sau părți din corp într-o anumită poziție este rezultatul acțiunii unei forțe sau a mai multor forțe, rezultă că o legătură este echivalentă cu una sau mai multe forțe care supun corpul la aceleași restricții. Această echivalență fundamentează așa numita axiomă a legăturilor în baza căreia orice legătură aplicată unui corp poate fi înlocuită cu o forță numită reacțiune sau forță de legătură, având același efect asupra corpului ca și legătura.

Rezumând cele arătate mai sus rezultă că forțele care acționează asupra corpurilor pot fi clasificate în două mari categorii:

- forțe active, forțe direct aplicate sau forțe date, de regulă cunoscute ca modul, direcție, sens și punct de aplicație.
- forțe pasive, de legătură sau reacțiuni, ce corespund anumitor tipuri de legături ale corpului, de regulă necunoscute.

La rândul lor, forțele active și cele pasive se clasifică pe baza următoarelor criterii:
A. După mărimea suprafețelor pe care se aplică (fig. 1.2).

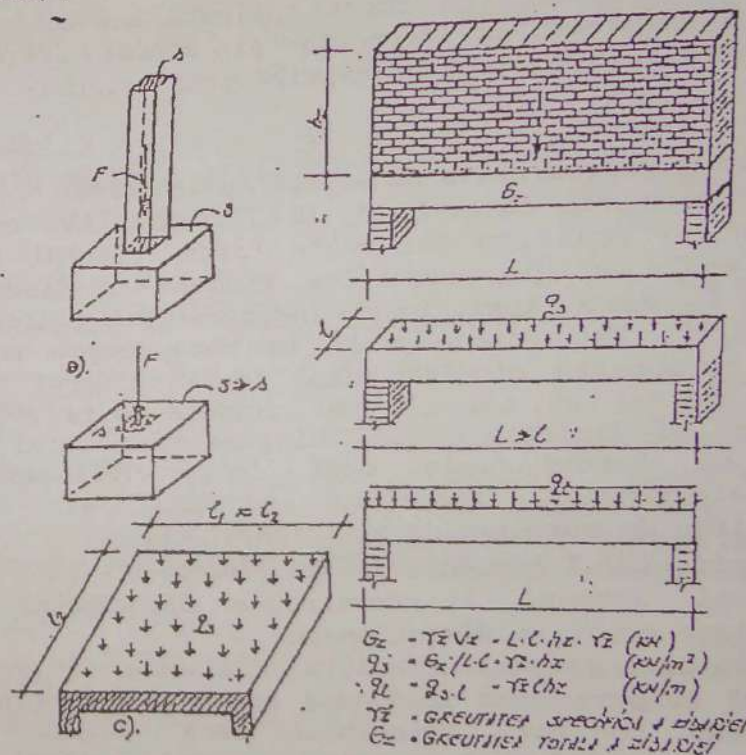


Fig. 1.2

- Forțe concentrate
- Forțe distribuite

Forțele concentrate reprezintă acțiuni care se exercită pe suprafețe foarte mici, în raport cu dimensiunile corpului, teoretic acțiunea lor considerându-se punctuală (fig. 1.2, a).

Ele au dimensiunea $[F]$ și se măsoară în unități de forță: N, daN, kN, kgf, tf etc.

Forțele distribuite sunt acțiuni care se exercită continuu pe porțiuni mai mari ale corpului sau pe întregul corp. Ele sunt caracterizate prin direcție, sens și intensitate (fig. 1.2,b).

În figura 1.2,a suprafața de interacțiune dintre stâlp și fundație este mult mai mică decât suprafața S a blocului de fundație; interacțiunea dintre ele se reprezintă printr-o forță concentrată F . Zidăria executată deasupra grinzii din figura 1.2,b acționează pe toată suprafața ei superioară, de arie $A=L \times l$, relativ mare.

Dacă aceasta are una din dimensiuni mică în raport cu cealaltă ($l \ll L$) distribuția se consideră liniară de intensitate q_l (fig. 1.2,b): Forțele distribuite liniar (q_l) au dimensiunea de $[FL^{-1}]$ și se măsoară în unități de forță pe unități de lungime: N/cm, kN/m, daN/m etc. În domeniul construcțiilor, forțele continue pot avea distribuție uniformă (fig. 1.3,a), distribuție liniară (fig. 1.3,b), distribuție parabolică (fig. 1.3,c) etc.

Dacă suprafața acțiunii mecanice are dimensiuni comparabile (fig. 1.2,c), forțele care o reprezintă au dimensiunea $[FL^{-2}]$ și se măsoară în unități de forță pe unități de suprafață: N/mm², daN/cm², kN/mp etc. Legile de distribuție a forțelor pe suprafețe sunt aceleași cu cele ale distribuției liniare specificate în figura 1.3.

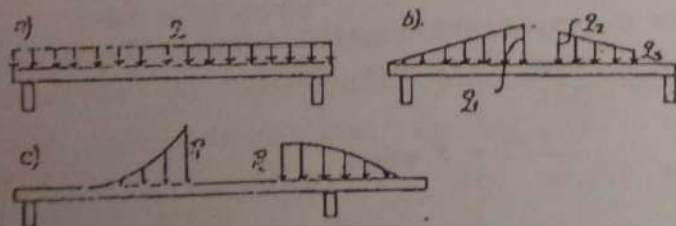


Fig. 1.3

B. După variația intensității forțelor în timp (fig. 1.4), acestea pot fi statice, ciclice și dinamice.

- Forțele statice sunt acelea al căror intensitate crește lent de la valoarea zero la valoarea maximă după care nu se mai modifică în timp (fig. 1.4,a).
- Forțele ciclice au intensitatea variabilă și repetabilă identic după perioade care se succed continuu (fig. 1.4,b).

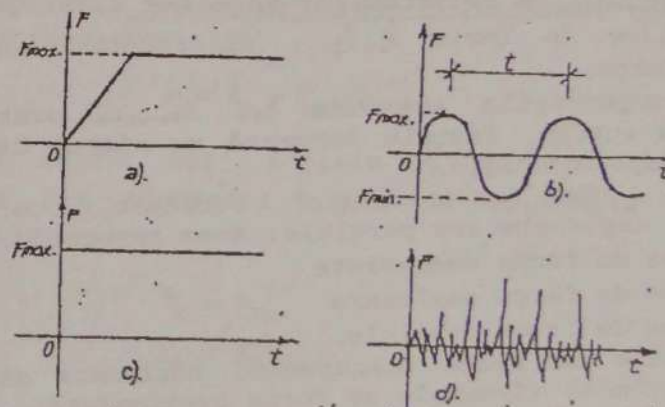


Fig. 1.4

- Forțe dinamice își modifică intensitatea în timp rapid (fig. 1.4,c și d) imprimând particulelor materiale accelerații care, în baza legii a doua a dinamicii ($F = m \cdot a$) dau naștere la forțe inerțiale.

C. După durata și frecvența de acțiune.

În domeniul construcțiilor forțele ce acționează asupra elementelor componente ale acestora poartă denumirea de ~~parcări~~ sau ~~forțe~~ și se clasifică în două grupe:

- Încărcări permanente (greutatea proprie, greutatea utilajelor fixe etc) a căror acțiune

este continuă pe toată durata de existență a construcției;

- Încărcări temporare a căror acțiune pe elementele de construcție este discontinuă. La rândul lor, acestea pot fi:

- de lungă durată (încărcările din depozite, mobilierul, zăpada etc);
- de scurtă durată (acțiunea vântului, variațiile de temperatură, oameni în clădirile de locuit etc);
- accidentale (cutremurele de pământ, exploziile, alunecările de teren etc).

D. După poziția suporturilor forțelor

O mulțime de forțe $\vec{F}_1, \vec{F}_2, \dots, \vec{F}_n$ formează un sistem de forțe.

Dacă suporturile acestora $\Delta_1, \Delta_2, \dots, \Delta_n$ sunt oarecare în spațiu, forțele formează un sistem de forțe oarecare în spațiu.

Atunci când suporturile forțelor sunt concurente, coplanare sau paralele, avem respectiv:

- sisteme de forțe concurente
- sisteme de forțe coplanare
- sisteme de forțe paralele.

Sistemele de forțe concurente, coplanare și paralele formează sistemele de forțe particulare.

Rezultă deci că sistemele de forțe se clasifică în două mari grupe:

- sisteme de forțe oarecare în spațiu.
- sisteme de forțe particulare.

Observație

Forțele fiind mărimi vectoriale, toate operațiile cu acestea se vor efectua în același mod și după aceleași reguli date de Matematică la secțiunea de Calcul vectorial.

1.3 PROIECȚIA UNEI FORȚE PE O AXĂ

Fie o dreaptă orientată (D) de versor \vec{s} și o forță $\vec{F} = \overline{AB}$ având suportul Δ (fig. 1.5).

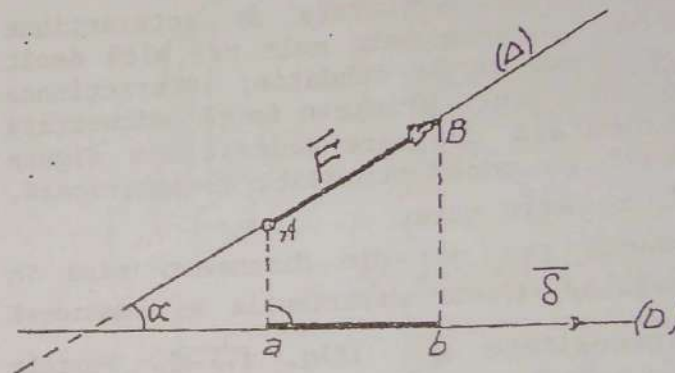


Fig. 1.5

Prin proiecție a forței \vec{F} pe axa D, notată $p_r \vec{F}/D$ se înțelege modulul vectorului \overline{ab} determinat de perpendicularele coborâte din extremitățile A și B ale forței pe axa D. Matematic aceasta se exprimă prin relația:

$$p_r \vec{F}/D = |\overline{ab}| = ab$$

Din considerente geometrice (fig. 1.5) rezultă:

$$ab = |\overline{AB}| \cos \alpha = |\vec{F}| \cos \alpha = F \cos \alpha$$

În care α reprezintă unghiul ascuțit format de suportul Δ al forței \vec{F} cu axa (D). În consecință:

$$p_r \vec{F}/D = F \cos \alpha$$

(1.3)

Ca produs între două mărimi scalare (F și $\cos\alpha$) proiecția unei forțe pe o axă este un scalar. Semnul acestuia este pozitiv dacă vectorul \overline{ab} are sensul axei (O) și negativ în caz contrar. Pentru ilustrare vom considera forța \overline{F} conținută în planul yOz , de modul F , direcție α și sensul de la A la B (fig. 1.6.).

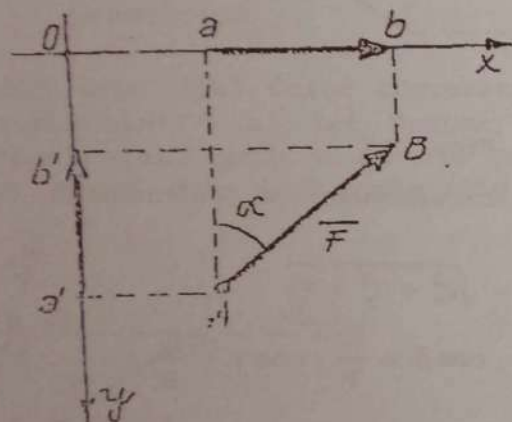


Fig. 1.6

În baza celor precizate mai sus, proiecțiile acestuia pe axele Ox și Oy vor avea valorile:

$$p_r \overline{F} / x = |\overline{ab}| = F \cos(90 - \alpha) = F \sin \alpha$$

$$p_r \overline{F} / y = |\overline{a'b'}| = -F \cos \alpha$$

De observat că $p_r \overline{F} / x$ este pozitivă deoarece vectorul \overline{ab} are sensul axei Ox iar $p_r \overline{F} / y$ este negativă deoarece vectorul $\overline{a'b'}$ are sensul opus celui al axei Oy .

1.4 EXPRESIA ANALITICĂ A UNEI FORȚE

Fie un sistem cartezian plan de referință xOy și o forță oarecare \overline{F} (fig. 1.7).

Conform regulii paralelogramului, forța dată poate fi privită ca o sumă de două forțe $\overline{F_x}$ și $\overline{F_y}$ ce determină paralelogramul cu diagonala \overline{F} .

Exprimată matematic, regula precizată conduce la ecuația vectorială:

$$\overline{F} = \overline{F_x} + \overline{F_y} \quad (1.4)$$

La rândul lor, forțele $\overline{F_x}$ și $\overline{F_y}$ așa cum rezultă din figura 1.7 pot fi exprimate prin relațiile:

$$\begin{aligned} \overline{F_x} &= F_x \overline{i} \\ \overline{F_y} &= F_y \overline{j} \end{aligned} \quad (1.5)$$

În care F_x și F_y reprezintă proiecțiile forțelor $\overline{F_x}$ și $\overline{F_y}$ pe axele sistemului de referință xOy .

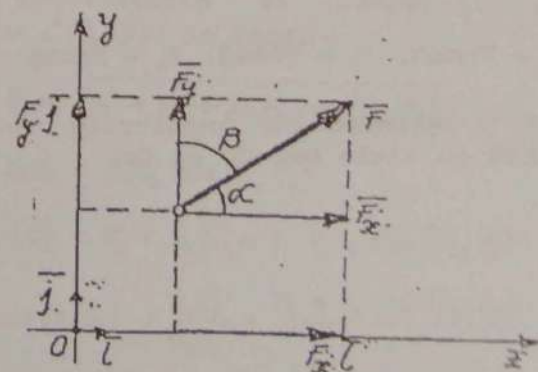


Fig. 1.7

Având în vedere relațiile (1.4) și (1.5), expresia analitică a forței devine:

$$\vec{F} = F_x \vec{i} + F_y \vec{j} \quad (1.6)$$

Cunoscând expresia analitică a unei forțe se poate calcula cu ușurință modulul acesteia și poziția ei în raport cu axele de referință, dată de cosinuzii unghiurilor α și β , numiți *cosinuși directori*. Astfel, din figura 1.7 rezultă:

$$F = \sqrt{F_x^2 + F_y^2} \quad (1.7)$$

$$\cos \alpha = \frac{F_x}{F} = \frac{F_x}{\sqrt{F_x^2 + F_y^2}}$$

$$\cos \beta = \frac{F_y}{F} = \frac{F_y}{\sqrt{F_x^2 + F_y^2}}$$

Pentru o forță în spațiu, raportată la un sistem cartezian de axe Oxyz, figura 1.8, expresia analitică stabilită cu totul similar are forma:

$$\vec{F} = F_x \vec{i} + F_y \vec{j} + F_z \vec{k} \quad (1.8)$$

în care:

$$F_x = F \cos \alpha; F_y = F \cos \beta; F_z = F \cos \gamma$$

α , β și γ reprezentând unghiurile făcute de direcția forței cu axele Ox, Oy și Oz.

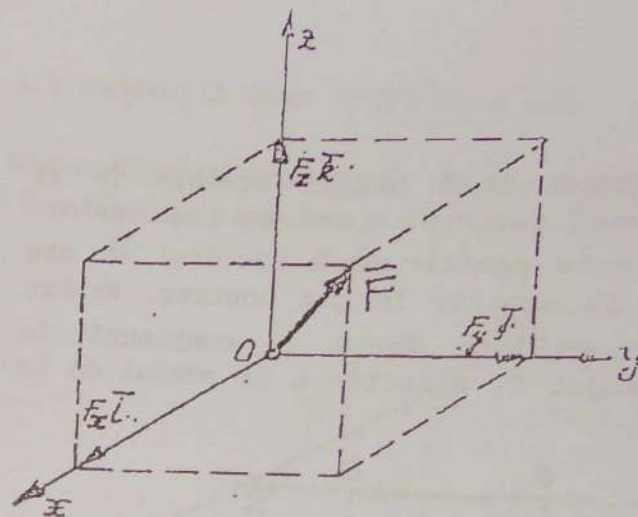


Fig. 1.8

Modulul și direcția rezultantei se calculează cu relațiile:

$$F = \sqrt{F_x^2 + F_y^2 + F_z^2} \quad (1.8)$$

$$\cos \alpha = \frac{F_x}{F}; \cos \beta = \frac{F_y}{F}; \cos \gamma = \frac{F_z}{F}$$

1.5 ADUNAREA (COMPUNEREA) FORTELOR CONCURENTE

Suma a două sau mai multe forțe concurente \vec{F}_i ($i=2, 3, \dots, n$) este o forță rezultantă \vec{R} aplicată în punctul lor de concurență, având același efect mecanic cu cel al forțelor \vec{F}_i acționând asupra aceluiași sistem material.

Vectorial, operația de adunare a forțelor se exprimă prin relația:

$$\vec{F}_1 + \vec{F}_2 + \dots + \vec{F}_n = \sum_{i=1}^n \vec{F}_i = \vec{R} \quad (1.9)$$

Cunoscând vectorii \vec{F}_i , rezultanta lor \vec{R} poate fi determinată geometric sau analitic.

1.5.1 Compunerea forțelor concurente - soluție geometrică

Fiind date două forțe concurente \vec{F}_1 și \vec{F}_2 în baza corolarului I al lui Newton, suma acestora este reprezentată prin diagonala paralelogramului având ca laturi cele două forțe (fig. 1.9.a).

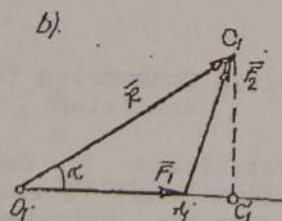
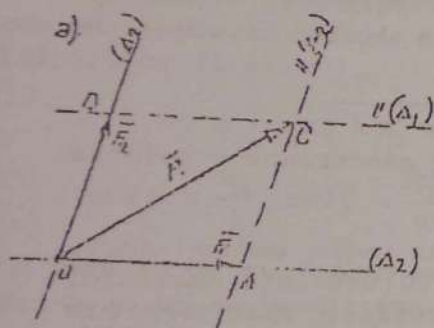


Fig. 1.9

Din considerente geometrice forța $\vec{F}_2 = \vec{OB}$ este egală cu vectorul \vec{AC} .

Rezultă deci că rezultanta \vec{R} a forțelor \vec{F}_1 și \vec{F}_2 se poate obține unind originea O a forței \vec{F}_1 cu extremitatea C a vectorului \vec{AC} , de același modul, direcție și sens cu forța \vec{F}_2 dar având punctul de aplicare în extremitatea A a forței \vec{F}_1 (fig. 1.9.b).

Vectorii cu același modul, direcție și sens dar puncte de aplicare diferite poartă denumirea de vectori echipolenți.

Utilizând aceste mărimi, rezultanta forțelor concurente \vec{F}_1 și \vec{F}_2 se obține pe baza unei construcții simple (fig. 1.10.b) realizate în următoarea succesiune:

- se alege un pol arbitrar O_1 în care se construiește vectorul $\vec{O_1A_1}$ echipolent forței \vec{F}_1 .
- cu origine în A_1 se construiește vectorul $\vec{A_1C_1}$ echipolent al forței \vec{F}_2 .
- se unește polul O_1 , origine a vectorului echipolent $\vec{F}_1 = \vec{O_1A_1}$ cu vârful C_1 al vectorului echipolent $\vec{F}_2 = \vec{A_1C_1}$.

Rezultanta \vec{R} a celor două forțe este reprezentată prin vectorul $\vec{O_1C_1}$.

Aplicat în această formă, corolarul I al lui Newton este cunoscut sub denumirea de regula triunghiului.

Modulul și direcția rezultantei exprimată prin unghiul dintre aceasta și una din forțe, (spre exemplu față de forța F_1) se obțin din considerente geometrice și trigonometrice în triunghiurile $O_1A_1C_1$ și $O_1C_1C_1$ (fig. 1.9,b) aplicând teorema lui pitagora generalizată și respectiv exprimând unghiul $\alpha = \angle(\vec{F}_1, \vec{R})$. Se obțin:

$$\vec{R} = \sqrt{F_1^2 + F_2^2 + 2F_1F_2 \cos(\vec{F}_1, \vec{F}_2)} \quad (1.10)$$

$$A_1C_1 = A_1C_1 \cos(\vec{F}_1, \vec{F}_2)$$

$$O_1C_1 = F_1 + A_1C_1 = F_1 + F_2 \cos(\vec{F}_1, \vec{F}_2)$$

$$\cos(\vec{R}, \vec{F}_1) = \frac{O_1C_1}{O_1C_1} = \frac{F_1 + F_2 \cos(\vec{F}_1, \vec{F}_2)}{R} \quad (1.11)$$

Dacă forțele concurente formează un sistem de n forțe (fig. 1.10) rezultanta acestora se poate obține folosind succesiv regula triunghiului (fig. 1.10.b).

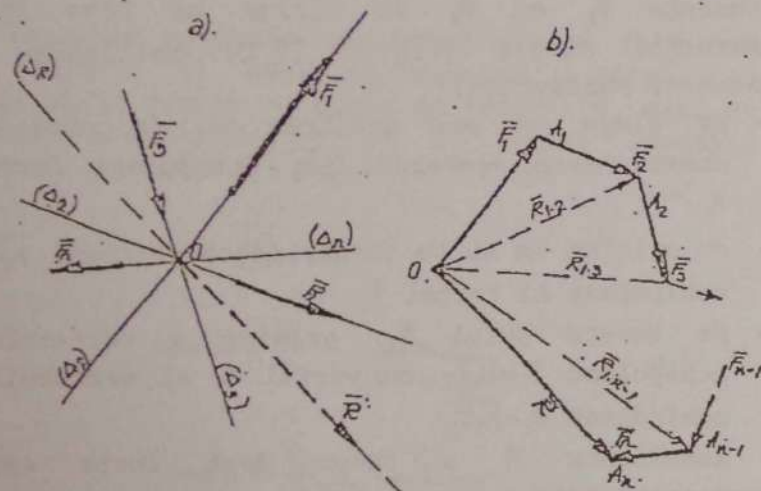


Fig. 1.10

Alegând polul arbitrar O_1 și aplicând-o primelor două forțe se obține rezultanta acestora \bar{R}_{12} . Se adună apoi forța \bar{R}_{12} cu forța \bar{F}_3 după același procedeu și se obține rezultanta \bar{R}_{13} ș.a.m.d.

Exprimând vectorial operațiile efectuate se obține:

$$\bar{R}_{1-2} = \bar{F}_1 + \bar{F}_2$$

$$\bar{R}_{1-3} = \bar{R}_{1-2} + \bar{F}_3 = \bar{F}_1 + \bar{F}_2 + \bar{F}_3$$

$$\bar{R}_{1-n} = \bar{R}_{1,n-1} + \bar{F}_n = \bar{F}_1 + \bar{F}_2 + \dots + \bar{F}_n = \sum_{i=1}^n \bar{F}_i = \bar{R}$$

În consecință, vectorul $\bar{R}_{1-n} = \overline{O_1A_n}$ având originea în O_1 și vârful în extremitatea A_n a forței

echipolente \bar{F}_n reprezintă chiar rezultanta \bar{R} a sistemului de forțe concurente.

Linia poligonală $O_1, A_1, A_2, \dots, A_n$ (Fig. 1.10.b) se numește *poligon al forțelor* $\bar{F}_1, \bar{F}_2, \dots, \bar{F}_n$.

Determinarea rezultantei unui sistem de forțe revine deci la construirea poligonului acestora, motiv pentru care procedeul de lucru poartă și denumirea de *regula poligonului*.

Observație

Construcțiile geometrice din figurile 1.9.b și 1.10.b permit determinarea rezultantei unui sistem de forțe pe cale grafică. În acest scop se admite o scară a forțelor pe baza căreia se construiesc liniile poligonale $O_1-A_1-C_1$ respectiv $O_1-A_1-A_2 \dots A_n$ și se citesc modulele $O_1A_n = R$. Direcția vectorului $\bar{R} = \overline{O_1A_n}$ se obține măsurând unghiul format de acesta cu direcția unei forțe luate ca reper de referință.

1.5.2 Compunerea forțelor concurente - soluția analitică

Rezultanta a două sau mai multe forțe concurente poate fi obținută cu ușurință analitic, utilizând în acest scop expresiile analitice ale forțelor exprimate în raport de un sistem cartezian arbitrar de referință:

$$\begin{aligned} \bar{F}_1 &= F_{1x}\bar{i} + F_{1y}\bar{j} + F_{1z}\bar{k} \\ \bar{F}_2 &= F_{2x}\bar{i} + F_{2y}\bar{j} + F_{2z}\bar{k} \\ \bar{F}_n &= F_{nx}\bar{i} + F_{ny}\bar{j} + F_{nz}\bar{k} \end{aligned} \quad (1.12)$$

Adunând membru cu membru relațiile (1.12) se obține:

$$\vec{F}_1 + \vec{F}_2 + \dots + \vec{F}_n = (F_{1x} + F_{2x} + \dots + F_{nx})\vec{i} + (F_{1y} + F_{2y} + \dots + F_{ny})\vec{j} + (F_{1z} + F_{2z} + \dots + F_{nz})\vec{k} = \sum_{i=1}^n F_{ix}\vec{i} + \sum_{i=1}^n F_{iy}\vec{j} + \sum_{i=1}^n F_{iz}\vec{k} = \vec{R},$$

în care $\sum_{i=1}^n F_{ix} = R_x$, $\sum_{i=1}^n F_{iy} = R_y$, $\sum_{i=1}^n F_{iz} = R_z$ reprezintă sumele proiecțiilor tuturor forțelor pe axele Ox , Oy și respectiv Oz .

Cu notațiile de mai sus, expresia analitică a rezultantei devine:

$$\vec{R} = \sum_{i=1}^n \vec{F}_i = R_x\vec{i} + R_y\vec{j} + R_z\vec{k} \quad (1.13)$$

Modulul și direcția acesteia (dată de cosinșii directori) se obține cu formule similare relațiilor (1.8):

$$R = \sqrt{R_x^2 + R_y^2 + R_z^2} \quad (1.14)$$

$$\cos \alpha = \frac{R_x}{R}; \cos \beta = \frac{R_y}{R}; \cos \gamma = \frac{R_z}{R}$$

în care α , β și γ sunt unghiurile formate de axele Ox , Oy și Oz cu rezultanta \vec{R} sau suportul acesteia.

Dacă forțele date sunt conținute într-un plan, spre exemplu în planul xOy , proiecțiile lor pe axa z sunt nule ($F_{iz}=0$) astfel că $R_z = \sum F_{iz} = 0$.

Înlocuind această valoare în ecuația (1.13) se obține expresia rezultantei forțelor concurente coplanare.

$$\vec{R} = R_x\vec{i} + R_y\vec{j} \quad (1.13')$$

Modulul și direcția acesteia au expresiile evidente:

$$R = \sqrt{R_x^2 + R_y^2} \quad (1.14')$$

$$\cos \alpha = \frac{R_x}{R}; \cos \beta = \frac{R_y}{R}$$

1.6 DESCOMPUNEREA UNEI FORȚE

Descompunerea unei forțe după două direcții coplanare cu forța dată se face printr-o operație inversă compunerii (fig. 1.11).

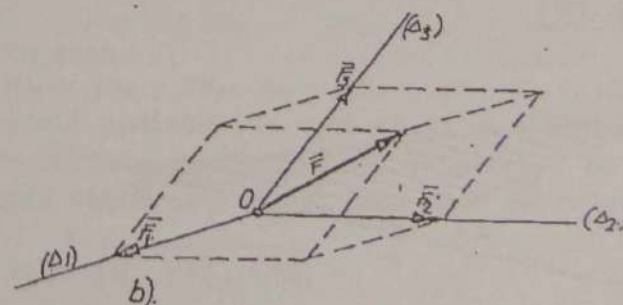
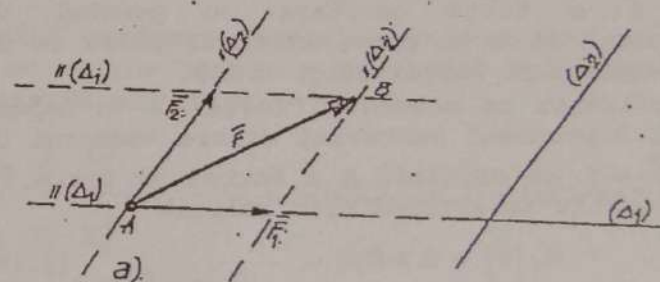


Fig. 1.11

Astfel, fiind dată forța \vec{F} și direcțiile Δ_1 și Δ_2 , concurente, ducând prin extremitățile A și B ale forței paralele la dreptele (Δ_1) și (Δ_2) .

acestea determină forțele \vec{F}_1 și \vec{F}_2 (fig. 1.11.a) care satisfac relația vectorială: $\vec{F} = \vec{F}_1 + \vec{F}_2$.

Descompunerea unei forțe după 3 direcții concurente necoplanare se face construind paralelipipedul având ca diagonală forța dată \vec{F} iar ca muchii forțele \vec{F}_1 , \vec{F}_2 și \vec{F}_3 (fig. 1.11.b).

Forțele \vec{F}_1 , \vec{F}_2 și \vec{F}_3 satisfac relația: $\vec{F} = \vec{F}_1 + \vec{F}_2 + \vec{F}_3$.

Descompunerea unei forțe după mai mult de 3 direcții necoplanare este o problemă nedeterminată.

1.7 MOMENTUL UNEI FORȚE ÎN RAPORT CU UN PUNCT

Fie \vec{F} o forță oarecare cu punctul de aplicatie în A și O un punct arbitrar ales, ce nu aparține suportului forței (fig. 1.12).

Se definește ca moment al forței \vec{F} în raport cu punctul O produsul vectorial dintre vectorul de poziție $\vec{OA} = \vec{r}$ al originii A a forței și forța \vec{F} . Matematic acesta se exprimă prin relația:

$$\vec{M}_O(\vec{F}) = \vec{r} \times \vec{F} \quad (1.15)$$

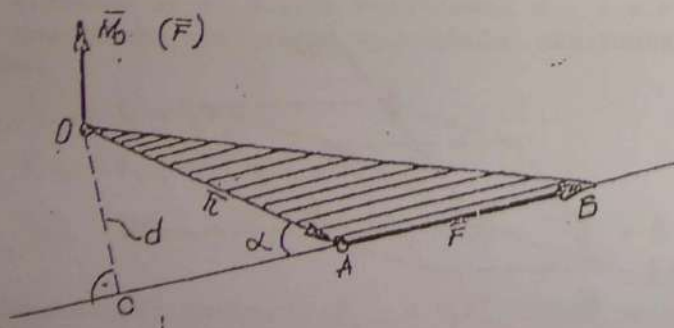


Fig. 1.12

Rezultând din produsul a doi vectori legați (\vec{r} și \vec{F}) momentul forței în raport cu punctul O este un vector legat $\vec{M}_O(\vec{F})$, caracterizat prin modul, direcție, sens și punct de aplicație.

Modulul notat cu $M_O(\vec{F})$ se obține pe baza produsului vectorial dat de relația (1.15).

$$M_O(\vec{F}) = |\vec{OA}| \cdot |\vec{F}| \sin(\angle \vec{OA}, \vec{F}) = F \cdot OA \cdot \sin \alpha$$

Notând cu d lungimea perpendicularei din O pe forță sau pe suportul forței se observă că $OA \cdot \sin \alpha = d$, astfel că expresia mărimii momentului ia forma:

$$M_O(\vec{F}) = F \cdot d \quad (1.16)$$

Distanța d poartă denumirea de braț de pârghie al forței F față de punctul O.

În concluzie, modulul vectorului moment în raport cu un pol O este egal cu produsul dintre modulul forței și brațul de pârghie al acesteia.

Direcția vectorului \vec{M}_O este normală la planul determinat de vectorii \vec{r} și \vec{F} .

Sensul este dat de înaintarea unui burghiu drept rotit în sensul de rotire al razei vectoriale \vec{r} când extremitatea ei parcurge forța \vec{F} din punctul de aplicație A spre extremitatea opusă B.

Proprietăți:

- Momentul unei forțe în raport cu un punct de pe suportul său este nul (fig. 1.13.a). Proprietatea rezultă imediat din relația (1.16) observând că atunci când punctul O este situat pe suportul forței, brațul de pârghie al acesteia $d = 0$.
- Momentul unei forțe în raport cu un pol O nu se modifică atunci când forța \vec{F} se deplasează pe suportul ei (1.13.b).

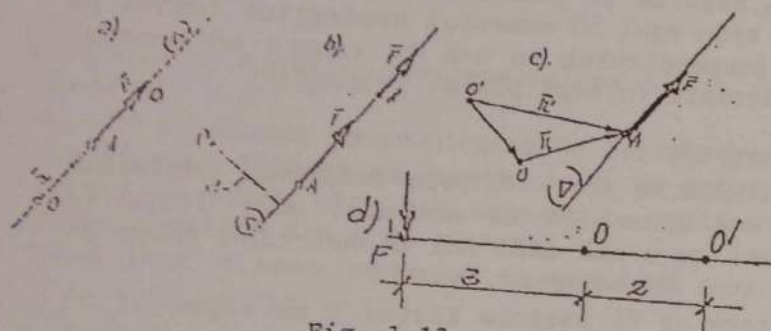


Fig. 1.13

Proprietatea rezultă tot din relația (1.16) observând că oricare ar fi poziția forței pe suportul ei brațul de pârghie d rămâne același ($d = \text{constant}$).

• Momentul forței \vec{F} se schimbă odată cu schimbarea polului (Fig. 1.13, c).

Într-adevăr, dacă $M_O(\vec{F}) = \vec{r} \times \vec{F}$ este momentul forței \vec{F} în raport cu polul O , momentul aceleiași forțe în raport cu un alt pol O' va fi:

$$M_{O'}(\vec{F}) = \vec{r}' \times \vec{F} \quad (1.17)$$

Observând că: $\vec{r}' = \vec{r} + \vec{OO'}$ relația (1.16) devine:

$$M_{O'}(\vec{F}) = (\vec{r} + \vec{OO'}) \times \vec{F} = \vec{r} \times \vec{F} + \vec{OO'} \times \vec{F} = M_O(\vec{F}) + \vec{OO'} \times \vec{F} \quad (1.18)$$

În baza relației (1.18) se deduce că momentul unei forțe \vec{F} în raport cu un pol O' este egal cu momentul forței calculat în vechiul pol O la care se adaugă momentul $\vec{OO'} \times \vec{F}$ al forței considerate aplicată în O în raport cu polul O' .

Pentru ilustrare vom considera forța $F=10\text{kN}$ din figura 13, d și vom calcula succesiv momentele ei în raport de punctele O și O' .

$$M_O(F) = 3F = 3 \times 10 = 30 \text{ kNm}$$

$$M_{O'}(F) = 5F = 5 \times 10 = 50 \text{ kNm}$$

Se observă că $M_{O'}(F)$ satisface relația (1.18) respectiv:

$$M_{O'}(F) = M_O(F) + \vec{OO'} \cdot F = 30 + 2 \times 10 = 50 \text{ kNm}$$

Notând cu \vec{i} , \vec{j} , \vec{k} versorii unui triedru cartezian drept, cu x , y , z coordonatele punctului de aplicare al forței A și cu F_x , F_y și F_z proiecțiile forței \vec{F} pe axe, expresiile analitice ale vectorilor \vec{r} și \vec{F} devin:

$$\vec{r} = x\vec{i} + y\vec{j} + z\vec{k}; \quad \vec{F} = F_x\vec{i} + F_y\vec{j} + F_z\vec{k} \quad (1.19)$$

Făcând produsul vectorial indicat în relația (1.15) se obține expresia analitică a momentului unei forțe în raport cu un punct:

$$\begin{aligned} \vec{M}_O(\vec{F}) &= \begin{vmatrix} \vec{i} & \vec{j} & \vec{k} \\ x & y & z \\ F_x & F_y & F_z \end{vmatrix} = (yF_z - zF_y)\vec{i} - (xF_z - zF_x)\vec{j} + (xF_y - yF_x)\vec{k} = \\ &= M_{Ox}\vec{i} + M_{Oy}\vec{j} + M_{Oz}\vec{k} \end{aligned} \quad (1.20)$$

în care:

$M_{Ox} = yF_z - zF_y$; $M_{Oy} = zF_x - xF_z$; $M_{Oz} = xF_y - yF_x$ reprezintă proiecțiile vectorului $\vec{M}_O(\vec{F})$ pe axele de coordonate ale sistemului de referință. Modulul și direcția vectorului $\vec{M}_O(\vec{F})$ sunt date de relațiile:

$$M_O = \sqrt{M_{Ox}^2 + M_{Oy}^2 + M_{Oz}^2}$$

$$\cos \alpha = \frac{M_{Ox}}{M_O}; \quad \cos \beta = \frac{M_{Oy}}{M_O}; \quad \cos \gamma = \frac{M_{Oz}}{M_O}$$

în care α , β și γ sunt unghiurile formate de vectorul \vec{M}_O cu axele Ox , Oy și Oz .

1.8 MOMENTUL UNEI FORȚE ÎN RAPORT CU O AXĂ

Să considerăm acum o forță oarecare în spațiu \vec{F} acționând pe suportul (D) și o axă arbitrară Δ .

Notând cu O punctul de intersecție al axei Δ cu un plan π normal pe aceasta și cu P cel de intersecție dintre același plan și suportul D se obține construcția din figura 1.14.

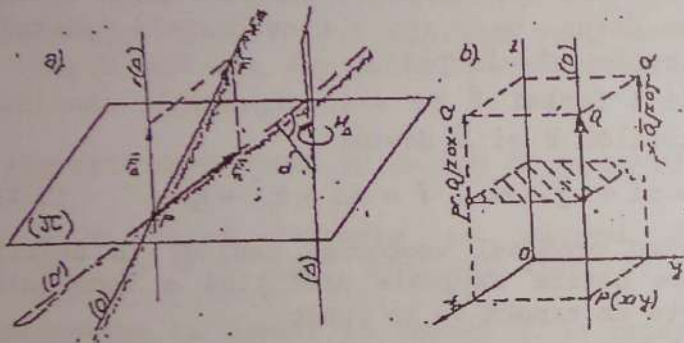


Fig. 1.14

Deplasând forța F cu originea în punctul P și descompunând-o după direcția Δ și după o direcție D' din planul π se obțin componentele acesteia F_{Δ} și F_{π} . Se observă cu ușurință că forța F_{Δ} , fiind perpendiculară pe planul π nu are tendința de a produce rotații în acest plan, în consecință momentul ei în raport cu orice punct din planul π este nul.

La rândul ei, forța F_{π} fiind conținută în planul π are tendința de a roti în raport cu orice punct al acestuia care nu se găsește pe suportul ei. Fie O un punct curent al planului și d lungimea perpendiculară coborâtă din acesta pe forța F_{π} sau pe suportul ei.

Produsul $F_{\pi} \cdot d$ este un moment care având tendința de rotire în jurul axei Δ , poartă denumirea de moment al forței în raport cu axa Δ . Ținând seama de semnificațiile punctului O și a

forței F_{π} rezultă că momentul unei forțe în raport cu o axă este egal cu momentul proiecției forței pe un plan perpendicular pe axă în raport cu punctul în care aceasta înțeapă planul respectiv.

Proprietăți:

- Observând că forța F_{π} este totdeauna coplanară cu axa Δ rezultă că momentul unei forțe în raport cu o axă este nul atunci când forța și axa sunt coplanare.
- Oricare ar fi poziția forței F pe suportul D, proiecția ei pe planul π nu-și modifică modulul F_{π} și nici direcția D' . În aceste condiții brațul de pârghie d al forței F_{π} nu se modifică astfel că produsul $d \cdot F_{\pi} = M_{\Delta}$ rămâne constant. Rezultă deci că momentul unei forțe nu se modifică atunci când aceasta își modifică punctul de aplicare pe suportul ei.
- Considerând că planul π suferă o translație în lungul axei Δ , punctul în care aceasta îl va înțeapa suferă și el o translație în poziția O' . Oricare ar fi această poziție, modulul proiecției forței F pe planul π și direcția acesteia în același plan D' , rămân neschimbate, ajungându-se la situația prezentată la proprietatea 2 de mai sus.

Rezultă deci că momentul unei forțe în raport cu o axă este același în orice punct al axei respective.

Ca exercițiu, vom exprima în continuare momentele forței Q perpendicularare pe planul xOy în raport cu axele Ox , Oy și Oz (fig. 1.14, b) ale unui sistem cartezian de referință.

Suportul D al forței $P(x, y)$ înțeapă planul xOy în punctul $P(x, y)$. Vom avea:

- $M_{Ox} = Q \cdot y$ (planul perpendicular pe axa Ox este zOy , înțepat de aceasta în originea O. Proiecția forței în planul menționat are

ordonata y egală cu perpendiculara din O pe aceasta).

- $M_{Oy} = Q \cdot x$ (planul perpendicular pe axa Oy este zOx și este înțepat de aceasta în O . Proiecția forței în acest plan are abscisa x , egală cu perpendiculara din O pe aceasta).
- $M_{Oz} = 0$ (axa Oz este coplanară cu forța Q).

1.9 TEOREMA MOMENTELOR SAU TEOREMA LUI VARIGNON

Fie un sistem de forțe $\vec{F}_1, \vec{F}_2, \dots, \vec{F}_n$ concurente într-un punct O_1 și \vec{r} vectorul de poziție al acestuia în raport de un pol arbitrar O (fig. 1.15.).

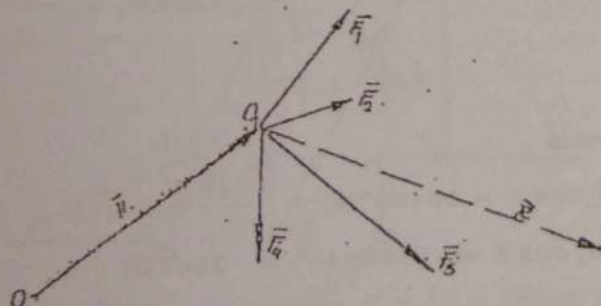


Fig. 1.15

Adunând vectorial forțele sistemului se obține rezultanta acestora \vec{R} .

$$\vec{F}_1 + \vec{F}_2 + \dots + \vec{F}_n = \sum_{i=1}^n \vec{F}_i = \vec{R}$$

Înmulțind vectorial stânga această relație cu \vec{r} se obține:

$$\vec{r} \times \vec{F}_1 + \vec{r} \times \vec{F}_2 + \dots + \vec{r} \times \vec{F}_n = \sum_{i=1}^n \vec{r} \times \vec{F}_i = \vec{r} \times \sum_{i=1}^n \vec{F}_i = \vec{r} \times \vec{R} \text{ sau:}$$

$$\vec{M}_O(\vec{F}_1) + \vec{M}_O(\vec{F}_2) + \dots + \vec{M}_O(\vec{F}_n) = \sum_{i=1}^n \vec{M}_O(\vec{F}_i) = \vec{M}_O(\vec{R}) \quad (1.23)$$

Relația (1.23) exprimă matematic teorema momentelor sau teorema lui Varignon care se enunță astfel:

Suma momentelor forțelor concurente în raport cu un punct oarecare este egală cu momentul rezultantei sistemului de forțe respectiv în raport cu același punct.

Observație

Teorema lui Varignon demonstrată mai sus pentru un sistem de forțe concurente este valabilă pentru toate sistemele de forțe particulare, deci și pentru forțele coplanare și paralele.

1.10 CUPLU DE FORȚE. MOMENTUL UNUI CUPLU

Două forțe, egale în modul (mărime), paralele, de sensuri contrare și având suporturi diferite, formează un cuplu de forțe (fig. 1.16).

Distanța d dintre dreptele Δ_1 și Δ_2 se numește bratul cuplului iar planul (π) ce conține aceste suporturi, plan de acțiune a cuplului.

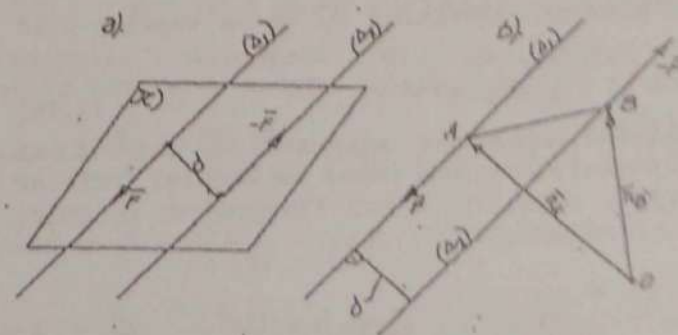


Fig. 1.16

Proprietăți:

1. Suma proiecțiilor forțelor ce alcătuiesc orice cuplu, pe o axă oarecare este nulă.
2. Suma momentelor forțelor ce alcătuiesc orice cuplu în raport cu un punct oarecare este un vector liber, constant în mărime, direcție și sens, numit moment al cuplului \vec{M}_C . Pentru demonstrarea proprietății vom considera un cuplu arbitrar \vec{F} , $-\vec{F}$ și un punct arbitrar O (fig. 1.16.a). Notând cu \vec{r}_A și \vec{r}_B vectorii de poziție a punctelor de aplicație ale forțelor \vec{F} și $-\vec{F}$ vom avea:

$$\vec{M}_O = \vec{M}_C = \vec{r}_A \times \vec{F} + \vec{r}_B \times (-\vec{F}) = (\vec{r}_A - \vec{r}_B) \times \vec{F}$$

Dar, așa cum rezultă din figura 1.16.b, $\vec{r}_A = \vec{r}_B + \vec{BA}$, din care $\vec{r}_A - \vec{r}_B = \vec{BA}$. Înlocuind această diferență în expresia momentului \vec{M}_C de mai sus se obține:

$$\vec{M}_C = \vec{BA} \times \vec{F} \quad (1.24)$$

Momentul cuplului \vec{M}_C are direcția perpendiculară pe planul (π) al cuplului și modulul (mărimea)

$$M_C = F \cdot BA \sin(\vec{BA}, \vec{F})$$

Observând că $BA \sin(\vec{BA}, \vec{F}) = d$ reprezintă brațul cuplului, modulul momentului \vec{M}_C se va exprima prin relația:

$$M_C = F \cdot d \quad (1.25)$$

Analizând structura acestora se observă că momentul cuplului depinde numai de modulul forțelor și de brațul cuplului, fiind independent de polul unde se calculează.

1.11 EXEMPLE DE CALCUL

Exemplul 1.11.1

Să se determine proiecțiile forțelor date în figura 1.17 pe axele Ox și Oz .

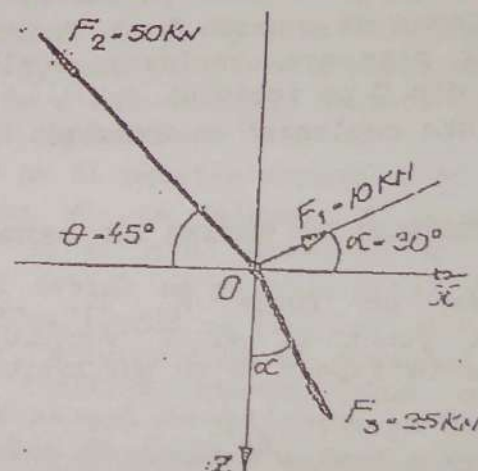


Fig. 1.17

Rezolvare.

$$p_{r\vec{F}_1} / O_x = F_1 \cos \alpha = 10 \cos 30^\circ = \frac{10\sqrt{3}}{2} = 5\sqrt{3} \text{ kN}$$

$$p_{r\vec{F}_2} / O_x = -F_2 \cos \theta = -50 \cos 45^\circ = -25\sqrt{2} \text{ kN}$$

$$p_{r\vec{F}_3} / O_x = F_3 \cos(90 - \alpha) = F_3 \sin \alpha = 25 \sin 30^\circ = 12,5 \text{ kN}$$

$$p_{r\vec{F}_1} / O_z = -F_1 \cos(90 - 30) = -F_1 \sin 30^\circ = -10 \cdot \frac{1}{2} = -5 \text{ kN}$$

$$p_{r\vec{F}_2} / O_z = -F_2 \cos(90 - 45) = -F_2 \sin 45^\circ = -50 \cdot \frac{\sqrt{2}}{2} = -25\sqrt{2} \text{ kN}$$

$$p_{r\vec{F}_3} / O_z = F_3 \cos \alpha = 25 \cos 30^\circ = 25 \cdot \frac{\sqrt{3}}{2} = 12,5\sqrt{3} \text{ kN}$$

Exemplul 1.11.2

Un sistem de forțe $\vec{F}_1 = 20 \text{ kN}$, $\vec{F}_2 = 30 \text{ kN}$ și $\vec{F}_3 = 50 \text{ kN}$ acționând după elementele unei prisme dreptunghiulare de laturi $b \times b \times h = 3 \times 4 \times 3$ (fig. 1.16).

Se cere:

a) Proiecția forțelor pe axele sistemului de referință $Oxyz$. b) Expresia analitică a rezultantei sistemului de forțe, modulul și direcția acesteia.

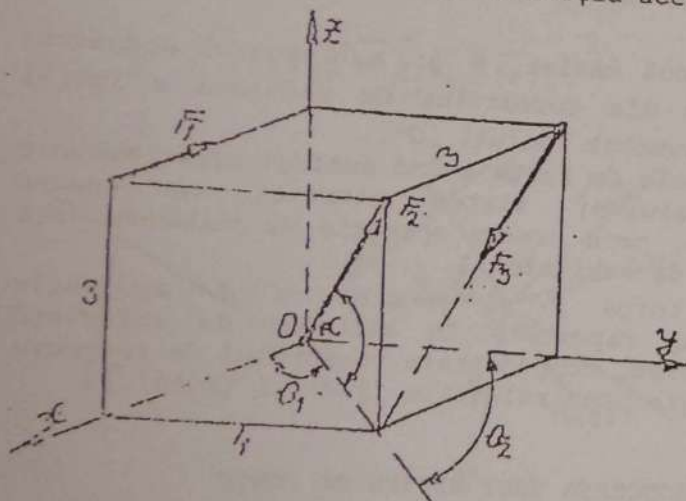


Fig. 1.18

Rezolvare

a) Folosind relația (1.3) se obțin:

$$P_r \vec{F}_1 / O_x = F_{1x} = F_1 \cos 0 = -20 \text{ kN}$$

$$P_r \vec{F}_2 / O_x = F_{2x} = F_2 \cos \alpha \cdot \cos \theta_1 = 30 \cdot \frac{5}{\sqrt{34}} \cdot \frac{3}{5} = 15,435 \text{ kN}$$

$$P_r \vec{F}_3 / O_x = F_{3x} = F_3 \cos 45^\circ = 35,355 \text{ kN}$$

$$P_r \vec{F}_1 / O_y = 0 (\vec{F}_1 \perp \text{planul } Oyz)$$

$$P_r \vec{F}_2 / O_y = F_{2y} = F_2 \cos \alpha \cdot \cos \theta_2 = 30 \cdot \frac{5}{\sqrt{34}} \cdot \frac{4}{5} = 21,910 \text{ kN}$$

$$P_r \vec{F}_3 / O_y = 0 (O_y \perp \text{planul } Oxz)$$

$$P_r \vec{F}_1 / O_z = F_{1z} = 0 (\vec{F}_1 \perp \text{planul } Oyz)$$

$$P_r \vec{F}_2 / O_z = F_{2z} = F_2 \cdot \frac{3}{\sqrt{34}} = \frac{30 \times 5}{\sqrt{34}} = 15,435 \text{ kN}$$

$$P_r \vec{F}_3 / O_z = F_{3z} = -F_3 \cos 45^\circ = -35,355 \text{ kN}$$

b) Utilizând relația (1.17)

$$R_x = \sum_{i=1}^3 F_{ix} = -20 + 15,435 + 35,355 = 30,790 \text{ kN}$$

$$R_y = \sum_{i=1}^3 F_{iy} = 0 + 21,910 + 0 = 21,910 \text{ kN}$$

$$R_z = \sum_{i=1}^3 F_{iz} = 0 + 15,435 - 35,355 = -20,920 \text{ kN}$$

Expresia analitică a rezultantei:

$$\vec{R} = R_x \vec{i} + R_y \vec{j} + R_z \vec{k} = 30,790 \vec{i} + 21,910 \vec{j} - 20,920 \vec{k}$$

Modulul rezultantei:

$$|\vec{R}| = R = \sqrt{30,79^2 + 21,91^2 + (-20,92)^2} = 43,194 \text{ kN}$$

Cosinușii directori ai rezultantei și unghiurile făcute de acesta cu axele Ox , Oy și Oz :

$$\cos \alpha = \frac{R_x}{R} = \frac{30,79}{43,194} = 0,712 ; \alpha = 44^\circ 32'$$

$$\cos \beta = \frac{R_y}{R} = \frac{21,91}{43,194} = 0,507 ; \beta = 59^\circ 31'$$

$$\cos \gamma = \frac{R_z}{R} = \frac{-20,92}{43,194} = -0,484 ; \gamma = 61^\circ 2'$$

CAPITOLUL 2

REDUCEREA FORTELOR ȘI A SISTEMELOR DE FORȚE

2.1 REDUCEREA UNEI FORȚE ÎNTR-UN PUNCT OARECARE

Fie un sistem material oarecare reprezentat prin corpul C și un punct A al acestuia în care acționează o forță \vec{F} pe suportul Δ (fig. 2.1, a).

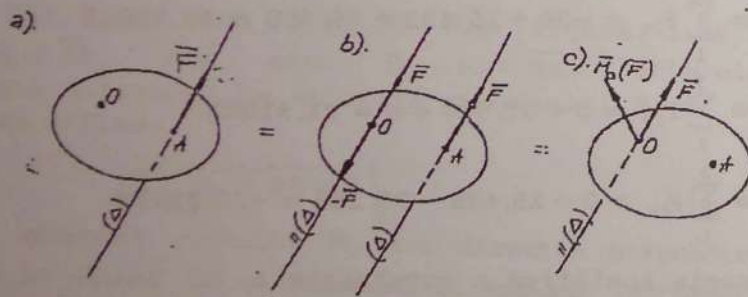


Fig. 2.1

Prin reducere a forței \vec{F} în punctul arbitrar O se înțelege determinarea celui mai simplu sistem de mărimi mecanice care aplicate în O să aibă asupra corpului același efect cu cel al forței \vec{F} aplicate în A.

Pentru găsirea acestuia vom duce prin punctul „O” dreapta $\Delta' \parallel \Delta$ și vom construi în acest punct perechile de forțe \vec{F} și $-\vec{F}$ (fig. 2.1, b). Efectul celor 3 forțe asupra corpului C este identic cu cel al forței \vec{F} aplicate în A deoarece forțele \vec{F} și $-\vec{F}$ aplicate în O se anulează reciproc. Dar forța \vec{F}

aplicată în A și forța $-\vec{F}$ aplicată în O formează un cuplu de moment $\vec{M}_O(\vec{F})$.

Înlocuind în O efectul acestora prin momentul menționat, se obțin mărimile mecanice \vec{F} și $\vec{M}_O(\vec{F})$ aplicate în „O” (fig. 2.1, c) care au asupra corpului același efect mecanic cu cel al forței \vec{F} aplicate în A (fig. 2.1, a).

În concluzie, o forță \vec{F} se reduce într-un punct arbitrar „O” la o forță egală în modul, direcție și sens cu forța dată și la un cuplu $\vec{M}_O(\vec{F})$ reprezentând momentul forței în raport cu punctul „O”.

Cele două mărimi, \vec{F} și $\vec{M}_O(\vec{F})$ poartă denumirea de elemente ale torsorului de reducere a forței date \vec{F} în punctul (polul) „O”.

Sistemele de forțe având același efect mecanic asupra aceluiași sistem material se numesc echivalente, prin urmare operația de reducere este o operație de echivalență.

Dacă forța \vec{F} și punctul ei de aplicație A(x,y) sunt raportate în sistemul de referință cartezian Oxyz, componentele torsorului de reducere sunt definite prin relațiile (1.8) și (1.20).

2.2 REDUCEREA UNUI SISTEM DE FORȚE

Să considerăm acum un sistem de forțe $\vec{F}_1, \vec{F}_2, \dots, \vec{F}_n$, având punctele de aplicație A_1, A_2, \dots, A_n acționând pe suporturile $\Delta_1, \Delta_2, \dots, \Delta_n$ și un pol arbitrar de reducere „O” (fig. 2.2, a). Reducând forță cu forță, în polul considerat se va obține:

- un sistem de forțe concurente $\vec{F}_1, \vec{F}_2, \dots, \vec{F}_n$ (fig. 2.2, b) având rezultanta

$$\vec{R} = \sum_{i=1}^n \vec{F}_i \quad (2.1)$$

• un sistem de vectori moment $\vec{M}_{oi}(\vec{F}_i) = \vec{r}_i \times \vec{F}_i$ concurenți în același pol O , a cărui rezultantă este vectorul moment resultant

$$\vec{M}_o = \sum_{i=1}^n \vec{M}_{oi}(\vec{F}_i) = \sum_{i=1}^n \vec{r}_i \times \vec{F}_i \quad (2.2)$$

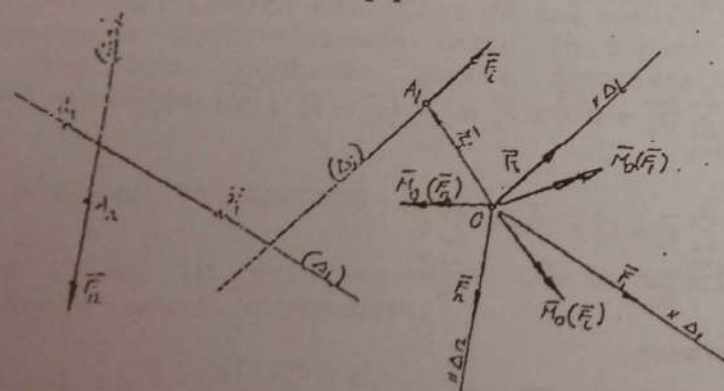


Fig. 2.2

Vectorii \vec{R} și \vec{M}_o definiți prin relațiile (2.1) și (2.2) formează elementele torsorului de reducere a sistemului de forțe în raport cu polul „O”. Rezultă deci că un sistem oarecare de forțe se reduce în raport cu un punct arbitrar ales „O” la o rezultantă \vec{R} și la un moment \vec{M}_o .

Dacă forțele \vec{F}_i și punctele lor de aplicație $A_i(x_i, y_i, z_i)$, $i = 1, 2, \dots, n$, sunt raportate în sistemul cartezian de referință Oxyz, rezultanta \vec{R} și momentul \vec{M}_o au expresiile:

$$\vec{R} = R_x \vec{i} + R_y \vec{j} + R_z \vec{k} \quad (2.3)$$

$$\begin{aligned} \vec{M}_o &= \sum_{i=1}^n \begin{vmatrix} \vec{i} & \vec{j} & \vec{k} \\ x_i & y_i & z_i \\ F_{ix} & F_{iy} & F_{iz} \end{vmatrix} = \sum_{i=1}^n (y_i F_{iz} - z_i F_{iy}) \vec{i} + \\ &+ \sum_{i=1}^n (z_i F_{ix} - x_i F_{iz}) \vec{j} + \sum_{i=1}^n (x_i F_{iy} - y_i F_{ix}) \vec{k} = \\ &= M_{ox} \vec{i} + M_{oy} \vec{j} + M_{oz} \vec{k} \end{aligned} \quad (2.4)$$

în care $R_x = \sum_{i=1}^n F_{ix}$, $R_y = \sum_{i=1}^n F_{iy}$, $R_z = \sum_{i=1}^n F_{iz}$, reprezintă suma proiecțiilor tuturor forțelor pe axele Ox , Oy și respectiv Oz , iar

$$\begin{aligned} M_{ox} &= \sum_{i=1}^n (y_i F_{iz} - z_i F_{iy}); \quad M_{oy} = \sum_{i=1}^n (z_i F_{ix} - x_i F_{iz}); \\ M_{oz} &= \sum_{i=1}^n (x_i F_{iy} - y_i F_{ix}), \end{aligned}$$

proiecțiile pe aceleași axe ale vectorului moment \vec{M}_o .

Având expresiile analitice ale rezultantei \vec{R} și a momentului \vec{M}_o , modulele acestora și direcțiile lor se calculează cu relațiile:

$$R = |\vec{R}| = \sqrt{R_x^2 + R_y^2 + R_z^2} \quad (2.5)$$

$$M_o = |\vec{M}_o| = \sqrt{M_{ox}^2 + M_{oy}^2 + M_{oz}^2} \quad (2.6)$$

$$\begin{aligned} \cos(\vec{R}, Ox) &= \frac{R_x}{R}; \quad \cos(\vec{M}_o, Ox) = \frac{M_{ox}}{M} \\ \cos(\vec{R}, Oy) &= \frac{R_y}{R}; \quad \cos(\vec{M}_o, Oy) = \frac{M_{oy}}{M} \end{aligned} \quad (2.7)$$

$$\cos(\bar{R}, Oz) = \frac{R_z}{R}; \quad \cos(\bar{M}_0, Oz) = \frac{M_{0x}}{M}$$

2.3 PROPRIETĂȚILE ELEMENTELOR TORSORULUI DE REDUCERE

Așa cum rezultă din paragraful precedent, prin reducerea unui sistem de forțe într-un punct arbitrar ales „O” în cel mai general caz se obține o rezultantă \bar{R} și un moment resultant \bar{M}_0 , date de relațiile (2.1) și (2.2), formând elementele torsorului de reducere.

Oricare ar fi sistemul forțelor reduse, vectorii \bar{R} și \bar{M}_0 se bucură de următoarele proprietăți:

1) Rezultanta \bar{R} nu se modifică cu schimbarea polului de reducere ($R = \text{const.}$). Ea se obține cu ajutorul poligonului forțelor care este o construcție independentă de pol.

Urmare a acestei proprietăți, rezultanta \bar{R} poartă denumirea de invariant vectorial al reducerii sistemului de forțe.

2) Momentul resultant \bar{M}_0 se modifică odată cu schimbarea polului de reducere.

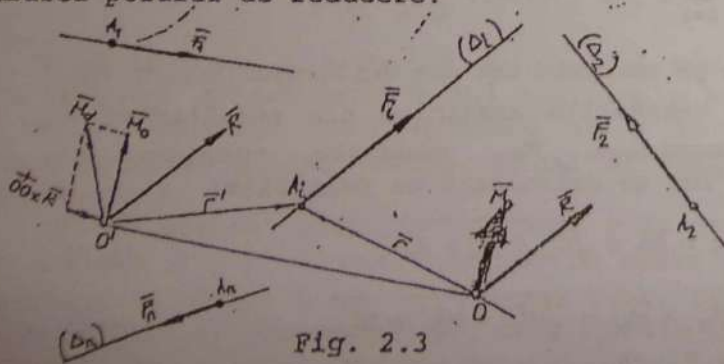


Fig. 2.3

Pentru a demonstra acest lucru vom considera sistemul de forțe oarecare $\bar{F}_1, \bar{F}_2, \dots, \bar{F}_n$ (Fig. 2.3) al cărui moment, calculat în polul arbitrar O, este dat de relația:

$$\bar{M}_0 = \sum_{i=1}^n \bar{r}_i \times \bar{F}_i$$

Schimbând polul de reducere în O' , momentul aceluiași sistem de forțe, în raport cu noul pol, va fi:

$$\bar{M}_{O'} = \sum_{i=1}^n \bar{r}'_i \times \bar{F}_i$$

Observând că $\bar{r}'_i = \bar{r}_i + \bar{O'O}$, expresia momentului $\bar{M}_{O'}$ devine:

$$\begin{aligned} \bar{M}_{O'} &= \sum_{i=1}^n (\bar{r}_i + \bar{O'O}) \times \bar{F}_i = \sum_{i=1}^n (\bar{r}_i \times \bar{F}_i + \bar{O'O} \times \bar{F}_i) = \\ &= \underbrace{\sum_{i=1}^n \bar{r}_i \times \bar{F}_i}_{\bar{M}_0} + \bar{O'O} \times \underbrace{\sum_{i=1}^n \bar{F}_i}_{\bar{R}} \end{aligned}$$

Prin urmare,

$$\bar{M}_{O'} = \bar{M}_0 + \bar{O'O} \times \bar{R} \quad (2.8)$$

Relația (2.8) exprimă legea de variație a momentului resultant al unui sistem de forțe cu modificarea polului de reducere, care se enunță astfel:

Momentul resultant al unui sistem de forțe într-un nou pol O' este egal cu momentul resultant calculat în vechiul pol O la care se adaugă

momentul $\vec{O} \times \vec{R}$ al rezultantei aplicato în O în raport cu polul O .

În baza proprietăților de mai sus, elementele torsorului de reducere a unui sistem de forțe diferă de la un pol de reducere la altul, numai prin componenta moment \vec{M}_O .

Când această este minimă, torsorul corespunzător (\vec{R}, \vec{M}_{min}) se numește torsor minimal.

Locul geometric al punctelor în raport cu care un sistem de forțe $\vec{F}_i (i = 1, 2, \dots, n)$ se reduce la torsorul minimal poartă denumirea de axă centrală.

Reducerea unui sistem de forțe în raport cu puncte ale axei centrale poartă denumirea de reducere canonică.

2.4 CAZURI DE REDUCERE

În raport de valorile \vec{R} și \vec{M}_O se disting următoarele cazuri de reducere:

Cazul I: $\vec{R} \neq 0$; $\vec{M}_O \neq 0$.

Forțele ce conduc la un astfel de torsor sunt reprezentate prin sisteme oarecare ce se reduc într-un pol arbitrar „ O ” la vectorii \vec{R} și \vec{M}_O a căror direcții fac între ele un unghi α .

Sistemul admite axă centrală în raport cu punctele căreia vectorii \vec{R} și \vec{M}_O sunt coliniari (torsorul minimal).

Efectul mecanic al acestuia este o translație pe direcția și în sensul forței \vec{R} și o rotație în jurul suportului comun, motiv pentru care acest torsor poartă denumirea de șurub, răsucitor sau dinam.

Cazul II: $\vec{R} \neq 0$; $\vec{M}_O = 0$.

Sistemele de forțe având acest torsor se reduc într-un pol arbitrar O la un moment \vec{M}_O perpendicular pe rezultanta \vec{R} , ($\vec{M}_O \perp \vec{R}$) sau la un moment nul ($\vec{M}_O = 0$).

În raport cu puncte ale axei centrale un astfel de sistem se reduce la o forță rezultantă unică \vec{R} , coliniară cu axa respectivă.

Cazul III: $\vec{R} = 0$; $\vec{M}_O \neq 0$.

Sistemul de forțe este reprezentat printr-un cuplu ce se reduce la un moment invariant liber (același în orice punct din spațiu).

Cazul IV: $\vec{R} = 0$; $\vec{M}_O = 0$.

Sistemele de forțe ce dau naștere acestui torsor poartă denumirea de sisteme de forțe în echilibru, nule sau echivalente cu zero. Acest caz prezintă un interes special în domeniul construcțiilor, caracterizând starea de echilibru (repaus) a corpurilor, specifică tuturor elementelor de construcție.

Având în vedere expresiile vectorilor \vec{R} și \vec{M}_O , date de relațiile (2.3) și (2.4) condiția de echilibru a sistemului de forțe se va exprima prin relațiile:

$$\begin{aligned} R_x &= \sum F_{ix} = 0 ; M_{Ox} = \sum (y_i F_{iz} - z_i F_{iy}) = 0, \\ R_y &= \sum F_{iy} = 0 ; M_{Oy} = \sum (z_i F_{ix} - x_i F_{iz}) = 0, \\ R_z &= \sum F_{iz} = 0 ; M_{Oz} = \sum (x_i F_{iy} - y_i F_{ix}) = 0. \end{aligned} \quad (2.9)$$

Rezultă deci că echilibrul unui sistem de forțe în spațiu se exprimă prin șase ecuații scalare (ecuațiile 2.9).

Je m'appelle Alexander j'ai vingt ans

2.5 REDUCEREA SISTEMELOR DE FORȚE PARTICULARE

Sistemele de forțe concurente, coplanare și paralele formează sistemele de forțe particulare.

Privitor la operația de reducere, acestea prezintă următoarele proprietăți:

a) În raport cu un punct arbitrar din spațiu „O”, vectorul rezultat \vec{R} și momentul rezultat \vec{M}_O sunt perpendiculari ($\vec{R} \perp \vec{M}_O$).

b) Admit valabilitatea teoremei lui Varignon.

c) În raport cu orice punct O al axei centrale $M_O = M_{min} = 0$, sistemul de forțe reducându-se la o rezultantă unică \vec{R} plasată după axa centrală.

2.5.1 Reducerea sistemelor de forțe concurente

Un sistem de forțe \vec{F}_i ($i = 1, 2, \dots, n$) ale căror suporturi Δ_i ($i = 1, 2, \dots, n$) concură într-un punct „O”, formează un sistem de forțe concurente.

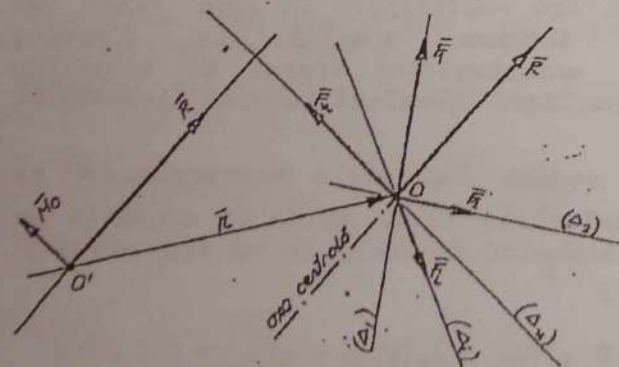


Fig. 2.4

Dacă polul de reducere este punctul de intersecție „O”, momentul rezultat \vec{M}_O este zero, iar torsorul de reducere a sistemului este format din forța

rezultantă $\vec{R} = \sum_{i=1}^n \vec{F}_i$. Suportul rezultantei trecând prin polul „O”, reprezintă axa centrală a sistemului de forțe. În raport cu punctele acesteia, forțele sistemului se reduc la o rezultantă unică \vec{R} (fig. 2.4).

Dacă polul de reducere O' nu aparține axei centrale, prin reducerea sistemului de forțe se obține un torsor $\vec{R}, \vec{M}_{O'}$ cu elementele perpendiculare, în care $\vec{M}_{O'} = \vec{R} \times \sum \vec{F}_i = \vec{R} \times \vec{R}$.

Rezultanta \vec{R} a sistemului de forțe poate fi determinată geometric (grafic) și analitic conform celor expuse la punctele (1.5.1) și (1.5.2).

La reducerea canonică sistemelor de forțe concurente, se disting următoarele două cazuri:

a) $\vec{R} \neq 0$. Sistemul de forțe concurente este echivalent cu o rezultantă unică acționând de-a lungul axei centrale care trece prin punctul de concurență al forțelor. În acest caz poligonul forțelor este deschis, rezultanta fiind vectorul obținut unind originea primei forțe cu extremitatea ultimei forțe (fig. 2.5).

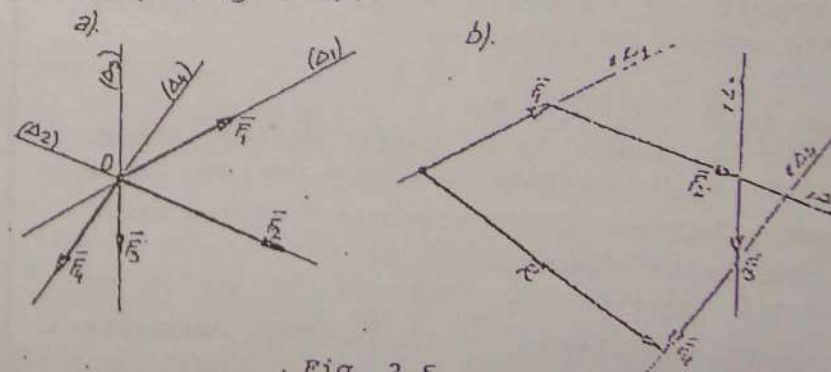


Fig. 2.5

b) $\vec{R} = 0$. Sistemul de forțe concurente este în echilibru.

Grafic acest lucru se exprimă prin faptul că poligonul forțelor este închis - originea primei forțe coincide cu extremitatea ultimei (fig. 2.6).

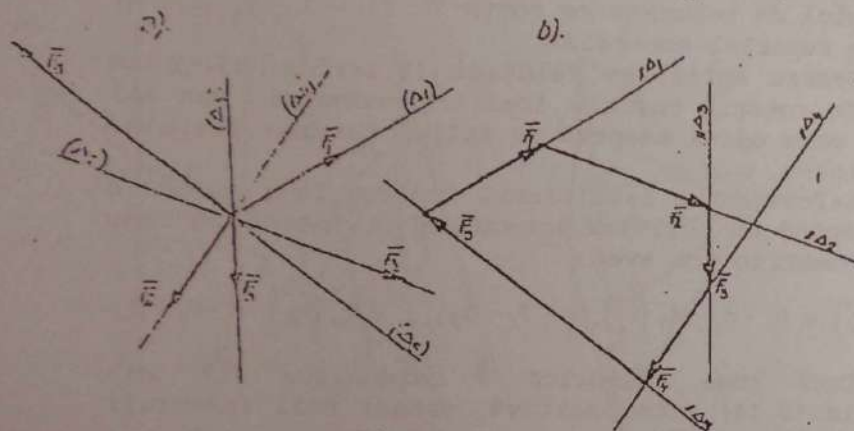


Fig. 2.6

Analitic echilibrul unui astfel de sistem se exprimă prin ecuația vectorială $\vec{R} = 0$, care, ținând seama de relațiile (1.13) și (1.13'), este echivalentă cu trei ecuații scalare de echilibru în spațiu:

$$\begin{aligned} R_x &= \sum F_{ix} = 0 \\ R_y &= \sum F_{iy} = 0 \\ R_z &= \sum F_{iz} = 0 \end{aligned} \quad (2.10)$$

și două ecuații scalare de echilibru în plan:

$$\begin{aligned} R_x &= \sum F_{ix} = 0 \\ R_y &= \sum F_{iy} = 0 \end{aligned} \quad (2.11)$$

Prin urmare, echilibrul unui sistem de forțe concurente se exprimă prin trei ecuații scalare de echilibru în spațiu (2.10) și prin două ecuații de echilibru în plan (2.11).

2.5.2 Reducerea sistemelor de forțe coplanare

O mulțime de forțe $\vec{F}_1, \vec{F}_2, \dots, \vec{F}_n$ ale căror suporturi $\Delta_1, \Delta_2, \dots, \Delta_n$ sunt conținute într-un plan (π) formează un sistem de forțe coplanare (fig. 2.7).

În raport cu un punct O arbitrar ales în planul (π) , sistemul de forțe se reduce la o rezultantă \vec{R} conținută în planul forțelor și la un vector moment rezultat \vec{M}_O perpendicular pe plan (și pe rezultanta \vec{R}):

$$\vec{R} = \sum_{i=1}^n \vec{F}_i; \quad \vec{M}_O = \sum_{i=1}^n \vec{r}_i \times \vec{F}_i \quad (2.12)$$

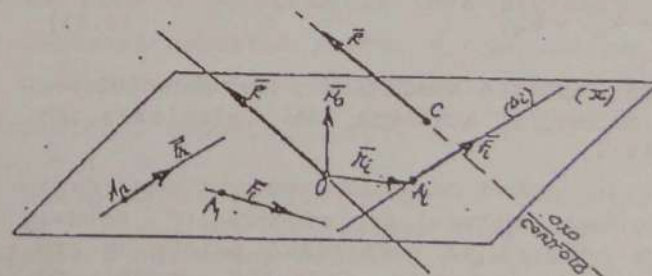


Fig. 2.7

Componentele torsorului de reducere \vec{R} și \vec{M}_O date prin relațiile vectoriale (2.12) pot fi determinate analitic și grafic.

2.5.2.a Reducerea sistemelor de forțe coplanare - soluție analitică

Se alege sistemul de referință cartezian cu originea în polul O de reducere și cu axele Ox și Oy conținute în planul forțelor (2.8).

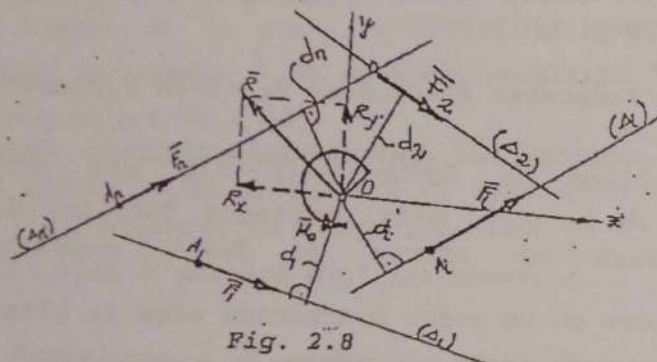


Fig. 2.8

Proiectând forțele $\vec{F}_1, \vec{F}_2, \dots, \vec{F}_n$ pe axele Ox și Oy se obțin scalarii F_{1x}, F_{1y} ($i = 1, 2, \dots, n$) a căror sume algebrice $R_x = \sum_{i=1}^n F_{1x}$, $R_y = \sum_{i=1}^n F_{1y}$ reprezintă proiecțiile rezultantei \vec{R} pe aceleași axe. Vom avea deci:

$$\vec{R} = R_x \vec{i} + R_y \vec{j} \quad (2.13)$$

Cunoscând expresia analitică a rezultantei \vec{R} , modulul și direcția acesteia se calculează cu relațiile (1.14').

Momentul \vec{M}_0 având ca efect mecanic o mișcare de rotație în jurul polului de reducere „O”, uzual, în literatura tehnică se reprezintă printr-un arc de cerc orientat, săgeata indicând sensul de rotație (fig. 2.8).

Direcția (normala la planul forțelor) și sensul (cel al mișcării de rotație) momentului

fiind cunoscute, în practica calculului se urmărește numai determinarea modulului acestuia. În acest scop se folosește relația (1.16) care se extinde la toate forțele:

$$M_0 = \sum_{i=1}^n F_i \cdot d_i \quad (2.14)$$

d_i reprezentând lungimea perpendicularei coborâtă din polul de reducere pe forța \vec{F}_i ($i = 1, 2, \dots, n$) sau pe suportul acesteia.

Pentru aplicarea relației (2.14) se alege un sens de rotație pozitiv (cel trigonometric sau cel orar) care odată adoptat se aplică tuturor forțelor din sistem.

Referindu-ne la sistemul indicat în figura 2.8 și alegând ca pozitive momentele ce rotesc în sens trigonometric vom avea:

$$M_0(\vec{F}_1) = F_1 \cdot d_1; M_0(\vec{F}_2) = -F_2 \cdot d_2; \dots; M_0(\vec{F}_n) = -F_n \cdot d_n$$

Dacă suma algebrică a termenilor $F_i d_i$ din relația (2.14) este pozitivă, sensul real (natural) al momentului \vec{M}_0 este același cu cel adoptat ca pozitiv pentru momentele forțelor \vec{F}_i ; dacă aceeași sumă este negativă, sensul momentului \vec{M}_0 este invers celui ales ca pozitiv.

2.5.2.b Reducerea sistemelor de forțe coplanare - soluție grafică

Componentele tursorului de reducere \vec{R} , \vec{M}_0 ale unui sistem de forțe coplanare se pot determina grafic cu ajutorul poligonului forțelor și a poligonului funicular (fig. 2.9).

Fie sistemul de forțe $\vec{F}_1, \vec{F}_2, \vec{F}_3 \dots \vec{F}_n$ acționând pe suportii $A_1, A_2, A_3 \dots A_n$, reprezentate grafic în figura 2.9,a (utilizând în acest scop o scară a lungimilor și o scară a forțelor) și un pol arbitrar de reducere O , ales în planul forțelor.

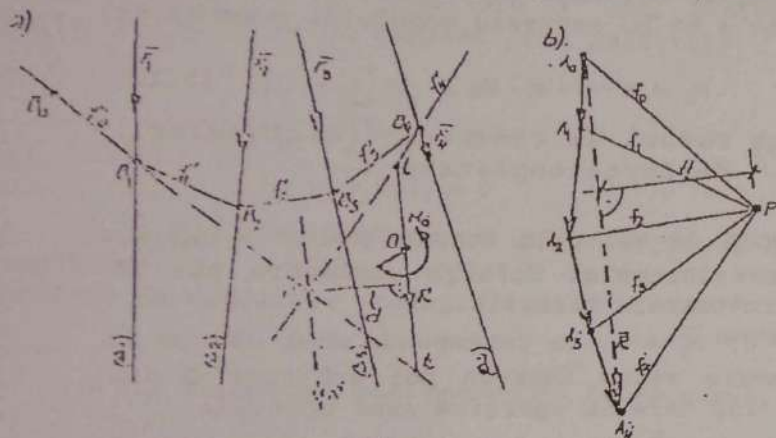


Fig. 2.9

Modulul și direcția forței rezultante \vec{R} se obțin cu ajutorul poligonului forțelor a căror construcție este următoarea (fig. 2.9,b): se alege un punct arbitrar A_0 în care se reprezintă un vector echivalent al forței \vec{F}_1 . Se obține astfel punctul A_1 . Cu originea în A_1 se construiește vectorul echivalent al forței \vec{F}_2 și se obține punctul A_2 . În A_2 se construiește vectorul echivalent al forței \vec{F}_3 și se obține punctul A_3 . Pentru un sistem de n forțe se procedează identic cu toate forțele, obținându-se astfel punctul A_n . Unind punctul A_1 cu A_n se obține rezultanta \vec{R} a sistemului de forțe ca modul $R = |\vec{A_0 A_n}|$, direcție

(direcția segmentului $\vec{A_0 A_n}$) și sens (de la A_0 la A_n).

Pentru precizarea poziției acesteia în planul forțelor se efectuează următoarea construcție simplă: se alege un punct arbitrar P numit "pol" din care se duc dreptele $PA_0, PA_1, PA_2 \dots PA_n$ numite raze polare, notate pe desen cu $f_1, f_2, f_3, \dots, f_n$.

În baza construcției rezultate se observă că fiecare forță din poligonul forțelor poate fi exprimată vectorial prin câte două raze polare:

$$\begin{aligned}\vec{F}_1 &= \vec{f}_0 + \vec{f}_1; \\ \vec{F}_2 &= -\vec{f}_1 + \vec{f}_2 \\ \vec{F}_3 &= -\vec{f}_2 + \vec{f}_3 \\ &\vdots \\ \vec{F}_n &= -\vec{f}_{n-1} + \vec{f}_n\end{aligned}\quad (2.15)$$

Pentru a înlocui în planul de acțiune al forțelor (2.9,a) vectorii \vec{F}_i prin componentele acestora f_{i-1}, f_i se alege un punct arbitrar B_0 prin care se duce o paralelă la raza vectorie \vec{f}_0 până intersectează suportul forței \vec{F}_1 ; se obține punctul B_1 . Ducând prin B_1 o paralelă la \vec{f}_1 până intersectează suportul forței \vec{F}_2 ; se obține punctul B_2 ș.a.m.d.

Unind aceste puncte se obține linia poligonală $B_1 - B_2 - B_3 \dots B_n$, numită poligon funicular (forma de echilibru a cablurilor funiculare acționate de forțe active concentrate).

Considerând acțiunea vectorilor $\vec{f}_1, \vec{f}_2, \dots, \vec{f}_n$ (din poligonul forțelor - fig.2.9,b) pe direcția laturilor poligonului funicular ($B_0 B_1, B_1 B_2, \dots, B_{n-1} B_n$) se observă că fiecare forță din planul de acțiune al acestora (fig.2.9,a) este reprezentată prin suma corespunzătoare din membrul doi al ecuației (2.15).

Adunând membru cu membru egalitățile date de relațiile (2.15) se obține:

$$\begin{aligned} \vec{F}_1 + \vec{F}_2 + \dots + \vec{F}_n = \vec{R} = \vec{F}_0 + \vec{F}_1 - \vec{F}_1 + \vec{F}_2 - \vec{F}_2 + \dots + \\ + \vec{F}_{n-1} - \vec{F}_{n-1} + \vec{F}_n = \vec{F}_0 + \vec{F}_n \end{aligned}$$

sau

$$\vec{R} = \vec{F}_0 + \vec{F}_n \quad (2.16)$$

Relația (2.16) indică faptul că sistemul inițial de forțe (fig. 2.9,a) este echivalent cu rezultanta vectorilor \vec{F}_0 și \vec{F}_n acționând pe direcțiile primei și ultimei laturi a poligonului funicular.

Cum suportul rezultantei a doi vectori trece prin punctul de intersecție a direcțiilor acestora, rezultă că forța rezultantă \vec{R} a sistemului de forțe coplanare va trece prin punctul "C" de intersecție a primei și ultimei laturi a poligonului funicular.

Ducând prin "C" o paralelă la $\overline{A_0A_n}$ ($\overline{A_0A_n}$) din poligonul forțelor se obține poziția rezultantei \vec{R} în planul forțelor (fig. 2.9,a).

Conform teoremei lui Varignon, momentul sistemului de forțe în raport cu polul "O" arbitrar ales în planul forțelor este egal cu momentul rezultantei \vec{R} în raport cu același punct:

$$M_0 = R \cdot d \quad (2.17)$$

Ducând prin "O" o dreaptă paralelă paralelă la rezultanta \vec{R} aceasta va intersecta prima și ultima latură a poligonului funicular în punctele k și l ce determină segmentul $m = kl$.

Din asemănarea triunghiurilor $kO'l$ cu PA_0A_n vom avea: $\frac{m}{d} = \frac{R}{H}$ sau $R \cdot d = H \cdot m$ dar, $R \cdot d = M_0$, prin urmare

$$M_0 = m \cdot H \quad (2.18)$$

unde s-a notat cu H perpendiculara din P coborâtă pe \vec{R} numită *distanță polară*.

Dacă scările forțelor și distanțelor utilizate în desen sunt a și b, expresia modulului momentului devine:

$$M_0 = a \cdot b \cdot m \cdot H \quad (2.19)$$

2.5.2.c Cazuri de reducere a sistemelor de forțe coplanare

În raport de valorile componentelor \vec{R} și \vec{M}_0 la reducerea sistemelor de forțe coplanare pot fi întâlnite următoarele cazuri:

Cazul I $\vec{R} \neq 0$; $\vec{M}_0 \neq 0$, ce corespunde unui sistem de forțe coplanare redus într-un pol arbitrar O din planul forțelor care nu aparține axei centrale.

Rezultanta \vec{R} este conținută în planul forțelor, iar momentul \vec{M}_0 este perpendicular pe același plan. Axa centrală este conținută în planul forțelor și este paralelă cu suportul rezultantei \vec{R} (fig. 2.7).

Cazul II $\vec{R} \neq 0$; $\vec{M}_0 = 0$. Polul de reducere este situat pe axa centrală care este coliniară cu suportul rezultantei \vec{R} .

Cazul III $\vec{R} = 0$; $\vec{M}_0 \neq 0$. Sistemul redus este alcătuit din unul sau mai multe cupluri acționând în planul de acțiune al forțelor.

Cazul IV $\vec{R} = 0$; $\vec{M}_0 = 0$ corespunde sistemelor de forțe coplanare în echilibru.

Având în vedere expresia vectorului \vec{R} dată de relația (2.13) și a momentului \vec{M}_0 dată de relația (2.14), condiția de echilibru a unui sistem de forțe coplanare se va exprima prin relațiile:

$$\begin{aligned} R_x &= \sum F_{ix} = 0 \\ R_y &= \sum F_{iy} = 0 \\ M_0 &= \sum F_i l_i = 0 \end{aligned} \quad (2.20)$$

În concluzie, echilibrul unui sistem de forțe coplanare se exprimă analitic prin 3 ecuații scalare de echilibru (relațiile 2.20).

2.5.3 Reducerea sistemelor de forțe paralele

Un sistem de forțe \vec{F}_i ($i = 1, 2, \dots, n$) ale căror suporturi A_i sunt paralele cu o direcție fixă din spațiu formează un sistem de forțe paralele.

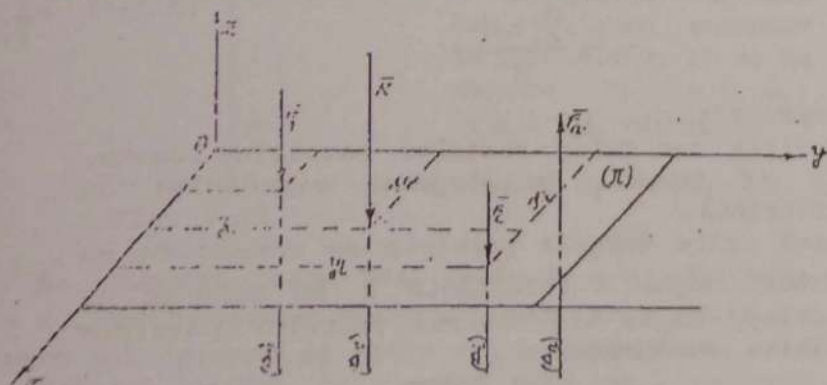


Fig. 2.10

Reducând forțele menționate în raport cu un pol arbitrar O (fig. 2.10) se obține:

- o forță rezultantă \vec{R} având direcția paralelă cu suporturile forțelor \vec{F}_i și modulul egal cu suma algebrică a modulelor forțelor sistemului.

$$R = \sum F_i \quad (2.21)$$

- un moment \vec{M}_0 perpendicular pe direcția rezultantei \vec{R} , având o direcție oarecare în planul π normal pe forțe și conținând polul O de reducere. Alegând un sistem de referință Oxyz cu originea în punctul O și planul xOy, același cu planul π , vectorul \vec{M}_0 va avea pe axele Ox și Oy componentele:

$$\begin{aligned} M_{0x} &= \sum y_i F_i, \\ M_{0y} &= \sum x_i F_i, \end{aligned} \quad (2.23)$$

reprezentând momentele forțelor \vec{F}_i în raport cu axele menționate. Cunoscând valoarea acestora, modulul momentului \vec{M}_0 se calculează cu relația:

$$M_0 = \sqrt{M_{0x}^2 + M_{0y}^2} \quad (2.23)$$

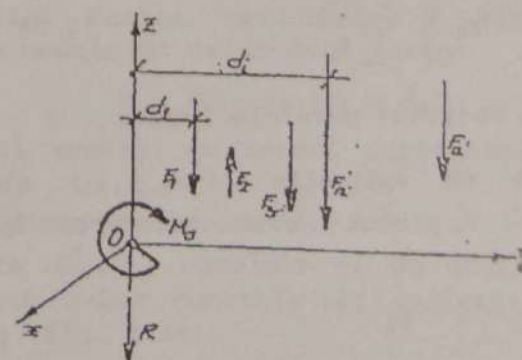


Fig. 2.11

Dacă forțele paralele \vec{F}_i sunt coplanare, conținute spre exemplu în planul yOz (fig. 2.11) distanțele acestora la axele Ox și Oy au valorile $x_i = 0$; $y_i = d_i$, astfel că momentul lor în raport cu polul arbitrar O din planul forțelor este dat de relația

$$M_O = M_{Ox} = \sum F_i d_i \quad (2.23')$$

În raport cu puncte $C(x_R, y_R)$ ale axei centrale (suportului Δ_R al rezultantei) un sistem de forțe paralele se reduce la o forță unică \vec{R} , ($\vec{M}_C = 0$) paralelă cu direcția comună a forțelor și coliniară cu axa centrală având modulul dat de relația (2.21). Coordonatele (x_R, y_R) ale unui punct de pe suportul rezultantei \vec{R} se obțin exprimând teorema lui Varignon în raport cu axele Ox și Oy . Se obține $\sum F_i x_i = x_R R$; $\sum F_i y_i = y_R R$, din care rezultă:

$$\begin{aligned} x_R &= \frac{\sum x_i F_i}{\sum F_i}, \\ y_R &= \frac{\sum y_i F_i}{\sum F_i}. \end{aligned} \quad (2.24)$$

Dacă sistemul de forțe paralele este coplanar (fig. 2.11), conținut în planul yOz , coordonata $x_C = 0$ astfel că suportul rezultantei Δ_R va fi dat de coordonata:

$$y_R = \frac{\sum y_i F_i}{\sum F_i} \quad (2.24')$$

2.5.4 Centrul forțelor paralele legate

Dacă punctele de aplicație $A_i(x_i, y_i, z_i)$ ale forțelor paralele \vec{F}_i sunt bine precizate pe

suporturile lor, acestea formează un sistem de forțe paralele legate. Rezultanta acestora este un vector legat având punctul de aplicație $C(x_C, y_C, z_C)$ fix, bine precizat, numit centrul forțelor paralele legate.

Aplicând teorema lui Varignon în raport cu axele Ox , Oy , Oz aparținând unui sistem de referință cartezian cu originea într-un pol arbitrar O din spațiu, se obțin: $\sum x_i F_i = x_C R$, $\sum y_i F_i = y_C R$, $\sum z_i F_i = z_C R$, din care rezultă:

$$\begin{aligned} x_C &= \frac{\sum x_i F_i}{R}, \\ y_C &= \frac{\sum y_i F_i}{R}, \\ z_C &= \frac{\sum z_i F_i}{R}. \end{aligned} \quad (2.25)$$

Dacă sistemul de forțe legate este plan, conținut în planul xOz , coordonatele punctelor de aplicație ale acestora vor fi $A_i(0, y_i, z_i)$.

Cu această particularizare ($x_i = 0$), din relațiile (2.5) se obțin expresiile coordonatelor centrului forțelor paralele plane legate:

$$\begin{aligned} y_C &= \frac{\sum y_i F_i}{R}, \\ z_C &= \frac{\sum z_i F_i}{R}. \end{aligned} \quad (2.25')$$

Proprietăți:

1. Poziția centrului forțelor paralele legate, C , nu depinde de alegerea sistemului de referință.
2. Dacă toate forțele paralele se rotesc cu un anumit unghi α rezultanta \vec{R} se rotește cu același unghi iar centrul forțelor paralele rămâne neschimbat.

3. Dacă modulele tuturor forțelor se multiplică sau se divizează cu un scalar $\lambda \neq 0$, poziția centrului forțelor paralele nu se modifică.

2.5.5 Operații simple cu forțe paralele

a. Compunerea a două forțe paralele legate având același sens (fig. 2.12)

Fiind date forțele paralele \vec{F}_1 și \vec{F}_2 având cunoscute punctele de aplicație în A_1 și A_2 se cere modulul și punctul de aplicație al rezultantei acestora \vec{F} (direcția și sensul ei fiind același cu cel al forțelor \vec{F}_1 și \vec{F}_2).

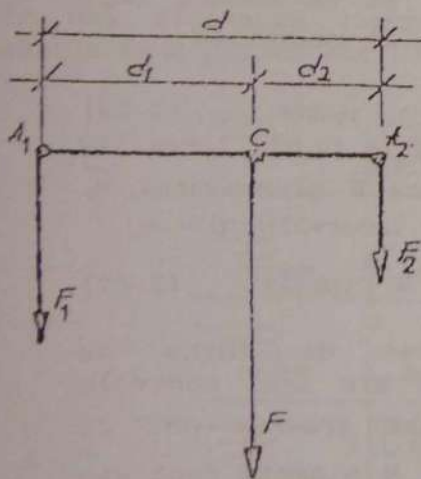


Fig. 2.12

Se observă ușor că dacă $F_2 < F_1$ distanța $d_2 > d_1$, prin urmare centrul celor două forțe se găsește mai aproape de forța cea mai mare.

Modulul forței rezultante este egal cu suma acestora:

$$F = F_1 + F_2$$

Pentru rezolvarea problemei se notează cu d_1 , d_2 și d distanțele (lungimile perpendicularelor) dintre suportul forțelor $\vec{F}_1 : \vec{F}$, $\vec{F}_2 : \vec{F}$ și respectiv $\vec{F}_1 : \vec{F}_2$.

Aplicând teorema lui Varignon succesiv în punctele A_1 și A_2 se obține: $F_2 \cdot d = F \cdot d_1$; $F_1 \cdot d = F \cdot d_2$ din care

$$\text{rezultă } d_1 = \frac{F_2}{F} d; d_2 = \frac{F_1}{F} d.$$

b. Compunerea a două forțe paralele legate de sensuri opuse (fig. 2.13)

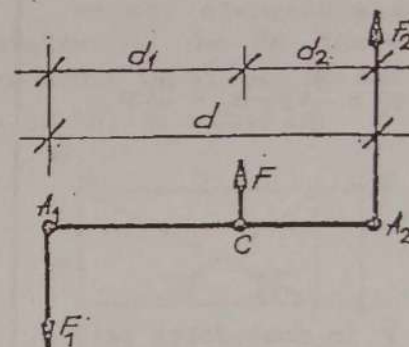


Fig. 2.13

Făcând raportul celor două distanțe se obține:

$$\frac{d_1}{d_2} = \frac{F_2}{F_1}$$

În consecință, centrul C al forțelor paralele împarte segmentul A_1A_2 în părți invers proporționale cu mărimile forțelor componente.

Modulul forței rezultante \vec{F} este egal cu diferența modulelor celor două forțe:

$$F = F_1 - F_2 \quad (F_1 > F_2)$$

iar sensul același cu sensul forței având modulul mai mare.

c. Descompunerea unei forțe \vec{F} în două componente (\vec{F}_1, \vec{F}_2) paralele și de același sens cu forța dată având punctele de aplicație A_1 și A_2 cunoscute (fig. 2.14).

Fie \vec{F}_1 și \vec{F}_2 două forțe paralele legate de sensuri contrare și \vec{F} rezultanta acestora. Cu notațiile din figură, teorema lui Varignon aplicată în punctele A_1 și A_2 se exprimă prin relațiile:

$$F_2 \cdot d = F \cdot d_1;$$

$$F_1 \cdot d = F \cdot d_2;$$

din care rezultă

$$d_1 = \frac{F_2}{F} d; d_2 = \frac{F_1}{F} d.$$

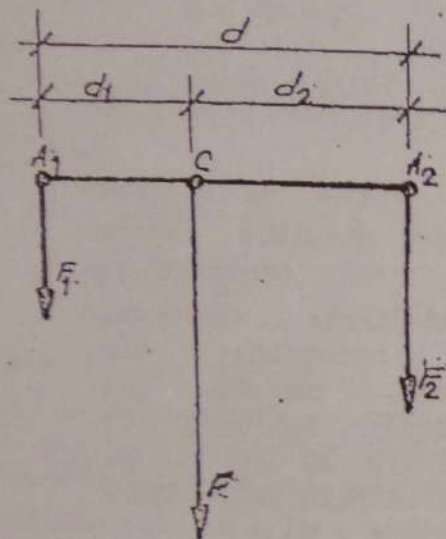


Fig. 2.14

Pentru obținerea
forțelor \bar{F}_1 și \bar{F}_2 se
aplică teorema lui
Varignon în punctele A_1
și A_2 . Se obțin astfel
relațiile:
 $F_2 \cdot d = F \cdot d_1$; $F_1 \cdot d = F \cdot d_2$
din care

$$F_1 = \frac{d_2}{d} F; F_2 = \frac{d_1}{d} F.$$

d. Descompunerea unei forțe \bar{F} în două forțe pa-
ralele (\bar{F}_1, \bar{F}_2) de sensuri opuse cu forța dată și având
punctele de aplicatie cunoscute A_1 și A_2 (fig. 2.15).

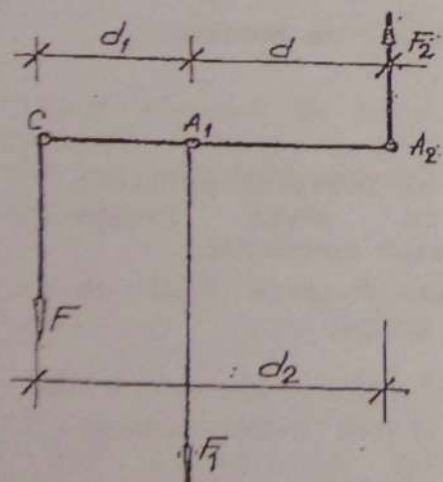


Fig. 2.15

Cunoscând forța
 \bar{F} și distanțele d_1, d_2
și d , se aplică
teorema lui Varignon
în punctele A_1 și A_2 .
Se obține:
 $F \cdot d_1 = F_2 \cdot d$;
 $F \cdot d_2 = F_1 \cdot d$ din care

$$F_1 = \frac{d_2}{d} F;$$

$$F_2 = \frac{d_1}{d} F$$

2.5.6 Reducerea sistemelor de forțe paralele continuu distribuite

Fie un sistem de forțe continuu paralele și
normale pe o axă Ox a căror lege de variație este
dată de $p = p(x)$ și un element diferențial al axei,
 dx având abscisa x (fig. 2.16).

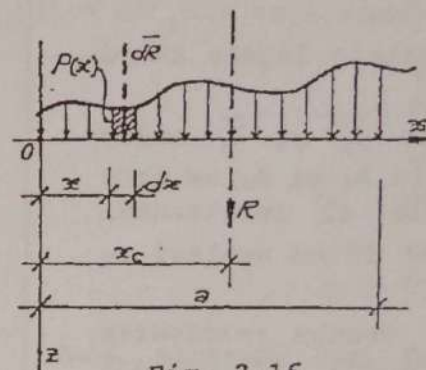


Fig. 2.16

Cum segmentul dx
poate fi luat oricât
de mic, forțele $p(x)$
acționând asupra ace-
stui se pot considera
constante. Reduse în
raport cu punctul O
acestea vor avea ca
elemente ale torsoru-
lui o forță elementară
 $d\bar{R}$ și un moment $d\bar{M}_0$,
dat de relațiile:

$$d\bar{R} = p(x)dx; d\bar{M}_0 = x \cdot p(x)dx \quad (2.26)$$

Integrând membru cu membru funcțiile (2.26) între li-
mitele O și a se obține rezultanta \bar{R} și momentul \bar{M}_0
al forțelor continuu acționând pe intervalul $O - a$.

$$R = \int_0^a p(x)dx; M_0 = \int_0^a x p(x)dx \quad (2.27)$$

Dacă reducerea sistemului de forțe se
efectuează în raport cu puncte ale axei centrale
"C" momentul \bar{M}_0 este zero iar acestea pot fi
înlocuite cu o rezultantă unică \bar{R} plasată după axa
centrală, definită prin abscisa x_C . Pentru
determinarea acesteia se exprimă teorema lui
Varignon în punctul O : $M_0 = x_C \cdot R$ din care

$$x_C = M_0/R \quad (2.28)$$

Înlocuind în relația (2.28) valorile lui M_0 și R date de relațiile (2.27) se obține:

$$x_c = \frac{\int_0^a x p(x) dx}{\int_0^a p(x) dx} \quad (2.29)$$

Observând că $\int_0^a p(x) dx$ reprezintă suprafața pe

care sunt distribuite forțele continue iar x_c poziția centrului de greutate al acesteia rezultă că forțele paralele continue pot fi înlocuite prin forțe concentrate echivalente, (cu același efect mecanic ca și forța continuă) având intensitatea egală cu aria suprafeței pe care sunt distribuite, paralele cu acestea și trecând prin centrul de greutate al suprafeței menționate. În domeniul construcțiilor cele mai frecvente tipuri de încărcări continue paralele sunt prezentate în figura 2.17.

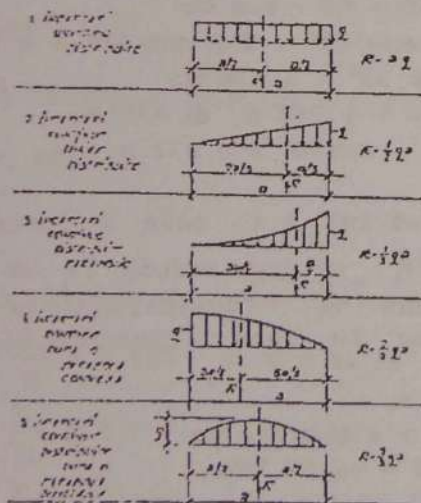


Fig. 2.17

2.6 EXEMPLE DE CALCUL

Exemplul 2.6.1

Un sistem de forțe acționează asupra unei plăci de formă dreptunghiulară ca în figura 2.18.

Se cer elementele torsesorului de reducere ale sistemului de forțe în raport cu polii de reducere O_1 și O_2 . Se dau $F_1 = 10$ kN; $F_2 = 5$ kN; $F_3 = 20$ kN; $F_4 = 2\sqrt{45}$ kN.

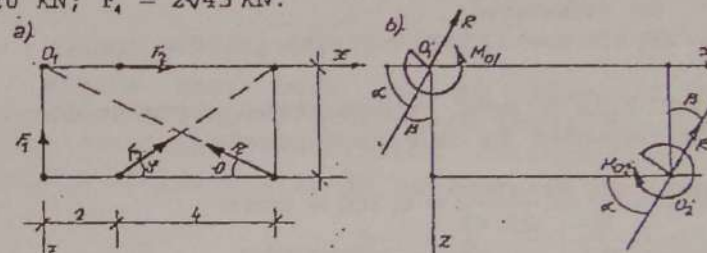


Fig. 2.18

Rezolvare

Se alege sistemul de referință Oxz ca în figură.

a) Torsesorul de reducere în O_1 :

$$R_x = \sum_1^4 F_{ix} = 0 + F_2 + F_3 \cos \varphi - F_4 \cos \theta =$$

$$= 5 + 20 \cdot \frac{4}{5} - 2 \cdot \sqrt{45} \cdot \frac{6}{\sqrt{45}} = 9 \text{ kN}$$

$$R_z = \sum_1^4 F_{iz} = -10 + 0 - F_3 \cos (90 - \varphi) - F_4 \cos (90 - \theta) =$$

$$= -10 - 20 \sin \varphi - 2 \cdot \sqrt{45} \sin \theta =$$

$$= -10 - 20 \cdot \frac{3}{5} - 2 \cdot \sqrt{45} \cdot \frac{3}{\sqrt{45}} = -28 \text{ kN}$$

$$R = \sqrt{R_x^2 + R_z^2} = 29,41 \text{ kN}$$

Alegând ca sens pozitiv pentru momente sensul trigonometric vom avea:

$$M_{O1} = 3F_2 \cdot \cos \varphi + 2F_3 \cdot \sin \varphi = F_3(3 \cos \varphi + 2 \sin \varphi) = \\ = 20 \left(3 \cdot \frac{4}{5} + 2 \cdot \frac{3}{5} \right) = 72 \text{ kNm}$$

b) Torsorul de reducere în O_2 :

$R = 29,41 \text{ kN}$ (nu se modifică cu modificarea polului de reducere)

$$M_{O2} = -6F_1 - 3F_2 - 4F_3 \sin \alpha = -123 \text{ kNm (rotește în sens orar)}$$

În figura 2.18,b sunt reprezentate elementele torsorului de reducere în cele două puncte.

$$\cos(\bar{R}, O_x) = \frac{R_x}{R} = \frac{9}{29,41} = 0,306 = \cos \alpha$$

$$\cos(\bar{R}, O_z) = \frac{R_z}{R} = -\frac{28}{29,41} = -0,925 = \cos \beta$$

$$\text{Rezultă } \alpha = 72^\circ 10'; \beta = 17^\circ 50'$$

Exemplul 2.6.2

Un sistem de forțe $F_1 = 15 \text{ kN}$, $F_2 = 8 \text{ kN}$ și $F_3 = 50 \text{ kN}$ acționează asupra unui panou pe direcțiile și cu sensurile indicate în figura 2.19. Se cere să se identifice particularitatea sistemului de forțe și corespunzător acestuia să se facă reducerea lor într-un punct arbitrar "O".

Rezolvare

Se observă că două câte două din forțele sistemului sunt egale în module, de sensuri opuse și acționează pe suporturi paraleli distincți. În consecință, sistemul de forțe este compus din 3 cupluri: $(\vec{F}_1, -\vec{F}_1)$; $(\vec{F}_2, -\vec{F}_2)$ și $(\vec{F}_3, -\vec{F}_3)$.

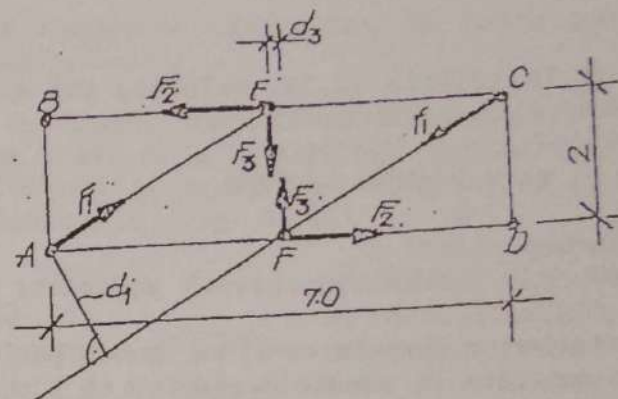


Fig. 2.19

Pentru determinarea brațului de pârghie al cuplului $(\vec{F}_1, -\vec{F}_1)$ se coboară din A o perpendiculară pe direcția CF. Din considerente geometrice vom avea:

$$d_1 = AF \cdot \cos(90^\circ - \alpha) = AF \cdot \sin \alpha = 0,5 \cdot AF$$

$$CF = AE; AF = AD - CF \cdot \cos \alpha;$$

$$CF = AE = AD / \cos 60^\circ = 2 / \cos 60^\circ = 4 \text{ m};$$

$$AF = 7 - 4 \cdot \cos 30^\circ = 3,536 \text{ m};$$

$$d_1 = 0,5 \times 3,536 = 1,768 \text{ m}; d_2 = 2 \text{ m};$$

$$d_3 = 7 - 2 \cdot AE \cdot \cos 30^\circ = 0,072 \text{ m}.$$

Conform paragrafului 2.4, cele 6 forțe $(\vec{F}_1, -\vec{F}_1, \vec{F}_2, -\vec{F}_2, \vec{F}_3, -\vec{F}_3)$ se vor reduce la un cuplu rezultat de moment M_c . Considerând momentele ce rotesc în sens trigonometric, se obține:

$$M_c = -F_1 d_1 + F_2 d_2 + F_3 d_3 =$$

$$= -15 \times 1,768 + 8 \times 2 + 0,072 \times 50 =$$

$$= -26,52 + 16 + 3,60 = -6,92 \text{ kNm}$$

(semnul minus indică faptul că momentul M_c rotește în sens orar)

Exemplul 2.6.3

Pe muchiile unui cub de latură a (fig. 2.20) și masă neglijabilă acționează forțele $F_1 = 5 \text{ kN}$; $F_2 = 4 \text{ kN}$; $F_3 = 8 \text{ kN}$ și $F_4 = 6 \text{ kN}$.

Se cere elementele torsorului de reducere a sistemului de forțe în polul arbitrar "O".

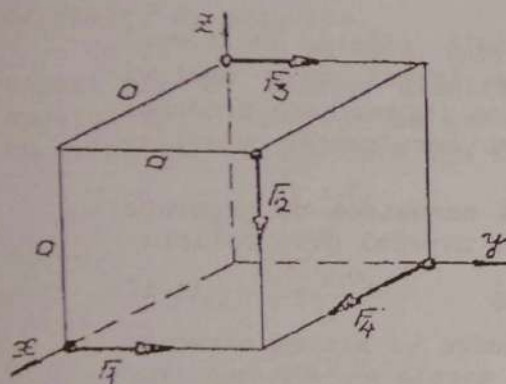


Fig. 2.20

Rezolvare

Se alege un sistem de referință Oxyz cu originea în polul de reducere O. Conform aliniatului 2.2, sistemul de forțe se reduce la o rezultantă \bar{R} având forma din relația (2.3) și un moment M_0 dat de expresia (2.4).

Vom avea:

$$R_x = \sum_{i=1}^4 F_{ix} = F_4 = 6 \text{ kN}; R_y = F_1 + F_2 + F_3 = 5 + 8 + 4 = 17 \text{ kN},$$

$$R_z = -F_2 = -4 \text{ kN}$$

cu care

$$\bar{R} = 6\bar{i} + 17\bar{j} - 4\bar{k}, R = \sqrt{36 + 289 + 16} = 19,6 \text{ kN}$$

$$\cos \alpha = \frac{R_x}{R} = 0,306 \rightarrow \alpha = 72^\circ 12'$$

$$\cos \beta = \frac{R_y}{R} = 0,867 \rightarrow \beta = 29^\circ 1'$$

$$\cos \gamma = \frac{R_z}{R} = -0,204 \rightarrow \gamma = 101^\circ 23'$$

$$\begin{aligned} \bar{M}_0 &= \begin{vmatrix} \bar{i} & \bar{j} & \bar{k} \\ a & 0 & 0 \\ 0 & F_1 & 0 \end{vmatrix} + \begin{vmatrix} \bar{i} & \bar{j} & \bar{k} \\ a & a & a \\ 0 & 0 & F_2 \end{vmatrix} + \begin{vmatrix} \bar{i} & \bar{j} & \bar{k} \\ 0 & 0 & a \\ 0 & F_3 & 0 \end{vmatrix} + \begin{vmatrix} \bar{i} & \bar{j} & \bar{k} \\ 0 & a & 0 \\ F_4 & 0 & 0 \end{vmatrix} = \\ &= -a(-\bar{k}F_1) + F_2(a\bar{i} - a\bar{j}) - F_3a\bar{i} + F_4a\bar{k} = \\ &= a(F_2 - F_3)\bar{i} - aF_2\bar{j} + aF_1\bar{k} = -4a\bar{i} - 4a\bar{j} + 5a\bar{k} \end{aligned}$$

$$M_0 = \sqrt{a^2(16 + 16 + 25)} = 7,550 \cdot a$$

Exemplul 2.6.4

Asupra unei bare liniare (fig. 2.21) de greutate neglijabilă acționează forța $F = 100 \text{ kN}$, forța continuă, distribuită triunghiular, $q = 20 \text{ kN/m}$ și forța $P = 60 \text{ kN}$ ce formează un unghi $\alpha = 30^\circ$ cu bara.

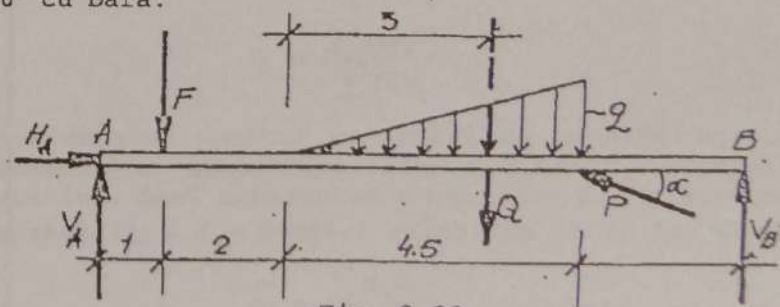


Fig. 2.21

Se cere să se determine forțele H_A , V_A și V_B astfel încât acestea împreună cu forțele date să formeze un sistem echivalent cu zero.

Rezolvare

Se exprimă condiția de echivalență dată de relația (2.20), înlocuind forțele continue prin forța concentrată:

$$Q = \frac{4,5 \times q}{2} = \frac{4,5 \times 20}{2} = 45 \text{ kN}, \text{ vom avea:}$$

$$R_x = \sum F_{ix} = H_A - P \cos \alpha = 0$$

$$R_y = \sum F_{iy} = V_A - F - Q + P \sin \alpha + V_B = 0$$

$$M_A = -1F - 6Q + 7,5P \sin \alpha + 10V_B = 0,$$

Rezolvând ecuațiile de mai sus se obține:

$$V_B = \frac{1}{10} (1 \cdot 100 + 6 \cdot 45 - 7,5 \cdot 60 \sin 30^\circ) = 59,50 \text{ kN}$$

$$V_A = \frac{1}{10} (9 \cdot 100 + 4 \cdot 45 - 2,5 \cdot 60 \sin 60^\circ) = 115,50 \text{ kN}$$

$$H_A = P \cos 30^\circ = 60 \frac{\sqrt{3}}{2} = 30\sqrt{3} \text{ N}$$

CAPITOLUL 3

CENTRE DE GREUTATE (MASĂ)

3.1 DETERMINAREA CENTRELOR DE GREUTATE

Orice particulă materială aflată în câmpul gravitațional terestru este atrasă spre centrul Pământului cu o forță având ca intensitate produsul dintre masa particulei m și accelerația gravitațională \bar{g} .

Generic, aceasta poartă denumirea de greutate a particulei materiale. Ea se exprimă prin relația:

$$\bar{G}_i = m_i \bar{g} \quad (3.1)$$

Să considerăm în continuare un sistem oarecare de particule (corpuri) având masele $m_1, m_2, \dots, m_i, \dots, m_n$, și greutățile $\bar{G}_1, \bar{G}_2, \bar{G}_i, \dots, \bar{G}_n$ (fig. 3.1).

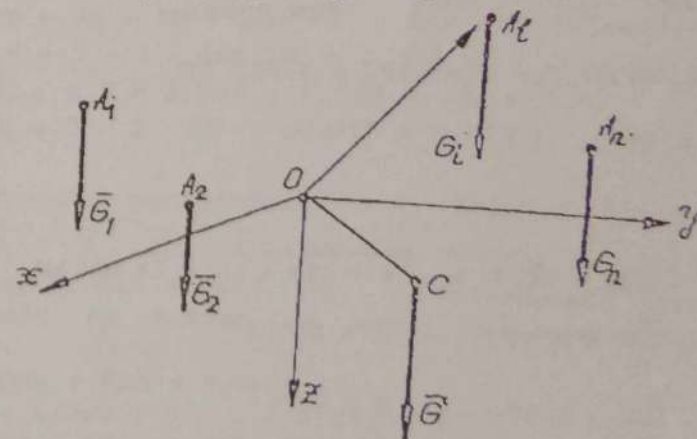


Fig. 3.1

Cum distanțele dintre acestea sunt neglijabile în raport cu raza Pământului, forțele \vec{G}_i pot fi considerate (cu suficientă precizie) ca forțe paralele legate având același sens (spre centrul globului terestru).

Centrul sistemului acestora poartă denumirea de centru de greutate.

Ca un centru al unor forțe paralele legate, în raport cu un sistem arbitrar de referință din spațiul Oxyz, centrul de greutate se va determina cu relațiile (2.25) care iau forma

$$\begin{aligned} x_G &= \frac{\sum x_i G_i}{G} \\ y_G &= \frac{\sum y_i G_i}{G} \\ z_G &= \frac{\sum z_i G_i}{G} \end{aligned} \quad (3.2)$$

În care $G_i = G_1 + G_2 + \dots + G_n = \sum_1^n G_i$ iar x_i, y_i, z_i

reprezintă coordonatele punctului de aplicație a forței G_i în sistemul de referință adoptat. Dacă în relațiile (3.2) se înlocuiesc forțele G_i cu expresiile acestora date de relația (3.1), coordonatele centrului de greutate devin:

$$\begin{aligned} x_G &= \frac{\sum x_i m_i g}{\sum m_i g} = \frac{\sum x_i m_i}{\sum m_i} = \frac{\sum x_i m_i}{M} \\ y_G &= \frac{\sum y_i m_i g}{\sum m_i g} = \frac{\sum y_i m_i}{\sum m_i} = \frac{\sum y_i m_i}{M} \\ z_G &= \frac{\sum z_i m_i g}{\sum m_i g} = \frac{\sum z_i m_i}{\sum m_i} = \frac{\sum z_i m_i}{M} \end{aligned} \quad (3.3)$$

Relațiile (3.3) definesc poziția centrului de greutate a unui sistem material pe baza maselor acestuia, motiv pentru care acest punct se mai

numește și centru de masă. Centrul de greutate al unui corp este deci identic cu centrul lui de masă. În cazul corpurilor omogene, masele m_i pot fi experimentate prin relația:

$$M_i = \rho_i V_i \quad (3.4)$$

în care V_i și ρ_i au semnificația de volum și respectiv densitate a corpului (punctului material). Cu această substituție expresia coordonatelor centrului de greutate devine:

$$\begin{aligned} x_G &= \frac{\sum x_i \rho_i V_i}{\sum \rho_i V_i} \\ y_G &= \frac{\sum y_i \rho_i V_i}{\sum \rho_i V_i} \\ z_G &= \frac{\sum z_i \rho_i V_i}{\sum \rho_i V_i} \end{aligned} \quad (3.5)$$

care exprimă poziția centrului de masă cu ajutorul elementelor geometrice ale sistemului (corpului) material. Dacă densitatea corpurilor din sistem este aceeași ($\rho_i = \rho = \text{const.}$) relațiile (3.5) iau forma:

$$\begin{aligned} x_G &= \frac{\sum x_i V_i}{\sum V_i} \\ y_G &= \frac{\sum y_i V_i}{\sum V_i} \\ z_G &= \frac{\sum z_i V_i}{\sum V_i} \end{aligned} \quad (3.6)$$

În cazul corpurilor de formă prismatică având ariile bazelor A_i și înălțimea h constantă, volumele acestora au valorile $V_i = A_i h$, iar expresiile centrului de greutate, date de relațiile (3.6), devin:

$$\begin{aligned}x_G &= \frac{\sum x_i A_i h}{\sum A_i h} = \frac{\sum x_i A_i}{\sum A_i}, \\y_G &= \frac{\sum y_i A_i}{\sum A_i} = \frac{\sum y_i A_i}{\sum A_i}, \\z_G &= \frac{\sum z_i A_i}{\sum A_i} = \frac{\sum z_i A_i}{\sum A_i}.\end{aligned}\quad (3.7)$$

Dacă suprafața A este conținută într-un singur plan, spre exemplu în planul xOy , distanțele z_i sunt egale cu zero, iar centrul de greutate $G(x_G, y_G)$ se află în planul acestuia.

Din relațiile (3.7) cu $z_i = 0$ rezultă:

$$x_G = \frac{\sum x_i A_i}{\sum A_i}; \quad y_G = \frac{\sum y_i A_i}{\sum A_i} \quad (3.8)$$

Există o altă serie de corpuri (firele), de secțiune constantă A și lungimi diferite ℓ_i .

Volumele acestora au expresia $V_i = A \cdot \ell_i$. Coordonatele centrului lor de masă rezultă operând această particularitate în relațiile

$$\begin{aligned}x_G &= \frac{\sum x_i A \cdot \ell_i}{\sum A \cdot \ell_i} = \frac{\sum x_i \ell_i}{\sum \ell_i}, \\y_G &= \frac{\sum y_i A \ell_i}{\sum A \ell_i} = \frac{\sum y_i \ell_i}{\sum \ell_i}, \\z_G &= \frac{\sum z_i A \ell_i}{\sum A \ell_i} = \frac{\sum z_i \ell_i}{\sum \ell_i}.\end{aligned}\quad (3.9)$$

Atunci când un astfel de sistem este conținut într-un singur plan, spre exemplu în planul xOy , centrul de greutate al acestuia se află în planul respectiv.

Coordonatele acestuia se obțin din relațiile (3.9) făcând $z_i = 0$:

$$x_G = \frac{\sum x_i \ell_i}{\sum \ell_i}; \quad y_G = \frac{\sum y_i \ell_i}{\sum \ell_i} \quad (3.10)$$

Relațiile (3.6) și (3.7) sunt utilizate uzual pentru determinarea centrelor de greutate a volumelor și suprafețelor de formă complexă.

În acest scop volumele și suprafețele respective se divizează în volume elementare V_i (cuburi, prisme etc.) și respectiv arii elementare (dreptunghiuri, triunghiuri etc.) a căror mărime și a căror poziție a centrelor de greutate sunt cunoscute din Geometrie.

Se alege apoi un sistem cartezian de referință (arbitrar ca poziție) și se exprimă coordonatele x_i, y_i, z_i ale volumelor V_i și ariilor A_i , obținându-se astfel toți termenii din expresiile (3.6), (3.7), (3.8), (3.9) și (3.10) după caz.

Pentru exemplificare, vom exprima mai jos coordonatele centrului de greutate a corpului din figura 3.2 în raport cu sistemul cartezian cu axele O_x, O_y și O_z , dirijate după muchiile prismei de laturi a_1, b_1, c_1 .

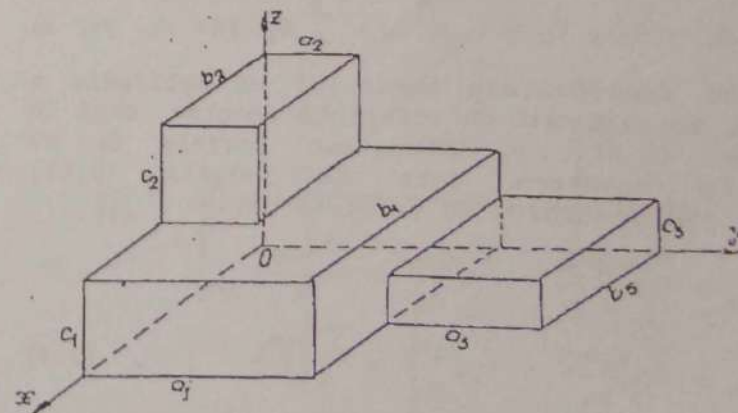


Fig. 3.2

Observând că geometria volumului dat cuprinde 3 corpuri pe care le vom nota cu 1, 2 și 3, expresiile coordonatelor date de relație (3.6) iau forma:

$$\begin{aligned}x_G &= \frac{x_1 V_1 + x_2 V_2 + x_3 V_3}{V_1 + V_2 + V_3} \\y_G &= \frac{y_1 V_1 + y_2 V_2 + y_3 V_3}{V_1 + V_2 + V_3} \\z_G &= \frac{z_1 V_1 + z_2 V_2 + z_3 V_3}{V_1 + V_2 + V_3}\end{aligned}\quad (3.11)$$

în care $x_1 = 0,5b_1$; $y_1 = 0,5a_1$; $z_1 = 0,5c_1$; $x_2 = 0,5b_2$; $y_2 = 0,5a_2$; $z_2 = 0,5c_2$; $x_3 = 0,5b_3$; $y_3 = 0,5a_3$; $z_3 = 0,5c_3$; $V_1 = a_1 b_1 c_1$; $V_2 = a_2 b_2 c_2$; $V_3 = a_3 b_3 c_3$. Pentru suprafața indicată în figura 3.3, coordonatele centrului de greutate vor fi:

$$\begin{aligned}x_G &= \frac{x_1 A_1 + x_2 A_2 + x_3 A_3}{A_1 + A_2 + A_3} \\y_G &= \frac{y_1 A_1 + y_2 A_2 + y_3 A_3}{A_1 + A_2 + A_3}\end{aligned}\quad (3.12)$$

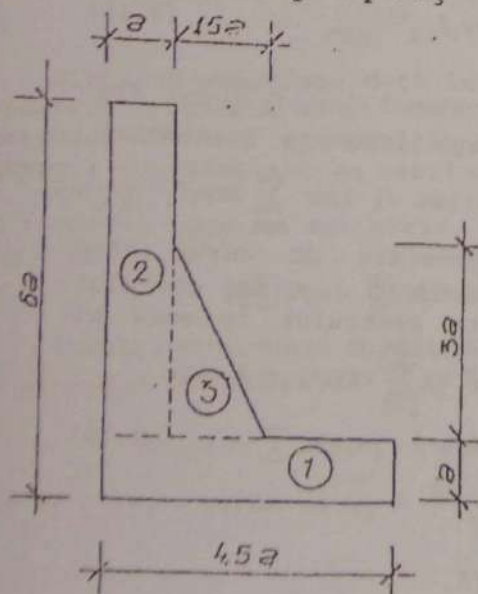


Fig. 3.3

în care:

$$A_1 = 4,5a \times a = 4,5a^2;$$

$$A_2 = \frac{1}{2} 1,5a \times 3a = 2,25a^2;$$

$$A_3 = 5a \times a = 5a^2;$$

$$x_1 = 2,25a;$$

$$x_2 = a + \frac{1}{3} 1,5a = 1,5a;$$

$$x_3 = 2,25a;$$

$$y_1 = 0,5a;$$

$$y_2 = a + \frac{1}{3} 3a = 2a;$$

$$y_3 = a + 2,5a = 3,5a.$$

3.2 PROPRIETĂȚILE CENTRELOR DE GREUTATE

a) Poziția centrului de masă al unui sistem de puncte (corpuri) materiale nu depinde de poziția sistemului de referință ales.

b) Poziția centrului de masă nu se modifică dacă masele sistemului dat se amplifică sau se micșorează în același raport.

c) Dacă un corp admite un plan de simetrie (fig. 3.4,a) o axă de simetrie (fig. 3.4,b,c,d) sau un centru de simetrie (fig. 3.4,e,f), centrul de greutate al acestuia se va găsi în acel plan, pe acea axă sau în acel centru (v. fig. 3.4).

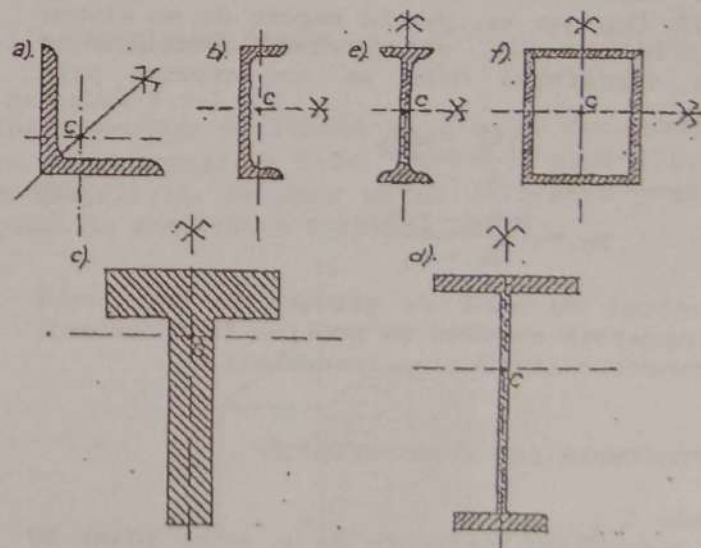


Fig. 3.4

d) Dacă un volum dat V poate fi considerat ca obținut dintr-un volum V_1 prin scăderea unui alt volum V_2 (a se vedea exemplul 3.4.1) și dacă se

cunosc coordonatele centrelor de greutate ale acestora $(x_1, y_1, z_1; x_2, y_2, z_2)$ în raport cu un sistem cartezian arbitrar de referință $Oxyz$, coordonatele centrului de greutate ale volumului V se exprimă prin relația:

$$\begin{aligned} x_G &= \frac{x_1 V_1 - x_2 V_2}{V_1 - V_2} \\ y_G &= \frac{y_1 V_1 - y_2 V_2}{V_1 - V_2} \\ z_G &= \frac{z_1 V_1 - z_2 V_2}{V_1 - V_2} \end{aligned} \quad (3.13)$$

e) Dacă o suprafață A poate fi considerată ca obținută dintr-o arie A_1 prin scăderea unei arii A_2 și dacă se cunosc coordonatele centrelor de masă ale acestora $(x_1, y_1; x_2, y_2)$ în raport de un sistem cartezian arbitrar xOy , coordonatele centrului de greutate a suprafeței date se vor exprima prin relațiile:

$$\begin{aligned} x_G &= \frac{x_1 A_1 - x_2 A_2}{A_1 - A_2} \\ y_G &= \frac{y_1 A_1 - y_2 A_2}{A_1 - A_2} \end{aligned} \quad (3.14)$$

f) Centrul de masă se găsește în interiorul oricărei suprafețe convexe ce conține în interiorul ei toate punctele sistemului (corpului).

3.3 TEOREMELE LUI GULDIN-PAPPUS

Teorema I

Aria suprafeței generate de o curbă plană BD care se rotește în jurul unei axe din planul curbei (dar care nu intersectează curba) este egală cu lungimea curbei înmulțită cu lungimea arcului descris de centrul de greutate al curbei (fig. 3.5).

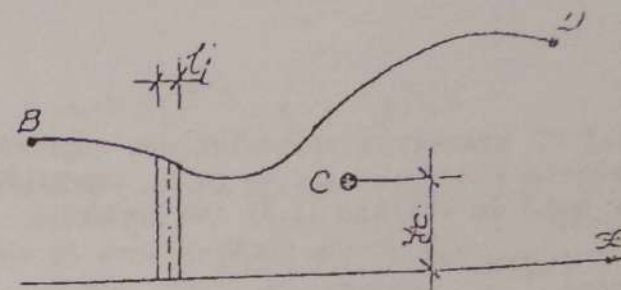


Fig. 3.5

Demonstrație

Conform relației (3.9) $y_G = \frac{\sum y_i l_i}{\sum l_i}$, care se mai scrie $y_G \sum l_i = \sum y_i l_i$.

Înmulțind fiecare membru al egalității de mai sus cu 2π și ținând seama că $\sum l_i = \ell$ reprezintă lungimea curbei BD , vom avea $2\pi y_G \ell = \sum_{i=1}^n 2\pi y_i l_i$ sau

$$2\pi y_G \ell = \sum_{i=1}^n 2\pi y_i l_i \quad (3.15)$$

În relația (3.15), produsul $2\pi y_i \cdot l_i$ (vezi fig. 3.5) reprezintă o suprafață laterală elementară, circulară de rază y_i și lățime l_i iar $\sum_{i=1}^n 2\pi y_i l_i$ aria laterală a suprafeței generate de curbă prin rotație. Similar, $2\pi y_G$ reprezintă lungimea cercului de rază egală cu ordonata centrului de masă al curbei. Vom avea deci $2\pi y_G \ell = \sum_{i=1}^n 2\pi y_i l_i = A$ sau

$$A = 2\pi y_G \cdot \ell \quad (3.16)$$

Teorema a II-a

Volumul generat printr-o rotație completă a unei suprafețe plane în jurul unei axe situate în planul suprafeței (dar care nu intersectează suprafața) este egal cu mărimea ariei suprafeței plane înmulțită cu lungimea cercului descris de centrul de greutate a suprafeței.

Demonstrație

Fie suprafața delimitată de o curbă plană oarecare (fig. 3.6).

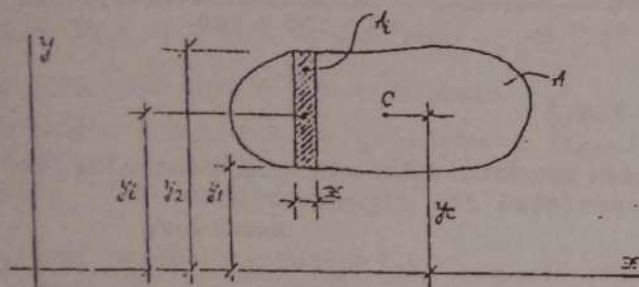


Fig. 3.6

Divizând suprafața dată într-un număr finit de suprafețe elementare de arie A_i și poziții ale centrului de masă y_i , poziția centrului de masă a întregii suprafețe se va exprima prin relația (3.7)

$$y_c = \frac{\sum y_i A_i}{\sum A_i} \text{ care se mai scrie}$$

$$y_c \sum A_i = \sum y_i A_i \quad (3.17)$$

Înmulțind fiecare membru al ecuației (3.17) cu 2π și având în vedere că $\sum A_i = A$, vom avea

$$2\pi y_c A = \sum 2\pi y_i A_i \quad (3.18)$$

Dar $A_i = (y_2 - y_1) \Delta x$ și $y_i = \frac{y_2 + y_1}{2}$, astfel că

$$2\pi y_i A_i = 2\pi \frac{y_2 + y_1}{2} \cdot (y_2 - y_1) \Delta x = \pi (y_2^2 - y_1^2) \Delta x = \pi y_2^2 \Delta x - \pi y_1^2 \Delta x.$$

Cum $\pi y_2^2 \Delta x$ și $\pi y_1^2 \Delta x$ reprezintă volumele cilindrilor elementari de raze y_2 și y_1 și cu înălțime Δx , suma $\sum_{i=1}^n 2\pi y_i A_i$ va reprezenta volumul total al corpului V generat prin rotirea curbei în jurul axei x .

Cu precizările de mai sus, ecuația (3.18) ia forma

$$V = 2\pi y_c A \quad (3.19)$$

care exprimă matematic teorema a II-a a lui Guldin-Pappus.

3.4 EXEMPLE DE CALCUL

Exemplul 3.4.1

Dintr-un cub de latura de 4 m se decupează o prismă având suprafața bazei de 2x2 m și înălțimea de 3m (fig. 3.7). Se cere să se calculeze poziția centrului de greutate a corpului rămas.

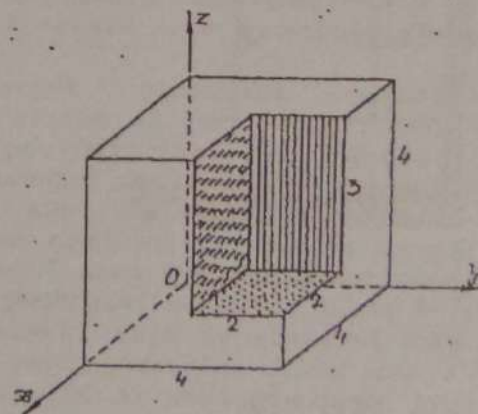


Fig. 3.7

Rezolvare

Fie $V_1 = 4 \times 4 \times 4 = 64 \text{ m}^3$. Volumul cubului nedecupat și $V_2 = 2 \times 2 \times 3 = 12 \text{ m}^3$ volumul prisme decupate. Alegând sistemul de referință ca în figură, centrele de greutate ale celor două părți vor fi: $x_1 = y_1 = z_1 = 2 \text{ m}$; $x_2 = y_2 = 3 \text{ m}$; $z_2 = 1 + 1,5 = 2,5 \text{ m}$.

Utilizând relațiile (3.11) vom avea:

$$x_G = \frac{x_1 V_1 - x_2 V_2}{V_1 - V_2} = \frac{2 \times 64 - 3 \times 12}{64 - 12} = \frac{92}{52} = \frac{23}{13} \text{ m}$$

$$y_G = \frac{y_1 V_1 - y_2 V_2}{V_1 - V_2} = \frac{2 \times 64 - 3 \times 12}{64 - 12} = \frac{23}{13} \text{ m}$$

$$z_G = \frac{z_1 V_1 - z_2 V_2}{V_1 - V_2} = \frac{2 \times 64 - 2,5 \times 12}{64 - 12} = \frac{24,5}{52} \text{ m}$$

Exemplul 3.4.2

Se cere poziția centrului de greutate pentru placa plană și omogenă din figura 3.8.

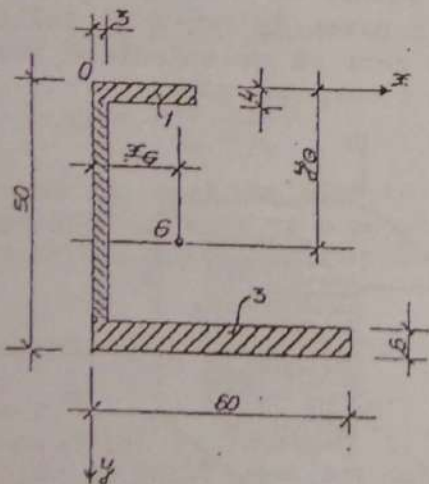


Fig. 3.8

Rezolvare

Se alege sistemul de referință xOy indicat în figură și se divizează suprafața acesteia în 3 dreptunghiuri de arii: $A_1 = 20 \times 4 = 80 \text{ cm}^2$, $A_2 = 40 \times 3 = 120 \text{ cm}^2$ și $A_3 = 60 \times 3 = 180 \text{ cm}^2$. Coordonatele curbilor de greutate ale acestora au valorile: $x_1 = 10$; $y_1 = 2$; $x_2 = 1,5$, $y_2 = 24$, $x_3 = 30$; $y_3 = 47$.

Folosind relațiile (3.8) vom avea:

$$x_G = \frac{x_1 A_1 + x_2 A_2 + x_3 A_3}{A_1 + A_2 + A_3} = \frac{10 \times 80 + 1,5 \times 120 + 30 \times 180}{80 + 120 + 180} = 16,789$$

$$y_G = \frac{y_1 A_1 + y_2 A_2 + y_3 A_3}{A_1 + A_2 + A_3} = \frac{2 \times 80 + 24 \times 120 + 47 \times 180}{80 + 120 + 180} = 30,263$$

Exemplul 3.4.3

Se cere să se determine poziția centrului de greutate al suprafeței din figura 3.7.

Rezolvare

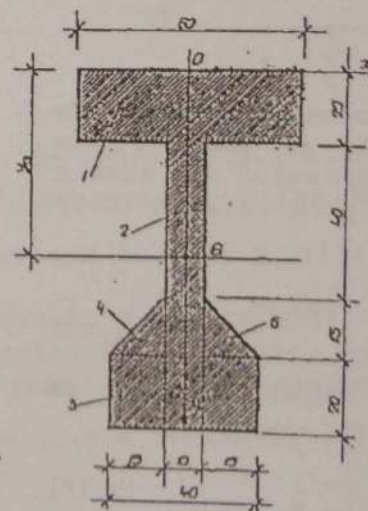


Fig. 3.9

Suprafața dată prezintă o axă de simetrie verticală, conform proprietății c din aliniatul (3.2) centrul de masă al secțiunii se va găsi pe această axă. Alegând sistemul de referință cu axa ordonatelor Oy confundată cu axa de simetrie și cu axa x tangentă laturii superioare a figurii, abscisa centrului de greutate va fi egală cu zero ($x_G = 0$).

Pentru determinarea ordonatei y_G se divizează figura în 3 dreptunghiuri, numerotate cu 1, 2 și 3, având ariile: $A_1 = 60 \times 20 = 120 \text{ cm}^2$; $A_2 = (40+15) \times 10 = 550 \text{ cm}^2$; $A_3 = 40 \times 20 = 800 \text{ cm}^2$ și două triunghiuri 4 și 5 de arii egale $A_4 = A_5 = \frac{15 \times 15}{2} = 112,5 \text{ cm}^2$.

Centrele de greutate ale figurilor simple menționate cu coordonatele:

$$y_1 = 10 \text{ cm}; y_2 = 20 + \frac{55}{2} = 47,50 \text{ cm};$$

$$y_3 = 20 + 40 + 15 + 10 = 85 \text{ cm};$$

$$y_4 = y_5 = 20 + 40 + \frac{2}{3} \cdot 15 = 70 \text{ cm}.$$

Ordonata centrului de greutate a figurii date se obține cu ajutorul celei de a doua ecuații a sistemului (3.8) care devine:

$$\begin{aligned} y_G &= \frac{A_1 y_1 + A_2 y_2 + A_3 y_3 + A_4 y_4 + A_5 y_5}{A_1 + A_2 + A_3 + A_4 + A_5} = \\ &= \frac{10 \times 120 + 47,5 \times 550 + 85 \times 800 + 2 \times 70 \times 112,5}{120 + 550 + 800 + 112,5} = 45,775 \end{aligned}$$

CAPITOLUL 4

ECHILIBRUL PUNCTULUI MATERIAL

4.1 ECHILIBRUL PUNCTULUI MATERIAL LIBER

În domeniul mecanicii, prin punct material se înțelege un corp fără dimensiuni. Dacă acesta, sub acțiunea forțelor ce îi sunt aplicate, poate ocupa orice poziție în spațiu, el poartă denumirea de punct material liber. Posibilitatea de a ocupa o astfel de poziție conferă punctului material libertatea de a se deplasa după orice direcție. O astfel de deplasare descompusă după axele unui sistem de referință cartezian $Oxyz$ prezintă componente după axele Ox , Oy și Oz , reprezentând translații în lungul acestora.

Cele 3 deplasări sus-menționate reprezintă gradele de libertate ale punctului material în spațiu.

Dacă asupra punctului material liber acționează un sistem de forțe coplanare, acesta se va deplasa pe direcția rezultantei forțelor. Componentele acestei deplasări pe axele unui sistem de referință xOy coplanar cu planul forțelor reprezintă două translații, una în lungul axei Ox și alta în lungul axei Oy , reprezentând gradele de libertate ale punctului material liber în plan.

În consecință, față de sistemul cartezian de referință, un punct material liber are 3 grade de libertate în spațiu și două grade de libertate în plan.

Forțele ce acționează asupra punctelor materiale formează totdeauna sisteme de forțe concurente (în spațiu sau plan). Ca urmare a acestui fapt, echilibrul punctului material se va exprima

prin relația (2.10) și (2.11) ce exprimă echivalența cu zero a sistemelor de forțe concurente.

Teoria echilibrului punctului material liber este folosită în domeniul tehnicii pentru rezolvarea următoarelor 3 tipuri de probleme:

a. Cunosându-se sistemul de forțe ce acționează asupra unui punct material, se cere determinarea poziției lui de echilibru.

Problemele de acest tip, numite și directe au o soluție unică, bine determinată ce se obține cu ajutorul ecuațiilor (2.10) sau (2.11), după caz.

Succesiunea operațiilor necesare rezolvării acestora este următoarea:

- se aleg parametrii geometrici ai poziției de echilibru (de exemplu, coordonatele carteziene x, y, z) ale punctului;
 - se exprimă echilibrul acestuia cu ajutorul ecuațiilor sus-menționate în care vor intra ca necunoscute parametrii geometrici aleși;
 - se rezolvă sistemul de ecuații și se interpretează rezultatele.
- Dacă sistemul de ecuații admite o infinitate de soluții, rezultă că punctul material studiat poate ocupa poziția de echilibru într-o infinitate de puncte

b. Dându-se poziția de echilibru a unui punct material se cer forțele (sistemele de forțe) ce mențin punctul în poziția respectivă. Problemele de acest tip numite și indirecte sunt nedeterminate deoarece pot fi imaginate o infinitate de sisteme de forțe care să mențină un punct material într-o anumită poziție dată.

Soluții determinate pot exista numai atunci când forțele sistemului satisfac anumite condiții privind numărul și caracteristicile unora dintre ele, în așa fel încât numărul necunoscutelor ce definesc sistemul căutat să nu depășească trei în spațiu și două în plan.

c. Având o parte a parametrilor poziției de echilibru a punctului material și o parte din caracteristicile forțelor care îi solicită, se cer celelalte caracteristici ce definesc sistemul de forțe și poziția de echilibru studiată.

Astfel de probleme au un caracter mixt și își găsesc soluții unice, bine determinate numai atunci când numărul necunoscutelor introduse în sistemele de ecuații (2.10) sau (2.11) nu depășesc numărul de 3 în spațiu și de 2 în plan.

Problemele de echilibru ale punctului material liber în care numărul necunoscutelor scalare depășește pe cel al ecuațiilor de echilibru se numesc static nedeterminate.

4.2 ECHILIBRUL PUNCTULUI MATERIAL SUPUS LA LEGĂTURI

Corpuri reale modelate prin puncte materiale libere se întâlnesc rar, în special în domeniul Mecanicii cerești și a Fizicii atomice. În tehnica construcțiilor, conceptul de punct material este unul ipotetic, ce modelează corpurile cu dimensiuni mici sau foarte mici în raport cu alte corpuri înconjurătoare. De regulă, ele sunt supuse unor restricții geometrice de a rămâne fixe într-un punct din spațiu, pe o suprafață, pe o curbă sau pe o dreaptă.

Sunt astfel suprimate unul sau mai multe din gradele de libertate pe care punctele materiale le-ar avea ca puncte materiale libere.

Un astfel de corp obligat la restricțiile menționate, poartă denumirea de punct material supus la legături sau punct material legat.

O legătură care suprimă un singur grad de libertate se numește simplă; dacă aceasta suprimă două sau mai multe grade de libertate, ea se numește complexă.

Legăturile care obligă punctul material să nu părăsească suprafața (curba sau dreaptă) într-un singur sens, poartă denumirea de legături unilaterale; dacă însă restricția se extinde la orice sens, legătura se zice bilaterală.

Practic, legăturile aplicate punctelor materiale pot fi realizate în două moduri:

a) prin fire și bare (fig. 4.1)

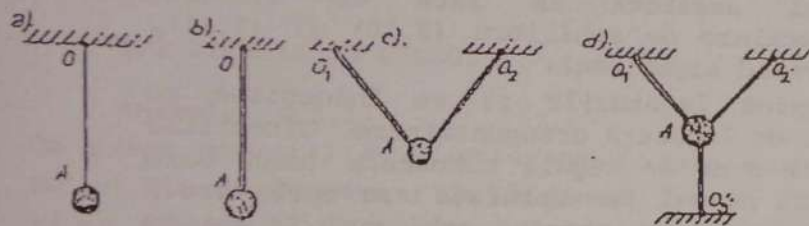


Fig. 4.1

În figura 4.1, a, punctul material este legat prin firul OA care îl obligă să rămână pe suprafața sau în interiorul sferei de rază OA și centru O; legătura este unilaterală. Legătura din figura 4.1, b este realizată printr-o bară care obligă punctul să rămână pe suprafața sferei de rază OA și centru O. Legând punctul cu două bare (fig. 4.1, c) acesta este obligat să rămână tot timpul pe cercul de intersecție a sferelor de raze O_1A_1 și O_2A_2 , cu centrele în O_1 și O_2 . Dacă punctului A i se aplică 3 legături prin bare necoplanare (fig. 4.1, d) acesta va ocupa o poziție fixă în spațiu.

b) prin restricția de a rămâne în permanență pe o suprafață lucie (plană sau curbă) sau pe o linie (dreaptă sau curbă) - fig. 4.2.

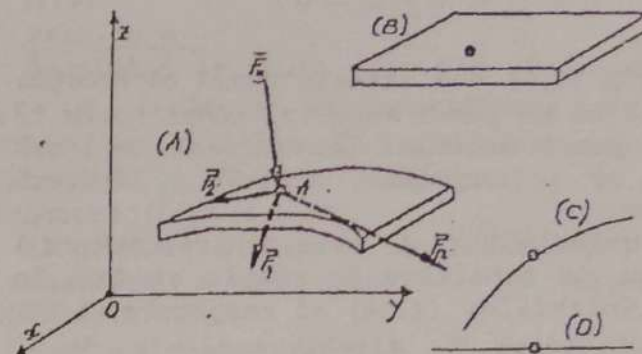


Fig. 4.2

În baza axiomei legăturilor, orice legătură aplicată punctului material este echivalentă cu o forță de legătură (denumită și reacțiune) având același efect mecanic ca și restricție geometrică respectivă.

Cum legăturile suprimă grade de libertate, forțele de legătură (echivalente mecanic cu aceste legături) vor apare totdeauna pe direcția deplasărilor împiedicate (a gradelor de libertate suprimate).

În consecință, pentru legăturile prin fire și bare (fig. 4.1), reacțiunile vor apare pe direcția acestora, iar în cazul celor materializate prin suprafețe, curbe sau drepte (fig. 4.2), prin perpendiculare pe acestea.

Suprimând legăturile aplicate punctului material și înlocuindu-le cu forțele de legătură corespunzătoare (\vec{L}_j) asupra acestuia vor acționa forțele efectiv aplicate \vec{F}_i și forțele de legătură \vec{L}_j , formând un sistem de forțe concurente.

Condiția de echilibru a punctului material revine deci la echilibrul sistemului de forțe concurente (\vec{F}_i, \vec{L}_j) care se exprimă prin ecuația vectorială:

$$\vec{R} = \sum_1^i \vec{F}_i + \sum_1^j \vec{L}_j = 0 \quad (4.1)$$

Cum ecuația (4.1) are aceeași formă cu ecuația (1.13), rezultă că un punct material legat poate fi studiat ca un punct material liber, dacă în locul legăturilor se introduc forțele legătură corespunzătoare.

Ecuația vectorială (4.1) este echivalentă cu 3 ecuații scalare de echilibru în spațiu și două în plan de tipul relațiilor (2.10) și respectiv (2.11) aplicate atât forțelor \vec{F}_i , efectiv aplicate, cât și celor de legătură \vec{L}_j .

Pentru exemplificare, vom considera un punct material A legat prin două fire OA și OB, aflat în echilibru sub acțiunea forței verticale F (fig. 4.3, a).

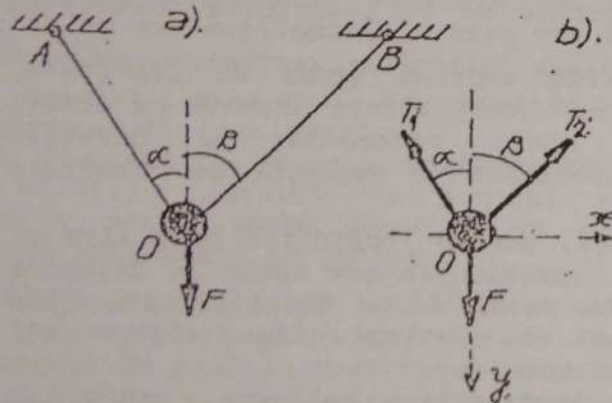


Fig. 4.3

Suprimând legăturile (firele) și introducând pe direcțiile lor forțele T_1 și T_2 (fig. 4.3, b) acestea împreună cu forța F mențin punctul material m în poziția de echilibru dată (fig. 4.3, a).

Forțele F , T_1 și T_2 formează un sistem de forțe concurente în echilibru, în consecință ele vor satisface ecuațiile (2.11). Alegând un sistem de referință ca în figura 4.3, b, acestea vor avea expresiile:

$$\begin{aligned} R_x &= -T_1 \sin \alpha + T_2 \sin \beta = 0, \\ R_y &= -T_1 \cos \alpha - T_2 \cos \beta + F = 0. \end{aligned}$$

O problemă importantă, în legătură cu echilibrul punctului material legat este determinarea forțelor de legătură (a reacțiunilor) ce apar în legături.

Calculul acestora se face cu ajutorul ecuațiilor scalare de echilibru (2.10) și (2.11), după caz, urmând algoritmul:

- se suprimă legăturile și se înlocuiesc cu forțele de legătură corespunzătoare. Direcțiile acestora sunt de regulă cunoscute (după bară sau fir, normal la suprafață sau curbă etc.) iar sensurile se introduc arbitrar. Se obține astfel un sistem de forțe concurente compus din forțele date (cunoscute) și forțele de legătură (necunoscute);
- se exprimă echilibrul sistemului sus-menționat cu ajutorul ecuațiilor (2.10) sau (2.11) și se obține un sistem de ecuații algebrice liniare având ca necunoscute forțele de legătură;
- se rezolvă sistemul de ecuații și se interpretează rezultatele.

Dacă din calcul o reacțiune rezultă cu semnul plus, acesta indică faptul că sensul real al reacțiunii este cel arbitrar ales. Valorile cu semn minus indică sens real invers celui arbitrar atribuit reacțiunii respective.

Soluții unice bine determinate se obțin numai atunci când numărul legăturilor nu depășește 3 în spațiu și două în plan.

Dacă numărul acestora este mai mare, problema respectivă este static nedeterminată.

Ecuatiile (2.10) și (2.11) sunt utilizate și în cazul problemelor mixte de punct material legat, în care intervin atât forțe de legătură sau efectiv aplicate cât și parametri ce definesc poziția de echilibru. Și în acest caz, soluții unice în lipsa altor condiții suplimentare se obțin numai atunci când numărul necunoscutelor nu depășește 3 în spațiu și 2 în plan.

4.3 EXEMPLE DE CALCUL

Exemplul 4.3.1

Un punct material M de greutate \bar{G} este suspendat cu un fir de lungime ℓ de un punct fix O . El este ținut în repaus la distanța x de peretele vertical cu o forță \bar{F} proporțională cu distanța de la perete la punct, factorul de proporționalitate fiind k (fig. 4.4,a). Se cere să se determine unghiul α și tensiunea T din fir pentru poziția de echilibru a punctului.

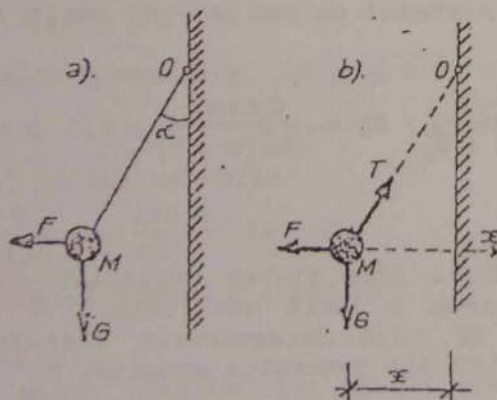


Fig. 4.4

Rezolvare

Suprimând legătura prin fir și înlocuind-o cu forța de legătură corespunzătoare \bar{T} , punctul material se va găsi în echilibru sub acțiunea forțelor \bar{G} și $\bar{F} = kx$ cunoscute și a forței \bar{T} necunoscute (fig. 4.4,b).

Alegând un sistem de referință xMy , condiția de echilibru a punctului se va exprima prin ecuațiile (2.11).

Vom avea: $R_x = T \cos(90 - \alpha) - F = 0$; $R_y = -T \cos \alpha + G = 0$, care se mai scriu

$$T \sin \alpha = F = kx \quad (a)$$

$$T \cos \alpha = G \quad (b)$$

Făcând raportul relațiilor (a) și (b) se obține

$$\frac{T \sin \alpha}{T \cos \alpha} = \frac{kx}{G} \text{ sau } \tan \alpha = \frac{kx}{G} \quad (c)$$

Se disting două cazuri:

1) $\alpha = 0$ ($x = 0$; $\bar{F} = 0$), pentru care din ecuația (b) se obține $T = G$.

2) $\alpha \neq 0$; ($x = \ell \sin \alpha$; $F = kx = k \cdot \ell \sin \alpha$).

Înlocuind în ecuația (c) se obține $\tan \alpha = \frac{\sin \alpha \cdot k \ell \sin \alpha}{G \cos \alpha} = \frac{k \ell \sin^2 \alpha}{G \cos \alpha}$

din care: $\cos \alpha = \frac{G}{k \ell}$, cu care din ecuația (b) rezultă:

$$T = \frac{G}{\cos \alpha} = \frac{G}{G / k \ell} = k \ell$$

Exemplul 4.3.2

Un disc de greutate \bar{G} se reazemă pe un perete luciu AB fiind suspendat cu un fir legat în punctul A . Firul face cu peretele unghiul α . Se cere să se determine tensiunea din fir și reacțiunea peretelui (fig. 4.5,a).

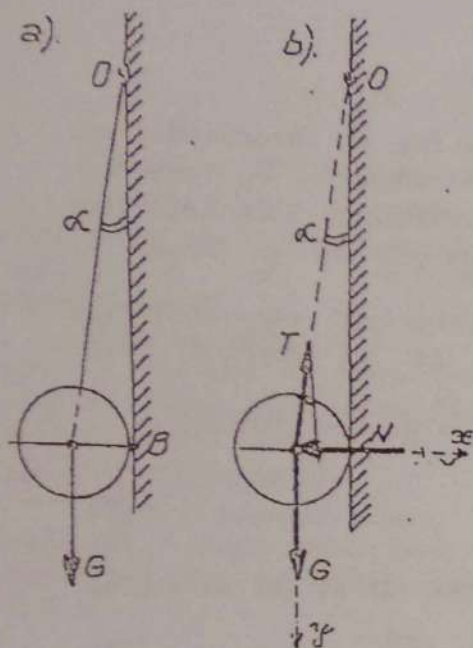


Fig. 4.5

$$N = T \sin \alpha = \frac{G}{\cos \alpha} \sin \alpha = G \cdot \operatorname{tg} \alpha.$$

Exemplul 4.3.3

Un inel O de greutate \bar{G} este petrecut printr-un fir flexibil ancorat la capete de doi pereți (fig. 4.6,a). Inelul ocupă poziția de echilibru dată de unghiurile α și β . Se cer tensiunile din fire în poziția de echilibru a inelului.

Rezolvare

Suprimând firele (legăturile inelului) și înlocuindu-le cu forțele de legătură \bar{T}_A și \bar{T}_B , se obține sistemul de forțe în echilibru arătat în figura 4.6,b.

Rezolvare

Se înlocuiește legătura prin fir cu forța de legătură T și rezemarea din B cu forța N (fig. 4.5,b). Exprimând echilibrul discului prin ecuațiile (2.11), scrise în raport cu sistemul de axe xMy se obține

$$R_x = -N + T \sin \alpha = 0 \quad (a)$$

$$R_z = -T \cos \alpha + G = 0 \quad (b)$$

Din ecuația (b)

$T = \frac{G}{\cos \alpha}$, iar din ecuația (a) se calculează:

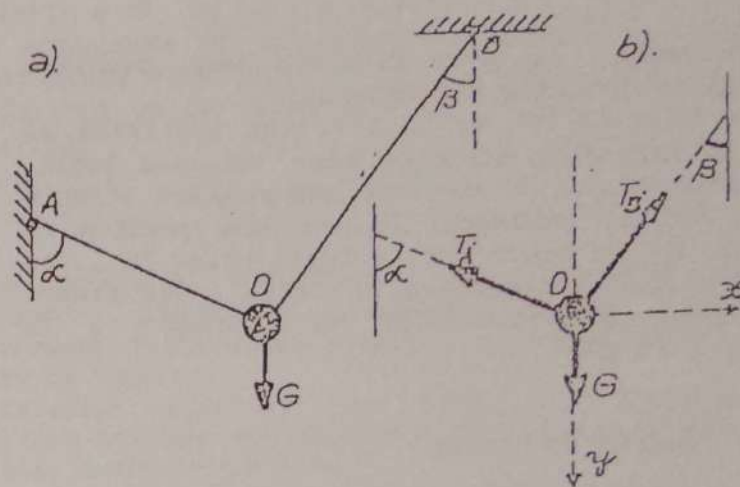


Fig. 4.6

Alegând sistemul de referință xOy, ecuațiile scalare de echilibru (2.11) se vor scrie în forma

$$R_x = -T_A \sin \alpha + T_B \sin \beta = 0$$

$$R_y = -T_A \cos \alpha - T_B \cos \beta + G = 0$$

Rezolvând sistemul de mai sus se obțin forțele căutate

$$T_A = \frac{G \sin \beta}{\sin(\alpha + \beta)}; \quad T_B = \frac{G \sin \alpha}{\sin(\alpha + \beta)}$$

Exemplul 4.3.4

În nodul O al unui sistem articulat din două bare este aplicată o forță verticală $P = 120 \text{ kN}$ (fig. 4.7,a). Se cere determinarea forțelor din barele de legătură ale punctului material O.

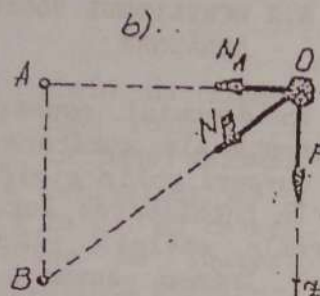
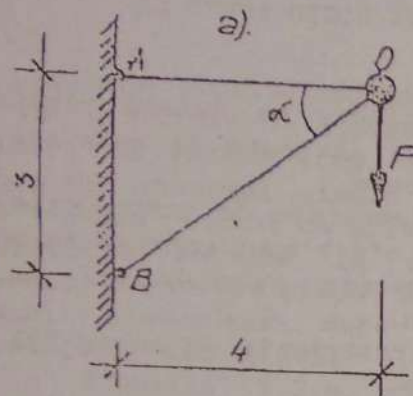


Fig. 4.7

Rezolvare

Nodul O se modelează printr-un punct material supus acțiunii sistemului de forțe în echilibru P , N_A și N_B (Fig. 4.7,b). Deoarece nu cunoaștem sensurile forțelor de legătură (N_A și N_B) acestea s-au introdus arbitrar.

Exprimând condiția de echilibru a celor 3 forțe din figura (4.7,b), prin două ecuații de proiecție după axele Ox și Oz se obțin:

$$R_x = -N_A - N_B \cos \alpha = 0 \quad (a)$$

$$R_z = N_B \sin \alpha + P = 0 \quad (b)$$

Din considerente geometrice, $OB = \sqrt{9 + 16} = \sqrt{25} = 5$,

$\cos \alpha = \frac{4}{5} = 0,8$; $\sin \alpha = \frac{3}{5} = 0,6$. Cu acestea, din

relațiile (a) și (b) se obțin

$$N_B = -\frac{P}{\sin \alpha} = -\frac{120}{0,6} = -200 \text{ kN};$$

$$N_A = -N_B \cos \alpha = -(-200) \times 0,8 = +160 \text{ kN}.$$

Observație

Semnul minus rezultat din calcul pentru forța N_B indică faptul că sensul ei real este invers celui arbitrar ales (Fig. 4.7,c).

CAPITOLUL 5

STATICA CORPULUI SOLID RIGID ȘI A SISTEMELOR DE CORPURI

5.1 ECHILIBRUL SOLIDULUI RIGID LIBER

Un corp material se consideră în spațiu dacă forțele sau sistemele de forțe ce-i sunt aplicate sunt oarecare și în plan, dacă acestea sunt coplanare.

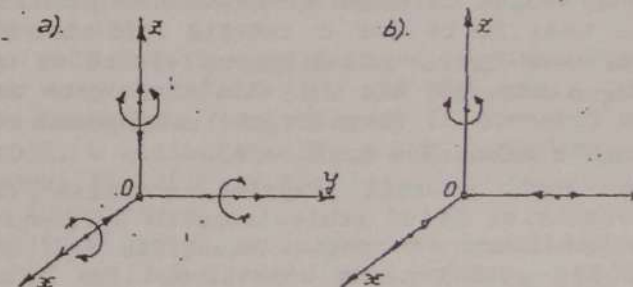


Fig. 5.1

Prin solid rigid liber se înțelege un corp indeformabil ce poate ocupa orice poziție în spațiu sau plan. Această libertate conferă corpului posibilitatea de a efectua translații și rotații. Oricare ar fi direcțiile acestora în spațiu în raport cu un sistem cartezian de referință fiecare din ele va prezenta câte 3 componente reprezentate prin proiecțiile lor pe axele Ox , Oy și Oz . Translațiile și rotațiile susmenționate reprezintă

gradele de libertate ale solidului rigid în spațiu față de sistemul de referință $Oxyz$ (fig. 5.1,a).

Dacă solidul rigid este liber să ocupe orice poziție într-un plan, spre exemplu în planul xOy , el va putea efectua translații și rotații în planul considerat.

Oricare ar fi direcțiile acestora, proiecțiile lor pe axele sistemului de referință vor prezenta două componente de tip translații, în lungul axelor Ox și Oy și o componentă de tip rotație în jurul axei Oz (fig. 5.1,b).

Cele două translații și rotația menționată reprezintă gradele de libertate ale solidului rigid în plan.

În consecință, un solid rigid liber, față de sistemul cartezian de referință prezintă 6 grade de libertate în spațiu și 3 grade de libertate în plan.

Având în vedere că orice translație se produce sub efectul unei forțe iar o rotație sub efectul unui moment, condiția necesară și suficientă ca un solid rigid liber să fie în echilibru este ca torsioul de reducere al forțelor ce-l acționează să aibă elementele nule: $\bar{R} = 0$, $\bar{M}_O = 0$.

Aceste două ecuații exprimă condiția de echilibru vectorial fiind echivalente cu 6 ecuații scalare de echilibru în spațiu (ecuațiile 2.1) și trei ecuații scalare de echilibru în plan (ecuațiile 2.20).

Problemele staticii solidului rigid liber sunt aceleași cu cele ale punctului material liber și se rezolvă după același algoritm folosind însă ecuațiile (2.9) și (2.20).

Soluții bine determinate se obțin numai atunci când numărul necunoscutelor (parametri ai poziției de echilibru sau forțe) este egal cu cel al ecuațiilor de echilibru, respectiv 6 în spațiu și 3 în plan.

5.2 ECHILIBRUL SOLIDULUI RIGID SUPUS LA LEGĂTURI

În domeniul construcțiilor, nu există părți componente ale acestora care să poată fi modelate prin corpuri solid rigid libere.

În totalitatea lor, elementele de construcție (grinzile, stâlpii, plăcile etc.) sunt constrânse a rămâne într-o anumită poziție prestabilită de echilibru în spațiu sau plan.

Corpurile obligate la restricții de acest fel se numesc *supuse la legături*.

O legătură suprimă solidului unul sau mai multe din gradele de libertate pe care acesta le avea ca solid rigid liber.

Ele realizează contactul dintre corpul supus la legături și un alt corp numit *reazem* sau *corp de reazem*.

Specifice staticii corpului rigid și sistemelor de corpuri sunt următoarele legături:

a. Reazemul simplu

Această legătură împiedică deplasarea corpului pe direcția normală suprafeței de reazem lăsând libere translațiile în planul acesteia și rotațiile în jurul punctului de reazem (de contact dintre corp și reazem).

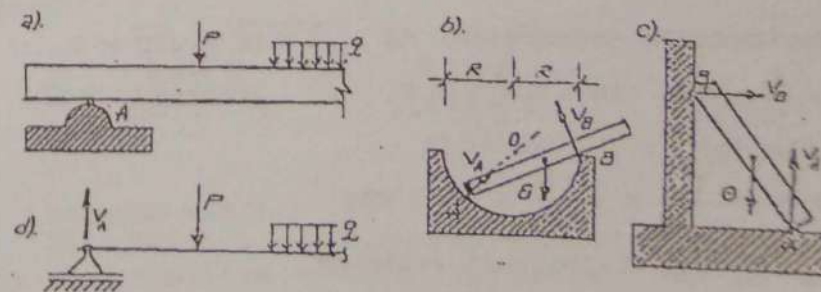


Fig. 5.2

Legătura suprimă solidului rigid un singur grad de libertate - deplasarea după normala la suprafața de reazem (fig. 5.2). În baza axiomei legăturilor reazemul simplu este echivalent cu o forță V având punctul de aplicație în cel de reazem și direcția normală la suprafața de reazem. Schematic, un reazem simplu se reprezintă printr-un triunghi alunecător după direcția deplasării (translației) libere (fig. 5.2,d).

În figurile 5.2,a, 5.2,b și 5.2,c sunt prezentate câteva tipuri de suprafețe de reazem și direcțiile reacțiunilor (V_1 , V_2) ce iau naștere în punctele de reazem.

b. Articulația

Acest tip de legătură împiedică translația după orice direcție lăsându-i libere corpului numai rotațiile în jurul punctului de articulație.

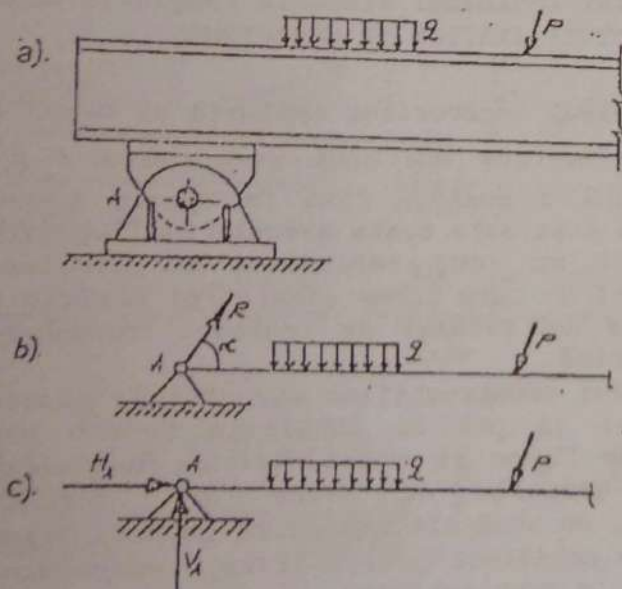


Fig 5.3

Dacă aceste rotații se pot produce oricum în spațiu, articulația se numește sferică sau spațială.

Există și un alt tip de articulație care permite corpului rotații numai în jurul unei singure axe (funcționând ca balamalele ușilor, ferestrelor etc.). O astfel de articulație se numește cilindrică sau plană și este specifică corpului acționat de forțe coplanare.

Într-adevăr, fixându-i un punct în planul forțelor, un astfel de corp nu va putea efectua translații dar se vor roti în jurul unei axe normale planului considerat.

Mecanic, articulația cilindrică este echivalentă cu o forță de legătură ce trece prin punctul de articulație de modul R și direcție α necunoscute (fig. 5.3,b).

În calculele practice în locul acestora se folosesc componentele H și V ale forței R după două direcții ortogonale (fig. 5.3,c).

Uzual, o articulație este schematizată printr-un triunghi fix (fig. 5.3,c).

c. Încadrarea

Legătura prin care punctele unei secțiuni aparținând solidului rigid rămân legate fix de un corp de reazem poartă denumirea de încadrare.

Prin aceasta solidul rigid și corpul de reazem pot fi considerate ca părți ale aceluiași corp, prin urmare încadrarea poate fi considerată ca o legătură de continuitate. O încadrare împiedică orice deplasare a solidului rigid suprimându-i astfel toate cele 6 grade de libertate pe care le avea ca și corp liber în spațiu.

Dar corpul este acționat de un sistem de forțe coplanare, încadrarea îl fixează în planul acestora, suprimându-i toate cele 3 grade de libertate pe care le avea ca rigid liber în plan (fig. 5.4,a).

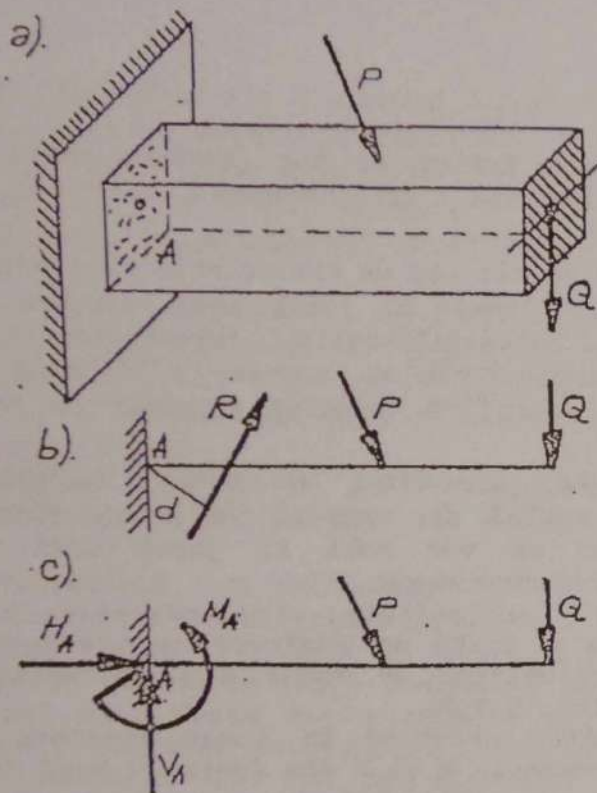


Fig. 5.4

În acest caz, încastrarea este echivalentă mecanic cu o forță \bar{R} ce nu trece prin punctul de încastrare A, de modul R, direcție α și poziție d necunoscute (fig. 5.4,b).

Uzual, aceste mărimi sunt înlocuite prin componentele torsorului de reducere a forței R în punctul de încastrare A, compuse din momentul $M_A = R \cdot d$, forța verticală $V_A = R \cdot \sin \alpha$ și componenta $H_A = R \cdot \cos \alpha$. Schematizarea unei încastrări se face ca în figurile 5.4,b și 5.4,c.

Echilibrul solidului rigid supus la legături se reduce la echilibrul solidului rigid liber (tratat în paragraful 5.1) dacă legăturile, în baza axiomei legăturilor, sunt înlocuite cu forțele de legătură corespunzătoare (L_j).

Procedând la această substituție, asupra solidului rigid vor acționa forțe efectiv aplicate \bar{F}_i ($i=1, 2, \dots, n$) și forțe de legătură \bar{L}_j ($j=1, 2, \dots, k$).

Pentru ca solidul rigid să fie în echilibru sistemul acestuia trebuie să aibă elementele torsorului de reducere nule:

$$\bar{R} = \sum \bar{F}_i + \sum \bar{L}_j = 0 \quad (5.1)$$

$$M_0 = \sum M_0(F_i) + \sum M_0(L_j) = 0$$

Dacă forțele \bar{F}_i și \bar{L}_j sunt raportate într-un sistem cartezian $Oxyz$, echilibrul corpului se exprimă prin 6 ecuații scalare în spațiu (ec. 2.9) și prin 3 ecuații scalare de echilibru în plan (ec. 2.20) rezultate din proiecție relațiilor (5.1) pe axele Ox , Oy și Oz .

5.3 FIXAREA SOLIDULUI RIGID ÎN SPAȚIU ȘI PLAN. STRUCTURI STATICE ȘI MECANISME

Fie ℓ numărul legăturilor aplicate și m cel al gradelor de libertate ale unui corp. Dacă $\ell \geq m$ acesta va ocupa o poziție fixă în spațiu sau în plan, fiindu-i suprimate toate gradele de libertate.

Un astfel de corp împiedicat să efectueze orice deplasări de corp liber și a cărui poziție de echilibru este determinată de legături formează o structură statică.

În domeniul construcțiilor structurile statice sunt numeroase și pot fi întâlnite într-o mare diversitate de forme și modalități de realizare. Stâlpii și grinzile de orice fel, pereții, planșeele etc. nu sunt altceva decât corpuri fixate în poziții de echilibru prestabilite, independente de forțele ce le sunt aplicate.

În raport de caracterul forțelor ce le sunt aplicate (spațiale sau plane) corpurile pot forma structuri statice spațiale sau structuri statice plane.

Așa cum s-a văzut mai sus, un corp liber are în plan 3 grade de libertate. Pentru fixarea acestuia și realizarea unei structuri statice plane vor fi necesare deci un număr minim de 3 legături.

Disponerea acestora se poate realiza în 3 moduri:

a. Printr-o încastrare (fig. 5.5,a).

Structura statică obținută în acest mod poartă denumirea de *consolă*.

b. Printr-o articulație și un reazem simplu (fig. 5.5,b). Legătura realizată în acest fel se numește *simplă rezemare*. Avem astfel corpuri simplu rezemate, grinzi sau bare simplu rezemate etc. (fig. 5.5,b).

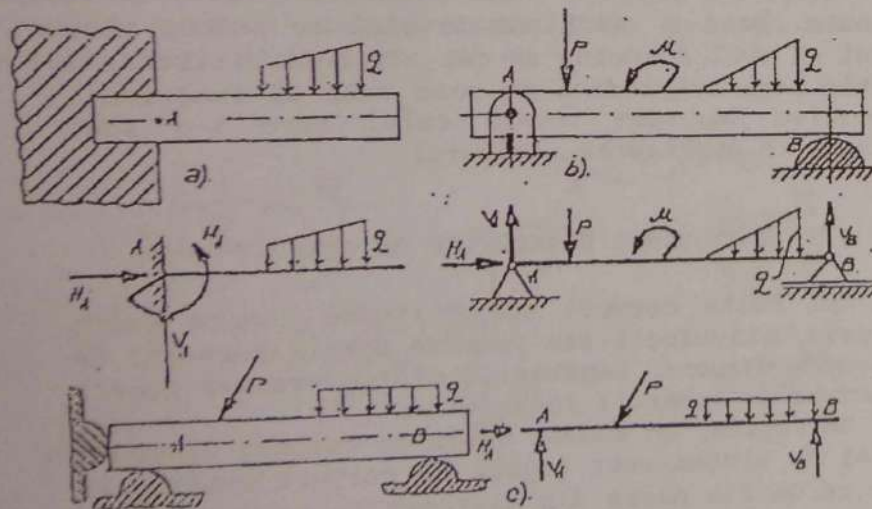


Fig. 5.5

c. Prin trei reazeme simple în 3 puncte diferite ale corpului dispuse astfel încât forțele de legătură ce le corespund să nu aibă suporturile paralele sau concurente într-un punct.

Structura statică obținută se numește tot simplu rezemată.

În figura 5.5 sunt prezentate modurile de fixare ale solidului rigid în plan cu 3 legături și schematizarea acestora în structuri statice și forțele de legătură aferente fiecărei legături.

Fixarea unui corp în plan poate fi însă realizată și cu un număr de legături mai mare. În acest scop pot fi utilizate:

- două încastrări (fig. 5.6,a).
- încastrare și o articulație (fig. 5.6,b).
- o încastrare și un reazem simplu (de tipul celui indicat în fig. 5.6,b).
- două articulații (de tipul celei indicate în fig. 5.6,b).

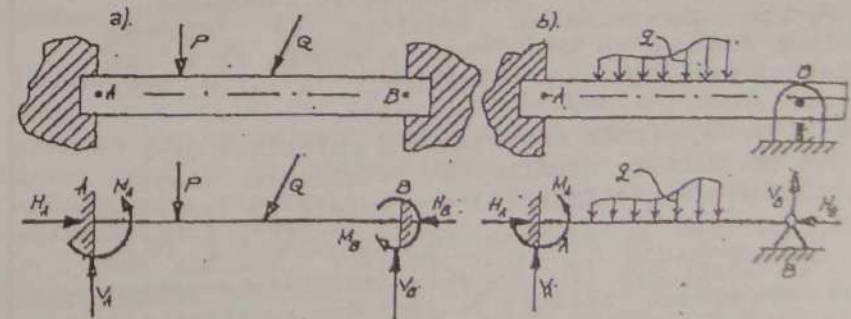


Fig. 5.6

În figura 5.6 sunt prezentate două dintre aceste cazuri, schematizările acestora și exteriorizările forțelor de legătură din acestea.

Structurile statice având numărul forțelor de legătură n mai mare de 6 în spațiu și 3 în plan poartă denumirea de static nedeterminate.

Diferența $n-6$ în spațiu și $n-3$ în plan poartă denumirea de grad de nedeterminare statică. Referindu-ne la cazurile plane din figura 5.6, gradul de nedeterminare al acestora este respectiv $6-3=3$, $5-3=2$.

În cazul structurilor din figura 5.5, numărul forțelor de legătură n este egal cu cel al ecuațiilor scalare de echilibru în plan (2.20), respectiv de $n=3$. Structurile de acest tip se numesc static determinate.

Dacă numărul legăturilor aplicate solidului rigid este mai mic de 6 în spațiu și 3 în plan acesta formează un mecanism.

Un astfel de corp, sub acțiunea forțelor ce-i sunt aplicate suferă deplasări de corp liber, în consecință nu poate forma o structură statică.

5.4 DETERMINAREA FORȚELOR DE LEGĂTURĂ

Forțele ce iau naștere în legăturile (reazemele) unui corp se mai numesc și reacțiuni.

Pentru determinarea acestora se folosesc ecuațiile scalare de echilibru în spațiu (2.9) sau în plan (2.20) după caz. Algoritmul de calcul este următorul:

1. Se alege un sistem cartezian de referință $Oxyz$.
2. Se înlocuiesc legăturile (reazemele simple, articulațiile, încastrările) cu forțele de legătură corespunzătoare \bar{L}_j arătate în figurile 5.2 (V_A), 5.3 (V_A, H_A) și 5.4 (V_A, H_A, M_A). Sensurile acestora fiind necunoscute, acestea se introduc arbitrar.
3. Se exprimă echilibrul sistemului de forțe compus din încărcările exterioare F_i și forțele de legătură exteriorizate L_j cu ajutorul ecuațiilor scalare de echilibru în spațiu (2.9) sau în plan

(2.20) după caz. Pe lângă ecuațiile (2.20) echilibrul forțelor coplanare poate fi exprimat și prin alte două grupuri de câte 3 ecuații scalare care conțin:

- o ecuație de proiecție nulă pe o axă (spre exemplu Ox) și două ecuații de momente nule în raport cu două puncte A și B din planul forțelor.

$$\sum F_{ix} = 0; \sum M_A = 0; \sum M_B = 0 \quad (5.2)$$

- trei ecuații de momente nule în raport cu 3 puncte necoliniare din planul forțelor:

$$\sum M_A = 0; \sum M_B = 0; \sum M_C = 0 \quad (5.3)$$

În scrierea acestora semnul pozitiv pentru momentele forțelor F_i și L_j se alege arbitrar. Echilibrul corpului astfel exprimat conduce la un sistem de ecuații algebrice liniare având ca necunoscute forțele de legătură din reazeme.

4. Se rezolvă sistemul de ecuații obținut conform punctului 3 și se interpretează rezultatele obținute. Dacă o reacțiune rezultă cu semnul plus sensul ei real coincide cu cel atribuit arbitrar. O soluție negativă indică un sens real al reacțiunii respective de sens invers celui care i-a fost atribuit la suprimarea legăturii.

5.5. ECHILIBRUL SISTEMELOR DE CORPURI

Mai multe corpuri solid rigide legate între ele prin articulații sau reazeme simple formează un sistem de corpuri. Legăturile dintre acestea poartă denumirea de legături interioare.

De regulă, un anumit număr de corpuri dintr-un astfel de sistem sunt legate de corpuri exterioare fixe ce nu fac parte din sistemul de corpuri, prin

legături exterioare de tipul celor interioare (articulații, reazeme simple, încastrări).

Legăturilor interioare, în baza axiomei legăturilor le corespund forțe de legătură interioare (\bar{L}_1) iar legăturilor exterioare, forțe de legătură exterioare (\bar{L}_0).

Ca acțiuni reciproce între corpuri, forțele interioare \bar{L}_1 sunt formate din perechi egale și direct opuse, motiv pentru care, dacă sunt considerate pentru întregul sistem de corpuri ele formează sisteme de forțe echivalente cu zero (în echilibru).

Torsorul lor de reducere într-un punct arbitrar din spațiu va avea deci componentele:

$$\bar{R}(L_1) = 0; \bar{M}_0(L_1) = 0 \quad (5.4)$$

Pentru exemplificare în figura 5.7, a s-a considerat un sistem format din 3 corpuri c_1 , c_2 și c_3 legate de două corpuri fixe c_{01} și c_{02} care nu fac parte din sistem.

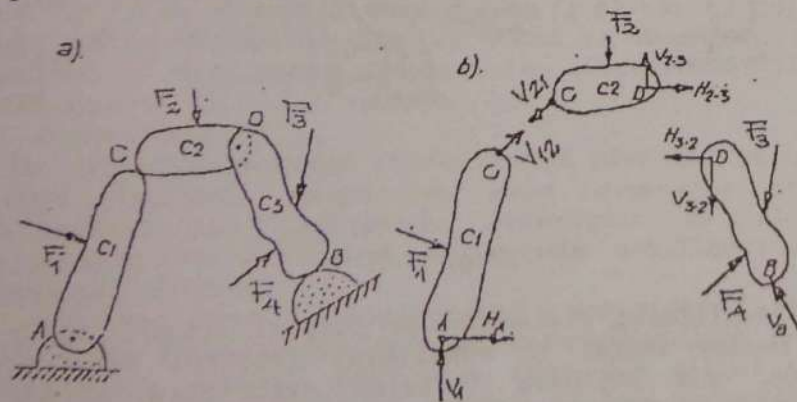


Fig. 5.7

Corpurile c_1 și c_2 sunt legate în C printr-un reazem simplu, căruia îi corespund forța de legătură interioară $\bar{V}_{12} = \bar{V}_{21}$, iar corpurile c_2 și c_3 sunt legate între ele printr-o circulație căreia îi corespund două forțe de legătură interioare, $\bar{V}_{23} = \bar{V}_{32}$ și $\bar{H}_{23} = \bar{H}_{32}$ (fig. 5.7.b).

Sistemul de corpuri se numește plan atunci când toate forțele ce acționează asupra acestuia sunt coplanare.

Deși numeroase, problemele staticii sistemelor de corpuri pot avea următoarele trei tipuri de necunoscute:

- Modulul, direcția și sensul reacțiunilor, a forțelor de legătură interioare dintre anumite corpuri sau dintre toate corpurile;
- Valorile parametrilor independenți (unghiuri, distanțe etc.) ce definesc poziția de echilibru a sistemului de corpuri.

Pentru determinarea acestora se utilizează:

a. Metoda echilibrului întregului sistem-calculul reacțiunilor (fig. 5, 8).

Având în vedere că forțele de legătură interioare (L_1) formează sisteme în echilibru se face abstracție de ele, considerând sistemul de corpuri ca un singur corp, ca și cum legăturile interioare ar fi solidificate, motiv pentru care metoda este cunoscută și sub denumirea de metoda solidificării legăturilor).

Cu această particularizare, determinarea reacțiunilor se face după algoritmul prezentat în aliniatul 5.4 pentru solidul rigid luând în calcul numai forțele exterioare F_i și cele din legăturile exterioare L_0 .

Pentru exemplificare în figura 5.8 este prezentat sistemul de corpuri (fig. 5.8.a) și corpul obținut din acesta prin solidificarea legăturilor interioare (fig. 5.8.b). Forțele de legătură căutate sunt V_A , H_A și V_B .

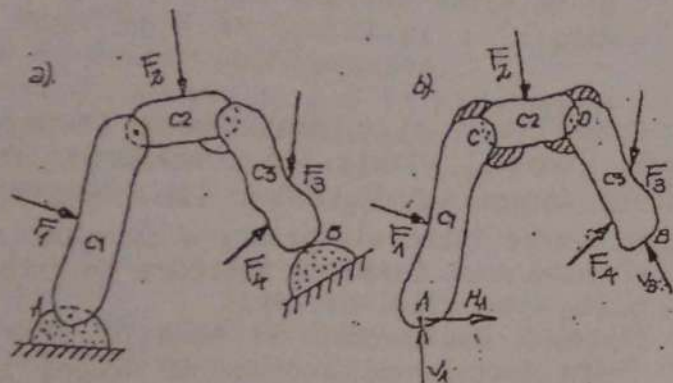


Fig. 5.8

b. Metoda echilibrului părților

Prin parte a unui sistem de corpuri se consideră un corp al acestuia izolat din sistem prin suprimarea și înlocuirea legăturilor avute cu corpurile învecinate sau un ansamblu de mai multe corpuri extrase din sistem în aceleași condiții. Metoda izolării corpurilor are la bază teorema echilibrului părților conform căreia orice parte izolată dintr-un sistem de corpuri în echilibru se află în echilibru sub acțiunea forțelor exterioare și a reacțiunilor ce-i sunt direct aplicate.

Pentru ilustrare vom considera sistemul de 5 corpuri din figura 5.9, a în echilibru sub acțiunea forțelor F_1, F_2, F_3, F_4 și a reacțiunilor din reazemele A și B. Divizând sistemul de corpuri în 3 părți, conform celor arătate mai sus, fiecare din acestea se va afla în echilibru sub acțiunea forțelor ce-i sunt direct aplicate (fig. 5.9, b). În baza metodei solidificării legăturilor corpurile 1 și 2 pot fi considerate ca formând un singur corp. La fel și corpurile 3 și 4 (fig. 5.9, b). Exprimând echilibrul acestora cu ajutorul ecuațiilor scalare de echilibru (2.9) sau (2.20) se obține sistemul de ecuații algebrice liniare având ca necunoscute forțele de legătură dintre părțile considerate.

Metoda de calcul este deosebit de avantajoasă atunci când se urmărește calculul reacțiunilor L_i numai dintre anumite corpuri ale sistemului.

c. Metoda izolării corpurilor

În unele probleme tehnice este necesară cunoașterea forțelor de legătură dintre toate corpurile sistemului. Metoda uzuală folosită pentru calculul acestora reprezintă o generalizare a metodei echilibrului părților și constă în divizarea sistemului de corpuri într-un număr de părți egal cu cel al corpurilor.

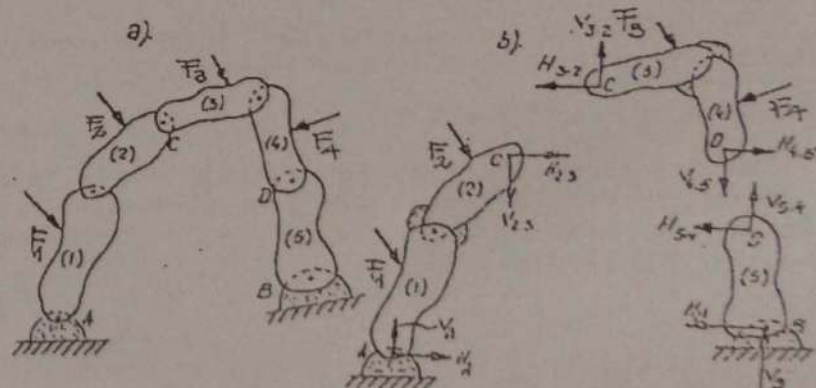


Fig. 5.9

Echilibrul sistemului de corpuri (fig. 5.10, a) se reduce astfel la echilibrul fiecărui corp în parte, sub acțiunea forțelor exterioare și de legătură ce-i sunt aplicate direct (fig. 5.10, b).

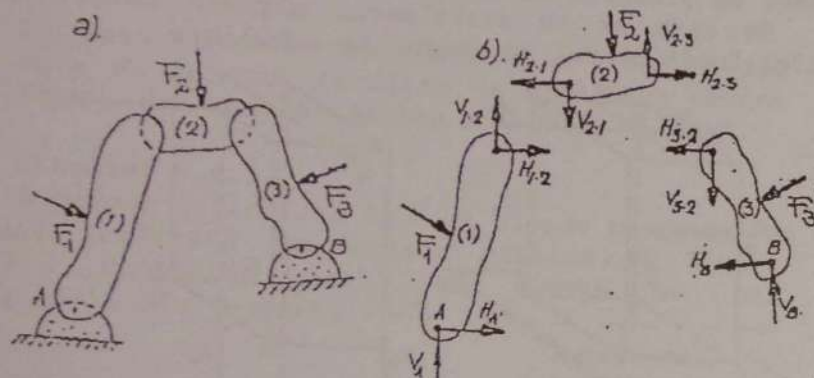


Fig. 5.10

Pentru exemplificare, în figura (5.10,a) s-a prezentat un sistem de 3 corpuri în echilibru articulate în A și B și simplu rezemate în C. Izolând corpurile, asupra fiecăruia vor acționa direct forțele exterioare și de legătură indicate în figura (5.10,b). Sub acțiunea acestora fiecare corp în parte se va afla în echilibru. Exprimând acest lucru cu ajutorul ecuațiilor (2.9) sau (2.20) se obține un sistem de ecuații având ca necunoscute reacțiunile din toate legăturile (interioare și exterioare).

Observații:

1. În aplicarea metodei echilibrului părților și a metodei izolării corpurilor este avantajos ca reacțiunile din legăturile exterioare să fie determinate în prealabil cu metoda echilibrului întregului sistem.
2. La suprimarea legăturilor exterioare și intericare forțele de legătură corespunzătoare se introduc cu sensuri arbitrare. Dacă din calcul o reacțiune rezultă pozitivă, sensul ei real coincide cu cel arbitrar ales. Soluțiile negative indică sensuri opuse celor arbitrar atribuite.
3. Dacă se notează cu C numărul corpurilor din sistem și cu l_0 și l_1 numărul echivalent de legături

simple corespunzătoare reazemelor exterioare și respectiv interioare și având în vedere că un solid rigid are 6 grade de libertate în spațiu și 3 în plan față de triedrul cartezian $Oxyz$, numărul gradelor de libertate a sistemului de corpuri va fi: $m = 6c - (l_0 + l_1)$, în spațiu și $m = 3c - (l_0 + l_1)$ în plan.

În raport de valorile parametrului m sistemele de corpuri pot forma:

- structuri static determinate dacă $m = 0$.
- structuri static nedeterminate dacă $m < 0$.

Diferența $(l_0 + l_1) - m$ definește gradul de nedeterminare statică a sistemului de corpuri.

- mecanisme, dacă $m > 0$.

Un astfel de sistem nu poate forma o structură statică.

5.6 EXEMPLE DE CALCUL

Exemplul 5.6.1

O bară de lungime $2l$ și greutate P se reazemă fără frecare pe muchia și peretele unui canal (fig. 5.11.a). Se cer reacțiunile din reazemele barei și unghiul θ pentru poziția de echilibru.

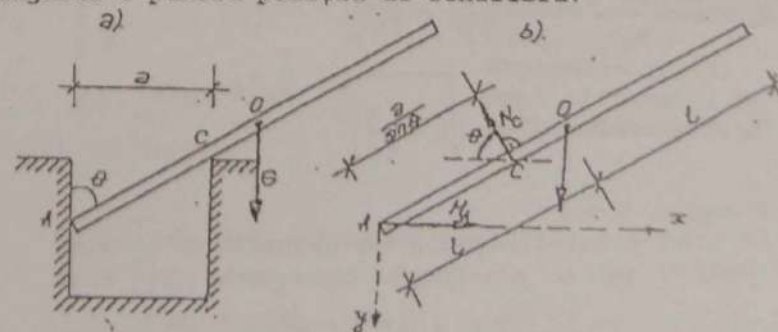


Fig. 5.11

Rezolvare

Bara AB este simplu rezemată în punctele A și C. Înlocuind aceste legături prin forțele de legătură corespunzătoare, asupra ei vor acționa forțele H_A , N_C și P după schema din figura 5.11.b. Alegând sistemul de referință xOy ca în figură, și având în vedere ecuațiile (2.20) echilibrul barei se va exprima prin ecuațiile:

$$R_x = H_A - N_C \cos \theta = 0 \quad (a)$$

$$R_y = -N_C \sin \theta + G = 0 \quad (b)$$

$$\sum M_A = N_C \cdot \frac{a}{\sin \theta} - Gl \sin \theta = 0 \quad (c)$$

Din ecuația (c) se obține: $N_C = Gl \frac{\sin^2 \theta}{a}$, care introdusă în ecuația (b) rezultă: $-\frac{Gl}{a} \sin^3 \theta + G = 0$, de unde $\sin \theta = \sqrt[3]{\frac{a}{l}}$.

Pentru ca echilibrul să fie posibil, este necesar ca $\sin \theta \leq 1,00$, ceea ce conduce la condiția $a \leq l$ satisfăcută dacă centrul de greutate al barei se află în dreapta punctului de rezemare C.

Cu valoarea $\sin \theta$ determinată mai sus, pentru reacțiunile N_C și H_A se obțin expresiile

$$N_C = \frac{Gl \sin^2 \theta}{a} = \frac{Gl}{a} \sqrt{\frac{a^2}{l^2}} = G \sqrt{\frac{l}{a}}$$

$$H_A = N_C \cos \theta = G \sqrt{\frac{l}{a}} \cdot \sqrt{1 - \left(\frac{a}{l}\right)^{\frac{2}{3}}}$$

Exemplul 5.6.2

Un bloc paralelipipedic de greutate $G = 600 \text{ kN}$ este așezat pe o platformă orizontală și este

solicitat de o forță orizontală H acționând în planul de simetrie al blocului (fig. 5.12).

Se cere să se stabilească mărimea forței H astfel încât blocul să rămână în echilibru.

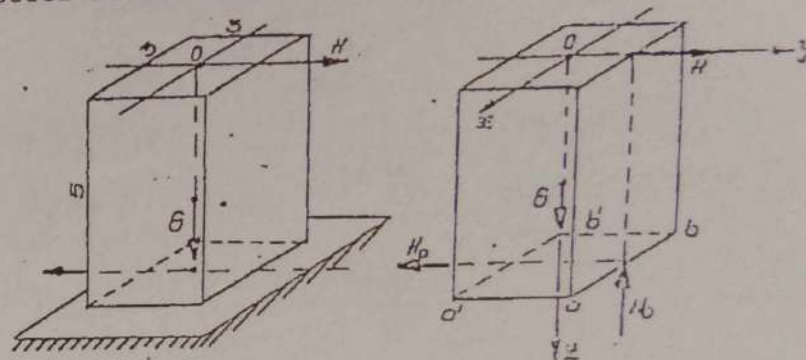


Fig. 5.12

Rezolvare:

Blocul este fixat pe platformă prin simplă rezemare, în secțiunea de reazem luând naștere forța de frecare $H_0 = \mu \cdot G$, paralelă cu H și de sens opus acesteia întrucât ea se opune translației blocului pe direcția și în sensul forței H .

Pentru toate valorile H și $H_0 = \mu \cdot G$ translațiile menționate sunt împiedicate.

Corpul se poate însă roti în jurul muchiei a-b sub efectul momentului de rostogolire M_r dat de cuplul de forțe (H, H_0) , caz în care rezemarea blocului pe platformă se va limita la muchia menționată și va fi echivalentă cu forța N_C aplicată în punctul C (fig. 5.12,b).

Forțele G și $N_0 = G$ acționând ca în figura 5.12,b formează la rândul lor un cuplu al cărui moment M_s , numit moment de stabilitate se opune momentului de răsturnare M_r .

Corpul nu se va rostogoli, deci se va afla în echilibru, atâta timp cât $M_s \geq M_r$.

Pe baza datelor problemei $M_A = 1,5 \times G = 900$ kNm, $N_F = 5H$ cu care condiția de echilibru devine $5H \leq 900$ kN, din care se obține $H \leq 900/5 = 180$ kN.

Exemplul 5.6.3

O grindă articulată în A și simplu rezemată în B este încărcată cu forțele arătate în figura (5.13). Cunoșcând $\alpha = 15^\circ$ și $P = 50$ kN se cer reacțiunile din reazeme.

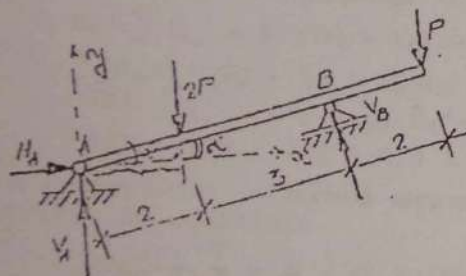


Fig. 5.13

Rezolvare:

Se alege sistemul de referință xOy ca în figură și se înlocuiesc reazemele cu forțele de legătură V_A , H_A și V_B .

Exprimând echilibrul sistemului de forțe ce acționează grinda prin ecuațiile (5.2) se obține:

$$R_x = \sum F_{ix} = H_A - N_B \sin \alpha = 0 \quad (a)$$

$$\sum M_A = 2P \times 2 \cos \alpha - 5N_B + 7P \cos \alpha = 0 \quad (b)$$

$$\sum M_B = 5V_A \cos \alpha - 2P \times 3 \cos \alpha + 2P \times \cos \alpha - H_A 5 \sin \alpha = 0 \quad (c)$$

Din ecuația (b) rezultă $N_B = \frac{11P}{5} \cos \alpha = 106,252$ kN

care înlocuit în ecuația (a) se obține:

$$H_A = 106,252 \times \sin 15^\circ = 27,50 \text{ kN.}$$

Cu H_A determinat, din ecuația (c) se calculează:

$$V_A = \frac{1}{5 \cos \alpha} (4P \cos \alpha + 5H_A \sin \alpha) = 0,8P + H_A \tan \alpha = 47,369 \text{ kN}$$

Pentru verificarea calculului se verifică echilibrul sistemului de forțe pe verticală:

$$-(V_A + N_B \cos \alpha) + 2P + P = 0$$

$$-(47,369 + 106,252 \times \cos 15^\circ) + 3 \times 150 = 0$$

$$-150 + 150 = 0$$

Exemplul 5.6.4

O consolă este alcătuită și încărcată cu sistemul de forțe indicat în figura 5.14, a. Se cer reacțiunile ce apar în secțiunea ei de încastrare.

Rezolvare:

Se înlocuiește încastrarea cu forțele de legătură corespunzătoare și se alege sistemul de referință xOz ca în figură.

Forța continuă q se înlocuiește cu o forță concentra-

$$\text{tă } Q = \frac{2,1 \times 20}{2} = 21 \text{ kN}$$

trecând prin centrul forțelor paralele continue (fig. 5.14, a).

Exprimând echilibrul sistemului de forțe cu relațiile

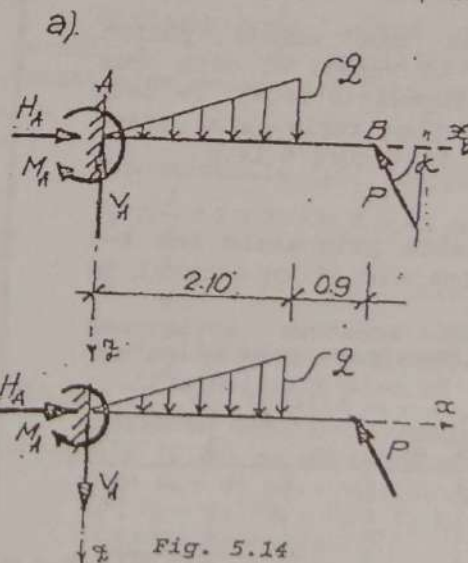


Fig. 5.14

(2.20) se obține:

$$R_x = \sum F_{ix} = H_A - P \cos 60^\circ = 0,$$

$$R_z = \sum F_{iz} = -V_A + Q - P \sin \alpha = 0,$$

$$\sum M_A = M_A + 1,4Q - 3P \sin \alpha = 0,$$

din care se obțin

$$H_A = P \cos 60^\circ = 75\sqrt{3} \cdot \frac{1}{2} = 37,5\sqrt{3} \text{ kN},$$

$$V_A = Q - P \sin \alpha = 21 - 75\sqrt{3} \cdot \frac{\sqrt{3}}{2} = -91,50 \text{ kN},$$

$$M_A = 3P \sin \alpha - 1,4Q = 308,10 \text{ kNm}.$$

Pentru verificare, se poate utiliza o ecuație de moment nul în raport cu punctul B.

$$3V_A + M_A - 1,6Q = 0,$$

$$3(-91,5) + 308,9 - 1,6 \times 21 = 0,$$

$$-308,10 + 308,10 = 0.$$

Semnul minus rezultat din calcul pentru reacțiunea V_A indică faptul că sensul ei este opus celui arbitrar introdus în figura (5.14.a). Pe baza valorilor obținute, sensurile reale ale reacțiunilor sunt cele indicate în figura 5.14.b.

Exemplul 5.5.5

Două corpuri schematizate prin axele lor A-B și B-C sunt articulate între ele și cu terenul în punctele A și C.

Cunoscând că asupra acestora acționează forțele $P = 50 \text{ kN}$ și $Q = 90 \text{ kN}$ (fig. 5.15.a) se cer reacțiunile ce iau naștere în cele 3 articulații.

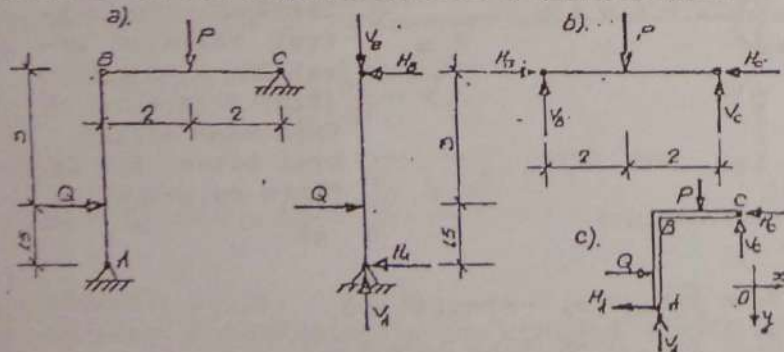


Fig. 5.15

Rezolvare:

Barele AB și BC formează un sistem de două corpuri legate între ele articulat (legătură interioară) și tot articulat cu terenul, în punctele B și C (legături exterioare). Aplicând metoda separării corpurilor asupra acestora (fig. 5.15.b) vor acționa forțe de legătură interioare (V_B, H_B), forțe de legătură exterioare (V_A, H_A, V_C, H_C) și forțe date (P și Q). Forțele necunoscute sunt $V_A, H_A, V_B, H_B, V_C, H_C$ în număr de 6.

Pentru determinarea lor, se exprimă echilibrul fiecărui corp prin câte 3 ecuații scalare de echilibru cu relațiile (5.2):

• corpul B-C

$$\sum M_A = 4V_C - 2P = 0 \quad (a)$$

$$\sum M_B = 4V_B - 2P = 0 \quad (b)$$

$$R_x = \sum F_{ix} = H_B - H_C = 0 \quad (c)$$

Din ecuațiile (a) și (b) rezultă $V_B = V_C = \frac{P}{2} = 25 \text{ kN}$ iar din ecuația (c) se obține relația $H_B = H_C$.

• corpul A-B

$$\sum M_A = 4,5H_B - 1,5Q = 0 \quad (d)$$

$$\sum M_B = 4,5H_A - 3Q = 0 \quad (e)$$

$$R_x = \sum F_{ix} = -V_A + V_B = 0 \quad (f)$$

din care se obțin:

$$H_B = \frac{1,5}{4,5} Q = \frac{1}{3} Q = 30 \text{ kN}$$

$$H_A = \frac{3}{4,5} Q = \frac{1}{1,5} Q = \frac{90}{1,5} = 60 \text{ kN}$$

$$V_A = V_B = \frac{P}{2} = 25 \text{ kN}.$$

Observație

Considerând solidificată legătura din B (fig. 5.15.c) sub acțiunea forțelor din legăturile exterioare (V_A , H_A , V_C și H_C) și a celor exterioare efectiv aplicate (P și Q), sistemul de corpuri trebuie să se găsească în echilibru.

Exprimând această condiție cu relațiile (2.20) vom avea:

$$R_x = \sum F_{ix} = Q \cdot (H_A + H_C) = 90 - (60 + 30) = 0$$

$$R_z = \sum F_{iz} = P - (V_A + V_C) = 50 - (25 + 25) = 0$$

$$\begin{aligned} \sum M_A &= 1,5Q + 2P - 4,5H_C - 4V_C = \\ &= 1,5 \times 90 + 2 \times 50 - 4,5 \times 30 - 4 \times 25 = \\ &= 235 - 235 = 0, \end{aligned}$$

În consecință, sistemul de corpuri se va găsi în poziție de echilibru.

Exemplul 5.5.6

Un sistem format din 4 corpuri este alcătuit ca în figura 5.16. Se cer reacțiunile din A și E.

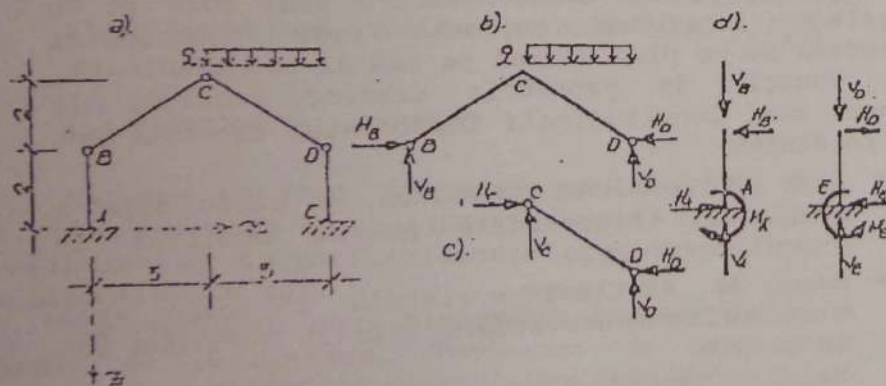


Fig. 5.16

Rezolvare:

Se aplică metoda separării corpurilor. Considerând articulația din C solidificată (fig. 5.16,b) se exprimă echilibrul părții BCD cu ajutorul ecuațiilor (5.2):

$$R_x = H_B - H_D = 0 \quad (a)$$

$$\sum M_B = 6V_D - 3 \times q \times 4,5 = 0 \quad (b)$$

$$\sum M_D = 6V_B - 3 \times q \times 1,5 = 0 \quad (c)$$

Izolând apoi corpul CD (fig. 5.16,c) din condiția lui de echilibru exprimată printr-o ecuație de moment nul față de punctul C se obține:

$$2H_D + 3 \cdot q \cdot 1,5 - 3V_D = 0 \quad (d)$$

Din ecuațiile (b), (c) și (d) se obțin:

$$V_D = \frac{1}{6} \times 3 \times 20 \times 4,5 = 45 \text{ kN};$$

$$V_B = \frac{1}{6} \times 3 \times 20 \times 1,5 = 15 \text{ kN}$$

$$H_D = \frac{1}{2} (3 \times 45 - 3 \times 1,5 \times 20) = 22,50 \text{ kN, după care}$$

din ecuația (a) rezultă $H_B = 22,50 \text{ kN}$.

Exprimând echilibrul consolelor AB și DE prin ecuațiile (2.20) se obțin relațiile:

$$-H_B + H_A = 0; -V_A + V_B = 0; M_A - 2H_B = 0$$

$$H_D - H_E = 0; -V_E + V_D = 0; M_E - 2H_D = 0.$$

din care se obțin

$$H_A = H_B = 22,5 \text{ kN}; V_A = V_B = 15 \text{ kN}; M_A = 2H_B = 45 \text{ kNm};$$

$$H_E = H_D = 22,5 \text{ kN}; V_E = V_D = 45 \text{ kN}; M_E = 2H_D = 45 \text{ kNm};$$

Sensurile reale ale reacțiunilor sunt cele indicate în figura 5.16,e.

CAPITOLUL 6

RĂSPUNSUL CORPULUI SOLID DEFORMABIL LA ACȚIUNI MECANICE

6.1 MODELAREA CORPURILOR CA ELEMENTE DE CONSTRUCȚIE

Conceptul de solid rigid utilizat în problemele de mecanică studiate, constituie un model mecanic ipotetic ce oferă abordări și soluții deosebit de eficiente în numeroase probleme tehnice.

În realitate corpurile nu sunt indeformabile - sub acțiunea forțelor care le solicită ele își modifică forma și dimensiunile, deci se deformează.

Această proprietate a materiei a determinat adoptarea modelului de corp deformabil a cărui configurație geometrică se modifică sub acțiunea solicitărilor (forțelor) la care este supus.

Modelul de solid rigid poate apărea astfel ca un caz limită al modelului de corp solid deformabil. Într-adevăr, considerând că deformările unui corp solicitat de un sistem de forțe sunt foarte mici, corpul va tinde a se comporta ca un solid rigid.

Practic, numeroase corpuri sollicitate au deformările mici în raport cu dimensiunile lor astfel că acestea pot fi neglijate ajungându-se astfel la modelul de corp indeformabil.

Posibilitatea neglijării, în anumite cazuri, a deformărilor unui corp justifică studiul mecanicii solidului rigid și utilizarea soluțiilor acesteia în numeroase probleme ale mecanicii solidului deformabil. În domeniul construcțiilor, în funcție de formă și raportul principalelor dimensiuni

geometrice, corpurile, ca elemente de construcție poartă denumirea de:

- **B a r e.** Acestea sunt corpuri la care una din dimensiuni este mare în raport cu celelalte două. O bară este caracterizată de geometria axei longitudinale și de forma secțiunii ei transversale.

Vom înțelege prin axă a unei bare locul geometric al centrelor de greutate a secțiunilor ei transversale. În raport de forma acestora se disting:

- bare drepte (fig. 6.1.a, b, c).
- bare curbe sau frânte în plan (fig. 6.1.d).
- bare curbe sau frânte în spațiu (fig. 6.1.e).

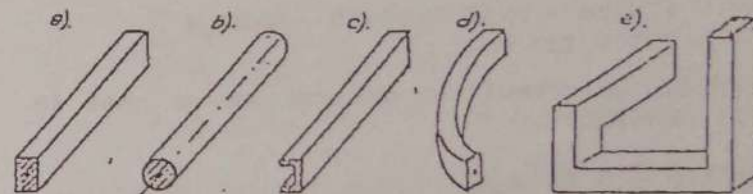


Fig. 6.1

Prin secțiune transversală a unei bare se va înțelege secțiunea obținută prin intersecția acesteia cu un plan normal pe axa ei longitudinală.

Funcție de geometria acestor secțiuni în lungul axei longitudinale în domeniul tehnicii pot fi întâlnite:

- bare de secțiune constantă, a căror arie a secțiunii transversale nu se modifică în lungul acestora.
- bare de secțiune variabilă la care aria secțiunilor transversale variază continuu sau în trepte.

Barele de secțiune foarte mici poartă denumirea de **f i r e**.

- **P l ă c i.** Generic corpurile la care două dimensiuni sunt mari în raport cu cea de-a treia poartă denumirea de plăci (fig. 6.2).

Locul geometric al mijloacelor grosimilor plăci poartă denumirea de suprafață mediană a plăcii. Grosimea plăcii se măsoară normal pe suprafața mediană.

După forma suprafeței mediane se disting: plăci plane (fig. 6.2,a), plăci cu simplă curbură (fig. 6.2,b) și plăci cu dublă curbură (fig. 6.2,c).

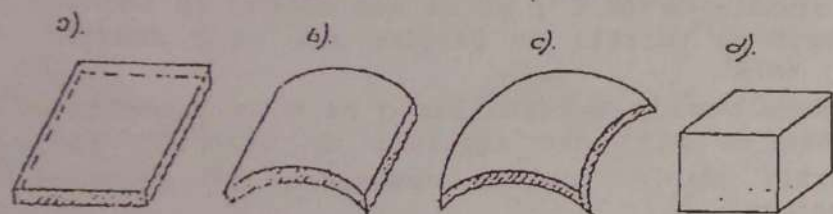


Fig. 6.2

Plăcile având grosimea foarte mică, practic neglijabilă, poartă denumirea de *membrane*.

- **B l o c u r i.** Acestea definesc corpuri ale căror dimensiuni sunt comparabile (fig. 6.2,d).

6.2 TENSIUNI ȘI EFORTURI

Așa cum se știe, în interiorul oricărui corp există o serie de forțe interatomice de atracție și respingere ce asigură existența corpului în forma și dimensiunile lui.

Sub acțiunea unui sistem de forțe exterioare corpul se deformează. Fenomenul în sine este rezultatul modificării distanțelor interatomice.

Cum în baza principiului inerției o particulă materială nu-și poate schimba poziția de repaus decât sub efectul unei forțe perturbatoare rezultă că în interiorul corpului deformabil acționat de

forțe exterioare iau naștere forțe suplimentare celor de atracție și respingere ce au tendința de modificare a distanțelor dintre particule.

Acestora, în baza principiului acțiunii și reacțiunii, atomii le opun forțe de reacțiune egale și direct opuse numite *forțe interioare*. Ele exprimă răspunsul materialului din componența corpului la acțiunea forțelor exterioare ce-i sunt aplicate.

Punerea în evidență și evaluarea forțelor interioare în Mecanica construcțiilor se face cu ajutorul *metodei secțiunilor*. Pentru prezentarea conținutului acesteia vom considera un corp deformabil în echilibru sub acțiunea forțelor exterioare.

Secționându-l cu un plan oarecare (fig. 6.3.a) se obțin două tronsoane (I) și (II) (fig. 6.3.b).

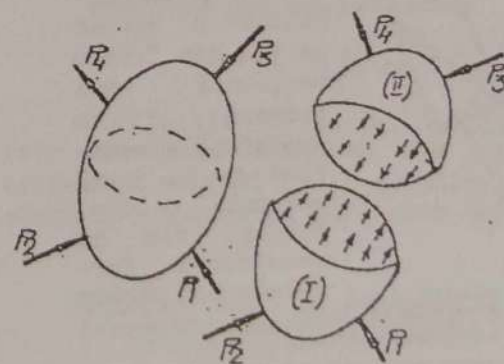


Fig. 6.3

Luate separat, fiecare din acestea, sub acțiunea forțelor ce le revin nu se vor mai găsi în echilibru.

Ceea ce-i lipsește tronsonului (I) pentru a fi în echilibru este efectul mecanic asupra acestuia a tronsonului (II); rezultă astfel

că introducând acest efect în secțiune printr-un sistem de forțe continue (pentru că și legăturile suprimate prin secționarea corpului au fost continue), tronsonul I se va afla în echilibru (ca și corpul neseționat).

Analog, tronsonului II, pentru a se afla în echilibru îi lipsește efectul mecanic al tronsonului I asupra acestuia.

Introducând în secțiune acest efect printr-un sistem de forțe continue, tronsonul II, sub acțiunea acestora și a forțelor exterioare ce-i revin se va afla și el în echilibru.

Prin urmare, efectul unui tronson asupra celuilalt este echivalent cu un sistem de forțe continue. Considerând acum corpul neseționat, în orice secțiune ipotetică a lui efectul unei părți asupra celeilalte există și se va exercita identic, în concluzie, în acestea iau naștere forțe interioare.

Observând că orice secțiune a corpului este în echilibru, prin recuplarea tronsonului I și II forțele continue de pe fețele acestora trebuie să se anuleze reciproc. În consecință forțele interioare pe cele două fețe ale unei secțiuni formează totdeauna sisteme egale și direct opuse.

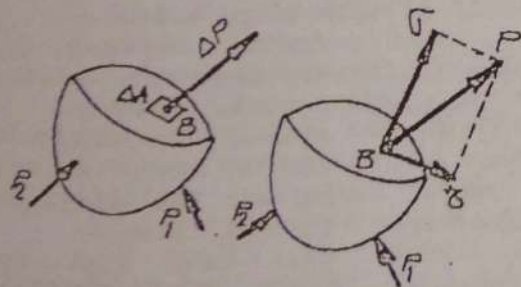


Fig. 6.4

Să considerăm acum un punct arbitrar B situat pe una din fețele secțiunii unui tronson și o suprafață elementară ΔA în jurul acestuia (fig. 6.4, a). Fie ΔP rezultanta forțelor interioare

acționând pe suprafața elementară ΔA . Raportul $p_m = \frac{\Delta P}{\Delta A}$ (6.1) poartă denumirea de *tensiune medie totală*. Limita raportului dat de relația (6.1) când $\Delta A \rightarrow 0$, reprezintă *tensiunea totală* sau *efortul unitar total* în punctul B notat cu p :

$$p = \lim_{\Delta A \rightarrow 0} \frac{\Delta P}{\Delta A} \quad (6.2)$$

Tensiunea totală p are caracter de vector. Componenta acestuia după normala la secțiune poartă denumirea de *tensiune normală* (sau *efort unitar normal*) notată cu σ iar componenta din planul secțiunii se numește *tensiune tangențială* (sau *efort unitar tangențial*) în punctul respectiv și se notează cu τ .

Între cele 3 tensiuni există totdeauna relația evidentă:

$$\sigma^2 + \tau^2 = p^2 \quad (6.3)$$

Tensiunile p , σ și τ reprezintă rapoarte între forțe și suprafețe, în consecință ele vor avea dimensiunile de $[F \cdot L^{-2}]$ și se vor măsura în unități de forță pe unități de lungime cum sunt daN/cm^2 , N/mm^2 , kN/m^2 .

Rezultantele tensiunilor σ și τ pe elementele de arie dA ale unei secțiuni au valorile σdA , respectiv τdA și poartă denumirea de *eforturi elementare*.

Reducând în centrul de greutate a secțiunii eforturile elementare se obține un număr de 6 mărimi mecanice numite *eforturi secționale* sau *simplu eforturi* ce caracterizează solicitarea globală a întregii secțiuni considerate. Pentru exprimarea acestora vom raporta tronsoanele rezultate prin secționare la un triedru cartezian cu axele Oy și Oz conținute în planele fețelor secțiunii fiecăruia (fig. 6.5).

Prin reducerea efortului elementar σdA în centrul de greutate "O" al secțiunii se obține (fig. 6.5.b):

- o forță N , reprezentând proiecția după axa barei a tuturor eforturilor elementare σdA , numită *forță axială*:

$$N = \int_A \sigma dA \quad (6.4)$$

pozitivă dacă este orientată înspre normala exterioară a secțiunii și negativă în caz contrar.

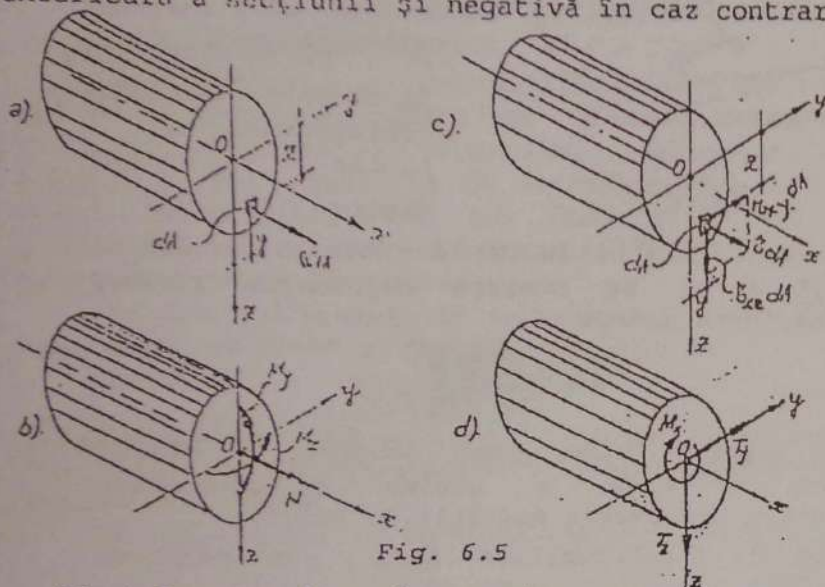


Fig. 6.5

Efectele mecanice ale acestor sensuri sunt de întindere și respectiv de comprimare a corpului, prin urmare forța tăietoare este pozitivă dacă produce în secțiunea considerată întindere și negativă dacă produce compresiune.

- două momente M_y și M_z ce au tendința de rotire a feței secțiunii în jurul axelor Oy și Oz , numite momente încovoietoare:

$$M_y = \int_A \sigma z dA \quad (6.5)$$

$$M_z = \int_A \sigma y dA \quad (6.6)$$

pozitive când au sensul momentelor date de un efort elementar σdA pozitiv acționând în cadranul I ($y > 0$; $z > 0$).

Considerând acțiunea efortului elementar τdA prin efectul componentelor ei $\tau_{xy} dA$ și $\tau_{xz} dA$ (fig. 6.5, c) componentele ei de reducere în raport cu același punct 0 vor fi (fig. 6.5, d):

- două forțe T_y și T_z conținute în planul secțiunii numite forțe tăietoare:

$$T_y = \int_A \tau_{xy} dA \quad (6.7)$$

$$T_z = \int_A \tau_{xz} dA \quad (6.8)$$

- un moment M_x ce are tendința de rotire a feței secțiunii în jurul axei Ox , numit moment de torsiune sau de răsucire:

$$M_x = M_t = \int_A (\tau_{xzy} - \tau_{xyz}) dA \quad (6.9)$$

Eforturile N , M_y , M_z , T_y , T_z și M_x pe cele două fețe ale unei secțiuni din corp (bară) formează totdeauna perechi egale și direct opuse reprezentând efectul tronsonului înlăturat asupra celui păstrat.

6.3 DEPLASĂRI ȘI DEFORMĂȚII. LEGĂTURA DINTRE TENSIUNI ȘI DEFORMĂȚII. LEGEA LUI HOOKE

Deformabilitatea reprezintă proprietatea corpurilor de a-și modifica forma și dimensiunile sub acțiunea forțelor exterioare, a variațiilor de temperatură etc. Ea diferă de la corp la corp fiind în strânsă legătură cu proprietățile fizice ale acestora, cu forma, dimensiunile și modul lor de fixare.

Proprietatea corpurilor de a-și reveni la forma lor inițială, după înlăturarea cauzelor ce le-au deformat poartă denumirea de elasticitate.

Reprezentând modificări de formă și dimensiuni, deformarea corpurilor se va exprima prin mărimi geometrice (lungimi, unghiuri). Pentru

prezentarea acestora vom considera corpul deformabil din figura 6.6, în echilibru sub acțiunea forțelor exterioare și de legătură și un punct arbitrar al acestuia A (fig. 6.6).

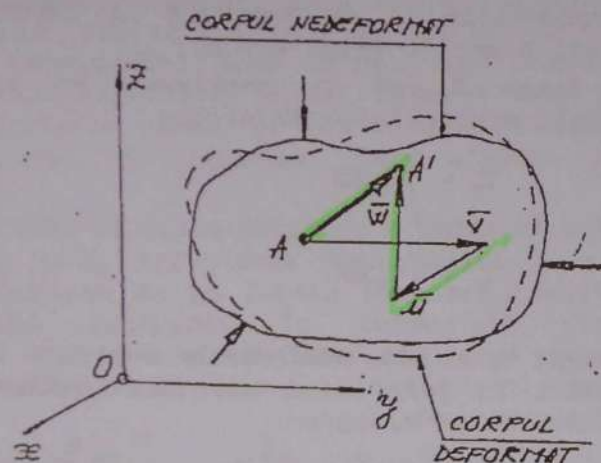


Fig. 6.6

Prin deformare punctul A ajunge într-o altă poziție A'. Segmentul $\overline{AA'}$ poartă denumirea de vector deplasare totală a punctului A. Proiecțiile acestuia după axele sistemului de referință Ox, Oy și Oz se notează cu u, v și w (fig. 6.6) și poartă denumirea de deplasări.

Imaginându-ne corpul ca fiind alcătuit dintr-o mulțime de paralelipede elementare, prin deformare, muchiile acestora își modifică dimensiunile iar unghiurile dintre ele, inițial drepte se modifică. Modificarea distanțelor dintre două puncte din corp și a unghiurilor între două direcții poartă denumirea de deformări.

Pentru definirea acestora vom considera în corp (fig. 6.7) punctele A și B definind segmentul $AB=l$ și punctele C, O și D formând unghiul drept \widehat{COD} .

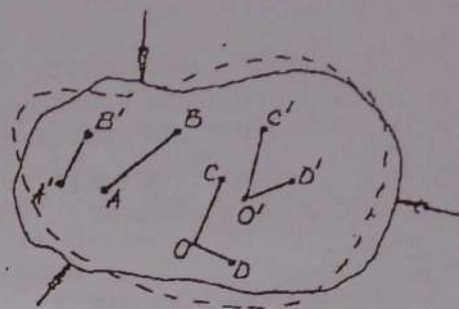


Fig. 6.7

Prin deformarea corpului toate punctele menționate își vor modifica poziția ajungând în A', B', C', D' și O'. Mărimea $\Delta l = A'B' - AB = l' - l$ se numește deformare liniară absolută. Limita raportului dintre Δl și l definit prin relația (6.10) se notează cu litera grecească ϵ și se numește deformare liniară specifică, prin urmare

$$\epsilon = \lim_{l \rightarrow 0} \frac{\Delta l}{l} \quad (6.10)$$

Ca raport între două lungimi, alungirea specifică ϵ este o mărime adimensională, reprezentând deformarea unității de lungime.

Dacă $l' > l$ deformările Δl și ϵ sunt pozitive și reprezintă întinderi iar dacă $l' < l$ ele au valori negative și reprezintă scurtări.

Mărimea γ definită prin relația (6.11) poartă denumirea de deformare unghiulară sau lunecare specifică în punctul O al planului COD:

$$\gamma = \lim_{\substack{CO \rightarrow 0 \\ DO \rightarrow 0}} (\widehat{COD} - \widehat{C'O'D'}) \quad (6.11)$$

Lunecarea γ este deci un unghi și se măsoară în radiani. Dacă reprezintă o micșorare a unghiurilor drepte lunecarea γ se consideră pozitivă - în caz contrar ea este negativă și reprezintă o mărire a unghiului drept.

Deformațiile γ și ϵ pot fi:

- elastice atunci când se anulează după îndepărtarea cauzei ce le-a produs.
- remanente când se mențin și după îndepărtarea cauzei care le-a generat.

Tensiunile σ și τ și deformațiile ϵ și γ definite mai sus reprezintă cauza și efectul aceluiași fenomen - al deformării corpurilor. Legătura dintre acestea a fost stabilită de matematicianul englez Robert Hooke (1635-1703) sub forma unei legi de proporționalitate între tensiunile și deformațiile elastice produse de acestea.

În domeniul elastic de sollicitare al materialelor, legea lui Hooke se exprimă prin relația:

$$\sigma = E \cdot \epsilon \quad (6.12)$$

în care E reprezintă un factor de proporționalitate numit modul de elasticitate longitudinală sau modulul lui Young.

O lege de aceeași formă există și între τ și γ :

$$\tau = G \cdot \gamma \quad (6.13)$$

în care G reprezintă modulul de elasticitate transversală a materialului.

Modulii E și G au aceleași dimensiuni și se măsoară în aceleași unități ca și tensiunile σ și τ .

6.4 COMPORTAREA MATERIALELOR SUB SARCINI.

CARACTERISTICILE MECANICE ALE MATERIALELOR

În tehnica construcțiilor se utilizează o mare varietate de materiale: piatra, lemnul, oțelul, masele plastice, betoanele, sticla etc.

Elementele de rezistență (stâlpi, grinzi, pereți etc.) realizate din acestea sunt corpuri solide deformabile.

Sub efectul acțiunii forțelor exterioare în interiorul acestora iau naștere forțe interioare

(conform celor arătate în paragraful 6.2) și se produc deformațiile ϵ și γ definite în aliniatul 6.3.

Tensiunile (σ, τ) și deformațiile (ϵ, γ) ce iau naștere într-o secțiune a corpului caracterizează așa numita stare de sollicitare și deformație din secțiunea considerată și sunt preluate de materialul din componența corpului.

Capacitatea acestuia de a prelua forțe și deformații este însă limitată. La o anumită valoare a acestora $(\sigma_r, \tau_r, \epsilon_r, \gamma_r)$ materialul se rupe (cedează).

Perechile de valori $\sigma_r - \epsilon_r, \tau_r - \gamma_r$ pentru care are loc ruperea sunt specifice fiecărui material în parte, în consecință ele reprezintă caracteristici mecanice ale materialului.

Determinarea lor se face pe cale experimentală, prin încercări mecanice ce se efectuează pe probe sau epruvete, confecționate din materialul studiat.

În cazul materialelor de construcții principalele caracteristici mecanice se deduc prin încercările la întindere și la compresiune. Efectuarea lor se realizează pe epruvete de forma celor arătate în figura 6.8 cu ajutorul unor mașini special destinate acestui scop numite prese pentru încercări mecanice.

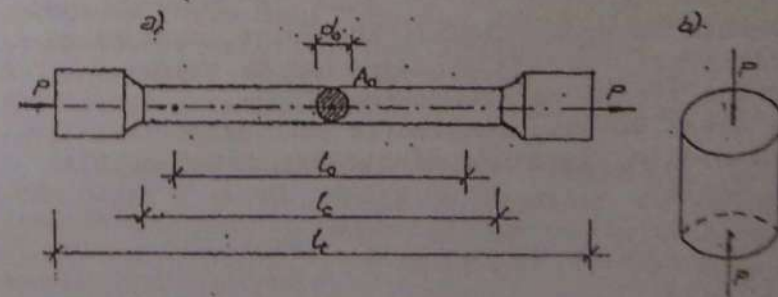


Fig. 6.8

ℓ_c - lungimea calibrată, de formă cilindrică având suprafața riguros prelucrată.

A, B - repere fixate pe ℓ_c

ℓ_0 - baza de măsurare, folosită pentru determinarea deformațiilor liniare.

Încărcarea epruvetelor se face progresiv, de la zero la rupere. Sub acțiunea încărcării exterioare în epruvetă iau naștere tensiuni normale σ și deformații specifice ϵ , valorile acestora crescând și ele progresiv de la zero la cele de rupere σ_r , ϵ_r .

Dacă în orice moment al încercării sunt determinate și reprezentate grafic perechile de valori σ - ϵ se obține un grafic ce poartă denumirea de curbă caracteristică a materialului la sollicitarea efectuată. Această curbă, specifică fiecărui material în parte, pune în evidență comportarea sub încercări a materialului respectiv permițând stabilirea principalelor sale caracteristici mecanice folosite în calculul de rezistența materialelor.

Pentru ilustrare, în figura 6.9 este prezentată curba caracteristică la întindere și compresiune a oțelului moale pentru construcții, obținută pe baza încercărilor mecanice efectuate pe epruvete de forma arătată în figurile (6.8,a) și (6.8,b).

Alura acesteia prezintă:

- porțiune dreaptă OP ce pune în evidență un domeniu de proporționalitate între tensiuni și deformații, delimitat superior de valoarea σ_p numită limită de proporționalitate.

Pe acest domeniu tensiunile sunt proporționale cu deformațiile, legătura dintre ele fiind dată de relația (6.12).

- porțiune curbă PE, puțin diferită de dreapta PE, delimitată superior de valoarea σ_e numită limită de elasticitate a materialului. Încărcat până la atingerea tensiunii σ_e și apoi descărcat de forțe, corpul își revine la forma și dimensiunile lui inițiale, materialul acestuia comportându-se perfect elastic.

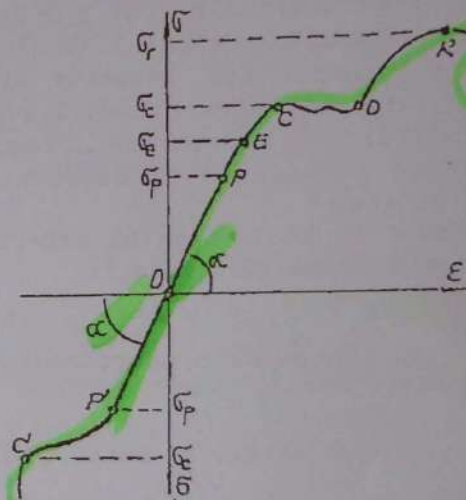


Fig. 6.9

- o porțiune curbă E-C, a cărei înclinație spre axa $O\epsilon$ crește, ce pune în evidență o creștere mai accentuată a deformațiilor ϵ cu creșterea tensiunilor σ . Superior aceasta este delimitată de tensiunea σ_e numită limită de curgere.
- La atingerea acestei valori deformațiile cresc foarte mult fără o creștere a tensiunilor sau chiar însoțită de scăderea acestora.
- o porțiune C-D formată dintr-o linie neregulată, aproximativ paralelă cu axa $O\epsilon$ numită palier de curgere al materialului care se întinde între punctele C și D.

- porțiune curbă D-R a cărei înclinație spre axa $O\sigma$ crește foarte mult cu creșterea tensiunilor σ , punând în evidență creșteri importante a deformațiilor ϵ la creșteri mici ale tensiunilor σ . Superior aceasta este delimitată de tensiunea σ_R reprezentând tensiunea maximă preluată de material.

- porțiune curbă descendentă R-R' pe care deformațiile ϵ cresc în timp ce tensiunile scad. Cauza fenomenului este legată de gătuirea (reducerea secțiunii) epruvetei la atingerea tensiunii σ_R .

Capătul acestei curbe este punctul R' căruia îi corespunde tensiunea σ_R la care epruveta (materialul) se rupe.

Dacă încărcarea epruvetei este de compresiune (fig. 6.8,b) legătura dintre tensiunile σ și deformațiile ϵ se obține în același mod. Reprezentând grafic perechi de valori σ și ϵ în sistemul de axe $(-O\epsilon; -O\sigma)$ se obține curba caracteristică a oțelului la compresiune (fig. 6.9). În geometria acestora se disting:

- un domeniu de proporționalitate OP' pe care tensiunile de compresiune ($\sigma < 0$) sunt proporționale cu deformațiile specifice ϵ reprezentând scurtări ($\epsilon < 0$). Inferior acesta este delimitat de punctul P' căruia îi corespunde limita de proporționalitate la compresiune $\sigma_p \approx \sigma_p$

- porțiune curbă P'-C' delimitată superior de tensiunea de curgere $\sigma_c \approx \sigma_c$. Mai departe, pentru valori $\sigma > \sigma_c$, epruveta se turtește fără a interveni ruperea materialului.

Alte materiale, la aceleași solicitări, prezintă curbe caracteristice diferite față de curba caracteristică a oțelului, moale, anumite zone și puncte caracteristice fiind neglijabile sau chiar inexistente.

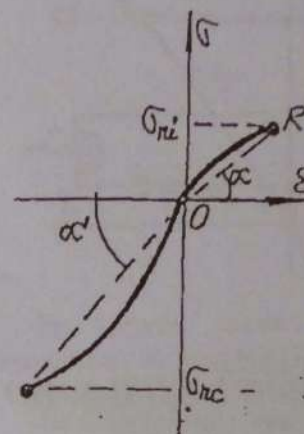


Fig. 6.10

Așa spre exemplu, în curba caracteristică a fontei (fig. 6.10) singurul punct ce poate fi pus în evidență este cel corespunzător rupei. Ramurile OR și OR' ale curbei diferă de dreptele OR și OR' astfel că legea lui Hooke este aplicabilă numai în limitele unor aproximații.

Rezistența la rupere prin întindere σ_R este diferită de rezistența la

rupere prin compresiune σ_{Rc} . Curba caracteristică a oțelului (fig. 6.9) este reprezentativă pentru materialele ductile, la care ruperea este precedată de apariția și dezvoltarea unor deformații mari. La rândul ei, curba caracteristică a fontei (fig. 6.10) este tipică materialelor casante, la care ruperea precede deformații neînsemnate.

Utilizarea în calcule a curbelor caracteristice reale ale materialelor (fig. 6.9) este în general dificilă. Din acest motiv în locul acestora sunt folosite curbe caracteristice schematizate.

Astfel, pentru materialele ductile se folosește curba unui material ideal elasto-plastic compusă din două porțiuni drepte OC și CR (fig. 6.11,a) iar pentru materialele casante curba corespunzătoare unui material ideal liniar elastic (fig. 6.11,b).

În baza acestora, între tensiunile σ și deformațiile ϵ se admite o legătură de proporționalitate până la atingerea limitei de curgere σ_c la materialele ductile și a limitei de rupere σ_R la materialele casante.

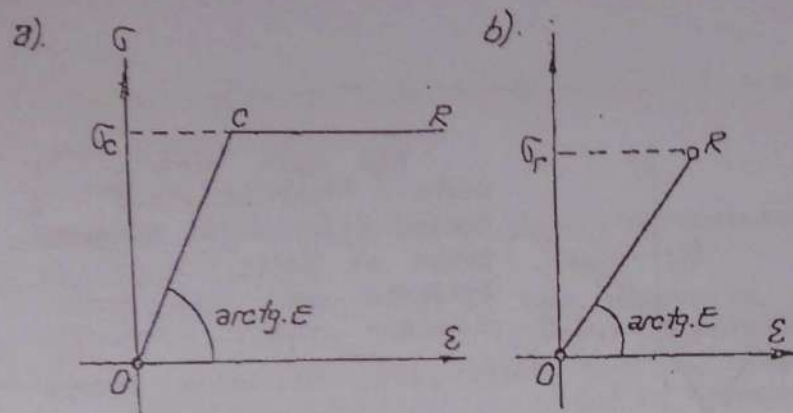


Fig. 6.11

Tensiunile σ_p , σ_a , σ_c , σ_r , σ_p , σ_c , modulul de elasticitate longitudinală E și modulul de elasticitate transversală G , constituie caracteristici mecanice ale materialelor. Ele reprezintă o măsură a proprietăților mecanice ale materialelor, marcând frontierele la care răspunsul acestora la acțiunea forțelor se modifică calitativ. Pe baza lor este precizată comportarea materialului pe anumite trepte de solicitare, permițând astfel controlul răspunsului unui material la solicitările exterioare.

O problemă fundamentală a mecanicii structurilor de rezistență o constituie asigurarea acestora împotriva ruperii (cedării) sub acțiunea încărcărilor la care sunt supuse. Referindu-ne la un element de rezistență (grindă, stâlp etc.) în care solicitările exterioare produc tensiuni normale σ , acesta va prelua încărcarea exterioară fără să se rupe atât timp cât în cea mai solicitată secțiune a sa (numită și secțiune periculoasă) tensiunile menționate vor îndeplini condiția evidentă:

$$\sigma_{\max} \leq \sigma_r \quad (6.14)$$

În cazul materialelor ductile, condiția de rezistență este exprimată în funcție de σ_c prin relația:

$$\sigma_{\max} \leq \sigma_c \quad (6.15)$$

Pentru a se avea certitudinea că relațiile (6.14 și 6.15) vor fi satisfăcute în orice situație, tensiunile σ_{\max} se limitează la o fracțiune din tensiunile de cedare (σ_r , σ_c) numită rezistență de calcul a materialului, notată cu R . Cu aceasta condiția de rezistență într-o secțiune se va exprima prin relația:

$$\sigma_{\max} \leq R \quad (6.16)$$

Pentru corpurile în secțiunile cărora iau naștere tensiuni tangențiale τ (forfecarea și torsiunea pură) condiția de rezistență se exprimă prin relația:

$$\sigma_{\max} \leq R_f \quad (6.17)$$

Rezistențele de calcul R și R_f reprezintă la rândul lor caracteristicile mecanice de calcul ale materialelor. Valorile lor sunt date în standarde și norme tehnice, fiind specifice fiecărui corp, prin urmare reprezintă caracteristici ale acestora. Astfel, pentru oțelul Ob37 folosit în construcții $R=2100 \text{ daN/cmp}$, $E=2.1 \cdot 10^6 \text{ daN/cmp}$; $R_f=(0.65+0.80)R$ iar pentru lemnul de rășinoase $R=(100..110) \text{ daN/cmp}$, $E=0.1 \cdot 10^6 \text{ daN/cmp}$.

6.5 IPOTEZELE DE CALCUL ALE REZISTENȚEI MATERIALELOR

Exprimarea prin formule matematice a comportării corpurilor deformabile sub acțiunea forțelor aplicate asupra lor se face pe baza unor ipoteze simplificatoare de calcul privitoare la structura, proprietățile materialelor și caracterul

deformațiilor. Deși schematizează fenomenele naturale, ele reflectă cu suficientă rigurozitate comportarea reală a corpurilor, utilizarea lor facilitând abordări și simplificări de calcul însemnate. Aceste ipoteze sunt:

1. **Materia din care sunt alcătuite corpurile (elemente de construcție) este continuă**, în consecință întreaga volum al corpului este umplut cu material. În baza acesteia, toate mărimile privitoare la proprietățile materialelor și starea de solicitare din corp vor fi reprezentate prin funcții continue pe domeniul studiat.

2. **Materialul corpurilor se consideră omogen și izotrop**, adică prezintă aceleași proprietăți în orice punct și pe orice direcție.

3. **Deformațiile corpurilor (elementelor de construcție) sunt mici în raport cu dimensiunile lor.** Urmare acestui fapt exprimarea echilibrului forțelor se poate face pe forma nedeformată a corpului.

4. **Corpurile se consideră perfect elastice**, legătura dintre tensiunile și deformațiile ce iau naștere în acestea fiind dată de legea lui Hooke. Valabilitatea ipotezei se extinde până la tensiuni $\sigma \leq \sigma_e$ în cazul materialelor ductile și $\sigma \leq \sigma_r$ la materialele casante (fig. 6.11).

5. **Se admite valabilitatea principiului lui Baré de Saint Venant** conform căruia modul de aplicare a sistemelor de forțe static echivalente influențează apreciabil starea de tensiune și deformații în zona lor de acțiune dar are o influență neglijabilă în zonele suficient de îndepărtate de locul de aplicare.

Pentru ilustrare în figura (6.12) s-au prezentat 4 moduri diferite de realizare a unei solicitări de întindere și zonele influențate de modalitățile de aplicare a încărcărilor.

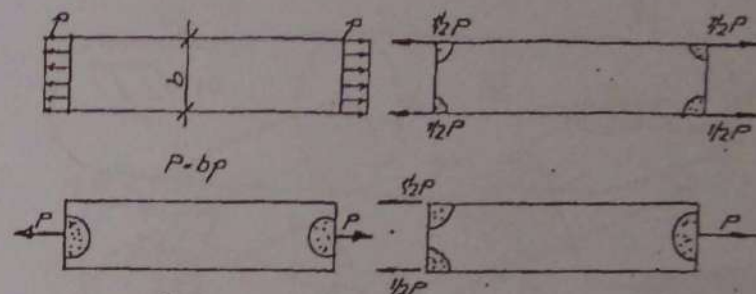


Fig. 6.12

În afara acestora starea de tensiune și deformație a corpului este identică, ea nu depinde deci de modul de aplicare a forțelor.

6. **Ipoteza lui Bernoulli în baza căreia o secțiune plană și normală pe axa unei bare înainte de deformare, rămâne plană și normală pe axa aceleiași bare și după deformare.**

7. **Deformațiile secțiunilor transversale ale barelor sunt mici și se neglijează.**

6.6 DETERMINAREA EFORTURILOR SECȚIONALE

Eforturile N , T (T_y , T_z), M_1 (M_y , M_z) și $M_x = M_t$ definite prin relațiile (6.4) - (6.9) reprezintă la rândul lor efectul tronsonului înălțat asupra celui păstrat exprimat prin intermediul forțelor interioare elementare σdA , τdA . Acestea sunt însă necunoscute, motiv pentru care calculul eforturilor cu aceste relații este practic imposibil.

Utilizând aceeași metodă a secțiunilor, efectul unui tronson asupra celui alt poate fi însă înlocuit cu elementele de reducere a forțelor exterioare (de regulă cunoscute) de pe tronsonul înălțat (fig. 6.13,a) calculate în centrul de greutate a feței tronsonului păstrat (fig. 6.13,b). În cel mai general caz de încărcare a corpului (fig. 6.13,a) pe fiecare tronson obținut prin secționare, vor acționa sisteme de forțe oarecare în spațiu.

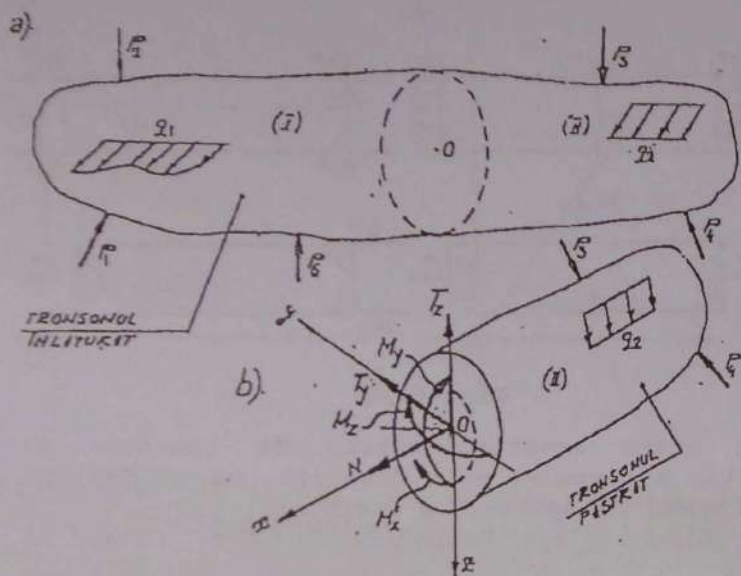


Fig. 6.13

Reduse în centrul de greutate a feței tronsonului păstrat (fig. 6.13,b), raportat la sistemul cartezian $Oxyz$ cu axele Oy și Oz în planul secțiunii, acestea dau naștere forțelor N , T_y , T_x și momentelor M_y , M_z și M_x reprezentând eforturile secționale în secțiunea considerată. Prin urmare:

- forța axială N într-o secțiune a unui corp reprezintă suma proiecțiilor după axa acestuia a tuturor forțelor de pe tronsonul înălăturat, fiind pozitivă când este orientată după normala exterioară a secțiunii și negativă în caz contrar (fig. 6.14,a).
- forțele tăietoare T_x și T_y reprezintă suma proiecțiilor după axele Oz și Oy a tuturor forțelor de pe tronsonul alăturat.

Semnul acestora este pozitiv când au tendința de rotire a tronsonului pe a cărei față acționează în sens orar și negativ în caz contrar (fig. 6.14,b).

- momentul încovoietor M_y într-o secțiune reprezintă suma momentelor tuturor forțelor de pe tronsonul înălăturat în raport cu axa Oy . Efectul mecanic al acestuia este de rotire a secțiunii (considerate ca o șabă rigidă) în jurul axei Oy .

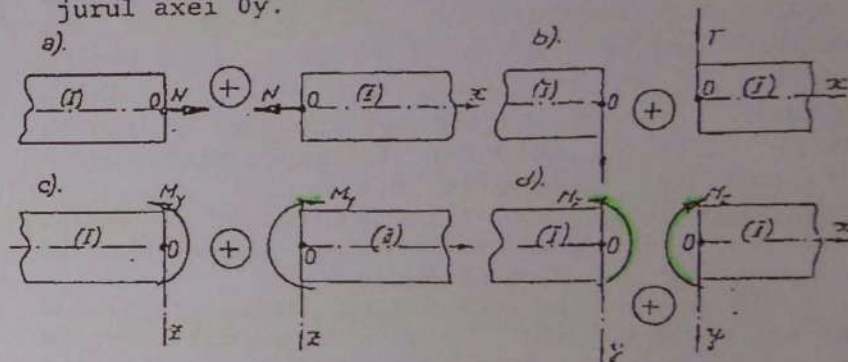


Fig. 6.14

Este pozitiv când prin rotirea menționată sunt întinse fibrele extreme ale tronsonului situate spre sensul pozitiv al axei z și negativ în caz contrar (fig. 6.14,c).

- momentul încovoietor N_z reprezintă suma momentelor tuturor forțelor de pe tronsonul înălăturat calculate în raport cu axa Oz . Are ca efect mecanic tendința de a roti secțiunea în jurul axei Oz . Este pozitiv când întinde fibrele extreme ale secțiunii situate spre sensul pozitiv al axei Oy și negativ în caz contrar (fig. 6.14,d).
- momentul de torsiune M_x într-o secțiune reprezintă suma momentelor tuturor forțelor de pe tronsonul înălăturat în raport cu axa Ox .

Efectul său mecanic este de rotire a secțiunii în jurul axei Ox . Semnul pozitiv al acestuia se alege convențional.

Observație

În figura 6.13 a fost înlăturat tronsonul din stânga și păstrat cel din dreapta (fig. 6.13,b).

Dacă s-ar fi înlăturat tronsonul din dreapta și s-ar fi păstrat cel din stânga, pe fața secțiunii acestuia s-ar fi obținut aceleași eforturi N , T_y , T_z , M_y , M_z și M_x .

Prin urmare, eforturile secționale susmenționate formează pe cele două fețe a oricărei secțiuni perechi egale și direct opuse.

Urmare acestui fapt alegerea tronsonului înlăturat este arbitrară. Pentru economia calculului se recomandă ca acesta să fie selectat în funcție de încărcări (cel mai simplu și mai puțin încărcat).

6.7 TIPURI DE SOLICITĂRI

Eforturile N , T_y , T_z , M_y , M_z și $M_x=M_t$ pot fi parțial sau în totalitate diferite de zero.

Dacă într-o secțiune este diferit de zero un singur efort solicitarea acestuia se numește simplă sau pură.

Funcție de natura acestuia se disting următoarele solicitări simple:

- întinderea și compresiunea centrică $N \neq 0$; $T=M=M_t=0$ (fig. 6.15,a).
- forfecarea pură $T \neq 0$ (T_y sau T_z); $N=M=M_t=0$ (fig. 6.15,b).
- încovoierea pură $M \neq 0$ (M_y sau M_z); $N=T=M_t=0$ (fig. 6.15,c).
- torsiunea $M_t \neq 0$; $N=M=M_t=0$ (fig. 6.15,d).

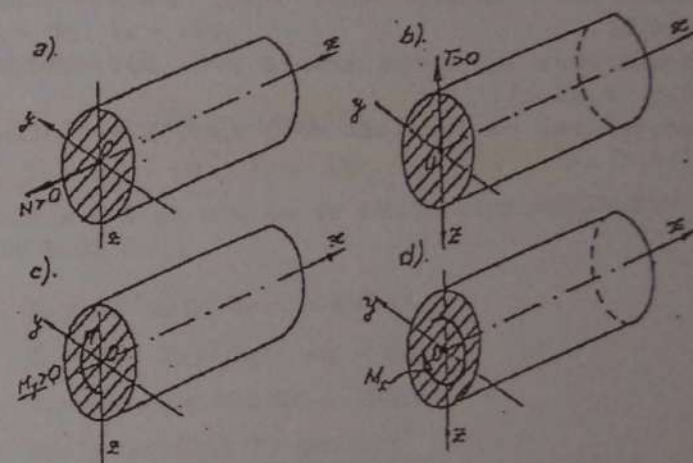


Fig. 6.15

Dacă însă, într-o secțiune transversală sunt diferite de zero două sau mai multe eforturi, solicitarea respectivă se numește compusă (fig. 6.16).

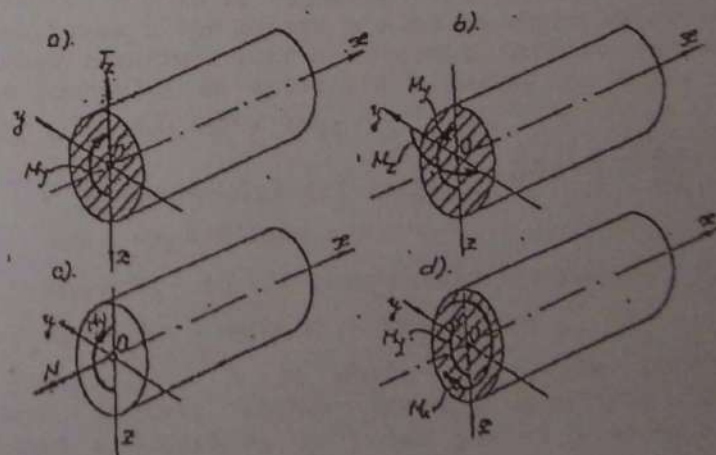


Fig. 6.16

Principalele solicitări compuse sunt:

- încovoierea cu forță tăietoare $M \neq 0$; $T \neq 0$; $N = M_c = 0$ (fig. 6.16,a).
- încovoierea oblică $M_y \neq 0$; $M_z \neq 0$; $N = M_x = 0$ (fig. 6.16,b).
- încovoierea cu forță axială $N \neq 0$; $M \neq 0$; $T = M_c = 0$ (fig. 6.16,c).
- încovoierea cu torsiune $M \neq 0$; $M_x \neq 0$; $N = T = 0$ (fig. 6.16,d).

CAPITOLUL 7

DIAGrame DE EFORTURI LA STRUCTURI ALCĂTUITE DIN BARE

7.1 DEFINIȚII. TRASAREA DIAGRAMELOR DE EFORTURI PE BAZA EXPRESIEI LOR ANALITICE

Eforturile secționale sunt mărimi mecanice ce caracterizează solicitarea întregii secțiuni normale a unei bare. Cum poziția unei secțiuni în lungul barei se definește prin abscisa x măsurată de la un punct arbitrar luat drept origine și cum eforturile depind în general de secțiune, rezultă că ele se vor exprima prin funcții de variabila x :

$$N = N(x); M_y = M_y(x)$$

$$T_y = T_y(x); M_z = M_z(x)$$

$$T_z = T_z(x); M_c = M_c(x)$$

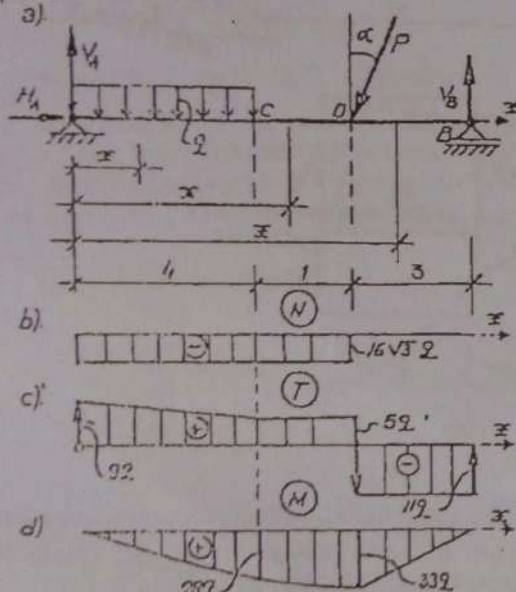
(7.1)

Graficele acestor funcții poartă denumirea de diagrame de eforturi; vom avea astfel diagramele eforturilor N , T_y , T_z , M_y , M_z și M_c .

În raport de natura încărcărilor (continue sau discontinue), eforturile au expresii analitice diferite corespunzătoare intervalelor de încărcare continuă sau a celor dintre două încărcări punctuale consecutive.

Notând cu x abscisa secțiunii curente a barei, funcțiile eforturilor din relațiile (7.1) se obțin în baza semnificației mecanice a fiecăruia dintre ele. Astfel, pentru grinda din fig. (7.1) încărcată discontinuu, cu forța continuă q (uniform distribuită) și forța concentrată $P = 32q$,

expresiile analitice ale eforturilor pe intervalele A-C, C-D și D-B vor fi:



• Pe intervalul I (A-C):

$$N_I = -H_A; T_I = V_A - qx;$$

$$M_I = V_A x - qx \cdot \frac{x}{2} = V_A x - q \cdot \frac{x^2}{2}$$

Reacțiunile din reazeme se determină exprimând echilibrul grinzii printr-o ecuație de proiecție după axa x și două ecuații de moment nul în raport cu punctele A și B.

$$R_A = H_A - P \cdot \sin \alpha = 0$$

$$M_B = 0V_A - 6 \cdot 4q - 3P \cos \alpha = 0$$

$$M_A = 0V_B - 2 \cdot 4q - 5P \cos \alpha = 0$$

Rezolvând ecuațiile de mai sus se obțin: $H_A = 16\sqrt{3}q$; $V_A = 9q$; $V_B = 11q$.

Cu acestea:

$$N_I = -16\sqrt{3}q = \text{constant}$$

$$T_I = 9q - qx; M_I = 9qx - q \cdot x^2/2$$

Pentru $x = 0$ și $x = 4m$ se obțin eforturile din secțiunile A și C:

$$N_A = -16\sqrt{3}q; N_C = -16\sqrt{3}q;$$

$$T_A = 9q; T_C = 9q - 4q = 5q;$$

$$M_A = 0; M_C = 36q - 8q = 28q;$$

• Pe intervalul II (C-D):

$$N_{II} = -16\sqrt{3}q = \text{constant}$$

$$T_{II} = V_A - 4q = 5q = \text{constant}$$

$$M_{II} = V_A x - 4q(x-2) = 9qx - 4q(x-2)$$

Pentru $x = 4m$ se regăsesc valorile eforturilor din secțiunea C iar pentru $x = 5m$ se obțin valorile aceluiași eforturi într-o secțiune infinit vecină stânga punctului de aplicare a forței P, $N_D^{st} = -16\sqrt{3}q$; $T_D^{st} = 5q$; $M_D^{st} = 33q$;

• Pe intervalul III (D-B):

$$N_{III} = -H_A + P \cdot \sin \alpha = 0$$

$$T_{III} = V_A - 4q - P \cdot \cos \alpha = -11q = \text{constant}$$

$$M_{III} = V_A x - 4q(x-2) - P(x-5) \cos \alpha$$

Pentru $x = 5$ se obțin eforturile într-o secțiune infinit vecină dreapta punctului de aplicare a forței P, (D^{dr}) iar pentru $x = 8m$ se obțin eforturile din secțiunea B:

$$N_0^{dr} = 0; N_B = 0;$$

$$T_0^{dr} = -11q; T_B = -11q;$$

$$M_0^{dr} = 33q; M_B = 0;$$

Alegând un sistem de referință format din axa barei, ca axă a absciselor și normala pe aceasta ca axă a eforturilor (N , T , M) se obțin graficele din figurile 7.1,b, 7.1,c și 7.1,d care reprezintă diagramele eforturilor N , T și M pe bară din încărcarea dată.

7.2 RELAȚIILE DIFERENȚIALE DINTRE EFORTURI ȘI ÎNCĂRCĂRI ȘI UTILIZAREA LOR LA TRASAREA DIAGRAMELOR DE EFORTURI

Trasarea diagramelor de eforturi pe baza expresiilor analitice ale acestora este dificilă, în special atunci când încărcările sunt mai complexe, conducând la un număr mare de intervale și la funcții ale eforturilor de grad superior.

Metoda practică ce elimină inconvenientele menționate substituie găsirea și reprezentarea grafică a unor funcții analitice prin determinarea valorii eforturilor respective în anumite secțiuni caracteristice ale barei, trasarea diagramelor de eforturi făcându-se apoi pe baza unor relații diferențiale ce există între eforturi și încărcările continue.

Modul de calcul al eforturilor în secțiuni se face conform celor arătate în aliniatul 6.6. Pentru stabilirea relațiilor diferențiale menționate vom considera o bară solicitată de un sistem de forțe coplanare (concentrate, distribuite și cupluri) și două secțiuni x și $x+dx$ situate pe intervalul încărcat cu forțe continue (fig. 7.2,a).

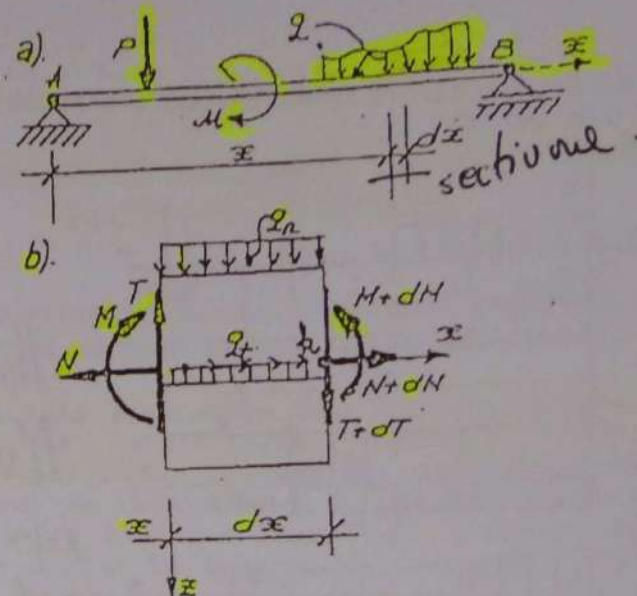


Fig. 7.2

Dețășând lungimea de bară dx , asupra acesteia vor acționa forța q , (de componente q_n și q_t după normala și tangenta la axa barei) și eforturile de continuitate din cele două secțiuni. Deoarece lungimea dx poate fi luată oricât de mică, forța q și componentele ei q_n și q_t pot fi considerate ca uniform distribuite pe acest interval.

Fie N , T și M eforturile produse de încărcări în secțiunea x .

Cum aceste mărimi sunt funcții continue, creșterii abscisei de la x la $x+dx$ îi vor corespunde creșteri corespunzătoare a eforturilor, astfel că valoarea acestora în secțiunea $x+dx$ vor fi: $N+dN$, $T+dT$ și $M+dM$ (fig. 7.2,b).

Exprimând echilibrul elementului detașat prin două ecuații de proiecții nule în raport cu axele x și z și o ecuație de moment nul în raport cu punctul k (fig. 7.2,b) se obține:

$$\sum F_x = 0 \Rightarrow -N + q_n dx + N + dN = 0$$

$$\sum X = -N + q_c dx + N + dN = 0$$

$$\sum Y = -T + q_n dx + T + dT = 0$$

$$\sum M = -N + T dx - q_n dx \cdot dx/2 - (M + dM) = 0$$

Dacă în relațiile de mai sus se reduc termenii asemenea și se neglijează pătratul cantității dx , ca mărime infinitezimală la puterea a doua, după împărțirea egalității cu dx rezultă:

$$\frac{dN}{dx} = -q_c \quad (7.2)$$

$$\frac{dT}{dx} = -q_n \quad (7.3)$$

$$\frac{dM}{dx} = T \quad (7.4)$$

Derivând odată relația (7.4) se obține:

$$\frac{d^2 M}{dx^2} = \frac{dT}{dx} = -q_n \quad (7.5)$$

Expresiile (7.2)...(7.5) poartă denumirea de relațiile diferențiale ale barei drepte.

Interpretarea lor matematică furnizează elemente deosebit de utile în trasarea diagramelor de eforturi. Astfel:

1° Pornind de la ecuația (7.2) se deduce că derivata forței axiale N în raport cu abscisa x este egală cu intensitatea sarcinii conținute ce acționează în lungul axei barei luată cu semn schimbat. Ținând seama de legătura dintre derivata unei funcții și funcție, cunoscută din Analiza Matematică, deducem următoarele reguli practice:

- dacă pe o bară sau o porțiune de bară forța distribuită în lungul axei acesteia (q_c) este pozitivă (orientată în sensul axei x),

derivata funcției $\frac{dN}{dx}$ va fi negativă și deci funcția (efortul N) va fi strict descrescătoare pe bară sau porțiunea de bară respectivă.

- dacă însă q_c este negativă (orientată în sens opus axei x) derivata funcției $N = N(x)$ va fi pozitivă astfel că funcția va fi strict crescătoare pe bară sau porțiunea de bară respectivă.

- acolo unde $q_c = 0$ vom avea $dN/dx = 0$ ceea ce înseamnă că tangenta geometrică la graficul N va fi paralelă cu axa de referință (forța axială constantă).

2° Interpretând similar ecuația (7.3) se deduce:

- dacă pe o bară sau porțiune de bară intensitatea sarcinii continue normale pe axa barei q_n este pozitivă (orientată de sus în jos) forța tăietoare pe bară sau porțiunea de bară respectivă va fi strict descrescătoare.
- dacă însă q_n pe o bară sau porțiune de bară este negativă (orientată de jos în sus), forța tăietoare T pe bară sau porțiunea de bară respectivă va fi strict crescătoare.

- dacă q_n pe o bară sau porțiune de bară este zero, forța tăietoare T va fi constantă pe bară sau porțiunea de bară respectivă.

3° Ecuația (7.4) stabilește că derivata momentului încovoietor în raport cu x este egală cu forța tăietoare în secțiunea respectivă.

Având în vedere și în acest caz legătura dintre funcție și derivata sa deducem:

- dacă pe o bară sau porțiune de bară $T > 0$, momentul încovoietor, pe bară sau porțiunea de bară respectivă va fi strict crescător.
- dacă pe o bară sau porțiune de bară $T < 0$, momentul încovoietor pe bară sau porțiunea de bară respectivă este strict descrescător.

- în secțiunile în care $T = 0$ tangenta geometrică la curba M este paralelă cu axa de referință, în consecință momentul încovoietor din secțiune va prezenta un maxim sau un minim.

4° Interpretând ecuația diferențială (7.5) deducem că funcția T este cu un grad mai mare decât funcția încărcării q_n iar momentul încovoietor M este cu un grad mai mare decât forța tăietoare T și cu două grade mai mare decât încărcarea q_n .

În consecință, dacă pe o bară sau porțiune de bară forța $q_n = 0$ pe bară sau porțiunea de bară respectivă forța T va fi constantă iar momentul M va prezenta o lege de variație liniară. O încărcare $q_n = \text{constant}$ produce pe lungimea ei de acțiune forța T liniară și moment M reprezentat printr-o parabolă de gradul 2. Pentru $q_n = \text{liniar}$ se obține T -parabolă de gradul 2 și M -parabolă de gradul 3 ș.a.m.d.

Importanța diagramelor de eforturi în activitatea specialistului arhitect este deosebită, permițând cunoașterea solicitării tuturor secțiunilor barei studiate, a secțiunilor ei cele mai solicitate (periculoase) oferind astfel imaginea solicitării complete a elementului de construcție respectiv.

Cunoscând modul de calcul al eforturilor într-o secțiune (6.5) și relațiile diferențiale dintre încărcări și eforturi stabilite mai sus, trasarea diagramelor de eforturi devine evidentă, în succesiunea:

- a. se determină reacțiunile din reazeme.
- b. se calculează eforturile în secțiunile caracteristice ale barei. În sensul trasării diagramelor prin secțiuni caracteristice se vor înțelege:
 - secțiunile de capăt ale barei;
 - secțiunile de reazem;
 - secțiunile de început și sfârșit ale unei încărcări continue;
 - secțiunile infinit vecine stânga și infinit vecine dreapta punctului de

aplicație al unei forțe concentrate (pentru eforturile N și T) și secțiunile infinit vecine stânga și dreapta punctului de aplicație al unui cuplu pentru efortul moment M ;

- secțiunile în care se anulează forța tăietoare;
- secțiunile în care axa barei prezintă frânturi.

c. se adoptă o linie de referință paralelă cu axa barei, în raport cu care sunt reprezentate valorile eforturilor din secțiunile caracteristice menționate la punctul "b" respectându-se următoarele reguli:

- ordonatele pozitive în diagramele N și T vor fi reprezentate deasupra liniei de referință iar cele negative dedesubt.
- ordonatele pozitive în diagrama momentelor încovoietoare M se vor reprezenta sub linia de referință iar cele negative deasupra (diagrama M se construiește pe fibra întinsă a barei).

d. se unesc punctele reprezentate grafic ca mai sus prin linii drepte sau curbe pe baza interpretării ecuațiilor diferențiale dintre eforturi și încărcări, precizate mai sus.

Observații

1. Dacă între două secțiuni caracteristice consecutive încărcarea distribuită normală q_n este constantă, liniară sau orice altă funcție de grad superior, momentul încovoietor M între cele două secțiuni va fi reprezentat printr-o parabolă astfel orientată încât o particulă ce s-ar deplasa în sensul forței continue q ar fi captată în concavitatea curbei (fig. 7.3).

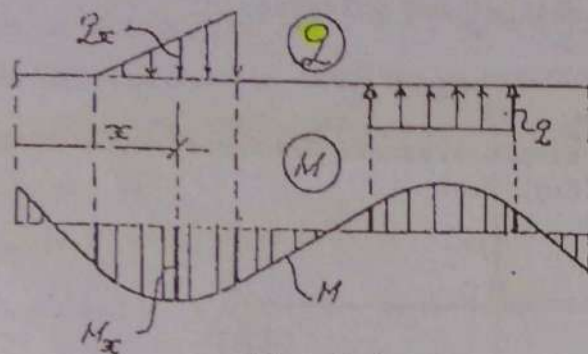


Fig. 7.3

2. Dacă încărcarea distribuită q_n între două secțiuni caracteristice consecutive este liniară sau de un grad superior, forța tăietoare pe acest interval va fi reprezentată printr-o parabolă cu un grad mai mare, având concavitatea orientată după următoarele reguli:

- pentru q_n descrescătoare cu creșterea abscisei x , concavitatea curbei se stabilește ca și în cazul momentului încovoietor (fig. 7.4).
- pentru q_n crescătoare cu creșterea abscisei x , concavitatea este orientată opus (fig. 7.4,b).

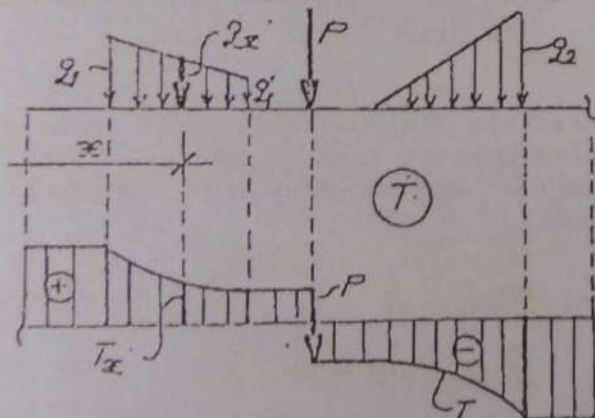


Fig. 7.4

7.3 DIAGrame DE EFORTURI LA STRUCTURI STATIC DETERMINATE

În domeniul construcțiilor, structurile de rezistență alcătuite din bare sunt numeroase. Ele cuprind o gamă largă în care intră grinzile drepte, frânte sau curbe, arcele, cadrele, sistemele plane articulate, sistemele reticulare etc.

Anumite modalități de alcătuire și anumite tipuri de încărcări (forțe) ce acționează asupra lor definesc elemente de construcție distincte, individualizate prin alura diagramelor și valorile extreme ale eforturilor.

Din domeniul acestora, în continuare se vor trata câteva astfel de structuri acționate de încărcări întâlnite frecvent în domeniul construcțiilor de orice tip.

Barele vor fi reprezentate prin axa lor longitudinală iar reacțiunile, eforturile secționale și diagramele lor, vor fi determinate conform celor prezentate în paragrafele anterioare.

7.3.1 Diagrame de eforturi la grinzi drepte static determinate

Grinzile drepte sunt structuri statice alcătuite din bare a căror axă este reprezentată printr-o linie dreaptă. Fixarea acestora în spațiu este realizată printr-un număr de legături numeric egal cu cel al ecuațiilor scalare de echilibru. În domeniul construcțiilor încărcările pe acestea sunt reprezentate prin forțe continue q , având diferite legi de variație, forțe concentrate P , cupluri distribuite m sau cupluri concentrate M .

a) Grinda simplu rezemată încărcată cu o sarcină uniform distribuită (Fig. 7.5).

Încărcarea q se transmite în mod egal celor două reazeme astfel că: $V_A = V_B = \frac{ql}{2}$, $H_A = 0$ (toate forțele sunt normale pe axa barei).

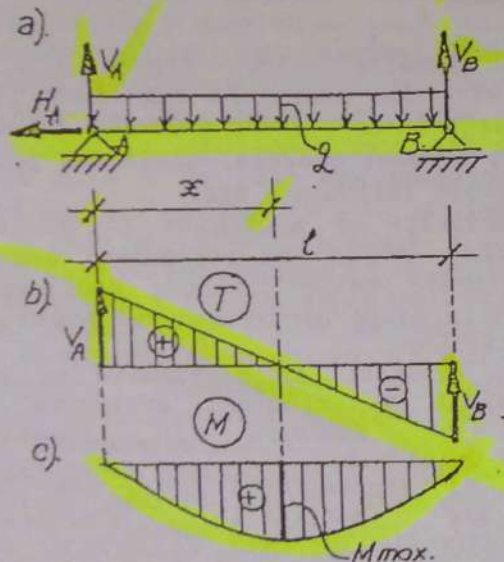


Fig. 7.5

Eforturile în secțiunile caracteristice au valorile:

$$T_A^{dr} = V_A = \frac{ql}{2} = T_{max}; M_A = 0;$$

$$T_B^{st} = -V_B = -\frac{ql}{2}; M_B = 0;$$

$$T_x = T_A - qx = 0; x = \frac{T_A}{q} = \frac{l}{2}$$

$$M_{max} = V_A \cdot \frac{l}{2} - q \cdot \frac{l}{2} \cdot \frac{l}{4} = \frac{ql^2}{4} - \frac{ql^2}{8} = \frac{ql^2}{8};$$

Diagrama de forță tăietoare prezintă o variație liniară iar momentul încovoietor una parabolică. Momentul maxim apare la mijlocul deschiderii grinzii și are valoarea:

$$M_{max} = \frac{ql^2}{8} \quad (7.6)$$

b) Grinda simplu rezemată încărcată cu o forță concentrată P (fig. 7.6)

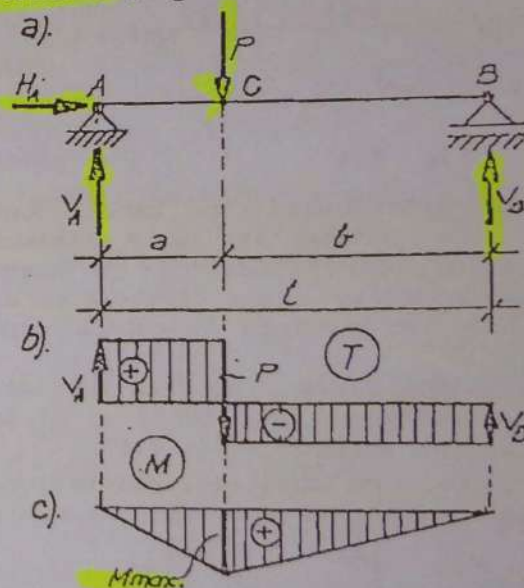


Fig. 7.6

Pentru trasarea diagramelor T și M se notează cu a și b distanțele ce fixează poziția forței pe grindă și apoi se exprimă echilibrul acestora cu relațiile (5.2):

$$\sum R_x = \sum F_{ix} = H_A = 0$$

$$\sum M_A = (V_B \cdot l - aP = 0$$

$$\sum M_B = (V_A \cdot l - bP = 0$$

din care se obțin $H_A = 0$; $V_A = P \frac{b}{\ell}$; $V_B = P \frac{a}{\ell}$;

Valoarea eforturilor în secțiunile caracteristice:

$$T_A = V_A = T_C^{st}; \quad T_C^{dr} = T_C^{st} - P = -\frac{Pa}{\ell} = T_B^{st};$$

$$M_A = M_B = 0$$

$$M_{max} = M_C = V_A \cdot a = P \frac{ab}{\ell} \quad (7.7)$$

Diagramele T și M sunt reprezentate în figurile 7.6,b și 7.6,c.

Oricare ar fi poziția forței P , momentul maxim se obține în dreptul acesteia și are valoarea dată de relația (7.7).

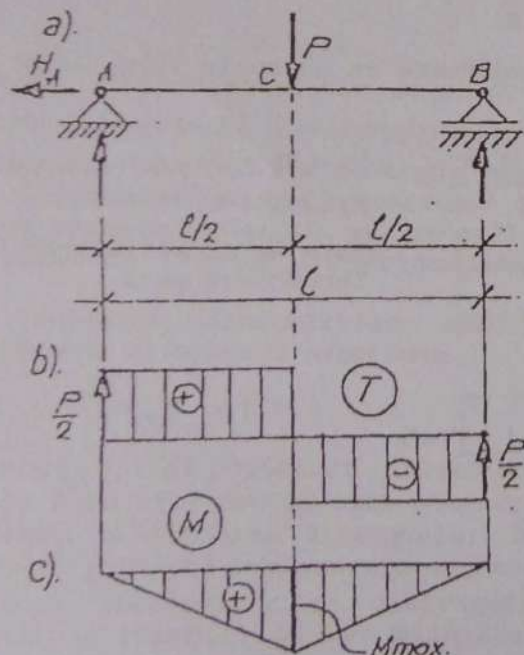


Fig. 7.7

Dacă $a=b=\frac{\ell}{2}$ forța P se transmite în mod egal

celor două reazeme astfel că $V_A = V_B = \frac{P}{2}$ iar momentul maxim are valoarea

$$M_{max} = \frac{P\ell}{4} \quad (7.8)$$

Diagramele T și M au alura și valorile date în figura. 7.7.

c) Grinda simplu rezemată încărcată cu un cuplu (fig. 7.8)

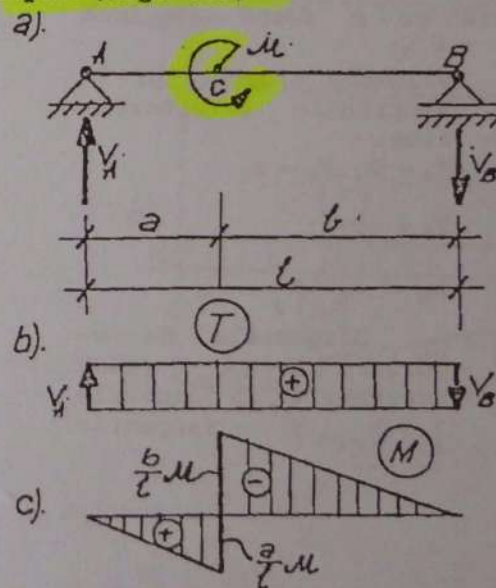


Fig. 7.8

Sub acțiunea încărcării M în reazemele A și B iau naștere două forțe de reacțiune ce formează un cuplu de sens opus cuplului M . Modulul acestora rezultă din condiția de echivalență a celor două cupluri:

$$V_A \cdot \ell = V_B \cdot \ell = M.$$

Se obțin astfel reacțiunile

$$V_A = V_B = \frac{M}{\ell}.$$

Eforturile în secțiunile caracteristice au valorile:

$$T_A = T_B = V_A; \quad M_A = M_B = 0; \quad M_C^{st} = V_A \cdot a = \mathcal{M} \frac{a}{\ell};$$

$$M_C^{dr} = V_B \cdot b = \mathcal{M} \frac{b}{\ell}.$$

Diagramele T și M sunt trasate în fig. 7.8, b și c.

7.3.2 Diagrame de eforturi pe console

În cazul consolelor determinarea eforturilor în secțiuni și trasarea diafragmelor acestora se poate face și fără determinarea prealabilă a reacțiunilor dacă se alege ca tronson înălțurat cel cuprins între secțiunea caracteristică și capătul liber al consolei.

a. Consola încărcată cu o forță continuă uniform distribuită (fig. 7.9, a)

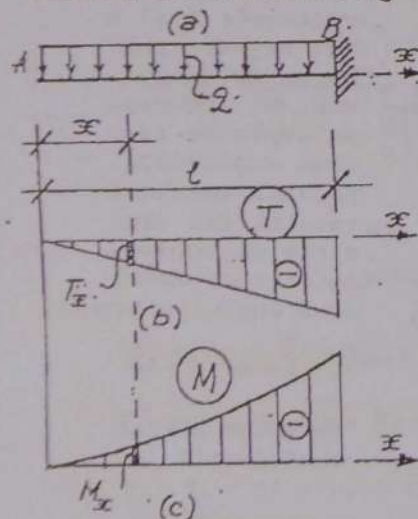


Fig. 7.9

Valoarea eforturilor în secțiunile caracteristice:

$$T_A = 0; \quad M_A = 0;$$

$$T_B = -q \cdot \ell;$$

$$M_B = -q \cdot \ell \frac{\ell}{2} = -q \frac{\ell^2}{2}.$$

Diagramele de eforturi T și M sunt prezentate în figurile 7.9, b și respectiv 7.9, c.

b. Consola încărcată cu o sarcină concentrată (fig. 7.10, a)

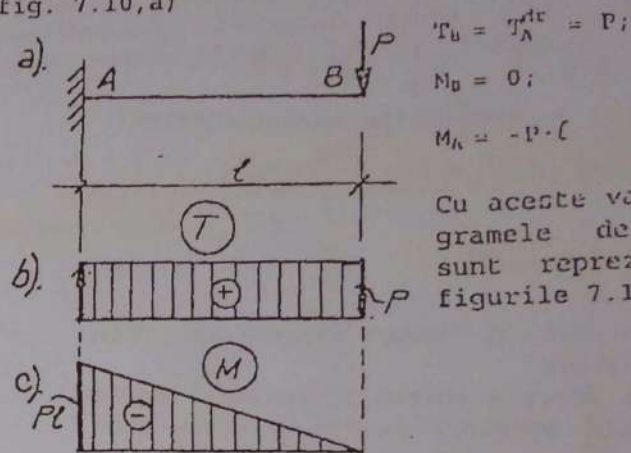


Fig. 7.10

Cu aceste valori, diagramele de eforturi sunt reprezentate în figurile 7.10, b și c.

c. Consola încărcată cu un cuplu (fig. 7.11)

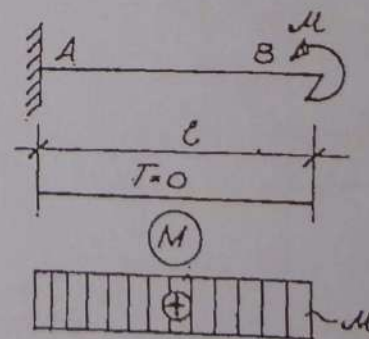


Fig. 7.11

$$T_A = T_B = 0;$$

$$M_A = M_B = M.$$

Bara este solicitată la încovoiere pură.

7.3.3 Diagrame de eforturi pe grinzi simplu rezemate cu încărcări numai pe console

O bară petrecută cu continuitate peste unul sau ambele reazeme, (numite reazeme intermediare) formează o grindă cu console (fig. 7.12).

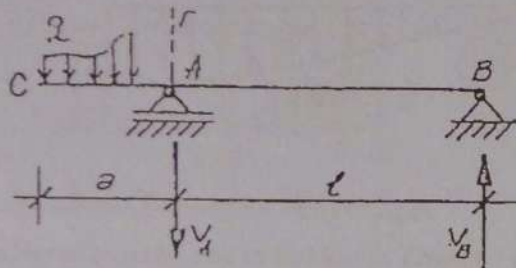


Fig. 7.12

Distanța dintre reazemele A și B reprezintă deschiderea l a grinzii iar lungimea a de trecere peste reazemele intermediare formează consola.

Fie M_r momentul maxim din reazemul A produs de forțele exterioare aplicate pe consolă, calculat direct, luând ca tronson înălțurat lungimea AC a consolei.

Sub acțiunea încărcărilor exterioare, în reazemul opus B va apare o reacțiune

$$V_B = |M_r|/l \quad (7.9)$$

având sensul astfel orientat încât momentul ei calculat în A să aibă sensul opus momentului M_r .

Privitor la trasarea diagramelor de eforturi aceste grinzi prezintă următoarele caracteristici:

- valoarea eforturilor și diafragmele lor pe console se tratează conform aliniatului 7.3.2;
- reacțiunea în reazemul opus celui intermediar se calculează direct cu relația (7.9);

- forța tăietoare între reazemele A și B este constantă și are intensitatea reacțiunii calculate cu relația (7.9);
- momentul încovoietor între reazemele A și B variază liniar de la valoarea M_r în reazemul intermediar la valoarea zero în reazemul opus.

a. Grinda simplu rezemată cu o consolă încărcată cu o sarcină uniform distribuită (Fig. 7.13,a).

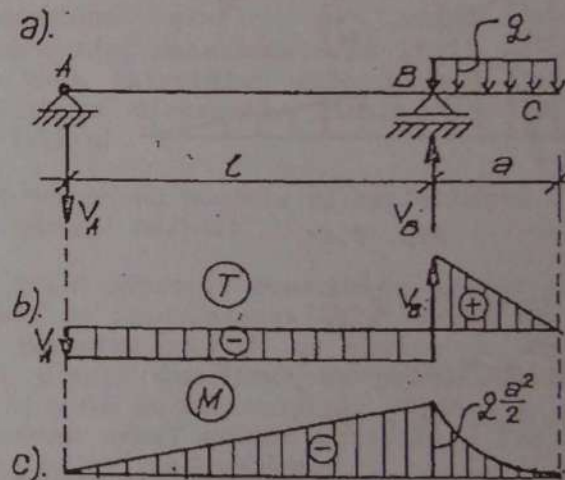


Fig. 7.13

$$|M_r| = q \cdot a \cdot \frac{a}{2} = \frac{qa^2}{2}$$

$$V_A = \frac{M_r}{l} = \frac{qa^2}{2l}$$

$$T_A^{dr} = q \cdot a; \quad M_A = -M_r;$$

Diagramele T și M au alura și valorile din figurile 7.13.b și 7.13.c.

b. Grinda simplu rezemată cu o consolă încărcată cu o forță concentrată P (fig. 7.14).

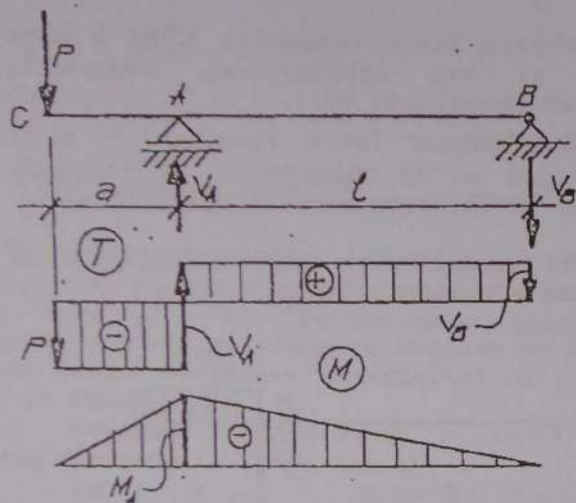


Fig. 7.14

$$|M_r| = P \cdot a; \quad V_B = \frac{|M_r|}{l} = P \cdot \frac{a}{l};$$

$$T_C^{dr} = T_A^{st} = -P T_A^{dr} = V_B = P \frac{a}{l} = T_B^{st} \in$$

$$M_C = M_B = 0; \quad M_A = -M_r = -Pa$$

Diagramele T și M sunt prezentate în figurile 17.14.b și 17.14.c.

c. Grinda simplu rezemată cu o consolă încărcată cu un cuplu \mathcal{M} (fig. 7.15.a).

$$\text{Procedând similar se obțin: } M_r = \mathcal{M}; \quad V_A = \frac{\mathcal{M}}{l};$$

$$T_A = T_B^{st} = V_A; \quad T_B^{dr} = 0; \quad M_A = 0; \quad M_B = M_C^{st} = \mathcal{M};$$

În figurile 7.15.b și 7.15.c sunt trasate diagramele T și M .

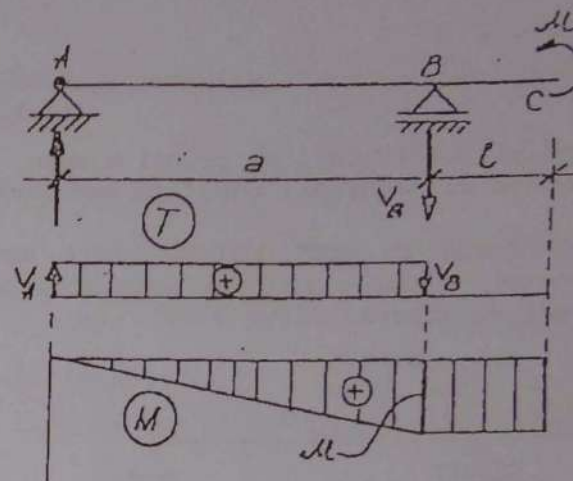


Fig. 7.15

Observație: Dacă sensul încărcărilor din exemplele de mai sus se inversează, eforturile T și M își vor schimba semnul.

7.3.4 Utilizarea principiului suprapunerii efectelor în trasarea diagramelor de eforturi

De cele mai multe ori încărcările pe grinzi sunt mult mai complexe, simultan asupra acestora acționând sarcini continue (cu diferite legi de variație), forțe concentrate P , cupluri distribuite m și concentrate \mathcal{M} .

Dacă o astfel de încărcare poate fi descompusă în mai multe încărcări simple (de tipul celor prezentate în paragrafele (7.3.1)...(7.3.3), la care se cunosc direct diagramele N , T , M) eforturile produse de încărcarea dată în fiecare secțiune vor reprezenta suma eforturilor produse de încărcările simple componente considerate acționând separat. Utilizând acest principiu, numit al suprapunerii

efectelor sau al independenței acțiunii forțelor în anumite cazuri de încărcări și structuri diagramele de eforturi se pot obține simplu și eficient cumulând ordonatele diagramelor date de încărcările simple componente ale încărcării totale. Pentru exemplificare vom considera grinda simplu rezemată din figură (7.16) încărcată cu forțele q și $P=10ql$.

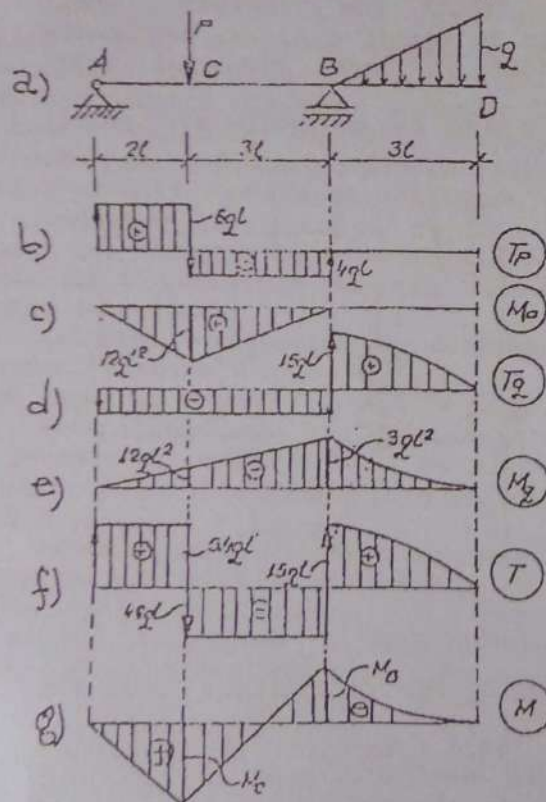


Fig. 7.16

Considerând grinda încărcată numai cu forța P , se trasează direct diagramele T_P și M_P (fig. 7.16, b și c). Luând apoi aceeași grindă, încărcată cu

forța q se obțin, tot direct, diagramele T_q și M_q (vezi aliniatul 7.3.3).

Conform principiului suprapunerii efectelor în fiecare secțiune a barei vom avea: $T=T_P+T_q$; $M=M_P+M_q$.

Aplicând aceste relații secțiunilor caracteristice ale barei rezultă:

$$T_A = T_C^{\text{st}} = 6ql - 0,6ql = 5,4ql; \quad T_C^{\text{dr}} = -4ql - 0,6ql = -4,6ql = T_B^{\text{st}}; \\ T_B^{\text{dr}} = 1,5ql; \quad M_C = 12ql^2 - 1,2ql^2 = 10,8ql^2; \quad M_B = 3ql^2 + 0 = 3ql^2.$$

Reprezentând grafic și unind valorile eforturilor astfel determinate cu linii drepte sau curbe, pe baza relațiilor diferențiale ale barei drepte se obțin diagramele finale T și M (fig. 7.16, f și 7.16, g).

7.3.5 Grinzi cu console și articulații (grinzi Gerber)

Dacă între capetele consolelor a două sau mai multe grinzi se intercalează bare fixate articulat sau prin rezemare simplă se obține o structură statică ce poartă denumirea de grindă Gerber sau grindă cu console și articulații. Grinzile cu console se numesc uzual grinzi principale iar barele intercalate grinzi independente.

În fig. 7.17 sunt arătate câteva structuri de acest tip, grinzi principale fiind A-B și C-D iar cele independente E-F și I-J.

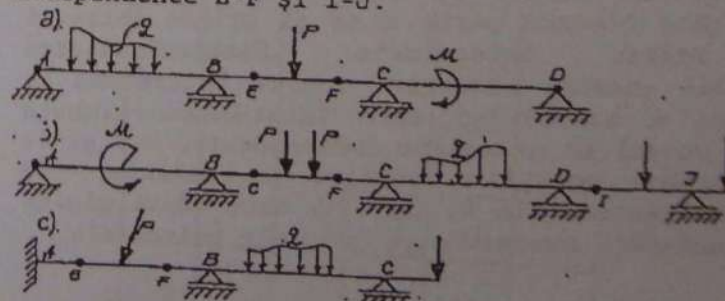


Fig. 7.17

Se observă ușor că încărcările aplicate grinzilor principale nu produc eforturi în grinzile independente în schimb, forțele acționând asupra acestora influențează eforturile din grinzile principale pe care reazemă.

Pentru determinarea reacțiunilor din legături (reazeme), a eforturilor în diferite secțiuni și pentru trasarea diagramelor de eforturi, grinzile Gerber se consideră a fi sisteme de corpuri rigide. Aplicându-le metoda separării corpurilor, acestea (fig. 7.18,a) se împart într-o serie de grinzi independente (fig. 7.18,b) și grinzi principale (fig. 7.18,c), legăturile articulate dintre ele E, F, I și J înlocuindu-se prin perechi de forțe (de legătură) egale și direct opuse.

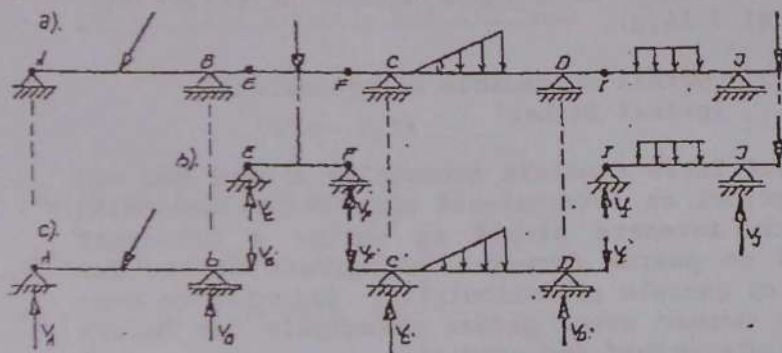


Fig. 7.18

O grindă Gerber se zice static determinată atunci când fiecare parte a sa și grinda întreagă sunt static determinate. Particularitatea rezolvării acestor structuri constă în ordinea de efectuare a calculului care întotdeauna trebuie început cu cel al grinzilor independente, E-F și I-J. Utilizând ecuațiile scalare de echilibru se determină reacțiunile V_B (H_B), V_I care odată găsite devin încărcări cunoscute pe grinzile principale.

Toate calculele și trasarea diagramelor de eforturi se face apoi cu totul identic metodologiei utilizate în calculul grinzilor drepte (vezi exemplul 7.5.3).

7.3.6 Cadre plane static determinate

Cadrele sunt structuri statice indeformabile alcătuite dintr-o serie de bare ale căror axe formează o linie frântă sau ramificată. După poziția în plan sau în spațiu a liniei menționate cadrele se clasifică în cadre plane și cadre spațiale.

Intersecțiile a două sau mai multe bare poartă denumirea de noduri.

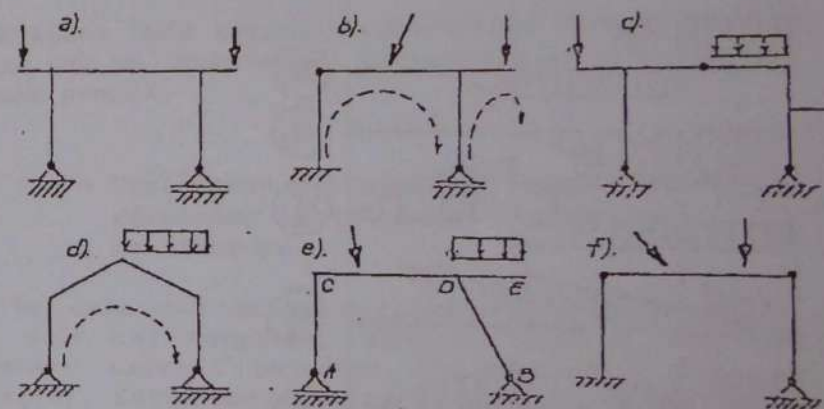


Fig. 7.19

Ele pot fi rigide sau articulații, fixe sau deplasabile.

Cadrele la care forțele de legătură (reacțiunile) se pot determina numai cu ajutorul ecuațiilor scalare de echilibru se numesc static determinate.

În fig. 7.19, a, d și e sunt prezentate 3 tipuri de cadre, cu noduri rigide, static determinate.

În reazemele acestora apar 3 forțe de legătură; dispunând în plan de 3 ecuații de echilibru static, reacțiunile se vor determina numai cu ajutorul acestora.

În figura 7.19 b, c și f sunt prezentate câteva tipuri de cadre având în noduri sau pe deschiderea unei bare câte o articulație. Prezența acestora permite divizarea cadrelor în două părți, în baza principiului separării corpurilor.

Cum pentru fiecare parte de cadru se pot scrie câte 3 ecuații scalare de echilibru, numărul total al ecuațiilor exprimate va fi de $2 \times 3 = 6$. La rândul lor, forțele de legătură din reazeme sunt în număr de 6 astfel că acestea formează structuri static determinate.

Calculul eforturilor în diferite secțiuni și trasarea diagramelor acestora la un cadru se face după regulile generale stabilite la grinda dreaptă.

Pentru aplicarea lor corectă se alege un *sens de parcurgere* al cadrului, care se marchează sub bare printr-o linie întreruptă și o săgeată (fig. 7.19, b și 7.19 d).

Imaginandu-ne că am separa un nod de cadru (spre exemplu nodul D al cadrului din fig. 7.19, e) prin secționarea barelor ce concură în el, eforturile secționale din aceste bare trebuie să formeze sisteme în echilibru atât la translații cât și la rotații, nodurile fiind în echilibru. Raportând nodul considerat la un sistem cartezian de axe xOz (fig. 7.20, a) condiția de echilibru se va exprima prin relațiile:

$$R_x = \sum_{i=1}^k (N_{ix} + T_{ix}) = 0; R_z = \sum_{i=1}^k (N_{iz} + T_{iz}) = 0; \sum_{i=1}^k M_i = 0$$

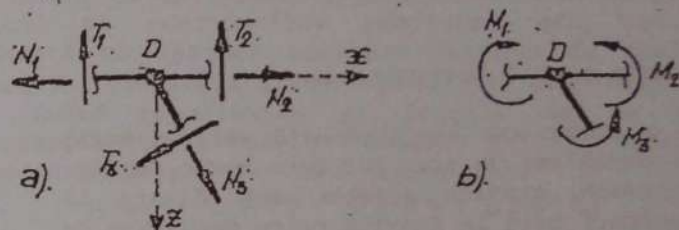


Fig. 7.20

în care N_{ix} , N_{iz} , T_{ix} și T_{iz} sunt proiecțiile eforturilor N_1 și T_1 după axa x și z , din toate barele concurente în nod iar $\sum M_i$ reprezintă suma momentelor din aceleași bare și în aceleași secțiuni (fig. 7.20, b).

Pe lângă cadrele static determinate, în practica construcțiilor este utilizată o mare varietate de cadre static nedeterminate mono sau multietajate (fig. 7.21).

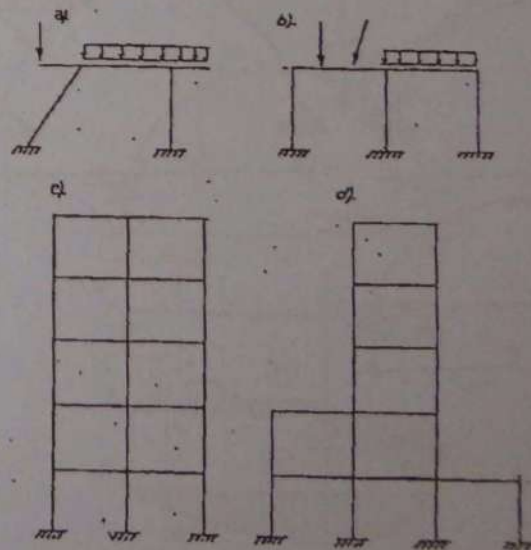


Fig. 7.21

Reacțiunile și eforturile din barele unei astfel de structuri se determină manual sau automat, cu ajutorul calculatoarelor electronice utilizând în acest scop metode specifice structurilor static nedeterminate.

7.3.7 Arce static determinate

Barele a căror axă longitudinală este o curbă plană poartă denumirea de arce sau bare curbe. Pentru a forma structuri statice acestea sunt fixate la capete cu legături care le suprimă orice deplasare de corp liber. Dacă forțele de legătură din aceste reazeme pot fi determinate numai cu ajutorul ecuațiilor scalare de echilibru arcele se numesc static determinate. Din categoria acestora fac parte:

- arcele simplu rezemate (fig. 7.22,a).
- arcele cu trei articulații (fig. 7.22,b).
- arcele cu tirant cu două articulații și un reazem simplu (fig. 7.22,c).

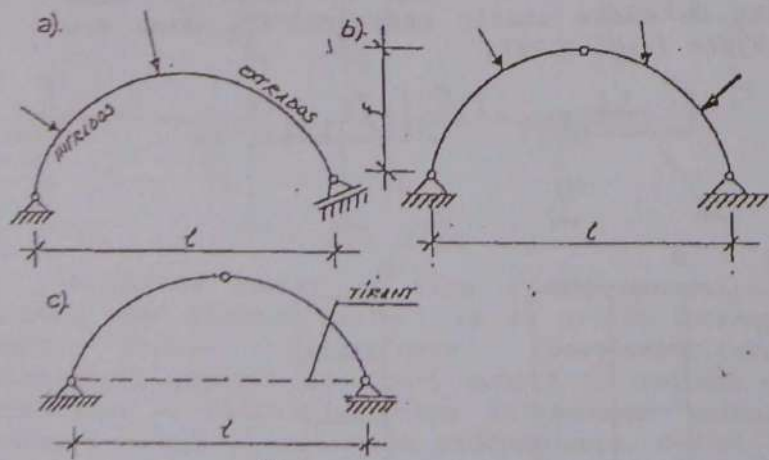


Fig. 7.22

Dintre acestea în practica structurilor sunt folosite numai arcele cu trei articulații și cele cu tirant. Cele simplu rezemate prezintă doar interes teoretic, servind ca sisteme de bază în calculul arcelor static nedeterminate.

Capetele arcelor din reazeme poartă denumirea de nașteri iar punctul de pe curbă, cel mai îndepărtat de linia nașterilor se numește *cheia arcului*.

Distanța f de la cheie la linia nașterilor se numește *săgeată* iar distanța pe orizontală dintre nașteri *deschiderea arcului* notată cu l .

Raportul f/l dintre săgeată și deschidere poartă numele de *pleoștirea arcului*. În domeniul construcțiilor arcele sunt întâlnite frecvent, ca elemente de rezistență sau arhitectură, fața lor convexă purtând denumirea de *extrados* iar cea concavă de *intradosul arcului*.

Formele geometrice mai mult utilizate sunt acelea de arce de cerc și arce de parabolă, de regulă cu linia nașterilor orizontală.

Există și arce cu linia nașterilor înclinată față de orizontală, în special în alcătuirea structurilor de poduri sau pasarele de trecere.

Caracteristica distinctivă a arcelor este aceea că sub acțiunea oricărui sistem de forțe, chiar numai verticale, reacțiunile din reazeme au componente orizontale numite *împingeri* motiv pentru care ele poartă denumirea de structuri cu *împingeri laterale*. O altă particularitate privește încărcările exterioare care sub formă de forțe sau sisteme de forțe, sunt aplicate în planul arcelor, pe *extradosul acestora*.

Din acțiunea forțelor în secțiunile unui arc iau naștere totdeauna eforturi axiale N , forțe tăietoare T și momente încovoietoare M , având aceleași semnificații ca și în cazul structurilor alcătuite din bare drepte.

Pentru determinarea acestora se calculează în prealabil reacțiunile din reazeme (fig. 7.23).

Cele verticale (V_A și V_B) se obțin identic ca la o grindă dreaptă (AB) de aceeași deschidere l și cu aceleași încărcări, din ecuații de moment nul în raport cu cele două reazeme.

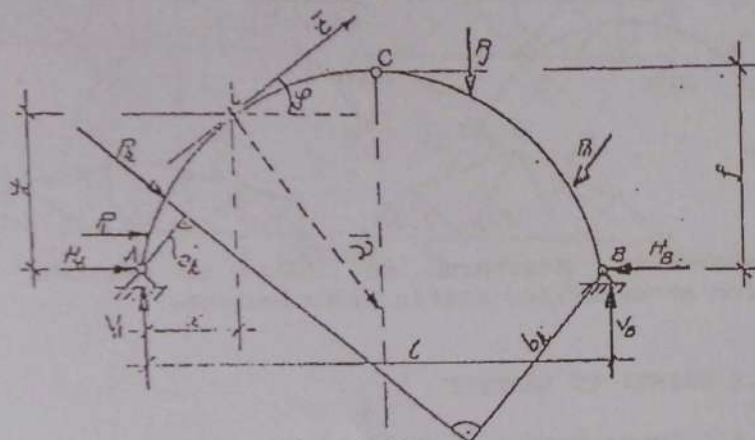


Fig. 7.23

Notând cu a_k și b_k brațele forței P_k ($k=1, 2, \dots, n$) față de reazemele A și B vom avea:
 $\sum M_B = V_A \cdot l - \sum P_k \cdot b_k = 0$; $\sum M_A = V_B \cdot l - \sum P_k \cdot a_k = 0$, din care

$$V_A = \frac{\sum P_k \cdot b_k}{l}; \quad V_B = \frac{\sum P_k \cdot a_k}{l} \quad (7.10)$$

Pentru determinarea împingerilor orizontale H_A și H_B se exprimă succesiv echilibrul părților de arc CA și CB prin două ecuații de moment nul în raport cu articulația C. Expresiile acestora au forma:

$$\sum M_C(P_{CA}) = H_A \cdot f - \sum M_C(P_{CA}) = 0; \quad \sum M_C(P_{CB}) = H_B \cdot f - \sum M_C(P_{CB}) = 0$$

și conduc la soluțiile:

$$H_A = \frac{1}{f} \sum M_C(P_{CA}); \quad H_B = \frac{1}{f} \sum M_C(P_{CB}) \quad (7.11)$$

în care $\sum M_C(P_{CA})$ și $\sum M_C(P_{CB})$ reprezintă suma momentelor tuturor forțelor de pe arcele CA și

respectiv CB calculate în punctul C. Din modul de calcul al reacțiunilor prezentat mai sus se constată că mărimea acestora depinde de poziția celor 3 articulații și nu depinde de forma arcului.

Având reacțiunile și forțele de pe arc, eforturile într-o secțiune curentă i (fig. 7.23) de coordonate (x, y) , vor avea expresiile:

$$\begin{aligned} N_i &= -H_A \cos \varphi - V_A \sin \varphi + \sum pr/t P_{st} \\ T_i &= -H_A \sin \varphi + V_A \cos \varphi - \sum pr/v P_{st} \\ M_i &= V_A \cdot x - H_A \cdot y - \sum M(P_{st}) \end{aligned} \quad (7.12)$$

în care sumele \sum cuprind proiecțiile după tangenta \bar{t} și normala \bar{v} în secțiunea i a tuturor forțelor exterioare P situate în stânga secțiunii considerate, iar M_i momentul acelorași forțe în raport cu centrul de greutate al secțiunii i .

Dacă forțele exterioare P_i sunt verticale, (fig. 7.24), componentele orizontale ale reacțiunilor din articulații devin egale și de sensuri contrare.

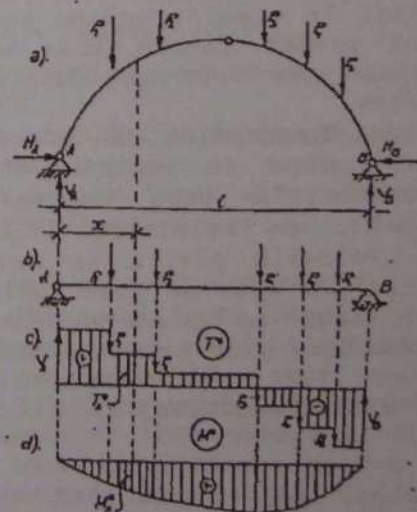


Fig. 7.24

Expresiile acestora și a celor verticale se obține cu relații mai simple, obținute în același mod. Odată acestea cunoscute, eforturile într-o secțiune curentă vor avea forma:

$$\begin{aligned} N_x &= (-V_A + \sum P^{st}) \sin \varphi - H \cos \varphi = -T_x^0 \sin \varphi - H \cos \varphi \\ T_x &= (V_A - \sum P^{st}) \cos \varphi - H \sin \varphi = T_x^0 \cos \varphi - H \sin \varphi \end{aligned} \quad (7.13)$$

$$M_x = V_A \cdot x - H \cdot y - \sum M_{st}(P_{st}) = M_x^0 - H \cdot y$$

În care $T_x^0 > M_x^0$ sunt eforturile ce iau naștere pe o grindă simplu rezemată (fig. 7.24, b) cu aceeași deschidere l și încărcată cu același sistem de forțe (grindă echivalentă a arcului).

Dacă în fiecare secțiune a arcului $M_x^0 = H \cdot y$, momentul încovoietor $M_x = 0$, în consecință în secțiunile acestuia nu va apare solicitarea de încovoire.

Un astfel de arc poartă denumirea de arc de coincidență.

Forma acestuia prezintă o importanță practică deosebită, în special în cazul anumitor tipuri de materiale care pot prelua foarte bine eforturi axiale de compresiune dar lucrează deficitar la eforturi de încovoire.

Pentru trasarea diagramelor de eforturi se împarte arcul într-o serie de segmente (bolțari) prin secțiuni normale în care se calculează eforturile secționale, cu relațiile (7.12) sau (7.13), după caz. Valorile găsite se reprezintă grafic pe axa arcului și apoi se unesc prin linii drepte sau curbe în raport de natura încărcării.

Pe lângă tipurile de arce static determinate, arătate în figura 7.22, în construcții se utilizează și arce static nedeterminate (fig. 7.25)

la care reacțiunile din reazeme nu pot fi determinate numai cu ajutorul ecuațiilor de echilibru static.

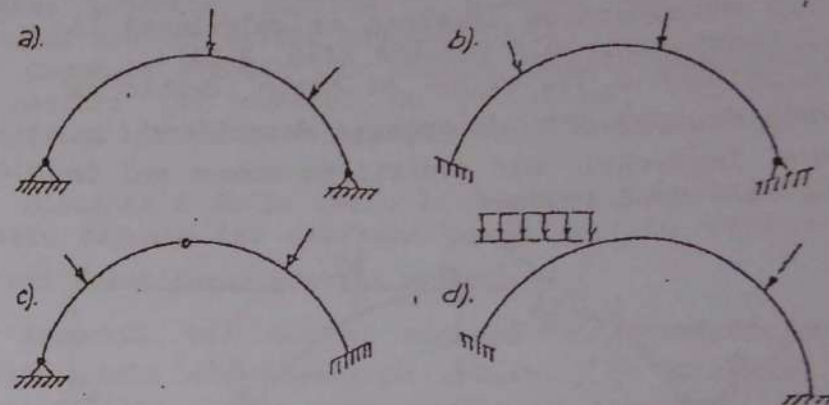


Fig. 7.25

Rezolvarea acestora se face cu metode specifice structurilor static nedeterminate.

7.4 GRINZI CU ZĂBRELE

7.4.1 Generalități și definiții

Grinzile cu zăbrele sunt structuri compuse alcătuite din bare articulate la ambele capete într-o configurație geometric indeformabilă. În domeniul construcțiilor sunt întâlnite într-o mare varietate de forme, fiind destinate acoperirii unor deschideri mari pentru care grinzile obișnuite devin improprie.

În fig. 7.26 sunt prezentate câteva tipuri uzuale: grinda de formă triunghiulară, cea cu tălpi paralele, grinda trapezoidală și cea de formă poligonală. Barele componente ale unei astfel de structuri poartă denumiri specifice: tălpi (talpa

inferioară (T_i) și talpa superioară (T_n), montanți (M) și diagonale (D).

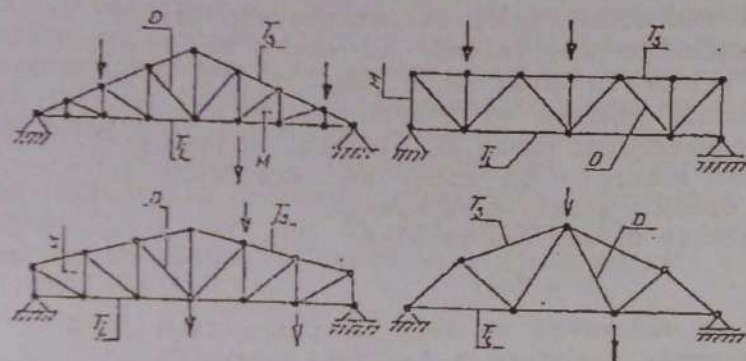


Fig. 7.26

Articulațiile de la intersecția barelor se numesc noduri.

O grindă cu zăbrele se zice geometric invariabilă atunci când poziția fiecărui nod este invariabilă în raport cu toate celelalte noduri.

Considerând două noduri 1 și 2 pentru ca poziția unuia în raport cu celălalt să fie invariabilă este suficient ca ele să fie legate cu o bară 1-2 nedeformabilă (fig. 7.27, a).

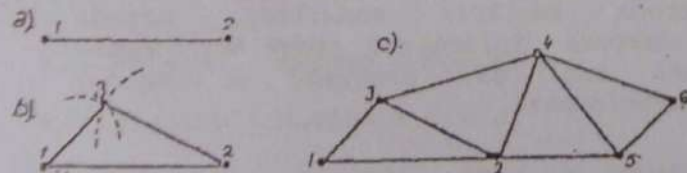


Fig. 7.27

Pentru ca un al 3-lea nod să aibă și el o poziție invariabilă față de primele două, este necesar ca acesta să fie legat de ele prin două bare 1-3 și 2-3 (fig. 7.27, b).

El nu poate ocupa în acest caz decât o singură poziție 3, situată la intersecția arcelor de cerc duse din 1 și 2 cu razele 1-3 și 2-3.

Figura 1-2-3 fiind un triunghi rezultă că triunghiul este cea mai simplă figură geometrică indeformabilă.

Se observă că orice alt nod 4, 5, 6, ... ș.a.m.d. pentru a fi legat invariabil de precedentele necesită câte două bare 4-3 și 4-2; 5-4 și 5-2... ș.a.m.d.

Pentru a fi indeformabilă geometric, o grindă cu n noduri va trebui deci să conțină:

- 1 bară pentru legarea primelor două noduri.
- $2(n-2)$ bare pentru legarea restului de $(n-2)$ noduri.

Prin urmare, totalul barelor ce pot asigura condiția de indeformabilitate va fi:

$$b = 1 + 2(n-2) = 2n - 3 \quad (7.14)$$

Relația (7.14) exprimă condiția necesară dar nu și suficientă.

Pentru ca structura plană articulată să fie indeformabilă este necesar ca numărul de bare b să fie astfel distribuite încât să nu existe părți ale grinzii cu bare insuficiente și altele cu bare excedentare.

Cum triunghiul îndeplinește întotdeauna condiția de indeformabilitate rezultă că o grindă cu zăbrele formată numai din triunghiuri alăturate este totdeauna indeformabilă.

Dacă $b > 2n - 3$ grinda este indeformabilă dar are și bare suplimentare; dacă însă $b < 2n - 3$ legăturile dintre noduri sunt insuficiente pentru ca acestea să ocupe o poziție invariabilă conducând la o structură labilă.

Modelarea sistemelor plane articulate în vederea determinării eforturilor din bare se face pe baza următoarelor ipoteze simplificatoare de calcul:

- grinda și forțele ce acționează asupra ei se consideră în același plan (motiv pentru care aceste structuri se mai numesc și structuri plane articulate);
- forțele exterioare sunt aplicate concentrat numai în noduri;
- nodurile sunt articulații perfecte astfel că la capetele barelor nu pot exista momente;
- toate barele sunt drepte.

În baza acestor ipoteze, o bară oarecare a grinzii cuprinsă între nodurile 1 și 2 va fi solicitată numai la capete de forțele exterioare concentrate efectiv aplicate sau de legătură (reacțiuni) și de forțele care iau naștere în celelalte bare concurente în nod (fig. 7.28).

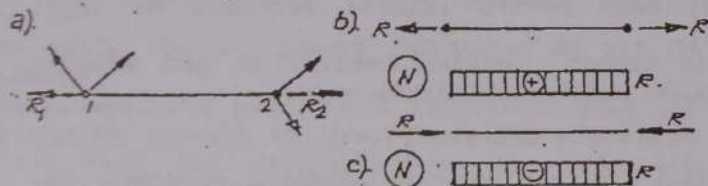


Fig. 7.28

Fie R_1 și R_2 proiecția după axa barei 1-2 a forțelor menționate din noduri (fig. 7.28.a).

Cum orice bară a unei grinzi se află în echilibru rezultă că cele două rezultante sunt totdeauna egale ($R_1 = R_2 = R$) și direct opuse astfel că bara respectivă nu poate fi decât ori întinsă ($R_1 = R_2 = R$ trag de nod - fig. 7.28,b) ori comprimată ($R_1 = R_2 = R$ intră în nod - fig. 7.28,c).

Așa cum reiese din figurile (7.28,b și c)

forțele rezultante R reprezintă chiar efortul axial din bară care împreună cu forțele exterioare efectiv aplicate în nod formează un sistem de forțe coplanare concurente în echilibru.

Cum echilibrul acestora se exprimă prin două ecuații scalare de echilibru, rezultă că pentru o grindă cu n noduri se vor putea scrie $2n$ ecuații.

Atunci când forțele exterioare aplicate în noduri sunt cunoscute, apar ca necunoscute pentru grindă reacțiunile din reazeme în număr de r și eforturile axiale în număr de b . Dacă $r + b = 2n$ reacțiunile din reazeme și eforturile axiale din bare se pot determina numai cu ajutorul ecuațiilor de echilibru static - în acest caz structura cu zăbrele se numește static determinată.

Din relația de mai sus rezultă:

$$b = 2n - r \quad (7.15)$$

Având în vedere că un corp se poate fixa în plan cu un număr de minim 3 legături, rezultă că $r=3$, cu care ecuația (7.15) devine: $b = 2n - 3$

În consecință, condiția ce exprimă determinarea statică la structurile cu zăbrele simplu rezemate sau încastrate la un capăt se exprimă prin aceeași relație cu condiția de indeformabilitate geometrică (relația 7.14).

Dacă $r > 3$ grinda este static nedeterminată exterior, iar edacă $b > 2n - 3$ nedeterminarea acesteia este interioară.

Calculul static al structurilor plane articulate are ca obiect determinarea naturii eforturilor din bare (întindere sau compresiune) și a intensității acestora. În acest scop se utilizează metode clasice specifice, analitice și grafice: metoda izolării nodurilor, metoda secțiunilor, metoda înlocuirii barelor, epura Maxwell-Cremona etc. sau programe de calcul automat, la calculatoare.

7.4.2 Metoda izolării nodurilor

Conform ipotezelor prezentate în paragraful 7.4.1 în orice nod i ($i=1, 2, \dots, n$) al unei structuri plane articulate (fig. 7.29,a) eforturile N_{ij} din barele concurente în acesta, forțele exterioare P_i și cele de legătură R_i formează todeauna un sistem de forțe concurente coplanare în echilibru.

În consecință, izolând un nod și introducând pe direcțiile barelor secționate eforturile N_{ij} ($j=m, k, l, n$) iar în nod încărcările P_i se va obține un sistem de forțe echivalent cu zero (fig. 7.29,b).

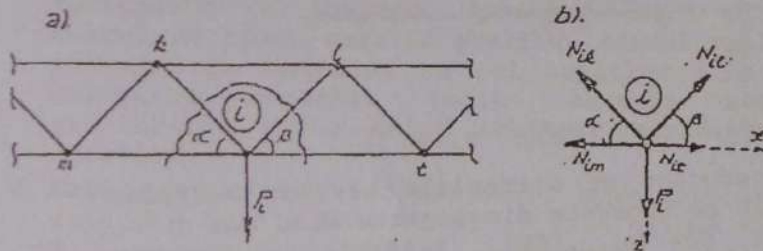


Fig. 7.29

Pentru exprimarea echilibrului acestuia se alege un sistem ortogonal de axe ix și iz în raport de care se exprimă ecuațiile scalare de echilibru (2.11) privitoare la forțele concurente coplanare. Referindu-ne la nodul i din figura (7.29,b) vom avea:

$$E_x = N_{ik} - N_{im} - N_{il} \cos \alpha + N_{in} \cos \beta = 0$$

$$R_z = -N_{ik} \sin \alpha - N_{il} \sin \beta + P_i = 0.$$

Izolând succesiv toate cele n noduri ale structurii și exprimând echilibrul fiecăruia prin câte două ecuații de echilibru se obține pentru întreaga structură un sistem de $2n$ ecuații algebrice

având necunoscute reacțiunile R_i din reazeme și eforturile din bare. Rezolvând sistemul de ecuații menționat se obțin necunoscutele căutate.

Pentru optimizarea calculului, aplicarea metodei se va face în următoarea succesiune:

- se determină reacțiunile din reazeme, exprimând echilibrul general al întregii grinzi considerate ca un solid rigid. În acest scop se utilizează relațiile (2.20) sau (5.2) la alegere.
- se izolează succesiv toate nodurile secționând barele concurente în ele și se introduc pe direcțiile lor eforturile necunoscute. Sensul acestora se introduce arbitrar. Alegând un sistem de referință ortogonal cu originea în nod se exprimă apoi condiția de echilibru a sistemului de forțe concurente coplanare din nodul izolat. Se recomandă a se porni de la un nod care să aibă maximum două bare de efort necunoscut.

Procedând în acest fel se pot obține în fiecare nod maximum două ecuații cu două necunoscute care se rezolvă ușor.

Soluțiile acestora definesc atât modulul cât și natura fiecărui efort (întindere sau compresiune).

Observații

- Dacă din calcul un efort rezultă pozitiv sensul arbitrar ales pentru acesta coincide cu sensul lui real; soluțiile negative definesc sensuri ale eforturilor opuse celor arbitrar atribuite acestora.
- având reacțiunile calculate din exprimarea echilibrului global al structurii la izolarea ultimelor două noduri, eforturile din 3 bare vor fi cunoscute din izolarea nodurilor anterioare. Verificarea echilibrului acestora constituie cheia de control a corectitudinii rezultatelor.

- metoda izolării nodurilor este utilizată atunci când se urmărește cunoașterea eforturilor din toate barele structurii.

7.4.3 Metoda secțiunilor

Metoda izolării nodurilor prezintă inconvenientul că o eroare de calcul comisă într-un nod este transmisă în toate celelalte noduri.

De asemenea, pentru a găsi eforturile numai în anumite bare ale structurii este necesar a fi parcurse toate nodurile până la acelea în care concură barele respective.

Un procedeu deosebit de expeditiv, care elimină neajunsurile menționate mai sus, este dat de așa-numita metoda secțiunilor bazată pe principiul echilibrului părților, cunoscut din studiul sistemelor de corpuri.

Secționând structura cu zăbrele (fig. 7.30,a) și introducând pe direcția barelor secționate eforturile din acestea (fig. 7.30,b), fiecare tronson rezultat va trebui să fie în echilibru sub acțiunea forțelor exterioare, a celor de legătură și a eforturilor exteriorizate.

Deoarece în plan echilibrul unui sistem de forțe se exprimă prin 3 ecuații scalare de echilibru, secțiunea efectuată nu trebuie să taie mai mult de 3 bare de efort necunoscut. Varianta analitică a metodei este cunoscută sub denumirea de metoda Ritter. Conform acesteia, determinarea eforturilor din barele secționate se face exprimând echilibrul oricărui tronson prin două ecuații de moment nul în raport cu punctele de intersecție a două eforturi necunoscute (numite puncte Ritter) și printr-o ecuație de proiecție nulă. Se obțin astfel numai ecuații cu o singură necunoscută ușor de rezolvat. Urmărind determinarea eforturilor din barele 5-7, 5-6 și 4-6 ale grinzii din fig. (7.30)

aceasta a fost secționată în așa fel încât să fie tăiate barele de eforturi căutate și a fost reținut numai un tronson, cel din stânga secțiunii.

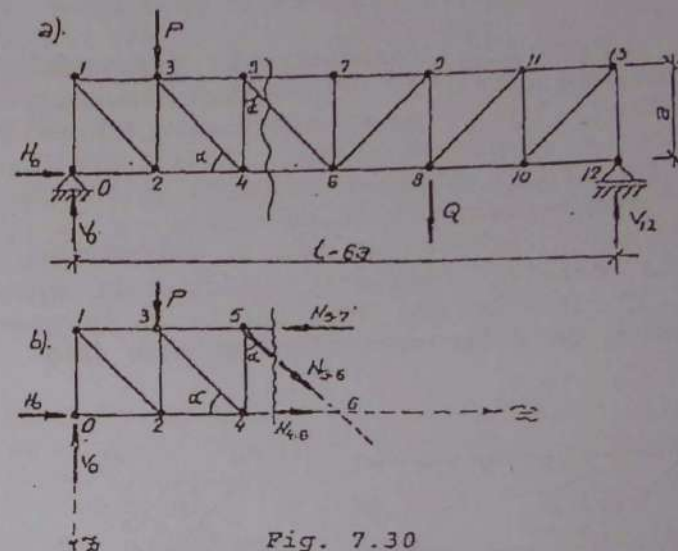


Fig. 7.30

Introducând pe direcțiile barelor secționate eforturile necunoscute din acestea N_{5-7} , N_{4-6} și N_{5-6} , tronsonul păstrat (fig. 7.30,b) sub acțiunea acestora și a forțelor ce-i sunt aplicate direct (V_0 , H_0 și P) va trebui să se afle în echilibru. Exprimarea acestei condiții se face prin ecuațiile de moment nul în nodurile 5 și 6 (de intersecție a câte două eforturi necunoscute) și printr-o ecuație proiecție nulă pe orizontală sau verticală. Vom avea:

$$M_5 = a \cdot N_{4-7} + aP - 2a \cdot V_0 = 0;$$

$$M_6 = a \cdot N_{5-7} + 2aP - 3a \cdot V_0 = 0$$

$$R_x = N_{5-6} \cos \alpha + P - V_0 = 0$$

S-a obținut astfel un sistem de ecuații, fiecare din ele cu câte o necunoscută având

soluțiile: $N_{4-5}=2V_0 - P$; $N_{5-7}=3V_0-2P$ și $N_{5-6}=(V_0-P)/\cos\alpha$.

Observații

- forțele aplicate direct pe oricare din tronsoanele rezultate prin secționare cuprind forțe exterioare efectiv aplicate în noduri și forțe de legătură (reacțiuni). Determinarea acestora se face printr-un calcul prealabil exprimând echilibrul structurii date (fig. 7.30.a) considerate ca un solid rigid. Pentru aceasta se pot folosi relațiile (2.20), (5.2) sau (5.3).
- sensurile eforturilor necunoscute din barele secționate se introduc arbitrar. Dacă din calcul un efort rezultă pozitiv, sensul real al acestuia coincide cu cel arbitrar ales. Soluțiile negative indică sensuri ale eforturilor opuse celor arbitrar atribuite acestora.
- dacă s-ar căuta alte eforturi, spre exemplu cele din barele 9-11, 8-11 și 8-10 grinda ar fi secționată similar, secționând barele menționate și apoi s-ar proceda în același mod folosit la calculul eforturilor din barele 5-7, 4-6 și 5-8 arătat mai sus.

7.5 EXEMPLE DE CALCUL

Exemplul 7.5.1

Să se traseze diagramele de eforturi N , T și M pe grinda din figura 7.31.a. Se dau $\alpha=60^\circ$, $q=20\text{ kN/m}$, $P=50\text{ kN}$.

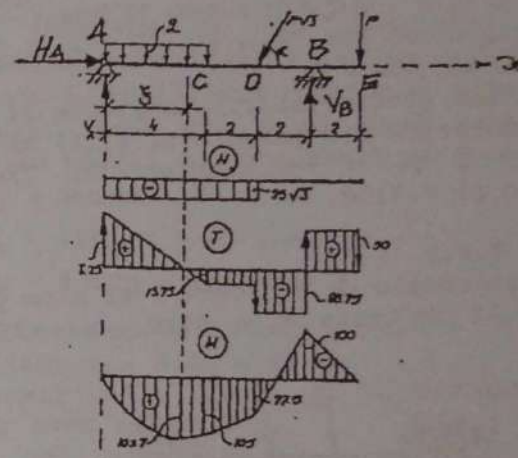


Fig. 7.31

Rezolvare:

- calculul reacțiunilor:

$$R_x = \sum F_{ix} = H_A - P\sqrt{3} \cos \alpha = 0$$

$$\sum M_A = 4 \times q \times 2 + 6 \cdot P\sqrt{3} \sin \alpha - 8V_B + 10P = 0$$

$$\sum M_B = 8V_A - 4 \cdot q \cdot 6 - 2P\sqrt{3} \sin \alpha + 2P = 0$$

Pentru $\alpha=60^\circ$, $q=20\text{ kN/m}$, $P=50\text{ kN}$ se obțin:

$$H_A = P\sqrt{3} \cos 60 = 25\sqrt{3} \text{ kN}$$

$$V_B = \frac{1}{8} (160 + 450 + 500) = 138,75 \text{ kN}$$

$$V_A = \frac{1}{8} (480 + 150 - 100) = 66,25 \text{ kN}$$

- calculul eforturilor în secțiunile caracteristice (A, B, C, D, E):

$$N_A = N_C = N_D^{st} = -H_A = -25\sqrt{3} \text{ kN}; N_D^{dr} = N_B = N_E = 0$$

$$T_A = V_A = 66,25 \text{ kN}; T_C = T_A - 4q = -13,75 \text{ kN} = T_D^{st}$$

$$T_D^{dr} = T_D^{st} - P\sqrt{3} \cos 30 = -88,75 \text{ kN} = T_B^{st}$$

$$T_B^{dr} = T_B^{st} + V_B = 50 \text{ kN} = T_E^{st}$$

Cum T_A este pozitivă iar T_C negativă, înseamnă că forța tăietoare se anulează pe intervalul A-C.

Notând cu ξ abscisa acestei secțiuni (fig. 7.31.a) vom avea $T_\xi = T_A - q\xi$; $\xi = T_A/q = 3,3125$ m; $M_A = 0$; $M_\xi = M_{\max} = V_A \cdot \xi - q \cdot \xi \cdot \xi/2 = 109,727 \text{ kNm}$; $M_C = V_A \cdot 4 - 4q \cdot 2 = 105 \text{ kNm}$; $M_D = 6V_A - 4q \cdot 4 = 77,5 \text{ kNm}$; $M_B = -2P = -100 \text{ kNm}$; $M_E = 0$.

Reprezentând grafic valorile obținute și având în vedere precizările din paragraful (7.2) se obțin diagramele N, T și M reprezentate în figurile 7.31.b, 7.31.c și 7.31.d.

Exemplul 7.5.2

Se cer diagramele de eforturi T și M pe grinda din figura 7.32 în care $P = 60 \text{ kN}$, $q = 10 \text{ kN/m}$, $M = 40 \text{ kNm}$.

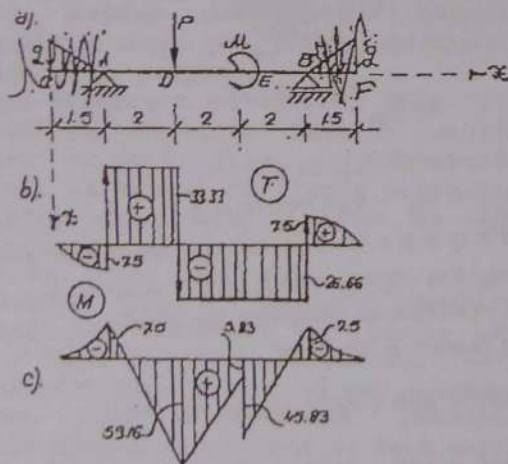


Fig. 7.32

Rezolvare:

• calculul reacțiunilor:

$$R_x = \sum F_{ix} = H_A + 0 = 0;$$

$$\sum M_A = \frac{1,5 \cdot q}{2} \cdot \frac{2}{3} \cdot 1,5 - 2P - M + 6V_A = 0$$

$$-\frac{1,5 \cdot q}{2} \left(6 + \frac{2}{3} \cdot 1,5 \right) = 0$$

$$\sum M_B = \frac{1,5 \cdot q}{2} \left(6 + \frac{2}{3} \cdot 1,5 \right) - 6V_A + 4P = 0$$

$$-M - \frac{1,5 \times q}{2} \times \frac{2}{3} \cdot 1,5 = 0$$

Înlocuind datele problemei se obțin: $H_A = 0$;

$$V_B = \frac{1}{6} (7,50 + 120 + 40 + 52,5) = 34,167 \text{ kN}$$

$$V_A = \frac{1}{6} (52,5 + 240 - 40 - 7,5) = 40,833 \text{ kN}.$$

Verificare

$$R_z = \sum F_{iz} = -(V_A + V_B) + P + 2 \times \frac{1,5q}{2} = -7,5 + 75 = 0$$

• calculul eforturilor în secțiunile caracteristice (C, A, D, E, B, F): $N=0$; $T_C=0$;

$$T_A^{st} = -\frac{1,5q}{2} = -7,5 \text{ kN};$$

$$T_A^{dr} = T_A^{st} + V_A = 33,333 \text{ kN} = T_D^{st};$$

$$T_D^{dr} = T_D^{st} - P = -26,667 \text{ kN} = T_E = T_B^{st};$$

$$T_B^{dr} = T_B^{st} + V_B = 7,5 \text{ kN}$$

$$T_F = T_B^{dr} - \frac{1,5 \cdot q}{2} = 0 \quad (M_C = 0);$$

$$M_A = -\frac{1,5 \cdot q}{2} \cdot \frac{2}{3} \times 1,5 = -7,5 \text{ kNm}$$

$$M_D = -\frac{1,5 \cdot q}{2} \left(\frac{2}{3} \times 1,5 + 2 \right) + 2V_A = 59,166 \text{ kNm}$$

$$M_E = -\frac{1,5 \cdot q}{2} \left(\frac{2}{3} \times 1,5 + 4 \right) + 4V_A - 2P = 5,832 \text{ kNm}$$

$$M_E^{dr} = M_E^{st} + \mathcal{M} = 45,832 \text{ kNm}$$

$$M_B = -\frac{1,5 \cdot q}{2} \cdot \frac{2}{3} \times 1,5 = -7,5 \text{ kNm}; \quad M_F = 0.$$

Diagramele T și M sunt construite în figurile 7.32,b și 7.32,c.

Exemplul 7.5.3

Se cer diagramele N, T și M pe grinda Gerber din fig. 7.33,a, încărcată cu forțele $q = 10 \text{ kN/m}$, $P = 60 \text{ kN}$ și $\mathcal{M} = 80 \text{ kNm}$.

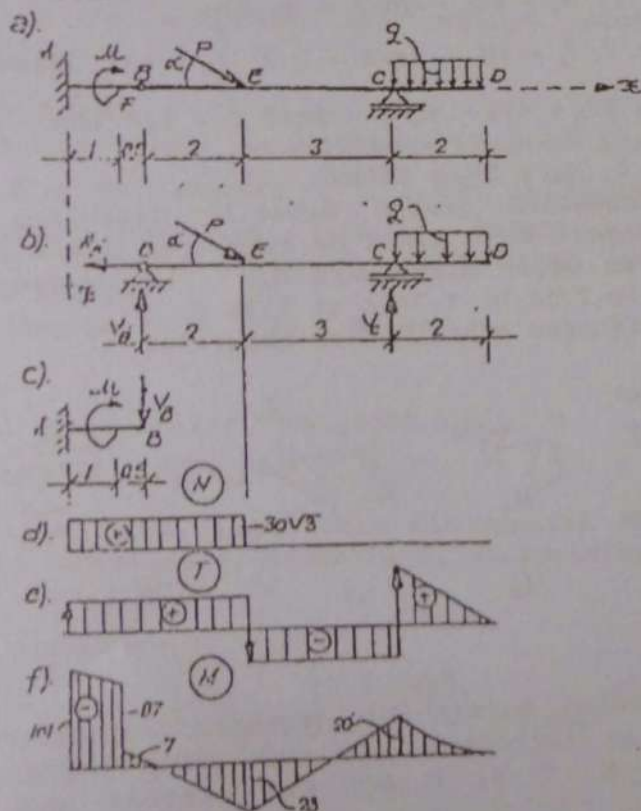


Fig. 7.33

Rezolvare:

Grinda independentă și reacțiunile din reazemele acesteia sunt arătate în figura 7.33,b.

Exprimându-i echilibrul printr-o ecuație de proiecție nulă, după axa x și două ecuații de momente nule în raport cu punctele B și C se obține

$$\text{sistemul: } \begin{cases} -H_B + P \cos \alpha = 0 \\ 5V_B - 3P \sin \alpha + 2q \cdot 1 = 0 \\ 5V_C - 6 \times 2q - 2P \sin \alpha = 0 \end{cases}$$

a cărei soluție este: $H_B = P \cos \alpha = 3\sqrt{3}q = 30\sqrt{3} \text{ kN}$; $V_B = 1,4q = 14 \text{ kN}$; $V_C = 3,6q = 36 \text{ kN}$.

Având reacțiunile V_B , H_B și V_C eforturile pe structură vor avea valorile:

$$N_B = N_A = N_E^{st} = H_B = 30\sqrt{3} \text{ kN};$$

$$N_E^{dr} = 30\sqrt{3} - 30\sqrt{3} = 0 = N_C = N_D$$

$$T_B^{st} = T_A = T_B^{dr} = T_E^{st} = V_B = 14 \text{ kN}.$$

$$T_E^{dr} = T_C^{st} = 14 - 30 = -16 \text{ kN}$$

$$T_C^{dr} = T_C^{st} + V_C = -16 + 36 = 20 \text{ kN}$$

$$T_D = T_C^{dr} - 20 = 0$$

$$M_B = 0$$

$$M_F^{dr} = -0,5V_B = -7 \text{ kNm}; \quad M_A = -\mathcal{M} - 14 \times 1,5 = -101 \text{ kNm}$$

$$M_F^{st} = M_F^{dr} - \mathcal{M} = -7 - 80 = -87 \text{ kNm}$$

$$M_E = 2N_B = 28 \text{ kNm}; \quad M_C = -2q \cdot 1 = -20 \text{ kNm}$$

Diagramele de eforturi sunt trasate în figurile 7.33,d, 7.33,e și 7.33,f, respectând aceleași reguli ca și în cazul grinzilor drepte simplu rezemate.

Exemplul 7.5.4

Să se traseze diagramele N, T și M pe cadrul din figura 7.34.a. Se dau $q=10 \text{ kNm}$, $P=85 \text{ kN}$.

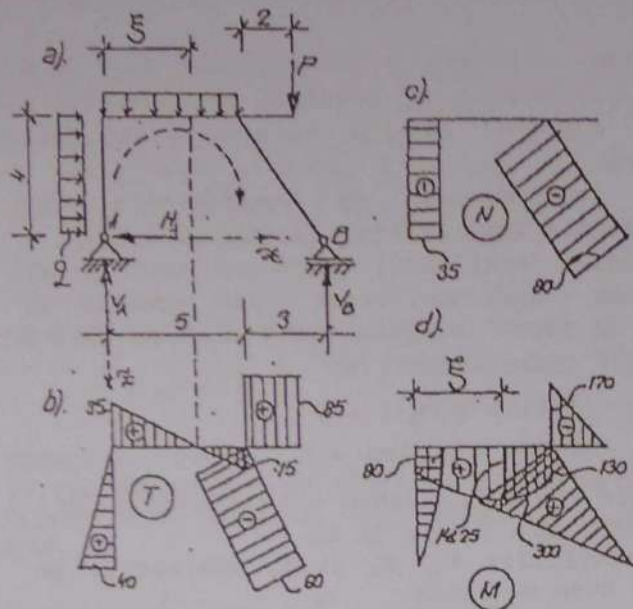


Fig. 7.34

Rezolvare:

- Se determină reacțiunile din reazemele A și B din condiția de echilibru a tuturor forțelor de pe cadru:

$$\sum F_{ix} = -H_A + 4q = 0,$$

$$\sum M_A = 4q \times 2 + 5q \times 2,5 + 7P - 8V_B = 0$$

$$\sum M_B = 8V_A + 4q \times 2 - 5q(3+2,5) - 1P = 0$$

- Cu valorile date în problemă, din ecuațiile de mai sus se obțin:

$$H_A = 40 \text{ kN}; V_B = \frac{1}{8}(80+125+595) = 100 \text{ kN};$$

$$V_A = \frac{1}{8}(-80+275+85) = 35 \text{ kN}$$

Pentru verificare: $\sum F_{iz} = -(V_A + V_B) + 5q + P = -135 + 135 = 0$.

Alegând sensul de parcurs din figură se calculează eforturile în secțiunile caracteristice (A, C, D, E, B), $N_A = -V_A = -35 \text{ kN} = N_{CA}$,

$N_{CD} = -4q + H_A = 0 = N_{DC}$; $N_{ED} = N_{DE} = 0$
 $N_B = -V_B \cos \alpha = -100 \cdot \frac{4}{5} = -80 \text{ kN} = N_{EB}$
 $T_A = H_A = 40 \text{ kN}$; $T_{DC} = T_C - 5q = -15 \text{ kN}$
 $T_{CA} = T_A - 4q = 0$; $T_{ED} = T_{DE} = P = 85 \text{ kN}$
 $T_{CD} = V_A = 35 \text{ kN}$; $T_B = -V_B \sin \alpha = -60 \text{ kN} = T_{DB}$
 Se observă că T_{CD} și T_{DC} sunt de semne contrare, rezultă că forța tăietoare se anulează între secțiunile respective.

Notând cu ξ abscisa acestei secțiuni (fig. 7.34, a) vom avea

$$T_{\xi} = T_{CD} - q\xi = 0; \xi = \frac{T_{CD}}{q} = \frac{35}{10} = 3,50 \text{ m}$$

$$M_A = 0; M_C = 4H_A - 4q \times 2 = 80 \text{ kNm}$$

$$M_{\xi} = M_{\max} = V_A \cdot \xi + 4H_A - 4q \times 2 - q \cdot \xi \cdot \frac{\xi}{2} = 141,25 \text{ kNm}$$

$$M_{DC} = 5V_A + 4H_A - 4q \times 2 - 5q \times 2,5 = 130 \text{ kNm}$$

$$M_E = 0; M_{DE} = -2P = -170 \text{ kNm};$$

$$M_B = 0; M_{DB} = 3V_B = 300 \text{ kNm}.$$

Reprezentând grafic valorile calculate mai sus, în raport cu o linie de referință având forma cadrului se obțin diagramele N, T și M prezentate în figurile 7.34, b, 7.34, c și 7.34, d.

Verificarea echilibrului nodurilor:

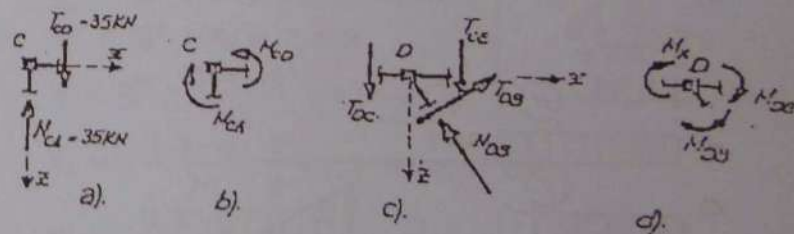


Fig. 7.35

Secționând barele din imediata vecinătate a nodurilor și introducând în secțiunile respective eforturile N, T și M așa cum acestea apar în

diagramele respective (fig. 7.34.b, c și d) se obțin solicitările nodurilor, arătate în figura 7.35.

Pentru nodul C se observă cu ușurință satisfacerea condiției de echilibru.

În cazul nodului D (fig. 7.35, c și d) vom avea:

$$R_x = \sum F_{ix} = T_{DC} \cos \alpha - N_{DB} \sin \alpha = 60 \times \frac{4}{5} - 80 \times \frac{3}{5} = 0$$

$$R_z = \sum F_{iz} = T_{DC} + T_{CB} - N_{DB} \cos \alpha - T_{DB} \cos \alpha = \\ = 15 + 85 - 80 \times \frac{4}{5} - 60 \times \frac{3}{5} = 0$$

$$\sum M_D = M_{DB} - M_{DC} - M_{CB} = 300 - 170 - 130 = 0.$$

Condițiile de echilibru ale nodului sunt îndeplinite.

Exemplul 7.5.5

Un arc de cerc cu 3 articulații are deschiderea $l = 6\text{m}$, săgeata $f = 2,25\text{m}$ și linia nașterilor orizontală (fig. 7.36,a). Așupra lui acționează o încărcare uniform distribuită pe verticală $q = 20\text{kN/m}$.

Se cer diagramele N , T și M pe arc.

Rezolvare:

• calculul reacțiilor (fig. 7.36,a).

$$V_A = V_B = \frac{ql}{2} = 20 \times 3 = 60\text{kN}.$$

Împingerile H_A și H_B se obțin din ecuații de moment nul în raport cu articulația C, al forțelor acționând pe arcele AC și CB.

$$\sum M_C = l \times H_A + q \times \frac{l}{2} \times \frac{l}{4} - V_A \cdot \frac{l}{2} = 0$$

$$H_A = \frac{1}{l} \left(V_A \cdot \frac{l}{2} - q \frac{l^2}{8} \right) = \frac{1}{2,25} \left(60 \times 3 - 20 \times \frac{36}{8} \right) = 40\text{kN}$$

$$H_B = H_A.$$

Calculul eforturilor într-o secțiune oarecare a arcului se face cu relațiile (7.13). Mărimile $\sin \varphi$, $\cos \varphi$ și y se obțin din considerente geometrice (fig. 7.36,a).

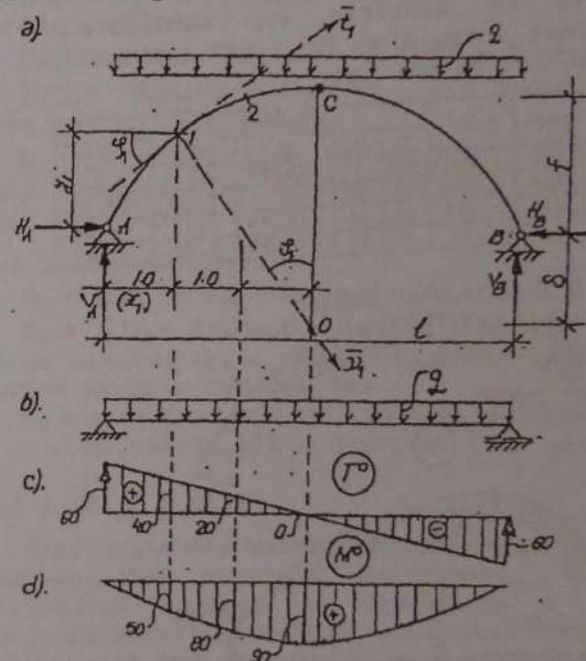


Fig. 7.36

$\sin \varphi = (0,5l - x)/r$ rezultă φ și apoi $\cos \varphi$

$y = r \cos \varphi - \delta$

Pentru determinarea razei r și a distanței δ a cercului din care face parte arcul ACB, exprimăm teorema lui Pitagora în triunghiul OAD:

$$AD^2 + OD^2 = OA^2 \text{ sau } \left(\frac{l}{2}\right)^2 + (r-f)^2 = r^2; \frac{l^2}{4} + r^2 - 2rf + f^2 = r^2;$$

$$r = \frac{l^2/4 + f^2}{2f} = \frac{9 + 5,0625}{2 \times 2,25} = 3,125\text{m}; \delta = r - f = 3,125 - 2,25 = 0,875\text{m}.$$

La rândul lor, eforturile T_x^0 și M_x^0 se obțin din diagramele T și M trasate pe o grindă dreaptă având deschiderea l și încărcată cu forțele de pe arc (fig. 7.36, b) sunt date în figurile 7.36, c și 7.36, d.

Trasarea diagramelor T și M pe arc se face pe baza valorii acestora calculate într-un număr finit de secțiuni.

Din motive de simetrie vom considera 4 secțiuni, cuprinse între A și C și vom sistematiza calculele în tabelul de mai jos:

Secț	x(m)	sinφ	cosφ	y(m)	eforturile				
					T_0	M_0	N	T	M
A	0	0,96	0,280	0	60	0	-68,80	-21,6	0,00
1	1	0,64	0,768	1,526	40	50	-56,32	5,12	-11,04
2	2	0,32	0,947	2,086	20	80	-44,28	6,14	-3,44
C	3	0	1	2,25	0	90	-40,00	0,00	0,00

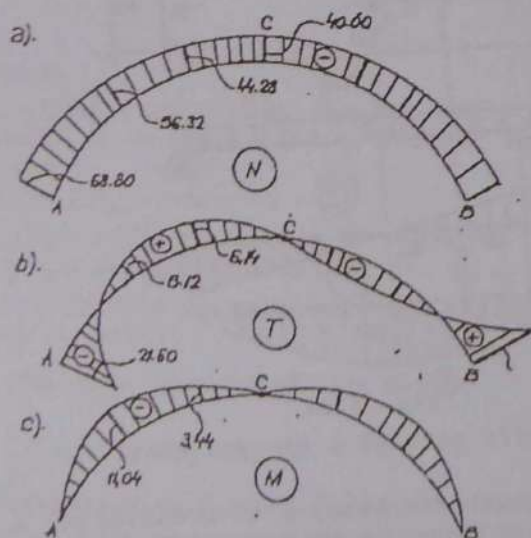


Fig. 7.37

Diagramele N, T și M sunt trasate în figurile 7.37, a, b și c.

Împărțind arcul într-un număr mai mare de boltari se obține un număr mai mare de secțiuni și în consecință crește precizia construcției diagramelor N, T și M.

Printr-o discretizare suficient de fină a lungimii arcului se obțin diagramele căutate cu precizia dorită.

Exemplul 7.5.6

Se dă grinda cu zăbrele din figura 7.38 Cunoscând $\alpha = 60^\circ$, $a = 2,5\text{m}$, $P = 50\text{kN}$ se cere:

- Valoarea eforturilor din toate barele fermei folosind metoda izolării nodurilor.
- Utilizând metoda secțiunilor se cere a fi calculate eforturile din barele 1-3, 2-3 și 2-4.

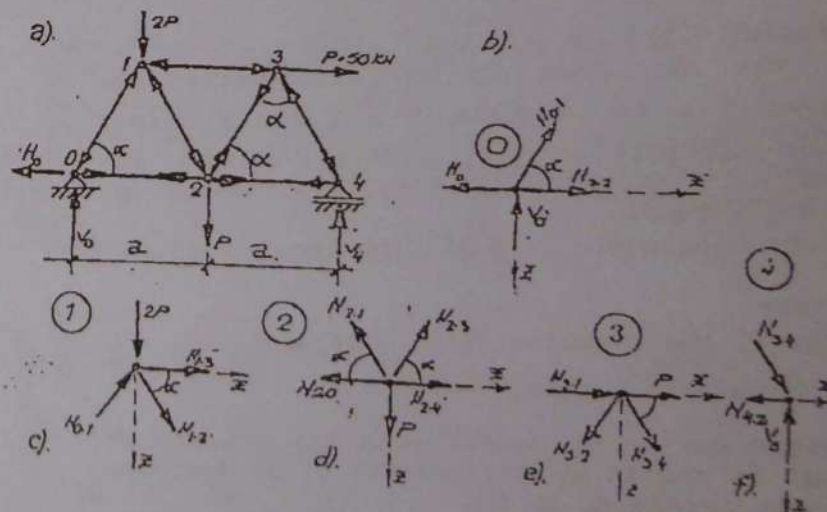


Fig. 7.38

Rezolvare

a. Se aplică metoda izolării nodurilor, calculând în prealabil reacțiunile V_0 , H_0 și V_1 din condiția generală de echilibru a grinzii:

$$R_x = \sum F_{ix} = -H_0 + P = 0,$$

$$\sum M_0 = 2P \times \frac{a}{2} + P \times a + P \times h - 2a \times V_1 = 0$$

$$\sum M_1 = 2aV_0 - 1,5a \times 2P - Pa + Ph = 0$$

Se obține: $H_0 = P = 50 \text{ kN}$.

$$V_1 = \frac{1}{5} (100 \times 1,25 + 50 \times 2,5 + 50 \times 2,165) = 71,65 \text{ kN}.$$

$$V_0 = \frac{1}{5} (3,75 \times 100) + 50 \times 2,5 - 50 \times 2,165 = 78,35 \text{ kN}$$

Sectionând barele concurente în nodul 0 și introducând pe direcțiile acestora eforturile necunoscute N_{01} și N_{02} se obține sistemul forțelor concurente din fig. 7.38,b. Exprimând echilibrul acestora prin două ecuații de proiecții se obțin:

$$R_x = \sum F_{ix} = -H_0 + N_{02} + N_{01} \cos \alpha = 0$$

$$R_z = \sum F_{iz} = -V_0 - N_{01} \sin \alpha = 0,$$

din care rezultă $N_{01} = -90,471 \text{ kN}$, $N_{02} = 95,235 \text{ kN}$. Semnul minus al efortului N_{01} indică faptul că sensul lui este invers, adică intră în nod (produce compresiune).

Se introduce acest sens în figura 7.38,a precum și sensul pozitiv al efortului N_{02} .

După nodul 0 vom izola nodul 1 deoarece în acesta se găsesc numai două bare de efort necunoscute (fig. 7.38,c).

Exprimând echilibrul acestuia rezultă:

$$R_x = \sum F_{ix} = N_{01} \cos \alpha + N_{12} + N_{13} \cos \alpha = 0$$

$$R_z = \sum F_{iz} = -N_{01} \sin \alpha + N_{12} \sin \alpha + 2P = 0 \text{ din care se obțin: } N_{12} = -25,00 \text{ kN; } N_{13} = -32,736 \text{ kN}.$$

Ambele eforturi au sensul invers celui arbitrar introdus în figura 7.39,c. Se introduc în nodurile 1,2 și 3 sensurile reale ale eforturilor găsite (fig. 7.38,a).

Din nodul 1 se poate trece în oricare din nodurile 2 și 3, în ambele existând numai două bare de efort necunoscute.

Exprimând echilibrul nodului 2 (fig. 7.38,d) se obțin:

$$R_x = \sum F_{ix} = -N_{20} - N_{21} \cos \alpha + N_{23} \cos \alpha + N_{24} = 0$$

$$R_z = \sum F_{iz} = -N_{21} \sin \alpha - N_{23} \sin \alpha + P = 0 \text{ din care } N_{21} = 82,735 \text{ kN; } N_{24} = 41,367 \text{ kN}$$

Natura eforturilor N_{23} și N_{24} se introduce în schema grinzii din figura (7.38,a) prin săgeți ieșind din noduri.

Nodul 3 (fig. 7.38,e)

$$R_x = \sum F_{ix} = N_{31} - N_{23} \cos \alpha + N_{34} \cos \alpha + P = 0$$

$R_z = \sum F_{iz} = N_{32} \sin \alpha + N_{34} \sin \alpha = 0$; din ecuația a doua se obține: $N_{34} = -N_{32} = -82,735 \text{ kN}$ care introdus în prima ecuație conduce la:

$$R_x = 32,736 + 50 - (82,735 + 82,735) \times \cos \alpha = 82,736 - 82,735 = 0.001 \approx 0$$

Nodul 4 (fig. 7.38,f)

Eforturile din barele concurente în acesta sunt cunoscute din nodurile anterioare. Verificarea echilibrului nodului va reprezenta o cheie de verificare a corectitudinii calculului anterior.

$$R_x = \sum F_{ix} = -41,367 + 82,735 \cdot \cos \alpha = -41,36 + 41,3675 = 0.$$

$$R_z = \sum F_{iz} = -V_1 + 82,735 \cdot \sin \alpha = -71,65 + 71,65 = 0.$$

Deoarece eforturile determinate verifică cele 3 ecuații de echilibru ($R_x = \sum F_{ix} = 0$ în nodul 3 și $R_z = \sum F_{iz} = 0$ și $R_z = \sum F_{iz} = 0$ în nodul 4) calculul lor este corect.

Pentru determinarea eforturilor din barele 1-3, 2-3 și 2-4 se efectuează o secționare a grinzii astfel încât să fie tăiate barele de efort căutat (fig. 7.39,a).

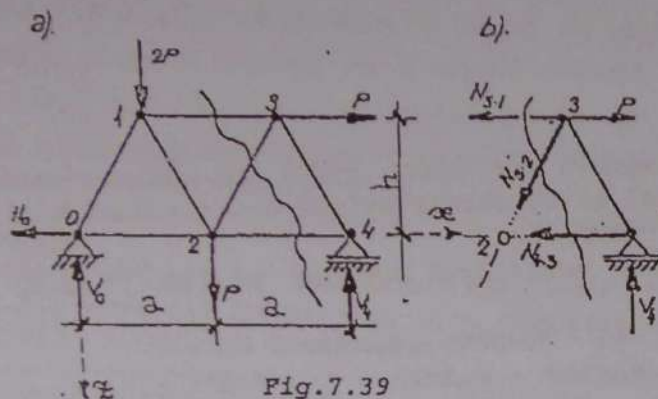


Fig. 7.39

Pe direcțiile barelor tăiate se introduc eforturile căutate (fig. 7.39.b). Sensul acestora se introduce arbitrar. Punctele Ritter vor fi 2 și 3. Exprimând echilibrul tronsonului din dreapta secțiunii (fig. 7.39.b) în raport cu aceste puncte și printr-o ecuație de proiecție pe verticală se obțin:

$$\sum M_2 = N_{11} \cdot h - 50h + V_4 \cdot a = 0$$

$$\sum M_3 = N_{12} \cdot h - \frac{a}{2} \cdot V_4 = 0$$

$$h = 2,50 \times \sin 60 = 2,165 \text{ m}$$

$$N_{11} = 50 - V_4 \cdot \frac{a}{h} = -32,7367 \text{ kN}$$

$$N_{12} = V_4 \cdot \frac{a}{2h} = 41,368 \text{ kN}$$

$$R_z = \sum F_{iz} = N_{12} \sin \alpha - V_4 = 0; N_{12} = 82,734 \text{ kN}.$$

Semnul minus al efortului N_{11} modifică faptul că sensul lui real este invers celui introdus în figura (7.39.b).

Observație

Aceeași valoare a eforturilor s-ar fi obținut dacă se exprima echilibrul tronsonului din stânga secțiunii, evident, cu eforturile necunoscute, introduse pe direcția barelor tăiate.

CAPITOLUL 8

CARACTERISTICILE GEOMETRICE ALE FIGURILOR PLANE

8.1 GENERALITĂȚI ȘI DEFINIȚII

În calculele de rezistență și rigiditate a elementelor de structură, pe lângă caracteristicile mecanice ale materialelor și eforturile produse de încărcările exterioare intervin o serie de caracteristici geometrice ale secțiunilor (figurilor) plane. Din categoria acestora fac parte:

a. Aria secțiunii, notată obișnuit cu A

Calculul acestei caracteristici se efectuează pe baza formei și dimensiunilor secțiunii date, utilizând cunoștințele de Geometrie Plană. Dimensiunile ariei sunt de lungime la puterea a doua (L^2) măsurându-se în orice unitate de lungime la pătrat: mm^2 , cm^2 , m^2 etc.

b. Momentele statice (S_y , S_z)

Prin moment static al unei secțiuni plane în raport cu o axă se înțelege suma algebrică a produselor dintre elementele de arie dA ale secțiunii și distanțele acestora la axa considerată (fig. 8.1).

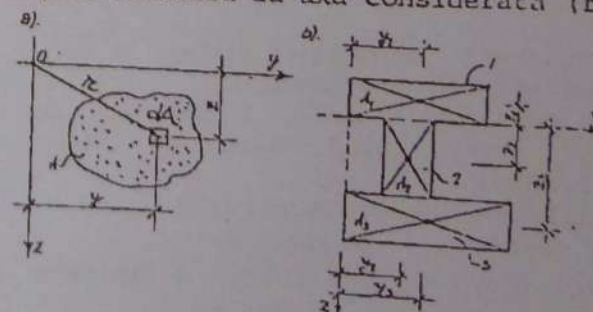


Fig. 8.1

Conform definiției date momentele statice ale figurii în raport cu axele Oy și Oz vor avea expresiile

$$S_y = \int_A z dA \quad (8.1a)$$

$$S_z = \int_A y dA \quad (8.1b)$$

Dacă suprafața dată A poate fi divizată într-un număr finit "n" de figuri simple, având cunoscute ariile Λ_i și distanțele la axe y_i și z_i , (fig. 8.1b) în expresiile momentelor statice (8.1a) și (8.1b) integralele pot fi înlocuite cu sume rezultând relațiile practice de calcul:

$$S_y = \sum_{i=1}^n z_i \Lambda_i \quad (8.2a)$$

$$S_z = \sum_{i=1}^n y_i \Lambda_i \quad (8.2b)$$

Comparând relațiile (8.2) și 3.8 se obțin expresiile

$$y_G \sum \Lambda_i = \sum \Lambda_i y_i = S_z$$

$$z_G \sum \Lambda_i = \sum \Lambda_i z_i = S_y,$$

în care y_G și z_G reprezintă coordonatele centrului de greutate al suprafeței considerate.

Pentru axele ce trec prin centrul de greutate al secțiunii, numite axe centrale $y_G = z_G = 0$, prin urmare, momentele statice în raport cu axe centrale sunt nule.

Referindu-ne la suprafața din figura (8.1b) momentele statice ale acesteia în raport cu axele Oy și Oz vor avea expresiile:

$$S_y = -z_1 \Lambda_1 + z_2 \Lambda_2 + z_3 \Lambda_3; \quad S_z = y_1 \Lambda_1 + y_2 \Lambda_2 + y_3 \Lambda_3$$

Momentele statice au dimensiunea de lungime la puterea treia (L^3) măsurându-se în orice unitate de lungime la cub: mm^3 , dm^3 , cm^3 , m^3 ș.a.m.d.

c. Momente de inerție axiale

Momentul de inerție axial al unei figuri plane în raport cu o axă se definește ca sumă a produselor dintre elementele de arie dA ale figurii și pătratele distanțelor acestora la acea axă. Cu notațiile din figura (8.1a), acestea se exprimă prin relațiile:

$$I_y = \int_A z^2 dA \quad (8.3a)$$

$$I_z = \int_A y^2 dA \quad (8.3b)$$

d. Momente de inerție centrifugale

Se numește moment de inerție centrifugal, în raport cu două axe rectangulare Oy și Oz , suma produselor elementelor de arie dA cu distanțele lor la cele două axe:

$$I_{yz} = \int_A yz dA \quad (8.4)$$

e. Momente de inerție polare

Momentul de inerție polar al unei suprafețe în raport cu un punct (pol), O , reprezintă suma produselor elementelor de suprafață dA cu pătratele distanțelor acestora la punct. Cu notațiile din figura (8.1a):

$$I_p = \int_A r^2 dA \quad (8.5)$$

Momentele de inerție axiale, centrifugale și polare au dimensiunea de (L^4) măsurându-se în orice unitate de lungime la puterea patra: mm^4 , cm^4 , dm^4 , m^4 ș.a.m.d.

Din considerente geometrice, (fig. 8.1,a) $r^2 = y^2 + z^2$. Înlocuind această expresie în relația (8.5) rezultă: $I_p = \int_A (y^2 + z^2) dA = \int_A y^2 dA + \int_A z^2 dA$, prin urmare

$$I_p = I_y + I_z \quad (8.6)$$

8.2 VARIATIA MOMENTELOR DE INERTIE ÎN RAPORT CU AXE PARALELE. TEOREMA LUI STEINER

Fie o figură plană oarecare și un sistem de referință arbitrar yOz (fig. 8.2). Cunoscând momentele de inerție I_y, I_z în raport cu axele O_y și O_z și momentul de inerție centrifugal I_{yz} ne propunem a stabili relațiile de calcul ale momentelor de inerție I_{y_1}, I_{z_1} și $I_{y_1z_1}$ ale figurii date în raport cu un alt sistem de axe $y_1O_1z_1$, având axele paralele cu cele ale sistemului yOz și distanțate de acestea cu a și b .

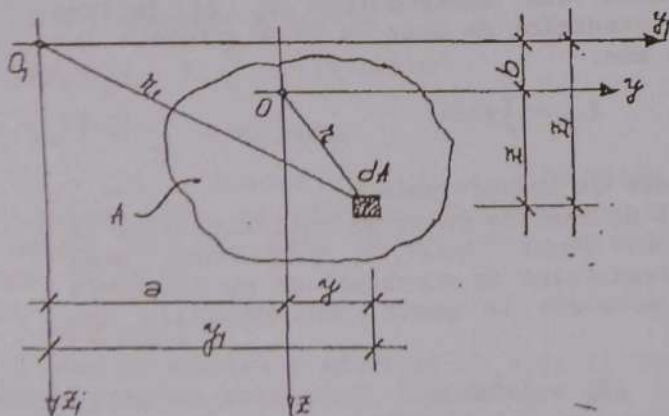


Fig. 8.2

Din considerente geometrice (vezi figura 8.2) legătura dintre coordonatele elementului de arie dA în cele două sisteme de referință este dată prin relațiile $y_1 = y + a$ și $z_1 = z + b$.

În baza formulelor de definiție (8.3,a), (8.3,b) și (8.4) vom avea:

$$I_{y_1} = \int_A z_1^2 dA = \int_A (z+b)^2 dA = \int_A z^2 dA + 2b \int_A z dA + b^2 \int_A dA = I_y + 2bS_z + b^2A$$

$$I_{z_1} = \int_A y_1^2 dA = \int_A (y+a)^2 dA = \int_A y^2 dA + 2a \int_A y dA + a^2 \int_A dA = I_z + 2aS_y + a^2A$$

$$\begin{aligned} I_{y_1z_1} &= \int_A y_1 z_1 dA = \int_A (y+a)(z+b) dA = \\ &= \int_A yz dA + a \int_A z dA + b \int_A y dA + ab \int_A dA = \\ &= I_{yz} + aS_z + bS_y + abA \end{aligned}$$

Dacă axele O_y și O_z sunt axe centrale conform celor arătate în paragraful (8.1), momentele statice S_y și S_z sunt nule iar expresiile momentelor de inerție în raport cu axe paralele cu cele centrale devin:

$$I_{y_1} = I_y + b^2A, \quad (8.7a)$$

$$I_{z_1} = I_z + a^2A, \quad (8.7b)$$

$$I_{y_1z_1} = I_{yz} + abA. \quad (8.7c)$$

Adunând ecuațiile (8.7,a) și (8.7,b) se obține expresia: $I_{y_1} + I_{z_1} = I_y + I_z + A(a^2 + b^2)$ care, în baza relației (8.6) devine:

$$I_{p_1} = I_p + (a^2 + b^2)A \quad (8.8)$$

Relația (8.8) exprimă variația momentului de inerție polar al unei figuri geometrice cu schimbarea polului.

Dacă sunt cunoscute momentele de inerție în raport cu axe oarecare (Oy_1, Oz_1), față de axe paralele cu acestea trecând prin centrul de greutate a secțiunii (Oy, Oz), distanțate cu a și b unele de altele (fig. 8.2) expresiile momentelor de inerție rezultă din relațiile (8.7) sub forma:

$$I_y = I_{y_1} - b^2 A \quad (8.9a)$$

$$I_z = I_{z_1} - a^2 A \quad (8.9b)$$

$$I_{yz} = I_{y_1 z_1} - ab A \quad (8.9c)$$

Expresiile acestora pun în evidență că momentele de inerție în raport cu axe centrale au cea mai mică valoare comparativ cu momentele de inerție calculate în raport cu oricare alte axe paralele cu cele centrale.

8.3 MOMENTELE DE INERȚIE ALE FIGURILOR SIMPLE ȘI COMPUSE

Momentele de inerție ale figurilor simple se calculează cu relații directe, stabilite în funcție de forma și dimensiunile acestora.

Vom deduce aceste formule pentru câteva tipuri de figuri, frecvent întâlnite în domeniul tehnicii, ca secțiuni distincte sau ca părți componente în alcătuirea figurilor compuse.

a. Secțiunea dreptunghiulară

Fie b și h laturile unui dreptunghi Oy și Oz axole lui centrale și $dA = b dz$ un element de arie situat la distanța z de axa Oy (fig. 8.3).

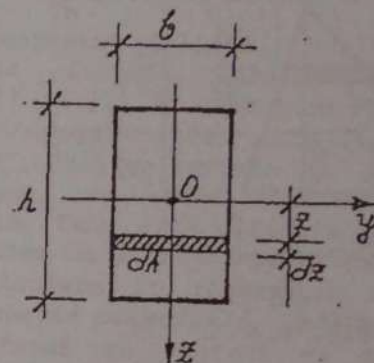


Fig. 8.3

Conform relației (8.3a) vom avea:

$$I_y = \int_A z^2 dA = \int_{-\frac{h}{2}}^{\frac{h}{2}} b z^2 dz = \frac{b}{3} z^3 \Big|_{-\frac{h}{2}}^{\frac{h}{2}} = \frac{bh^3}{12} \quad (8.10,a)$$

Analog se obține

$$I_z = \frac{h}{3} x^3 \Big|_{-\frac{b}{2}}^{\frac{b}{2}} = \frac{b^3 h}{12} \quad (8.10,b)$$

b. Secțiunea triunghiulară

Considerând un triunghi oarecare, având baza b și înălțimea h , în raport cu o axă y_1 ce trece prin vârful opus bazei și paralelă cu aceasta un element de arie (fig. 8.4) va avea expresia $dA = b_1 dz$, în care $b_1 = \frac{b}{h} z_1$.

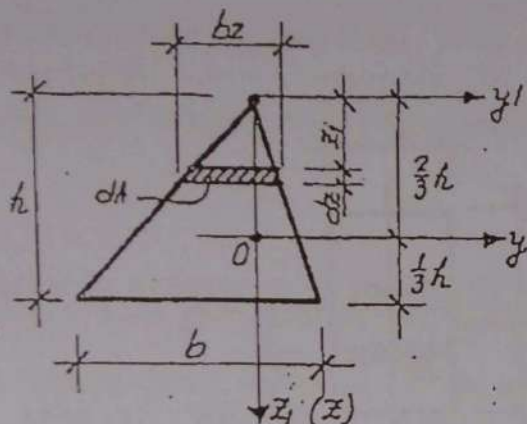


Fig. 8.4

Folosind ecuația (8.3a) ce definește momentul de inerție axial vom avea $I_{y1} = \int_A z^2 dA = \int_0^h \frac{b}{h} z^3 dz = \frac{bz^4}{4} \Big|_0^h = \frac{bh^4}{4}$.

În raport cu axa centrală y paralelă cu latura b, în baza primei relații din (8.9a) vom avea

$$I_y = \frac{bh^3}{4} - \frac{1}{2} bh \left(\frac{2}{3} h \right)^2 = \frac{bh^3}{36} \quad (8.11)$$

c. Momentele de inerție ale cercului

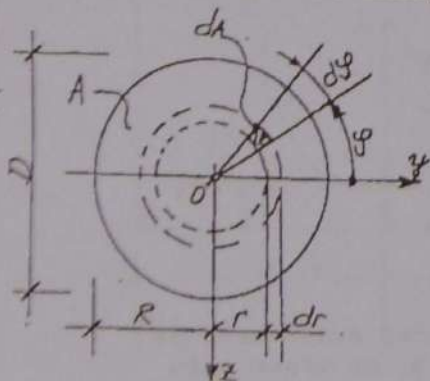


Fig. 8.5

La suprafața circulară, elementul de arie dA se obține între două raze ce fac între ele unghiul dφ și între două cercuri concentrice de raze r și r+dr (fig. 8.5), prin urmare,

$$dA = dr \cdot r d\phi$$

Conform relației (8.5) vom avea:

$$I_p = \int_A r^2 dA = \iint r^2 r dr d\phi = \int_0^{2\pi} d\phi \int_0^R r^3 dr = \phi \left[\frac{r^4}{4} \right]_0^R = \frac{2\pi R^4}{4} = \frac{\pi R^4}{2}$$

Înlocuind $R = \frac{D}{2}$ se obține expresia momentului de inerție polar al suprafeței circulare în raport cu diametrul acesteia,

$$I_p = \frac{\pi D^4}{32} \quad (8.12)$$

Momentul de inerție axial al suprafeței circulare rezultă în baza relației (8.6) observând că în cazul cercului $I_y = I_z = I$, în consecință

$$2I_y = 2I_z = 2I = I_p = \frac{\pi D^4}{32} \text{ din care se obțin:}$$

$$I_y = I_z = I = \frac{\pi D^4}{64} \quad (8.13)$$

În practica calculului de rezistență se întâlnesc frecvent secțiuni mai complexe, formate din dreptunghiuri, triunghiuri etc. (Fig. 8.6).

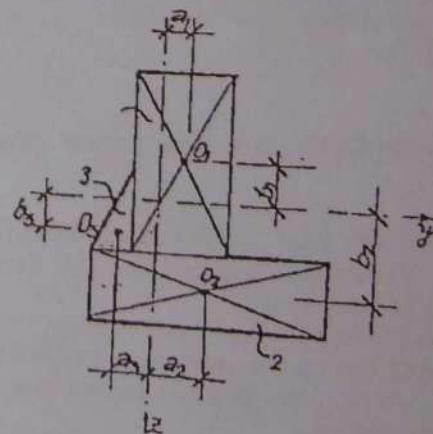


Fig. 8.6

Pentru determinarea momentelor de inerție ale acestora în raport cu axele arbitrare Oy și Oz paralele cu axele centrale proprii O_1y_1 și O_1z_1 ale figurilor simple componente se folosesc relațiile (8.7) sub forma:

$$I_y = \sum_{i=1}^k (I_{y_1} + A_i b_i^2) \quad (8.14a)$$

$$I_z = \sum_{i=1}^k (I_{z_1} + A_i a_i^2) \quad (8.14b)$$

în care k reprezintă numărul figurilor simple iar a_i și b_i distanțele dintre axele $Oy-O_1y_1$ și respectiv $Oz-O_1z_1$ iar A_i aria suprafeței i .

Semnificațiile geometrice ale acestora sunt arătate în fig. (8.6) divizată în două dreptunghiuri și un triunghi ($k = 3$).

8.4 VARIATIA MOMENTELOR DE INERȚIE CU ROTIREA AXELOR. MOMENTE DE INERȚIE PRINCIPALE ȘI DIRECȚII PRINCIPALE

Fie o suprafață plană oarecare și un sistem de referință ortogonal yOz din planul ei în raport cu care sunt cunoscute momentele de inerție I_y , I_z și I_{yz} (fig. 8.7).

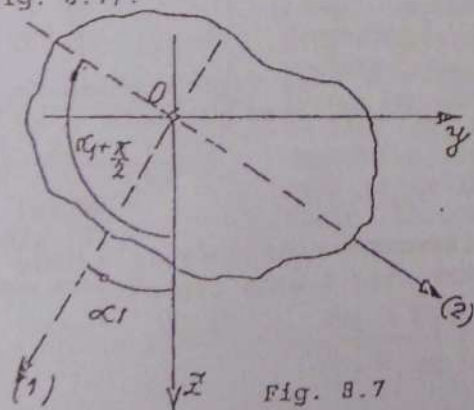


Fig. 8.7

Se demonstrează [3], [8], [21] că oricare ar fi geometria figurii, există două direcții ortogonale (1) și (2) în raport cu care momentul de inerție centrifugal este nul ($I_{1,2} = 0$) iar momentele de inerție (notate cu I_1 și I_2) iau valori extreme, unul din ele fiind maxim iar celălalt minim. Cele două direcții astfel definite poartă denumirea de **direcții principale de inerție**. Momentele calculate în raport cu ele se numesc **momente de inerție principale**. Dacă punctul O (fig. 8.7) se confundă cu centrul de greutate G al secțiunii axele de inerție principale poartă denumirea de **axe centrale principale de inerție**.

În domeniul construcțiilor secțiunile elementelor structurale sunt de regulă figuri geometrice având o axă sau două axe de simetrie (fig. 8.8).

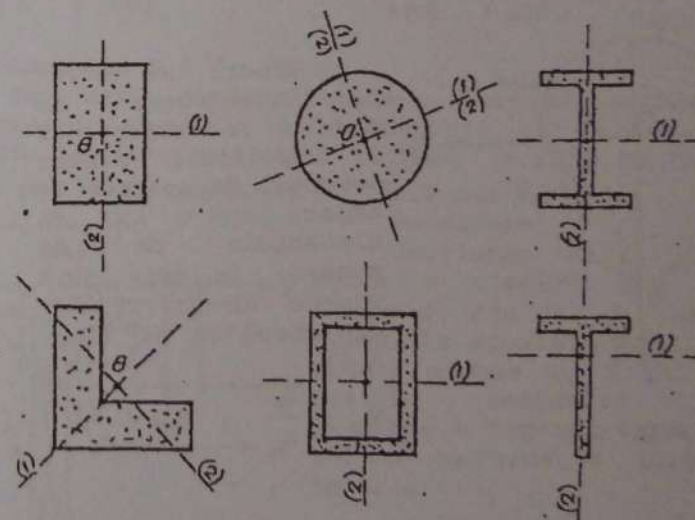


Fig. 8.8

Din studiul variației momentelor de inerție cu rotirea axelor reiese că orice axă de simetrie a unei figuri este o axă principală de inerție. Cea

de a doua axă principală este reprezentată de orice dreaptă perpendiculară pe axa de simetrie. Ea formează cea de a doua axă centrală principală de inerție atunci când trece prin centrul de greutate G a secțiunii. Momentele de inerție calculate în raport cu axele centrale principale de inerție poartă denumirea de momente centrale principale de inerție. În cazul figurilor ce nu prezintă nici o axă de simetrie, direcțiile principale și momentele de inerție principale se calculează conform prevederilor din [3], [8], [21] etc.

8.5 MODULE DE REZISTENȚĂ ȘI RAZE DE GIRAȚIE

Raportul dintre momentul de inerție al unei secțiuni față de o axă centrală și distanța la cel mai depărtat punct de această axă poartă denumirea de modul de rezistență (fig. 8.9):

$$W_y = \frac{I_y}{z_{\max}} \quad (8.15)$$

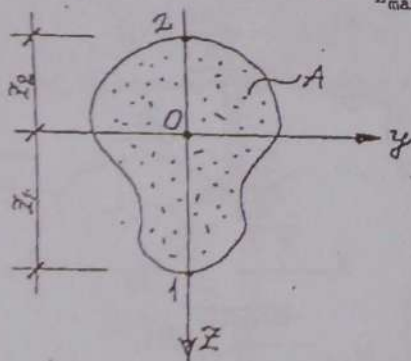


Fig. 8.9

Uneori se atribuie noțiunea de module de rezistență și rapoartelor dintre momentul de inerție în raport cu o axă și distanțele de la aceasta la cele două puncte (1 și 2) mai depărtate de ea (fig. 8.9):

$$W_{y1} = \frac{I_y}{z_1} ; W_{y2} = \frac{I_y}{z_2}$$

Modulele de rezistență au dimensiunea de $[L^3]$ măsurându-se în orice unitate de lungime la puterea 3-a: mm^3 , dm^3 , cm^3 , m^3 ș.a.m.d.

În cazul dreptunghiului (fig. 8.3) distanțele de la axele Oy și Oz la fibrele externe sunt $h/2$ și respectiv $b/2$, iar momentele de inerție au expresiile (8.10a și b).

În baza formulelor de definiție se obțin:

$$W_y = \frac{I_y}{\frac{h}{2}} = \frac{2bh^3}{12h} = \frac{bh^2}{6} \quad (8.16a)$$

$$W_z = \frac{I_z}{\frac{b}{2}} = \frac{2b^3h}{12b} = \frac{hb^2}{6} \quad (8.16b)$$

La secțiunea circulară (fig. 8.5), distanța maximă de la orice axă centrală la un punct de pe conturul exterior este $\frac{D}{2}$ iar momentul de inerție axial are valoarea dată de (8.13). Cu acestea se obține

$$W_y = W_z = W = \frac{\frac{\pi D^4}{64}}{\frac{D}{2}} = \frac{\pi D^3}{32} \quad (8.17)$$

Raportul dintre momentul de inerție polar I_p , dat de relația (8.12) și distanța $D/2$ poartă denumirea de modul de rezistență polar, notat cu W_p .

$$W_p = \frac{\pi D^4}{32} : \frac{D}{2} = \frac{\pi D^3}{16} \quad (8.17)$$

Prin raze de girație a unei figuri plane în raport cu axele Oy și Oz se definesc mărimile i_y și i_z ce satisfac relațiile:

$$i_y = \sqrt{\frac{I_y}{A}} ; i_z = \sqrt{\frac{I_z}{A}} \quad (8.18)$$

în care I_y și I_z sunt momentele de inerție axiale în raport cu aceleași axe, iar A aria figurii.

Pentru axele principale de inerție se definesc razele de rotație principale

$$i_1 = \sqrt{\frac{I_1}{A}}; i_2 = \sqrt{\frac{I_2}{A}} \quad (8.19b)$$

Razele de rotație au dimensiunea de [L] și se măsoară în orice unitate de lungime: mm, cm, dm, mm. ș.a.m.d.

8.6 EXEMPLE DE CALCUL

Exemplul 8.6.1

Pentru secțiunea unei grinzi având forma I, cu dimensiunile din figura (8.10), se cer momentele de inerție centrale principale, modulele de rezistență și razele de rotație corespunzătoare. Se dau: $h_1=60$ cm; $b_1=12$ mm; $\delta=20$ mm; $b_c=30$ cm.

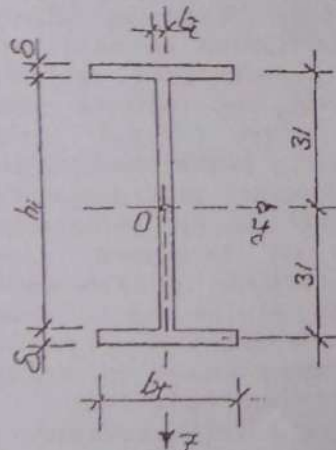


Fig. 8.10

(8.10) vom avea:

$$I_y = \frac{b_1 h_1^3}{12} + 2 \left[\frac{b_c \delta^3}{12} + \delta b_c \left(\frac{h_1 + \delta}{2} \right)^2 \right] =$$

$$= \frac{1,2 \times 60^3}{12} + 2 \left(\frac{30 \times 2^3}{12} + 30 \times 2 \times 31^2 \right) =$$

$$= 136960 \text{ cm}^4 = I_1$$

$$I_z = \frac{h_1 b_1^3}{12} + 2 \frac{\delta b_c^3}{12} = \frac{60 \times 1,2^3}{12} + 2 \times \frac{2 \times 30^3}{12} = 9009 \text{ cm}^4 = I_2$$

$$z_{\max} = \frac{h_1}{2} + 2 = 32 \text{ cm}; y_{\max} = \frac{b_c}{2} = 15 \text{ cm}$$

Folosind relația (8.15):

$$W_y = \frac{I_y}{z_{\max}} = \frac{136960}{32} = 4280 \text{ cm}^3; W_z = \frac{I_z}{y_{\max}} = \frac{9009}{15} = 600,60 \text{ cm}^3$$

Cu relațiile (8.19) se obțin razele de rotație

$$A = 2 \cdot \delta \times b_c + b_1 h_1 = 2 \times 2 \times 30 + 1,2 \times 60 = 192 \text{ cm}^2$$

$$i_1 = \sqrt{\frac{I_1}{A}} = \sqrt{\frac{136960}{192}} = 26,708 \text{ cm}; i_2 = \sqrt{\frac{I_2}{A}} = \sqrt{\frac{9009}{192}} = 6,850 \text{ cm}.$$

Exemplul 8.6.2

Se cer momentele de inerție centrale principale, modulele de rezistență și razele de rotație ale secțiunii din figura (8.11). Se dau: $b_1=10$ cm; $h_1=60$ cm; $h_2=15$ cm; $\delta=10$ cm; $b_c=40$ cm.

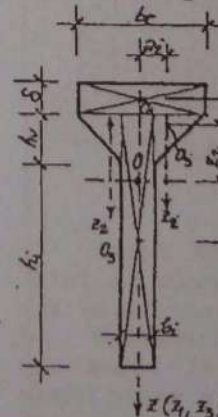


Fig. 8.11

Rezolvare

Secțiunea dată prezintă o singură axă de simetrie, axa Oz. Divizând suprafața acesteia în trei figuri simple 1, 2 și 3, poziția centrului de greutate a figurii date se obține cu ecuația (3.8b) în care:

$$z_1 = \frac{\delta}{2} = 5 \text{ cm}; z_2 = 10 + \frac{1}{3} h_v = 10 + \frac{1}{3} 15 = 15 \text{ cm}; z_3 =$$

$$= \delta + \frac{1}{2} (h_i + h_v) = 10 + 0,5(60 + 15) = 47,5 \text{ cm};$$

$$z_c = \frac{5 \times 4 \times 10 + 15 \times 2 \times \frac{15 \times 15}{2} + 47,5 \times 75 \times 10}{40 \times 10 + 2 \times \frac{15 \times 15}{2} + 75 \times 10} = 29,818 \text{ cm}$$

Din considerente geometrice

$$b_1 = z_c - \frac{\delta}{2} = 29,818 - 5 = 24,818 \text{ cm}$$

$$b_2 = z_c - \left(\delta + \frac{1}{3} h_v \right) = 29,818 - 15 = 14,818 \text{ cm}$$

$$b_3 = z_3 - z_c = 47,5 - 29,818 = 17,682 \text{ cm}$$

Cu elementele precizate mai sus, utilizând relațiile (8.14a) și (8.14b) vom avea

$$I_y = \frac{b_c \delta^3}{12} + b_c \delta b_1^2 + 2 \frac{b_v h_v^3}{36} + 2 \frac{b_v h_v}{2} \times b_2^2 + \frac{b_i (h_i + h_v)^3}{12}$$

$$+ b_1 (h_i + h_v) b_3^2 = \frac{40 \times 10^3}{12} + 40 \times 10 \times 24,818^2 + \frac{2 \times 15 \times 15^3}{36} + 2 \times \frac{15 \times 15}{2} \times 14,818^2 + \frac{10 \times 75^3}{12} + 10 \times 75 \times 17,682^2 = 615530 \text{ cm}^4$$

Pentru calculul momentului de inerție I_x vom observa că $a_1 = a_3 = 0$; $a_2 = \frac{b_i}{2} + \frac{1}{3} b_v = 5 + 5 = 10 \text{ cm}$

cu care

$$I_z = \frac{\delta b_c^3}{12} + 2 \frac{h_v b_v^3}{36} + 2 \frac{b_v h_v}{2} \times a_2^2 + \frac{b_i^3 h_i}{12} = \frac{10 \times 40^3}{12} + 2 \left(\frac{15 \times 15^3}{36} + \frac{15 \times 15}{2} \times 10^2 \right) + \frac{10^3 \times 75}{12} = 141146 \text{ cm}^4$$

Pe baza elementelor geometrice ale figurii se calculează:

$$Y_{\max} = 20 \text{ cm}; Z_{\max} = h_i + \delta + h_v - z_c = 55,182 \text{ cm};$$

$$A = 40 \times 10 + 2 \times \frac{15 \times 15}{2} + 75 \times 10 = 1375 \text{ cm}^2$$

după care

$$W_y = \frac{I_y}{Z_{\max}} = \frac{615530}{55,182} = 11155 \text{ cm}^3$$

$$W_z = \frac{I_z}{Y_{\max}} = \frac{141146}{20} = 7057 \text{ cm}^3$$

$$i_1 = i_y = \sqrt{\frac{615530}{1375}} = 21,158 \text{ cm}$$

$$i_2 = i_z = \sqrt{\frac{141146}{1375}} = 10,132 \text{ cm}$$

Capitolul 9

ÎNTINDEREA ȘI COMPRESIONAREA AXIALĂ

9.1 DEFINIȚII. EFORTURI ȘI TENSIUNI ÎN BARELE SOLICITATE AXIAL

O bară este solicitată axial atunci când în orice secțiune transversală a ei acționează un singur efort: forța axială N . Exemplul cel mai simplu în acest sens este cel al barei drepte încărcate la capete cu două forțe P dirijate după axa ei longitudinală. Dacă $N > 0$ (fig. 9.1,a) bara este întinsă iar dacă $N < 0$ bara este comprimată (fig. 9.1,b). Formal, întinderea nu diferă de compresiune decât prin semnul forței N . În domeniul construcțiilor elementele solicitate axial sunt numeroase. Din multitudinea acestora, în fig. 9.1,c este prezentat un zid comprimat centric de încărcarea q , uniform distribuită, și de greutatea proprie g iar în figura 9.1,d un stâlp supus acțiunii forțelor P și Q provenind din acțiunea grinzilor asupra consolelor acestuia.

Neglijând greutatea proprie a stâlpului și a consolelor rezultă schema încărcărilor axiale dată în figura 9.1,e și diagrama efortului axial N pe stâlp (fig. 9.1,f).

Seria elementelor de construcție supuse la solicitări axiale pure poate fi completată cu structurile articulate (grinzile cu zăbrele), firele, tiranții etc.

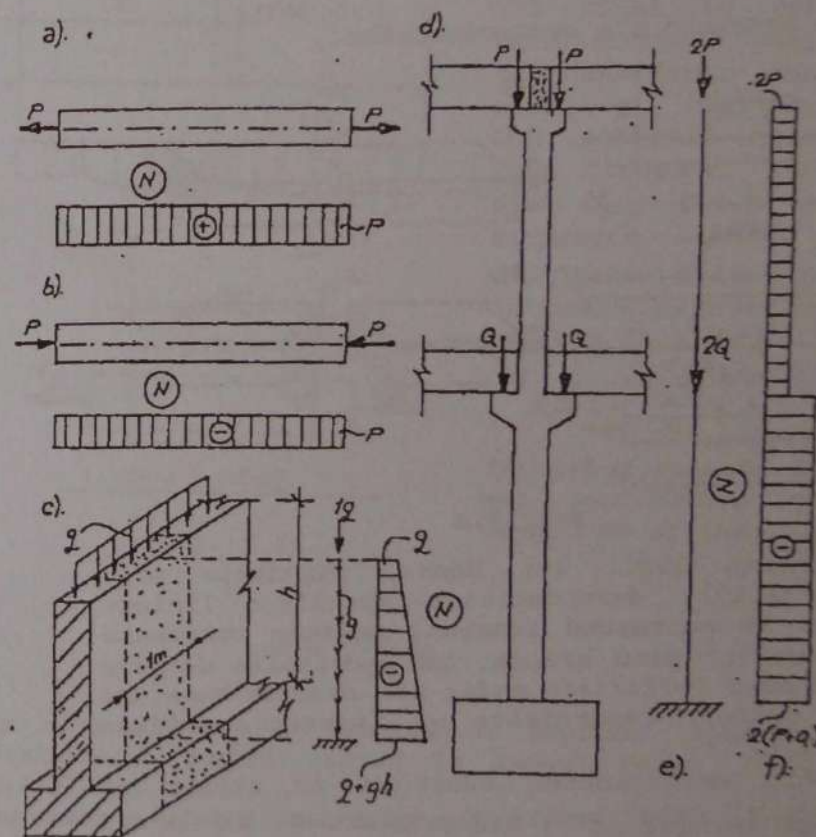


Fig. 9.1

Fiind corpuri deformabile barele solicitate axial se alungesc, dacă sunt întinse, (fig. 9.2,b) sau se scurtează dacă sunt comprimate (fig. 9.2,c).

Considerând două secțiuni plane și normale pe axa barei înainte de deformare 1-1 și 2-2, ele rămân plane și normale pe bară (1'-1' respectiv 2'-2') și după deformare. Aceasta înseamnă că toate fibrele componente ale barei cuprinse între cele

două secțiuni s-au alungit ori sau scurtat cu aceeași cantitate $\Delta a = a' - a$. Rezultă deci că în orice punct al unei secțiuni normale deformările specifice liniare $\left(\epsilon = \frac{\Delta a}{a}\right)$ au aceeași valoare, deci, pe secțiune ele sunt constante.

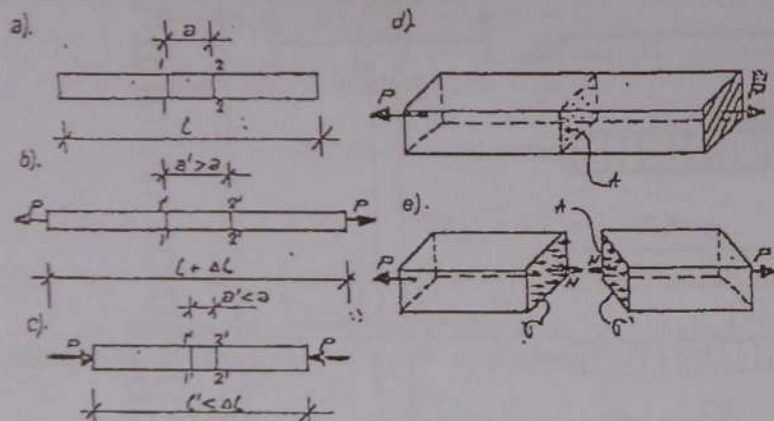


Fig. 9.2

În baza legii lui Hooke, exprimate prin relația (6.12), deformărilor specifice liniare constante le corespund tensiuni normale constante ($\sigma = \text{constant}$) prin urmare, în secțiunile normale ale unei bare solicitate axial iau naștere tensiuni normale uniforme repartizate pe întreaga secțiune (fig. 9.2, e).

Pentru determinarea acestora se utilizează relația (6.4) care, pentru $\sigma = \text{constant}$, ia forma, $N = \sigma \int_A dA = \sigma A$, din care,

$$\sigma = \frac{N}{A} \quad (9.1)$$

Relația (9.2) constituie formula fundamentală a întinderii și compresiei centrice, în care N

reprezintă efortul axial din secțiune iar A aria secțiunii transversale normale pe bară. Dacă $N > 0$ tensiunile σ sunt pozitive și reprezintă întinderi iar dacă $N < 0$ ele sunt negative și reprezintă compresii.

9.2 DEFORMĂȚII ȘI DEPLASĂRI

Barele solicitate axial prin deformare își modifică atât lungimea cât și dimensiunile secțiunilor transversale. Dacă bara (fig. 9.3, a) este întinsă ea se alungește și își micșorează dimensiunile secțiunii transversale (fig. 9.3, b) iar dacă este comprimată se scurtează și își mărește secțiunea (fig. 9.3, c).

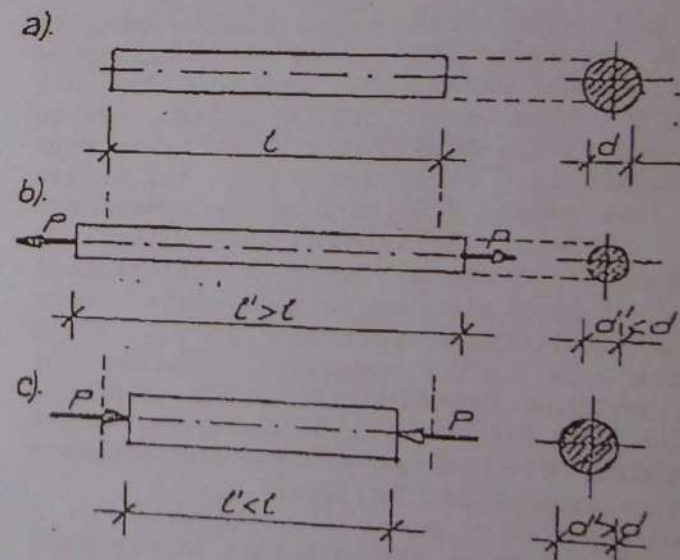


Fig. 9.3

Notând cu l lungimea și cu d diametrul unei bare de secțiune circulară înainte de solicitare (fig. 9.3,a), după încărcare aceasta se va deforma, ajungând la dimensiunile l' și d' .

Diferența $\Delta l = l' - l$ reprezintă deformația liniară absolută, iar $\Delta d = d - d'$ deformația transversală absolută. Acestea le corespund deformații specifice, liniare și respectiv transversale definite prin relațiile:

$$\epsilon = \frac{\Delta l}{l} = \frac{l' - l}{l} \quad (9.2)$$

$$\epsilon_t = \frac{\Delta d}{d} = \frac{d - d'}{d} \quad (9.3)$$

În domeniul elastic de solicitare al materialului, legătura dintre deformația liniară ϵ și tensiunea normală σ ce o produce este dată de legea lui Hooke (6.12) scrisă în forma $\epsilon = \frac{\sigma}{E} = \frac{\Delta l}{l}$.

Înlocuind valoarea σ dată de relația (9.1) se obține $\frac{N}{EA} = \frac{\Delta l}{l}$ de unde

$$\Delta l = \frac{Nl}{EA} \quad (9.4)$$

În care E reprezintă modulul de elasticitate longitudinală a materialului din componenta barei. Produsul EA poartă denumirea de rigiditate a barei la solicitări axiale.

Dacă forța axială variază în lungul barei, studiul deformațiilor acesteia se face pe un element diferențial de lungime dx detașat din bară prin secționarea acesteia cu două plane normale de abscise x și $x+dx$ (9.4).

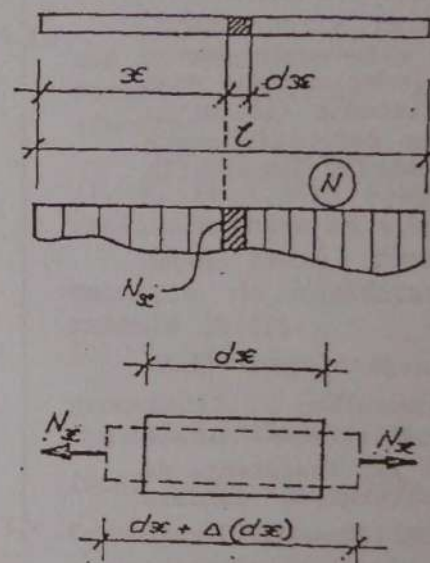


Fig. 9.4

Lungimea dx fiind infinitezimală efortul axial în cele două secțiuni poate fi considerat constant și egal N_x . Sub acțiunea acestuia tronsonul studiat (fig. 9.4,b) se alungește cu o cantitate $\Delta(dx)$ ce se poate exprima cu relația (9.4)

$$\Delta(dx) = \frac{N_x dx}{EA}$$

Integrând relația de mai sus membru cu membru se obține:

$$\Delta l = \int_0^l \frac{N_x}{EA} dx \quad (9.5)$$

în care N_x este o funcție ce exprimă legea de variație a forței axiale în lungul barei (fig. 9.4,a).

Deformația specifică transversală ϵ_t se exprimă de regulă în funcție de ϵ prin relația

$$\epsilon_t = -\mu \epsilon \quad (9.6)$$

în care μ reprezintă o constantă numită coeficientul lui Poisson, care este specific fiecărui material în parte. Pentru domeniul materialelor de construcții $\mu = 0,00 \dots 0,50$.

9.3 CALCULUL PRACTIC DE REZISTENȚĂ ȘI RIGIDITATE A BARELOR SOLICITATE AXIAL

Pentru a-și îndeplini rolul structural, orice bară solicitată axial trebuie să îndeplinească două cerințe fundamentale, cea de rezistență (să nu se rupă) și cea de rigiditate (să nu se deformeze peste anumite limite admisibile). Matematic, condițiile precizate se exprimă prin relațiile:

$$\sigma = \frac{N}{A} \leq R \quad (9.7)$$

$$\Delta l = \frac{Nl}{EA} \leq \Delta l_a \quad (9.8)$$

În care termenii N , A , E și l au semnificațiile celor din relațiile (9.1) și (9.4) iar rezistența de calcul a materialului R și deformația liniară admisibilă Δl_a sunt caracteristici de calcul ale materialului și respectiv ale elementului structural. Valorile acestora sunt date în norme tehnice. Pentru oțelul moale de construcții OL37 folosit în realizarea construcțiilor metalice $R=2100 \text{ daN/cm}^2$ iar pentru lemnul de rășinoase $R=100 \text{ daN/cm}^2$. Obişnuit deformația liniară admisibilă Δl_a este dată ca fracțiune din lungimea l a elementului

calculat $\left(\frac{l}{200}, \frac{l}{300}, \frac{l}{500}, \frac{l}{600}, \frac{l}{1000} \text{ etc.} \right)$,

în raport de rolul și importanța elementului structural respectiv.

Relațiile (9.7) și (9.8) se folosesc uzual în calculul de rezistență și rigiditate al barelor solicitate axial, la întindere sau compresie.

Conținutul și modul de rezolvare al celor 3 probleme fundamentale ale Rezistenței materialelor cu ajutorul acestora este următorul:

a. Verificarea

Având cunoscută secțiunea transversală A a unei bare, materialul din care aceasta este alcătuită și efortul axial N care o solicită, prin verificare se urmărește a se stabili dacă aceasta satisface condiția de rezistență (9.7) și cea de rigiditate (9.8).

Pentru aceasta, din normele tehnice se extrag caracteristicile de calcul R , E și Δl_a . Odată acestea cunoscute operația de verificare revine la testarea existenței inegalităților date de relațiile (9.7) și (9.8).

b. Dimensionarea

Cunoscând efortul axial N ce solicită o bară, lungimea acesteia l , rolul ei structural și materialul din care urmează a fi realizată (deci Δl_a , R și E) prin dimensionare se urmărește stabilirea secțiunii transversale a barei respective ca formă și dimensiuni în așa fel încât aceasta să îndeplinească concomitent condiția de rezistență și cea de rigiditate.

Pentru aceasta se folosește relația (9.7) luată la limită, $\frac{N}{A} = R$ din care se calculează așa numita arie necesară, notată A_{nec} :

$$A_{nec} = \frac{N}{R} \quad (9.9)$$

Relația (9.9) reprezintă formula de dimensionare la solicitări axiale. Forma geometrică a secțiunii se alege. În continuare, pentru stabilirea dimensiunilor secțiunii, se exprimă aria geometrică a formei alese A și se egalează cu cea necesară.

Astfel:

- pentru o bară de secțiune circulară (fig. 9.5, a)

$$A = \frac{\pi d^2}{4} = A_{nec} \text{ de unde rezultă } d = R \sqrt{\frac{A_{nec}}{\pi}}$$

- pentru secțiunea pătrată (fig. 9.5b)

$$A = a^2 = A_{nec}, \text{ din care } a = \sqrt{A_{nec}}$$

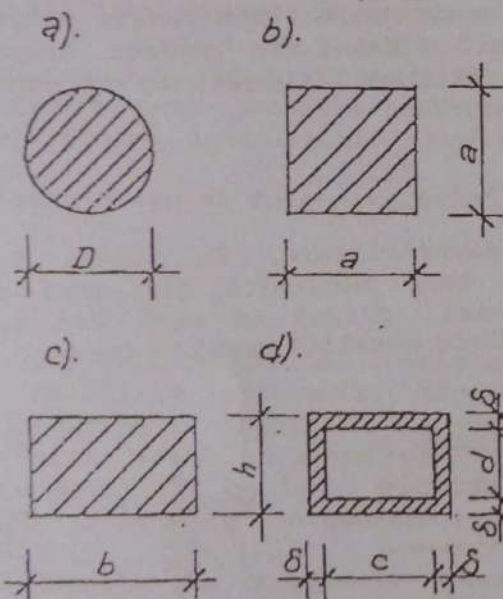


Fig. 9.5

- pentru secțiunea dreptunghiulară (9.5c) sau pentru orice altă formă de secțiune (fig. 9.5d) aria A poate cuprinde două sau mai multe dimensiuni ca mărimi necunoscute. Cum pentru calculul se dispune de o singură ecuație ($A = A_{nec}$) pentru rezolvarea problemei se exprimă valorile acestora în raport cu una din ele. În cazul secțiunii dreptunghiulare luând $a = kb$, în care $k = h/b = 1,5 \dots 3,00$, vom avea $A = kb^2 = A_{nec}$, din care se obține $b = \sqrt{k A_{nec}}$ și apoi $a = kb$.

Dimensiunile rezultate din calculele de mai sus se rotunjesc prin adaus, în limite prevăzute de normele tehnice, ariile acestora numindu-se efective (A_{ef}).

Pentru barele realizate din profile laminate (I, U, L, T etc) dimensionarea revine la alegerea profilului care să aibă aria efectivă $A_{ef} \geq A_{nec}$.

Dacă barei dimensionate i se impune și condiția de rigiditate aceasta se verifică cu relația (9.8).

Dacă inegalitatea nu se verifică ($\Delta l > \Delta l_a$) se procedează la redimensionarea barei din condiția de rigiditate. Pentru aceasta se folosește relația (9.8) luată la limită: $\frac{Nl}{EA} = \Delta l_a$; din care rezultă formula de redimensionare:

$$A_{nec} = \frac{Nl}{E\Delta l_a} \quad (9.9')$$

c) Capacitatea portantă

Efortul N_{cap} pe care îl poate prelua o bară de secțiune A , realizată dintr-un material având rezistența de calcul R se determină cu relația (9.7) luată la limita $N_{cap} = AR$ (9.10).

Dacă barei considerate i se impune și condiția de rigiditate ($\Delta l \leq \Delta l_a$), din relația (9.8) luată la limită se calculează:

$$N_{cap} = \frac{EA\Delta l_a}{l} \quad (9.11)$$

iar efortul capabil al barei va fi reprezentat de cea mai mică valoare obținută cu relațiile (9.10) și (9.11).

9.4 BARE CU VARIAȚIE BRUSCĂ DE SECȚIUNE SOLICITATE AXIAL

Barele solicitate axial de secțiune constantă sau de secțiune variabilă continuă în lungul axei prezintă o distribuție uniformă a tensiunilor normale σ în secțiunile ei normale (fig. 9.6,a). În numeroase cazuri barele prezintă variații bruște de secțiune, ca urmare a unor slăbiri produse de găuri, creștături, gătuiri, defecte de fabricație etc.

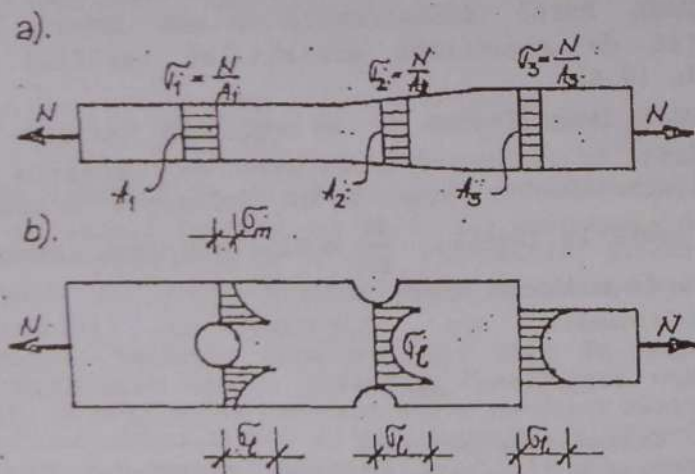


Fig. 9.6

Studii teoretice și experimentale riguroase pun în evidență că în secțiunile transversale ce conțin asemenea slăbiri (fig. 9.6,b) tensiunile normale σ prezintă valori locale σ_l mari în fibrele din imediata vecinătate a slăbirii, după care scad accentuat pe măsura depărtării de locul acestora. Notând cu A_{br} aria secțiunii barei fără slăbiri și cu A_{sl} aria slăbirilor, aria secțiunii de material rămasă în secțiunea slăbită, numită arie netă (A_{net}) va fi dată de relația evidentă $A_{net} = A_{br} - A_{sl}$.

Admițând ipoteza unei distribuții uniforme tensiunilor σ pe această arie, expresia valorii σ_m medii va avea expresia

$$\sigma_m = \frac{N}{A_{net}} \quad (9.12)$$

Deoarece $A_{net} < A_{br}$ rezultă că tensiunile σ date de relația (9.12) sunt superioare ca moduli tensiunilor σ din orice secțiune brută, în consecință ele reprezintă tensiunile maxime ce pot apărea în bară. Având în vedere acest lucru condiția de rezistență a barei se va exprima prin relația:

$$\sigma_{max} = \frac{N}{A_{net}} \leq R \quad (9.13)$$

Pentru exemplificare, în figura 9.7a este prezentată o bară alcătuită din două corniere, solicitată axial, prinsă la unul din capete cu nituri de o placă metalică numită guseu.

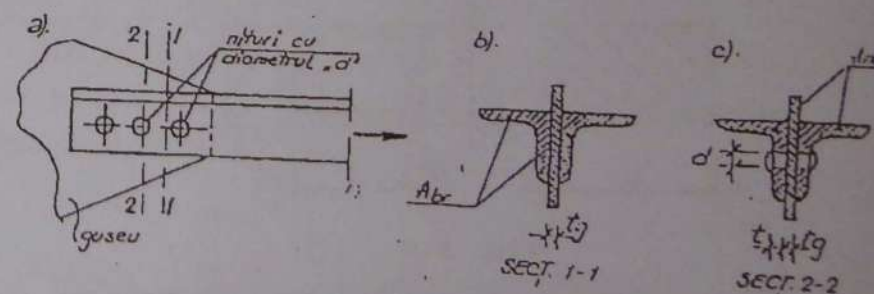


Fig. 9.7

Pe lungimea l a barei se identifică două secțiuni caracteristice: secțiunea 1-1, fără slăbiri de arie A_{br} (fig. 9.7,b) și secțiunea 2-2,

prin oricare din nituri, slăbită ca urmare a găurii de nit, reprezentând aria netă (fig. 9.7,c). Din considerente geometrice $A_{net} = A_{br} - 2dt$, în care d reprezintă diametrul nitului iar t grosimea aripii cornierei.

Pornind de la relația (9.13) calculul de rezistență la întindere și compresiune al barelor prezentând variații brusce de secțiune se face la fel ca cel al barelor de secțiune constantă utilizând aria netă A_{net} în locul ariei fără slăbiri A .

Verificarea unei secțiuni slăbite revine la testarea existenței inegalității date prin relația (9.13).

La dimensionare se folosește relația (9.9) sub forma

$$A_{net} = k_s \frac{N}{R} \quad (9.14)$$

în care $k_s = 1,10 \dots 1,50$ este un coeficient care ține seama de slăbirile secțiunii. Alegând valoarea acestuia în domeniul precizat, din relația (9.14) se obține aria brută necesară. În continuare se alcătuiește secțiunea ca formă și dimensiuni și se calculează aria ei netă din considerente geometrice $A_{net} = A_{br} - A_{sl}$.

Dimensionarea se consideră terminată numai după efectuarea operației de verificare folosind formula (9.13).

Efortul capabil al unei secțiuni slăbite se obține din relația (9.13) luată la limită și are expresia $N_{cap} = A_{net} R$ (9.15).

Observații

1) Calculul deformațiilor Δl ale barelor prezentând variații brusce de secțiune se face cu relația (9.4) în care $A = A_{br}$.

2) Verificarea condiției de rigiditate se face în același mod ca și în cazul barelor de secțiune constantă.

9.5 INFLUENȚA GREUTĂȚII PROPRII ÎN CALCULUL BARELOR SOLICITATE AXIAL

Greutatea elementelor de construcție solicitate axial la întindere sau compresiune s constituie ca o încărcare suplimentară distribuită pe volumul acestora.

În unele cazuri de alcătuire și solicitare ponderea ei este redusă în raport cu încărcările exterioare și poate fi neglijată în calculul de rezistență al acestora. Este cazul barelor din structurile plane articulate, a stâlpilor metalici sau din lemn puternic solicitați etc. În alte cazuri de stâlpi și ziduri din beton, beton armat, zidării de piatră sau cărămidă etc. ponderea greutateii proprii în starea de eforturi, de tensiuni și deformații devine însemnată și nu mai poate fi neglijată în calculul lor de rezistență. Pentru ilustrarea efectului și a modului de introducere în calcul al acestei încărcări vom considera o bară de secțiune constantă A , fixată la partea superioară și încărcată cu o forță P la capătul opus (fig. 9.8,a).

Într-o secțiune x a barei efortul axial N_x și tensiunea normală σ_x vor avea valorile:

$$N(x) = P + \gamma A x; \quad \sigma_x = \frac{N_x}{A} = \frac{P}{A} + \gamma x$$

în care γ este greutatea specifică a materialului din alcătuirea barei.

Pentru $x=0$ se obține efortul axial și tensiunea normală în secțiunea de capăt D ;

$N_D = P$; $\sigma_D = \frac{P}{A}$, iar pentru $x=l$, aceleași mărimi, în capătul B;

$$N_B = N_{\max} = P + \gamma A l; \sigma_B = \sigma_{\max} = \frac{P}{A} + \gamma l$$

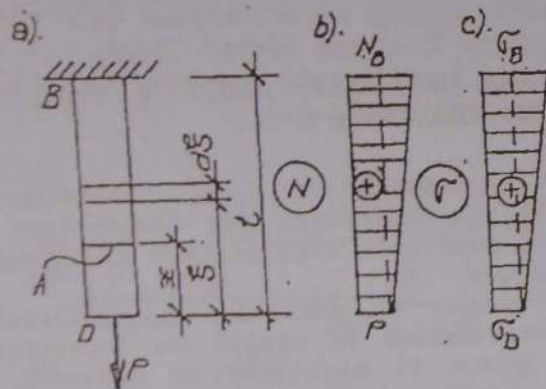


Fig. 9.8

Diagramele N_x și σ_x sunt trasate în figurile 9.8,b și 9.8,c.

Bara va satisface condiția de rezistență dacă

$$\sigma_{\max} = \frac{P}{A} + \gamma l \leq R \quad (9.18)$$

Relația (9.18) este folosită în rezolvarea problemelor rezistenței materialelor când se ține seama de greutatea proprie a corpurilor.

Verificarea de rezistență revine la testarea existenței inegalității din relația (9.18).

Luând inegalitatea (9.18) la limită, succesiv rezultă $\frac{P}{A} + \gamma l = R$; $\frac{P}{A} = R - \gamma l$, din care se deduce cu ușurință:

- formula pentru dimensionare

$$A_{\text{nec}} = \frac{P}{R - \gamma l} \quad (9.19)$$

- expresia capacității portante a barei

$$P_{\text{cap}} = A(R - \gamma l) \quad (9.20)$$

9.6 BARE STATIC NEDETERMINATE SUPUSE LA EFORTURI AXIALE

Particularitățile de calcul ale acestora constau în următoarele:

1. Ecuațiile scalare de echilibru sunt insuficiente pentru determinarea reacțiunilor din reazeme, impunându-se găsirea unor relații suplimentare care asociate ecuațiilor de echilibru să conducă la sisteme de ecuații algebrice cu numărul ecuațiilor egal cu cel al reacțiunilor necunoscute. Ecuațiile suplimentare menționate se obțin de regulă pe baza deformațiilor structurii calculate.

2. În bare pot exista eforturi și în absența încărcărilor exterioare. Variațiile de temperatură, deplasările de reazeme, inexactitățile de montaj etc. conduc la apariția unor eforturi axiale N și a unor tensiuni normale σ ce pot avea valori însemnate, impunând introducerea lor în calculul barelor respective.

Sistemele static nedeterminate în domeniul construcțiilor sunt numeroase iar calculul lor face obiectul disciplinei de Statica Construcțiilor.

În cadrul acestui capitol vom aborda doar câteva cazuri de bare static nedeterminate al căror calcul poate fi abordat pe baza cunoștințelor de Mecanică, dobândite până în prezent.

a. Bara articulată la capete încărcată axial cu o forță P

Fie bara OB de secțiune constantă A , și lungime l , încărcată cu forța P acționând în punctul C (fig. 9.9, a).

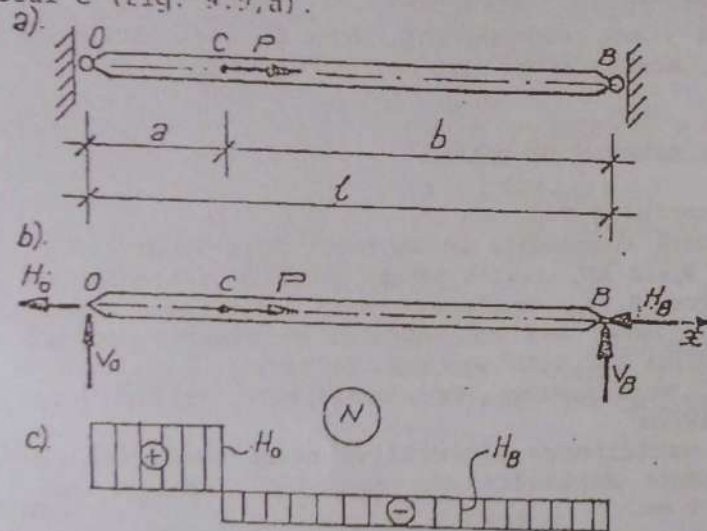


Fig. 9.9

Suprimând cele două articulații și înlocuindu-le cu forțele de legătură corespunzătoare rezultă patru reacțiuni necunoscute: H_O , V_O , H_B și V_B (fig. 9.9b). Exprimând echilibrul sistemului de forțe H_O , V_O , P , H_B și V_B (fig. 9.9b) printr-o ecuație de proiecție după axa Ox a barei și două ecuații de moment nul în raport cu punctele A și B se obține un sistem de trei ecuații cu patru necunoscute,

$$\begin{aligned} R_x &= \sum F_{ix} = -H_O + P - H_B = 0 \\ \sum M_O &= V_O l = 0 \\ \sum M_B &= V_O l = 0 \end{aligned} \quad (9.21)$$

Pentru determinarea lor unitară este necesară o ecuație suplimentară care se obține pe baza deformațiilor barei. În acest scop se observă (fig. 9.14c) că bara se alungește pe tronsonul OC și se scurtează pe tronsonul BC , dar rămâne de aceeași lungime, articulațiile O și B împiedicând orice deplasări. Vom avea deci $\Delta l_{OC} + \Delta l_{CB} = 0$ (a).

Dar $\Delta l_{OC} = \frac{H_O a}{EA}$ și $\Delta l_{CB} = -\frac{H_B b}{EA}$ astfel că relația (a) devine $\frac{H_O a}{EA} - \frac{H_B b}{EA} = 0$ și conduce la egalitatea $H_O = \frac{b}{a} H_B$ (b).

Asociind ecuația (b) la sistemul de ecuații (9.21) se obține un sistem de patru ecuații cu patru necunoscute a cărui soluție este:

$$\begin{aligned} H_O &= P \frac{b}{l}; & V_O &= 0 \\ H_B &= P \frac{a}{l}; & V_B &= 0 \end{aligned} \quad (9.22)$$

Dacă bara OB este acționată de mai multe forțe P_1, P_2, \dots în calculul reacțiunilor se folosesc rezultatele obținute mai sus aplicând principiul suprapunerii efectelor (fig. 9.10).

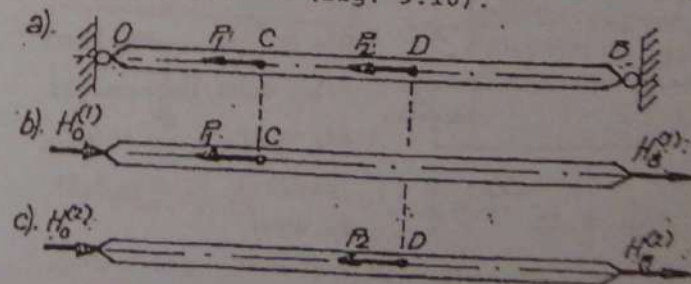


Fig. 9.10

Aplicând succesiv cele două forțe P_1 și P_2 se obțin reacțiunile $H_1^{(1)}, H_B^{(1)}, H_O^{(2)}, H_B^{(2)}$ reacțiunile finale $H_O = H_O^{(1)} + H_O^{(2)}, H_B = H_B^{(1)} + H_B^{(2)}$.

Reacțiunile $V_O = V_B = 0$ nu s-au mai figurat.

b. Bara dublu încastrată sub efectul variațiilor de temperatură

Să considerăm bara OB dublu încastrată, de arie A și lungime l montată la temperatura t_0 , ajunsă în exploatare la temperatura t (fig. 9.11a).

Dacă una din încastrări nu ar exista bara s-ar dilata termic cu cantitatea

$$\Delta l_t = \alpha_t l (t - t_0) = \alpha_t l \Delta t \quad (9.23)$$

unde α_t este coeficientul de dilatare termică a materialului din alcătuirea barei.

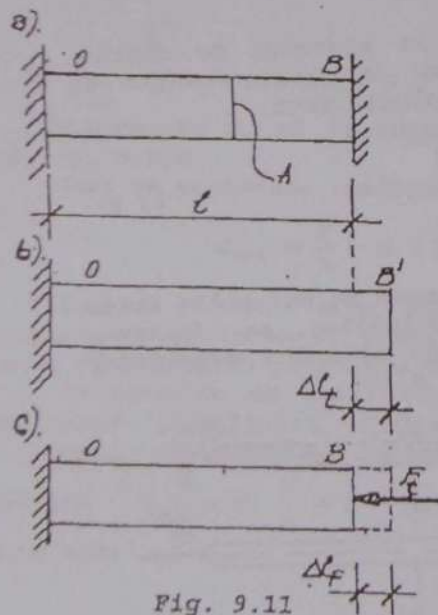


Fig. 9.11

Cum încastrarea presupusă eliminată există, efectul ei poate fi echivalat cu al unei forțe F_t ce ar produce barei o deformare Δl_F de aceeași mărime dar de sens opus (fig. 9.11, c).

Conform relației (9.4) vom avea

$$\Delta l_F = \frac{F_t l}{EA} \quad \text{Egalând}$$

cele două deformări

$$\Delta l_F = \Delta l_t = \frac{F_t l}{EA} = \alpha_t l \Delta t$$

rezultă $F_t = \alpha_t \Delta t EA$ și apoi

$$\sigma_t = \frac{F_t}{A} = \alpha_t E \Delta t \quad (9.24)$$

Analizând expresia tensiunii σ_t se observă că aceasta nu depinde de geometria barei, în consecință tensiunile din variații de temperatură σ_t nu pot fi controlate prin conformare structurală (formă și mărime a secțiunii "A", lungime l etc).

Din acest considerent, ori de câte ori este posibil, aceste structuri vor fi evidente.

9.7 EXEMPLE DE CALCUL

Exemplul 9.7.1

O bară suspendată la un capăt este încărcată cu forțele $P_1=30$ kN, $P_2=130$ kN și $P_3=200$ kN acționând ca în figura 9.12. Cunoșcând aria secțiunii transversale a barei $A=5$ cm², modulul de elasticitate al materialului $E=2,1 \cdot 10^6$ daN/cm². Se cere:

a) verificarea de rezistență știind că $R=2100$ daN/cm²

b) verificarea rigidității barei cunoscând că nu se admit deplasări ale capătului inferior mai mari de 2 mm.

Rezolvare

a) Pentru cunoașterea secțiunii celei mai periculoase (de efort axial maxim) se trasează diagrama N . În secțiunile caracteristice A, B, C și D vom avea:

$$N_{AB} = P_1 = 30 \text{ kN} = N_{BA};$$

$$N_{BC} = 30 - P_2 = -100 \text{ kN} = N_{CB};$$

$$N_{CD} = N_{CB} + P_3 = 100 \text{ kN} = N_{DC}.$$

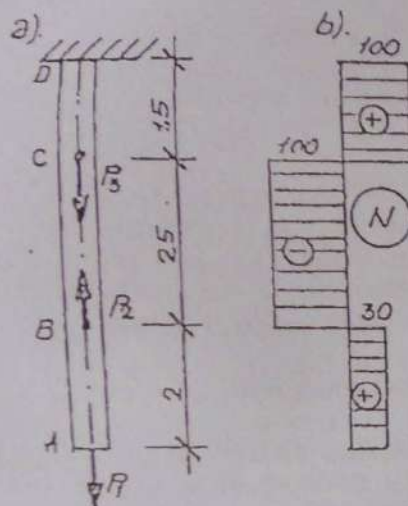


Fig. 9.12

Diagrama efortului axial N este dată în figura 9.12, b din care rezultă $N_{\max} = 100 \text{ kN}$. Pentru verificare se utilizează relația (9.7)

$$\sigma_{\max} = \frac{N_{\max}}{A} = \frac{10000}{5} = 2000 \frac{\text{daN}}{\text{cm}^2} < R = 2100 \text{ daN/cm}^2$$

b) Pe tronsoanele AB și CD bara se va alungi iar pe tronsonul BC se va scurta. Valorile acestor deformații se calculează cu relația (9.4):

$$\Delta l_{AB} = \frac{N_{AB} l_{AB}}{EA} = \frac{3000 \times 200}{2,1 \times 10^6 \times 5} = 0,058 \text{ cm}$$

$$\Delta l_{BC} = \frac{N_{BC} l_{BC}}{EA} = -\frac{10000 \times 250}{2,1 \times 10^6 \times 5} = -0,238 \text{ cm}$$

$$\Delta l_{CD} = \frac{N_{CD} l_{CD}}{EA} = \frac{10000 \times 350}{2,1 \times 10^6 \times 5} = 0,333 \text{ cm}$$

Deformația totală a barei va fi

$$\Delta l = \Delta l_{AB} + \Delta l_{BC} + \Delta l_{CD} = 0,153 \text{ cm}$$

Întrucât $\Delta l = 0,153 \text{ cm} < \Delta l_a = 0,20 \text{ cm}$, condiția de rigiditate a barei este îndeplinită.

Exemplul 9.7.2

Bară de rigiditate infinită AB, încărcată cu o forță $P = 126 \text{ kN}$ este suspendată la capete prin două bare AC și BD (fig. 9.13). Cunoscând $R = 2000 \text{ daN/cm}^2$ și $E = 2,1 \times 10^6 \text{ daN/cm}^2$ se cere:

a) Dimensionarea barelor AC și BD ca bare de secțiune circulară astfel încât bara AB să rămână orizontală și după deformare.

b) Tensiunile din fiecare bară dimensionată la punctul "a".

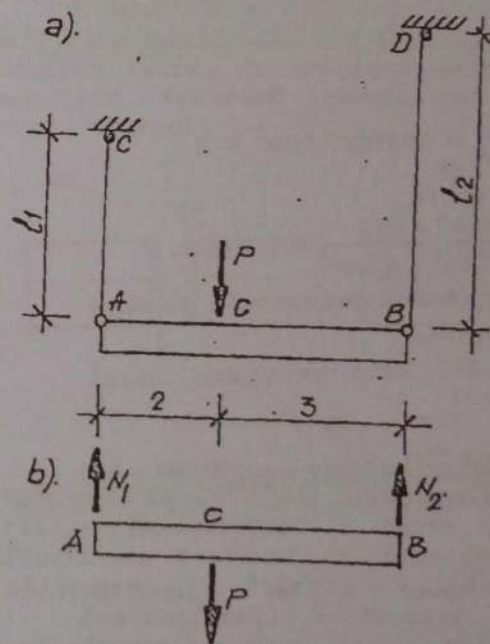


Fig. 9.13

Rezolvare

a) Sectionând barele AC și BD, și introducând pe direcțiile lor eforturile necunoscute N_1 și N_2 , bara AB va fi supusă sistemului de forțe în echilibru arătat în figura 9.13, b. Exprimând această condiție prin ecuații de moment nul în raport cu punctele A și B se obține:

$$\sum M_B = 5N_1 - 3P = 0; \sum M_A = 5N_2 - 2P = 0$$

din care rezultă $N_1 = 0,6P = 126 \text{ kN}$; $N_2 = 0,4P = 84 \text{ kN}$.

Pentru a răspunde cerințelor problemei vom dimensiona bara cea mai solicitată din condiția de rezistență iar bara de la capătul opus din condiția de rigiditate.

Folosind relația (9.9) se obține:

$$A_{1nec} = \frac{N_1}{R} = \frac{12600}{2100} = 6,0 \text{ cm}^2.$$

$$\text{Din condiția } A_1 = \frac{\pi D^2}{4} = A_{1nec} = 6 \text{ cm}^2 \text{ rezultă}$$

$$D = 2\sqrt{\frac{6}{\pi}} = 2,764 \text{ cm} = 27,64 \text{ mm}.$$

Adoptând $D = 28 \text{ mm}$:

$$A_{ef} = \frac{\pi \times 2,8^2}{4} = 6,158 \text{ cm}^2$$

$$\sigma_1 = \frac{N_1}{A_{ef}} = \frac{12600}{6,158} = 2046 \text{ daN/cm}^2 < R.$$

Utilizând relația (9.4)

$$\Delta \ell_1 = \frac{N_1 \ell_1}{EA_1} = \frac{12600 \times 250}{2,1 \times 10^6 \times 6,158} = 0,244 \text{ cm}.$$

Pentru ca bara AB să rămână orizontală și după deformare, va trebui ca $\Delta \ell_1 = \Delta \ell_2$.

Folosind relația (9.10) aria secțiunii barei BD se va calcula cu relația:

$$A_{2nec} = \frac{N_2 \ell_2}{E \Delta \ell_2} = \frac{8400 \times 500}{2,1 \times 10^6 \times 0,244} = 8,197 \text{ cm}^2.$$

$$\text{Din condiția } A_2 = \frac{\pi D_2^2}{4} = A_{2nec} = 8,197 \text{ cm}^2, \text{ rezultă}$$

$$D_2 = 3,230 = 32,30 \text{ mm} \approx 32 \text{ mm}.$$

$$\text{Corespunzător acestui diametru } A_2 = \frac{\pi \times 3,2^2}{4} = 8,043 \text{ cm}^2,$$

$$\sigma_{(2)} = \frac{N_2}{A_2} = \frac{8400}{8,043} = 1044 \text{ daN/cm}^2,$$

$$\Delta \ell_2 = \frac{N_2 \ell_2}{EA_2} = \frac{8400 \times 500}{2,1 \times 10^6 + 8,043} = 0,248 \text{ cm} \approx \Delta \ell_1$$

astfel că bara AB va rămâne practic orizontală.

Exemplul 9.7.3

O bară metalică alcătuită din două profile [alăturate și sudate între ele preia o încărcare $G=200 \text{ kN}$ și 4 forțe de aceeași intensitate P , transmise acesteia prin intermediul a 4 corniere $L80 \times 80 \times 8$ prinse de bară cu câte două nituri $\phi 23 \text{ mm}$ fiecare (fig. 9.14).

Cunoscând $R=2100 \text{ daN/cm}^2$, $E=2,1 \times 10^6 \text{ daN/cm}^2$ și $l=3,50 \text{ m}$ se cere:

- Valoarea forțelor capabile P_{cap} ale barei
- Alungirea totală a barei.

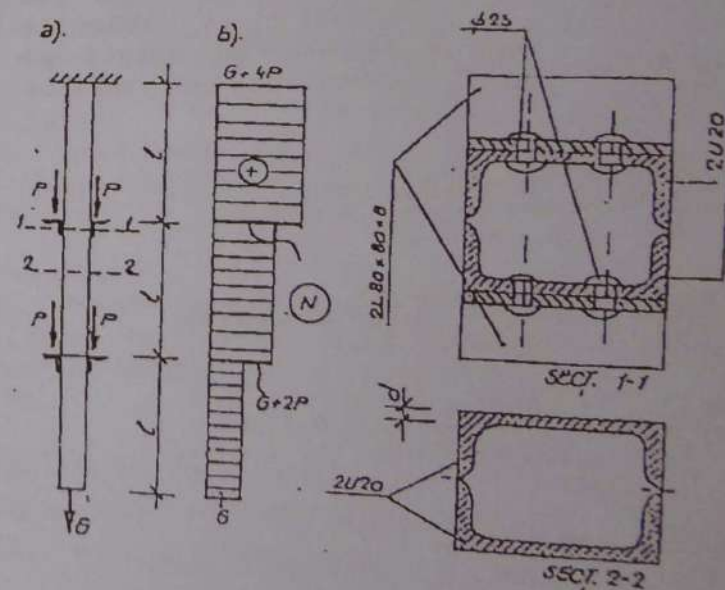


Fig. 9.14

Rezolvare

a) Bara prezintă două secțiuni caracteristice: secțiunea 1-1 prin niturile de prindere a cornierelor de profilele U (fig. 9.14, c) și secțiunea 2-2 efectuată între două nituri de arie A_2 , reprezentând aria brută a barei. Din anexa 4 (tabelul profilelor laminate U) se găsește $A=32,20\text{cm}^2$ și $d=8,5\text{mm}$. Cu acestea și având în vedere fig. 9.14c vom avea:

- aria brută $A_{br} = 2 \times 32,2 = 64,4\text{cm}^2$
- aria slăbirilor $A_{s1} = 4\phi d = 4 \times 2,3 \times 0,85 = 7,82\text{cm}^2$
- aria netă $A_{net} = A_{br} - A_{s1} = 56,58\text{cm}^2$.

Efortul capabil al secțiunii slăbite, conform relației (9.15) are valoarea:

$$N_{cap} = A_{net}R = 56,58 \times 2100 = 1188,18 \times 10^2 \text{ daN} = 1188,18 \text{ kN}.$$

Efortul maxim ce solicită bara conform diagramei N din fig. 9.14, b are valoarea:

$$N_{max} = G + 4P = 200 \text{ kN} + 4P.$$

Punând condiția ca $N_{max} = N_{cap}$ vom avea $200 + 4P = 1188,18 \text{ kN}$, din care $P_{cap} = 247,045 \text{ kN}$.

Corespunzător acestei forțe, eforturile axiale pe cele trei tronsoane ale barei vor fi:

$$N_1 = G; N_2 = G + 2P = 694,09 \text{ kN} \text{ și } N_3 = G + 4P = 1188,18 \text{ kN}.$$

Deformația totală a barei se va scrie:

$$\Delta l = \frac{N_1 l}{EA_{br}} + \frac{N_2 l}{EA_{br}} + \frac{N_3 l}{EA_{br}} = (N_1 + N_2 + N_3) \frac{l}{EA_{br}} =$$

$$= (200 + 694,09 + 1188,18) \times \frac{10^2 \times 350}{2,1 \times 10^6 \times 64,4} = 0,539 \text{ cm} \approx 5,40 \text{ mm}.$$

CAPITOLUL 10

FORFECAREA

10.1 EFORTURI ȘI TENSIUNI LA FORFECAREA PURĂ

O secțiune a unei bare în care $T \neq 0$, $N = M = M_c = 0$ este solicitată la forfecare pură. Forțele T, dintr-o astfel de secțiune, pe cele două fețe ale acesteia, formează perechi egale și direct opuse (fig. 10.1, a).

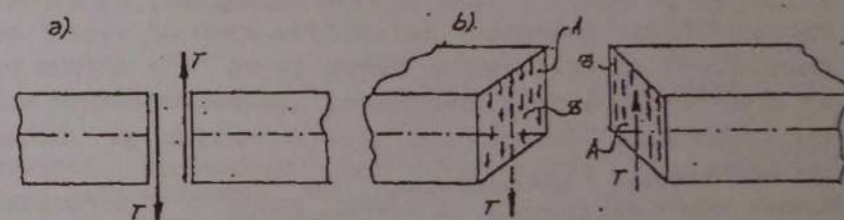


Fig. 10.1

Sub acțiunea acestora, fețele secțiunii au tendința de lunecare în sensuri opuse cu efect de tăiere (secționare) a barei, motiv pentru care eforturile T se numesc forțe de lunecare sau forțe tăietoare.

Convențional, forfecarea pură se consideră solicitarea ce apare într-o secțiune situată între două forțe exterioare ce acționează normal pe axa barei, în sensuri opuse și pe suporturi situați la distanțe foarte mici t .

Exemplul practic ilustrativ în acest sens îl reprezintă tăierea tablelor metalice cu foarfeca (fig. 10.2).

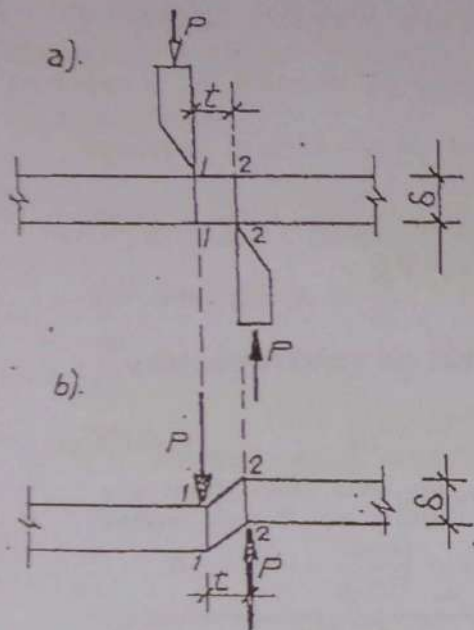


Fig. 10.2

În domeniul elementelor de construcție solicitarea de forfecare este însoțită aproape întotdeauna și de alte solicitări, în special de încovoiere semnificative în acest sens pot fi considerate îmbinările cu nituri sau cu sudură ale elementelor metalice suprapuse (fig. 10.3).

Cele două piese fixate prin nituire, din figura 10.3, având tendința de a se deplasa în sensuri opuse, pe direcția forțelor P , supun la forfecare secțiunea tijei nitului situată în planul de separație dintre ele. Concomitent, în aceeași secțiune, ia naștere și un moment încovoietor $M = P \cdot e$.

Sub acțiunea forțelor P transmise de lamele acesteia, porțiunea de tablă cuprinsă între secțiunile 1-1 și 2-2 este solicitată la forfecare pură.

Detașarea părții din stânga de cea din dreapta are loc prin forfecare după o secțiune aparținând distanței t dintre suporturile forței P (fig. 10.2,b).

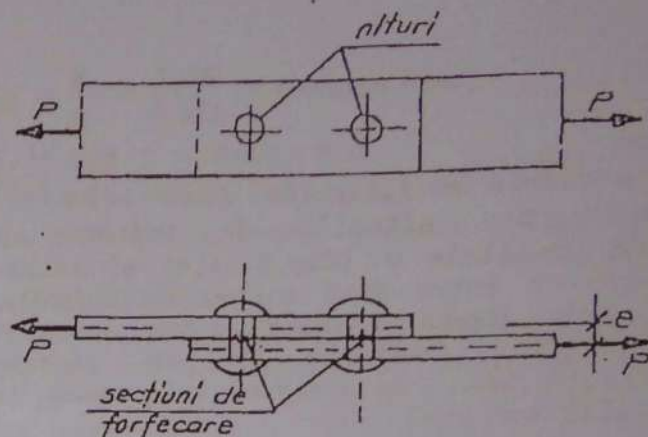


Fig. 10.3

Efectul acestuia este însă redus în comparație cu cel al forței tăietoare $T = P$, motiv pentru care în calcule este neglijat.

Semnul forței tăietoare T este cel indicat în aliniatul 6.6, respectiv este pozitiv dacă rotește tronsonul pe a cărui față acționează în sens orar (fig. 10.1) și negativ în caz contrar. Așa cum rezultă din relațiile (6.6) și (6.7) forța tăietoare într-o secțiune reprezintă rezultanta tensiunilor tangențiale τ din secțiunea respectivă:

$$T = \int_A \tau dA \quad (10.1)$$

Convențional, la solicitarea de forfecare pură tensiunile τ se consideră uniform distribuite pe secțiune ($\tau = \text{constant}$) astfel că relația (10.1) ia forma $T = \int_A \tau dA = \tau \cdot A$, din care se obține:

$$\tau = \frac{T}{A} \quad (10.2.)$$

În care A reprezintă aria secțiunii forfecate. Ecuația (10.2) reprezintă formula fundamentală a forfecării pure. Dacă secțiunea forfecată este raportată la sistemul de axe yoz iar forța tăietoare are în aceasta o direcție oarecare, de componente T_x și T_y , tensiunile tangențiale date de acestea se determină cu relația generală (10.1), care ia forma:

$$\tau_{xz} = \frac{T_x}{A}; \quad \tau_{xy} = \frac{T_y}{A} \quad (10.3)$$

Rezultanta acestora este tensiunea totală τ , dată de relația evidentă $\tau = \sqrt{\tau_{xy}^2 + \tau_{xz}^2}$.

10.2. PRINCIPIUL DUALITĂȚII TENSIUNILOR TANGENȚIALE

Fie o secțiune oarecare printr-o bară în care iau naștere tensiunile τ și o suprafață elementară a ei $abcd$ având dimensiunile $dydz$ (fig. 10.4,a).

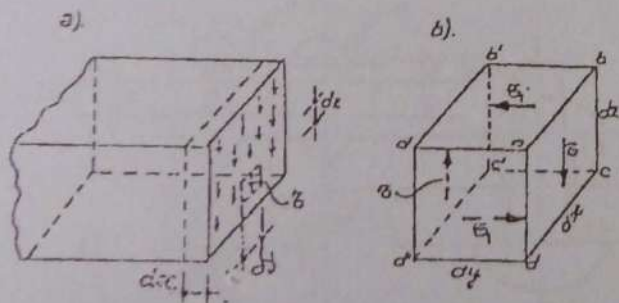


Fig. 10.4

Secționând bara cu un plan normal la distanța dx de secțiune (fig. 10.4,a) și cu 4 plane, două câte două, paralele și normale pe aceeași secțiune, conținând dreptele ab , dc , ad și bc se obține elementul diferențial din figura 10.4,b, având

dimensiunile $dx dy dz$ pe a cărei față $abcd$ acționează tensiunile τ (uniform distribuite, reprezentate în figură simbolic prin vectorul τ acționând pe fața $abcd$).

Pentru ca elementul să se găsească în echilibru (așa cum se afla în bară înainte de detașare), pe fața $a'b'c'd'$ este necesar să introducem o tensiune τ_1 orientată în sens opus. Cele două tensiuni formează însă un cuplu cu tendința de rotire în sens orar.

Pentru asigurarea echilibrului elementului $dx dy dz$ apare necesară introducerea de tensiuni τ_1 pe fețele $aa'b'b$ și $dd'c'c$ cu sensuri care să formeze un cuplu egal și opus celui dat de tensiunile τ de pe fețele $abcd$ și $a'b'c'd'$ (fig. 10.4,b). Având în vedere că tensiunile τ și τ_1 sunt uniform distribuite pe fețele în care acționează, momentul lor în raport cu muchia $d'c'$ se va scrie $(\tau \cdot dy \cdot dz) dx - (\tau_1 \cdot dx \cdot dy) dz = 0$ sau $\tau dy dz dx = \tau_1 dx dy dz$. Împărțind relația de mai sus cu $dy dz dx$ se obține $\tau = \tau_1$ ce exprimă condensat așa numitul principiu al dualității tensiunilor tangențiale τ , având următorul enunț: În orice punct dintr-un corp, pe două plane ortogonale, tensiunile tangențiale sunt egale și orientate spre sau dinspre muchia lor de intersecție.

Demonstrat pentru solicitarea de forfecare pură acest principiu este valabil în orice caz de solicitare ce dă naștere la tensiuni tangențiale.

10.3 CALCULE DE REZISTENȚĂ LA FORFECARE PURĂ

Pentru ca bara să nu fie secționată de forța tăietoare T , tensiunile τ produse de aceasta trebuie să fie inferioare rezistenței de calcul la forfecare R_f a materialului. Ținând seama de relația (10.2) condiția de rezistență la forfecare pură enunțată mai sus se exprimă prin relația:

$$\tau = \frac{T}{A} \leq R_f \quad (10.4)$$

în care A reprezintă aria secțiunii forfecate iar T forța tăietoare de lunecare din aceasta. Calculul de rezistență la forfecare cuprinde verificarea, dimensionarea și stabilirea capacității portante a secțiunilor în care apare forța tăietoare T .

Verificarea revine la testarea inegalității date de relația 9.4. Dacă aceasta este satisfăcută, secțiunea se verifică ceea ce înseamnă că aceasta nu va putea fi tăiată de forța T .

Luând la limită relația (9.4): $\frac{T}{A} = R_f$ se deduce:

- formula pentru dimensionare:

$$A_{nec} = \frac{T}{R_f} \quad (10.5)$$

- formula de calcul a capacității portante la forfecare, a unei secțiuni:

$$T_{cap} = A \cdot R_f \quad (10.6)$$

Cunoscând aria necesară, dimensiunile secțiunii barei se calculează cu totul identic dimensionării la forța axială (paragraful 9.3,b) egalând aria geometrică cu cea necesară.

10.4 APLICAȚIILE FORFECĂRII. CALCULUL ELEMENTELOR DE PRINDERE A ÎMBINĂRIILOR

Considerente dimensionale, constructive, tehnologice, economice etc. impun în numeroase situații realizarea unor elemente de construcție (stâlpi, grinzi etc.) din mai multe piese (formate din profile L , U , platbande etc.) asamblate între ele cu ajutorul unor mijloace auxiliare. O astfel de prindere poartă denumirea de îmbinare.

După rolul acestora în elementul de construcție se disting:

- îmbinări de rezistență destinate transmiterii anumitor eforturi între piesele situate de o parte și alta a îmbinării.
- îmbinări de solidarizare care nu servesc transmiterii de eforturi.

În domeniul construcțiilor metalice îmbinările se realizează uzual cu nituri (șuruburi, buloane, dornuri) sau cu ajutorul sudurii.

10.4.a Calculul îmbinărilor nituite

Niturile sunt piesele auxiliare ale îmbinărilor dintre două sau mai multe elemente așezate suprapus.

Nitul brut este format dintr-un cap de așezare și o tijă cilindrică ușor tronconică. Diametrul acesteia trebuie să fie cu 1mm mai mic decât al găurii în care se introduce iar lungimea l mai mare decât grosimea pieselor îmbinate t , cu o cantitate Δl din care să poată fie realizat cel de-al doilea „cap” (fig. 10.5).

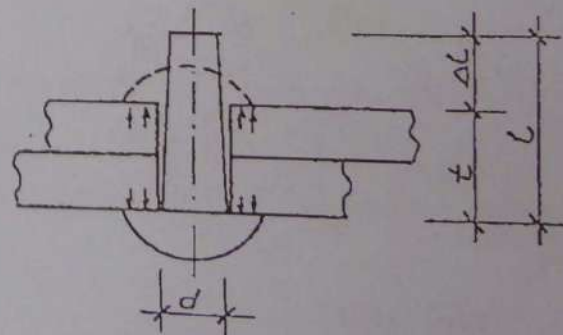


Fig. 10.5

Materialul înglobat trebuie să posedă atât caracteristici de rezistență corespunzătoare elementelor îmbinate cât și calități plastice bune. Pentru construcțiile de oțel OL-37, aceste cerințe sunt satisfăcute de niturile realizate din oțel OL-34.

Operația de nituire constă din baterea capătului tijei până la formarea, din lungimea Δl , a celui de-al doilea cap.

Pentru diametre $d < 10,5 \text{ mm}$ baterea se face la rece iar pentru diametre superioare la cald. În acest scop nitul este încălzit la $700-800^\circ\text{C}$ după care este introdus în gaura de nit și supus operației de fașonare al celui de-al doilea cap. În timpul baterii, materialul tijei refulează și umple complet gaura de nit iar după răcire tija se contractă producând o bună strângere a pieselor îmbinate. Îmbinările nituite sunt nedemontabile. Deși total diferite ca tehnologie de realizare, îmbinările cu șuruburi și buloane sunt solicitate de eforturi identice și se calculează în același mod cu cele nituite. Să considerăm o îmbinare nituită oarecare (fig. 10.6).

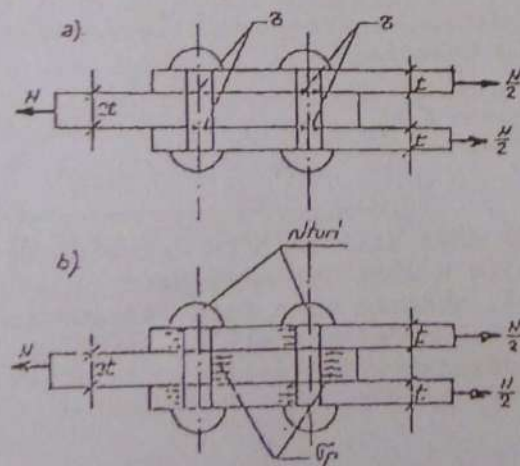


Fig. 10.6

Cum suprafețele de contact dintre piesele 1 și 2 au tendința de a se deplasa în sensuri opuse ele supun tijele niturilor la forfecare (fig. 10.6,a).

În același timp, o parte a suprafețelor laterale a găurilor de nit apăsând pe tije sunt supuse strivirii pereților găurii (fig. 10.6,b).

Dacă eforturile N cresc până la distrugerea îmbinării, cedarea acestora se produce prin forfecarea tijei nitului (când diametrul d este mic în raport cu grosimea t a pieselor) sau prin strivirea pereților găurii de tija nitului (dacă grosimile t ale acestora sunt mici în raport cu diametrul d al tijei niturilor). Evident, la o îmbinare nituită bine alcătuită forfecarea tijei nitului trebuie să se producă concomitent cu strivirea pereților găurii de nit. Pentru a satisface această condiție, în practica îmbinărilor nituite (bulonate) diametrele d se aleg în funcție de grosimile pieselor îmbinate (v. Anexa 9).

Pe baza celor arătate mai sus rezultă că îmbinările nituite trebuiesc calculate la forfecarea tijei niturilor și la strivirea pereților găurii de nit de tijele acestora. Pentru efectuarea calculului la forfecare se va observa că:

- aria totală forfecată într-o îmbinare nituită cu „ m ” secțiuni de forfecare este dată de relația $A = m \cdot \pi d^2 / 4$, în care d reprezintă diametrul niturilor.
- forța tăietoare T ce revine într-o secțiune de forfecare a tijei nitului este $T = \frac{N}{n}$, în care „ n ” este numărul de nituri din îmbinare.

Cu precizările de mai sus condiția de rezistență la forfecare, dată de relația (10.4) ia forma:

$$\tau = \frac{T}{A} = \frac{N}{n \cdot m \cdot \frac{\pi d^2}{4}} \leq R_f^n \quad (10.7)$$

În care $R_f^n = 0,8R$ este rezistența de calcul la forfecare a tijei nitului. Relația (10.7) este folosită la verificarea de rezistență a unei îmbinări date. Luată la limită, ea este utilizată pentru:

- calculul numărului de nituri „n” dintr-o îmbinare, din condiția de forfecare:

$$n_f = \frac{N}{m \cdot \frac{\pi d^2}{4} R_f^n} \quad (10.8)$$

Valoarea rezultată se rotunjește totdeauna în plus la un număr întreg. La dimensionare diametrul nitului se alege conform Anexei 9.

- determinarea capacității portante a unei îmbinări date, din condiția de forfecare

$$N_{f, \text{cap}} = m \cdot n \cdot \frac{\pi d^2}{4} R_f^n \quad (10.9)$$

În limitele unor aproximații de calcul acoperitoare, tensiunile σ_p ce iau naștere pe suprafața de contact tijă nit-piesă îmbinată, se consideră uniform distribuite pe o secțiune diametrală de înălțime egală cu grosimea pieselor îmbinate t (t') care au tendința de a se deplasa pe aceeași direcție.

Notând cu t_{\min} grosimea minimă a pachetului menționat în contact cu un singur nit, aria totală minimă din îmbinare supusă la strivire va fi $A_p = n \cdot d \cdot t_{\min}$. Tensiunile maxime în această secțiune sunt date de relația (10.1) care ia forma:

$$\sigma_{p, \max} = \frac{N}{A_p} = \frac{N}{ndt_{\min}}$$

Pentru ca peretele găurii să nu se strivească, valoarea acesteia trebuie să fie inferioară

tensiunii de calcul la strivire pe gaură a materialului R_p^n .

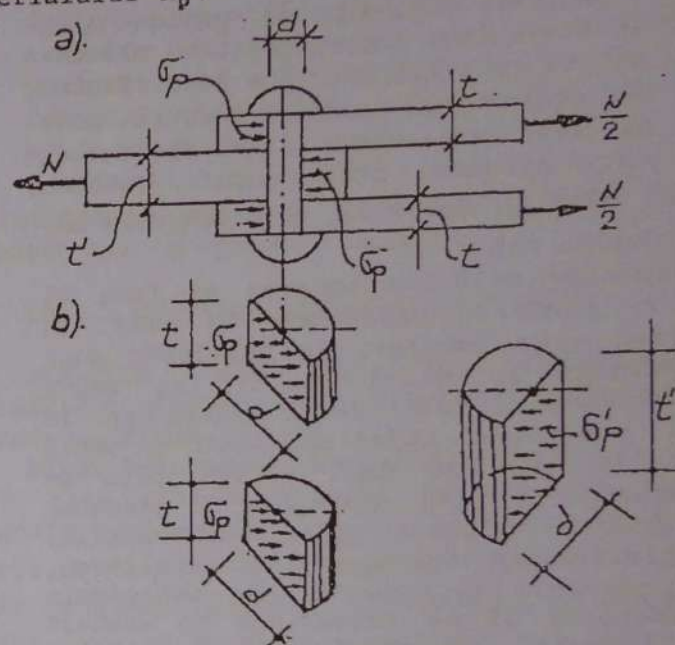


Fig. 10.7

Condensat, condiția de rezistență la strivire se exprimă deci prin relația:

$$\sigma_{p, \max} = \frac{N}{ndt_{\min}} \leq R_p^n \quad (10.10)$$

În care $R_p^n = 2R$.

Relația (10.10) este utilizată în calculul de verificare la strivire a unei îmbinări date.

- Luată la limită, aceasta este folosită pentru:
- Calculul numărului de nituri din condiția de strivire a pieselor din îmbinare:

$$n_p = \frac{N}{d \cdot R_p^n \cdot t_{\min}} \quad (10.11)$$

Valoarea obținută se rotunjește în plus la un număr întreg. Diametrul d se alege conform Anexei 9.

- Determinarea capacității portante a unei îmbinări din condiția de strivire:

$$N_{p, \text{cap}} = n_p \cdot d \cdot R_p^n \cdot t_{\min} \quad (10.12)$$

Pentru orice îmbinare nituită bine realizată, relațiile (10.7) și (10.10) trebuie să fie îndeplinite concomitent. Ca urmare a acestui fapt, numărul de nituri n și capacitatea portantă a îmbinării trebuie să satisfacă relațiile:

$$n = \max[n_f; n_p] \quad (10.13)$$

$$N_{\text{cap}} = \min[N_{f, \text{cap}}; N_{p, \text{cap}}] \quad (10.14)$$

Observație

În numeroase probleme practice interesează numai valorile n și N_{cap} . Pentru obținerea lor directă, se calculează efortul capabil al unui singur nit, din condiția de forfecare și strivire făcând $n=1$ în relațiile (10.9) și (10.12.). Se obține,

$$N_{1f, \text{cap}} = m \frac{\pi d^2}{4} R_f^n \quad (10.15)$$

$$N_{1p, \text{cap}} = d \cdot t_{\min} \cdot R_p^n \quad (10.16)$$

Efortul capabil al nitului va fi:

$$N_{1, \text{cap}} = \min[N_{1f, \text{cap}}; N_{1p, \text{cap}}]$$

Având valoarea acestuia și mărimea efortului N transmis de îmbinare, din din considerente logice vom avea:

$$n = \frac{N}{N_{1, \text{cap}}} \quad (10.17)$$

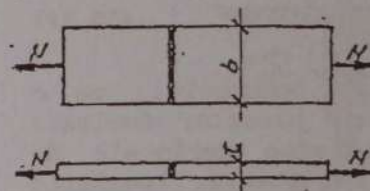
$$N_{\text{cap}} = n N_{1, \text{cap}} \quad (10.18)$$

10.4.b Calculul îmbinărilor sudate

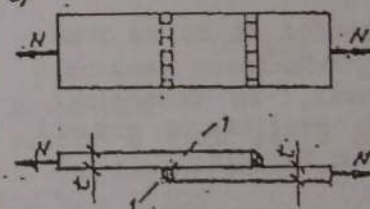
Prin îmbinare sudată se înțelege prinderea a două sau mai multe piese cu ajutorul sudurii. În comparație cu cele nituite, îmbinările sudate prezintă avantaje importante:

- elimină slăbirile pieselor îmbinate;
- necesită o tehnologie de execuție mai simplă și se efectuează mai repede și mai ușor;
- realizează o transmitere mai uniformă a eforturilor de la o piesă la alta;
- pot fi realizate îmbinări de orice formă.

a).



b).



c).

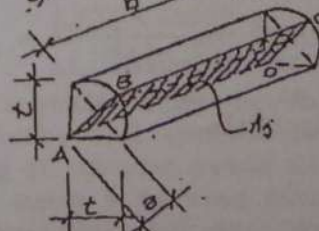


Fig. 10.8

Ca urmare a acestor calități, în domeniul construcțiilor metalice, îmbinările sudate sunt utilizate aproape în exclusivitate. Ele nu sunt însă recomandate pentru elemente metalice grele supuse la sollicitări dinamice, din cauza apariției, în vecinătatea cusăturilor de sudură a unor zone fragile, determinate de răcirea bruscă a sudurii.

După poziția reciprocă a pieselor îmbinate se disting:

- îmbinări prin cordoane frontale (numite și de adâncime) atunci când piesele sunt așezate cap la cap, una în prelungirea celeilalte (fig. 10.8,a);
- îmbinări prin cordoane de colț (numite și în relief) când piesele ansamblate sunt suprapuse (fig. 10.8,b)

a. Calculul îmbinărilor prin sudură frontală

Sudurile frontale se consideră a fi solicitate în același mod ca și piesele între care sunt executate (la întindere sau compresiune).

Sub acțiunea efortului axial N (fig. 10.8,a) în secțiunile transversale ale sudurii (de arie A_s) iau naștere tensiuni normale σ_s date de relația (9.1) care ia forma:

$$\sigma_s = \frac{N}{A_s} \quad (10.19)$$

Deoarece la fiecare capăt al cordonului, pe o lungime egală cu grosimea t a pieselor îmbinate cusăturile de sudură nu satisfac cerințele de calitate ale unei suduri de rezistență, lungimile de calcul ale acestora se consideră a fi $l_s = b - 2t$ iar ariile $A_s = (b - 2t) \cdot t$.

Pentru ca un astfel de cordon să nu se rupă, tensiunile σ_s trebuie să fie inferioare tensiunii de calcul la rupere a sudurii, în consecință, condiția de rezistență într-o secțiune a sudurii solicitate axial se exprimă prin formula:

$$\sigma_s = \frac{N}{(b - 2t)t} \leq R_s \quad (10.20)$$

În care $R_s = 0,8R$ la întindere și $R_s = P$ la compresiune. Relația (10.20) este folosită la verificarea, dimensionarea și stabilirea capacității portante a sudurilor frontale.

b. Calculul sudurii de colț

Sudura de colț lucrează la forfecare, datorită tendinței pieselor îmbinate de a se deplasa în sensuri opuse (fig. 10.8,b). Experimental s-a constatat că sudurile de colț cedează după suprafața ABCD (fig. 10.8,c). Deoarece realizarea unei suduri bombate, în arc de cerc, cu o înălțime constantă $AB = CD$ este dificilă, convențional, secțiunea de forfecare a cordonului se consideră $A_s = a(b - 2a)$ în care $a = 0,7 t$ reprezintă înălțimea triunghiului isoscel AEF (fig. 10.8,c). Cordoanele de sudură de colț sunt solicitate la forfecare de forțe de lunecare $T = N$, prin urmare, în secțiunile acestora iau naștere tensiuni τ .

Pentru ca sudura să nu se foarfece (taie) este necesar ca aceste tensiuni să fie inferioare tensiunii de calcul a sudurii la forfecare $R_f^s = 0,7R$. În consecință, condiția de rezistență a unui cordon de sudură de colț se exprimă prin relația:

$$\tau = \frac{N}{A_s} \leq R_f^s \quad (10.21)$$

Relația (10.21) este folosită la verificarea sudurilor de colț. Luată la limită: $N/A_s = R_f^s$ ea permite stabilirea formulei pentru dimensionare,

$$A_{s,nec} = \frac{N}{R_f^s} \quad (10.22)$$

și pentru determinarea capacității portante a sudurilor de colț

$$N_{s, cap} = A_s \cdot R_f^s \quad (10.23)$$

Dimensiunile cusăturilor de sudură, la dimensionare, se determină egalând aria geometrică a secțiunii de sudură cu aria necesară dată de

relația (10.22). Notând cu a_s grosimea și cu l_c lungimea cordonului de sudură dimensionat vom avea

$$A_s = a_s \times l_c = A_{s,nec} \quad (10.24)$$

Ecuția (10.24) conține două necunoscute a_s și l_c . Pentru determinarea acestora se alege una din ele și apoi se calculează cealaltă. De regulă, se alege $a_s \leq 0,7t$, în care t reprezintă grosimea minimă a piesei din îmbinare. Se obțin astfel dimensiunile de calcul ale sudurii.

Întrucât la capete pe lungimi egale cu grosimea cordonului sudura nu satisface cerințele de calitate ale unei suduri de rezistență, lungimile de execuție l_s numite și nominale, se iau mai mari cu două grosimi, $l_s = l_c + 2a_s$.

Observație

Din condiții constructive indiferent de valorile rezultate din calcul, la îmbinările de rezistență, dimensiunile cordoanelor de sudură vor satisface următoarele condiții: $a_s \geq 3 \text{ mm}$; $l_s \geq 6a_s$; $l_s \geq 40 \text{ mm}$.

10.5 EXEMPLE DE CALCUL

Exemplul 10.5.1

Diagonala unei grinzi cu zăbrele este solicitată de un efort axial $N = 435 \text{ kN}$. Se cere:

- dimensionarea diagonalei din două bare de oțel cornier cu aripi egale ($R = 2100 \text{ daN/cm}^2$);
- calculul numărului de nituri necesar prinderii barelor în nod ($R_t^n = 0,8R$; $R_p^n = 2R$; $t_g = 15 \text{ mm}$)

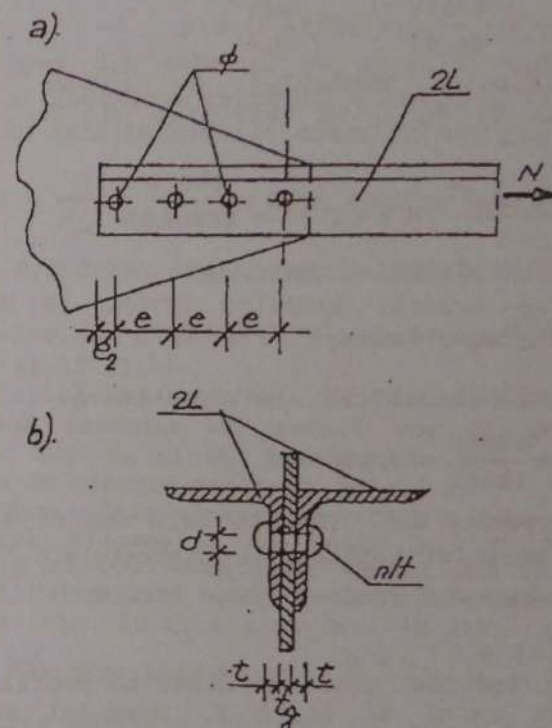


Fig. 10.9

Rezolvare

Pentru a ține seama de slăbirile produse de nituri, la dimensionare vom folosi formula (9.14), alegând $k_s = 1,175$.

Vom avea:

$$A_{nec} = \frac{1,175 \times 43500}{2100} = 24,340 \text{ cm}^2; \quad \frac{1}{2} A_{nec} = 12,170 \text{ cm}^2.$$

Cu această arie se intră în tabelul cu profile laminate oțel cornier cu aripi egale (Anexa 3) și se aleg $2L 80 \times 80 \times 8$ având $A = 2 \cdot 12,30 \text{ cm}^2 = 24,60 \text{ cm}^2 > A_{nec}$. Din anexa 9 se aleg nituri cu diametrul de 23 mm și se verifică apoi secțiunea netă:

$$A_{net} = A_{br} - A_{qf} = 24,60 - 2 \times 0,8 \times 2,3 = 20,92 \text{ cm}^2;$$

$$\sigma_{max} = \frac{N}{A_{net}} = \frac{43500}{20,92} = 2079 \frac{\text{daN}}{\text{cm}^2} < R$$

Pentru calculul numărului de nituri se determină $N_{lf, cap}$ și $N_{lp, cap}$ cu relațiile (10.15) și (10.16):

$$N_{lf, cap} = \frac{2\pi \cdot 2,3^2}{4} \cdot 0,8 \times 2100 = 13960 \text{ daN}$$

$$N_{lp, cap} = 2,3 \times 1,5 \times 4200 = 14490 \text{ daN}$$

$$N_{cap}^n = \min[N_{lf, cap}; N_{lp, cap}] = 13960 \text{ daN}$$

Folosind relația (10.17), se calculează:

$$n = \frac{43500}{13960} = 3,116 \text{ buc.}$$

Se vor prevedea deci 4 Ø23 mm care vor fi dispuse (conform normelor tehnice) la distanțele $l \geq 3d = 6,9 \text{ cm}$; $e_2 \geq 2d = 4,6 \text{ cm}$ (vezi fig. 10.9, a)

Exemplul 10.5.2

Un pendul vertical realizat dintr-un profil U₈ este solicitat axial de forța P. Pendulul este prins cu 4 nituri Ø17 mm de un guseu cu grosimea de 8 mm fixat de un tavan (fig. 10.10). Cunoscând $R = 2100 \text{ daN/cm}^2$; $R_f^n = 0,8R$; $R_n^n = 2R$ se cere să se determine încărcarea capabilă a pendulului.

Rezolvare

Pendulul poate să-și piardă capacitatea portantă prin depășirea rezistenței de calcul în secțiunile slăbite sau prin cedarea niturilor. Deoarece nu cunoaștem care din cele două situații este mai restrictivă, se va calcula câte un P_{cap} corespunzător fiecăreia dintre ele, încărcarea

capabilă fiind valoarea cea mai mică dintre acestea.

a).

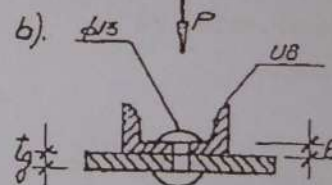
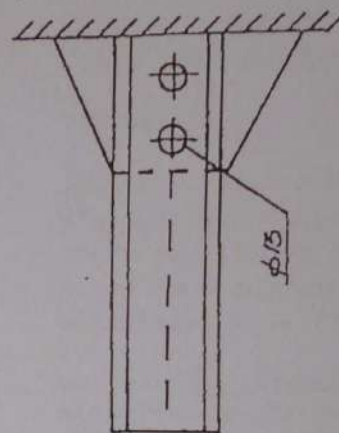


Fig. 10.10

a) $A_{br} = 11,0 \text{ cm}^2$ (conform Anexei 4);

$$A_{qf} = 1,3 \times 0,6 = 0,78$$

(conform fig. 10.10, b);

$$A_{net} = 11 - 0,78 = 10,22 \text{ cm}^2.$$

Folosind relația (9.15) se obține

$$N_{1, cap} = P_{1, cap} = A_{net} \times R =$$

$$= 214,62 \cdot 10^2 \text{ daN} =$$

$$= 214,62 \text{ kN}.$$

b) Niturile lucrează cu câte o singură secțiune de forfecare ($m = 1$). Cu relațiile (10.15) și (10.16) se calculează:

$$N_{lf, cap} = \frac{1 \cdot \pi \cdot 1,7^2}{4} \times 0,8 \times 210 =$$

$$= 3813 \text{ daN}$$

$$N_{1, cap} = 1,7 \times 0,6 \times 4200 = 4284 \text{ daN}$$

$$N_{cap}^n = \min[N_{lf, cap}; N_{lp, cap}] = 3813 \text{ daN}$$

Folosind relația (10.18) se determină efortul capabil al îmbinării:

$$N_{2, cap} = P_{2, cap} = 4 \times 38,13 \text{ kN} = 152,52 \text{ kN}$$

$$P_{cap} = \min\{P_{1, cap}, P_{2, cap}\} = 152,52 \text{ kN}.$$

Exemplul 10.5.3

Diagonala unei grinzi cu zăbrele este solicitată la întindere de un efort axial $N = 290$ kN și este prinsă cu sudură într-un guseu având grosimea de 10 mm (fig. 10.11). Cunosând $R = 2100$ daN/cm²; $R_c^s = 0,7R = 1470$ daN/cm² se cere:

- dimensionarea diagonalei din două profile oțel cornier cu aripi egale;
- dimensionarea cusăturilor de sudură necesare prinderii acestora în nod.

Rezolvare

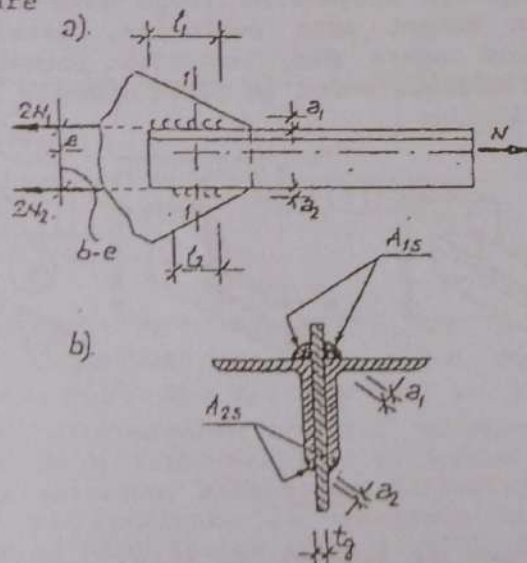


Fig. 10.11

a) Se calculează aria necesară

$$A_{nec} = \frac{N}{R} = \frac{29000}{2100} = 13,810 \text{ cm}^2; \frac{1}{2} A_{nec} = 6,905 \text{ cm}^2$$

Alegem din tabelul cu profile oțel cornier (Anexa 3) 2L60x60x6 având $A_{ef} = 2 \times 6,91 = 13,820 \text{ cm}^2 > A_{nec}$, în care tensiunile efective vor fi:

$$\sigma_{ef} = \frac{N}{A_{ef}} = \frac{29000}{13,82} = 2098 \text{ daN/cm}^2 < R.$$

b) Prinderea diagonalei în nod se va face cu 4 cordoane de sudură aplicate lateral pe aripile cornierelor, de o parte și de alta a guseului (fig. 10.11, a și 10.11, b).

Datorită nesimetriei secțiunii cornierelor, cele două cordoane de sudură vor fi solicitate diferit. Fie N_1 și N_2 fracțiunile din efortul N preluate de fiecare cusătură de sudură.

Pentru determinarea acestora se exprimă echilibrul sistemului de forțe N_1 , N_2 și N în raport cu câte o ecuație de moment nul în oricare punct al celor două muchii sudate ale cornierelor. Vom avea (fig. 10.11, a): $2N_1 \cdot b - (b-e)N = 0$; $2N_2 \cdot b - eN = 0$, din care rezultă $N_1 = \frac{b-e}{2b} N$; $N_2 = \frac{e}{2b} N$.

Pentru corniera L60x60x6 din Anexa 3 se obține $e = 1,69$ cm și apoi $b-e = 6-1,69 = 4,31$ cm, cu care $N_1 = \frac{4,31}{12} \times 290 = 104,158 \text{ kN}$; $N_2 = \frac{1,69}{12} \times 290 = 40,842$.

Eforturile N_1 și N_2 astfel determinate, solicită cordoanele de sudură la forfecare. Utilizând relația (10.22) vom avea:

$$A_{1nec} = \frac{N_1}{R_c^s} = \frac{10415,8}{1470} = 7,086 \text{ cm}^2$$

$$A_{2nec} = \frac{N_2}{R_c^s} = \frac{4084,2}{1470} = 2,778 \text{ cm}^2$$

Din considerente geometrice (fig. 10.11, a) secțiunile celor două cusături de sudură au ariile

$$A_{12} = l_{1c} \times a_{12} = 7,086 \text{ cm}^2$$

$$A_{22} = l_{2c} \times a_{22} = 2,778 \text{ cm}^2$$

Fiecare din cele două ecuații conține câte două necunoscute. Pentru găsirea acestora se aleg grosimile, din condiția $a_n \leq 0,7t$: $a_{12} \leq 0,7 \times 6 = 4,2 \text{ mm}$. Adoptând $a_{12} = 4 \text{ mm}$ și $a_{22} = 3 \text{ mm}$, rezultă lungimile de calcul necesare

$$l_{1c} = \frac{7,086}{0,4} = 17,715 \text{ cm}; l_{2c} = \frac{2,778}{0,3} = 9,26 \text{ cm}.$$

Deoarece la capete cordonanele de sudură nu întrunesc cerințele de calitate ale unei suduri de rezistență pe câte o lungime de a_n , sudurile vor fi executate mai lungi cu această cantitate

$$l_{1s} = l_{1c} + 2a_{12} = 17,715 + 2 \times 0,4 = 18,515 \text{ cm}$$

$$l_{2s} = l_{2c} + 2a_{22} = 9,26 + 2 \times 0,3 = 9,86 \text{ cm}$$

Valorile astfel găsite se rotunjesc la număr întreg de mm obținându-se astfel lungimile nominale ale fiecărui cordon $l_1 = 185,15 \text{ mm} \approx 186 \text{ mm}$; $l_2 = 98,6 \text{ mm} \approx 100 \text{ mm}$.

Observație

Normele tehnice privind cusăturile de sudură laterale ale cornierelor permit realizarea cordonanelor de tipul 1 cu o grosime mai mare $a_{12} \leq 0,85t$. În cazul nostru, $0,85t = 0,85 \times 6 = 5,1 \text{ mm}$ și, deci putem utiliza o grosime $a_{12} = 5 \text{ mm}$. Dacă se urmărește ca cele două lungimi l_{1s} și l_{2s} să fie cât mai apropiate, grosimea a_{22} se va lua mai redusă, însă nu mai puțin de valoarea rezultată din calcul sau de 3 mm. La rândul lor, lungimile l_{1s} și l_{2s} nu vor fi mai mici de $6a_n$ și de 40 mm.

CAPITOLUL 11

TORSIUNEA

11.1 DEFINIȚII. EFORTURI ȘI DIACRAME DE EFORTURI

O bară este supusă la torsiune pură atunci când încărcările exterioare și forțele de legătură produc în secțiunile ei eforturile $M_x = M_t \neq 0$, $N = T = M = 0$.

Cum singurele sisteme de forțe care se reduc numai la un moment sunt cuplurile, rezultă că torsiunea pură apare din încărcări formate din cupluri de forțe acționând în plane normale pe axa barei (fig. 11.1).

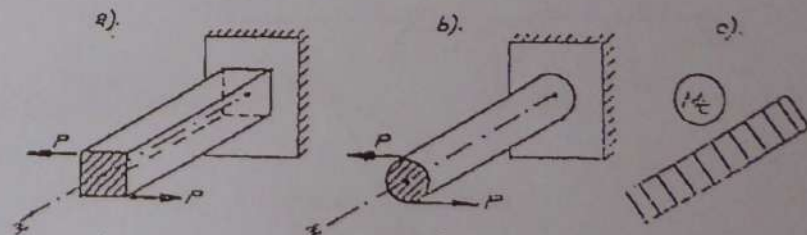


Fig. 11.1

Acestea pot fi cupluri de forțe concentrate sau cupluri de forțe continue, distribuite după anumite legi de variație (fig. 11.2, a).

În cazul barei prezentate în figura (11.2), cuplurile de forțe concentrate acționând după laturile secțiunilor normale C și D și forțele q de

distribuție pe muchiile barei, dau naștere la încărcări de tip momente concentrate (M_t) și respectiv momente distribuite m_t (fig. 11.2,b).

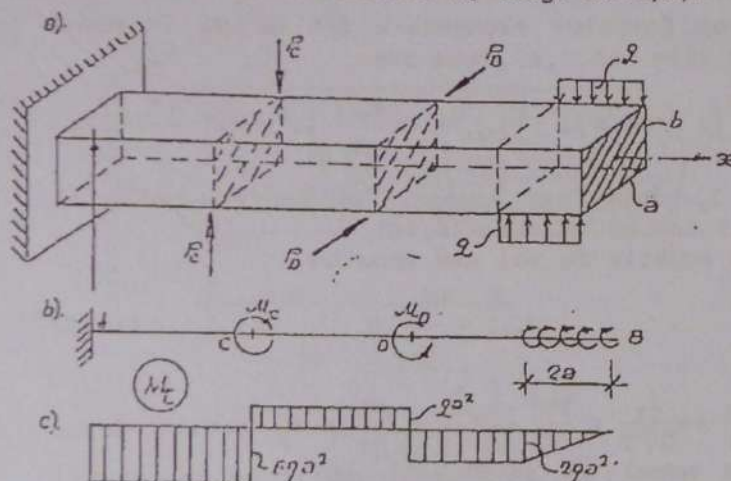


Fig. 11.2

Considerând: $P_D = 5qa$; $P_C = 7qa$; $b = 0,6a$, intensitățile acestora vor fi: $m_t = q \cdot a$; $M_D = P_D \cdot b = 5q \cdot a \cdot 0,6a = 3qa^2$; $M_C = P_C \cdot a = 7q \cdot a \cdot a = 7qa^2$.

Pentru determinarea valorii eforturilor de torsiune M_t în diferite secțiuni și pentru trasarea diagramelor acestora, barele sunt schematizate prin axele lor și încărcate cu momentele cuplurilor concentrate și distribuite (fig. 11.2,b). Regula de semn pentru eforturile M_t , se adoptă arbitrar deoarece comportarea majorității materialelor este aceeași, indiferent dacă rotirea secțiunilor se face într-un sens sau altul. Astfel, considerând pozitive eforturile M_t ce rotesc secțiunea în sensul de rotire al momentului M_C , pentru bara din figura 11.2 vom avea: $M_{t,B} = 0$; $M_{t,E} = 2a \cdot m_t = 2qa^2 = M_t^{dr}$; $M_{t,D} = M_{t,D}^{dr} - M_{t,D} = 2qa^2 - 3qa^2 = -qa^2 = M_{t,C}^{dr}$;

$$M_{t,C}^{st} = M_{t,C}^{dr} + M_{t,C} = -qa^2 + 7qa^2 = 6qa^2 = M_{t,A}.$$

Privitor la diagramele momentelor de torsiune (fig. 11.2,c) se impun următoarele precizări:

- Între două secțiuni de acțiune a cuplurilor de forțe concentrate, diagrama M_t este constantă. În aceleași secțiuni, efortul M_t prezintă salturi în sensul încărcărilor M_t și de mărimea acestora (fig. 11.2,c);
- Dacă m_t este o funcție polinomială de gradul n , momentul de torsiune M_t produs de aceasta va fi reprezentat printr-o funcție de gradul $n+1$.
- În orice secțiune, eforturile M_t formează pe cele două fețe ale ei, perechi egale și direct opuse, reprezentând efectul tronsonului înălțurat.

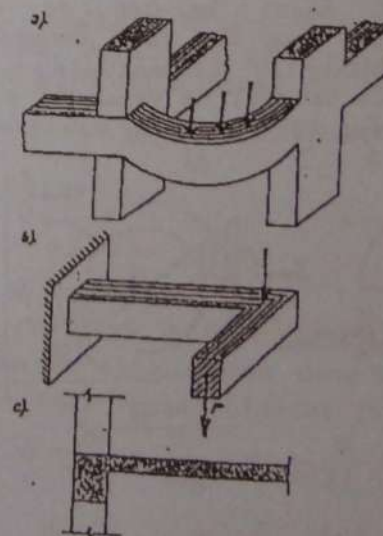


Fig. 11.3

Reprezentativă în domeniul unor organe de mașini (arbori cotiți, arcuri etc), solicitarea de torsiune este întâlnită și în domeniul construcțiilor, de regulă combinată cu alte tipuri de solicitări (încovoiere, forfecare etc). Pot fi amintite în acest sens grinzile curbe (fig. 11.3,a), grinzile frânte (fig. 11.3,b), grinzile marginale ale planșeelor (fig. 11.3,c)

11.2 TENSIUNI ȘI DEFORMĂȚII LA TORSIUNEA BARELOR DE SECȚIUNE CIRCULARĂ ȘI INELARĂ

Așa cum s-a văzut în paragraful 6.2, efortul de torsiune M_t dintr-o secțiune reprezintă suma momentelor forțelor elementare τdA ($\tau_{xy}dA$, $\tau_{xz}dA$) calculată în centrul de greutate al secțiunii respective (relația 6.9).

Cum cele două sisteme sunt echivalente, existența unuia nu este posibilă fără prezența celuilalt, prin urmare, în secțiunile solicitate la torsiune de eforturi M_t iau naștere tensiuni tangențiale τ . În cazul barelor de secțiuni circulare și inelare, așa cum este demonstrat în [3], [6], [8], tensiunile tangențiale τ variază liniar fiind zero în centrul de greutate și maxime τ_{max} în fibrele extreme (fig. 11.4,a).

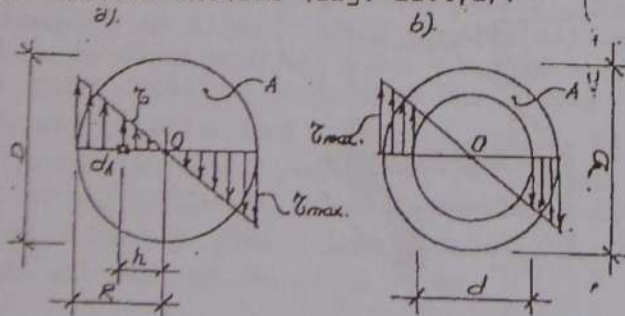


Fig. 11.4

Din considerente geometrice $\frac{\tau}{\tau_{max}} = \frac{r}{R}$ astfel

că se obține

$$\tau = \frac{r}{R} \tau_{max} \quad (11.1)$$

Exprimând egalitatea dintre M_t și suma momentelor forțelor elementare τdA de pe întreaga secțiune (fig. 11.4,a), vom avea:

$$M_t = \int_A r \cdot \tau dA = \int_A r \cdot \frac{r}{R} \tau_{max} dA = \frac{\tau_{max}}{R} \int_A r^2 \cdot \tau dA = \frac{\tau_{max}}{R} I_p$$

în care I_p reprezintă momentul de inerție polar al secțiunii dat de relația (8.12).

Din ecuația de mai sus rezultă

$$\tau_{max} = \frac{M_t}{I_p} \cdot R \quad (11.2)$$

Cățul $\frac{I_p}{R} = \frac{I_p}{D/2} = \frac{\pi D^4}{32} \cdot \frac{1}{D/2} = \frac{\pi D^3}{32} = W_p$, poartă denumirea de modul de rezistență polar al secțiunii circulare. Cu aceasta, valoarea tensiunii maxime date de relația (11.2) ia forma

$$\tau_{max} = \frac{M_t}{W_p} \quad (11.3)$$

Relația (11.3) stabilită pentru barele de secțiune circulară este aplicabilă și în cazul barelor de secțiune inelară (fig. 11.4,b). În acest caz:

$$I_p = \frac{\pi}{32} D^4 - \frac{\pi}{32} d^4 = \frac{\pi}{32} (D^4 - d^4) \quad (11.4)$$

$$W_p = \frac{I_p}{D/2} = \frac{2\pi}{32D} (D^4 - d^4) = \frac{\pi D^3}{16} \left[1 - \left(\frac{d}{D} \right)^4 \right] \quad (11.5)$$

Momentele de torsiune M_t produc rotiri φ ale secțiunilor barei în jurul centrului lor de greutate (fig. 11.5,a).

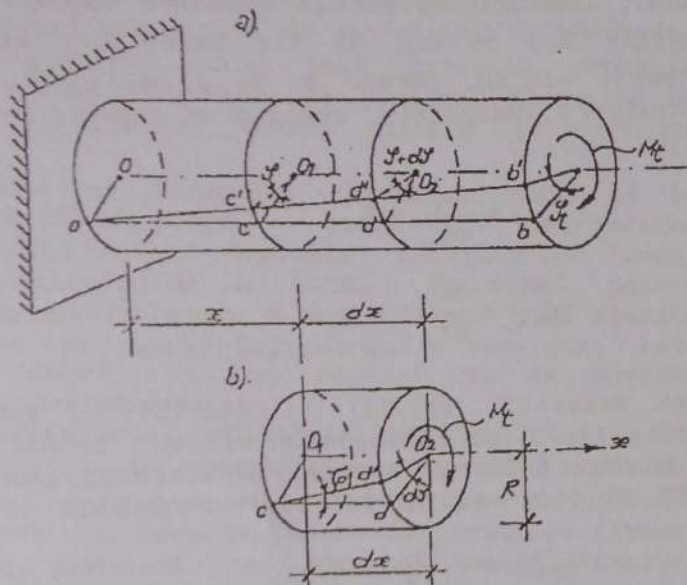


Fig. 11.5

Ca urmare a acestora o fibră a-b de pe conturul exterior inițial dreapta, paralelă cu axa barei și perpendiculară pe secțiunile ei transversale se transformă într-o elice înclinată a-b' (fig. 11.5,a).

Extinzând observația privitoare la fibra a-b la toate fibrele secțiunii, rezultă că rotațiile secțiunilor sunt însoțite de modificări ale unghiurilor drepte, prin urmare, la torsiune iau naștere deformări de lunecare $\gamma \neq 0$. Notând cu φ și $\varphi + d\varphi$ rotațiile a două secțiuni învecinate, situate la distanța infimezimală dx una de alta (fig. 11.5,b), rotirea relativă a lor va avea valoarea evidentă $\varphi + d\varphi - \varphi = d\varphi$ careia îi corespunde lunecarea periferică γ_p .

Unghiurile $d\varphi$ și γ_p (fig. 11.5,b) fiind mici (infimezimal), din triunghiurile O_1dd'' și cdd'' se obține:

$$dd'' \equiv R \operatorname{tg}(d\varphi) = R d\varphi$$

$$\operatorname{tg} \gamma_p \equiv \gamma_p = \frac{d \cdot d''}{dx} = R \frac{d\varphi}{dx}$$

Unghiul $\theta = \frac{d\varphi}{dx}$ poartă denumirea de răsucire (torsiune) specifică și reprezintă rotirea relativă dintre două secțiuni situate la distanța unitară una de alta.

Cu această notație, expresia lunecării pe contur ia forma:

$$\gamma_p = R \cdot \theta \quad (11.6)$$

În domeniul elastic de solicitare al materialului, legătura dintre γ și τ este dată de legea lui Hooke, exprimată prin relația (6.13). În baza acesteia și ținând seama de relațiile (11.6)

și (11.2), succesiv vom avea: $\gamma_p = \frac{\tau}{G} = R \theta = \frac{M_t}{GI_p} R$,

din care se obține

$$\theta = \frac{M_t}{GI_p} \quad (11.7)$$

Rotirea relativă a două secțiuni situate la distanța l una de alta, între care $M_t = \text{constant}$, se obține prin integrarea relației (11.7). În acest

mod vom avea: $\theta = \frac{d\varphi}{dx} = \frac{M_t}{GI_p}$; $d\varphi = \frac{M_t}{GI_p} dx$;

$$\varphi_l = \int_0^l \frac{M_t}{GI_p} dx = \frac{M_t}{GI_p} \int_0^l dx = \frac{M_t}{GI_p} x \Big|_0^l = \frac{M_t}{GI_p} l \quad (11.8)$$

Deformația specifică θ se măsoară în radiani sau grade pe unități de lungime (m, cm etc). Unghiul φ se măsoară în radiani sau grade.

Produsul GI_p din relațiile (11.7) și (11.8) poartă denumirea de rigiditate la torsiune a secțiunii.

11.3 CALCULUL DE REZISTENȚĂ ȘI RIGIDITATE AL BARELOR DE SECȚIUNE CIRCULARĂ ȘI INELARĂ

O secțiune transversală a unei bare sollicitate la torsiune pură nu se va rupe (tăia, forfecă) atâta timp cât tensiunea tangențială maximă ce apare în aceasta este inferioară sau cel mult egală cu rezistența de calcul la forfecare R_f a materialului din care este alcătuită. Ținând seama de relația (11.3), condiția de rezistență la torsiune se va exprima deci prin expresia:

$$\tau_{\max} = \frac{M_t}{W_p} \leq R_f \quad (11.9)$$

Luând inegalitatea de mai sus la limită $\frac{M_t}{W_p} = R_f$ se deduce:

a) Formula pentru dimensionare la torsiune:

$$W_{p,nec} = \frac{M_t}{R_f} \quad (11.10)$$

Diametrul sau raza secțiunii se obțin egalând modulul de rezistență geometric W_p , dat de relația (8.17) cu cel necesar. Vom avea $\frac{\pi D^3}{16} = \frac{M_t}{R_f}$ din care,

$$D = \sqrt[3]{\frac{16 M_t}{\pi R_f}}$$

b) Formula de calcul a capacității portante a secțiunii la torsiune

$$M_{t, cap} = W_p \cdot R_f \quad (11.11)$$

Verificarea unei secțiuni la torsiune revine la testarea satisfacerii relației (11.9) în secțiunea respectivă.

Condiția de rigiditate la torsiune impune ca deformațiile θ_{\max} și φ_{\max} să fie inferioare unor valori maxim admise, notate cu θ_a și φ_a , date în normele tehnice. Matematic, aceasta se exprimă prin relațiile:

$$\theta_{\max} = \frac{M_t}{GI_p} \leq \theta_a \quad (11.12)$$

$$\varphi_{\max} = \frac{M_t l}{GI_p} \leq \varphi_a \quad (11.13)$$

Dacă relațiile (11.12) și (11.13) nu sunt satisfăcute, bara se redimensionează din condiția de rigiditate, folosind expresiile acestora luate la limită. Se obțin astfel relațiile de calcul

$$I_{p,nec} = \frac{M_t}{G \cdot \theta_a} \quad (11.14)$$

sau

$$I_{p,nec} = \frac{M_t l}{G \cdot \varphi_a} \quad (11.15)$$

11.4 TORSIUNEA BARELOR DE SECȚIUNE OARECARE

În domeniul construcțiilor elementele structurale cu secțiuni transversale altele decât circulare (dreptunghiulare, pătrate, profile cu pereți subțiri I, U, L etc) sunt numeroase. Multe dintre acestea, în anumite situații de rezemare și

încărcări sunt supuse unor solicitări compuse ce includ și torsiunea. Cum ponderea ei poate fi însemnată, uneori chiar hotărâtoare, cunoașterea răspunsului lor la solicitarea de torsiune este indispensabil calculului de rezistență al acestora. Această problemă este însă dificilă deoarece modelarea admisă la bara de secțiune circulară nu rămâne valabilă și pentru barele de secțiune oarecare.

Studii și încercări riguroase arată că la torsiunea acestora, punctele secțiunilor transversale suferă deplasări diferite în lungul axei longitudinale a barei. Fenomenul poartă denumirea de deplanare a secțiunilor. Dacă această deplasare nu este împiedicată, torsiunea este numită liberă, în caz contrar ea se numește torsiune împiedicată.

Împiedicarea deplanării secțiunilor are ca efect apariția în acestea a unor tensiuni normale σ (pe lângă cele tangențiale τ) starea de tensiune fiind mult mai complexă decât la torsiunea liberă, când în secțiuni se dezvoltă numai tensiuni tangențiale τ .

Rezolvarea problemei torsiunii libere a barelor de secțiune oarecare a fost dată pentru prima oară de francezul Barré de Saint-Venant, cu metode ale Teoriei elasticității.

Pe baza soluțiilor exacte obținute cu aceste metode, pentru calculul practic de rezistență și rigiditate la torsiune, pe tipuri de secțiuni, au fost stabilite formule și relații de calcul, analoge cu cele utilizate la barele de secțiune circulară și folosite în calculele practice inginerești.

11.4.1 Torsiunea barelor pe secțiune dreptunghiulară

Supusă la torsiune, o bară de secțiune dreptunghiulară (fig. 11.6,a) având trasată o rețea ortogonală pe conturul lateral (simbolizând secțiuni normale și fibre longitudinale) se deformează ca în figura 11.6,b.

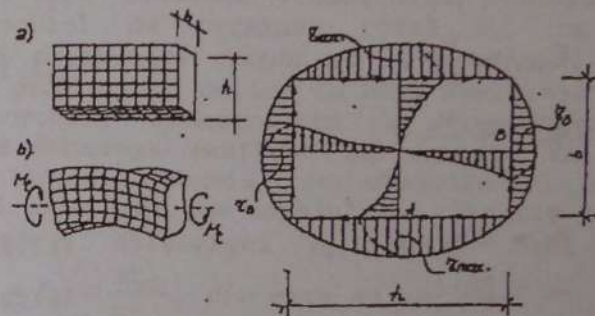


Fig. 11.6

Linii inițial drepte și perpendiculare pe axa barei devin curbe, punând în evidență deplanări ale secțiunilor transversale ale barei. La rândul lor, dreptunghiurile de pe suprafața laterală a barei nedeformate (fig. 11.6,a) prin răsucire se transformă în paralelograme, deformarea lor fiind cu atât mai pronunțată cu cât acestea sunt mai apropiate de mijlocul feței laterale (fig. 11.6,b). Deformațiile celor situate lângă muchii sunt foarte mici, practic neglijabile. Asociind aceste deformații legii lui Hooke pentru lunecare și extrapolând observațiile privitoare la punctele de pe contur pentru toate punctele secțiunilor transversale, distribuția tensiunilor tangențiale τ în secțiune rezultă de formă arătată în fig. 11.6,c.

Soluțiile Teoriei elasticității confirmă variația (neliniară) arătată și pun în evidență prezența de tensiuni maxime τ_{\max} , în punctele A situate la mijlocul laturilor lungi, tensiunile mai reduse (τ_0) la mijlocul laturii scurte și tensiuni $\tau = 0$ la colțuri (fig. 11.6,c).

Cantitativ, acestea, rotirea specifică θ și rotirea relativă φ se calculează cu relațiile:

$$\tau_{\max} = \frac{M_t}{W_t}, \quad (11.16)$$

$$\tau_0 = \gamma \cdot \tau_{\max}, \quad (11.17)$$

$$\theta_{\max} = \frac{M_t}{GI_t}, \quad (11.18)$$

$$\varphi_{\max} = \frac{M_t}{GI_t} \ell, \quad (11.19)$$

în care:

$$W_t = \alpha ha^2, \quad (11.20)$$

$$I_t = \beta hb^3, \quad (11.21)$$

poartă denumirea de *modul de rezistență la torsiune* și, respectiv, *moment de inerție la torsiune*.

Valorile acestora se calculează cu relațiile de mai sus în funcție de dimensiunile secțiunilor (b,h) și de coeficienții α , β și γ dați în Anexa 10.

Analizând valorile acestora, rezultă că pentru rapoarte $h/b \geq 10$, coeficienții α și β iau valoarea $\frac{1}{3}$, astfel că relațiile (11.20), (11.21) devin:

$$W_t = \frac{1}{3} hb^2, \quad (11.22)$$

$$I_t = \frac{1}{3} hb^3 \quad (11.23)$$

Cu acestea expresiile tensiunilor maxime τ_{\max} , a rotirilor specifice θ și a rotirilor relative φ , date de relațiile (11.16), (11.18) și (11.19) devin:

$$\tau_{\max} = \frac{3M_t}{hb^2}, \quad (11.24)$$

$$\theta = \frac{3M_t}{Ghb^3}, \quad (11.25)$$

$$\varphi = \frac{3M_t \ell}{Ghb^3}. \quad (11.26)$$

11.4.2 Torsiunea barelor cu pereți subțiri profil deschis

Unele elemente de construcție au secțiunea transversală sub forma unui contur deschis format din mai multe dreptunghiuri înguste legate între ele rigid (fig. 11.7). Uzual acestea poartă denumirea de *bare cu pereți subțiri profil deschis*.

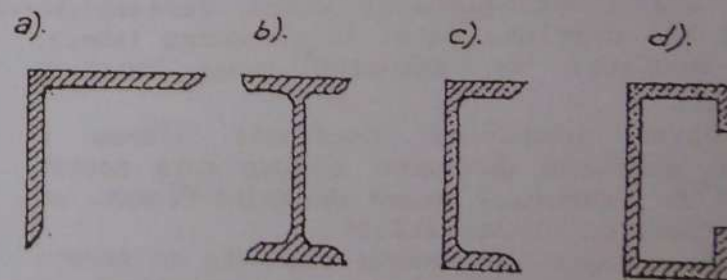


Fig. 11.7

Domeniul acestora cuprinde o gamă largă de profile laminate (I, U, T, L) precum și profilele din tablă îndoită la rece, unele elemente cu secțiune alcătuită etc. Calculul practic la torsiune al acestora se reduce la cel al barelor de secțiune

dreptunghiulară, considerând că fiecare dreptunghi lucrează independent de celelalte. În limitele acestei aproximații, rigiditatea la torsiune a unei secțiuni compuse din n dreptunghiuri având dimensiunile $b_i \times h_i$ va reprezenta suma rigidităților dreptunghiurilor componente:

$$I_t = \sum_{i=1}^n \beta_i h_i b_i^3 \quad (11.27)$$

Pentru bara având secțiunea prezentată în figura 11.8, relația (11.27) ia forma:

$$I_t = \sum_{i=1}^4 \beta_i h_i b_i^3 = \beta_1 h_1 b_1^3 + \beta_2 h_2 b_2^3 + \beta_3 h_3 b_3^3 + \beta_4 h_4 b_4^3.$$

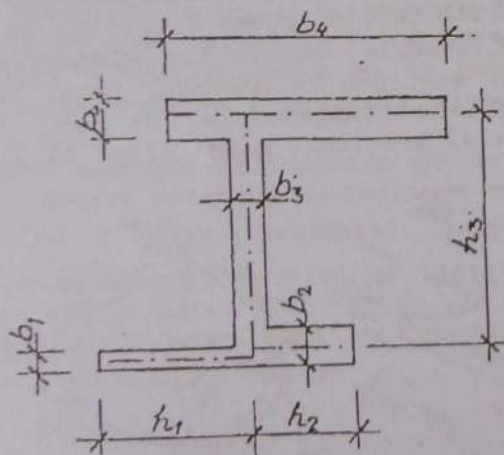


Fig. 11.8

Dacă raportul laturilor $h_i/b_i \geq 10$ la toate dreptunghiurile din componenta secțiunii, în baza relației (11.23), momentul de inerție I_t dat de relația (11.27) devine:

$$I_t = \frac{1}{3} \sum_{i=1}^n h_i b_i^3 \quad (11.28)$$

Cu I_t calculat în baza relațiilor (11.27) sau (11.28), după caz, unghiurile de rotire specifică θ și cele de rotire relativă φ se calculează cu relațiile (11.18) și, respectiv, (11.19).

Pentru determinarea tensiunilor tangențiale în secțiune este necesară cunoașterea fracțiunii M_{ti} , din momentul de torsiune total M_t , ce revine fiecărui dreptunghi component al acesteia. Soluția acestei probleme se obține în baza aceleiași ipoteze a comportării independente a dreptunghiurilor. Deoarece întreaga secțiune se rotește ca un tot unitar (rigid), unghiul de răsucire al întregii secțiuni este egal cu unghiul de răsucire specific al fiecărui dreptunghi θ_i , putem deci scrie:

$$\theta = \frac{M_t}{GI_p} = \theta_i = \frac{M_{ti}}{GI_{ti}}, \text{ din care se obține:}$$

$$M_{ti} = \frac{I_{ti}}{I_t} \cdot M_t \quad (11.29)$$

deci momentul de torsiune total se distribuie dreptunghiurilor componente proporțional cu rigiditățile acestora. Conform relației (11.16)

$$\tau_{i,\max} = \frac{M_{ti}}{W_{ti}} = \frac{M_t}{I_t} \cdot \frac{I_{ti}}{W_{ti}}, \text{ iar pe baza relațiilor}$$

$$(11.22) \text{ și } (11.23): \frac{I_{ti}}{W_{ti}} = b_i. \text{ Vom avea deci:}$$

$$\tau_{i,\max} = \frac{M_t}{I_t} \cdot b_i \quad (11.30)$$

Se deduce astfel că tensiunea tangențială maximă apare la mijlocul dreptunghiului component având grosimea maximă ($b = b_{\max}$):

$$\tau_{\max} = \frac{M_t}{I_t} \cdot b_{\max} \quad (11.31)$$

Pe grosimea pereților tensiunile tangențiale τ sunt distribuite liniar și formează fluxuri ce se închid pe fiecare dreptunghi (fig. 11.9).

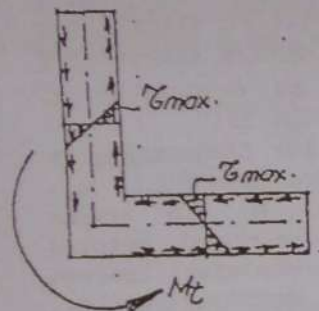


Fig. 11.9

$$\tau_{\max} = \frac{M_t}{I_t} \cdot b_2;$$

$$\tau_{1,\max} = \frac{M_t}{I_t} \cdot b_1;$$

$$b_2 > b_1$$

Observație

În realitate, dreptunghiurile componente ale unei secțiuni nu lucrează independent, prinderea lor rigidă la intersecții

imprimă secțiunii în ansamblul ei, o rigiditate superioară celei calculate cu I_t dat de relațiile (11.21) și (11.23).

Pentru a ține seama de aceasta, momentele de inerție la torsiune se corectează prin amplificare cu un coeficient supraunitar η ale cărui valori depind de forma profilului

$$I_{t,c} = \eta I_t \quad (11.32)$$

în care $I_{t,c}$ reprezintă momentul de torsiune corectat iar η un multiplicator având valorile: 1,00 (pentru profile L), 1,12 (pentru profilele U), 1,15 (pentru profile T) și 1,20 pentru profilele I.

11.4.3 Torsiunea barelor cu pereți subțiri profil închis - Formulele lui Bredt-Leduc

Analogue barelor de secțiune inelară există elemente de structură având secțiunea transversală compusă dintr-un contur închis format din dreptunghiuri sau din arce de curbă, altele decât circulare (fig. 11.10)

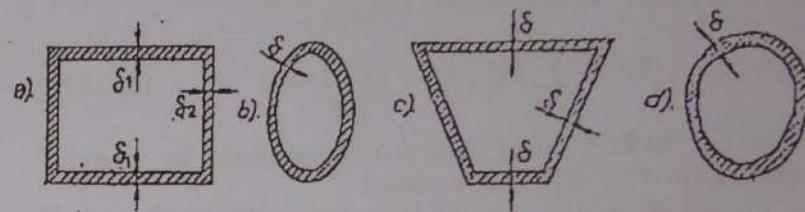


Fig. 11.10

Supuse la torsiune, comportarea acestora este calitativ diferită față de aceea a barelor cu perți subțiri profil deschis, eforturile elementare rătăcindu-se în secțiune la momentul total M_t prin fluxul tensiunilor tangențiale de pe întreg conturul închis al secțiunii barei (fig. 11.11, b).

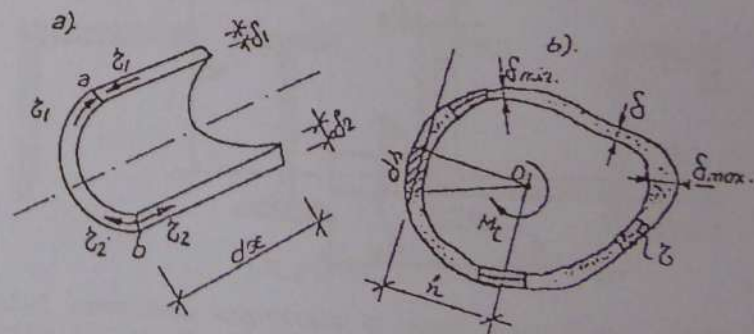


Fig. 11.11

Peretele fiind subțire, se admite că tensiunile tangențiale τ sunt constante pe grosimea acestuia și dirijate după linia lui mediană. Detașând un element din bară de lungime dx (fig. 11.11,a) având grosimea δ_1 în a și δ_2 în b, și notând cu τ_1 și τ_2 tensiunile în cele două puncte din echilibrul acestuia după axa x vom avea:

$-\tau_1 \delta_1 + \tau_2 \delta_2 = 0$, de unde deducem $\tau_1 \delta_1 = \tau_2 \delta_2$, ceea ce indică faptul că produsul dintre tensiunea tangențială τ și grosimea δ , numit flux al tensiunilor tangențiale este constant în lungul conturului secțiunii:

$$\delta \cdot \tau = \text{const.} \quad (11.33)$$

Exprimând momentul forțelor elementare $\tau dA = \tau \delta ds$ în raport cu un punct arbitrar O vom avea: $dM_t = h \cdot \tau \cdot \delta ds$, unde h este distanța de la punctul O la tangenta liniei mediane a grosimii elementului ds (fig. 11.11,b).

Însumând momentele elementare dM_t de pe întreg conturul se obține momentul de torsiune secțional:

$M_t = \oint \tau \cdot \delta \cdot h ds = \tau \oint h ds$. Matematic, $\oint h ds = 2\Omega$, în care Ω reprezintă aria închisă de linia mediană a grosimii pereților barei (fig. 11.12,a). Cu această notație, expresia momentului de torsiune devine $M_t = \tau \delta \cdot 2\Omega$, de unde se obține

$$\tau = \frac{M_t}{2\Omega\delta} \quad (11.34)$$

și

$$\tau_{\max} = \frac{M_t}{2\Omega\delta_{\min}} \quad (11.35)$$

Relația (11.34) poartă denumirea de prima formulă a lui Bredt-Leduc.

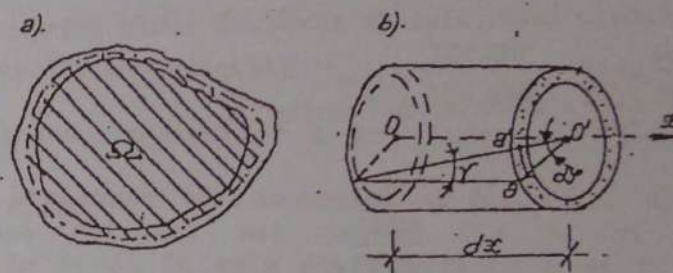


Fig. 11.12

În baza acesteia, tensiunile tangențiale maxime apar acolo unde grosimea peretelui este minimă (δ_{\min}). Ca și în celelalte cazuri de torsiune studiate, deformațiile barelor cu pereții subțiri sunt apreciate prin rotirea specifică θ a secțiunilor transversale. Pentru stabilirea expresiei acesteia se detașează dintr-o bară de secțiune inelară un element de lungime dx , având secțiunile de capăt rotite cu unghiul $d\phi$ (fig. 11.12,b). Fibra ba inițial orizontală (unind punctele a și b situate la mijlocul grosimii peretelui barei), după deformație va ocupa poziția ba' . Notând cu h distanțele $Oa = Oa' = Ob$ vom avea:

$$\text{tg } \gamma \equiv \gamma \equiv \frac{aa'}{dx} = \frac{hd\phi}{dx} = \theta \cdot h, \text{ din care:}$$

$$\theta = \frac{\gamma}{h} = \frac{\tau}{Gh} = \frac{M_t}{2\Omega\delta Gh} = \frac{M_t}{2G\Omega\delta h} \cdot \frac{2\pi h}{2\pi h} = \frac{M_t}{4G\Omega \cdot \pi h^2} \cdot \frac{2\pi h}{\delta}$$

Observând că $\pi h^2 = \Omega$ reprezintă aria suprafeței închise de linia mediană a grosimii pereților barei iar $2\pi h = L$, lungimea aceleiași linii, expresia unghiului θ devine:

$$\theta = \frac{M_t}{4G\Omega^2} \cdot \frac{L}{\delta} \quad (11.36)$$

Relația (11.36) este aplicabilă pentru orice secțiune cu pereți suțiri de grosime δ constantă.

Dacă peretele secțiunii are grosime variabilă, raportul L/δ din relația (11.36) se înlocuiește cu $\oint \frac{ds}{\delta}$, expresia unghiului de torsiune luând forma:

$$\theta = \frac{M_t}{4G\Omega^2} \cdot \oint \frac{ds}{\delta}; \text{ care se mai scrie:}$$

$$\theta = \frac{M_t}{4G\Omega^2} \cdot \oint \frac{ds}{\delta} \quad (11.37)$$

Relația (11.37) poartă denumirea de formula a doua a lui Bredt-Leduc.

Deși dedusă pe o bară de secțiune inelară, ea este valabilă pentru bare cu pereți subțiri profil închis având secțiunea de orice formă și cu orice variație a grosimii pereților. Expresiile:

$$W_t = 2\theta\delta_{\text{m}}, \quad I_t = \frac{4G\Omega^2}{\oint \frac{ds}{\delta}}, \quad \text{definesc modulul de}$$

rezistență și respectiv momentul de inerție la torsiune al barelor cu pereți subțiri profil închis. Cu aceste notații, expresiile tensiunilor și rotirilor specifice date de relațiile 11.34 și 11.37 iau forma din relațiile (11.16) și (11.18).

Notă

Condițiile de rezistență și rigiditate ale barelor de secțiune dreptunghiulară, a celor cu pereți subțiri profil deschis și închis se exprimă prin aceleași relații cu cele folosite la barele de secțiune circulară (formulele 11.14 și 11.19, în care locul lui I_p este luat de I_t).

11.5 EXEMPLE DE CALCUL

Exemplul 11.5.1

O bară încastrată la un capăt este solicitată la capătul liber de un cuplu de două forțe $P = 2500$ daN având brațul cuplului $a = 1,2$ m (fig. 11.13).

Cunoscând $R_t = 1200$ daN/cm²; $l = 2,50$ m; $G = 8 \cdot 10^5$ daN/cm² se cere:

- dimensionarea barei cu secțiune circulară;
- dimensionarea barei cu secțiune inelară având $d = 0,8$ D;
- să se precizeze economia de material realizată pentru cele două cazuri de alcătuire;
- rotirea relativă a secțiunii de capăt a barei.

Pentru fiecare din secțiunile adoptate la punctele a și b se vor trasa diagramele de tensiuni τ în secțiune.

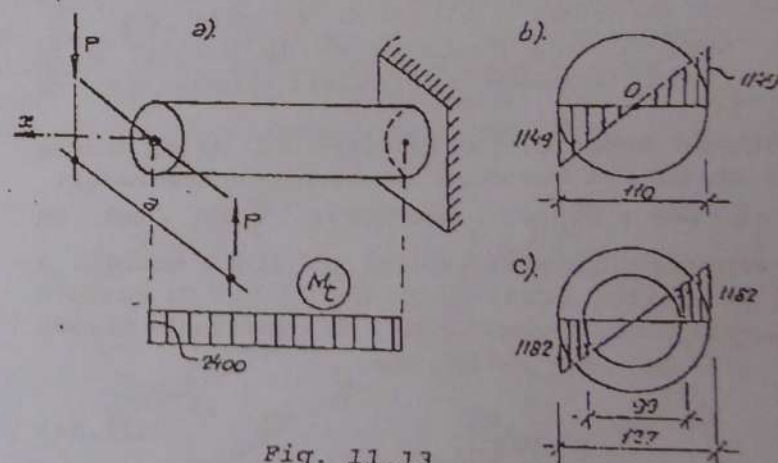


Fig. 11.13

Rezolvare

- a) $M_t = 2500 \times 1,2 = 3000$ daNm. Folosind formula (11.10) vom avea: $\tau_{p,nec} = \frac{300000}{1200} = 250$ cm³; pentru

secțiunea circulară (fig. 11.13,b) $W_p = \frac{\pi d^3}{16}$.

Punând condiția $W_p = W_{p,nec}$ vom avea: $\frac{\pi d^3}{16} = 250$ din

care se obține $d_{nec} = \sqrt[3]{\frac{16 \times 250}{\pi}} = 10,839$ cm. Se

adoptă $d = 11$ cm = 110 mm; pentru care

$$I_p = \frac{\pi \times 11^4}{32} = 1437 \text{ cm}^4; W_p = \frac{\pi \times 11^3}{16} = 261 \text{ cm}^3;$$

$$\tau_{ef} = \frac{300000}{261} = 1149 \text{ daN/cm}^2 < R_f.$$

Diagrama τ în secțiunea circulară este prezentată în figura 11.13,b.

b) Pentru secțiunea inelară (fig. 11.13,c) modulul de rezistență polar geometric este dat de

relația (11.5): $W_p = \frac{\pi D^3}{16} \left[1 - \left(\frac{d}{D} \right)^4 \right]$. Cu $d = 0,8 D$, vom

avea: $\frac{\pi D^3}{16} \left[1 - \left(\frac{0,8 D}{D} \right)^4 \right] = W_{p,nec} = 250 \text{ cm}^3$ din care re-

zultă $\frac{0,5904}{16} \cdot \pi D^3 = 250 \text{ cm}^3$ și apoi $D = 12,92$ cm și d

$= 0,8 \times 12,92 = 10,34$ cm; $D-d = 2,52$ cm. Cu D rezultat din calcul se intră în tabelul din Anexa 7 și se alege secțiunea care să aibă $W_p \geq W_{p,nec} = 250 \text{ cm}^3$. Alegând țeava având $D = 127$ mm cu grosimea peretelui de 14 mm, astfel că $d = 127 - 28 = 99$ mm, rezultă:

$$I_p = \frac{\pi}{32} (D^4 - d^4) = 1610 \text{ cm}^4;$$

$$W_p = \frac{\pi \cdot 12,7^3}{12} \left[1 - \left(\frac{9,9}{12,7} \right)^4 \right] = 253,605 \text{ cm}^3;$$

$$W_p > W_{p,nec};$$

Pentru secțiunea adoptată $\tau_{max} = \frac{300000}{253,685} = 1182 \frac{\text{daN}}{\text{cm}^2}$

iar diagrama tensiunilor τ are forma din figura 11.13,c.

c) secțiunea mai economică va fi aceea care înglobează material mai puțin. Fie A_a și A_b secțiunile barei în cele două variante a și b de alcătuire

$$A_a = \frac{\pi \cdot 11^2}{4} = 95 \text{ cm}^2;$$

$$A_b = \frac{\pi}{4} (12,7^2 - 9,9^2) = 49,70 \text{ cm}^2$$

Prin utilizarea secțiunii inelare rezultă o economie $e = \left(1 - \frac{A_b}{A_a} \right) \times 100 = 47,684 \%$.

d) Pentru cele două secțiuni, circulară și inelară, cu relația (11.8) se obțin:

$$\varphi_a = \frac{300000 \times 250}{1437 \times 8 \times 10^5} = 6,254 \times 10^{-2} \text{ rad}$$

$$\varphi_b = \frac{300000 \times 250}{1610 \times 8 \times 10^5} = 5,823 \times 10^{-2} \text{ rad}$$

Exemplul 11.5.2

O bară de secțiune dreptunghiulară având dimensiunea secțiunii transversale de 2×6 cm este sollicitată la torsiune de un cuplu de moment $M_t = 40$ daNm (fig. 11.14). Cunoscând: $G = 8 \times 10^5 \text{ daN/cm}^2$; $R_f = 650 \text{ daN/cm}^2$.

Se cere:

a) verificarea de rezistență a barei și diagrama tensiunilor τ după axele secțiunii;

b) unghiul de torsiune al secțiunii de capăt a a barei.

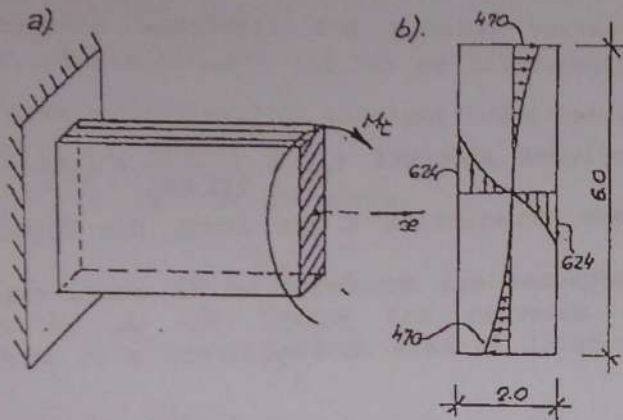


Fig. 11.14

Rezolvare

a) Conform §11.4.1, la bara de secțiune dreptunghiulară supusă la torsiune pură, tensiunea maximă apare la mijlocul laturii lungi și este dată de relația (11.16). Din Anexa 10, pentru $\frac{h}{b} = \frac{6}{2} = 3$, rezultă $\alpha = 0,267$, $\beta = 0,263$, $\gamma = 0,753$ după care, cu relațiile (11.20) și (11.21) se calculează

$$W_t = \alpha h b^2 = 0,267 \times 6 \times 2^4 = 6,408 \text{ cm}^3;$$

$$I_t = \beta h b^3 = 0,263 \times 6 \times 2^3 = 12,624 \text{ cm}^4.$$

Vom avea:

$$\tau_{\max} = \frac{M_t}{W_t} = \frac{4000}{6,408} = 624 \text{ daN/cm}^2$$

La mijlocul laturii scurte, tensiunea τ este dată de relația (11.17) $\tau_1 = \gamma \tau_{\max} = 0,753 \times 624 = 469,872 \text{ daN/cm}^2 \approx 470 \text{ daN/cm}^2$. Diagrama tensiunilor τ este arătată în figura 11.14, b;

b) Folosind relația (11.19) $\varphi_t = \frac{4000 \times 200}{8 \times 10^5 \times 12,624} = 7,921 \cdot 10^{-2} \text{ rad.}$

Exemplul 11.5.3

O bară solicitată la torsiune are secțiunea transversală de forma și dimensiunile din figura 11.15, a. Cunoscând $R_t = 1200 \text{ daN/cm}^2$ se cere să se determine:

- Momentul capabil la torsiune al barei;
- Distribuția tensiunilor τ în tălpi și pe inimă.

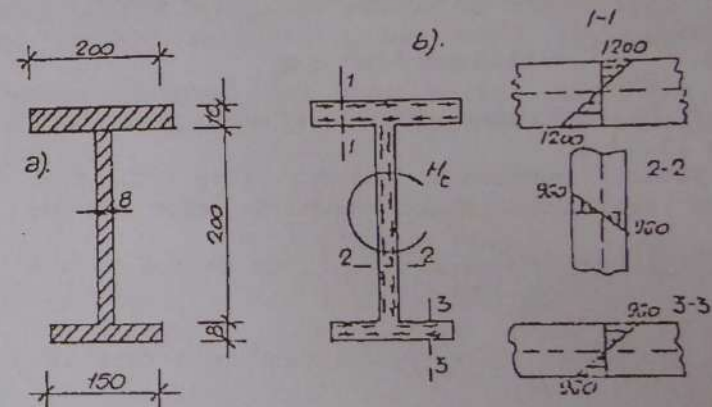


Fig. 11.15

Rezolvare

a) Conform §11.4.2 tensiunea tangențială maximă apare la mijlocul laturii dreptunghiului de grosime maximă. Folosind relația (11.30) și punând condiția de rezistență în tensiuni $\tau_{\max} = \frac{M_t}{I_t} b_{\max} \leq R_t$,

la limită $M_{t, \text{cap}} = \frac{I_t}{b_{\max}} R_t$, în care $b_{\max} = 10 \text{ mm}$ iar I_t este dat de relația (11.28).

$$I_t = \frac{1}{3} \sum_{i=1}^3 b_i^3 h_i = \frac{1}{3} (20 \times 1^3 + 20 \times 0,8^3 + 15 \times 0,8^3) = 12,64 \text{ cm}^4;$$

$$M_{t, \text{cap}} = \frac{12,64}{1,0} \times 1200 = 1,517 \cdot 10^4 \text{ daNcm} = 1,517 \text{ kNm}.$$

b) Tensiunile efective maxime la mijlocul tălpilor și inimii secțiunii se calculează cu relația (11.30)

- în talpa superioară $\tau_{\max} = \frac{15170}{12,64} \times 1 = 1200 \text{ daN/cm}^2$
- în talpa inferioară $\tau_{\max} = \frac{15170}{12,64} \times 0,8 = 960 \text{ daN/cm}^2$

• în inimă - idem talpa inferioară

Diagrama tensiunilor și fluxul acesteia este arătat în figura 11.15, b.

Exemplul 12.5.4

O bară de secțiune chesonată dată este solicitată la capete de un cuplu $M_t = 832,50 \text{ kNm}$ (fig. 11.16, a). $l = 2,20 \text{ m}$; $\delta_1 = 5 \text{ mm}$; $\delta_2 = 7,5 \text{ mm}$; $b = 80 \text{ mm}$; $h = 100 \text{ mm}$; $R_t = 1200 \text{ daN/cm}^2$; $G = 8 \cdot 10^4 \text{ daN/cm}^2$.

Se cere:

a) Verificarea de rezistență a barei și fluxul tensiunilor τ pe laturile secțiunii;

b) Se consideră o tăietură longitudinală în bară (fig. 11.16, e). Să se calculeze momentul capabil al barei astfel rezultate și să se compare cu momentul capabil al barei inițiale. Se va stabili care din cele două variante de alcătuire este mai economică;

c) Unghiul de torsiune specifică al barei cu secțiunea profil închis și rotirea secțiunii de capăt.

Rezolvare a)

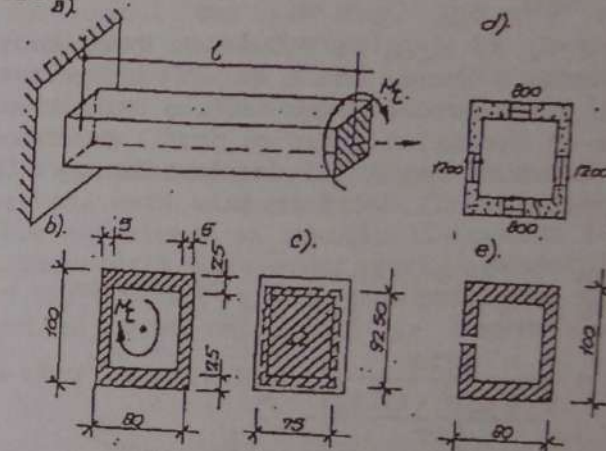


Fig. 11.16

a) Tensiunea maximă, conform §11.4.3 la naștere în peretele secțiunii cu grosimea cea mai mică și se calculează cu relația (11.35) în care $\delta_{\min} = \delta_1 = 5 \text{ mm} = 0,5 \text{ cm}$, $\Omega = 7,5 \times 9,25 = 69,375 \text{ cm}^2$ (a se vedea figura 11.16, c)

$$\text{Cu acestea } \tau_{\max} = \frac{83250}{2 \times 69,375 \times 0,5} = 1200 \text{ daN/cm}^2$$

$\tau_{\max} = R_t$ (secțiunea se verifică)

Pe latura secțiunii cu grosimea δ_2 , tensiunile τ se determină cu relația (11.34)

$$\tau = \frac{M_t}{2\Omega\delta_2} = \frac{83250}{2 \times 69,375 \times 0,75} = 800 \text{ daN/cm}^2$$

Fluxul tensiunilor pe secțiune este arătat în figura 11.16, d.

b) Practicând tăietura indicată în figura 11.16, e, bara devine cu pereți subțiri profil deschis, pentru care

$$I_t = \frac{1}{3} \sum_{i=1}^5 h_i b_i^3 = \frac{1}{3} \left(9,25 \times 0,5^3 + 2 \times \frac{9,25}{2} \times 0,5^3 + 2 \times 7,5 \times 0,75^3 \right) = 2,88 \text{ cm}^4$$

Punând condiția de rezistență $\tau_{\max} = \frac{M_t}{I_t} b_{\max} \leq R_f$

$$\text{rezultă } M_{t, \text{cap}} = \frac{I_t \cdot R_f}{b_{\max}} = \frac{2,88 \times 1200}{0,75} = 4608 \text{ daNcm} = 46,08 \text{ kNcm}.$$

Comparând M_t cu $M_{t, \text{cap}}$ se deduce că bara cu pereți subțiri profil închis are o capacitate portantă la torsiune de 18 ori mai mare decât o bară de aceeași secțiune și dimensiuni, dar cu profil deschis.

c) Calculul unghiului de răsucire specifică se face cu relația (11.37) în care:

$$\int \frac{ds}{\delta} = 2 \left(\frac{92,5}{5} + \frac{75}{7,5} \right) = 57. \text{ Cu aceasta}$$

$$\theta = \frac{83250}{4 \cdot 8 \cdot 10^5 \cdot 69,375^2} = 21,375 \times 10^{-3} \text{ rad/cm}$$

CAPITOLUL 12

ÎNCOVOIEREA PLANĂ PURĂ A BAREI DREPTÉ

12.1 GENERALITĂȚI ȘI DEFINIȚII

Numeroase construcții au în componența structurală o serie de bare, numite generic grinzi încărcate cu forțe acționând normal pe axa acestora.

De regulă, secțiunile lor transversale prezintă simetrie dublă (fig. 12.1, a, b, c) sau simplă (fig. 12.1, d, e).

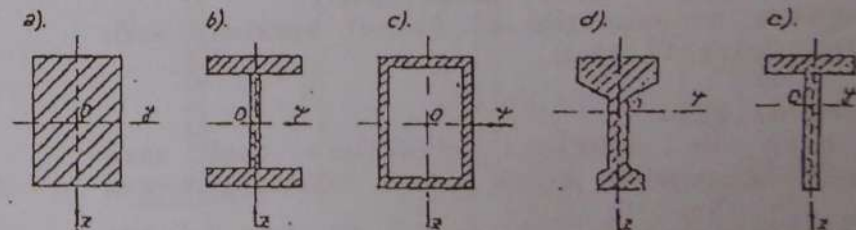


Fig. 12.1

Așa cum s-a văzut în capitolul 8, orice axă de simetrie a unei secțiuni reprezintă o axă principală de inerție.

Planele longitudinale ale unei grinzi ce conține axele principale de inerție ale secțiunilor transversale poartă denumirea de plane principale.

Când toate încărcările exterioare sunt conținute într-un plan principal, axa grinzii, inițial dreaptă, se deformează transformându-se într-o curbă plană conținută în planul încărcării.

În acest caz solicitarea se numește de încovoiere plană simplă.

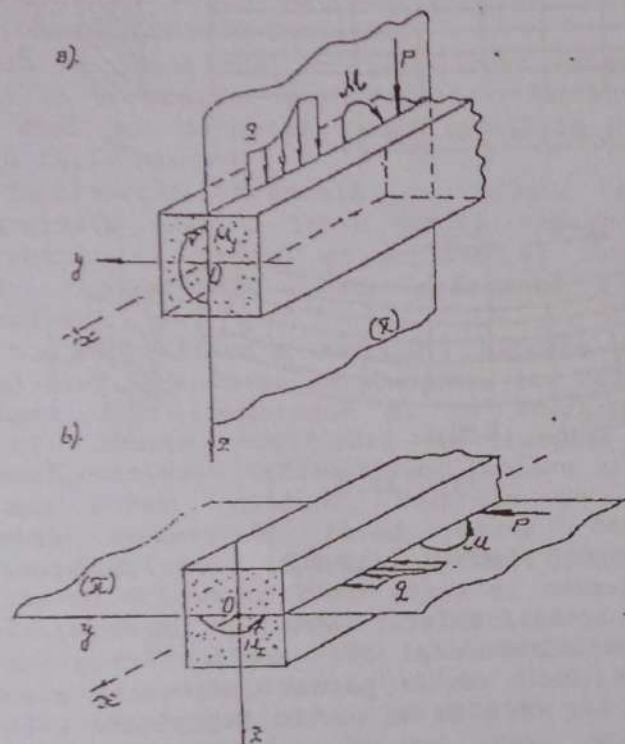


Fig. 12.2

Pentru exemplificare se consideră grinzile din figurile 12.2. Forțele exterioare și reacțiunile ce acționează în planul vertical de simetrie Oxz produc în secțiunile barei momente M_y ($M_z=0$) al căror efect mecanic este rotirea secțiunilor în jurul axei y (fig. 12.2, a).

Dacă însă încărcările sunt aplicate în cel de-al doilea plan principal xOy (fig. 12.2, b), ele produc în secțiuni momente încovoietoare M_z ($M_y=0$) ce au tendința de rotire a secțiunilor barei în jurul axei z . Întrucât studiul încovoierii plane

simple se face la fel, indiferent dacă solicitarea se produce în planul Oxz sau Oxy , în cele ce urmează vom considera cazul încovoierii în planul vertical Oxz , urmând ca în final să transpunem rezultatele obținute și în cazul încovoierii în planul orizontal Oxy .

Dacă pe o grindă sau pe o porțiune de grindă greutatea acesteia este mică și poate fi neglijată iar încărcările exterioare și reacțiunile produc în secțiunile transversale un singur efort - momentul încovoiător M , (M_y sau M_z), grinda sau porțiunea de grindă respectivă este solicitată la încovoiere pură.

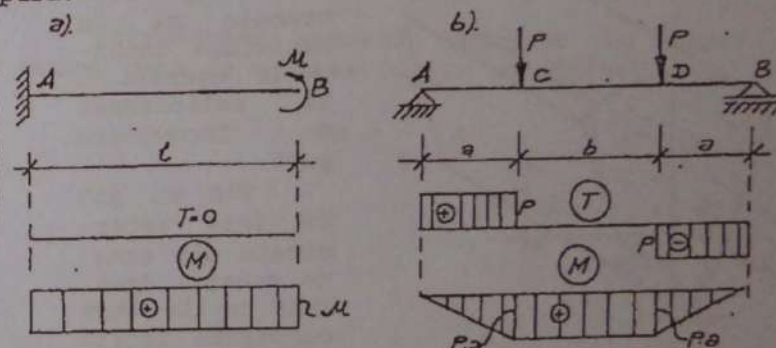


Fig. 12.3

În figura 12.3 sunt prezentate două tipuri de astfel de grinzi și încărcări ce conduc la solicitarea de încovoiere pură ($M_y \neq 0$, $T=0$) pe toată deschiderea sau numai pe anumite porțiuni a ei (acolo unde $T=0$).

12.2 TENSIUNI NORMALE LA ÎNCOVOIEREA PURĂ. FORMULA LUI NAVIER

Așa cum s-a văzut în capitolul 6, existența unui moment încovoiător M într-o secțiune este legată de prezența în secțiunea respectivă a tensiunilor normale σ (fig. 6.5, a și b).

În cazul particular al încovoierii pure în planul xOz (fig. 12.4) eforturile secționale au valorile $N=M_x=0$, $M_y \neq 0$. Introducând aceste mărimi în relațiile (6.4), (6.5) și (6.6) se obțin:

$$\int_A \sigma dA = 0 \quad (12.1, a)$$

$$\int_A \sigma y dA = 0 \quad (12.1, b)$$

$$\int_A \sigma z dA = M_y \quad (12.1, c)$$

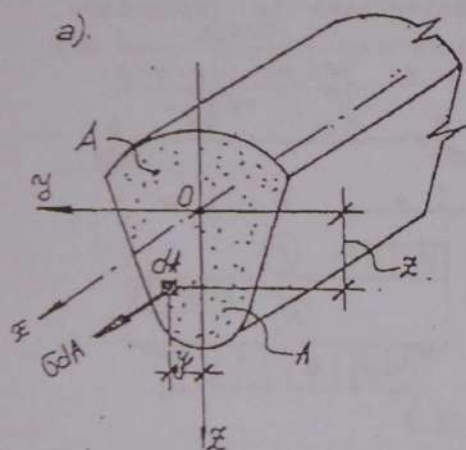


Fig. 12.4

ce exprimă condițiile pe care trebuie să le satisfacă tensiunile normale o la solicitarea de încovoiere pură. Ele nu pot fi însă determinate din aceste ecuații deoarece nu le sunt cunoscute legile de variație pe secțiune. Pentru obținerea acestora se apelează la studiul deformațiilor barei, produse de solicitarea studiată. În acest scop, pe conturul ei exterior se trasează un caroi aj rectangular, format din generatoare paralele cu axa longitudinală a barei (simbolizând fibre longitudinale periferice) și segmente echidistanțate normale pe generatoare,

formând contururi închise, simbolizând secțiuni plane și normale pe bara nedeformată (fig. 12.5, a).

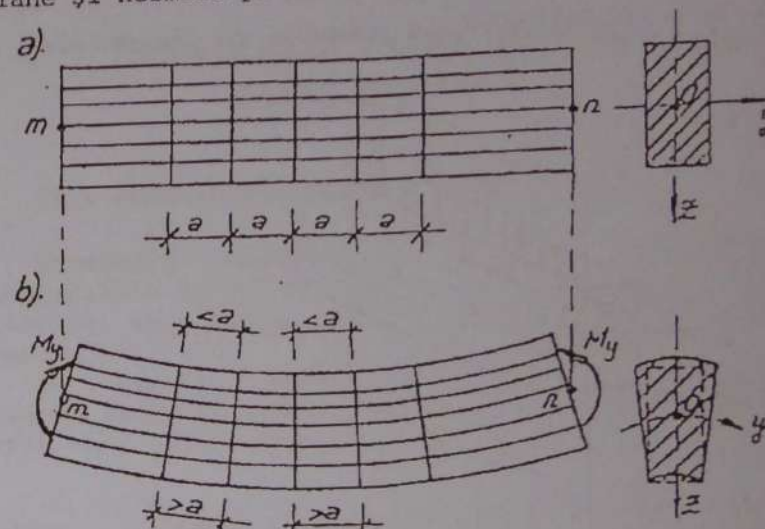


Fig. 12.5

Analizând forma barei deformată prin încovoiere pură (fig. 12.5, b) se constată următoarele:

- generatoarele, inițial drepte, au devenit curbe modificându-și în același timp și lungimea; cele de la partea inferioară s-au alungit iar cele de la partea superioară s-au scurtat.

Trecerea de la generatoarele întinse la cele comprimate determină un punct situat pe o fibră a secțiunii care deși se curbează, nu-și modifică lungimea, numită fibră neutră.

- segmentele normale pe generatoare înainte de deformare rămân tot drepte și tot normale pe generatoarele curbate, astfel că, unghiurile drepte ale caroi ajului se păstrează.

Extrapolând configurația deformată a fibrelor de pe conturul barei la toate fibrele secțiunii se desprind următoarele concluzii:

a. Pe înălțimea secțiunii unei grinzi solicitate la încovoiere pură există o fâșie de fibre care deși se curbează nu-și modifică lungimea, numită fâșie neutră.

Intersecția acestora cu planul secțiunii transversale este o linie numită axă neutră iar intersecția cu planul de acțiune al forțelor, o curbă reprezentând axa deformată a barei încovoiate.

b. Toate fibrele secțiunii situate sub fâșia neutră sunt întinse și se alungesc, iar cele situate deasupra sunt comprimate și se scurtează (fig. 12.5,b). Aceste modificări de lungime pun în evidență existența deformațiilor liniare ϵ , paralele cu axa barei, evident, diferite pe înălțimea secțiunii: $\epsilon_x \neq 0$ (12.2).

c. Secțiunile plane și normale pe axa barei înainte de deformare rămân plane și normale pe axa barei și după deformare (valabilitatea ipotezei Bernoulli). Rezultă astfel că unghiurile inițial drepte ale carcoiajului (fig. 12.5,a) nu se modifică, în consecință: $\gamma_{xy} = 0$ (12.3).

Cu observațiile de mai sus, un element infinitesimal de lungime dx delimitat prin două secțiuni normale 1-1 și 2-2 (fig. 12.6,a), prin încovoierea barei se deformează ca în figura 12.6,b. Comparând cele două configurații ale acestuia (nedeformată și deformată - fig. 12.6) se constată următoarele:

- secțiunile 1-1 și 2-2 se rotesc în pozițiile 1'-1' și 2'-2' ce formează între ele unghiul elementar $d\varphi$.
- toate fibrele secțiunii, inițial drepte, se curbează. Cele din fâșia neutră își păstrează lungimea nemodificată. Notând cu ρ raza lor de curbură vom avea deci: $O_1'O_2' = \rho d\varphi = O_1O_2 = AB = dx$.

- o fibră arbitrară AB situată la distanța z de fâșia neutră, prin încovoiere, își modifică lungimea și devine curbă în poziția A'B'. Din considerente geometrice aceasta va avea raza de curbură $(\rho+z)$, lungimea $A'B' = (\rho+z)d\varphi$ și deformația absolută $\Delta_{AB} = A'B' - AB = (\rho+z)d\varphi - \rho d\varphi = z d\varphi$.

Având deformația absolută a fibrelor secțiunii, în baza relației (6.10), deformațiile specifice liniare ale acestora vor fi:

$$\epsilon = \frac{\Delta_{AB}}{AB} = \frac{z d\varphi}{\rho d\varphi} = \frac{z}{\rho} \quad (12.4)$$

Introducând această expresie în legea lui Hooke, dată de relația (6.12) se obține:

$$\sigma = \frac{E}{\rho} \cdot z \quad (12.5)$$

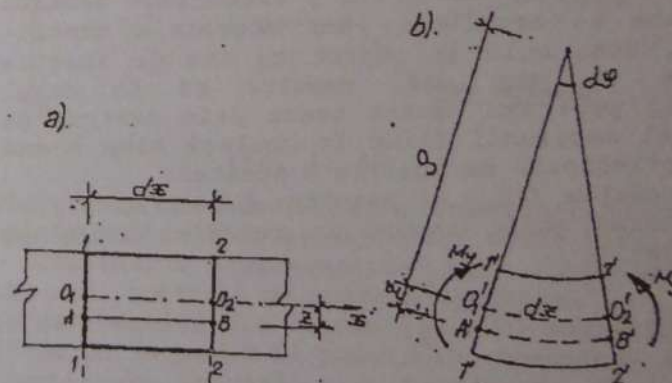


Fig. 12.6

Deoarece modulul de elasticitate E și raza de curbură ρ nu depind de poziția fibrei în secțiune, raportul lor reprezintă o constantă și în consecință, în baza relației (12.5), tensiunile normale σ pe înălțimea secțiunii variază liniar, fiind direct proporționale cu distanța z a fibrei de axă neutră.

Înlocuind expresia tensiunii σ dată de relația (12.5) în relațiile (12.1) se obțin:

$$\frac{E}{\rho} \int_A z dA = \frac{E}{\rho} \cdot S_y = 0 \quad (12.6, a)$$

$$\frac{E}{\rho} \int_A y \cdot z dA = \frac{E}{\rho} \cdot I_{yz} = 0 \quad (12.6, b)$$

$$\frac{E}{\rho} \int_A z^2 dA = \frac{E}{\rho} \cdot I_y = M_y \quad (12.6, c)$$

În care S_y , I_{yz} , I_y au semnificațiile de moment static al secțiunii în raport cu axa neutră, moment de inerție centrifugal față de axele Oy și Oz și respectiv de moment de inerție axial al întregii secțiuni în raport cu axa Oy .

Deoarece raportul E/ρ este diferit de zero (bara fiind încovoiată), ecuațiile (12.6, a) și (12.6, b) pot fi satisfăcute când $S_y = I_{yz} = 0$.

Având în vedere că momentele statice S_y sunt egale cu zero numai edacă axa y trece prin centrul de greutate al secțiunii, iar momentele centrifugale I_{yz} sunt nule în raport cu axe de inerție principale (v. cap. 8), rezultă că în cazul încovoierii pure axa neutră trece prin centrul de greutate al secțiunii fiind în același timp o axă centrală principală de inerție a acesteia.

Din relația (12.6, c) rezultă: $E/\rho = M_y/I_y$

Înlocuind acest raport în relația (12.5) se obține relația:

$$\sigma = \frac{M_y}{I_y} \cdot z \quad (12.7)$$

numită formula fundamentală a încovoierii plane pure, cunoscută și sub denumirea de formula lui Navier.

Conform acesteia, tensiunile normale σ dintr-o secțiune a unei grinzi solicitate la încovoiere pură sunt proporționale cu momentul încovoiător M_y din secțiunea respectivă, cu distanțele z la axa neutră Oy și sunt invers proporționale cu momentul de inerție I_y al secțiunii în raport cu aceeași axă neutră.

Ele variază deci liniar, având valoarea zero în axa neutră și valori maxime și minime în fibrele extreme ale secțiunii (fig. 12.7).

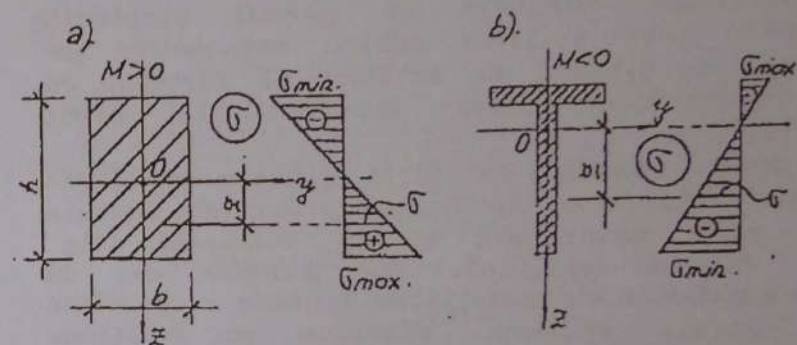


Fig. 12.7

Pentru secțiunea din figura (12.7, a) solicitată de momentul încovoiător $M_y > 0$ tensiunile extreme au valorile: $\sigma_{max/min} = M_y/I_y \cdot (\pm h/2)$. În cazul secțiunii din figura 12.7, b, solicitate de momentul $M_y < 0$ ele se exprimă prin relațiile: $\sigma_{max} = M_y/I_y \cdot (-h_2)$; $\sigma_{min} = M_y/I_y \cdot (+h_1)$.

Reprezentând tensiunile σ din fiecare punct al secțiunii prin vectori, capetele acestora se vor găsi într-un plan ce intersecționează planul secțiunii normale după axa neutră, determinând cu intersecțiile fețelor de sus și de jos ale barei două prisme triunghiulare ce se constituie în volumul tensiunilor σ din secțiune (fig. 12.8).

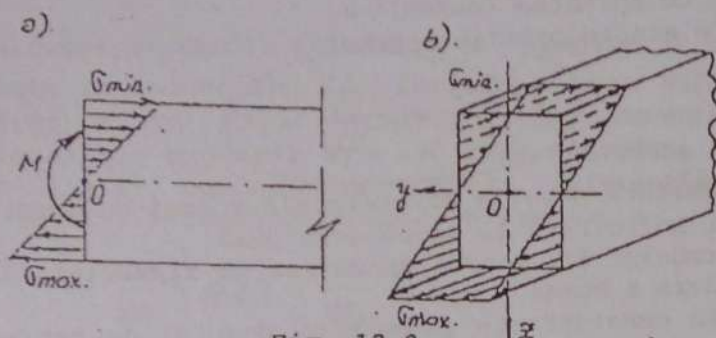


Fig. 12.8

Dacă încovoierea se produce în planul xOy (fig. 12.2,b), expresia tensiunilor σ dată de formula lui Navier are forma:

$$\sigma = \frac{M_x}{I_x} \cdot y \quad (12.7')$$

12.3 DEFORMĂȚIILE BARELOR SOLICITATE LA ÎNCOVOIERE

Prin încovoiere o bară dreaptă se deformează și ia forma de bară curbă (fig. 12.9,b).

O secțiune 1-1, plană și normală pe axa ei nedeformată (fig. 12.9,a) se rotește cu un unghi φ în poziția 1'-1', rămânând plană și normală pe axa deformată (fig. 12.9,b). În același timp, un punct curent m al axei nedeformate se deplasează în poziția m' parcurgând deplasarea absolută mm'' . Întrucât componenta acesteia după axa barei, notată cu $u(x)$ este mică, practic neglijabilă, deplasarea reală mm'' este aproximată prin componenta transversală mm' , normală pe axa nedeformată, notată cu $w(x)$, numită săgeată (fig. 12.9,c).

Uzual, în studiul deformațiilor la încovoiere barele sunt schematizate prin axele lor longitudinale (fig. 12.9,c), considerându-se că

toate punctele unei secțiuni normale au aceeași săgeată ca și centrul lor de greutate.

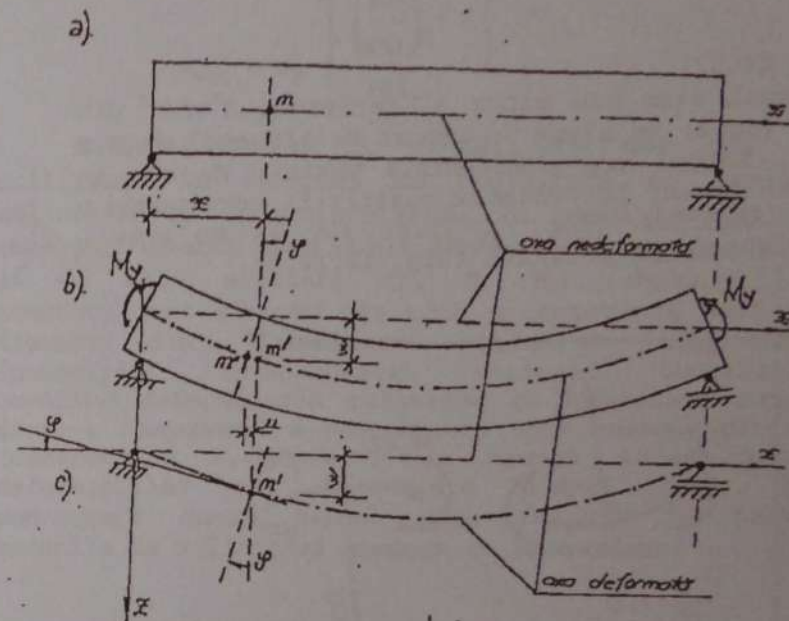


Fig. 12.9

Prin urmare, deformațiile de încovoiere cuprind rotiri φ ale secțiunilor și deplasări w ale barei în planul încovoierei reprezentate prin deplasarea punctelor axei acesteia pe aceeași direcție.

Așa cum rezultă din figura (12.9,c) mărimile φ și w diferă de la punct la punct, în consecință ele sunt funcții de abscisă x a secțiunii: $\varphi = \varphi(x)$, $w = w(x)$. Săgețile w fiind mici, funcția $w(x)$ va reprezenta o curbă continuă și netedă (fără frânturi) reprezentând axa deformată a barei încovoiate.

Ecuția ei analitică poate fi obținută cu ușurință egalând curbura barei încovoiate ($1/\rho$) rezultată din ecuația (12.6,c), ($1/\rho = M/EI_x$) cu

expresia matematică a curburii date în Geometria Diferențială:

$$\frac{1}{\rho} = \frac{M_y}{EI_y} = \frac{\pm \frac{d^2 w}{dx^2}}{\left[1 + \left(\frac{dw}{dx}\right)^2\right]^{\frac{3}{2}}} \quad (12.8)$$

Semnul plus sau minus al derivatei $d^2 w/dx^2$ din ecuația (12.8) se alege în raport de sistemul de axe folosit. Pentru axa z orientată pozitiv de sus în jos la un moment încovoietor pozitiv îi corespunde o curbă negativă (fig. 12.10,a) iar la un moment negativ o curbă pozitivă (fig. 12.10,b).

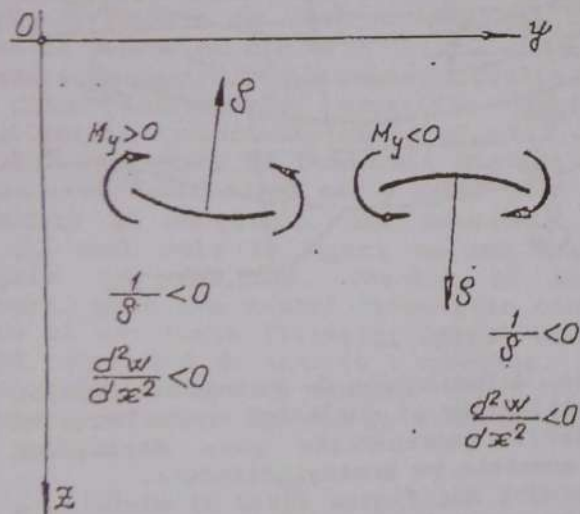


Fig. 12.10

În consecință, în ecuația (12.8) se va reține pentru derivata $d^2 w/dx^2$ numai semnul minus.

Pe de altă parte, în ipoteza micilor deformații acceptate pentru săgețile w , termenul

$(dw/dx)^2$ reprezintă o cantitate infinitesimală la puterea a doua a cărei valoare este neglijabilă în raport cu unitatea $(dw/dx)^2 \approx 0$.

Cu aceste precizări ecuația (12.8) ia forma:

$$\frac{d^2 w}{dx^2} = -\frac{M_y}{EI_y} \quad (12.9)$$

și reprezintă ecuația diferențială a axei deformată a barei solicitate la încovoiere pură.

Produsul EI_y poartă denumirea de rigiditate la încovoiere a barei.

Din considerente geometrice unghiul de rotire a unei secțiuni φ este egal cu cel format de axa nedeformată x cu tangenta geometrică la axa deformată în secțiunea respectivă, ca unghiuri cu laturile perpendiculare (fig. 12.9,c).

La rândul său, acesta din urmă, în baza Analizei Matematice are coeficientul unghiular ($\tan \varphi$) egal cu derivata întâia a funcției $w(x)$. Deoarece rotirile φ ale secțiunilor sunt mici, tangentele acestora pot fi approximate prin valorile unghiurilor respective, în consecință expresia analitică a rotirilor se va exprima prin relația:

$$\varphi = \tan \varphi = \frac{dw}{dx} \quad (12.10)$$

Având în vedere această relație rezultă că deformațiile din încovoiere ale unei bare sunt complet cunoscute atunci când se cunoaște ecuația axei deformată a acesteia. Matematic aceasta se obține prin integrarea ecuației (12.9). Succesiv vom

$$\text{avea: } \frac{dw}{dx} = \varphi = -\frac{1}{EI_y} \int M_{(x)} dx + c_1; \quad w = -\frac{1}{EI_y} \int \left[\int M_{(x)} dx \right] + c_1 x + c_2,$$

unde c_1 și c_2 sunt constante de integrare care se determină din condițiile de rezemare a barei.

Astfel, pentru o consolă de lungime l și rigiditate la încovoiere EI_y , încărcate cu un cuplu concentrat M la capăt (fig. 12.11), momentul încovoiator are expresia $M_y = -M$ care introdusă în ecuația (12.9) conduce la ecuația diferențială $d^2w/dx^2 = M/EI_y$. Integrând de două ori se obțin:

$$\frac{dw}{dx} = \varphi(x) = \frac{M}{EI_y} \cdot x + c_1$$

$$w = w(x) = \frac{M}{2EI_y} x^2 + c_1 x + c_2$$

În secțiunea A, respectiv pentru $x=0$, bara este încastrată, în consecință deplasările ei sunt nule. Introducând această condiție în relațiile de mai sus rezultă ecuațiile algebrice:

$$\varphi(0) = c_1 = \frac{M}{EI_y} \cdot 0 + c_1$$

$$w(0) = c_2 = \frac{M}{2EI_y} \cdot 0 + c_1 \cdot 0 + c_2$$

a căror soluție este $c_1 = c_2 = 0$. Cu acestea, expresiile deformațiilor barei iau forma:

$$\varphi(x) = \frac{M}{EI_y} x; \quad w(x) = \frac{M}{2EI_y} x^2 \quad (12.11)$$

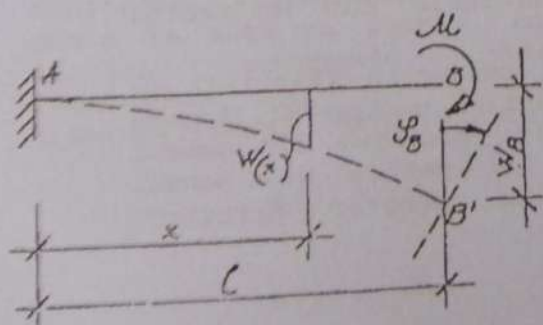


Fig. 12.11

Deformațiile maxime ale consolei iau naștere la capătul ei liber (fig. 12.11). Valorile acestora se obțin cu relațiile (12.11) făcând pe $x = l$:

$$\varphi_{\max} = \varphi_B = \frac{M}{EI_y} l \quad (12.12.a)$$

$$w_{\max} = w_B = \frac{M \cdot l^2}{2EI_y} \quad (12.12.b)$$

Deformațiile φ și w definite mai sus se utilizează în calculul de rigiditate al barelor solicitate la încovoiere pură. În cazul barelor la care încovoierea este dublă ($M_y \neq 0$, $M_z \neq 0$) sau însoțită și de alte eforturi (T , N , M_t), deformațiile acestora sunt compuse din câte o componentă dată de fiecare efort, considerat acționând independent (principiul independenței acțiunii forțelor). Urmărind determinarea rotirilor și săgeților numai dintr-o componentă a momentului, spre exemplu din M_y (considerând $M_z = T = N = M_t = 0$) se ajunge la calculul deformațiilor din încovoiere simplă pură, în consecință acest calcul este folosit în toate cazurile de solicitări compuse cu încovoiere.

12.4 METODA GRINZII CONJUGATE PENTRU DETERMINAREA AXEI DEFORMATE (METODA MOHR)

Obținerea ecuației analitice a axei deformată a barei încovoiate $w(x)$ prin integrarea ecuației diferențiale (12.9) este dificilă, în special atunci când încărcările conduc la expresii diferite ale momentelor încovoiatoare pe lungimea acesteia. Divizând bara într-un număr de intervale egal cu cel al expresiilor distincte ale momentului $M(x)$, pe fiecare din ele, cu relația (12.9), rezultă câte o ecuație diferențială care prin integrare introduce câte două constante. Rezultă astfel un mare număr de constante și de condiții limită necesare pentru determinarea acestora.

O metodă comod de aplicat, care elimină inconvenientele arătate mai sus, a fost dată de

Otto Mohr, cunoscută în literatura de specialitate și sub denumirea de metoda grinzii conjugate sau a grinzii fictive. Aplicarea acesteia este deosebit de eficientă atunci când se urmărește calculul săgeților și rotirilor în anumite secțiuni ale unei grinzi și nu ecuația analitică a axei deformată.

Pentru fundamentarea teoretică a metodei vom considera o grindă solicitată la încovoiere plană pură în secțiunile căreia iau naștere momentele încovoietoare M (M_y sau M_z).

Dacă pe o grindă de aceeași lungime, pe care o vom numi grindă conjugată, s-ar aplica o încărcare continuă fictivă de intensitate $q_f = M_y/EI_y$, aceasta ar produce pe grinda respectivă o forță tăietoare T_f și un moment încovoietor M_f , numite forță tăietoare fictivă și respectiv moment încovoietor fictiv.

Conform relațiilor (7.4) și (7.5) vom avea:

$$\frac{dM_f}{dx} = T_f \quad (12.13)$$

$$\frac{d^2 M_f}{dx^2} = -q_f = -\frac{M_y}{EI_y} \quad (12.14)$$

Comparând relațiile (12.14) și (12.9) rezultă:

$$\frac{d^2 w}{dx^2} = \frac{d^2 M_f}{dx^2} \quad (12.15)$$

Integrând succesiv relația (12.15) se obțin expresiile generale ale rotirilor și săgeților grinzii:

$$\frac{dw}{dx} = \varphi = \frac{dM_f}{dx} + c_1 = T_f + c_1 \quad (12.16)$$

$$w = M_f + c_1 x + c_2$$

Dacă reazemele grinzii conjugate se aleg în așa fel încât în acestea să avem:

$$\varphi_0 = T_f, \quad w_0 = M_f \quad (12.17)$$

constantele de integrare din relațiile (12.16) devin $c_1 = c_2 = 0$ iar expresiile rotirilor și săgeților grinzii reale iau forma:

$$\varphi(x) = T_f(x), \quad w(x) = M_f(x) \quad (12.18)$$

În baza acestora:

- rotirea $\varphi(x)$ într-o secțiune oarecare a unei grinzi este egală cu forța tăietoare fictivă T_f din aceeași secțiune a grinzii conjugate încărcate cu o forță fictivă $q_f = M/EI$.
- săgeata $w(x)$ într-o secțiune a unei grinzi este egală cu momentul încovoietor fictiv M_f din aceeași secțiune a grinzii conjugate încărcate cu o forță fictivă $q_f = M/EI$.

Alegerea reazemelor la grinzile conjugate se face în funcție de reazemele grinzii reale în baza relațiilor (12.17).

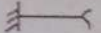
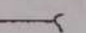
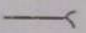
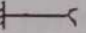
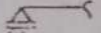
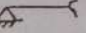
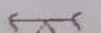
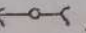
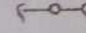
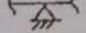
Pentru cazurile uzuale corespondența dintre acestea este prezentată în tabelul 12.1. Prin urmare, grinda fictivă este o bară de aceeași lungime cu grinda reală și cu reazeme conform precizărilor din tabelul (12.1).

Folosirea ei în calculul deformațiilor la încovoiere se face în următoarea succesiune:

- se trasează diagrama momentelor încovoietoare reale $M=M(x)$ pe grinda reală, din încărcarea reală.
- se alcătuieste grinda conjugată (fictivă) și se încarcă cu forța fictivă $q_f=M(x)/EI$. Pentru $M>0$ forța q_f se va lua pozitivă (în sensul pozitiv al axei z) iar pentru $M<0$ sensul forței fictive va fi contrar direcției menționate.

- se calculează T_f și M_f în secțiunile grinzii conjugate corespunzătoare secțiunilor în care sunt căutate deformațiile $\varphi(x)$ și $w(x)$ ale grinzii reale și apoi se aplică relațiile (12.18).

Tabelul 12.1

Grinda reală			Grinda conjugată		
Reazemul	φ_0	w_0	T_f	M_f	Reazemul
Încastrare 	0	0	0	0	Capăt liber 
Capăt liber 	$\neq 0$	$\neq 0$	$\neq 0$	$\neq 0$	Încastrare 
Reazem simplu sau articulație de capăt 	$\neq 0$	0	$\neq 0$	0	Articulație sau reazem simplu de capăt 
Reazem simplu intermediar 	$\neq 0$	0	$\neq 0$	0	Articulație intermediară 
Articulație intermediară 	$\neq 0$	$\neq 0$	$\neq 0$	$\neq 0$	Reazem simplu intermediar 

Observații

1. Dacă grinda reală este de secțiune constantă, rigiditatea EI_y din relația (12.14) poate fi dată ca factor, caz în care încărcarea fictivă corespunde intensității momentului încovoietor ($q_f = M_y$). În acest mod de aplicare, deformațiile φ și w se vor calcula cu relațiile:

$$\varphi(x) = \frac{T_f}{EI_y} \quad (12.19)$$

$$w(x) = \frac{M_f}{EI_y} \quad (12.20)$$

2. În cazul grinzilor cu încărcări complexe pentru comoditatea calculului eforturilor T_f și M_f , se recomandă a se descompune încărcarea reală pe grinda reală în forțe sau sisteme de forțe simple care să conducă la diagrame de momente a căror arii și centre de greutate să fie ușor de evaluat.

3. Cu semnele precizate pentru q_f și cele adoptate pentru M_y , rotirile pozitive ($\varphi > 0$) corespund sensului orar, iar cele negative ($\varphi < 0$) sensului trigonometric. Deplasările w pozitive > 0 se produc în sensul pozitiv al axei z .

4. Forța tăietoare fictivă T_f și momentul încovoietor fictiv M_f au dimensiunea de FL^2 și respectiv FL^3 măsurându-se în orice unitate de forță amplificată cu orice unitate de lungime la puterea a 2-a (kNm^2 ; $daNcm^2$ ș.a.m.d) pentru T_f și la puterea a 3-a (kNm^3 ; $daNcm^3$, Nmm^3 ș.a.m.d) pentru M_f .

Pentru o mai bună înțelegere a modului de utilizare a metodei prezentate, vom stabili în continuare expresiile rotirilor și săgeților caracteristice pentru câteva tipuri de grinzi și încărcări întâlnite mai frecvent în tehnica construcțiilor.

12.4.1 Grinda simplu rezemată încărcată cu o forță uniform distribuită q

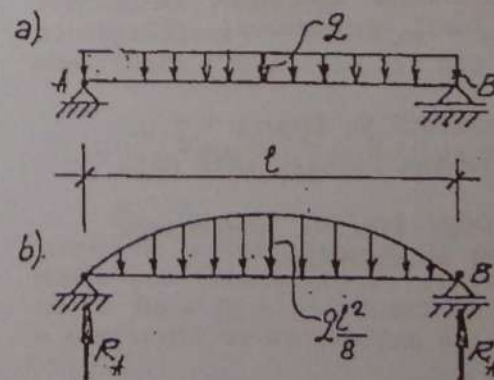


Fig. 12.12

Diagrama de momente M_y pe grinda reală stabilită în aliniatul (7.3.1) are forma dată în figura 7.5, c iar grinda conjugată aferentă și încărcarea fictivă pe aceasta $q_f = M_y$ este arătată în figura (12.12, b).

Reacțiunile din reazeme și eforturile din secțiunile grinzii fictive se determină cu totul identic calculului forțelor de legătură și eforturilor în secțiuni la grinzile reale încărcate cu forțe reale. Procedând în acest fel se obțin:

$$R_A = R_B = \frac{1}{2} \left(\frac{2}{3} \ell \cdot \frac{q\ell^2}{8} \right) = \frac{q\ell^3}{24}$$

$$T_{fA} = R_A; \quad T_{fB} = -R_B;$$

$$M_{f, \max} = R_A \cdot \frac{\ell}{2} - \frac{q\ell^3}{24} \cdot \frac{3}{8} \cdot \frac{\ell}{2} = \frac{q\ell^4}{48} - \frac{3q\ell^4}{384} = \frac{5q\ell^4}{384}$$

Folosind relațiile (12.21) se obțin:

$$\varphi_A = \frac{q\ell^3}{24EI_y} = -\varphi_B \quad (12.21)$$

$$w_{\max} = f_{\max} = \frac{5q\ell^4}{384EI_y} \quad (12.22)$$

Semnul (+) al lui φ_A indică rotirea secțiunii A în sens orar iar semnul (-) al lui φ_B indică rotirea secțiunii B în sens trigonometric (fig. 12.12, a).

Săgeata maximă a grinzii ia naștere la mijlocul deschiderii acesteia. Semnul ei (+) indică o deplasare în sensul pozitiv al axei z (de sus în jos).

12.4.2 Grinda simplu rezemată încărcată cu o sarcină concentrată la mijlocul deschiderii (fig. 12.13, a)

- Diagrama M_y este cea indicată în figura 7.7, c.
- Grinda fictivă și încărcarea fictivă este dată în figura (12.13, b).
- Reacțiunile și eforturile fictive (calculate pe baza figurii 12.13, b) au valorile:

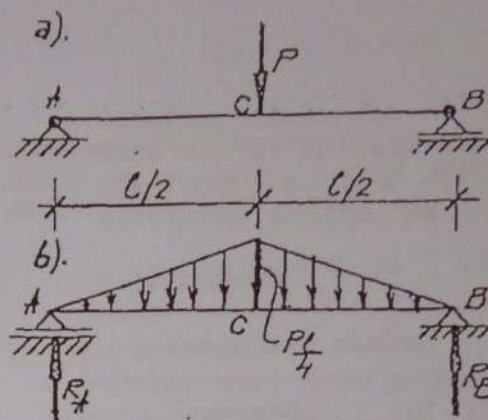


Fig. 12.13

$$\varphi_A = -\varphi_B = \frac{P\ell^2}{16EI_y} \quad (12.23)$$

$$f_{\max} = w_c = \frac{P\ell^3}{48EI_y} \quad (12.24)$$

12.4.3. Consola încărcată cu o forță uniform distribuită q (fig. 12.14, a)

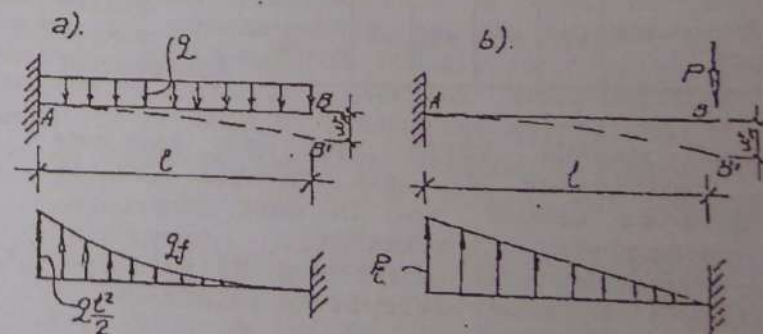


Fig. 12.14

Diagrama M_y este trasată în figura (7.9,c). Momentul fiind negativ, forța fictivă q_f va avea sensul antigravitațional.

Grinda fictivă și încărcarea pe acesta sunt reprezentate în figura (12.14,a). În secțiunea B, eforturile fictive au valorile:

$$T_f = \frac{1}{2} \cdot q \cdot \frac{\ell^2}{2} \cdot \ell = \frac{q\ell^3}{6}; \quad M_f = \frac{q\ell^2}{6} \cdot \frac{3}{4} \ell = \frac{q\ell^3}{8}$$

Folosind relațiile (12.18) se obțin:

$$\varphi_B = \frac{q\ell^2}{6EI_y} \quad (12.25)$$

$$f_{max} = w_B = \frac{q\ell^3}{8EI_y} \quad (12.26)$$

Consola încărcată cu o forță concentrată la capăt P Cu diagrama M dată în figura 7.10,c, încărcarea fictivă are forma din figura 12.14,b. Vom avea:

$$T_{fB} = \frac{1}{2} P\ell^2; \quad M_{fB} = \frac{1}{2} P\ell^2 \cdot \frac{2}{3} \ell = \frac{P\ell^3}{6}. \quad \text{Cu acestea}$$

$$\varphi_B = \frac{P\ell^2}{2EI_y} \quad (12.25')$$

$$w_B = \frac{P\ell^3}{3EI_y} \quad (12.26')$$

12.5 CALCULUL PRACTIC DE REZISTENȚĂ ȘI RIGIDITATE LA ÎNCOVOIERE PURĂ

Așa cum s-a văzut în aliniatul 12.2, în secțiunile barelor solicitate la încovoiere pură iau naștere tensiuni de întindere și de compresiune date de formulă lui Navier. Valorile lor extreme σ_{max} , σ_{min} se dezvoltă în fibrele cele mai îndepărtate de axa neutră (fig. 12.15) iar natura acestora (întindere sau compresiune) este dată de sensul momentului M_y .

Secțiunea va prelua aceste solicitări fără a se rupe atâta timp cât tensiunile normale maxime și

minime sunt inferioare (cel mult egale) cu rezistența de calcul a materialului din componența barei.

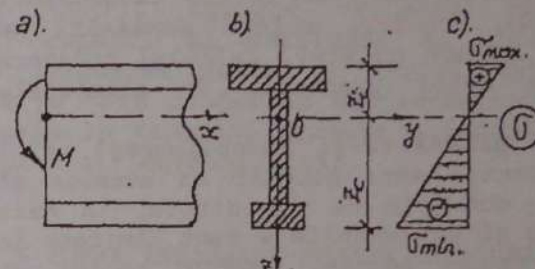


Fig. 12.15

În consecință, condiția de rezistență la încovoiere se va exprima prin relațiile:

$$\frac{M_y}{I_y} z_1 \leq R_t; \quad \frac{M_y}{I_y} z_c \leq R_c \quad (12.27)$$

în care R_t și R_c reprezintă rezistențele de calcul la întindere și respectiv la compresiune a materialului, iar z_1 și z_c distanțele de la axa neutră la fibrele extreme întinse și comprimate (fig. 12.9.b). Observând că I_y/z_1 și I_y/z_c reprezintă modulii de rezistență W_{y1} și W_{yc} corespunzători fibrelor extreme întinse și comprimate, relațiile (12.27) iau forma:

$$\sigma_{max} = \frac{M_y}{W_{y1}} \leq R_t; \quad \sigma_{min} = \frac{M_y}{W_{yc}} \leq R_c \quad (12.28)$$

În cazul materialelor având comportare identică la întindere și la compresiune (ex. oțelul moale pt. construcții), rezistențele R_t și R_c sunt egale ($R_c = R_t = R$) astfel că cerința de rezistență a secțiunii se va exprima printr-o singură relație:

$$\sigma_{\max} = \frac{M_y}{W_y} \leq R \quad (12.29)$$

în care $W_y = I_y / z_{\max}$ iar $z_{\max} = \max(z_1, z_c)$

Concomitent apariției stării de tensiune menționate, secțiunile barei se rotesc cu unghiuri $\varphi(x)$ iar punctele acestora suferă deplasări pe direcția axei z , notate cu $w(x)$. Calculul acestora se face conform celor precizate în aliniatele (12.3) și (12.4).

Pentru ca o grindă să-și îndeplinească rolul de element structural este necesar ca aceasta să îndeplinească și condiția de rigiditate, în baza căreia rotațiile φ și deplasările w sunt limitate la anumite valori maxim admise, numite rotații și deplasări (săgeți) admisibile, notate cu φ_a și f_a .

Va trebui deci să avem:

$$\varphi_{\max} \leq \varphi_a \quad (12.30)$$

$$f_{\max} = w_{\max} \leq f_a \quad (12.31)$$

Nesatisfacerea acestor condiții este considerată periculoasă din punct de vedere al rezistenței și neagreată funcțional, aceasta generând o senzație neplăcută de insecuritate. Obșnuit, săgețile admisibile f_a sunt date în normele tehnice ca fracțiuni din deschiderea l a grinzilor: $l/200$, $l/300$, ..., $l/1000$, în funcție de tipul barei și de rolul ei structural (Anexa 11).

După caz, relațiile (12.28), (12.29) și (12.31) sunt utilizate pentru verificarea de rezistență și rigiditate la încovoiere.

Operația revine la testarea existenței acestor relații pentru o bară dată ca alcătuire și încărcări exterioare.

Pentru barele realizate din materiale prezentând comportare identică la întindere și

compresiune ($R_t = R_c = R$), luând la limită relația (12.29): $\frac{M_y}{W_y} = R$, se deduce:

a) Formula pentru dimensionare la încovoiere:

$$W_{y,nec} = \frac{M_y}{R} \quad (12.32)$$

Dimensiunile secțiunii rezultă egalând modulul de rezistență geometric W_y , calculat pe baza formei și dimensiunilor secțiunii, cu modulul de rezistență necesar $W_{y,nec}$ calculat din considerente mecanice.

Pentru secțiuni pătrate de latură a (vezi fig. 12.16), vom avea:

$$W_y = a \frac{a^2}{6} = \frac{a^3}{6} = W_{y,nec}; \quad \frac{a^3}{6} = \frac{M_y}{R}; \quad a = \sqrt[3]{\frac{6M_y}{R}}$$

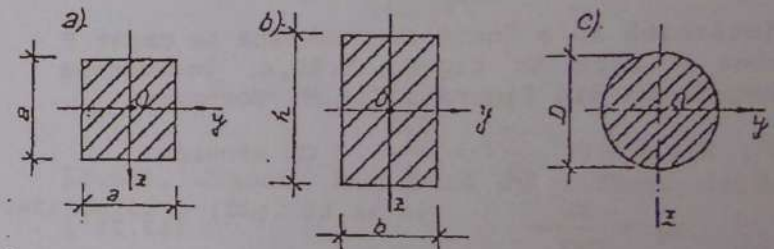


Fig. 12.16

Dacă secțiunea este circulară, cu diametrul D (fig. 12.16, c), succesiv se obțin:

$$W_y = W = \frac{\pi D^3}{32} = W_{y,nec}; \quad \frac{\pi D^3}{32} = \frac{M_y}{R}; \quad D = \sqrt[3]{\frac{32M_y}{R}}$$

În cazul unei secțiuni dreptunghiulare de laturi b și h (fig. 12.16, b) $W_y = \frac{bh^2}{6} = W_{y,nec}$.

Ecuția $bh^2/6 = M_y/R$ conține două necunoscute. Pentru determinarea lor se alege una din ele și apoi se calculează cealaltă. La grinzile dreptunghiulare

obișnuite raportul $h/b=k=1,5+3,0$. Alegând o valoare pentru k se obține o ecuație suplimentară $h=kb$ care împreună cu prima formează un sistem de două ecuații cu două necunoscute ale cărei soluții sunt

dimensiunile căutate: $b = \sqrt{\frac{6M}{k^2 R}}$ și $h=kb$.

În cazul barelor realizate din materiale prezentând comportare diferită la întindere și compresiune, se calculează $W_{yi,nec}$ sau $W_{yc,nec}$ cu una din relațiile (12.29) luate la limită. Cu valoarea astfel determinată se alcătuieste secțiunea și se face verificarea ei cu ambele relații (12.28). Dacă acestea nu se verifică concomitent, secțiunea se modifică și calculul de verificare se reia. Dimensionarea se consideră terminată numai după satisfacerea ambelor relații (12.28).

b) Formula de calcul a capacității portante a unei secțiuni la încovoiere:

$$M_{y, cap} = W_y \cdot R \quad (12.33)$$

Dacă materialul secțiunii prezintă rezistențe de calcul diferite la întindere și compresiune ($R_t \neq R_c$), pe baza relațiilor (12.28) se calculează:

$$M_{t, cap} = W_{yi} \cdot R_t, \quad (12.34)$$

$$M_{c, cap} = W_{yc} \cdot R_c, \quad (12.35)$$

momentul capabil al secțiunii reprezentând valoarea minimă a momentelor de mai sus:

$$M_{cap} = \min(M_{t, cap}, M_{c, cap}) \quad (12.36)$$

O bară supusă la încovoiere va prezenta un număr de momente capabile (calculate ca mai sus) egal cu numărul secțiunilor ei caracteristice.

Calculate și reprezentate grafic acestea permit trasarea diagramelor de momente capabile, utilizate în calculul elementelor de structură.

În unele cazuri prezintă interes forțele capabile ale unui element încovoiat. Pentru

determinarea acestora, pe baza staticii barei se calculează momentul maxim M_{max} în funcție de forțele căutate $M_{max}(P)$. Egalând valoarea acestuia cu momentul capabil al secțiunii se obțin forțele căutate (valoarea maximă a forței/forțelor care aplicate pe bară conduc în secțiunea/secțiunile ei periculoase la tensiuni normale σ inferioare celor de calcul R ale materialului).

12.6 FORME RAȚIONALE PENTRU SECȚIUNILE BARELOR ÎNCOVOIATE. SECȚIUNI ECONOMICE

Distribuția liniară a tensiunilor normale σ într-o secțiune normală a grinzii încovoiate (v. fig. 12.7, 12.8 și 12.15) face ca fibrele acesteia situate în apropierea axei neutre să fie sollicitate redus, chiar și atunci când în fibrele extreme acestea ajung la valoarea maxim admisă (σ_c , σ_t , R_c sau R_t , după caz).

Deci rezultă că în cazul acestei sollicitări, pentru a lucra eficient, materialul secțiunii trebuie dispus cât mai departe de axa neutră, acolo unde tensiunile σ sunt mari.

Pe de altă parte, în baza relației (12.33), capacitatea portantă a unei secțiuni rezultă a fi cu atât mai mare cu cât modulul de rezistență al acesteia este mai mare. O secțiune va fi cu atât mai economică la încovoiere cu cât pentru preluarea aceluiași moment M , va avea o arie a secțiunii A cât mai mică, necesitând deci material mai puțin.

Întrucât cu aceeași arie A pot fi alcătuite secțiuni cu moduli de rezistență W_y diferiți, rezultă că acelea dintre ele va fi mai economică care va avea modulul de rezistență mai mare.

În consecință, raportul dintre modulul de rezistență W_y și aria secțiunii A constituie criteriul de alcătuire economică a unei secțiuni sub aspect mecanic.

La o secțiune dreptunghiulară (fig. 12.16.a)

valoarea acestuia este: $\frac{W_y}{A} = \frac{\frac{bh^2}{6}}{bh} = \frac{h}{6} = 0,167h$, iar

la o secțiune circulară (fig. 12.16.b):

$$\frac{W}{A} = \frac{\pi D^3 / 32}{\pi D^2 / 4} = \frac{D}{8} = 0,125D$$

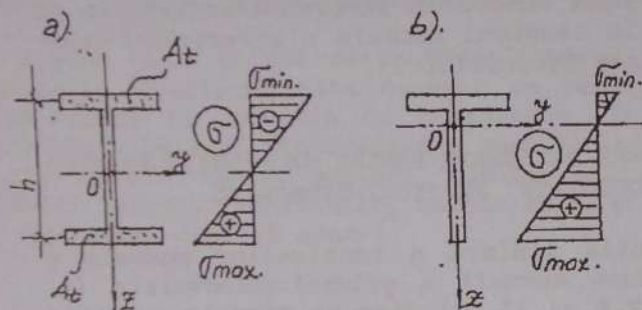


Fig. 12.17

Pentru evaluarea aceluiași raport în cazul secțiunii I, frecvent utilizate la alcătuirea grinzilor, vom neglija pentru început aportul inimii și vom considera cele două tălpi de arie A_t fiecare, situate la distanța h una de alta (fig. 12.17.a). În această schematizare vom avea:

$$I_y = 2A_t \left(\frac{h}{2}\right)^2; z_{max} = \frac{h}{2}; W_y = \frac{I_y}{z_{max}} = A_t \cdot h;$$

$$A = 2A_t; \frac{W_y}{A} = \frac{A_t \cdot h}{2A_t} = \frac{h}{2} = 0,5h.$$

În realitate, inimile secțiunilor I luate în calcul măresc atât modulul de rezistență cât și aria totală A a profilului. Deoarece luarea în considerare a inimii conduce la o creștere mai mică a modulului de rezistență față de creșterea ariei A , raportul $W_y/A < 0,5h$.

Considerentele arătate mai sus au condus la crearea secțiunilor economice la încovoiere I și U.

Pentru înălțimi h mici astfel de profile sunt fabricate industrial prin laminare iar pentru încărcări mari se alcătuiesc secțiuni compuse sudate sau nituite.

Secțiunile economice ale grinzilor realizate din materiale având aceeași comportare la întindere și compresiune ($R = R_t = R_c$) sunt cele simetrice față de axa neutră (fig. 12.17.a).

În fibrele extreme ale acestora, tensiunile normale fiind egale în valoare absolută, materialul secțiunii este utilizat economic.

Secțiunile nesimetrice (fig. 12.17. b) nu sunt recomandate pentru aceste materiale deoarece în fibrele lor extreme, mai apropiate de axa neutră, tensiunile normale σ sunt mai reduse, materialul secțiunii fiind utilizat nerațional.

Ele pot fi eficiente pentru materiale cu comportare diferită la întindere și compresiune ($R_t \neq R_c$) dacă valorile tensiunilor se dirijează convenabil, cu satisfacerea relațiilor (12.28).

12.7 EXEMPLE DE CALCUL

Exemplul 12.7.1

Să se determine momentele capabile ale secțiunilor din figura 12.18. Corespunzător acestora se vor trasa diagramele tensiunilor σ pe secțiune. Se dă $R_c = R_t = R = 2100 \text{ daN/cm}^2$

Rezolvare

• Secțiunea simetrică față de axa Oy
Axele Oy și Oz se confundă cu axele de simetrie. Vom avea (fig. 12.18.c):

$$I_y = \frac{0,8 \times 50^3}{12} + 2 \left(\frac{25 \times 1,2^3}{2} + 25 \times 1,2 \cdot 25,6^2 \right) = 49781 \text{ cm}^4;$$

$$z_{\max} = 25 + 1,2 = 26,2 \text{ cm}; W_y = 49781/26,2 = 1900 \text{ cm}^3$$

Folosind ecuația (12.33):

$$M_{\text{cap}} = W_y \cdot R = 1900 \cdot 2100 = 399 \cdot 10^4 \text{ daNcm} = 399 \text{ kNm}$$

$$\sigma_{\frac{\max}{\min}} = \pm \frac{M_y}{W_y} = \pm \frac{3990000}{1900} = 2100 \text{ daN/cm}^2$$

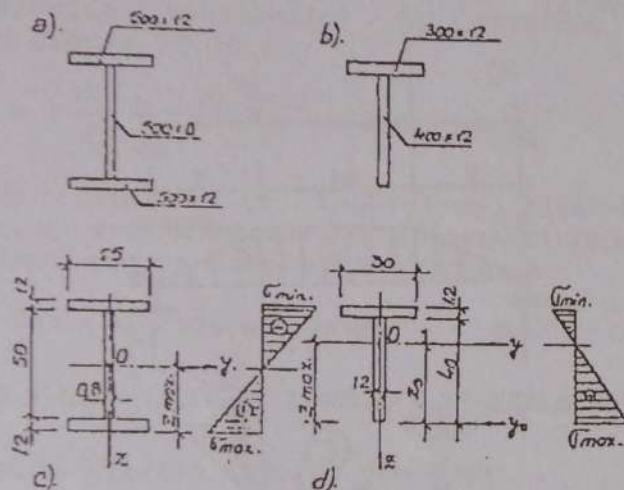


Fig. 12.18

• Secțiunea nesimetrică față de axa O_y

Axa Oz se confundă cu axa de simetrie verticală. Axa principală Oy este perpendiculară pe Oz și trece prin centrul de greutate al secțiunii. Pentru determinarea poziției acestuia se alege o axă arbitrară y_0 (fig. 12.18, d) în raport de care:

$$z_0 = \frac{\sum z_i \lambda_i}{\sum \lambda_i} = - \frac{20 \times 40 \times 1,2 + 40,6 \times 30 \times 1,2}{40 \times 1,2 + 30 \times 1,2} = -28,829 \text{ cm}$$

Față de axa y dusă prin centrul de greutate al secțiunii, vom avea:

$$I_y = \frac{1,2 \times 40^3}{12} + 1,2 \times 40 \times 8,829^2 + \frac{30 \times 1,2^3}{12} + 30 \times 1,2 \times 11,771^2 = 14063 \text{ cm}^4$$

$$z_{\max} = 28,829 \text{ cm}; z_{\min} = 12,371 \text{ cm}; W_y = 487,813 \text{ cm}^3 = W_{y,\min};$$

$$W_{y,\max} = I_y / z_{\min} = 1136,77 \text{ cm}^3;$$

$$M_{\text{cap}} = W_{y,\min} \cdot R = 102,440 \cdot 10^4 \text{ daNcm} = 102,440 \text{ kNm};$$

$$|\sigma_{\max}| = \frac{M_{\text{cap}}}{W_{y,\min}} = \frac{1024400}{487,813} = 2100 \text{ daN/cm}^2$$

$$|\sigma_{\min}| = \frac{M_{\text{cap}}}{W_{y,\max}} = \frac{1024400}{1136,77} = 901 \text{ daN/cm}^2$$

EXEMPLUL 12.7.2 (fig. 12.19, a)

O consolă din lemn ($R = R_c = R_t = 90 \text{ daN/cm}^2$) este solicitată de un cuplu de moment $M = 25 \text{ kNm}$. Se cere dimensionarea consolei ca bară de secțiune dreptunghiulară având raportul laturilor $h/b = 1,5$.

Pentru secțiunea adoptată se va trasa diagrama tensiunilor normale în secțiunile barei și se va calcula săgeata și rotirea la capătul liber al consolei ($E = 0,1 \cdot 10^6 \text{ daN/cm}^2$)

Rezolvare

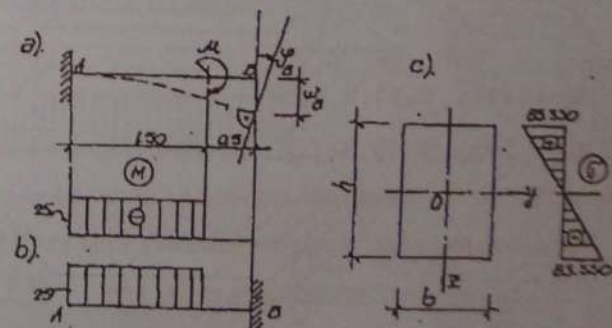


Fig. 12.19

Se trasează diagrama M pe grindă din care rezultă $|M_{\max}| = M = 25 \text{ kNm}$ și se calculează modulul de rezistență necesar cu relația (12.32).

$$W_{y, \text{nec}} = |M_{\max}| / R = 250000 / 90 = 2778 \text{ cm}^3$$

Modulul geometric al secțiunii este dat de prima relație din sistemul (8.16). Egalând W_y cu $W_{y, \text{nec}}$ și asociind aceste relații raportului h/b se obține sistemul de două ecuații:

$$\frac{bh^2}{6} = 2778 \text{ cm}^3, \quad \frac{h}{b} = 1,5$$

ale cărei soluții sunt $b = 19,494 \text{ cm}$; $h = 29,241 \text{ cm}$.

Pe baza acestora se adoptă $b = 20 \text{ cm}$; $h = 30 \text{ cm}$; cu care:

$$I_y = 20 \cdot 30^3 / 12 = 45000 \text{ cm}^4$$

$$W_{y, \text{ef}} = 20 \cdot 30^2 / 6 = 3000 \text{ cm}^3$$

$$\sigma_{\max} = \pm \frac{250000}{3000} = 83,30 \text{ daN/cm}^2 < R = 90 \text{ daN/cm}^2$$

Diagrama σ este arătată în figura 12.19.c.

Pentru determinarea rotirii și săgeții în B se utilizează metoda Mohr. Grinda fictivă, conform precizărilor din tabelul 12.1 este arătată în figura 12.19.b. Conform relațiilor (12.19) și (12.20):

$$\varphi_B = \frac{T_{fB}}{EI_y}; \quad w_B = \frac{M_{fB}}{EI_y}$$

în care:

$$T_{fB} = 25 \times 1,5 = 37,5 \text{ kNm}^2$$

$$M_{fB} = 25 \times 1,5 \times (0,5 + 1,5/2) = 46,875 \text{ kNm}^3$$

Deformațiile la capătul consolei vor fi:

$$\varphi_B = 37,5 \times 10^6 / (0,1 \times 10^6 \times 45000) = 8,333 \times 10^{-3} \text{ rad} = (8,333 \cdot 10^{-3} \cdot 180/\pi)^\circ = 0^\circ 28' 39''$$

$$w_B = f_{\max} = 46,875 \cdot 10^8 / (0,1 \cdot 10^6 \cdot 45000) = 1,042 \text{ cm}$$

Exemplul 12.7.3

Să se dimensioneze dintr-un profil laminat I grinda din figura 12.20, a încărcată cu forțele $P = 110 \text{ kN}$. Pentru profilul adoptat se va trasa diagrama tensiunilor normale σ în secțiune și săgeata la mijlocul deschiderii AB a grinzii. Se dă: $R = 2100 \text{ daN/cm}^2$; $E = 2,1 \cdot 10^6 \text{ daN/cm}^2$.

Rezolvare:

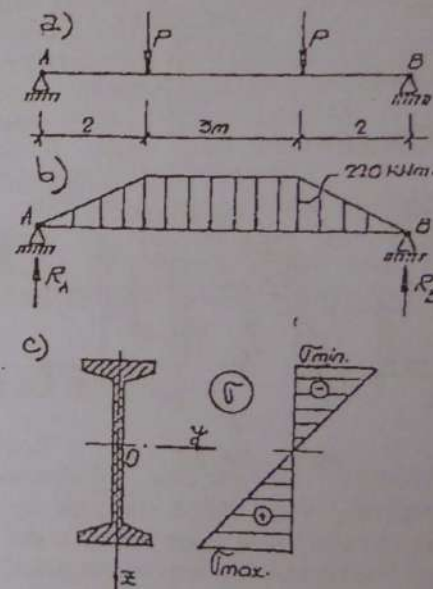


Fig. 12.20

Momentul maxim pe grindă are valoarea $M_{\max} = 2 \times 110 = 220 \text{ Nm}$. Folosind relația 12.32 se calculează:

$$W_{y,nec} = M/R = 2200000/2100 = 1047 \text{ cm}^3$$

Cu acest modul de rezistență se intră în tabelul cu profile laminate (Anexa 5) și se alege tipul a cărei secțiune are $W_y \geq W_{y,nec}$, cel mai apropiat. Procedând în acest fel se obține I₃₆ pentru care $W_y = 1090 \text{ cm}^3$; $I_y = 19610 \text{ cm}^4$.

Distribuția tensiunilor în secțiune este arătată în figura 12.20, c.

$$\sigma_{\frac{\max}{\min}} = \pm \frac{M_y}{W_y} = \pm \frac{2200000}{1090} = \pm 2018 \text{ daN/cm}^2$$

Grinda fictivă și încărcarea fictivă pe aceasta sunt reprezentate în figura 12.20, b. Cu valorile indicate pe diagramă se obțin:

$$R_A = R_B = \frac{1}{2} (7 + 3) \times 220 = 1100 \text{ kNm}^2$$

$$M_{\left(\frac{l}{2}\right)} = 1100 \times 3,5 - 220 \times \frac{1}{2} \left(1,5 + \frac{1}{2}\right) - 220 \times 1,5 \times 0,75 = 3125,830 \text{ kNm}^3$$

Folosind relația (12.20) vom avea:

$$w_1 = 3125,83 \times 10^6 / 2,1 \times 10^6 \times 19610 = 7,59 \text{ cm}$$

CAPITOLUL 13

ÎNCOVOIEREA PLANĂ CU FORȚĂ TĂIETOARE

13.1 GENERALITĂȚI. DETERMINAREA TENSIUNILOR TANGENȚIALE - FORMULA LUI JURAVSKI

Dacă încărcările exterioare și reacțiunile produc în secțiunile unei grinzi momente încovoietoare M și forțe tăietoare T , grinda respectivă va fi solicitată la încovoiere cu forță tăietoare.

Vectorii M și T fiind perpendiculari, rezultă că într-o secțiune a barei sollicitate la încovoiere plană cu forță tăietoare putem avea eforturile M_y și T_x sau M_z și T_y .

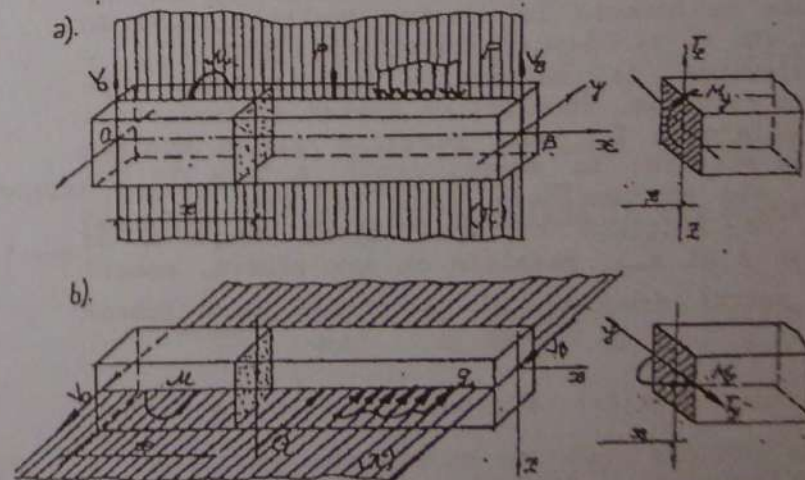


Fig. 13.1

Prima pereche reprezintă o solicitare de încovoiere cu forță tăietoare în planul xOz , produsă de un sistem de forțe acționând în același plan (v. fig. 13.1, a), iar cea de a doua este o solicitare de aceeași natură, produsă însă în planul xOy de forțe cu acțiune în acest plan (fig. 13.1, b).

Întrucât efectele ce iau naștere în secțiunile barei sunt aceleași, în continuare vom lua în studiu încovoierea cu forță tăietoare în planul xOz , rezultatele obținute fiind aplicabile și pentru solicitarea T_y , M_z din planul xOy , cu modificarea corespunzătoare a indicilor eforturilor și a caracteristicilor geometrice care intervin în calcul.

Prezența în secțiune a eforturilor M_y și T_z , conform relațiilor (6.5) și (6.6) este legată de existența în secțiunile respective a tensiunilor normale σ și a celor tangențiale τ_{xz} . Așa cum rezultă din literatura de specialitate [4], [8], [9], [15] etc., efectul momentului încovoiător într-o secțiune, în limitele unor mici aproximații, este același ca și în cazul încovoierei pure.

În consecință, tensiunile normale σ ce iau naștere la încovoierea cu forță tăietoare se vor determina cu formula lui Navier (relația 12.7) în același mod ca și în cazul încovoierei pure.

Referitor la tensiunile τ_{xz} , acestea, pe întreaga secțiune, formează un sistem echivalent cu forța tăietoare T_z , sunt paralele și au același sens cu aceasta. La aceeași cotă z față de axa neutră, ele se consideră egale (v. fig. 13.2, a). Partea de secțiune cuprinsă între dreptele de ordonare z și z_{max} , paralele cu axa neutră, notată cu S_z poartă denumirea de secțiunea care lunecă (fig. 13.2, b și c).

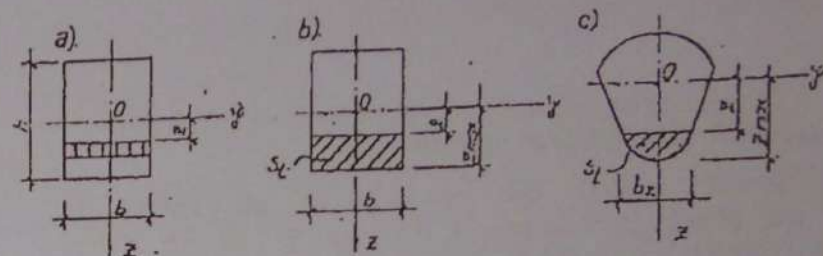


Fig. 13.2

Legea de variație a tensiunilor τ_{xz} pe înălțimea secțiunii este dată de relația

$$\tau_{xz} = \frac{T_z \cdot S_y}{b_z \cdot I_y} \quad (13.1)$$

ce poartă denumirea de formula lui Juravski, în care:

- T_z este forța tăietoare din secțiune,
- S_y - momentul static în raport cu axa y al secțiunii care lunecă,
- b_z - lățimea secțiunii care lunecă la cota z ,
- I_y momentul de inerție al întregii secțiuni în raport cu axa neutră y .

Având în vedere structura formulei lui Juravski, privitor la variația tensiunilor τ_{xz} rezultă următoarele:

- pentru o secțiune dată T_z și I_y , reprezentând două constante (sunt independente de variabila z), în consecință, legea de variație a tensiunii τ_{xz} pe înălțimea secțiunii este aceeași cu aceea a raportului S_y/b_z ;
- în lungul unei bare de secțiune constantă, la același nivel z de axa neutră, câtul $\frac{S_y}{b_z I_y}$ este constant și, prin urmare, tensiunile τ_{xz} au legea de variație a forței tăietoare T_z .

- în fibrele extreme ale unei secțiuni $|z| = |z_{\max}|$ astfel că aria secțiunii care alunecă este egală cu zero. Momentul ei static este evident nul, ceea ce conduce la tensiuni $\tau_{xz} = 0$. Pe măsură ce z scade tinzând spre 0, momentul static S_y crește, luând valoarea maximă în axa neutră, prin urmare tensiunile tangențiale maxime iau naștere în axa neutră ($z = 0$);
- dacă solicitarea de încovoiere cu forță tăietoare se produce în planul xOy (fig. 13.1,b), formula lui Juravski devine

$$\tau_{xy} = \frac{T_y \cdot S_z}{b_y \cdot I_z} \quad (13.2)$$

în care:

- T_y este forța tăietoare din secțiune;
- S_z - momentul static în raport cu axa z al părții de secțiune ce alunecă (cuprinse între abscisele y și y_{\max});
- b_y - lățimea secțiunii ce alunecă, corespunzătoare abscisei y ;
- I_z - momentul de inerție al întregii secțiuni în raport cu axa z .

13.2 VARIAȚIA TENSIUNILOR TANGENȚIALE PE SECȚIUNI UZUALE DE GRINZI

Secțiunile uzuale de grinzi solicitate la încovoiere cu forță tăietoare (M_y , T_z) sunt cele arătate în figura 12.1. Vom deduce în cele ce urmează variația tensiunilor tangențiale τ_{xz} pe câteva dintre acestea, pe baza formulei lui Juravski și a precizărilor făcute în aliniatul 13.1.

a. Secțiuni dreptunghiulare (fig. 13.3)

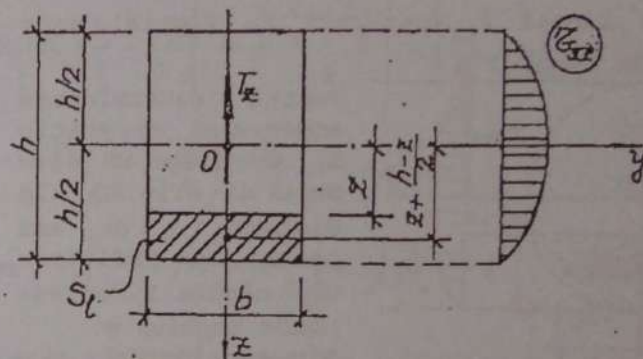


Fig. 13.3

$$S_y = b \left(\frac{h}{2} - z \right) \cdot \left(z + \frac{h-z}{2} \right) = \frac{b}{2} \left(\frac{h^2}{4} - z^2 \right) \quad (13.3)$$

$$I_y = \frac{bh^3}{12}$$

$$\tau_{xz} = \frac{T_z \cdot \frac{b}{2} \left(\frac{h^2}{4} - z^2 \right)}{b I_y} = \frac{T_z}{2 I_y} \left(\frac{h^2}{4} - z^2 \right) \quad (13.4)$$

Expresia (13.4) pune în evidență o lege de variație parabolică a tensiunilor τ_{xz} .

Tensiunea maximă $\tau_{xz, \max}$ se obține în axa neutră ($z=0$);

$$\tau_{xz, \max} = \frac{b T_z \cdot h^2}{4 b h^3} = \frac{3}{2} \cdot \frac{T_z}{b h} = \frac{3}{2} \frac{T}{A} \quad (13.5)$$

Pentru $z = \pm \frac{h}{2}$ din formula (13.4) rezultă $\tau_{xz} = 0$. Analizând cele deduse mai sus, rezultă că la o secțiune dreptunghiulară, tensiunile tangențiale variază după o parabolă de gradul doi

(relația 13.4) fiind maxime în axa neutră și nule în fibrele extreme.

b. Secțiuni circulare (fig. 13.4)

Corespunzător depărtării z de axa neutră y , secțiunea ce lunecă S_z (hașurată în figură) este determinată de unghiul α .

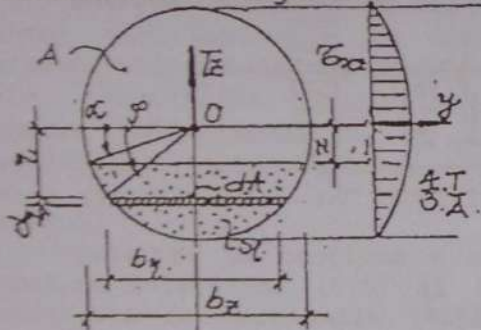


Fig. 13.4

Pentru determinarea momentului ei static S_y , se alege un element de arie dA , la distanța η de axa neutră, cu înălțimea $d\eta$, căruiă îi corespunde unghiul φ .

Din considerente geometrice vom avea:

$$\eta = R \sin \varphi;$$

$$d\eta = R \cos \varphi d\varphi;$$

$$b_\eta = 2R \cos \varphi; \quad z = R \sin \alpha;$$

$$dA = b_\eta \cdot d\eta = 2R \cos \varphi \cdot R \cos \varphi d\varphi = 2R^2 \cos^2 \varphi d\varphi.$$

Prin definiție

$$S_y = \int_{S_z} \eta dA = \int_a^{\frac{\pi}{2}} R \sin \varphi \cdot 2R^2 \cos^2 \varphi d\varphi = 2R^3 \int_a^{\frac{\pi}{2}} \cos^2 \varphi \cdot \sin \varphi d\varphi =$$

$$= -2R^3 \int_a^{\frac{\pi}{2}} \cos^2 \varphi (d \cos \varphi) = -\frac{2R^3}{3} \cos^3 \varphi \Big|_a^{\frac{\pi}{2}} = \frac{2R^3}{3} \left(\cos^3 \frac{\pi}{2} - \cos^3 \alpha \right) =$$

$$= \frac{2}{3} \cos^3 \alpha.$$

Aplicând formula lui Juravski (13.5) vom avea:

$$\tau_{xy} = \frac{T_x \cdot \frac{2}{3} R^3 \cos^3 \alpha}{I_y \cdot 2R \cos \alpha} = \frac{R^2}{3I_y} \cos^2 \alpha =$$

$$= \frac{R^2}{3I_y} (1 - \sin^2 \alpha) = \frac{1}{3I_y} (R^2 - z^2) \quad (13.6)$$

Expresia (13.6) pune în evidență o distribuție parabolică a tensiunilor τ_{xz} pe înălțimea secțiunii (fig. 13.4, b)

Pentru $z = \pm R$, rezultă $\tau_{xz} = 0$, iar pentru $z = 0$ se obțin tensiunile maxime.

$$\tau_{xz, \max} = \frac{T_x R^2}{3I_y} = \frac{T_x}{3} \cdot \frac{R^2}{\frac{\pi R^4}{4}} = \frac{4}{3} \cdot \frac{T_x}{\pi R^2} = \frac{4}{3} \cdot \frac{T}{A} \quad (13.7)$$

în care $A = \pi R^2$ reprezintă aria secțiunii transversale a barei.

c. Secțiuni I (fig. 13.5, a)

Secțiunea I prezintă particularitatea unor salturi bruște a lățimii b a secțiunii pe linia de frontieră dintre inimă și talpă.

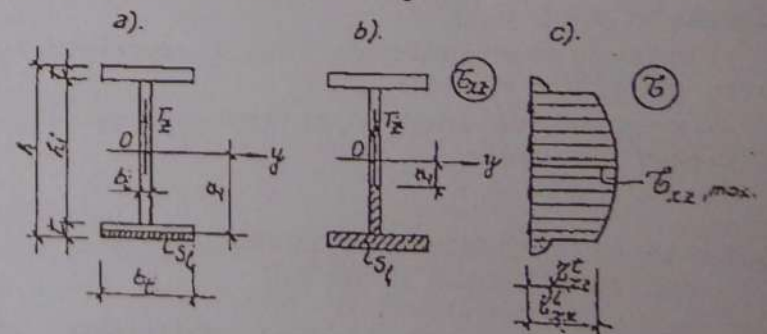


Fig. 13.5

Cum orice punct k de pe această linie aparține atât tălpilor cât și inimii, rezultă că formula lui

Juravski pentru $z = \pm \frac{h_1}{2}$ conduce la două valori distincte ale tensiunilor τ_{xz} corespunzătoare lățimilor $b = b_t$ și $b = b_l$.

Având în vedere că tălpile profilului sunt dreptunghiuri cu lățimea b_t , expresia acestora va fi cea stabilită la secțiunea dreptunghiulară și exprimată prin relația (13.4):

$$\tau_{xz} = \frac{T_z \cdot b_t}{2b_t I_y} \left(\frac{h^2}{4} - z^2 \right) \quad (13.8)$$

În toate punctele de ordonata $z = \pm \frac{h_1}{2}$, vom avea deci:

$$\tau_{xz}^t = \frac{T_z \cdot b_t}{2b_t I_y} \left(\frac{h^2}{4} - \frac{h_1^2}{4} \right), \quad (a)$$

$$\tau_{xz}^l = \frac{T_z \cdot b_t}{2b_l I_y} \left(\frac{h^2}{4} - \frac{h_1^2}{4} \right), \quad (b) \quad (13.9)$$

$$\frac{\tau_{xz}^t}{\tau_{xz}^l} = \frac{b_t}{b_l}; \tau_{xz}^l = \frac{b_t}{b_l} \tau_{xz}^t \quad (c)$$

Deoarece $b_t \gg b_l$ deducem că $\tau_{xz}^l \gg \tau_{xz}^t$.

Pe baza celor arătate mai sus, rezultă că diagrama tensiunilor tangențiale τ_{xz} pe înălțimea tălpilor, variază parabolic (relația 13.8) și prezintă un salt $\tau_{xz}^l - \tau_{xz}^t$ pe linia de separație dintre inimă și talpă (fig. 13.5,c).

* Pentru un punct de pe inimă de ordonată $z = \frac{h_1}{2} - z$ (fig. 13.5,b) vom avea:

$$\begin{aligned} S_y &= b_t \left(\frac{h}{2} - \frac{h_1}{2} \right) \left(\frac{h_1}{2} + \frac{\frac{h}{2} - \frac{h_1}{2}}{2} \right) + b_l \left(\frac{h_1}{2} - z \right) \left(z + \frac{h_1 - z}{2} \right) = \\ &= \frac{b_t}{2} \left(\frac{h^2}{4} - \frac{h_1^2}{4} \right) + \frac{b_l}{2} \left(\frac{h_1^2}{4} - z^2 \right) \\ \tau_{xz} &= \frac{T_z}{2I_y b_l} \left[b_t \left(\frac{h^2}{4} - \frac{h_1^2}{4} \right) + b_l \left(\frac{h_1^2}{4} - z^2 \right) \right] \quad (13.10) \end{aligned}$$

Expresia (13.10) pune în evidență o distribuție parabolică a tensiunilor tangențiale τ_{xz} și pe înălțimea inimii.

Pentru $z = \frac{h_1}{2}$, se regăsește valoarea τ_{xz}^l dată de relația (13.9,b) iar pentru $z = 0$ se obțin tensiunile maxime $\tau_{xz,max}$ (fig. 13.5,c)

$$\begin{aligned} \tau_{xz,max} &= \frac{T_z}{2I_y b_l} \left[b_t \left(\frac{h^2}{4} - \frac{h_1^2}{4} \right) + \frac{b_l h_1^2}{4} \right] = \\ &= \frac{T_z}{8I_y} \left[h_1^2 + \frac{b_t}{b_l} (h^2 - h_1^2) \right] \quad (13.11) \end{aligned}$$

Observații

1) Diferența dintre τ_{xz}^l și $\tau_{xz,max}$ (fig. 13.5,c) este în general mică iar valoarea tensiunilor τ_{xz}^t neglijabilă. Ca urmare a acestui fapt, inima profilului preia (95+97)% din volumul tensiunilor τ_{xz} produse de forța tăietoare T_z .

Având în vedere acest lucru, în unele calcule practice tensiunile tangențiale se consideră uniform distribuite pe înălțimea h_1 și se calculează cu relația:

$$\tau_{xz} = \frac{T_z}{b_1 h_1} \quad (13.12)$$

eroarea față de τ_{max} dat de relația (13.11) fiind sub 5%.

2) Forța tăietoare T_z , pe lângă tensiunile τ_{xz} arătate mai sus, produce în tălpile profilului tensiuni τ_{xy} (fig. 13.6, b) care se calculează tot cu formula lui Juravski, în care momentul static al secțiunii S_y ce lunecă și lățimea b a acesteia

(fig. 13.6, a) au valorile: $S_y = t \cdot y \cdot \frac{h_1}{2}$; $b = t$.

Cu acestea se obțin:

$$\tau_{xy} = \frac{T_z \cdot S_y}{t I_y} = \frac{T_z \cdot t \cdot h_1 \cdot y}{2 t I_y} = \frac{T_z \cdot h_1 \cdot y}{2 I_y} \quad (13.13)$$

Relația (13.13) pune în evidență o distribuție liniară a tensiunilor τ_{xy} (fig. 13.6, b).

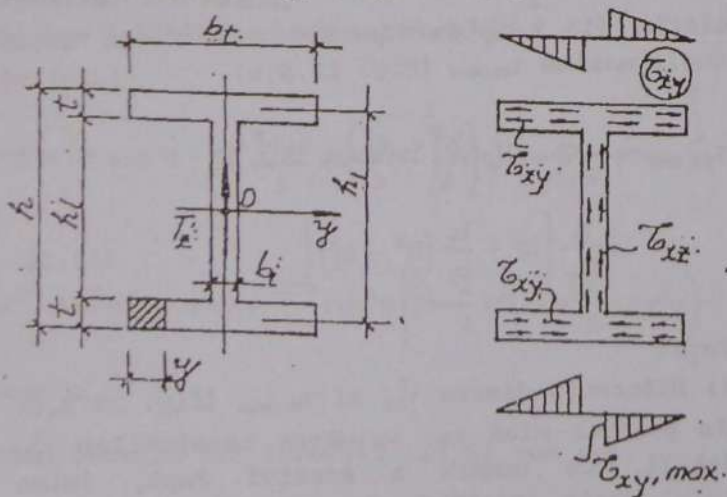


Fig. 13.6

Pentru $y = 0$, rezultă $\tau_{xy} = 0$, iar pentru $y = \frac{1}{2}(b_t - b_i)$ se obține

$$\tau_{xy, max} = \frac{T_z h_1}{4 I_y} (b_t - b_i) \quad (13.14)$$

Privitor la sensul tensiunilor tangențiale din încovoierea cu forță tăietoare, vom observa că pentru $T_z > 0$, ele formează un flux (fig. 13.6, b) continuu pornind din cele două aripi ale tălpii inferioare, unindu-se în inimă și separându-se din nou în talpa superioară cu sensuri inverse celor din talpa inferioară. Pentru $T_z < 0$ (orientat invers), fluxul tensiunilor arătat în figură 13.6, b s-ar inversa.

Tensiunile τ_{xy} din tălpi sunt, în general, mici motive pentru care de prezența lor se ține seama numai în anumite situații.

13.3 LUNECAREA LONGITUDINALĂ

Tensiunilor tangențiale τ_{xz} dintr-o secțiune transversală a unei grinzi solicitate la încovoiere cu forță tăietoare, în baza principiului dualității tensiunilor tangențiale τ , le corespund tensiuni tangențiale τ_{xz} acționând în plane paralele cu fășia neutră a barei, numite tensiuni de lunecare (fig. 13.8).

Rezultanta lor pe o lungime e de grindă poartă denumirea de forță de lunecare, notată cu L_e .

Existența tensiunilor de lunecare τ_{xz} , rolul și importanța lor în asigurarea capacității portante a grinzilor solicitate la încovoiere cu forță tăietoare se poate pune în evidență prin următoarea experiență simplă. Se realizează o grindă compusă din 3 bare identice suprapuse de secțiunea transversală $b \times h$ fiecare (fig. 13.7, a).

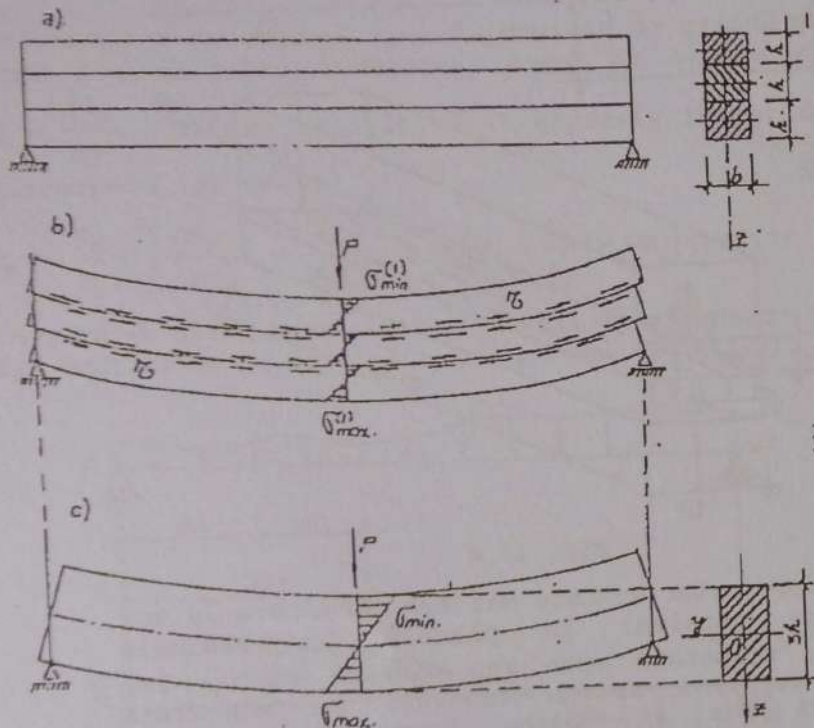


Fig. 13.7

Sub acțiunea forței P grinda se încovoie (încovoiere cu forță tăietoare), luând forma din figura 13.7, b. Analizând forma ei deformată se constată că în fiecare plan de separație, fibrele inferioare ale barei superioare se alungesc, iar fibrele superioare ale barei inferioare se scurtează.

Urmare a acestor deformații, fețele în contact ale barelor alunecă una în raport cu cealaltă. Cum alunecarea a două secțiuni infinite vecine este rezultatul acțiunii tensiunilor tangențiale τ din acestea (v. aliniatul 10.1), rezultă că în planele de separație dintre barele componente ale grinzii

iau naștere tensiuni tangențiale, paralele cu axa x , notate cu τ_{xx} (fig. 13.7, b).

Dacă barele componente ar fi solidarizate între ele cu buloane, nituri, sudură, clei, pane etc., acestea ar împiedica alunecarea, iar grinda s-ar comporta ca și cum ar fi executată dintr-un singur element, de secțiune $bx3h$ (fig. 13.7, c).

Pentru generalizare, în cele ce urmează vom considera grinda alcătuită din n bare identice de secțiune bxh fiecare, în cele două situații descrise mai sus.

În cazul grinzii cu elementele nesolidarizate, fiecare bară se va încovoia independent, preluând o forță $P_1 = \frac{P}{n}$. Tensiunile și săgeata maximă pe grindă, pe care le vom nota cu $\sigma_{\max}^{(1)}$ și $f_{\max}^{(1)}$ vor fi cele produse pe o singură bară, de secțiune bxh , încărcată cu forța P_1 . Vom avea deci:

$$M_{\max}^{(1)} = \frac{P_1 \ell}{4} = \frac{P \ell}{4n}; \quad \tau_y^{(1)} = \frac{bh^3}{12}; \quad w_y^{(1)} = \frac{bh^2}{6}$$

$$\sigma_{\max}^{(1)} = \frac{M_{\max}^{(1)}}{w_y^{(1)}} = \frac{P \cdot \ell}{4n} \cdot \frac{1}{\frac{bh^2}{6}} = \frac{3}{2} \frac{P \ell}{nbh^2}.$$

Conform relației (12.24)

$$f_{\max}^{(1)} = \frac{P_1 \cdot \ell^3}{48EI_y^{(1)}} = \frac{P \ell^3}{48E \cdot n} \cdot \frac{1}{\frac{bh^3}{12}} = \frac{P \ell^3}{4nEb h^3}.$$

Grinda cu elementele solidarizate se va comporta la încovoierea cu forță tăietoare ca o bară de secțiune $bx3h$ încărcată cu forța P la mijlocul deschiderii, pentru care:

$$M_{\max} = \frac{Pl}{4}; \quad I_y^{(n)} = \frac{b(nh)^3}{12} = \frac{n^3bh^3}{12}$$

$$K_y^{(n)} = \frac{b(nh)^2}{6} = \frac{n^2bh^2}{6};$$

$$\sigma_{\max}^{(n)} = \frac{M_{\max}}{K_y^{(n)}} = \frac{P \cdot l}{4} \cdot \frac{1}{\frac{n^2bh^2}{6}} = \frac{3}{2} \cdot \frac{Pl}{n^2bh^2}$$

$$f_{\max}^{(n)} = f_{\frac{l}{2}}^{(n)} = \frac{Pl^3}{48EI_y^{(n)}} = \frac{Pl^3}{48E \cdot \frac{n^3bh^3}{12}} = \frac{Pl^3}{4n^3Ebh^3}$$

Din rapoartele tensiunilor și săgeților calculate mai sus, $\frac{\sigma_{\max}^{(n)}}{\sigma_{\max}^{(1)}} = \frac{1}{n}$; $\frac{f_{\max}^{(n)}}{f_{\max}^{(1)}} = \frac{1}{n^3}$, rezultă:

$$\sigma_{\max}^{(1)} = n\sigma_{\max}^{(n)} \quad (a) \quad (13.15)$$

$$f_{\max}^{(1)} = n^3f_{\max}^{(n)} \quad (b)$$

Interpretând ecuațiile (13.15) se deduce că în cazul grinzilor alcătuite din n elemente nesolidarizate, tensiunile sunt mai mari de n ori, iar săgețile de n^3 ori decât în cazul grinzilor de aceeași secțiune cu elementele solidarizate. Altfel spus, o astfel de grindă este de n ori mai puțin rezistentă și de n^3 ori mai flexibilă.

Pentru stabilirea expresiei forței de alunecare L_c se detașează din grindă un element de lungime dx (fig. 13.8) dintr-o zonă cu forță tăietoare constantă (fig. 13.8, a). În secțiunile transversale x și $x+dx$ ale acestuia, forțele tăietoare T_z dau naștere tensiunilor τ_{xz} constante pe lățimea secțiunii b având direcția tangentei la contur, paralele cu forță tăietoare T_z . Intensitatea lor la distanța z de axa neutră este dată de formula lui Juravski.

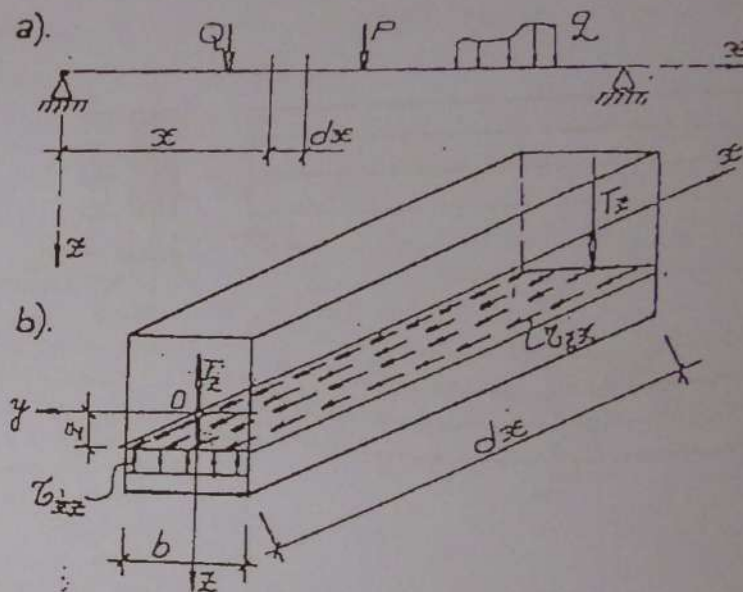


Fig. 13.8

Conform celor arătate mai sus, acestora le vor corespunde tensiuni în planele longitudinale $\tau_{xz} = \tau_{zx}$, orientate spre sau dinspre muchia lor comună. Cumulând aceste tensiuni pe suprafața elementară $b dx$ se obține forța de alunecare elementară:

$$dL = b \cdot \tau_{xz} \cdot dx = b \cdot \frac{T_z \cdot S_y}{bI_y} \cdot dx = \frac{T_z \cdot S_y}{I_y} \cdot dx$$

Pe o lungime de grindă cuprinsă între abscisele x_1 și x_2 , forța de alunecare longitudinală va avea valoarea:

$$L_c = \int_{x_1}^{x_2} dL = \int_{x_1}^{x_2} \frac{T_z S_y}{I_y} dx = \frac{T_z S_y}{I_y} (x_2 - x_1) = L_c = \frac{T_z \cdot S_y}{I_y} \cdot e \quad (13.16)$$

în care s-a notat $x_2 - x_1 = e$ lungimea de grindă pe care s-a calculat lunecarea. Având în vedere că

$T_z = \frac{dM_y}{dy}$ (conform relației 7.4) expresia forței de lunecare L , ia forma:

$$L_e = \frac{S_y}{I_y} \cdot \int_{x_1}^{x_2} \frac{dM_y}{dx} dx = \int_{x_1}^{x_2} dM_y = M_y \Big|_{x_1}^{x_2} = \frac{S_y}{I_y} (M_2 - M_1) \quad (13.17)$$

în care M_1 și M_2 reprezintă momentele încovoietoare M_y din secțiunile de abscise x_1 și x_2 (vezi fig. 13.9).

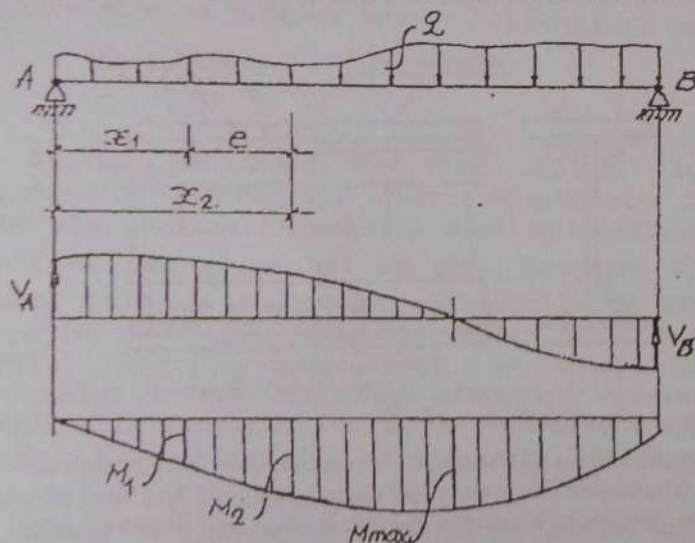


Fig. 13.9

13.4 CALCULUL ELEMENTELOR DE SOLIDARIZARE LA GRINZILE METALICE DE SECȚIUNE COMPUSĂ

Grinzile metalice de secțiune compusă sunt alcătuite dintr-o inimă și două tălpi solidarizate între ele cu sudură (fig. 13.10,a) sau cu nituri (fig. 13.11,a).

Deși total diferite, cele două moduri de asigurare a conlucrării dintre elementele componente ale secțiunii au același rol: preluarea forțelor de lunecare și împiedicarea luncărilor între inimă și tălpi.

a) Grinzi compuse solidarizate prin sudură (fig. 13.10)

În raport de mărimea și natura solicitărilor, grinzi sudate pot fi executate cu sudură continuă (fig. 13.10,b) sau discontinuă (fig. 13.10,c).

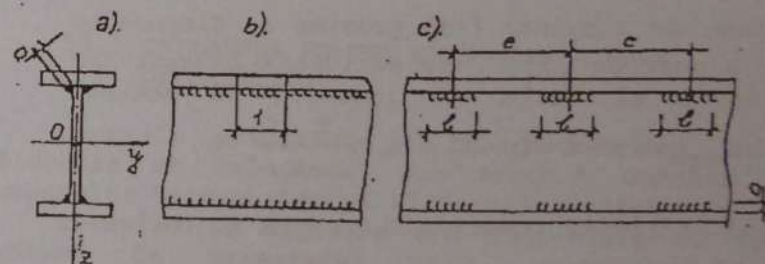


Fig. 13.10

Calculul cordoanelor de sudură continue revine la stabilirea grosimii acestora a. Pentru aceasta, cu relația (13.16) se calculează forța de lunecare L pe unitatea de lungime:

$$L_1 = \frac{T_z \cdot S_y}{I_y} \cdot 1 = \frac{T_z S_y}{I_y} \quad (13.18)$$

Efortul capabil al celor două cordoane de sudură (fig. 13.10,a) pe aceeași lungime unitară, se calculează cu relația (10.23):

$$N_{cap,s} = A_s \cdot R_f^s = 2 \cdot a \cdot 1 \cdot R_f^s$$

Punând condiția ca efortul capabil al sudurii $N_{cop,s}$ să fie mai mare, la limită egal cu forța de lunecare L_1 , vom avea: $2 \cdot a \cdot R_f^s = \frac{T_z \cdot S_y}{I_y}$, din care rezultă

$$a_{nec} = \frac{T_z \cdot S_y}{2 I_y R_f^s} \quad (13.19)$$

Grosimea a va trebui să îndeplinească concomitent cerința constructivă $3 \text{ mm} \leq a \leq 0,7t$, în care t reprezintă grosimea minimă a pieselor care se îmbină. Valoarea rezistenței de calcul la forfecare a sudurii se ia $R_f^s = 0,6R$.

Pentru calculul cordoanelor de sudură discontinue, de lungimea l și grosime a , dispuse la distanța e unul de altul, se evaluează capacitatea lor portantă și forța de lunecare pe această lungime: $N_{cop,s} = 2 \cdot a \cdot l_c \cdot R_f^s$; $L_2 = \frac{T_z \cdot S_y}{I_y} \cdot e$.

Luând la limită condiția $N_{cop,s} \geq L_2$ se obține:

$$2al_c R_f^s = \frac{T_z \cdot S_y}{I_y} \cdot e \quad (13.20)$$

Dimensionarea cordoanelor de sudură revine la stabilirea dimensiunilor acestora (a, l) și a distanței dintre ele (e), în care scop ecuația (13.20) este insuficientă.

Ca urmare a acestui fapt se aleg două dintre necunoscutele a , l și e și se calculează cea de a treia. De regulă se aleg:

- grosimea sudurii a astfel încât aceasta să satisfacă condiția constructivă $3 \text{ mm} \leq a \leq 0,7 t_{\min}$

- lungimea nominală l a cordoanelor de sudură după care se calculează lungimea lor de calcul $l_c = l - 2a$ (la capete pe câte o lungime a cusăturile de sudură nesatisfăcând cerințele de calitate ale unei suduri de rezistență).

Cu elementele a și l_c cunoscute din relația (13.20) se calculează distanța e dintre cusăturile de sudură:

$$e = \frac{2 \cdot a \cdot l_c \cdot I_y \cdot R_f^s}{T_z \cdot S_y} \quad (13.21)$$

b) Grinzi de secțiune compusă solidarizate cu nituri (fig. 13.11)

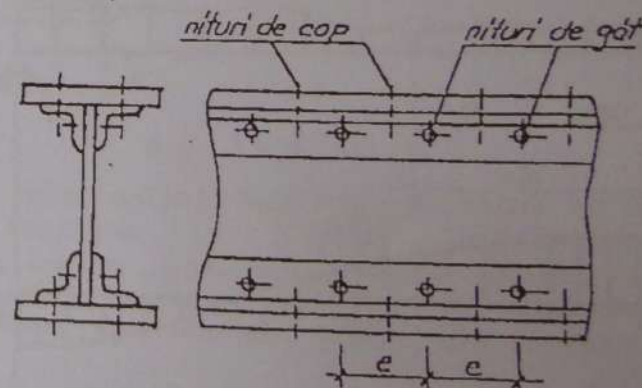


Fig. 13.11

La încovoierea grinzelor realizate în această execuție, platbenzile din alcătuirea tălpilor au tendința de lunecare după planul ce le separă de corniere. Notând cu S_y^p momentul static al platbenzilor față de axa neutră y , forța de lunecare din planul de lunecare precizat, calculată cu relația (13.16) pe o lungime e se va scrie:

$$L_{1e} = \frac{T_z \cdot S_y^p}{I_y} \cdot e \quad (13.20)$$

Pe de altă parte, întreg ansamblul tălpii (corniere + plalbenzi) are tendința de lunecare în raport de înălțimea secțiunii, după fețele în contact dintre acestea.

Notând cu S_y^t momentul static al întregii tălpi (corniere+platbenzi) în raport cu axa neutră, forța ce ia naștere în plancele de lunecare arătate, pe lungimea e se va exprima prin relația

$$L_{2e} = \frac{T_z \cdot S_y^t}{I_y} \cdot e \quad (13.23)$$

Pentru preluarea forțelor L_{1e} și L_{2e} și împiedicarea lunecărilor dintre elementele componente ale secțiunii, acestea sunt solidarizate cu nituri de cap și nituri de gât. Deoarece $S_y^t > S_y^p$ rezultă că $L_{2e} > L_{1e}$ astfel că niturile de gât vor fi solicitate mai puternic decât cele de cap. Calculul lor de rezistență se face conform aliniatului 10.4.n: se alege diametrul nitului din considerații constructive și se stabilește efortul capabil al unui nit $N_{1, \text{cap}}^n$ din condiția de forfecare și strivire cu relația (10.14).

Având în vedere că fiecare nit preia forța de lunecare de pe lungimea de grindă e , condiția de rezistență a îmbinării se va exprima prin relația:

$N_{1, \text{cap}}^n \geq L_{2e}$, care luată la limită conduce la egalitatea $N_{1, \text{cap}}^n = \frac{T_z \cdot S_y^t}{I_y} \cdot e$, din care se calculează distanța maximă ce poate fi prevăzută între nituri:

$$e_{\max} = \frac{I_y \cdot N_{1, \text{cap}}^n}{T_z \cdot S_y^t} \quad (13.21)$$

Distanța e adoptată trebuie să se încadreze în distanțele constructive (maxime și minime) prevăzute în normele tehnice privitoare la executarea construcțiilor metalice nituite.

Niturile de cap 1, mai puțin solicitate, se dispun constructiv la aceeași distanță e , intercalate între niturile de gât (fig. 13.11 a,b).

13.5 INFLUENȚA FORȚEI TĂIETOARE ASUPRA DEPLASĂRIILOR

Grinzile solicitate la încovoiere cu forța tăietoare se deformează sub efectul cumulat al momentelor încovoietor și al forțelor tăietoare.

Rotirile și săgețile din încovoiere au fost studiate în paragraful 12.3, stabilindu-li-se ecuația diferențială și modul de calcul.

Forța tăietoare pe o grindă are ca efect deplasarea (lunecarea) relativă a două secțiuni vecine care determină o săgeată suplimentară (w_t).

Fie dx distanța dintre cele două secțiuni și dw_t lunecarea lor relativă, egală cu deplasarea $O_1 O'_1$ a punctului O_1 pe verticală (fig. 13.12).

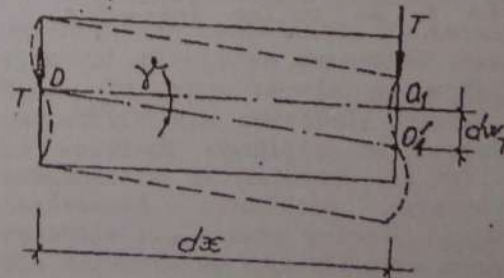


Fig. 13.12

Deformația unghiulară corespunzătoare acestei deplasări este reprezentată prin unghiul γ_n format de axa nedeformată OO_1 cu axa deviată OO'_1 .

Din considerente matematice

$$\operatorname{tg} \gamma \equiv \gamma_m = \frac{0_1 0_1'}{dx} = \frac{dw_T}{dx}$$

Pe de altă parte, în baza legii lui Hooke $\gamma_m = \frac{\tau}{G}$, în care G reprezintă modulul de elasticitate transversală a materialului din componenta grinzii. Egalând valorile γ_m stabilite mai sus se obține

$$\frac{dw_T}{dx} = \frac{\tau}{G} \quad (13.25)$$

Tensiunea tangențială τ , prezentând o distribuție neuniformă pe secțiune (fig. 13.3, 13.4, 13.5) poate fi scrisă sub forma

$$\tau = k \cdot \frac{T_z}{A} \quad (13.26)$$

k reprezentând un coeficient care ține seama de neuniformitatea tensiunilor pe înălțimea secțiunii.

Pentru secțiunile dreptunghiulare, circulare și în formă de I, k ia valorile 1,20; 1,10 și respectiv 2,00...2,50.

Înlocuind relația (13.26) în ecuația (13.25) se obține:

$$\frac{dw_T}{dx} = k \cdot \frac{T_z}{GA} \quad (13.27)$$

care reprezintă ecuația diferențială a axei deformată din forță tăietoare. Similar deplasărilor din încovoiere, săgeata w_T se obține integrând ecuația (13.27):

$$w_T = \frac{k}{GA} \int T_z dx + C \quad (13.28)$$

Dacă $T_z = \text{constant}$, $w_T = \frac{kT_z}{GA} x + C$. Constanta C se determină din condiții limită.

Pentru exemplificare vom determina în continuare săgeata pe o consolă încovoiată cu o sarcină concentrată la capătul ei liber (fig. 13.13).

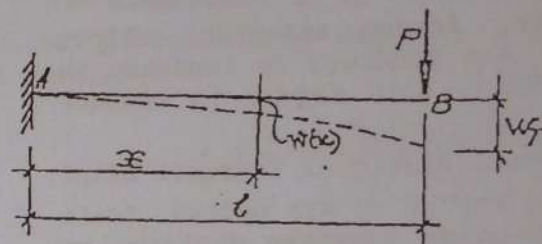


Fig. 13.13

În acest caz, $T_z = P = \text{constant}$ iar ecuația diferențială a axei deformată a barei din forță tăietoare (13.27) devine

$$\frac{dw_T}{dx} = k \frac{P}{GA}$$

Integrând o dată, se obține $w_T = \frac{kP}{GA} x + C$, în care C reprezintă o constantă de integrare care se determină din condiția ca în secțiunea de încastrare ($x=0$), săgeata să fie nulă ($w_T = 0$). Introducând condiția în ecuația de mai sus, rezultă $C = 0$ și apoi

$$w_T = \frac{kP}{GA} \cdot x \quad (13.29)$$

Pentru $x = l$, se obține săgeata maximă din forța tăietoare:

$$w_{T, \max} = f_T = \frac{kP}{GA} \cdot l \quad (13.30)$$

Săgeata totală la capătul liber al consolei se compune din săgețile date de momentul încovoiator (relația 12.26') și forța tăietoare (relația 13.30) va fi:

$$f = f_M + f_T = \frac{Pl^3}{3EI_y} + \frac{kP}{GA} = \frac{Pl^3}{3EI_y} \left(1 + \frac{3kEI_y}{GA l^2} \right)$$

Pentru bara de secțiune dreptunghiulară

$$k = \frac{6}{5} = 1,2, \quad \frac{I_y}{A} = \frac{bh^3}{12bh} = \frac{h^2}{12} \text{ astfel că vom avea:}$$

$$f = \frac{Pl^3}{3EI_y} \left(1 + \frac{3E}{10G} \cdot \frac{h^2}{l^2} \right) \quad (13.31)$$

Se observă cu ușurință că săgeata suplimentară produsă de forța tăietoare depinde de raportul $\frac{h^2}{l^2}$.

Pentru grinzile obișnuite, acest supliment este în jur de 4% din săgeata dată de moment, motiv pentru care deformările acestora se calculează numai din acțiunea momentului, conform celor arătate în paragraful 12.3.

La grinzile scurte și înalte, puternic sollicitate, aportul deformărilor din forța tăietoare devine important și trebuie luat în calcul.

13.6 CALCULUL PRACTIC DE REZISTENȚĂ LA ÎNCOVOIEREA CU FORȚĂ TĂIETOARE

Din acțiunea simultană a eforturilor M_y și T_x într-o secțiune transversală a unei grinzi încovoiate iau naștere atât tensiuni normale σ - maxime în fibrele extreme - cât și tensiuni tangențiale τ maxime în axa neutră.

Întrucât cedarea (ruperea) unei grinzi într-o secțiune poate fi produsă atât de tensiunile normale cât și de cele tangențiale, la încovoierea cu forță tăietoare este necesar a fi impuse două condiții de rezistență, ambele obligatorii în toate secțiunile grinzii:

$$\sigma_{\max} = \frac{M_y}{W_y} \leq R \quad (13.32)$$

$$\tau_{\max} = \frac{T_x \cdot S_y^0}{b_0 I_y} \leq R_t, \quad (13.33)$$

în care S_y^0 reprezintă momentul static în raport cu axa y a părții de secțiune cuprinse între $z = 0$ și $z = z_{\max}$ iar b_0 lățimea secțiunii ce lunecă la cota $z = 0$. Condiția de rezistență în tensiunile normale σ este utilizată cu totul identic ca și în cazul încovoierii pure (v. aliniatul 12.4). Spre deosebire de aceasta, condiția de rezistență în tensiuni τ este folosită numai la verificarea și stabilirea capacității portante. Verificarea unei secțiuni revine la compararea tensiunii efective τ_{\max} cu rezistența de calcul a materialului la forfecare R_t . Secțiunea satisface condiția de rezistență atunci când relația (13.33) este verificată. Capacitatea portantă a unei secțiuni este atinsă atunci când $\tau_{ef} = R_t$. Introducând această egalitate în relația (13.33) se obține

$$T_{x, \text{cap}} = \frac{b_0 I_y \cdot R_t}{S_y^0} \quad (13.34)$$

La dimensionarea grinzilor este folosită numai condiția de rezistență în tensiuni normale σ cu ajutorul căreia se determină modulul de rezistență $W_{y, \text{nec}}$ în baza căruia se stabilesc dimensiunile geometrice ale secțiunii. Odată acestea adoptate, se verifică condiția de rezistență la tensiuni tangențiale cu relația (13.33). Dacă calculul de rezistență urmărește determinarea încărcării capabile P_{cap} a unei grinzi, cerințele de rezistență ale acesteia se exprimă prin condiția ca eforturile maxime produse de încărcarea exterioară $M_y (P)$ și

$T(P)$ să fie inferioare la limită egale cu eforturile capabile ale secțiunii barei:

$$T_1(P) = T_{z, \text{cap}} \quad (13.35)$$

$$M_y(P) = M_{y, \text{cap}}$$

Cele două egalități conduc la două valori, una din condiția de forță tăietoare P_{cap}^T și alta din condiția de moment P_{cap}^M .

Forța capabilă a grinzii va fi reprezentată de valoarea minimă: $P_{\text{cap}} = \min \{P_{\text{cap}}^T; P_{\text{cap}}^M\}$.

13.7 TENSIUNI TANGENȚIALE ÎN SECȚIUNI LA CARE FORȚA TĂIETOARE NU ACȚIONEAZĂ DUPĂ O AXĂ DE SIMETRIE. CENTRU DE ÎNCOVOIERE SAU FORFECARE

La grinzile ce prezintă un plan de simetrie longitudinală, confundat cu planul încărcărilor exterioare, forță tăietoare T_z , conținută și ea în planul forțelor, este dirijată după axa de simetrie a secțiunii (fig. 13.3, 13.4, 13.5), formează un sistem static echivalent cu tensiunile tangențiale τ_{xz} , exprimat prin relația (6.8):

Dacă însă planul forțelor conține o axă principală de inerție a secțiunii, care nu este și axă de simetrie, forța tăietoare T_z trecând prin centrul de greutate al secțiunii și dirijată după axa menționată, nu va mai forma un sistem echivalent cu tensiunile tangențiale τ din secțiune.

Pentru ilustrare vom considera o grindă realizată dintr-un profil U încărcată în planul principal de inerție Oxz cu forța concentrată P (fig. 13.14, a).

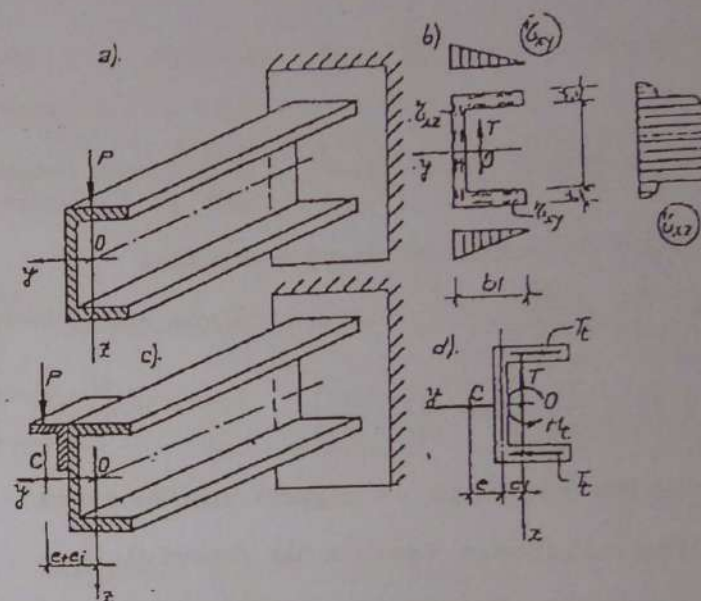


Fig. 13.14

Din acțiunea forței tăietoare rezultate $T_z = P$, în secțiunile barei iau naștere tensiuni tangențiale τ al căror flux, obținut cu formula lui Juravski printr-un calcul similar celui efectuat în aliniatul 13.2, c pentru profilul I, este indicat în figura 13.14, b.

Cu notațiile din figură, rezultanta tensiunilor τ_{xy} din tălpi T_t va avea valoarea

$$T_t = \frac{1}{2} \tau_{xy, \text{max}} \cdot b_1 \cdot t = \frac{1}{2} \cdot \frac{T b_1 t}{2 t I_y} h_1 \cdot b_1 t = \frac{T b_1^2 h_1 t}{4 I_y} \quad (13.36)$$

La rândul ei, rezultanta T_t a tensiunilor τ_{xz} din inimă, poate fi aproximată cu suficientă precizie cu forța T din secțiune.

Introducând forțele T_t și T în centrele de greutate ale ariilor tălpilor și inimii se obține sistemul arătat în figura 13.14, c. Reducând forțele acestuia în centrul de greutate O al secțiunii se

obține o forță tăietoare $T_2 = T_1$ și un moment de torsiune $M_t = T_c \cdot h_1 + T_1 \cdot e_1$, prin urmare, din acțiunea forței P acționând în planul xOz în secțiunile consolei ia naștere un flux al tensiunilor τ echivalent cu forță tăietoare T_2 .

Prin aceasta, starea de sollicitare a barei devine mai complexă, la momentul încovoietor M_y și forța tăietoare T_2 , adăugându-se și un moment de torsiune M_t . Dacă planul de acțiune al forțelor P ar fi translatat într-un punct C de pe axa de simetrie a secțiunii, la distanța e de linia mediană a inimii astfel încât forța P să producă în centrul de greutate O un moment $M_{t,P} = P(e + e_1)$ egal și de sens opus cu momentul $M_t = T_c \cdot h_1 + T_1 \cdot e_1$ al forțelor T_1 și T_c , cele două momente s-ar anula reciproc, iar secțiunea barei ar rămâne sollicitată numai la încovoiere și forfecare (fig. 13.14,d):

Vom căuta deci poziția punctului C din condiția $M_{t,P} = M_t$:

$$P(c + e_1) = T(c + e_1) = T_c h_1 + T \cdot e_1 \text{ sau}$$

$$T \cdot c + T \cdot e_1 = T_c \cdot h_1 + T \cdot e_1$$

din care

$$c = \frac{T_c \cdot h_1}{T} = \frac{T \cdot b_1^2 h_1^2 t}{4I_y T} = \frac{b_1^2 h_1^2}{4I_y} t \quad (13.37)$$

Punctul C definit și determinat ca mai sus, poartă denumirea de centru de încovoiere sau forfecare a secțiunii.

Dacă forța exterioară P trece prin acest punct, între fluxul tensiunilor τ și efortul secțional T_2 va exista echivalență, iar grinda va fi sollicitată numai la încovoiere și forfecare, nu și la torsiune. Privitor la poziția centrului de încovoiere la secțiunile de grinzi uzuale, aceasta este următoarea:

- în centrul de simetrie, în cazul secțiunilor prezentând două axe de simetrie (fig. 13.15,a)
- pe axa de simetrie, în cazul barelor prezentând o astfel de axă (fig. 13.15 b,c)
- în punctul de intersecție al axelor drepte ale dreptunghiurilor componente ale secțiunilor compuse într-o astfel de alcătuire (fig. 13.15,d,e și f).

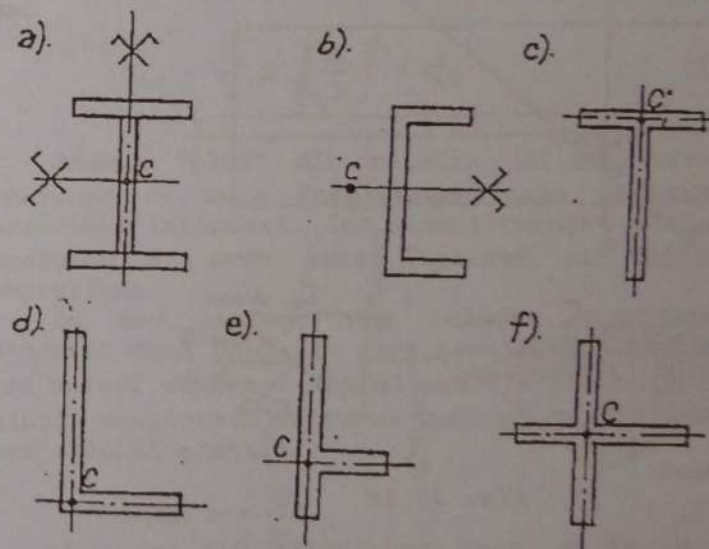


Fig. 13.15

13.8 TENSIUNI PRINCIPALE ȘI DIRECȚII PRINCIPALE LA ÎNCOVOIEREA CU FORȚĂ TĂIETOARE

Așa cum s-a arătat în paragraful 13.1, în punctele secțiunilor normale ale barelor sollicitate la încovoierea cu forfecare iau naștere tensiuni normale σ , date de formula lui Nevier și tensiuni tangențiale τ date de formula lui Juravski.

Sunt oare aceste tensiuni cele mai mari ce pot apare într-un punct considerat?

În secțiuni, altele decât cele normale, trecând prin același punct, nu apar oare tensiuni normale și tangențiale superioare celor din secțiunile normale?

Pentru cunoașterea răspunsului la aceste întrebări se efectuează așa-numitul studiu al stării de tensiune în jurul unui punct.

În acest scop se detașează din jurul punctului considerat o prismă infinitezimală obținută prin secționarea grinzii cu planul normal 1-1, planul longitudinal paralel cu fâșia neutră 2-2 și cu planul înclinat 3-3 (fig. 13.16).

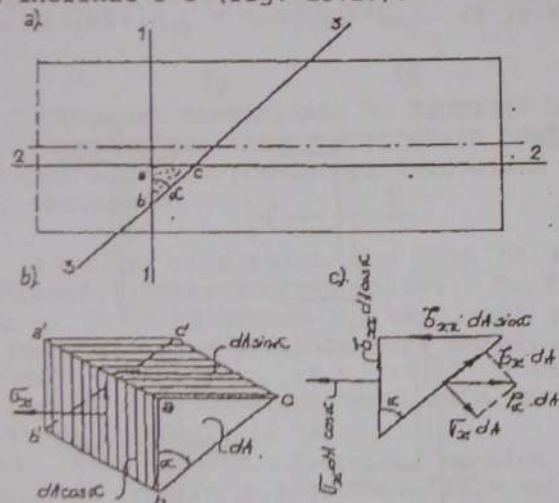


Fig. 13.16

Dacă σ_x și τ_{xz} sunt tensiunile din punct în secțiunea normală, în baza principiului dualității tensiunilor tangențiale τ în secțiunea longitudinală $acc'a'$ vor lua naștere tensiuni $\tau_{zx} = \tau_{xz}$ (fig. 13.16, b și c).

Distribuite uniform pe fețele în care apar, tensiunile menționate reprezintă efectul părților înălțurate în secțiunile respective. Înlocuind același efect în secțiunea înclinată $bcc'b'$ prin

tensiunile totale p_α , de componente σ_α și τ_α , continue și uniform distribuite în secțiune, prisma elementară izolată (fig. 13.16, b) va fi solicitată în același mod ca și în grindă (fig. 13.16, a). Notând cu dA suprafața înclinată $bcc'b'$, ariile suprafețelor $abb'a'$ și $acc'a'$ vor fi $dA \cos \alpha$ și $dA \sin \alpha$, iar rezultantele tensiunilor de pe ele $\sigma_\alpha dA$, $\tau_\alpha dA$, $\sigma_x dA \cos \alpha$, $\tau_{xz} dA \cos \alpha$ și $\tau_{zx} dA \sin \alpha$, cu sensurile și direcțiile din figura 13.16, c.

Exprimând echilibrul acestora prin două ecuații de proiecții nule pe direcția σ_α și τ_α se obține:

$$\sigma_\alpha dA - \sigma_x \cos \alpha \cdot \cos \alpha - \tau_{xz} \cdot dA \cos \alpha \cdot \sin \alpha - \tau_{zx} dA \sin \alpha \cdot \cos \alpha = 0,$$

$$\tau_\alpha dA - \sigma_x dA \cos \alpha \sin \alpha + \tau_{xz} \cos \alpha \cdot \cos \alpha - \tau_{zx} dA \sin \alpha \cdot \sin \alpha = 0.$$

Având în vedere că $\tau_{xz} = \tau_{zx}$, relațiile devin:

$$\sigma_\alpha = \sigma_x \cos^2 \alpha + 2\tau_{xz} \sin \alpha \cos \alpha; \tau_\alpha = \sigma_x \cos \alpha \sin \alpha - \tau_{xz} (\cos^2 \alpha - \sin^2 \alpha),$$

care se mai scriu:

$$\sigma_\alpha = \frac{\sigma_x}{2} (1 + \cos 2\alpha) + \tau_{xz} \sin 2\alpha \quad (13.38, a)$$

$$\tau_\alpha = \frac{\sigma_x}{2} \sin 2\alpha - \tau_{xz} \cos 2\alpha \quad (13.38, b)$$

Relațiile (13.38, a) și (13.38, b) pun în evidență că tensiunile σ_α și τ_α într-o secțiune înclinată trecând prin punct, variază cu înclinarea acesteia, notată cu unghiul α .

Pentru determinarea valorilor extreme ale acestora, de interes deosebit în calculele de rezistență, vom anula succesiv derivatele în raport cu α a funcțiilor σ_α și τ_α date de relațiile (13.38, a) (13.38, b). Efectuând derivatele menționate se obține:

$$\frac{d\sigma_\alpha}{d\alpha} = -\sigma_x \sin 2\alpha + 2\tau_{xz} \cos 2\alpha =$$

$$= -2 \left(\frac{\sigma_x}{2} \sin 2\alpha - \tau_{xz} \right) \cos 2\alpha = -2\tau_{xz} = 0 \quad (13.39a)$$

$$\frac{d\tau_{\alpha}}{d\alpha} = \sigma_x \cos 2\alpha + 2\tau_{xz} \sin 2\alpha = 0 \quad (13.39b)$$

Din relațiile de mai sus se deduce că tensiunile σ_{α} au valori extreme în secțiunea în care tensiunile τ_{xz} sunt nule (de anulare a derivatei $\frac{d\sigma_{\alpha}}{d\alpha}$). Notând cu α_1 secțiunile în care acestea iau naștere, din aceeași relație se obține ecuația

$$\operatorname{tg} 2\alpha_1 = \frac{2\tau_{xz}}{\sigma_x} \quad (13.40)$$

a cărei soluție generală are forma: $2\alpha_1 = 2\alpha' + k\pi$ ($k = 0, 1$ și $0 < \alpha' < \pi$).

Pentru $k=0$ și $k=1$ se obțin două direcții ($\alpha_1 = \alpha'$ și $\alpha_1' = \alpha' + \frac{\pi}{2}$), ortogonale între ele, în care tensiunile normale σ iau valori extreme, maxime și minime. Secțiuni având aceste direcții se numesc *secțiuni principale* iar tensiunile din ele, *tensiuni normale principale*.

Pentru determinarea acestora, se înlocuiesc în ecuația (13.38, a) funcțiile trigonometrice $\sin 2\alpha$ și $\cos 2\alpha$ prin tangenta unghiului dublu ($\operatorname{tg} 2\alpha$) din relația (13.40):

$$\sin 2\alpha_1 = \pm \frac{\operatorname{tg} 2\alpha_1}{\sqrt{1 + \operatorname{tg}^2 2\alpha_1}} = \pm \frac{\tau_{xz}}{\sqrt{\left(\frac{\sigma_x}{2}\right)^2 + \tau_{xz}^2}}$$

$$\cos 2\alpha_1 = \pm \frac{1}{\sqrt{1 + \operatorname{tg}^2 2\alpha_1}} = \pm \frac{\frac{\sigma_x}{2}}{\sqrt{\left(\frac{\sigma_x}{2}\right)^2 + \tau_{xz}^2}}$$

Notând σ_1 și σ_2 tensiunile normale principale, cu precizările de mai sus, se obține:

$$\sigma_{1,2} = \frac{\sigma_x}{2} \pm \frac{\frac{\sigma_x}{2}}{\sqrt{\left(\frac{\sigma_x}{2}\right)^2 + \tau_{xz}^2}},$$

sau

$$\sigma_{1,2} = \frac{\sigma_x}{2} \pm \sqrt{\left(\frac{\sigma_x}{2}\right)^2 + \tau_{xz}^2} \quad (13.41)$$

Semnul "plus" din relația (13.41) determină tensiunea σ_1 care întotdeauna este pozitivă și reprezintă întindere, iar semnul "minus" conduce la tensiunea σ_2 care este negativă și reprezintă compresiune.

În mod analog, din relația (13.39, b) se determină două plane în care tensiunile tangențiale τ au valori extreme. Notând poziția acestora cu α_2 , relația menționată ia forma $\sigma_x \cos 2\alpha_2 + 2\tau_{xz} \sin 2\alpha_2 = 0$ din care rezultă ecuația

$$\operatorname{tg} 2\alpha_2 = -\frac{\sigma_x}{2\tau_{xz}} \quad (13.42)$$

a cărei soluție generală are forma

$2\alpha_2 = 2\alpha_2' + k\pi$ ($k = 0, 1$ și $0 < \alpha_2' < \pi$). Pentru $k=0$ și $k=1$, se obțin două direcții $\alpha_2 = \alpha_2'$ și $\alpha_2' = \alpha_2' + \frac{\pi}{2}$.

Pentru găsirea valorii tensiunilor τ din aceste secțiuni, numite *tensiuni tangențiale principale*, notate cu τ_1 și τ_2 se înlocuiesc funcțiile $\sin 2\alpha$ și $\cos 2\alpha$ din ecuația (13.38, b), în

funcție de tangenta unghiului dublu dată de relația (13.41):

$$\sin 2\alpha_2 = \pm \frac{\operatorname{tg} 2\alpha_2}{\sqrt{1 + \operatorname{tg}^2 2\alpha_2}} = \pm \frac{\left(\frac{\sigma_x}{2}\right)}{\sqrt{\left(\frac{\sigma_x}{2}\right)^2 + \tau_{xz}^2}}$$

$$\cos 2\alpha_2 = \pm \frac{1}{\sqrt{1 + \operatorname{tg}^2 2\alpha_2}} = \pm \frac{\tau_{xz}}{\sqrt{\left(\frac{\sigma_x}{2}\right)^2 + \tau_{xz}^2}}$$

Vom obține:

$$\tau_{1,2} = \frac{\left(\frac{\sigma_x}{2}\right)^2 + \tau_{xz}^2}{\pm \sqrt{\left(\frac{\sigma_x}{2}\right)^2 + \tau_{xz}^2}} = \pm \sqrt{\left(\frac{\sigma_x}{2}\right)^2 + \tau_{xz}^2}$$

sau

$$\tau_{1,2} = \pm \frac{\sigma_1 - \sigma_2}{2} \quad (13.43)$$

Făcând produsul $\operatorname{tg} 2\alpha_1 \cdot \operatorname{tg} 2\alpha_2 = \frac{2\tau_{xz}}{\sigma_x} \left(-\frac{\sigma_x}{2\tau_{xz}}\right) = -1$, rezultă că direcțiile $2\alpha_1$ și $2\alpha_2$ sunt ortogonale, adică diferă cu $\frac{\pi}{2}$, prin urmare $2\alpha_1 = 2\alpha_2 + \frac{\pi}{2}$ sau

$\alpha_1 = \alpha_2 + \frac{\pi}{4}$, în consecință, secțiunile în care apar

tensiunile tangențiale maxime formează cu secțiunile în care apar tensiunile normale maxime, unghiuri de 45° .

Tensiunile principale σ_1 , σ_2 , τ_1 și τ_2 diferă de la un punct la altul al unei secțiuni și de la o secțiune la alta a unei grinzi întrucât și tensiunile σ_x și τ_{xz} variază pe înălțimea unei

secțiuni și în lungul grinzii. Deoarece condițiile de rezistență a unei grinzi impun ca tensiunile maxime de întindere, de compresiune și de forfecare din orice punct să fie inferioare rezistențelor de calcul la întindere, compresiune și forfecare ($\sigma_{1,\max} \leq R_t$, $\sigma_{2,\max} \leq R_c$, $\tau_{\max} \leq R_f$) apare nevoia stabilirii punctelor în care apar tensiunile principale maxime. Selectarea acestora pe cale analitică este însă dificilă. Având în vedere structura relațiilor (12.7) și (13.1) este evident că acestea trebuie căutate în puncte ale secțiunilor în care eforturile M_y și T_z au simultan valori mari. Pentru aceasta, în aceste secțiuni se trasează diagrame σ_1 , σ_2 și $\tau_{1,2}$ folosind în acest scop relațiile (13.41) și (13.43).

La secțiunile dreptunghiulare (fig. 13.17) și în general la cele fără salturi bruște, tensiunile σ_1 , σ_2 nu depășesc tensiunile extreme $\sigma_{x,\max}$, $\sigma_{x,\min}$ din secțiunea normală respectivă.

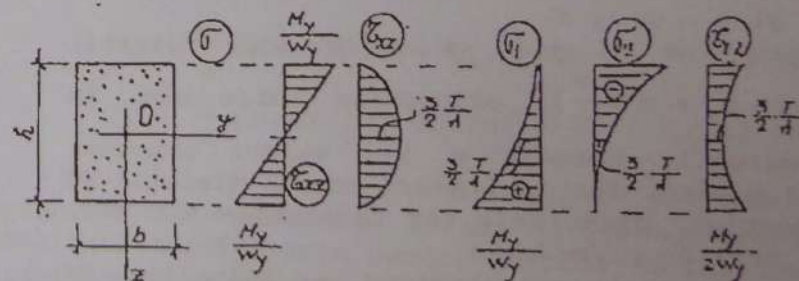


Fig. 13.17

În cazul grinzilor având secțiunea în formă de I (fig. 13.18) și în general atunci când secțiunea prezintă variații bruște de alcătuire, tensiunile principale maxime pot avea loc și în alte puncte decât cele situate pe fibrele extreme. Situația este specifică grinzilor de secțiune compusă

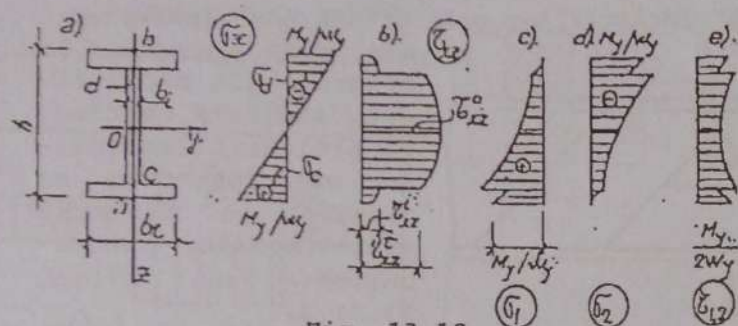


Fig. 13.18

nituite sau sudate la care tensiunile principale în punctele de pe linia de contact a inimii cu talpa pot atinge valori mai mari decât cele din fibrele extreme (dar nu mult diferite de acestea). La profilele laminate, datorită grosimii inimii suficient de mare, la rapoarte obișnuite între M_y și T_x , tensiunile principale maxime σ_1 și σ_2 corespund tensiunilor $\sigma_{x,max}$ și $\sigma_{x,min}$ din fibrele extreme.

Pe baza precizărilor de mai sus, în calculul de rezistență al grinzilor solicitate la încovoiere cu forfecare, sunt utilizate tensiunile din secțiunile normale $\sigma_{x,max}$, $\sigma_{x,min}$ în locul tensiunilor principale σ_1 și σ_2 .

13.9 TRAIECTORIILE TENSIUNILOR NORMALE PRINCIPALE LA GRINZILE ÎNCOVOIATE

Așa cum s-a văzut în aliniatul 13.8, tensiunilor σ_x și τ_{xy} , de pe fețele unui element infinitezimal decupat din jurul unui punct le corespund două direcții (1-1 și 2-2) ortogonale care corespund două tensiuni extreme: σ_1 de întindere și σ_2 de compresiune.

Dacă într-un punct arbitrar i_1 al unei secțiuni s_1-s_1 dintr-o grindă încovoiată se

determină direcția 1-1 a tensiunii σ_1 și se prelungește până în secțiunea infinit vecină s_2-s_2 se obține punctul i_2 . Calculând și în acest punct direcția 1-1 a tensiunii σ_1 și prelungind-o până la următoarea secțiune infinit vecină, se va obține un alt punct i_3 (fig. 13.19,a). Continuând această construcție pentru o serie de puncte și secțiuni succesive, se obține o linie frântă care la limită devine o linie curbă numită *traiectoria tensiunii principale σ_1* .

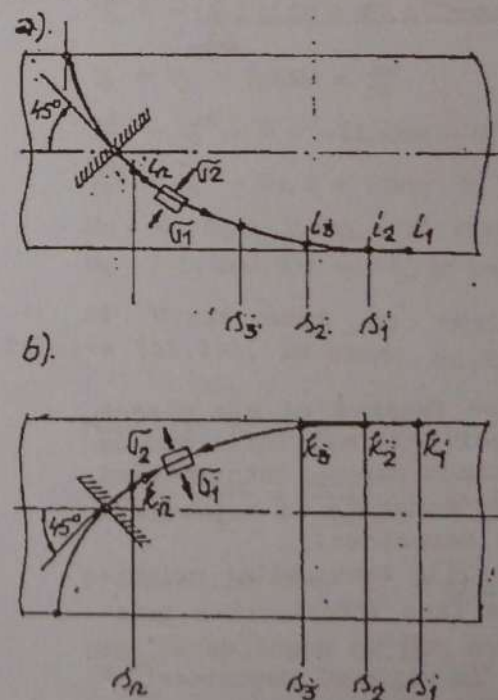


Fig. 13.19

În mod cu totul analog, pornind din punctul arbitrar k_1 se obțin punctele k_2, k_3, \dots, k_n și *traiectoria tensiunii principale σ_2* (fig. 13.19,b).

Fiecare din cele două traiectorii se bucură de proprietatea că în orice punct al lor, tensiunile principale σ_1 și respectiv σ_2 sunt tangente la curba respectivă. Pornind din alte două puncte i'_1 și k'_2 se obțin alte două traiectorii ș.a.m.d.

Rezultă astfel două familii de curbe reprezentând traiectoriile tensiunilor principale de întindere σ_1 și respectiv, traiectoriile tensiunilor principale de compresiune σ_2 . Deoarece în fiecare punct

direcțiile 1-1 și 2-2 sunt perpendiculare, rezultă că cele două familii de curbe sunt ortogonale. În figura (13.20,a) sunt prezentate traiectoriile tensiunilor principale la o grindă de secțiune dreptunghiulară simplu rezemată, încărcată cu o sarcină uniform distribuită.

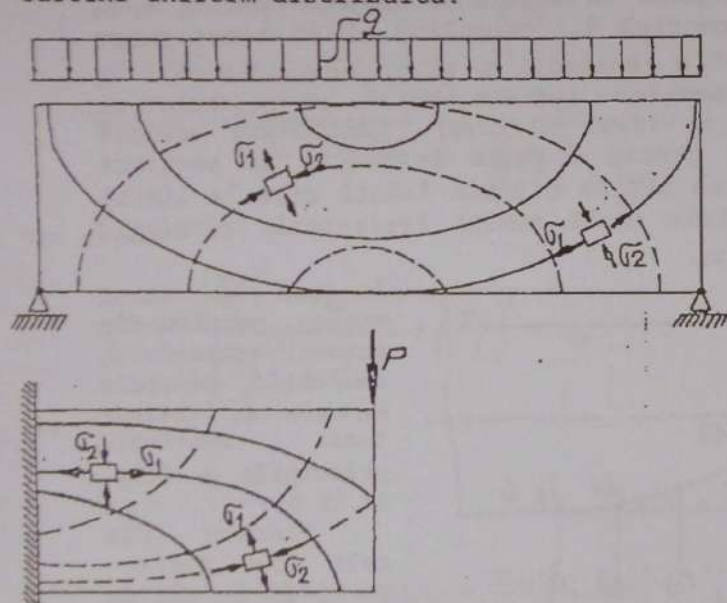


Fig. 13.20

Urmărind traseul acestora se observă că ele pleacă din punctele de pe fața superioară a grinzii sub un unghi drept, își reduc continuu panta, intersectând fâșia neutră la 45° și ajung tangente la orizontală în secțiunea de la mijlocul deschiderii.

La rândul lor, traiectoriile tensiunilor principale σ_2 pornesc normal de la fața inferioară a grinzii, taie și ele fâșia neutră sub un unghi de 45° și ajung tangente la orizontală la mijlocul deschiderii.

Pentru o consolă încărcată cu o forță concentrată la capătul liber, traiectoriile tensiunilor principale sunt arătate în figura 13.20,b.

Cunoașterea traiectoriilor tensiunilor principale σ_1 și σ_2 prezintă o importanță deosebită în alcătuirea rațională și dimensionarea unor elemente de construcție, oferind imaginea "scurgerii" încărcărilor prin grindă până la reazem.

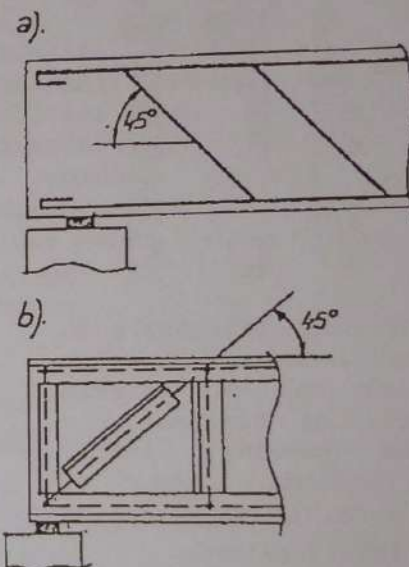


Fig. 13.21

Așa spre exemplu, la grinzile din beton armat, armătura destinată preluării tensiunilor de întindere se dispune pe direcția traiectoriilor tensiunilor σ_1 (fig. 13.21,a).

La grinzile metalice puternic solicitate cu grosime mică a inimii, la reazeme se dispun rigidizări după direcția tensiunilor σ_2 (fig. 13.21,b) pentru preluarea acestor tensiuni și împiedicarea pierderii stabilității prin deformări laterale.

13.10 EXEMPLE DE CALCUL

Exemplul 13.10.1 Grinda de lemn a planșului unei case este scoasă cu un capăt în consolă cu $l=1,20\text{m}$ (fig.13.22). Secțiunea transversală a grinzii are dimensiunile de $15 \times 20\text{ cm}$. Cunoșcând $R=130\text{ daN/cm}^2$ se cere:

- Verificarea de rezistență a grinzii;
- Diagramele σ și τ în secțiunea B^{dr};
- Săgeata și rotirea grinzii în C ($E=0,1 \cdot 10^6\text{ daN/cm}^2$); $P = 20\text{ kN}$, $q = 10\text{ kN/m}$

Rezolvare

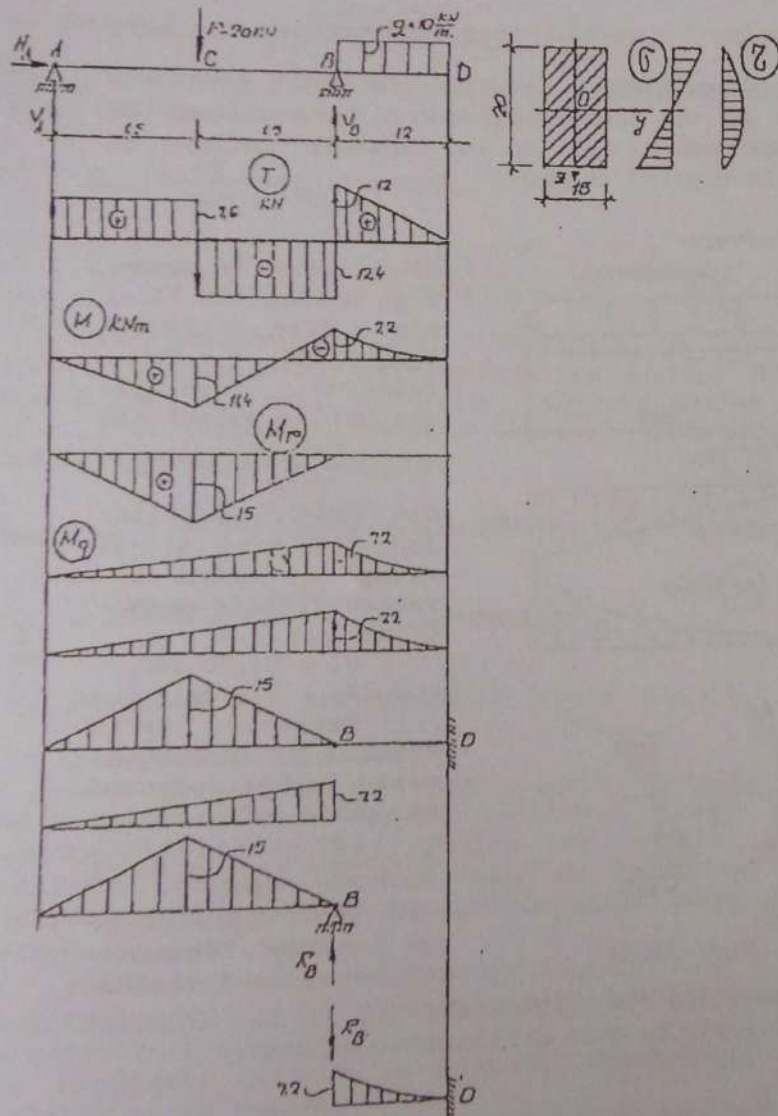


Fig. 13.22

- Se trasează diagramele T și M , calculând în prealabil reacțiunile și eforturile în secțiunile caracteristice.

$$R_x = \sum \text{Fix} = 0 \rightarrow H_A = 0$$

$$\sum M_B = 0; 3V_A - 1,5P + 1,2q \times 0,6 = 0 \rightarrow$$

$$V_A = \frac{1}{3}(1,5 \times 20 - 1,2 \times 6) = 7,6 \text{ kN}$$

$$\sum M_A = 0; 3V_B - 1,5P - 1,2q \cdot 3,6 = 0 \rightarrow$$

$$V_B = \frac{1}{3}(1,5 \times 20 + 43,2) = 24,4 \text{ kN}$$

$$T_A = V_A = 7,6 \text{ kN} = T_C^{\text{st}}$$

$$T_C^{\text{dr}} = T_C^{\text{st}} - P = -12,4 \text{ kN} = T_B^{\text{st}}$$

$$T_B^{\text{dr}} = T_B^{\text{st}} + 24,4 = 12 \text{ kN}; T_D = 0$$

$$M_A = 0; M_C = 1,5V_A = 11,4 \text{ kNm};$$

$$M_D = -1,2 \times 0,6 \cdot q = -7,20 \text{ kNm};$$

a) Verificarea de rezistență se face cu relația (12.29), în care:

$$M_{\text{max}} = 11,4 \text{ kNm}; W_y = \frac{bh^2}{6} = 15 \times \frac{20^2}{6} = 1000 \text{ cm}^3$$

$$\sigma_{\text{max}} = \frac{M_{\text{max}}}{W_y} = \frac{114000}{1000} = 114 \text{ daN/cm}^2 < R = 120 \text{ daN/cm}^2$$

$$b) M_B = -7,20 \text{ kNm}; \tau_B^{\text{dr}} = 1,2 \times 10 = 12 \text{ kN}$$

$$\sigma_{B, \frac{\text{max}}{\text{min}}} = \pm \frac{M_B}{W_y} = \pm \frac{72000}{1000} \pm 72 \text{ daN/cm}$$

$$\tau_{\text{max}} = \frac{3}{2} \frac{I}{A} = 1,5 \cdot \frac{1200}{300} = 4 \text{ daN/cm}^2$$

Diagramele σ și τ în secțiunea B^{dr} sunt date în figura 13.22, b.

c) Pentru calculul deformațiilor φ_0 și w_0 se utilizează metoda Mohr încărcându-se grinda conjugată (fig. 13.22,d) cu diagramele M_p și M_q (fig. 13.22,c) provenind din fiecare încercare simplă luată separat.

Conform relațiilor (12.19) și (12.20) deformațiile la capătul consolei se vor calcula cu relațiile: $\varphi_0 = \frac{T_{f,0}}{EI_y}$; $w_0 = \frac{M_{f,0}}{EI_y}$.

Rezolvarea grinzii conjugate și calculul eforturilor $T_{f,0}$ și $M_{f,0}$ se face conform §7.3.2, divizând grinda Gerber în structurile static determinate AB și BD (fig. 13.22,d). Se obțin:

$$R_B = +11,25 - 7,20 = 4,05 \text{ kNm}^2$$

$$R_A = +11,25 - 3,6 = 7,65 \text{ kNm}^2$$

Cu acestea:

$$T_{f,0} = -R_B + \frac{1}{3} 7,8 \times 1,2 = -1,38 \text{ kNm}^2$$

$$M_{f,0} = \frac{1}{3} \cdot 7,8 \times 1,2 \times \frac{3}{4} 1,2 - 1,2 R_B = 2,052 \text{ kNm}^3$$

$$I_y = \frac{15 \times 20^3}{12} = 10000 \text{ cm}^4$$

$$\varphi_0 = -\frac{1,38 \times 10^6}{0,1 \times 10^6 \times 10000} = -1,38 \cdot 10^{-3} \text{ rad}$$

$$w_0 = -\frac{2,052 \times 10^6}{0,1 \times 10^6 \times 10000} = -0,2052 \text{ cm.}$$

Semnele minus indică faptul că secțiunea de capăt a barei se rotește în sens trigonometric iar capătul consolei se ridică.

Exemplul 13.10.2

Grinda de susținere a unei copertine de intrare într-o clădire este realizată dintr-un

profil I, sub forma unei console de lungime 2,5 m încastrate în perete (vezi fig. 13.23). Încărcarea din greutatea proprie, învelitoare și zăpadă, aferente unui profil este de 360 daN/m. Dându-se $R=2100 \text{ daN/cm}^2$, $f_a = \frac{l}{400}$; $E=2,1 \times 10^6 \text{ daN/cm}^2$. Se cere

să se dimensioneze grinda. Pentru secțiunea adoptată se va trasa diagrama σ în secțiunea de solicitare maximă și se vor calcula rotirea și săgeata la capătul consolei.

Rezolvare

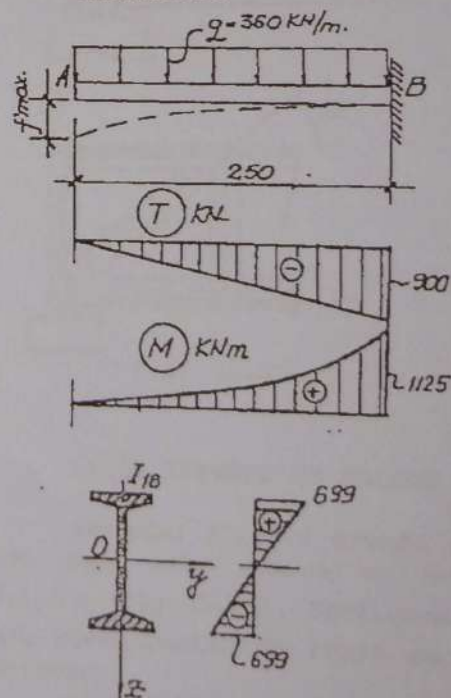


Fig. 13.23

Se trasează diagrama T și M (fig. 13.23,a) din care rezultă $|M_{\max}| = 1125 \text{ daNm}$. Folosind relația (12.32) se calculează

$$W_{y,\text{nec}} = \frac{112500}{2100} = 53,571 \text{ cm}^3$$

Din tabelul profilelor I (Anexa 5) se alege I₁₁ având caracteristicile geometrice:

$$W_y = 51,70 \text{ cm}^3;$$

$$I_y = 328 \text{ cm}^4.$$

Deoarece prin enunțul problemei este impusă săgeata ce poate fi admisă

$$f_a = \frac{l}{400} = \frac{250}{400} = 0,625$$

cm, dimensionarea se va considera terminată numai după verifi-

carea condiției de rigiditate $f_{\max} \leq f_a$. Folosind relația (12.26), în care $q=350 \text{ daN/m}=3,5 \text{ daN/cm}$

se obține $f_{\max} = \frac{3,50 \times 250^4}{8 \cdot 2,1 \times 10^6 \times 328} = 2,481 \text{ cm} > f_a$.

Urmare a acestui fapt, dimensionarea consolei se reia și se va face din condiția de rigiditate:

$$f_{\max} = \frac{ql^4}{8EI_y} = f_a \text{ din care}$$

$$I_{y,\text{nec}} = \frac{ql^4}{8E \cdot f_a} = \frac{3,5 \times 250^4}{8 \times 2,1 \times 10^6 \times 0,625} = 1302 \text{ cm}^4,$$

Corespunzător acestuia, din tabele, se obține I_{y1} având caracteristicile geometrice $I_y = 1450 \text{ cm}^4$; $W_y = 161 \text{ cm}^3$. În noua alcătuire, săgeata maximă a grinzii și tensiunile normale din secțiunile ei de încastrare vor avea valorile:

$$f_{\max} = f_a = \frac{3,50 \times 250^4}{8 \cdot 2,1 \times 10^6 \times 1450} = 0,561 \text{ cm} < f_a = 0,625 \text{ cm}$$

$$\frac{\sigma_{\max}}{\sigma_{\min}} = \pm \frac{M_{\max}}{W_y} = \pm \frac{112500}{161} = \pm 699 \text{ daN/cm}^2$$

Diagrama este prezentată în figura 13.23, b.

Exemplul 13.10.3

O grindă principală din oțel, preia încărcările $P = 175 \text{ kN}$ date de 2 grinzi secundare fixate pe aceasta (fig. 13.24). Știind că grinda are secțiunea compusă din două tălpi de $200 \times 25 \text{ mm}$ și într-o inimă de $450 \times 8 \text{ mm}$, solidarizate între ele prin sudură, se cere:

a) trasarea diagramelelor de tensiuni σ și τ în secțiunile de M_{\max} și respectiv T_{\max} și verificarea de rezistență a grinzii;

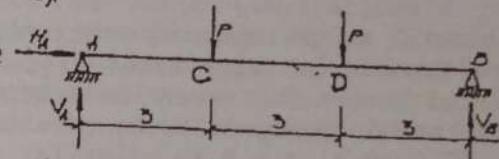
b) săgeata grinzii la mijlocul deschiderii și rotirile ei în reazeme;

c) calculul sudurii discontinue de îmbinare a inimii cu tălpile secțiunii. Se dau: $R = 2100$

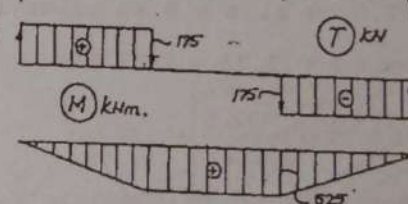
daN/cm^2 ; $R_t^0 = 1200 \text{ daN/cm}^2$; $E = 2,1 \times 10^6 \text{ daN/cm}^2$; $R_t = 1600 \text{ daN/cm}^2$;

Rezolvare

a).



b).



c).

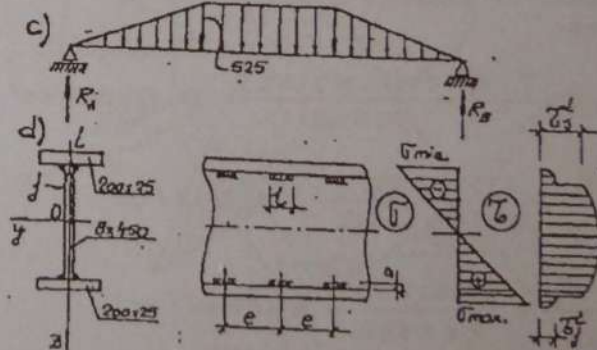


Fig. 13.24

Din motive de simetrie a încărcărilor pe grindă (fig. 13.24, a), reacțiunile din reazeme vor fi egale $V_A = V_B = P = 175 \text{ kN}$; $H_A = 0$. Trasând diagramele T și M se obțin: $M_{\max} = 525 \text{ kNm}$; $T_{\max} = 175 \text{ kN}$. Axele principale de inerție ale secțiunii se confundă cu axele de simetrie; cu dimensiunile secțiunii din figură vom avea:

$$I_y = \frac{0,8 \times 45^3}{12} + 2 \left(\frac{20 \times 2,5^3}{12} + 20 \times 2,5 \cdot 23,75^2 \right) = 62483 \text{ cm}^4;$$

$$z_{\max} = 22,5 + 2,5 = 25 \text{ cm}; W_y = \frac{62483}{25} = 2500 \text{ cm}^3;$$

$$a) \sigma_{\max}^i = \pm \frac{M_y}{W_y} = \frac{5250000}{2500} = 2100 \frac{\text{daN}}{\text{cm}^2} = R$$

Notând cu i punctul de pe conturul secțiunii, cu j cel situat pe frontiera talpă-inimă și cu O centrul de greutate al secțiunii, momentele statice ale secțiunilor ce lunecă corespunzătoare ordonatelor $z = z_{\max}$, $z = 22,5 \text{ cm}$ și $z = 0$ au valorile:

$$S_y^i = 0; S_y^j = 20 \times 2,5 \times 23,75 = 1187,5 \text{ cm}^3$$

$$S_y^O = 1187,5 + 0,8 \times 22,5 \times \frac{22,5}{2} = 1390 \text{ cm}^3$$

Tensiunile tangențiale τ_{xz} în punctele i, j și O se calculează cu formula (13.1).

Vom avea:

$$\tau_i = 0; \tau_j^i = \frac{T \cdot S_y^j}{b_i \cdot I_y} = \frac{17500 \times 1187,5}{20 \times 62483} = 16,630 \text{ daN/cm}^2$$

$$\tau_j^i = \frac{T S_y^i}{b_i I_y} = \frac{17500 \times 1187,5}{0,8 \times 62483} = 416 \text{ daN/cm}^2$$

$$\tau_o = \frac{T \cdot S_y^O}{b_i I_y} = \frac{17500 \times 1390}{0,8 \times 62483} = 487 \text{ daN/cm}^2.$$

Diagramele σ și τ în secțiunile indicate sunt date în figura 13.24, b. Din acestea rezultă $\sigma_{\max} = R$ și $\tau_{\max} = 487 \text{ daN/cm}^2 < R_t = 1600 \text{ daN/cm}^2$ - grinda satisface cerințele de rezistență.

b) Se utilizează metoda Mohr. Grinda conjugată încărcată cu forța fictivă $p_f = M$ pe aceasta este arătată în figura 13.24, c.

Reacțiunile și eforturile fictive au valorile:

$$R_A = R_B = \frac{1}{2} \left(525 \times 3 + \frac{1}{2} 525 \times 3 \times 2 \right) = 525 \times 3 = 1575 \text{ kNm}^2$$

$$T_{f,A} = R_A = 1575 \text{ kNm}^2; T_{f,B} = -R_B = -1575 \text{ kNm}^2$$

$$M_f\left(\frac{l}{2}\right) = 4,5 R_A - \frac{525 \times 3}{2} \cdot \frac{1}{3} \cdot 3 - 525 \times 1,5 \times 0,75 = 5709,375 \text{ kNm}^3$$

Conform relațiilor (12.19) și (12.20)

$$\varphi_A = \frac{T_{f,A}}{EI_y} = \frac{1575 \times 10^6}{2,1 \times 10^6 \times 62483} = 0,012 \text{ rad} = -\varphi_B$$

$$f_f\left(\frac{l}{2}\right) = \frac{M_f(l/2)}{EI_y} = f_{\max} = \frac{5709,375 \times 10^8}{2,1 \times 10^6 \times 62483} = 4,350 \text{ cm};$$

c) Se folosește ecuația 13.20:

$$2a \cdot \ell_c \cdot R_f^s = \frac{T \cdot S_y^j}{I_y} \cdot e.$$

Alegând $a = 4 \text{ mm}$; $e = 25 \text{ cm}$

$$\ell_c = \frac{17500 \times 1187,5 \times 25}{2 \times 0,4 \times 1200 \cdot 62483} = 8,66 \text{ cm};$$

$$\ell = \ell_c + 2a = 8,66 + 0,8 = 9,46 \approx 10 \text{ cm};$$

CAPITOLUL 14

ÎNCOVOIEREA OBLICĂ

14.1 DEFINIȚII. EFORTURI ÎN SECȚIUNI

Un element de construcție este solicitat la încovoiere oblică atunci când planele de acțiune ale forțelor trec prin centrele de greutate ale secțiunilor transversale, dar nu conțin pe nici una din axe de inerție principale ale acestora. Dacă toate forțele acționează într-un singur plan solicitarea este de încovoiere oblică plană (fig. 14.1), iar când forțele acționează în plane diferite, încovoierea oblică este spațială.

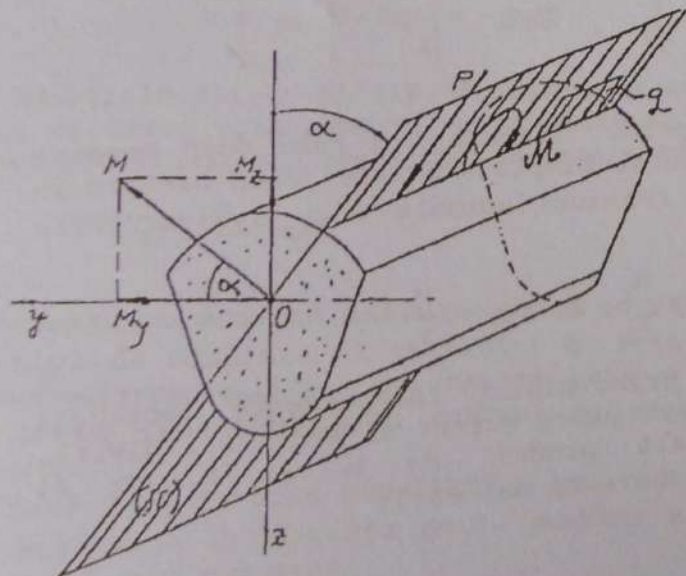


Fig. 14.1

În domeniul construcțiilor, elementele cele mai ilustrative în acest sens sunt paneele de acoperiș (fig. 14.2, a și b)

Fixate pe panta acoperișului, acestea sunt încărcate cu forțe gravitaționale provenind din greutatea proprie, greutatea învelitorii și a zăpezii, a prafului etc. al căror plan vertical de acțiune nu conține pe nici una din axe principale de inerție Oy și Oz ale secțiunilor transversale.

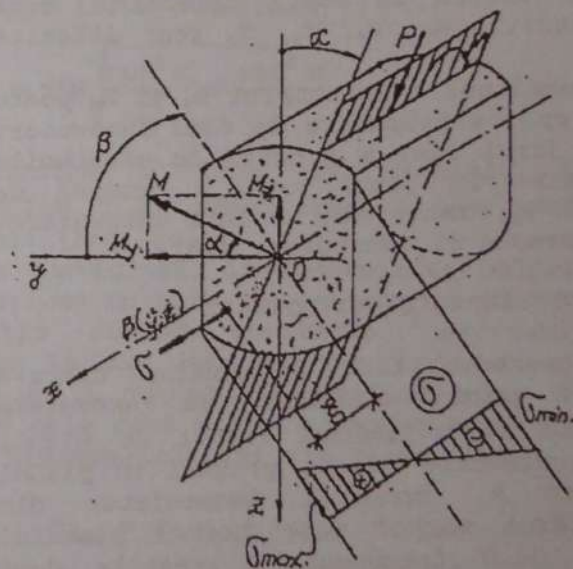


Fig. 14.2

Încovoierea oblică apare și în cazul barelor având secțiunea în T, cu planul de acțiune al forțelor, trecând prin centrul de încovoiere C și formând cu axa de simetrie un unghi α (fig. 14.2,c) a celor din profile L (figura 14.2,d) precum și în cazul profilelor U, când planul forțelor trece prin

centrul de încovoiere c și formează un unghi α cu una din axele de principale de inerție (fig. 14.2,e).

În cel mai general caz de încovoiere oblică, torsorul de reducere al forțelor în punctele axei barei este format dintr-o forță tăietoare T conținută în planul încărcărilor și un moment încovoiator M , al cărui vector este perpendicular pe același plan (fig. 14.1).

Descompunând în secțiune cele două eforturi după axele Oy și Oz , se obțin momentele M_y , M_z și forțele tăietoare T_y și T_z (fig. 14.3 și 14.4,b).

În raport de valorile acestora, putem avea:

- încovoierea oblică pură, atunci când în secțiunile barei $M_y \neq 0$; $M_z \neq 0$; $T_y = T_z = 0$;
- încovoierea oblică cu forță tăietoare, dacă toate eforturile M_y , M_z , T_y , T_z sunt diferite de zero.

Prezența simultană a momentelor M_y și M_z poate fi considerată ca o suprapunere de două încovoieri simple: una în jurul axei y produsă de eforturile M_y și T_z și alta în jurul axei z produsă de eforturile M_z și T_y , motiv pentru care încovoierea oblică se mai numește și încovoiere dublă.

14.2 TENSIUNI ÎN SECȚIUNI NORMALE

Pentru cunoașterea stării de tensiune dintr-o secțiune a unei grinzi solicitate la încovoiere oblică, vom nota cu α unghiul format de planul longitudinal de simetrie xOz al grinzii cu planul forțelor și cu M , momentul încovoiator din secțiune, al cărui vector este normal planului forțelor (fig. 14.3). Componentele acestuia după direcțiile y și z au valorile:

$$\begin{aligned} M_y &= M \cos \alpha \\ M_z &= M \sin \alpha \end{aligned} \quad (14.1)$$

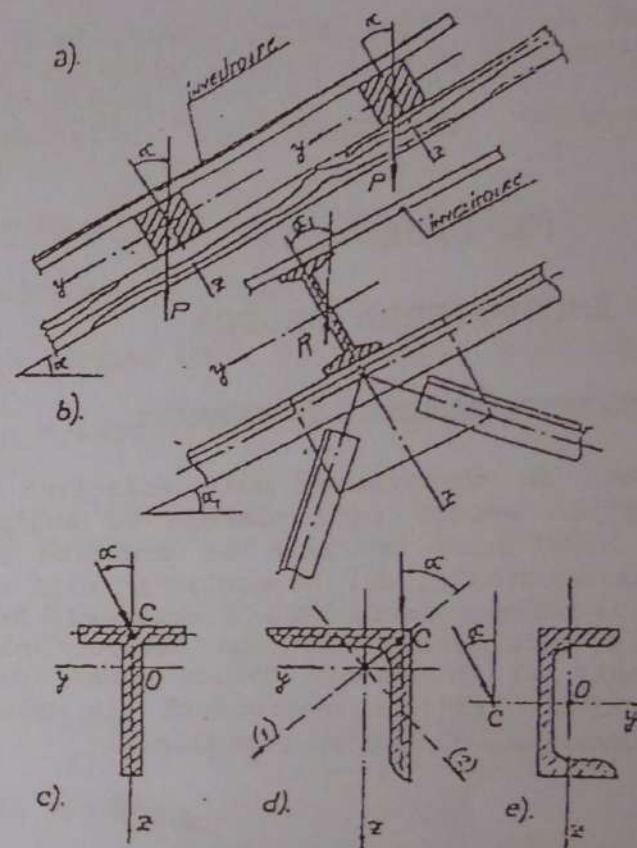


Fig. 14.3

Luete separat, fiecare din cele două momente produc încovoierea simplă a grinzii dând naștere în secțiune unor tensiuni normale σ cu o distribuție de tip Navier:

$$\sigma_{M_y} = \frac{M_y}{I_y} \cdot z; \quad \sigma_{M_z} = \frac{M_z}{I_z} \cdot y.$$

În baza principiului independenței acțiunii forțelor, într-un punct curent al secțiunii $B(y,z)$, tensiunea totală produsă de M_y și M_z va fi $\sigma_x = \sigma_{M_y} + \sigma_{M_z}$, care se mai scrie

$$\sigma_x = \frac{M_y}{I_y} \cdot z + \frac{M_z}{I_z} \cdot y \quad (14.2)$$

Ținând seama de relațiile (14.1), expresia acestor tensiuni devine:

$$\sigma_x = N \left(\frac{z \cos \alpha}{I_y} + \frac{y \sin \alpha}{I_z} \right) \quad (14.3)$$

Așa cum se știe, axa neutră în secțiune reprezintă locul geometric al punctelor acesteia în care $\sigma=0$. Impunând această condiție în relația (14.3) rezultă:

$$z \frac{\cos \alpha}{I_y} + y \frac{\sin \alpha}{I_z} = 0, \quad (14.4)$$

care se mai poate pune și sub forma

$$z = -y \frac{I_y}{I_z} \cdot \operatorname{tg} \alpha = -y \operatorname{tg} \beta. \quad (14.5)$$

Relațiile (14.4) și (14.5) descriu ecuația unei drepte ce trece prin centrul de greutate al secțiunii având coeficientul unghiular în raport cu axa Oy

$$\operatorname{tg} \beta = \frac{I_y}{I_z} \cdot \operatorname{tg} \alpha \quad (14.6)$$

Ea formează cu această axă un unghi β ce se măsoară în sensul de măsurare al unghiului α . Prin urmare, la încovoierea oblică, axa neutră este o dreaptă care trece totdeauna prin centrul de greutate al secțiunii.

Dacă $I_y > I_z$ (caz uzual) $\operatorname{tg} \beta > \operatorname{tg} \alpha$, astfel că $\beta > \alpha$. Notând cu ξ distanța de la punctul B(y,z) la axa neutră n-n vom avea:

$$\xi = \frac{\frac{z \cos \alpha}{I_y} + \frac{y \sin \alpha}{I_z}}{\pm \sqrt{\frac{\cos^2 \alpha}{I_y^2} + \frac{\sin^2 \alpha}{I_z^2}}}$$

sau

$$\frac{z \cos \alpha}{I_y} + \frac{y \sin \alpha}{I_z} = \pm \xi \sqrt{\frac{\cos^2 \alpha}{I_y^2} + \frac{\sin^2 \alpha}{I_z^2}}.$$

Înlocuind membrul întâi al acestei egalități în ecuația (14.3), obținem:

$$\sigma = \pm \xi M \sqrt{\frac{\cos^2 \alpha}{I_y^2} + \frac{\sin^2 \alpha}{I_z^2}} \quad (14.7)$$

care indică o lege de variație liniară a tensiunilor σ cu deportarea de axa neutră n-n a secțiunii (fig. 14.3).

În consecință, la încovoierea oblică punctele din secțiune în care iau naștere tensiunile extreme se obțin ducând conturul secțiunii drepte paralele la axa neutră. Fie i(y_1, z_1), punctul în care M_y și M_z produc întinderi și c(y_c, z_c) punctul în care cele două momente produc compresiune (fig. 14.3). Conform relației (14.2) vom avea:

$$\sigma_{\max} = \sigma_i = \frac{M_y}{I_y} \cdot z_1 + \frac{M_z}{I_z} \cdot y_1 \quad (14.8a)$$

$$\sigma_{\min} = \sigma_c = \frac{M_y}{I_y} \cdot z_c + \frac{M_z}{I_z} \cdot y_c \quad (14.8b)$$

În cazul barelor a căror secțiune este un dreptunghi sau poate fi înscrisă într-un dreptunghi, cele mai depărtate puncte de axa neutră sunt și cele mai depărtate de axele principale de inerție, respectiv $y_1 = y_c = y_{\max}$ și $z_1 = z_c = z_{\max}$ (fig. 14.4).

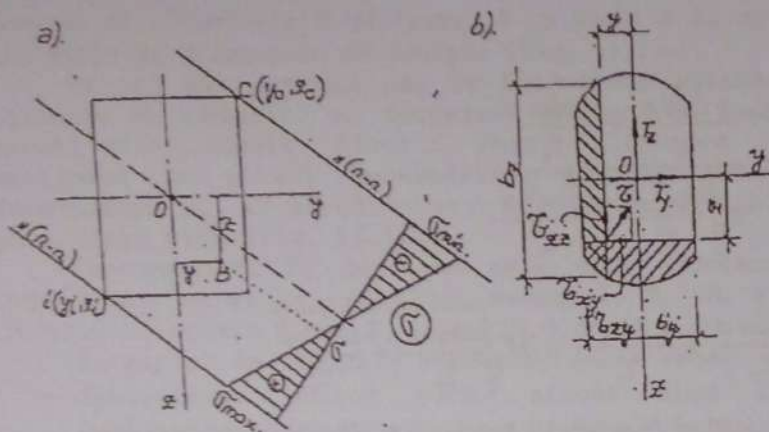


Fig. 14.4

Cu aceste particularizări și având în vedere că $\frac{I_y}{z_{\max}} = W_y$ și $\frac{I_z}{y_{\max}} = W_z$, relațiile (14.8,a) și (14.8,b) pot fi comasate într-o singură expresie:

$$\sigma_{\max/\min} = \pm \left(\frac{M_y}{W_y} + \frac{M_z}{W_z} \right) \quad (14.9)$$

Înlocuind momentele M_y și M_z cu valorile date de relațiile (14.1), expresia tensiunilor extreme ia forma

$$\sigma_{\max/\min} = \pm M \left(\frac{\cos \alpha}{W_y} + \frac{\sin \alpha}{W_z} \right) \quad (14.10)$$

În cazul secțiunilor circulare și pătrate, orice axă centrală este o axă principală de inerție, astfel că încovoierea oblică se tratează ca încovoiere simplă, în planul forțelor.

În cazul încovoierii oblice cu forță tăietoare T , componentele acesteia după axele Oy și Oz , $T_y = T \sin \alpha$ și $T_z = T \cos \alpha$ (fig. 14.4,b) dau naștere

tensiunilor τ_{xz} și τ_{xy} care se calculează cu formula lui Juravski:

$$\tau_{xz} = \frac{T_z S_y}{b_z I_y}; \quad \tau_{xy} = \frac{T_y S_z}{b_y I_z} \quad (14.11)$$

în care S_y și S_z sunt momentele statice ale secțiunilor ce lunecă (cuprinse între z_{\max} și z , respectiv y_{\max} și y), b_z și b_y sunt lățimile secțiunilor ce lunecă, iar I_y și I_z sunt momentele de inerție ale întregii secțiuni în raport cu aceleași axe Oy și Oz .

Tensiunea totală τ în punctul curent considerat, se obține însumând geometric tensiunile τ_{xz} și τ_{xy}

$$\tau = \sqrt{\tau_{xz}^2 + \tau_{xy}^2} \quad (14.12)$$

14.3 DEFORMAȚIILE GRINZILOR SOLICITATE LA ÎNCOVOIERE OBLICĂ

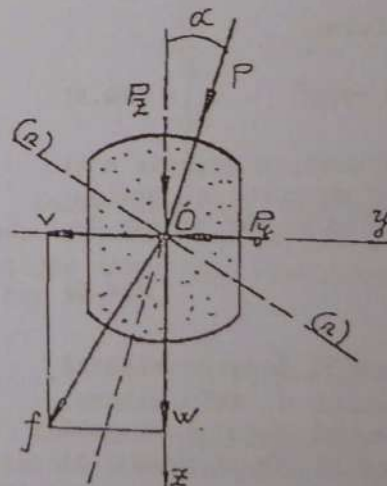


Fig. 14.5

Considerând încărcarea P din planul forțelor rezultantă a forțelor $P_z = P \cos \alpha$ și $P_y = P \sin \alpha$ acționând în planele Oxz și respectiv Oxy , fiecare din acestea va deforma grinda în planul ei de acțiune, producând deplasările v după Oy și w pe direcția Oz (fig. 14.5).

Deplasarea totală a unui punct al axei deformată se obține însumând geometric deplasările v și w :

$$f = \sqrt{v^2 + w^2} \quad (14.13)$$

Valorile acestora (v și w) se calculează cu una din metodele arătate în §12.3. Presupunând că utilizăm în acest scop metoda Mohr, grinzile conjugate se vor încălca cu diagramele de momente M_z , produse de încărcările P_y și M_y produse de P_z . Notând cu M_{fz} și M_{fy} momentele fictive în secțiunea considerată, deplasările din aceeași secțiune vor avea expresia:

$$v = \frac{M_{fz}}{EI_z} \quad (a)$$

$$w = \frac{M_{fy}}{EI_y} \quad (b)$$

Se poate arăta că $M_{fz} = M_f \sin \alpha$ și $M_{fy} = M_f \cos \alpha$, în care M_f reprezintă momentul încovoietor fictiv, pe grinda fictivă din încărcarea acesteia cu diagrama momentelor reale pe grinda reală M , în planul de acțiune al forțelor. Substituind aceste expresii în relațiile (14.14) și (14.13), succesiv se obține:

$$v = M_f \frac{\sin \alpha}{EI_z}; \quad w = M_f \frac{\cos \alpha}{EI_y}$$

$$f = \frac{M_f}{E} \sqrt{\frac{\sin^2 \alpha}{I_z^2} + \frac{\cos^2 \alpha}{I_y^2}} \quad (14.15)$$

La încovoierea oblică plană, deplasarea totală f este totdeauna perpendiculară pe axa neutră (n-n) a secțiunii.

14.4 CALCULE DE REZISTENȚĂ LA ÎNCOVOIERE OBLICĂ

Uzual, elementele de rezistență solicitate la încovoiere oblică au secțiunile transversale de formă dreptunghiulară (fig. 14.6a) sau care poate fi înscrisă într-un dreptunghi (fig. 14.6, b, c, d și e).

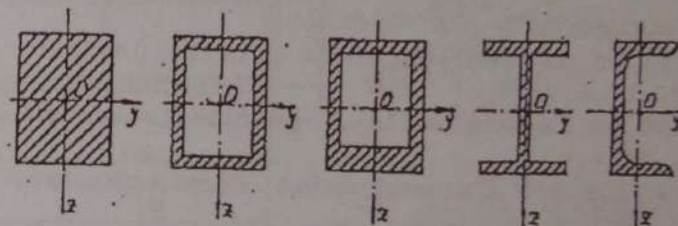


Fig. 14.6

În toate aceste cazuri, conform celor arătate în aliniatul (14.2) tensiunile maxime și minime iau naștere în două colțuri opuse și au mărimea în valoare absolută egală. Având în vedere relația (14.10), condiția de rezistență a barelor prezentând această alcătuire se va exprima prin relația:

$$\frac{\sigma_{\max}}{\min} = \pm M_{\max} \left(\frac{\cos \alpha}{w_y} + \frac{\sin \alpha}{w_z} \right) \leq R \quad (14.16)$$

în care M_{\max} reprezintă momentul maxim (în modul), iar $R = \min(R_c, R_t)$ - în cazul materialelor având o comportare diferită la întindere și compresiune și $R = R_t = R_c$ în cazul materialelor cu rezistențe de calcul egale la cele două solicitări.

Verificarea de rezistență a grinzii revine la testarea existenței inegalității (14.16) în secțiunea cea mai solicitată.

Luată la limită, aceeași relație conduce la egalitatea:

$$M_{\max} \left(\frac{\cos \alpha}{W_y} + \frac{\sin \alpha}{W_z} \right) = \frac{M_{\max}}{W_y} \left(\cos \alpha + \frac{W_y}{W_z} \sin \alpha \right) = R \quad (14.17)$$

din care se deduce:

a) Formula pentru dimensionare la încovoierea oblică,

$$W_{y,nec} = \frac{M_{\max}}{R} \left(\cos \alpha + \frac{W_y}{W_z} \sin \alpha \right), \quad (14.18)$$

în care raportul W_y/W_z are valorile:

- 6,50...10,20 la secțiunile de profile laminate I (fig. 14.6, d)
- 5,00...10,00 la secțiunile de profile laminate U (fig. 14.6, e)
- $h/b = 1,5...2,0$ la secțiunile dreptunghiulare (fig. 14.6, a)

Cu $W_{y,nec}$ obținut se alcătuiește secțiunea ca formă și dimensiuni după care se verifică cu relația (14.16), în care W_y și W_z se calculează din considerente geometrice. Dimensionarea se consideră terminată numai atunci când $\sigma_{\max} \leq R$ iar diferența $R - \sigma_{\max}$ este suficient de mică pentru ca grinda să lucreze economic.

b) Formula capacității portante a secțiunii la încovoiere oblică

$$M_{cap} = \frac{R}{\frac{\cos \alpha}{W_y} + \frac{\sin \alpha}{W_z}} \quad (14.19)$$

Dacă bara prezintă o secțiune, alta decât dreptunghiulară sau care să nu poată fi înscrisă într-un dreptunghi, condiția ei de rezistență în baza relațiilor (14.8) se va exprima prin două inegalități:

$$\sigma_{\max} = M_{\max} \left(\frac{\cos \alpha}{W_{yi}} + \frac{\sin \alpha}{W_{zi}} \right) \leq R_i \quad (14.20)$$

$$\sigma_{\min} = M_{\max} \left(\frac{\cos \alpha}{W_{yc}} + \frac{\sin \alpha}{W_{zc}} \right) \leq R_c$$

În care W_{yi} , W_{zi} , W_{yc} , W_{zc} reprezintă modulii de rezistență corespunzători punctelor i și c din secțiune în care momentele M_y și M_z produc tensiuni de întindere și respectiv de compresiune. În cazul barelor prezentând astfel de secțiuni, calculul de rezistență este mai complex.

Verificarea unei grinzi revine la testarea existenței relațiilor (14.20) care trebuie să fie satisfăcute concomitent.

Dimensionarea unei secțiuni pe baza relațiilor (14.20) luate la limită este dificilă datorită numărului mare de necunoscute (W_{yi} , W_{yc} , W_{zi} , W_{zc}). Urmare a acestui fapt, alcătuirea secțiunilor se face prin încercări succesive.

În acest scop se alege secțiunea ca formă și dimensiuni, după care se verifică cu relațiile (14.20). Ajustarea dimensiunilor alese se face succesiv până la satisfacerea condițiilor de rezistență (14.20) și obținerea unor diferențe $R_i - \sigma_{\max}$, $R_c - \sigma_{\min}$, după caz, suficient de mici pentru asigurarea criteriului economic.

Capacitatea portantă a barei corespunde valorii momentului încovoiator care produce în fibrele cele mai solicitate ale secțiunii, tensiunile $\sigma_{\max} = \sigma_i$ sau $\sigma_{\min} = R_c$.

Deoarece nu putem cunoaște ordinea apariției acestora, cu relațiile (14.20) luate la limită se calculează două momente corespunzătoare celor două situații:

$$M_{l, \text{cap}} = \frac{R_i}{\frac{\cos \alpha}{W_{yi}} + \frac{\sin \alpha}{W_{zi}}} \quad (14.21, a)$$

$$M_{c, \text{cap}} = \frac{R_c}{\frac{\cos \alpha}{W_{yc}} + \frac{\sin \alpha}{W_{zc}}} \quad (14.21, b)$$

Momentul capabil al secțiunii M_{cap} corespunde celei mai mici valori a eforturilor $M_{l, \text{cap}}$ și $M_{c, \text{cap}}$.

Dacă materialul din componența barei se bucură de proprietatea $R_i = R_c = R$, în relațiile (14.21, a) și (14.21, b) se va introduce această valoare.

14.5 EXEMPLE DE CALCUL

Exemplul 15.5.1

Pana unui acoperiș din lemn (Fig. 14.7) de secțiune dreptunghiulară reazemă pe două forme situate la 4 m una de cealaltă. Panta acoperișului este de 30° . Cunoscând încărcarea totală pe învelitoare $q_0 = 250 \text{ daN/m}^2$ (greutatea proprie + zăpada), distanța dintre pane $d = 1,20 \text{ m}$ și caracteristicile mecanice ale materialului lemnos: $R = 100 \text{ daN/cm}^2$, $E = 0,1 \times 10^5 \text{ daN/cm}^2$, se cere:

- dimensionarea panii ca bară de secțiune dreptunghiulară având $\frac{h}{b} = 1,5$;
- distribuția tensiunilor normale σ în secțiunea de moment maxim;
- săgata panii la mijlocul deschiderii.

Rezolvare

Ca structură statică (Fig. 14.7, a și b) pana este o grindă simplu rezemată al cărei moment maxim ia naștere la mijlocul deschiderii. Intensitatea

încărcării liniare ce revine unei pane va fi: $q = d \cdot q_0 = 250 \text{ daN/m}^2 \times 1,20 \text{ m} = 300 \text{ daN/m}$.

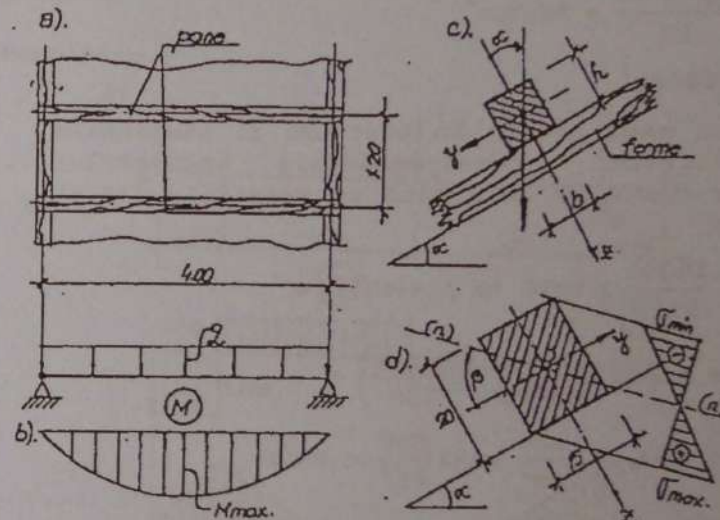


Fig. 14.7

$$M_{\text{max}} = \frac{q l^2}{8} = \frac{300 \times 4^2}{8} = 600 \text{ daNm}.$$

Folosind relația (14.18) se calculează

$$W_{y, \text{nec}} = \frac{60000}{100} \left(\cos 30 + \frac{h}{b} \sin 30 \right) = 970 \text{ cm}^3.$$

Egalând modulul de rezistență geometric $W_y = \frac{bh^2}{6}$ cu $W_{y, \text{nec}}$ și asociind ecuației obținute relația

$$\frac{h}{b} = 1,5 \text{ se obține sistemul de ecuații: } \begin{cases} \frac{bh^2}{6} = 970 \text{ cm}^3 \\ h = 1,5b \end{cases}$$

care are soluția $b = 13,727$, $h = 20,59 \text{ cm}$.

Adoptând: $b = 15 \text{ cm}$; $h = 20 \text{ cm}$, caracteristicile geometrice efective ale secțiunii vor fi (fig. 14.7,d):

$$I_y = \frac{15 \times 20^3}{12} = 10000 \text{ cm}^4$$

$$I_z = \frac{15^3 \times 20}{12} = 5625 \text{ cm}^4$$

$$W_y = 1000 \text{ cm}^3$$

Poziția axei neutre în secțiune și tensiunile normale extreme corespunzătoare momentului încovoietor maxim se determină cu relațiile (14.6) și (14.10):

$$\text{tg} \beta = \frac{10000}{5625} \times \text{tg} 30^\circ \Rightarrow \beta = 45^\circ 44' 47''$$

$$\begin{aligned} \sigma_{\max/\min} &= \pm 60000 \left(\frac{\cos \alpha}{1000} + \frac{\sin \alpha}{750} \right) = \\ &= \pm 91,962 \frac{\text{daN}}{\text{cm}^2} = 92 \frac{\text{daN}}{\text{cm}^2} < R \end{aligned}$$

Axa neutră și diagrama tensiunilor σ în secțiunea de încastrare sunt arătate în figura 14.7,d.

Descompunând forța q după axele secțiunii Oy și Oz se obțin:

$$q_y = q \sin 30^\circ = 300 \times \sin 30^\circ = 150 \text{ daN/m} = 1,50 \text{ daN/cm}$$

$$q_z = q \cos 30^\circ = 300 \times \cos 30^\circ \approx 260 \text{ daN/m} = 2,60 \text{ daN/cm}$$

Săgețile produse de q_y și q_z pe grindă (considerând aceleași rezemări pe direcțiile y și z) se calculează direct cu relația (12.22). Vom avea:

$$v = \frac{5 \cdot q_y \cdot l^4}{384 E I_z} = \frac{5 \cdot 1,50 \cdot 400^4}{384 \cdot 0,1 \cdot 10^6 \cdot 5625} = 0,889 \text{ cm}$$

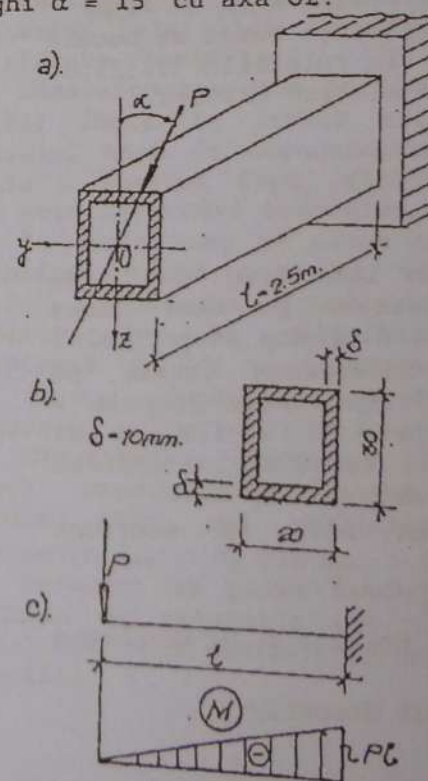
$$w = \frac{5 \cdot q_z \cdot l^4}{384 E I_y} = \frac{5 \cdot 2,60 \cdot 400^4}{384 \cdot 0,1 \cdot 10^6 \cdot 10000} = 0,867 \text{ cm}$$

Aplicând relația (14.13) se obține săgeata maximă

$$f_{\max} = \sqrt{0,889^2 + 0,867^2} = 1,242 \text{ cm}$$

Exemplul 14.5.2

Consola din figura 14.8,a având secțiunea transversală de tip cheson (fig. 14.8,b) este încărcată la capătul liber cu forța P ce face un unghi $\alpha = 15^\circ$ cu axa Oz .



Cunoscând $R = 2100 \text{ daN/cm}^2$, $E = 2,1 \times 10^6 \text{ daN/cm}^2$ se cere:

- încărcarea capabilă P_{cap} ;
- săgeata totală la capătul liber al consolei.

Rezolvare

- În planul de acțiune al forței

$$|M_{\max}| = P \cdot l = 2,50P.$$

Momentul capabil al secțiunii la încovoierea oblică plană este dat de relația (14.19) în care:

$$w_y = \frac{I_y}{I_{\max}}$$

$$w_z = \frac{I_z}{I_{\min}}$$

Fig. 14.8

$$I_y = \frac{20 \times 30^3}{12} - \frac{18 \times 28^3}{12} = 12072 \text{ cm}^4;$$

$$I_z = \frac{20^3 \times 30}{12} - \frac{18^3 \times 28}{12} = 6392 \text{ cm}^4;$$

$$z_{\max} = 15 \text{ cm}; W_y = 8048 \text{ cm}^3$$

$$y_{\max} = 10 \text{ cm}; W_z = 639,20 \text{ cm}^3.$$

$$M_{\text{cap}} = \frac{2100}{\frac{\cos 15^\circ}{8048} + \frac{\sin 15^\circ}{639,2}} = 4000522 \text{ daNcm} = 400 \text{ kNm}$$

Punând condiția $|M_{\max}| = M_{\text{cap}}$ se obține ecuația 2.5
 $P_{\text{cap}} = M_{\text{cap}} = 400 \text{ kNm}$ din care rezultă $P_{\text{cap}} = 160 \text{ kN}$.

b) Descompunând forța P_{cap} după axele Oy și Oz se obțin componentele $P_z = 160 \times \cos 15^\circ = 154,548 \text{ kN}$,
 $P_y = 160 \sin 15^\circ = 41,411 \text{ kN}$;

Componenta P_y produce o deplasare v_A în direcția axei y iar componenta P_z o deplasare w_A pe direcția axei z . Pentru calculul acestora se utilizează relația (12.26')

$$v_A = \frac{P_y \cdot l^3}{3EI_z} = \frac{4141,1 \times 250^3}{3 \times 2,1 \times 10^6 \times 6392} = 4,607 \text{ cm}$$

$$w_A = \frac{P_z \cdot l^3}{3EI_y} = \frac{15454,8 \times 250^3}{3 \times 2,1 \times 10^6 \times 12072} = 4,763 \text{ cm}$$

$$f_A = f_{\text{max}} = \sqrt{4,607^2 + 4,763^2} = 5,026 \text{ cm}$$

Exemplul 14.5.3

O grindă simplu rezemată este încărcată cu un sistem de forțe P , acționând ca în figura (14.9, a) într-un plan ce face un unghi $\alpha = 10^\circ$ cu planul vertical de simetrie Oxz al grinzii (fig. 14.9, b).

Cunoscând secțiunea grinzii și $P = 125 \text{ kN}$; $R = 2100 \text{ daN/cm}^2$, $E = 2,1 \times 10^6 \text{ daN/cm}^2$, $f_s = 0,75 \text{ cm}$. Se cere verificarea de rezistență și rigiditate a grinzii.

Rezolvare

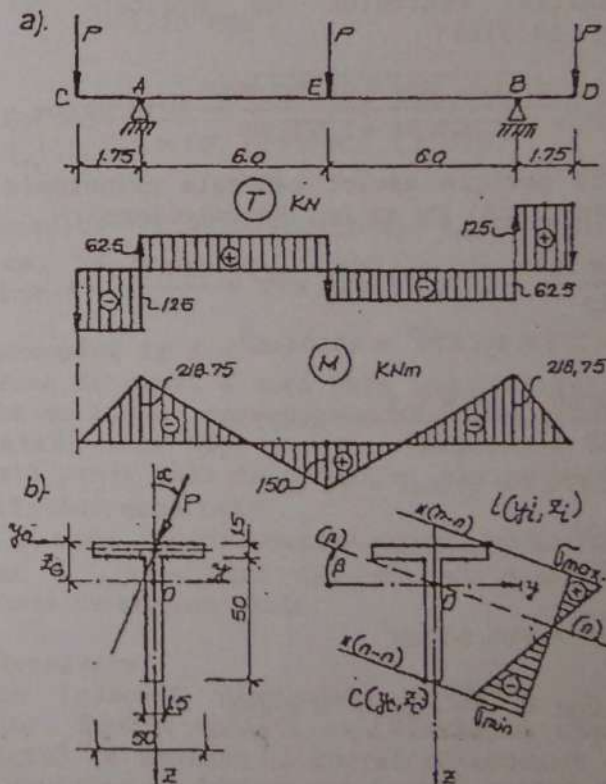


Fig. 14.9

Se trasează diagramele T și M în planul de acțiune al forțelor pe baza regulilor stabilite în capitolul 7. Având diagrama M se observă că secțiunile periculoase sunt cele de reazem în care momentul are valoarea maximă. Pentru verificare se folosește relația (14.16) în care:

$$M_{y, \max} = -218,75 \cdot \cos 10^\circ = -215,427 \text{ kNm}$$

$$M_{z, \max} = 218,75 \cdot \sin 10^\circ = -37,986 \text{ kNm}$$

$$W_y = \frac{I_y}{z_{\max}}; \quad W_z = \frac{I_z}{y_{\max}}$$

Pentru determinarea poziției axelor centrale Oy și Oz se alege o axă arbitrară y_0 și se determină poziția centrului de greutate al secțiunii (fig. 14.7, b):

$$z_G = \frac{\sum z_i A_i}{\sum A_i} = \frac{0,75 \times 1,5 \times 50 + 26,5 \times 1,5 \times 50}{1,5 \times 50 + 1,5 \times 50} = 13,625 \text{ cm.}$$

Având stabilită poziția axelor centrale principale de inerție a secțiunii Oy și Oz, se calculează:

$$I_y = \frac{1,5 \times 50^3}{12} + 50 \times 1,5 \times 12,875^2 + \frac{50 \times 1,5^3}{2} + 50 \times 1,5 \times 12,875^2 = 40504 \text{ cm}^4$$

$$I_z = \frac{1,5 \times 50^3}{12} + \frac{50 \times 1,5^3}{12} = 15639 \text{ cm}^4$$

$$z_{\max} = 37,875 \text{ cm}; \quad y_{\max} = 25 \text{ cm};$$

$$W_y = \frac{40504}{37,875} = 1069,415 \text{ cm}^3$$

$$W_z = \frac{15639}{25} = 625,560 \text{ cm}^3$$

$$\tan \beta = \frac{I_y}{I_z} \tan \alpha = \frac{40504}{15639} \tan 10^\circ = 0,456,$$

$\beta = 24^\circ 32'$. Se trasează apoi axa neutră în secțiune (n-n) și se duc paralele acesteia la contur identificându-se punctele de solicitări extreme i

și c (fig. 14.9, c). $y_i = 25 \text{ cm}$; $z_i = -13,625 \text{ cm}$; $y_c = -0,75$; $z_c = 38,875 \text{ cm}$.

Folosind relațiile (14.8, a) și (14.8, b)

$$\sigma_i = \frac{(-2154270)}{40504} \cdot (-13,625) + \frac{(+379860)}{15639} \cdot (+25) = 724,667 + 607,233 = 1331,9 \approx 1332 \text{ daN/cm}^2$$

$$\sigma_c = \frac{(-2154270)}{40504} \cdot 38,875 + \frac{(379860)}{15639} \cdot (-0,75) = -2067,629 - 15,821 = -2083,45 \text{ daN/cm}^2.$$

Deoarece $R_i = R_c = R$, verificarea secțiunii se va face cu relația (14.16).

Cum $|\sigma|_{\max} = 2083 \text{ daN/cm}^2 < R = 2100 \text{ daN/cm}^2$ rezultă că bara satisface condiția de rezistență. Diagrama σ în secțiune este arătată în figura 14.9, c.

Pentru calculul săgeților grinzii vom utiliza formula (14.15) determinând momentele fictive M_i în planul forțelor. În cazul acestei probleme este avantajos a se descompune momentele reale M în două diagrame mai simple, trasate separat pentru forțele de pe console și forța de la mijlocul deshidratării (fig. 14.10, a).

Grinda fictivă, conform precizărilor din paragraful 12.4 este o grindă Gerber (fig. 14.10, b). Pentru rezolvare, aceasta se desparte în 3 grinzi, fiecare preluând încărcarea fictivă aferentă deschiderii ei (fig. 14.10, c și d).

Reacțiunile fictive pe grinda din figura 14.10, c vor fi:

$$R_A = R_B = -\frac{1}{2} \cdot 375 \times \frac{12}{2} + 218,875 \times \frac{12}{2} = 188,25 \text{ kNm}^2.$$

Cu acestea, momentele M_i pe reazeme vor fi:

$$M_{c,c} = M_{c,d} = 1,75 R_A + \frac{1}{2} 1,75 \times 218,875 \times \frac{2}{3} 1,75 = 552,872 \text{ KNm}^3$$

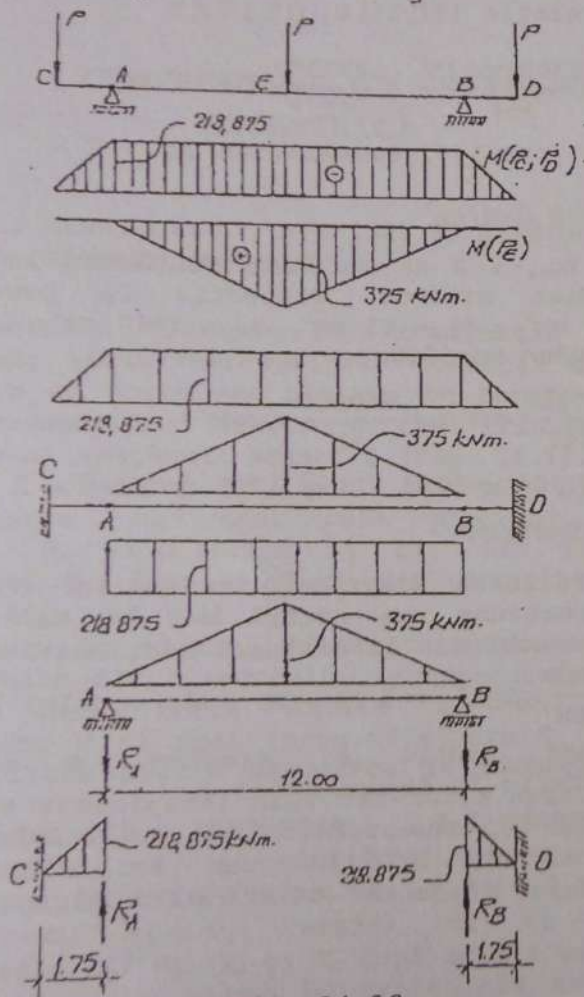


Fig. 14.10

Înlocuind în relația (15.14) se obține:

$$f_c = \frac{552,872 \times 10^6}{2,1 \times 10^6} \sqrt{\left(\frac{\cos 10}{40504}\right)^2 + \left(\frac{\sin 10}{15639}\right)^2} = 0,704 \text{ cm} = f_D$$

La mijlocul deschiderii vom avea

$$M\left(\frac{l}{2}\right) = 218,875 \times 6 \times 3 - 6 \times R_A - \frac{375 \times 6}{2} \cdot \frac{1}{3} 6 = 560,25 \text{ kNm}^3;$$

$$f\left(\frac{l}{2}\right) = \frac{560,25 \times 10^8}{2,1 \times 10^6} \sqrt{\left(\frac{\cos 10}{40504}\right)^2 + \left(\frac{\sin 10}{15639}\right)^2} = 0,713 \text{ cm}$$

Rezultă $f_{\max} = f_{(l/2)} = 0,713 \text{ cm}$; $f_{\max} = 0,713 \text{ cm} < f_A = 0,75 \text{ cm}$, în concluzie, condiția de rigiditate se verifică.

Exemplul 14.5.4

Pana de capăt a unei hale industriale, având o consolă de 1,5 m, rezemă pe două ferme situate la 6 m interax (vezi fig. 14.11). Încărcarea verticală aferentă panei este de 600 daN/m, iar unghiul pantei acoperișului este $\alpha = 15^\circ$.

Să se determine dimensiunea panei dintr-un profil laminat I, ($R = 2120 \text{ daN/cm}^2$) și diagrama σ în secțiunea de moment maxim.

Rezolvare

Se trasează diagramele T și M în planul forțelor. Pentru aceasta se calculează reacțiunile și punctul de anulare al forței tăietoare:

$$\sum M_B = 0; 6V_A - 7,5 \times 600 \times 2,25 = 0$$

$$\sum M_A = 0; 6V_B - 7,5 \times 600 \times 3,75 = 0.$$

Se obțin:

$$V_A = 1687,50 \text{ daN}; V_B = 2812,50 \text{ daN};$$

$$T_{\xi} = V_A - 600\xi = 0 \rightarrow \xi = 2,8125 \text{ m};$$

$$M_{\xi} = M_{\max} = 2,8125 \times 1687,5 - 600 \times 2,8125 \times 1,40625 = 2373 \text{ daNm};$$

$$M_B = -600 \times 1,5 \times 0,75 = -675 \text{ daNm}; |M_{\max}| = 2373 \text{ daNm};$$

Diagramele T și M pe bară sunt reprezentate în figura 14.11, a.

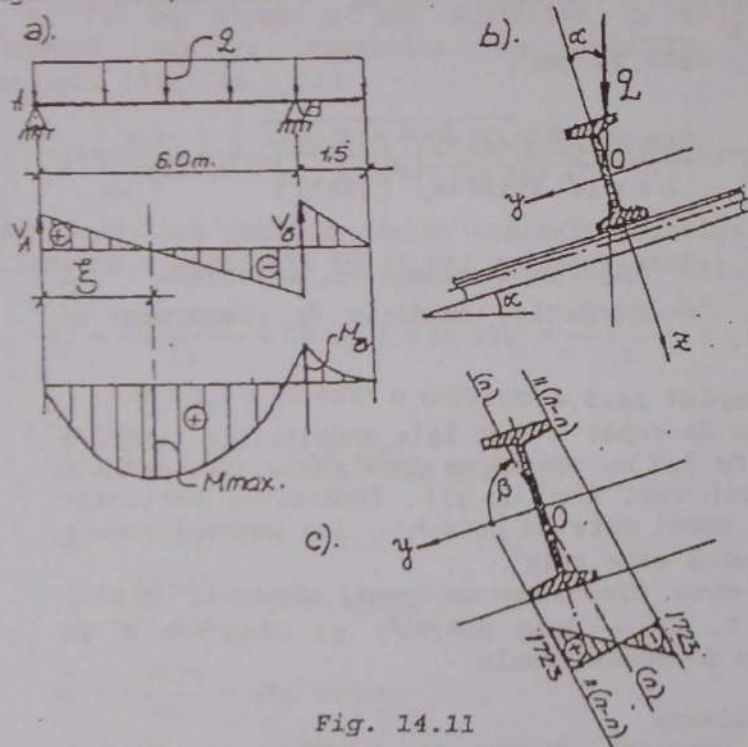


Fig. 14.11

Alegând $\frac{W_y}{W_z} = 8,00$, cu relația (14.18) se calculează

$$W_{y,nec} = \frac{237300}{2100} (\cos 15^\circ + 8 \cdot \sin 15^\circ) = 343 \text{ cm}^3.$$

Din Anexa 5 se alege profilul care are $W_y \geq W_{y,nec}$. În cazul nostru rezultă un I_{24} având $W_y = 354 \text{ cm}^3$; $W_z = 41,7 \text{ cm}^3$. Cu aceste elemente se verifică secțiunea cu relația (14.16).

$$\begin{aligned} \sigma_{\max/min} &= \frac{237300 \cos 15^\circ}{354} + \frac{237300}{41,7} \sin 15^\circ = \\ &= 647,498 + 1472,848 = 2120 \text{ daN/cm}^2 > R = \\ &= 2100 \text{ daN/cm}^2. \end{aligned}$$

Deoarece $\sigma_{\max} > R$ se modifică secțiunea luând profilul imediat următor, respectiv I_{26} pentru care: $W_y = 442 \text{ cm}^3$; $W_z = 51 \text{ cm}^3$, $I_y = 5740 \text{ cm}^4$; $I_z = 288 \text{ cm}^4$. Efectuând verificarea noii secțiuni:

$$\begin{aligned} \sigma_{\max} &= \frac{237300}{442} \cos \alpha + \frac{237300}{51} \sin \alpha = \\ &= 518,584 + 1204,270 = 1723 \text{ daN/cm}^2 < R = \\ &= 2100 \text{ daN/cm}^2 \end{aligned}$$

Pentru obținerea diagramei tensiunilor σ se trasează în secțiune axa neutră n-n și se duc drepte paralele acesteia la conturul secțiunii. Vom avea: $\tan \beta = \frac{5740}{288} \cdot \tan 15^\circ = 5,34$, de unde rezultă $\beta = 79^\circ 25' 36''$. Axa neutră și diagrama σ sunt reprezentate grafic în figura 14.11, c.

Deși diferența $R - \sigma_{\max} = 2100 - 1723 = 377 \text{ daN/cm}^2$ este relativ mare, profilul I_{26} se acceptă, întrucât între I_{24} și I_{26} nu există altă mărime de profil laminat.

CAPITOLUL 15

COMPRESIUNE ȘI ÎNTINDERE EXCENTRICĂ

15.1 GENERALITĂȚI, EFORTURI ȘI TENSIUNI ÎN SECȚIUNI NORMALE

Numeroase elemente de construcție (stâlpi, diafragme, ziduri de sprijin, fundații etc) sunt încărcate cu forțe sau sisteme de forțe, paralele cu axa elementului dar care nu trec prin centrul de greutate al secțiunii acestora (fig. 15.1).

La acestea se pot adăuga și forțe transversale, cum sunt cele date de acțiunea vântului P_v (fig. 15.1, a și b), din împingerea pământului P , (fig. 15.1, c) sau din alte diverse acțiuni (fig. 15.1, d).

Reduse în centrul de greutate al secțiunilor transversale ale elementului, aceste încărcări dau naștere unei forțe axiale N , unui moment încovoietor M și unei forțe tăietoare T . O astfel de solicitare poartă denumirea de *compresiune sau întindere excentrică*, după cum forța axială N este de compresiune sau de întindere. În cel mai general caz de solicitare, vectorii M și T în secțiune nu sunt dirijați după nici una din axele principale de inerție, O_y și O_z , astfel că ei prezintă componentele M_y , M_z , T_y și T_z după aceste axe.

Așa cum s-a văzut în capitolele anterioare, eforturile N , M_y și M_z produc în secțiuni tensiuni normale σ , iar T_y și T_z tensiuni tangențiale τ . Întrucât în marea majoritate a cazurilor rezistența barei în secțiuni este determinată de tensiunile normale σ , efectul forțelor tăietoare T_y și T_z în

calculul uzual al acestor elemente de construcție se neglijează.

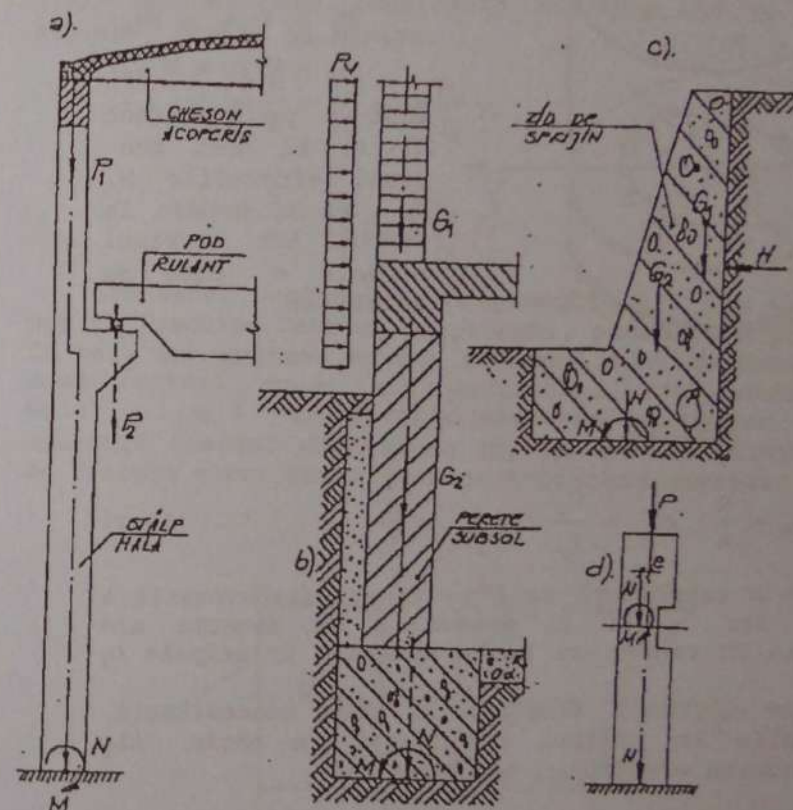


Fig. 15.1

Solicitarea echivalentă de compresiune sau întindere excentrică poate fi ilustrată printr-o bară încărcată cu o forță P , paralelă cu axa barei, aplicată excentric în punctul $C(y_0, z_0)$ numit pol al forței (fig. 15.2).

Pentru exprimarea stării de solicitare, bara se raportează la un sistem de referință cartezian, având axa x dirijată după axa barei și axele Oy și Oz , axe ale secțiunii transversale (fig. 15.2).

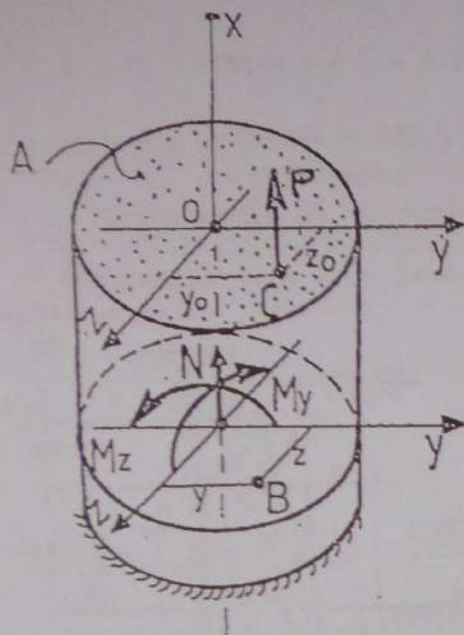


Fig. 15.2

Forța F aplicată în polul C produce în secțiunile barei eforturile relațiile (15.1):

$$N = P;$$

$$M_y = P \cdot z_0 = N z_0;$$

$$M_z = P \cdot y_0 = N \cdot y_0.$$

Într-un punct curent $B(y, z)$ al unei secțiuni eforturile N , M_y și M_z produc la rândul lor tensiuni normale σ , date de relațiile:

$$\sigma_N = \frac{N}{A}; \quad \sigma_{M_y} = \frac{M_y}{I_y} z; \quad \sigma_{M_z} = \frac{M_z}{I_z} y \quad (15.2)$$

în care A reprezintă aria secțiunii transversale a barei, iar I_y și I_z momentele de inerție ale acesteia în raport cu axele centrale principale O_y și O_z .

Cum acțiunea eforturilor este concomitentă, tensiunile în punctul considerat se obțin în suprapunerea efectelor, vom avea deci,

$$\sigma = \sigma_N + \sigma_{M_y} + \sigma_{M_z} = \frac{N}{A} + \frac{M_y}{I_y} z + \frac{M_z}{I_z} y \quad (15.3)$$

Exprimând momentele de inerție în funcție de aria secțiunii A și de razele ei de rotație i_y și

i_z , în baza relației (B.18): $I_y = i_y^2 A$; $I_z = i_z^2 A$, expresia tensiunii normale totale σ devine:

$$\sigma = \frac{N}{A} + \frac{N \cdot z_0}{i_y^2 A} z + \frac{N y_0}{i_z^2 A} y,$$

și poate fi pusă sub forma

$$\sigma = \frac{N}{A} \left(1 + \frac{z_0}{i_y^2} z + \frac{y_0}{i_z^2} y \right) \quad (15.4)$$

Din structura acestei relații rezultă că tensiunile normale la încovoierea cu forță axială variază liniar pe secțiunea transversală a barei și se anulează pentru valoarea zero a sumei termenilor din paranteză, prin urmare ecuația axei neutre ($\sigma=0$) va avea expresia:

$$1 + \frac{z_0}{i_y^2} z + \frac{y_0}{i_z^2} y = 0 \quad (15.5)$$

care reprezintă o dreaptă ce nu trece prin centrul de greutate al secțiunii.

Tăieturile acesteia pe axele O_y și O_z , notate cu a_y și a_z se obțin făcând succesiv în ecuația (15.5) $z=0$ și $y=0$, prin urmare:

$$a_y = -\frac{i_z^2}{y_0}; \quad a_z = -\frac{i_y^2}{z_0} \quad (15.6)$$

Semnul acestora este contrar coordonatelor y_0 , z_0 punând în evidență că axa neutră a secțiunii trece întotdeauna prin cadranul opus celui în care este aplicată forța P . Cu cât polul $C(y_0, z_0)$, este mai apropiat de originea axelor de coordonate cu atât tăieturile a_y și a_z sunt mai mari, astfel că axa neutră este mai depărtată de secțiune. La limită, când $y_0 = z_0 = 0$, axa neutră este aruncată la ∞ , solicitarea barei devenind de compresie

centrică. Dacă însă punctul C se depărtează de originea axelor, y_0 și z_0 cresc astfel că tăieturile a_y și a_z scad, axa neutră apropiindu-se de centrul de greutate al secțiunii. La limită, când $y_0 = z_0 = \infty$, tăieturile $a_y = a_z = 0$ și deci axa neutră trece prin centrul de greutate al secțiunii și cum $M_y = z_0 \cdot N$; $M_z = y_0 \cdot N$ acest caz este posibil numai pentru $N = 0$; $M_y \neq 0$; $M_z \neq 0$, deci pentru cazul încovoierii oblice pure. În raport cu secțiunea barci, axa neutră poate avea una din următoarele poziții:

- să taie secțiunea (fig. 15.3.a);
- tangentă la secțiune (fig. 15.3.b);
- să nu taie secțiunea (fig. 15.3.c).

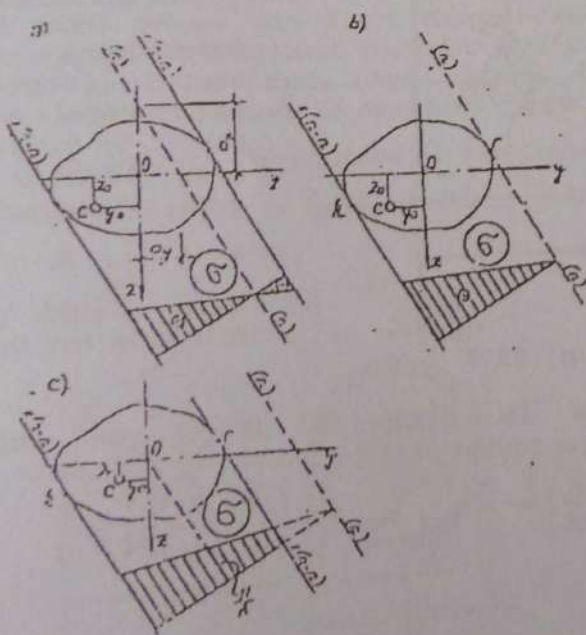


Fig. 15.3

Ducând tangente conturului secțiunii paralele cu axa neutră n-n se obțin două puncte $k(y_k, z_k)$ și $r(y_r, z_r)$ în care tensiunile normale iau valori extreme, maxime și minime:

$$\sigma_k = \frac{N}{A} + \frac{M_y}{I_y} z_k + \frac{M_z}{I_z} y_k \quad (15.7)$$

$$\sigma_r = \frac{N}{A} + \frac{M_y}{I_y} z_r + \frac{M_z}{I_z} y_r$$

În cazul secțiunilor dreptunghiulare sau care pot fi înscrise într-un dreptunghi, punctele k și r în care iau naștere aceste tensiuni sunt totdeauna două colțuri opuse ale secțiunii, prin urmare $y_k = -y_r$, $z_k = -z_r$. Poziția acestora se obține cu ușurință trasând diagramele σ_N , σ_{M_y} și σ_{M_z} produse de fiecare efort considerat ca acționând separat.

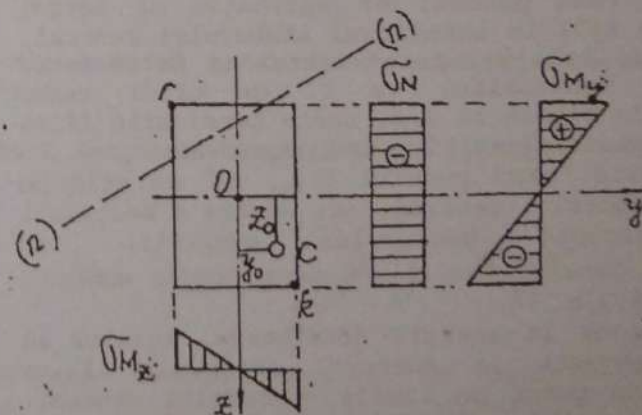


Fig. 15.4

Pentru secțiunea prezentată în figura (15.4) supusă la compresiune excentrică de forța P aplicată în cadranul 1, coordonatele celor două puncte vor fi

$k\left(\frac{b}{2}; \frac{h}{2}\right)$ și $r\left(-\frac{b}{2}; -\frac{h}{2}\right)$. Cu particularizările arătate, relațiile (15.7) se pot exprima condensat printr-o singură ecuație având forma:

$$\sigma_{\max/\min} = \frac{N}{A} \pm \left(\frac{M_y}{W_y} + \frac{M_z}{W_z} \right) \quad (15.8)$$

în care $W_y = \frac{z_k}{I_y} = \frac{bh^2}{6}$, $W_z = \frac{y_k}{I_z} = \frac{b^2h}{6}$ reprezintă modulii de rezistență ai secțiunii dreptunghiulare corespunzători axelor Oy și Oz.

15.2 SÂMBURE CENTRAL

Locul geometric al punctelor secțiunii, grupate în jurul centrului ei de greutate, în care aplicând o forță normală excentrică, se obțin tensiuni de același semn pe întreaga secțiune, poartă denumirea de **sâmbure central**.

Atunci când punctul de aplicație al forței $C(y_0, z_0)$ se află în interiorul sâmburelui central, axa neutră nu taie secțiunea astfel că în aceasta, distribuția tensiunilor va fi de tipul celei prezentate în figura 15.3, c, toate tensiunile fiind de aceeași natură (pozitive sau negative).

La limită, când punctul $C(y_0, z_0)$ se află pe conturul sâmburelui central, axa neutră a secțiunii devine tangentă conturului acesteia, iar distribuția tensiunilor σ are forma celei arătate în figura 15.3, b.

Pornind de la această constatare, rezultă că fiecărei tangente la conturul secțiunii îi va corespunde un punct pe limita sâmburelui central. Ducând mai multe drepte tangente conturului secțiunii se vor obține o serie de puncte, toate aparținând conturului sâmburelui central. Unind

aceste puncte cu linii drepte sau curbe, după cum conturul secțiunii este drept sau curb, se obține un domeniu închis ce reprezintă sâmburele central al secțiunii respective.

Coordonatele acestor puncte, corespunzătoare tangentelor la conturul secțiunii, se obțin din relația (15.6):

$$y_0 = -\frac{i_z^2}{a_y} ; z_0 = -\frac{i_y^2}{a_z} \quad (15.9)$$

Pentru exemplificare, vom determina în continuare sâmburele central la câteva secțiuni uzuale.

a) Secțiunea dreptunghiulară (fig. 15.5)

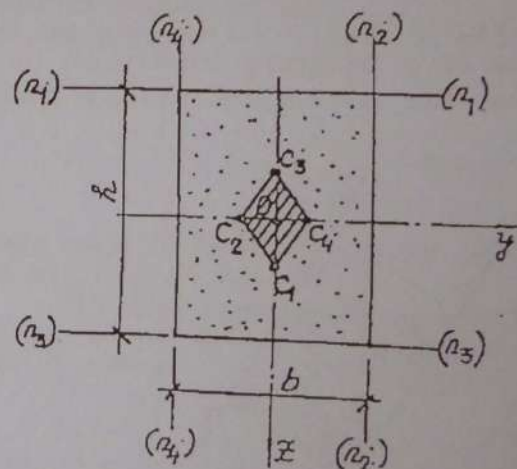


Fig. 15.5

$$i_z^2 = \frac{I_z}{A} = \frac{hb^3}{12bh} = \frac{b^2}{12}$$

$$i_y^2 = \frac{I_y}{A} = \frac{bh^3}{12bh} = \frac{h^2}{12}$$

Considerând axa neutră tangentă la conturul secțiunii în poziția n_1-n_1 , aceasta va avea tăieturile

$$a_z = -\frac{h}{2} ; a_y = \infty$$

(n_1-n_1 fiind paralelă cu axa Oy).

Înlocuind în relațiile (15.9) se obțin coordonatele punctului C_1 :

$$y_{01} = -\left(\frac{b^2}{12}\right) / \infty = 0 ; z_{01} = -\left(\frac{h^2}{12}\right) / \left(-\frac{h}{2}\right) = \frac{h}{6}$$

Considerând în continuare axa neutră tangentă la contur în poziția $n_1 - n_2$, aceasta va avea tăieturile $a_x = \infty$; $a_y = \frac{b}{2}$ și va determina punctul C_3 de coordonate:

$$y_{o2} = -\left(\frac{b^2}{12}\right) \cdot \frac{1}{\frac{b}{2}} = -\frac{b}{6}; \quad z_{o2} = -\left(\frac{h^2}{2}\right) \cdot \frac{1}{\infty} = 0$$

Seria de drepte tangente la contur se continuă cu pozițiile $n_1 - n_3$ și $n_1 - n_4$ pentru care se obțin punctele $C_3 \left(0; -\frac{h}{6}\right)$ și $C_4 \left(\frac{b}{6}; 0\right)$. Unind punctele C_1, C_2, C_3 și C_4 cu linii drepte (pentru că și conturul secțiunii este compus din linii drepte) se obține sâmburele central al secțiunii (hașurat în fig. 15.5), reprezentat printr-un romb. Vom reține deci că limitele sâmburelui central la dreptunghi sunt situate la $\frac{h}{6}$ și $\frac{b}{6}$ de centrul de greutate al secțiunii.

b. Secțiunea circulară și inelară (fig. 15.6)

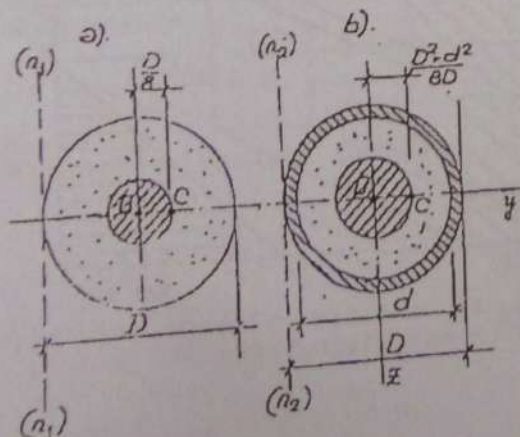


Fig. 15.6

Deoarece ambele secțiuni prezintă simetrie polară, sâmburele central al lor va fi reprezentat de un cerc. Pentru determinarea acestuia este suficient a se considera câte o singură axă neutră tangentă la contur.

b1.1 Secțiunea circulară plină (fig. 15.6, a)

$$i_y^2 = i_z^2 = i^2 = \frac{\frac{\pi D^4}{4}}{\frac{\pi D^2}{4}} = \frac{D^2}{16}$$

Pentru axa neutră în poziția $n_1 - n_2$; $a_y = \frac{D}{2}$; $a_z = \infty$ rezultă:

$$y_{o1} = y_o = -\left(\frac{\frac{D^2}{16}}{\frac{D}{2}}\right) = -\frac{D}{8}; \quad z_{o1} = z_o = 0.$$

Sâmburele central este reprezentat prin cercul de rază $R/4$.

b1.2 Secțiunea inelară (fig. 15.6, b)

$$i_y^2 = i_z^2 = i^2 = \frac{\frac{\pi(D^4 - d^4)}{4}}{\frac{\pi(D^2 - d^2)}{4}} = \frac{D^2 + d^2}{16}$$

Pentru axa neutră tangentă în poziția $n_1 - n_2$; $a_y = \frac{d}{2}$; $a_z = \infty$, cu relațiile (15.9) se obțin:

$$y_o = -\left(\frac{D^2 + d^2}{16}\right) \cdot \left(-\frac{2}{d}\right) = \frac{D^2 + d^2}{8d}$$

Dacă pereții secțiunii inelare sunt subțiri, $D \approx d$, astfel că limita sâmburelui central a

secțiunii inelare devine: $y_0 \equiv \frac{D^2 + D^2}{8D} = \frac{2D^2}{8D} = \frac{D}{4}$,

fiind dublă față de limita sâmburelui central al secțiunii circulare pline. Urmare a acestui fapt, secțiunile circulare inelare prezintă o comportare la compresiune excentrică mai bună decât cele circulare pline.

bl.3 Secțiunea I (fig. 15.7)

Pe baza dimensiunilor geometrice ale secțiunii se calculează

$$i_y^2 = \frac{I_y}{A} \quad \text{și} \quad i_z^2 = \frac{I_z}{A}.$$

Ducând apoi drepte tangente la contur în pozițiile n_1-n_1 , n_2-n_2 , n_3-n_3 și n_4-n_4 , se stabilesc tăieturile fiecăreia a_y , a_z pe axele Oy și Oz după care, cu relațiile (15.9) se găsesc coordonatele punctelor C_1 , C_2 , C_3 și C_4 . Unind aceste puncte se obține un romb ce reprezintă limitele sâmburelui

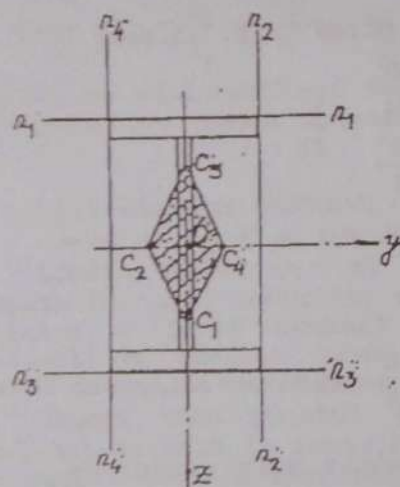


Fig. 15.7

central al secțiunii.

Observație

Cunoașterea limitelor sâmburelui central prezintă o importanță deosebită în alcătuirea elementelor de construcție, solicitate la compresiune excentrică, executate din materiale ce nu preiau tensiuni de întindere (zidăria, de cărămidă sau piatră, betoanele nearmate etc). Acestea trebuie astfel alcătuite încât forța excentrică să fie aplicată în limitele sâmburelui

central, poziție din care aceasta produce numai tensiuni de compresiune ce pot fi preluate de material.

În acest caz se zice că lucrează întreaga secțiune sau că toată secțiunea este activă. Dacă forța excentrică este aplicată în afara sâmburelui central, o anumită zonă din secțiune în care se dezvoltă tensiuni de întindere, devine inactivă, materialul neputând prelua întinderi.

15.3 ÎNTINDERE ȘI COMPRESIUNE EXCENTRICĂ CÂND PUNCTUL DE APLICAȚIE AL FORȚEI ESTE SITUAT PE O AXĂ PRINCIPALĂ DE INERȚIE A SECȚIUNII

La numeroase elemente de construcție solicitarea axială este însoțită de încovoiere plană, echivalentul ei fiind reprezentat printr-o forță având punctul de aplicație situat pe una din axele principale de inerție ale secțiunii. (fig. 15.8)

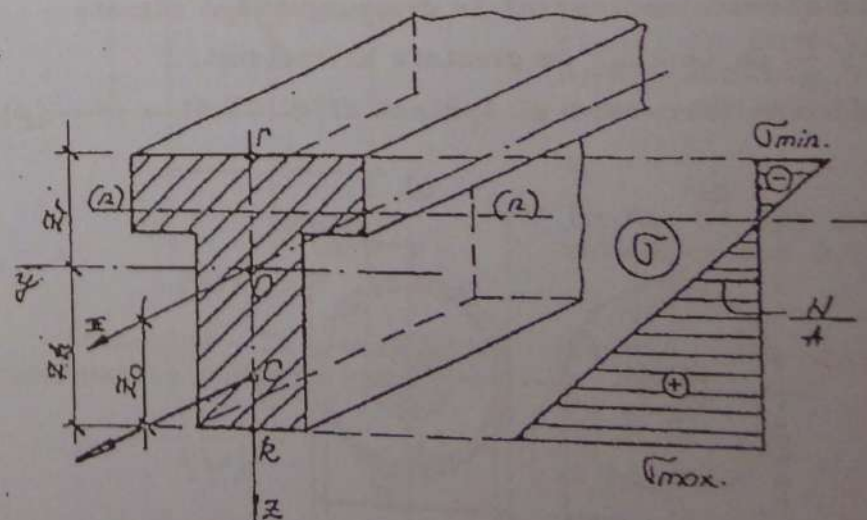


Fig. 15.8

Redusă în centrele de greutate ale secțiunilor, forța P dă naștere eforturilor

$$\begin{aligned} N &= P \\ M_y &= P \cdot z_0 = N \cdot z_0 \\ M_z &= 0 \end{aligned} \quad (15.10)$$

Starea de tensiune într-o astfel de secțiune se obține cu relația (15.3) particularizând eforturile conform relației (15.10):

$$\sigma = \frac{N}{A} + \frac{M_y}{I_y} \cdot z \quad (15.11)$$

sau cu relația 15.4 în care se înlocuiește $y_0 = 0$, corespunzător abscisei punctului C de aplicație a forței excentrice

$$\sigma = \frac{N}{A} \left(1 + \frac{z z_0}{i_y^2} \right) \quad (15.12)$$

Făcând în ecuația (15.12) pe $\sigma = 0$, se obține ecuația axei neutre

$$1 + \frac{z z_0}{i_y^2} = 0 \quad (15.13)$$

care reprezintă o dreaptă paralelă cu axa Oy la distanța

$$a_z = -\frac{i_y^2}{z_0} \quad (15.14)$$

Tensiunile normale extreme iau naștere în punctele k și r , cele mai depărtate de axa neutră

$$\sigma_k = \sigma_{\max} = \frac{N}{A} + \frac{M_y}{I_y} \cdot z_k \quad (15.15, a)$$

$$\sigma_r = \sigma_{\min} = \frac{N}{A} + \frac{M_y}{I_y} \cdot z_r \quad (15.15, b)$$

În cazul secțiunii dreptunghiulare, frecvent folosită în alcătuirea elementelor solicate la compresiune excentrică, relațiile de calcul suferă simplificări importante luând forme simple, ușor de aplicat în rezolvarea problemelor practice. Într-adevăr, notând $z_0 = e$, excentricitatea forței P și

$$\text{cu } i_y^2 = \frac{I_y}{A} = \frac{\frac{bh^3}{12}}{bh} = \frac{h^2}{12}, \text{ relația (15.12) devine}$$

$$\sigma = \frac{N}{A} \left(1 + \frac{12e}{h^2} z \right) \quad (15.16)$$

Cu aceeași substituție, ecuația axei neutre ia forma $1 + z \cdot e \cdot \frac{12}{h^2} = 1 + \frac{12e}{h^2} z = 0$ având tăietura pe

axa Oz

$$a_z = -\frac{h^2}{12e} \quad (15.17)$$

fiind reprezentată printr-o dreaptă paralelă cu axa Oy , la distanța a_z de aceasta.

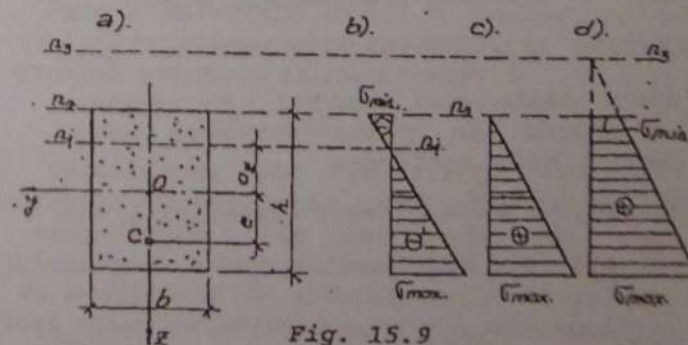


Fig. 15.9

Tensiunile extreme iau naștere în punctele cele mai depărtate de axa neutră respectiv în punctele de ordonate $\pm \frac{h}{2}$. Introducând în relația

$$(15.11) \text{ ordonata } z = \pm \frac{h}{2}, \text{ câtul } \frac{z}{I_y} \text{ devine}$$

$$\frac{\pm \frac{h}{2}}{I_y} = \pm \frac{1}{\frac{I_y}{\left(\frac{h}{2}\right)}} = \pm \frac{1}{W_y}, \text{ cu care tensiunile } \sigma \text{ din fibre-}$$

le extreme vor avea expresia

$$\sigma_{\frac{\max}{\min}} = \frac{N}{A} \pm \frac{M_y}{W_y} \quad (15.18)$$

Observând că $M_y = N \cdot e$ și $W_y = \frac{bh^2}{6} = b \cdot h \cdot \frac{h}{6} = A \cdot \frac{h}{6}$, ecuația (15.18) devine

$$\sigma_{\frac{\max}{\min}} = \frac{N}{A} \pm \frac{N \cdot e}{A \cdot \frac{h}{6}} = \frac{N}{A} \left(1 \pm \frac{6e}{h} \right) \quad (15.19)$$

Funcție de valoarea raportului $\frac{6e}{h}$, respectiv de mărimea excentricității $e = \frac{M_y}{N}$, în baza relației (15.19), se disting următoarele cazuri:

a) $\frac{6e}{h} > 1$ sau $e > \frac{h}{6}$; forța excentrică este aplicată în afara sâmburelui central. Pe secțiune iau naștere tensiuni de semne contrare (fig. 15.9,b). Axa neutră taie secțiunea;

b) $\frac{6e}{h} = 1$ sau $e = \frac{h}{6}$ - forța excentrică are punctul de aplicație pe limita sâmburelui central.

În secțiune iau naștere tensiuni de același semn (natură) având o distribuție triunghiulară (fig. 15.9,c). Axa neutră este tangenta la conturul secțiunii.

c) $\frac{6e}{h} < 1$ sau $e < \frac{h}{6}$ - forța excentrică are punctul de aplicație în interiorul sâmburelui central. Tensiunile normale σ sunt de aceeași natură (întinderi sau compresii) și au o distribuție trapezoidală (fig. 15.9,d). Axa neutră având poziția n_3-n_3 , nu taie secțiunea.

15.4 COMPRESIUNE EXCENTRICĂ ÎN CAZUL MATERIALELOR CE PREIAU TENSIUNI DE ÎNTINDERE

Dacă punctul de aplicație al forței excentrice de compresie este situat în afara sâmburelui central al secțiunii, axa neutră corespunzătoare taie secțiunea, divizând-o în două părți, una comprimată și alta întinsă (fig. 15.9,b). Atunci când materialul nu preia tensiuni de întindere, partea întinsă fisurează, devenind o zonă inactivă, acțiunea forței excentrice P fiind preluată numai de partea comprimată care formează zona activă a secțiunii.

În practică, astfel de situații pot fi întâlnite în secțiunile elementelor de zidărie din cărămidă sau piatră, în secțiunile de frontieră dintre talpa fundațiilor și terenul de fundare precum și a celor din beton simplu sau armat. Pentru ilustrare vom considera secțiunea dreptunghiulară din figura 15.10, supusă acțiunii unei forțe P , având excentricitatea $e = \frac{M_y}{N} > \frac{h}{6}$.

Admițând o distribuție liniară a tensiunilor σ pe înălțimea zonei active, volumul acestora N , din

secțiune trebuie să fie echivalent cu forța P ce solicită secțiunea în punctul $C(0, e)$.

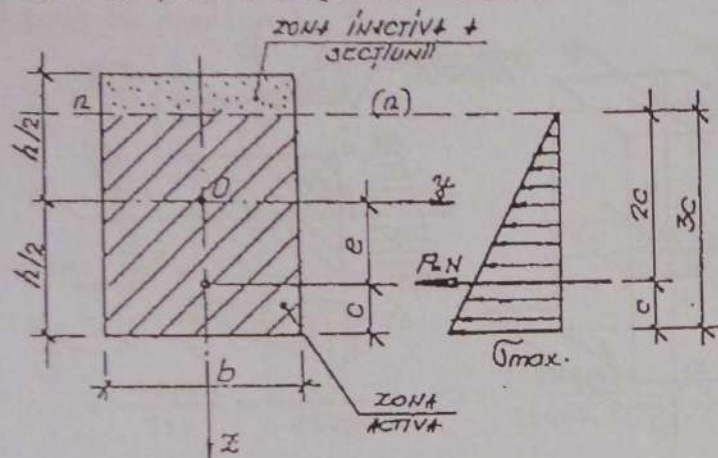


Fig. 15.10

Exprimând această echivalență ($N=P$) rezultă

$$N = \frac{\sigma_{\max} \cdot b \cdot 3c}{2}, \text{ din care se obține}$$

$$\sigma_{\max} = \frac{2N}{3bc} \quad (15.20)$$

în care, din considerente geometrice, $c = \frac{h}{2} - e$.

Înlocuind această valoare în relația (15.20) se obține expresia

$$\sigma_{\max} = \frac{2N}{3b\left(\frac{h}{2} - e\right)} = \frac{4N}{3b(h - 2e)} \quad (15.21)$$

care pune în evidență că pentru $e = \text{constant}$, tensiunea σ_{\max} este proporțională cu forța axială N .

Dacă poziția acesteia se apropie de marginea secțiunii tensiunile σ_{\max} cresc, ajungând la ∞ pentru

$e = \frac{h}{2}$ ($c=0$) așa cum rezultă din relația (15.20).

Pentru $e > \frac{h}{6}$, relația (15.21) devine inaplicabilă.

15.5 CALCULUL PRACTIC DE REZISTENȚĂ LA COMPRESIUNE ȘI ÎNTINDERE EXCENTRICĂ

Problemele calculului de rezistență la compresiune sau întindere excentrică privesc verificarea, dimensionarea și stabilirea capacității portante a unui element structural.

Rezolvarea acestora ca și în cazul celorlalte solicitări simple sau compuse se face pornind de la condiția ca în secțiunea cea mai solicitată (secțiunea periculoasă), tensiunile extreme să fie inferioare rezistențelor de calcul ale materialului. Pentru materiale prezentând comportare diferită la întindere și compresiune, aceasta are forma

$$\frac{\sigma_{\max}}{\sigma_{\min}} \leq R_t (R_c) \quad (15.22)$$

valoarea tensiunilor σ_{\max} și σ_{\min} determinându-se conform paragrafelor 15.1, 15.3 și 15.4.

Pentru materiale având o comportare identică la întindere și compresiune condiția de rezistență se exprimă printr-o singură relație

$$|\sigma|_{\max} \leq R \quad (15.23)$$

Verificarea de rezistență se face în secțiunile în care apar tensiunile de întindere și de compresiune cele mai mari (de regulă în secțiunile de eforturi secționale N , M_y , M_x maxime și în secțiunile cu slăbiri, unde în calcul se vor folosi caracteristicile nete ale acestora).

Dimensionarea unui element este posibilă numai prin încercări. Pentru aceasta se alege o secțiune (ca formă și dimensiuni) și apoi se verifică.

Dacă condiția de rezistență sau diferența $R - \sigma_{\max}$ sunt nesatisfăcătoare, dimensiunile secțiunii se modifică în sens corespunzător și calculul se reia. De regulă, după 2-3 iterații se ajunge la secțiunea căutată.

Capacitatea portantă a unui element solicitat la compresiune sau întindere excentrică se obține pe baza relațiilor (15.22) și (15.23) luate la limită în punctul cel mai solicitat al barei. Poziția acestuia va fi căutată în secțiunile de eforturi maxime sau cu slăbiri. Pentru o mai ușoară și intuitivă selectare este recomandată trasarea diagramelor σ , în secțiunile respective, din fiecare efort separat. Punctul de tensiune maximă de întindere sau compresiune rezultă prin suprapunerea efectelor (exemplul 16.6.3).

15.6 EXEMPLE DE CALCUL

Exemplul 15.6.1

Un stâlp din lemn de secțiune 25×30 cm este încărcat cu o forță $P = 300$ kN (fig. 15.11, a) în secțiunea de capăt, în punctul C(-3;5). Se cer eforturile secționale și tensiunile normale în colțurile secțiunii și în punctul C.

Rezolvare

Reducând forța P în oricare punct al axei longitudinale a stâlpului se obțin eforturile:

$$N = -P = -300 \text{ kN}; M_y = -P \cdot z_c = -300 \cdot 5 = -1500 \text{ kNcm};$$

$$M_x = P \cdot y_c = 300 \cdot 3 = 900 \text{ kNcm};$$

Având dimensiunile secțiunii se calculează caracteristicile ei geometrice:

$$A = 25 \cdot 35 = 750 \text{ cm}^2$$

$$W_y = 25 \cdot \frac{30^2}{6} = 3750 \text{ cm}^3$$

$$W_z = 25^2 \cdot \frac{30}{6} = 3125 \text{ cm}^3$$

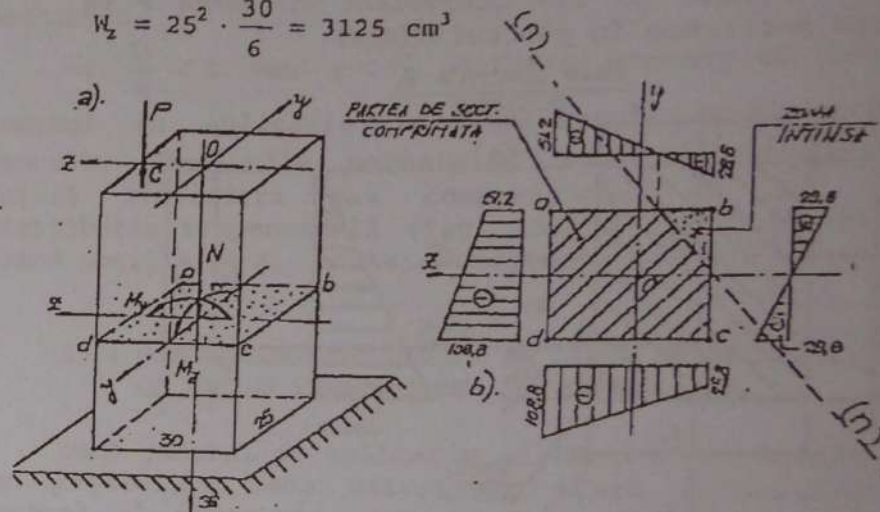


Fig. 15.11

Observând că momentul M_y produce întinderi în c și d și compresiuni în a și b, iar momentul M_x dă naștere la întinderi în a și b și compresiuni în c și d, cu relațiile (15.8) vom avea:

$$\sigma_a = -\frac{30000}{750} - \frac{150000}{3750} + \frac{90000}{3125} = -51,2 \frac{\text{daN}}{\text{cm}^2}$$

$$\sigma_b = -\frac{30000}{750} + \frac{150000}{3750} + \frac{90000}{3125} = 28,8 \frac{\text{daN}}{\text{cm}^2}$$

$$\sigma_c = -\frac{30000}{750} + \frac{150000}{3750} - \frac{90000}{3125} = -28,8 \frac{\text{daN}}{\text{cm}^2}$$

$$\sigma_d = -\frac{30000}{750} - \frac{150000}{3750} - \frac{90000}{3125} = -108,8 \frac{\text{daN}}{\text{cm}^2}$$

Pentru calculul tensiunii normale în punctul C(-3 și 5) se aplică relația generală (15.3), calculând în prealabil

$$I_y = 25 \times \frac{30^3}{12} = 56250 \text{ cm}^4$$

$$I_z = 30 \times \frac{25^3}{12} = 39062,5 \text{ cm}^4$$

Vom avea:

$$\begin{aligned} \sigma_c &= \frac{N}{A} + \frac{M_y}{I_y} y_c + \frac{M_z}{I_z} z_c = \\ &= \frac{-30000}{750} + \frac{(-150000)}{56250} (+5) + \frac{(+90000)}{39062,5} (-3) = \\ &= -40,13,303 - 6,912 = -60,245 \text{ daN/cm}^2. \end{aligned}$$

Reprezentând grafic valorile găsite, se obțin diagramele de variație ale tensiunilor pe laturile secțiunii (fig. 15.11, b)

Observație

Punctele de pe contur în care $\sigma=0$, aparțin axei neutre. Unind cele două puncte situate pe latura superioară și cea laterală dreapta se obține axa neutră în secțiunea n-n.

Exemplul 15.6.2

Un stâlp din beton simplu ($\gamma = 22 \text{ kN/m}^3$) având secțiunea transversală de $40 \times 60 \text{ cm}$ este încărcat cu o forță centrică $P = 40 \text{ kN}$ și o sarcină orizontală uniform distribuită $q = 4 \text{ kN/m}$ dată de vânt. Fundația stâlpului are dimensiunile în plan $70 \times 100 \text{ cm}$, înălțimea de $0,60 \text{ m}$ și este realizată centric (fig. 15.12, a). Cunoscând că în secțiunea 1-1 de la baza stâlpului se admit tensiuni de întindere de 3 daN/cm^2 , iar în secțiunea 2-2 de la baza fundației nu se admit întinderi, se cere să se traseze

diagramele de tensiuni normale în cele două secțiuni.

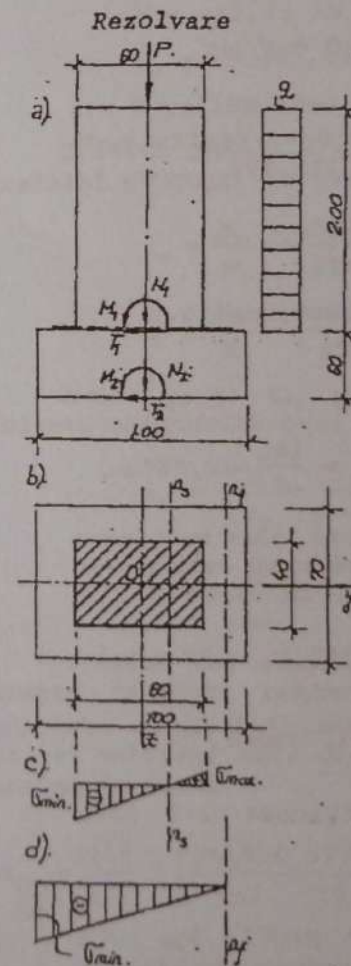


Fig. 15.12

Se calculează greutatea stâlpului G_s și a fundației G_f :

$$G_s = \gamma V_s = 22 \times 0,4 \times 0,6 \times 2 = 10,56 \text{ kN}$$

$$G_f = \gamma V_f = 22 \times 0,7 \times 1 \times 0,6 = 9,24 \text{ kN}$$

Se calculează eforturile în centrul de greutate al secțiunii 1-1:

$$N_1 = -(P + G_s) = -50,56 \text{ kN};$$

$$M_{s1} = M_1 = 2q \times 1 = -8 \text{ kNm};$$

$$T_{y1} = T_1 = 2q = 8 \text{ kN};$$

$$\begin{aligned} e_1 &= \frac{M_1}{N_1} = \frac{80000}{5056} = 15,822 \text{ cm} > \\ &> \frac{h}{6} = \frac{60}{6} = 10 \text{ cm} \end{aligned}$$

(axa neutră taie secțiunea).

Aplicând relația (15.19) se obțin tensiunile:

$$\sigma_{\frac{\max}{\min}} = \frac{N_1}{A} \left(1 \pm \frac{6e}{h} \right) = -\frac{5056}{40 \times 60} \left(1 \pm \frac{6 \cdot 15,822}{60} \right) =$$

$$= -2,107(1 \pm 1,582),$$

$$\sigma_{\max} = -2,107(1 - 1,582) = +1,227 \text{ daN/cm}^2$$

$$\sigma_{\min} = -2,107(1 + 1,582) = -5,440 \text{ daN/cm}^2.$$

Cu valorile găsite, diagrama tensiunilor σ s-a trasat în figura 15.12, c. Poziția axei neutre n_3-n_3 în secțiune va fi dată de relația (15.17)

$$e_y = -\frac{h^2}{12e_1} = -\frac{3600}{12 \times 15,822} = -18,961 \text{ cm}.$$

• Se calculează eforturile în secțiunea 2-2 :

$$N_2 = N_1 - G_2 = -59,80 \text{ kN};$$

$$M_2 = -2 \times 4 \times (0,6 + 1) = -12,80 \text{ kNm}$$

$$e_2 = \frac{M_2}{N_2} = \frac{128000}{5980} = 21,405 \text{ cm} > \frac{h_2}{6} = \frac{100}{6} = 16,667 \text{ cm},$$

rezultă că axa neutră taie secțiunea. Cum secțiunea 2-2 nu poate prelua întinderi, tensiunea maximă (în modul) se obține cu relația (15.20) în care:

$$c = \frac{h_2}{2} - e_2 = 50 - 16,667 = 33,330; b_2 = 70 \text{ cm};$$

$$\sigma_{\max} = \frac{2N_2}{3b_2c} = \frac{245980}{3 \cdot 70 \cdot 33,330} = -1,709 \text{ daN/cm}^2$$

Diagrama tensiunilor în secțiunea 2-2 este dată în figura 15.12, d.

Exemplul 15.6.3

O consolă realizată dintr-un profil I_{30} este încărcată cu sistemul de forțe arătat în figura

15.13. Cunoscând $R = 2100 \text{ daN/cm}^2$, $l = 3,20 \text{ m}$; $q = 20 \text{ kN/m}$ se cere:

- să se determine forța capabilă a barei P_{cap} ;
- corespunzător acesteia, să se traseze diagrama σ în secțiunea de încadrare a barei.

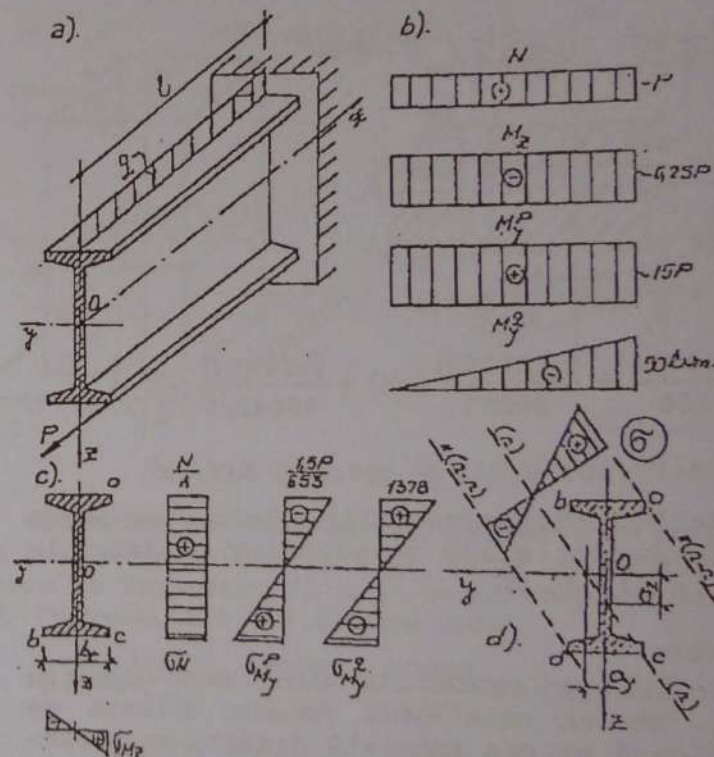


Fig. 15.13

Rezolvare

- Din anexa 5 se scot caracteristicile profilului I_{30} : $A = 69,40 \text{ cm}^2$, $W_y = 553 \text{ cm}^3$; $W_z = 72,2 \text{ cm}^3$; $b_t = 12,5 \text{ cm}$; $i_y^2 = 141,61 \text{ cm}^2$; $i_z^2 = 6,55 \text{ cm}^2$.
Se trasează diagramele de eforturi pe bara din încărcarea dată (fig. 15.13, b)

În secțiunea de încastrare se exprimă tensiunile normale σ și se trasează diagramele lor din fiecare efort separat (fig. 15.13,c).

$$\sigma_N = \frac{P}{A}; \quad \sigma_{N_y}^{(P)} = \pm \frac{M_y^P}{W_y} = \pm \frac{15P}{653}$$

$$\sigma_{N_y}^Q = + \frac{M_y^Q}{W_y} = \pm \frac{900000}{653} = \pm 1378 \text{ daN/cm}^2$$

$$\sigma_{N_z} = \pm \frac{M_z}{W_z} = \pm \frac{6,25P}{72,2}$$

În colțurile profilului vom avea:

$$\sigma_a = \frac{P}{69,10} + \frac{6,25P}{72,2} - \frac{15P}{653} + 1378 \text{ daN/cm}^2$$

$$= 0,0781 P + 1378 \text{ daN/cm}^2$$

$$\sigma_b = \frac{P}{69,10} - \frac{6,25P}{72,2} - \frac{15P}{653} + 1378 \text{ daN/cm}^2$$

$$= -0,09506P + 1378 \text{ daN/cm}^2$$

$$\sigma_c = \frac{P}{69,10} + \frac{6,25P}{72,2} + \frac{15P}{653} - 1378 \text{ daN/cm}^2 =$$

$$= 0,124P - 1378 \text{ daN/cm}^2$$

$$\sigma_d = \frac{P}{69,10} - \frac{6,25P}{72,2} + \frac{15P}{653} - 1378 \text{ daN/cm}^2 =$$

$$= -0,04912P - 1378 \text{ daN/cm}^2$$

Comparând valorile tensiunilor σ_a , σ_b , σ_c și σ_d rezultă: $\sigma_{max} = \sigma_a$; $\sigma_{min} = \sigma_d$. Bara fiind din oțel la care $R_t = R_c = R$, condiția de rezistență se va exprima prin relația (15.23), luată la limită

$$\sigma_{max} = 0,0781 P_{cap} + 1378 = R = 2100 \text{ din care se obține: } P_{cap} = 9245 \text{ daN} = 92,45 \text{ kN.}$$

b) cu valoarea găsită, eforturile în secțiunea de încastrare vor fi:

$$N = +92,45 \text{ kN}$$

$$M_y = -90 + 92,45 \cdot 0,15 = -76,1325 \text{ kNm}$$

$$M_z = -92,45 \cdot 0,0625 = -5,7781 \text{ kNm}$$

O forță paralelă cu axa barei care ar produce aceleași eforturi ar avea excentricitățile

$$y_0 = \frac{M_z}{N} = \frac{-57781}{9245} = -6,25 \text{ cm}$$

$$z_0 = \frac{M_y}{N} = \frac{-761325}{9245} = -82,35 \text{ cm}$$

Având y_0 și z_0 , cu relațiile (15.6) se calculează tăieturile axei neutre a secțiunii pe axe:

$$a_y = -\frac{i_z^2}{y_0} = -\frac{6,55}{-6,25} = 1,028 \text{ cm}$$

$$a_z = -\frac{i_y^2}{z_0} = -\frac{141,61}{-82,35} = +1,72$$

Trasând axa neutră (n-n) în secțiune și ducând drepte tangente conturului acesteia se regăsesc punctele a și d în care tensiunile normale σ au valori extreme, date de relația (15.8), ce poate fi scrisă în forma:

$$\sigma_{\frac{max}{min}} = \frac{9245}{69,10} \pm \left(\frac{761325}{653} + \frac{57781}{72,2} \right) = 133,792 \pm 1966,18;$$

$$\sigma_{max} = 133,792 + 1966,18 = 2099,972 \approx 2100 \text{ daN/cm}^2$$

$$\sigma_{min} = 133,792 - 1966,18 = -1832,388 \approx -1832 \text{ daN/cm}^2$$

Diagrama tensiunilor normale σ în secțiunea de încastrare este arătată în figura 15.13,d.

Exemplul 16.6.4

Un zid de subsol din beton simplu ($\gamma_b = 22 \text{ kN/m}^3$) suportă încărcarea dată de etajele superioare, acționând centric cu intensitatea $P = 80 \text{ kN/m}$ și împingerea laterală a pământului ($\gamma_p = 16 \text{ kN/m}^3$) echivalentă cu o forță orizontală $H = 30 \text{ kNm}$, acționând ca în figura 15.14,d.

Se cere:

a) verificarea de rezistență a zidului cunoscând că rezistența de calcul a betonului la întindere este $R_t = 4,50 \text{ daN/cm}^2$.

b) Poziționarea zidului pe fundație astfel încât pe talpa fundației să nu apară tensiuni de întindere (întreaga talpă a fundației să fie activă)

Rezolvare

Peretele de subsol și fundația fiind elemente lungi se vor calcula pe lungimi de $1,00 \text{ m}$, ca stâlpi de secțiune transversală $b \times 100 = 60 \times 100 \text{ cm}$ (fig. 15.14,b) și respectiv $B \times 100 \text{ cm}$ (fig. 15.14,c) încărcăți cu forțe verticale coliniare cu axa x (verticală) și cu forța orizontală H , aplicată ca în figura 15.14,a și 15.14,b. Intensitățile acestora au valorile $G_1 = 0,6 \times 1,0 \times 4 \times 22 = 52,80 \text{ kN}$
 $G_2 = 1,0 \times 1,30 \times 0,8 \times 22 = 22,88 \text{ kN}$; $P = 80 \text{ kN/m} \times 1 \text{ m} = 80 \text{ kN}$; $H = 30 \text{ kN/m} \times 1 \text{ m} = 30 \text{ kN}$

a) Calculul secțiunii 1-1

- Se reduc forțele exterioare în centrul de greutate O_1 al secțiunii (fig. 15.14,e);

$$N_1 = -(P + G_1) = -132,80 \text{ kN}$$

$$M_y = 0;$$

$$M_1 = \frac{4}{3} H = \frac{4}{3} \times 30 = 40 \text{ kNm};$$

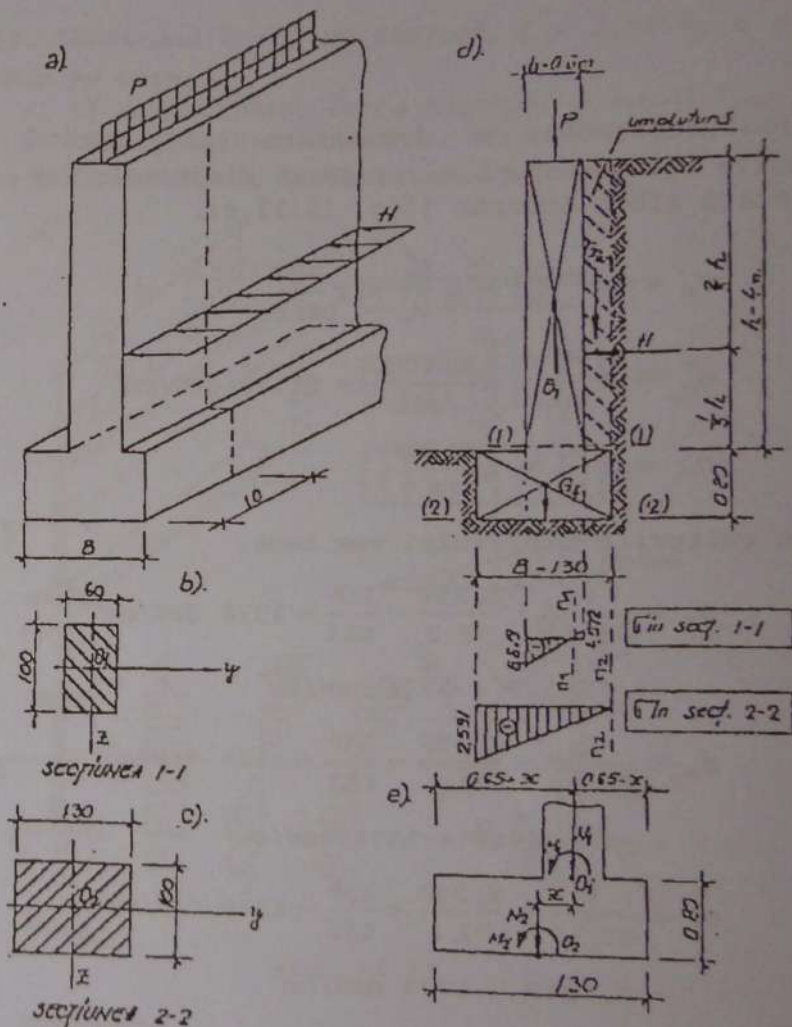


Fig. 15.14

- Se calculează caracteristicile geometrice ale secțiunii 1-1:

$$A = 60 \times 100 = 6000 \text{ cm}^2;$$

$$W_z = \frac{100 \times 60^2}{6} = 60000 \text{ cm}^3;$$

- Se calculează excentricitatea forței axiale în secțiunea 1-1

$$e_1 = \frac{M_1}{N_1} = \frac{400000}{13280} = 30,12 \text{ cm} > \frac{h}{2} = \frac{60}{2} = 30 \text{ cm}$$

(axa neutră taie secțiunea)

- Utilizând relația (15.19)

$$\sigma_{\max/\min} = \frac{N_1}{A_1} \left(1 \pm \frac{6e_1}{h_1} \right) = -\frac{13280}{6000} \left(1 \mp \frac{6 \times 30,12}{60} \right) = -2,213(1 \mp 3,012)$$

$$\sigma_{\max} = 4,452 \text{ daN/cm}^2 < R_t = 4,5 \text{ daN/cm}^2$$

$$\sigma_{\min} = -8,879 \text{ daN/cm}^2$$

- Se trasează axa neutră în secțiune utilizând relația (15.17)

$$a_y = -\frac{h^2}{12e_1} = -\frac{60^2}{12 \cdot (-30,12)} = 9,96 \text{ cm}$$

Diagrama tensiunilor σ în secțiune este dată în fig. (15.14,d).

b) Calculul secțiunii 2-2

Notând cu x distanța dintre centrele de greutate ale secțiunilor 1-1 și 2-2 și cu $G_u = (0,35-x) \times 1 \times 4 \times 16 = (0,35-x) \times 64$ kN greutatea prisme de umplutură situate pe talpa fundației, eforturile în punctul O_2 (fig. 15.14,d și e) vor fi:

$$N_2 = N_1 - G_t - G_u = -132,80 - 22,88 - 64(0,35-x) = -178,08 + 64x = -(178,08 - 64x)$$

$$M_{y,2} = 0;$$

$$M_2 = \left(\frac{4}{3} + 0,8 \right) H - (G_1 + P)x - G_u \left(x + \frac{0,65-x}{2} \right) =$$

$$= 40 + 24 - 52,8x - 64(0,35-x) \left(x + 0,65 - x \frac{0,35-x}{2} \right) = 64 - 132,8x - 64(0,35-x)(0,475 + 0,5x) = 32x^2 - 113,6x + 53,36$$

Pentru ca pe întreaga secțiune a tălpii să avem tensiuni de compresiune, este necesar ca axa neutră să ocupe poziția n_2-n_2 (fig. 15.14,d) careia îi corespunde o excentricitate a forței N_2 egală cu limita sâmburelui central, aflată în cadranul opus celui în care se află n_2-n_2 . Vom avea:

$$y_0 = e_2 = -\frac{h}{6} = -\frac{130}{6} = -21,667 \text{ cm} = -0,217 \text{ m.}$$

Pe de altă parte, funcție de M_2 și N_2 ,

$$e_2 = \frac{M_2}{N_2} = \frac{32x^2 - 113,6x + 53,36}{-(178,08 - 64x)}$$

Egalând cele două excentricități se obține e-

$$\text{cuția } \frac{32x^2 - 113,6x + 53,36}{-(178,08 - 64x)} = 0,217, \text{ care se mai}$$

scrie $32x^2 - 99,712x + 14,717 = 0$ și care are rădăcinile $x_1 = 2,96 \text{ m}$; $x_2 = 0,155 \text{ m}$. Eliminând soluția străină x_1 și reținând numai soluția $x = x_2 = 0,155 \text{ m}$, cu aceasta eforturile în secțiune 2-2 devin:

$$N_2 = -(178,08 - 64 \times 0,155) = -168,16 \text{ kN};$$

$$M_2 = 32 \times 0,155^2 - 113,6 \times 0,155 + 53,36 = -36,521 \text{ kNm}$$

Pentru $e_2 = 0,217 \text{ m}$, folosim relația (15.19)

$$\sigma_{\max/\min} = \frac{N_2}{A_2} \left(1 \mp \frac{6e_2}{h_2} \right) = \frac{-16816}{130 \times 100} \left(1 \mp \frac{6 \times 21,7}{130} \right) = -1,294(1 \mp 1,022)$$

$$\sigma_{\max} = -1,294(1 - 1,002) \approx 0$$

$$\sigma_{\min} = -1,294(1+1,002) = -2,591 \text{ daN/cm}^2$$

Diagrama de variație a acestora pe secțiunea 2-2 este arătată în figura 15.14,d.

Exemplul 15.6.5

Se cere dimensionarea unui zid de sprijin din piatră ($\gamma_s = 22 \text{ kN/m}^3$), destinat preluării împingerii laterale a pământului având o distribuție triunghiulară de intensitate maximă 35 kN/m^2 (fig. 15.5). În secțiunea 1-1 la baza zidului de sprijin se admit întinderi $R_t = 0,60 \text{ daN/cm}^2$ și compresiuni $R_c = 7,0 \text{ daN/cm}^2$. În secțiunea 2-2 nu se admit întinderi, iar tensiunea maximă de compresiune nu va depăși $2,00 \text{ daN/cm}^2$.

Rezolvare

Se adoptă pentru zidul de sprijin o secțiune trapezoidală și se aleg dimensiunile $b_0 = 80 \text{ cm}$, $b = 2,00 \text{ m}$, $b_u = 25 \text{ cm}$ (fig. 15.15,a). Fiind elemente lungi, zidurile de sprijin se calculează pe lungimea de 1 m , ca stâlpi având dimensiunile de $b \times 100$ (pentru zidul propriu-zis) și $B \times 100$ pentru fundație (fig. 15.15, b și d).

a) Verificarea secțiunii 1-1 a zidului

$$G_1 = 0,80 \times 4,50 \times 1 \times 22 = 79,20 \text{ kN}$$

$$G_2 = \frac{1}{2} 1,20 \times 4,50 \times 1 \times 22 = 59,40 \text{ kN}$$

$$N_1 = -(G_1 + G_2) = -138,60 \text{ kN}$$

$$M_1 = 4,50 \times \frac{35}{2} \times \frac{1}{3} 4,5 - G_1 \times 0,60 + G_2 \times 0,20 = 101,25 - 47,52 - 11,88 = 41,85 \text{ kNm}; M_{y1} = 0$$

$$e_1 = \frac{M_1}{N_1} = \frac{756000}{-13860} = -54,513 \text{ cm}$$

$$\frac{b}{6} = \frac{200}{6} = 33,33 < e_1 = 59,513 \text{ cm}$$

rezultă ca axa neutră taie secțiunea; tensiunile extreme în aceasta se calculează cu relația (15.19).

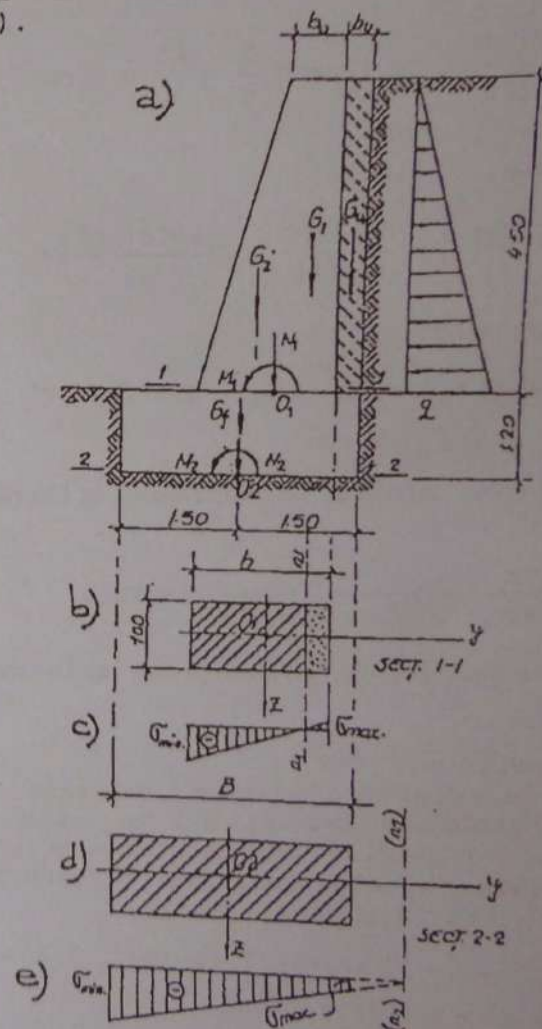


Fig. 15.15

$$\sigma_{\min} = \frac{N_1}{A_1} \left(1 \mp \frac{Ge_1}{b} \right) = - \frac{13800}{100 \times 200} \left(1 \mp \frac{659,513}{200} \right) =$$

$$= -0,69 (1 \mp 1,785) \text{ daN/cm}^2$$

$$\sigma_{\max} = -0,69 (1 - 1,785) = 0,542 \text{ daN/cm}^2 < R_c$$

$$\sigma_{\min} = -0,69 (1 + 1,785) = -1,922 \text{ daN/cm}^2$$

$$|\sigma_{\min}| = 1,922 \text{ daN/cm}^2 < R_c$$

Abscisa axei neutre calculată cu relația (15.17) în secțiune va fi:

$$a_{y1} = - \frac{b^2}{12e_1} = - \frac{200^2}{12 \times (-59,513)} = +56,010 \text{ cm}$$

Diagrama tensiunilor σ în secțiunea 1-1 este arătată în figura (15.15,c)

Alcătuirea secțiunii 2-2

$G_u = 0,25 \times 4,5 \times 18 = 20,25 \text{ kN}$. Alegând pentru blocul de fundație $h_f = 1,20 \text{ m}$; $B = 3,00 \text{ m}$; vom avea:

$$G_f = 3 \times 1,2 \times 1 \times 22 = 79,20 \text{ kN}$$

$$N_2 = N_1 - (G_u + G_f) = -238,05 \text{ kN}$$

$$M_2 = \left(1,2 + \frac{1}{3} 4,5 \right) H - (1,50 - 0,125) G_u - (1,50 - 0,65) G_f -$$

$$- \left(1,5 - 0,25 - 0,80 - \frac{1}{3} 1,2 \right) G_2 =$$

$$= 212,625 - (27,844 + 77,22 + 2,97) =$$

$$= 104,591 \text{ kNm};$$

$$e_2 = \frac{M_2}{N_2} = - \frac{1045910}{23805} = -43,936 \text{ cm}$$

$$\frac{B}{6} = \frac{300}{6} = 50 \text{ cm};$$

$e_2 = 43,936 \text{ cm} < \frac{B}{6} = 50 \text{ cm}$; axa neutră nu taie secțiunea.

Folosind relația (15.19)

$$\sigma_{\max} = \frac{N_2}{100B} \left(1 \mp \frac{6e_{y2}}{B} \right) = - \frac{23805}{30000} \left(1 \mp \frac{6 \cdot 43,936}{300} \right) =$$

$$= -0,794 (1 \mp 0,879)$$

$$\sigma_{\max} = -0,096 \text{ daN/cm}^2$$

$$\sigma_{\min} = -1,492 \text{ daN/cm}^2.$$

Axa neutră este dată de abscisa acesteia calculată cu relația (15.17).

$$a_{y2} = - \frac{B^2}{12e_{y2}} = - \frac{300^2}{12 \times (-43,936)} = 170,703 \text{ cm} = 1,707 \text{ m};$$

Cum $\sigma_{\max} < 0$ și $|\sigma_{\min}| < R_c$, secțiunea 2-2 poate fi acceptată ca fundație a zidului de sprijin. Distribuția tensiunilor în aceasta este dată în figura 15.15,e.

CAPITOLUL 16

ÎNCOVOIEREA CU TORSIUNE

16.1 GENERALITĂȚI. EFORTURI SECȚIONALE

O bară este solicitată la încovoiere cu torsiune atunci când încărcările ce-i sunt aplicate produc în secțiunile acesteia momente încovoietoare M și momente de torsiune M_t .

Obșnuit, aceste eforturi sunt însoțite și de forțe tăietoare T .

Încărcările ce conduc la astfel de solicitări sunt în general forțe sau sisteme de forțe al căror plan de acțiune nu conține axa barei (fig. 16.1, a). Dacă planul menționat este paralel cu unul din planele xOy sau xOz , torsiunea este cu încovoiere simplă, altfel solicitarea este de încovoiere dublă cu torsiune. În domeniul construcțiilor, acest tip de solicitare apare frecvent, pentru exemplificare, în figura (16.1, b și c) au fost selectate două exemple ilustrative în acest sens.

Grinda curbă plană încărcată cu forțe conținute în planul xOz (fig. 16.1, b) este solicitată la încovoiere cu torsiune. Într-adevăr, notând coordonatele centrului de greutate a secțiunii curente cu $(x, y, 0)$, eforturile produse de forța P în această secțiune vor fi

$$\begin{aligned} M_y &= -P(x_t - x) \\ M_x &= M_t = P(y_t - y) \\ T_z &= P \end{aligned} \quad (16.1)$$

Pentru $x=y=0$, deci în secțiunea de încastrare, eforturile secționale de mai sus au valoarea maximă

$$\begin{aligned} M_y &= -P \cdot x_t \\ M_x &= M_t = P \cdot y_t \\ T_z &= P \end{aligned} \quad (16.2)$$

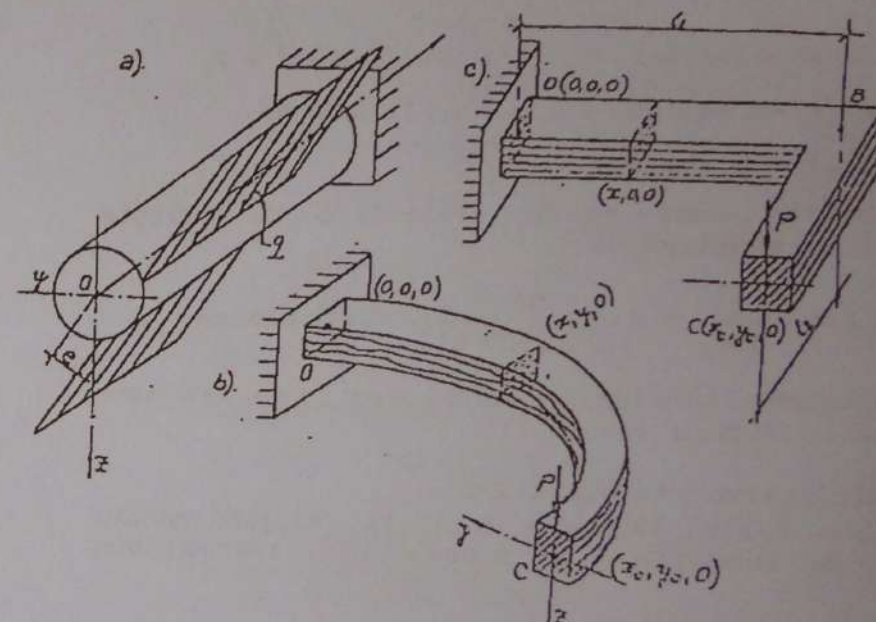


Fig. 16.1

În cazul grinzii cotate din figura 16.1, c, forța P produce în tronșonul BC încovoiere simplă cu forță tăietoare ($M_y \neq 0$; $T_z \neq 0$), iar în tronșonul AB, solicitările menționate sunt însoțite și de torsiune. În secțiunea curentă de coordonate $(x, 0, 0)$, valorile acestora vor fi:

$$\begin{aligned} M_y &= -P(\ell_1 - x) \\ M_x &= M_t = P \cdot \ell_2 \\ T_z &= P \end{aligned} \quad (16.3)$$

Secțiunea periculoasă a barei corespunde secțiunii de încadrare ($x=0$), pentru care:

$$\begin{aligned} M_y &= -P \cdot \ell_1 \\ M_x &= M_z = P \cdot \ell_2 \\ T_z &= P \end{aligned} \quad (16.4)$$

Pentru cazuri de încărcări mai complexe, cunoașterea stării de solicitare a barei rezultă pe baza diagramelor de eforturi (M_y , M_z , T_y , T_z , M_x) care se trasează pe baza regulilor generale stabilite în acest sens în capitolul 7.

16.2 TENSIUNI LA ÎNCOVOIEREA CU TORSIUNE A BAREI DE SECȚIUNE CIRCULARĂ

Referindu-ne la cazul general, al încovoierii duble cu torsionare, produse de încărcări acționând în același plan, vectorii M și T în secțiune sunt perpendiculari (v. cap.2). Având în vedere că orice diametru al secțiunii circulare este o axă de inerție principală, în studiul stării de tensiune din secțiune vom alege sistemul de axe confundat cu direcțiile vectorilor M și T (fig. 16.2, a).

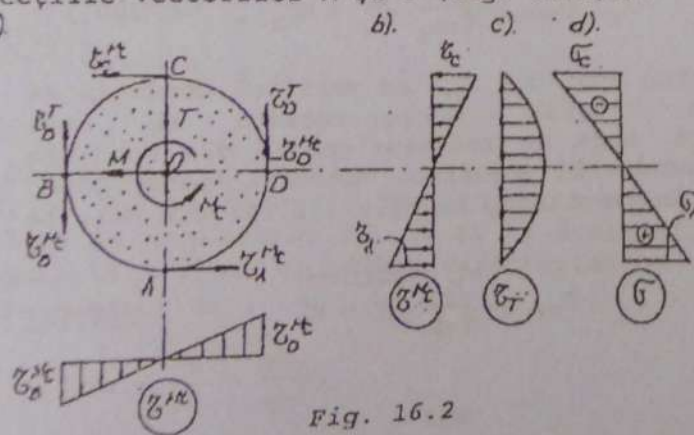


Fig. 16.2

Tensiunile produse în secțiune de eforturile M , T , M_t au fost stabilite în capitolele 11, 12 și 13, diagramele lor, trasate în figurile 16.2, b, c, d, e au ca valori caracteristice:

• în punctul A:

$$\tau_A^{M_t} = \frac{M_t}{W_p} ; \sigma_A = \frac{M}{W}$$

Tensiunile normale principale în acest punct, în baza formulei (13.41) vor avea expresia:

$$\sigma_{1,2}^A = \frac{\sigma_x}{2} \pm \sqrt{\left(\frac{\sigma_x}{2}\right)^2 + \tau_A^2} = \frac{M}{2W} \pm \sqrt{\left(\frac{M}{2W}\right)^2 + \left(\frac{M_t}{W_p}\right)^2} \quad (16.5)$$

Având în vedere că $W = \frac{\pi D^3}{32}$ iar $W_p = \frac{\pi D^3}{16}$ rezultă că $W_p = 2W$, astfel că relația (16.5) ia forma:

$$\sigma_{1,2}^A = \frac{M}{2W} \pm \sqrt{\left(\frac{M}{2W}\right)^2 + \frac{M_t^2}{(2W)^2}} = \frac{1}{2W} \left(M \pm \sqrt{M^2 + M_t^2} \right) \quad (16.6)$$

Pe lângă aceste tensiuni, în punctul A vor lua naștere și tensiuni tangențiale maxime, date de relația (13.43):

$$\tau_{\max} = \frac{\sigma_1^A - \sigma_2^A}{2} = \frac{1}{2W} \sqrt{M^2 + M_t^2} = \frac{16}{\pi D^3} \cdot \sqrt{M^2 + M_t^2} \quad (16.7)$$

• în punctul B iau naștere tensiunile

$$\tau_B^{M_t} = \frac{M_t}{W_p} ; \tau_B^T = \frac{4}{3} \cdot \frac{T}{A},$$

având ca rezultantă tensiunea

$$\tau_B = -\tau_B^M + \tau_B^T = -\frac{M_t}{W_p} + \frac{4}{3} \frac{T}{A} \quad (16.8)$$

Tensiunile normale din același punct vor fi:

$$\sigma_{1,2}^B = \pm \tau_B ; \tau_{\max}^B = \tau_B$$

• în punctul C:

$$\tau_C^M = \frac{M_t}{W_p} = \frac{M_t}{2W} ; \sigma_C = -\frac{M}{W} \quad (16.9)$$

$$\sigma_{1,2}^C = \frac{1}{2W} \left(-M \pm \sqrt{M^2 + M_t^2} \right)$$

$$\sigma_{\max} = \frac{16}{\pi D^3} \sqrt{M^2 + M_t^2}$$

• în punctul D

$$\tau_D = \tau_D^T + \tau_D^M = \frac{M_t}{W_p} + \frac{4}{3} \frac{T}{A} = \frac{M_t}{2W} + \frac{4}{3} \frac{T}{A} = \sigma_D^{\max} \quad (16.10)$$

$$\sigma_{1,2}^D = \pm \tau_D ; \tau_{\max}^D = \tau_D$$

Analizând diagramele din figura 16.3, rezultă că punctele secțiunii cele mai solicitate vor fi A și C în care se înregistrează tensiuni normale σ maxime, din încovoiere, și tensiuni tangențiale maxime τ din torsiune.

Din forfecare tensiunile τ se găsesc în punctele de pe axa neutră (B și D), adică tocmai acolo unde tensiunile normale din încovoiere sunt nule; de regulă, tensiunile τ au o importanță secundară și pot fi neglijate.

16.3 CALCULUL DE REZISTENȚĂ AL BARELOR DE SECȚIUNE CIRCULARĂ SOLICITATE LA ÎNCOVOIERE CU TORSIUNE

Așa cum s-a văzut în aliniatul precedent, la acest tip de solicitare, punctele din secțiune cele mai solicitate sunt acelea în care apar tensiuni din încovoiere și torsiune (în fig. 16.2, punctele A și C). Având în vedere relațiile (16.6) și (16.7), condiția de rezistență în acestea se va exprima prin inegalitățile:

$$\sigma_1 = \frac{1}{2W} \left(M + \sqrt{M^2 + M_t^2} \right) = \frac{16}{\pi D^3} \left(M + \sqrt{M^2 + M_t^2} \right) \leq R \quad (16.11)$$

$$\tau_{\max} = \frac{16}{\pi D^3} \sqrt{M^2 + M_t^2} \leq R_f \quad (16.12)$$

în care R și R_f sunt rezistențele de calcul ale materialului.

Verificarea de rezistență a unei astfel de bare revine la testarea existenței relațiilor (16.11) și (16.12) în secțiunea ei cea mai solicitată. Luând la limită inegalitățile (16.1) și (16.2), se obțin relațiile pentru *dimensionare*. Uzual se folosește în acest scop relația (16.12) din care rezultă:

$$D_{\text{nec}} = \sqrt[3]{\frac{16}{\pi R_f} \sqrt{M^2 + M_t^2}} \quad (16.13)$$

Adoptând apoi $D \geq D_{\text{nec}}$ se verifică condiția de rezistență (16.11). Dacă aceasta nu este satisfăcută, bara se redimensionează din condiția de rezistență în tensiuni normale principale, utilizând în acest scop relația (16.11) din care se obține:

$$D_{\text{nec}} = \sqrt[3]{\frac{16}{\pi R} \sqrt{M^2 + M_t^2}} \quad (16.14)$$

Odată stabilit diametrul D se verifică suplimentar tensiunile din punctele B și D (fig. 16.2).

16.4 TENSIUNI LA ÎNCOVOIEREA CU TORSIUNE A BAREI DE SECȚIUNE DREPTUNGHIULARĂ

Să considerăm o secțiune curentă a tronsonului AB al barei cotate din figura 16.1, c. Din acțiunea forței P , în aceasta ia naștere un moment $M_y < 0$, forța tăietoare $T_z > 0$ și un moment de torsiune M_t , date de relațiile (16.3). Tronsonul considerat va fi solicitat deci la încovoiere simplă cu forță tăietoare și la torsiune (fig. 16.3).

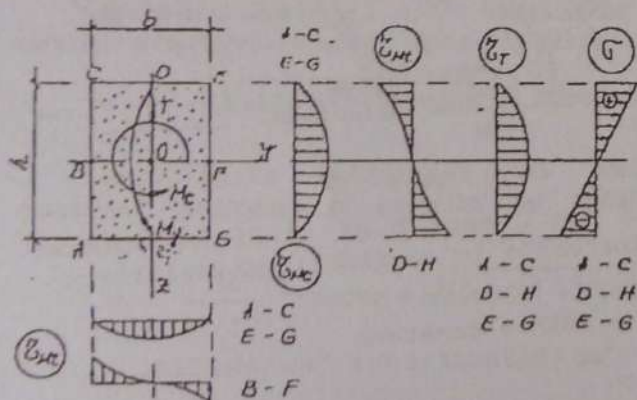


Fig. 16.3

Diagramele de tensiuni produse de eforturile M_y , T_z și M_t pe diferite direcții ale secțiunii, stabilite în capitolele 11, 12 și 13 sunt indicate în figura 16.3 și au ca valori caracteristice:

- în punctul D:

$$\sigma_D = \frac{M_y}{W_y} = \frac{6M_y}{bh^2}$$

$$\tau_D^M = \gamma \frac{M_t}{W_t} = \gamma \frac{M_t}{\beta hb^2}$$

Tensiunile normale principale în punctul D vor fi:

$$\sigma_{1,2} = \frac{\sigma}{2} \pm \sqrt{\left(\frac{\sigma}{2}\right)^2 + \tau_D^2} = \frac{M_y}{2W_y} \pm \sqrt{\left(\frac{M_y}{2W_y}\right)^2 + \left(\frac{\gamma M_t}{W_t}\right)^2} \quad (16.15)$$

Simultan, în punctul D vor exista și tensiuni tangențiale maxime date de relația

$$\tau_{\max} = \frac{\sigma_1 - \sigma_2}{2} = \sqrt{\left(\frac{M_y}{2W_y}\right)^2 + \left(\frac{\gamma M_t}{W_t}\right)^2} \quad (16.16)$$

În mod cu totul analog se procedează și pentru punctul H.

- în punctul F

$$\tau_F^T = \frac{3}{2} \cdot \frac{T}{A}; \quad \tau_F^M = \frac{M_t}{W_t} = \frac{M_t}{\beta hb^2}$$

Cele două tensiuni au aceeași direcție și același sens, astfel că tensiunea totală va fi

$$\tau_F = \tau_F^T + \tau_F^M = \frac{3}{2} \frac{T}{A} + \frac{M_t}{W_t} \quad (16.17)$$

Tensiunile principale, normale și tangențiale în acest punct, vor avea valorile:

$$\sigma_{1,2} = \pm \tau_F \quad (16.18)$$

- în punctul B

$$\tau_B^T = \frac{3}{2} \cdot \frac{T}{A}; \quad \tau_B^M = \frac{M_t}{W_t}$$

Având aceeași direcție dar sensuri opuse, rezultanta acestora va avea modulul

$$\tau_D = \tau_D^T + \tau_D^{M_t} = \frac{3}{2} \frac{T}{A} + \frac{M_t}{W_t} \quad (16.19)$$

Dacă bara este supusă la încovoiere oblică și torsiune, la starea de tensiune dată de M_y , T_z și M_t se mai adaugă cea produsă de M_x și T_y .

Analizând diagramele tensiunilor σ și τ pe secțiunea barei (fig. 16.3), se constată că punctele cele mai solicitate sunt B și F (în care apar tensiuni tangențiale maxime din M_t și T) la care se adaugă H și D (în care apar tensiuni normale maxime σ din M și tangențiale τ , din M_t).

În fiecare din acestea, condiția de rezistență a secțiunii se va exprima în tensiuni principale, normale și tangențiale, acestea putând avea o pondere importantă. În consecință, în punctele menționate va trebui să avem:

$$\sigma_1 = \frac{M_y}{2W_y} + \sqrt{\left(\frac{M_y}{W_y}\right)^2 + \left(\frac{\gamma M_t}{W_t}\right)^2} \leq R \quad (16.20)$$

$$\tau_{max} = \sqrt{\left(\frac{M_y}{W_y}\right)^2 + \left(\frac{\gamma M_t}{W_t}\right)^2} \leq R_t \quad (16.21)$$

Problema dimensionării secțiunilor acestor bare se rezolvă obișnuit prin încercări, făcându-se apoi verificarea, ce constă în testarea existenței relațiilor (16.20) și (16.21) în punctele cele mai solicitate din secțiune.

16.5 EXEMPLU DE CALCUL

O bară cotită din oțel ($R = 2100 \text{ daN/cm}^2$; $R_t = 1300 \text{ daN/cm}^2$) este solicitată ca în figura 16.4. Cunoșcând că forța P acționează normal pe planul AB și BC, se cere:

- trasarea diagramelor de eforturi pe bară;
- dimensionarea secțiunii barei de formă circulară.

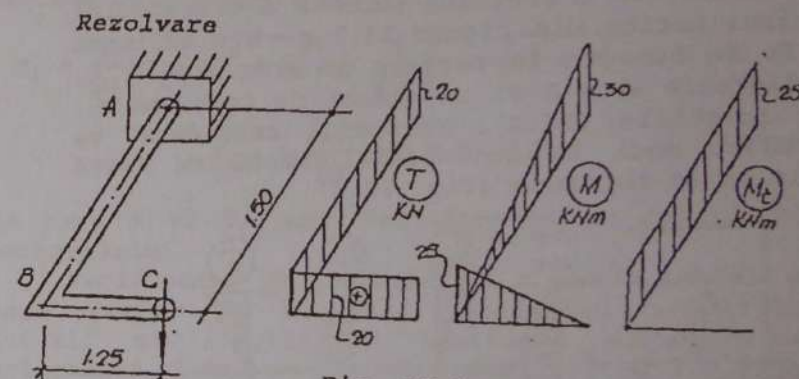


Fig. 16.4

- Pornind din C spre A și utilizând metoda secțiunilor, eforturile în secțiunile caracteristice ale barei vor fi:

$$T = T_z = P = 20 \text{ kN} = \text{constant}$$

$$M_C = 0$$

$$M_{BC} = 1,25 \times P = -25 \text{ kNm}$$

$$M_{BA} = 0 \times P = 0$$

$$M_{AB} = 1,5P = 30 \text{ kNm}$$

$$M_{t,C} = M_{t,BC} = 0$$

$$M_{t,BA} = M_{t,AB} = 1,25 \times P = 25 \text{ kNm.}$$

Diagramele eforturilor pe bară sunt indicate în figurile 16.4, b, c și d.

b) Analizând diagramele de eforturi rezultă că secțiunea cea mai sollicitată a barei este cea de încastrare în care apar eforturile $T = 20 \text{ kN}$, $M = 30 \text{ kN}$ și $M_z = 25 \text{ kN}$, în consecință, aceasta va fi sollicitată la încovoiere simplă cu forță tăietoare și torsiune.

Folosind relația (16.13) vom avea:

$$D_{\text{nec}} = \sqrt{\frac{16}{\pi \cdot 1300} \sqrt{300000^2 + 250000^2}} = 11,523 \text{ cm}$$

Adoptând $D = 12 \text{ cm}$, tensiunile tangențiale maxime efective, vor fi date de relația (16.12):

$$\tau_{\text{max}} = \frac{16}{\pi \cdot 12^3} \sqrt{300000^2 + 250000^2} = 1150 \text{ daN/cm}^2 < R_t$$

Verificarea condiției de rezistență în tensiuni principale normale se face cu relația (16.11):

$$\sigma_1 = \frac{16}{\pi \cdot 12^3} \left(300000 + \sqrt{300000^2 + 250000^2} \right) = 2035 \text{ daN/cm}^2 < R = 2100 \text{ daN/cm}^2$$

CAPITOLUL 17

STABILITATEA BAREI DREPTÉ

17.1 GENERALITĂȚI. FENOMENUL FIZIC ȘI REPLICAREA LUI

Barele cu lungimi relative mari în raport cu dimensiunile lor transversale, sollicitate la compresiune centrică, se încovoiează cu mult înainte ca în secțiunile acestora să apară tensiunile limită σ_c sau σ_r ce corespund distrugerii prin strivire. Acest fenomen fizic poartă denumirea de flambaj. Trecerea barei din formă de echilibru dreaptă, în formă curbă corespunde pierderii capacității ei portante nu datorită atingerii limitelor de rezistență a materialului (σ_c , σ_r), ci datorită pierderii stabilității formei inițiale. Cauzele acestui fenomen sunt multiple. Dintre cele mai importante se pot menționa:

- forțele P de compresiune nu sunt aplicate perfect centric;
- axa barei considerată o linie dreaptă poate prezenta mici devieri de la această formă;
- materialul din componența barei, considerat perfect omogen, poate prezenta abateri de la modelul ideal conducând la devieri ale liniei centrelor de masă, în raport cu axa geometrică a corpului.

Cauzele menționate conduc la mici excentricități între suportul forței P și centrelor de greutate ale secțiunilor transversale ale barelor, datorită cărora, pe lângă efortul axia N în bară ia naștere și un moment încovoietor M , al cărui efect este de încovoiere.

Excentricitățile menționate fiind foarte mici, la valori mici a forței P , momentele încovoietoare menționate sunt reduse iar efectul lor neglijabil. Pe măsura creșterii forței P , cresc momentele M și deformațiile de încovoiere (săgețile) produse de ele, care adăugându-se la excentricitățile inițiale, măresc și mai mult brațul de pârghie al forței P , producând o creștere rapidă a momentului M , până la valoarea de rupere a barei.

Pentru ca acest lucru să nu aibă loc, este necesar ca forța P să fie limitată stadiului în care deformațiile barei din încovoiere sunt neglijabile (nesesizabile), astfel încât bara să rămână în forma inițială dreaptă.

Valoarea forței P pentru care echilibrul barei este posibil, atât în forma dreaptă cât și pe cea curbă, poartă denumirea de sarcină critică de flambaj, notată cu P_{cr} . Având definită această mărime, condiția ca o bară comprimată să nu-și piardă forma inițială de echilibru (decă să nu flambaze) se va exprima prin relația evidentă

$$P_{max} < P_{cr} \quad (17.1)$$

17.2 DETERMINAREA SARCINII CRITICE DE FLAMBAJ. FORMULA LUI EULER

Așa cum s-a văzut în aliniatul precedent, producerea fenomenului de flambaj este în directă legătură cu apariția și dezvoltarea deformațiilor barei prin încovoiere. Aceste deformații (vezi cap. 12) depind de reazemele (legăturile) barei, în consecință, la rândul lor, sarcinile critice de flambaj P_{cr} , vor depinde și ele de modul de fixare a barei. Sub acest aspect, în domeniul construcțiilor sunt întâlnite:

- bare dublu articulate;
- bare încastrate la un capăt și articulate la capătul opus;

c) bare încastrate la un capăt și libere la capătul opus;

d) bare dublu încastrate.

Pentru determinarea sarcinilor critice de flambaj ale acestora, se admit următoarele ipoteze:

- flambajul barei se produce în domeniul elastic de sollicitare;
- se neglijează scurtarea barei prin compresie;
- ecuația diferențială a axei deformată a barei prin flambaj are forma ecuației diferențiale a barei încovoiate $\frac{d^2 w}{dx^2} = -\frac{M(x)}{EI}$;
- se neglijează efectul deformațiilor din forțe tăietoare.

Având în vedere cele arătate mai sus, bara dublu articulată OA, având lungimea l , aria secțiunii transversale A și modulul de elasticitate E , încărcată cu forța axială P , va avea forma deformată (flambată), așa indicată punctat în figura (17.1).

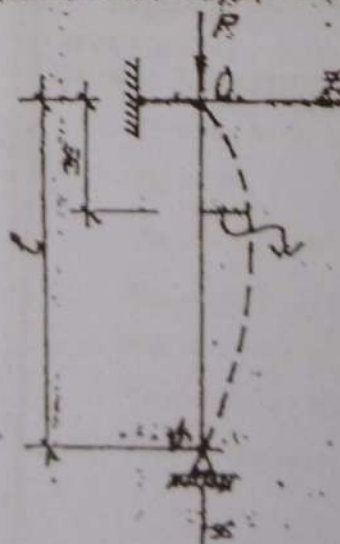


Fig. 17.1

Alegând sistemul de referință cu axa x verticală și axa z orizontală și notând cu w deplasarea pe orizontală în secțiunea x , ecuația diferențială a axei deformată a barei devine

$$\frac{d^2 w}{dx^2} = -\frac{M(x)}{EI} \quad (17.2)$$

În care $M(x) = P \cdot w$ reprezintă momentul încovoietor calculat pe axa deformată. Înlocuind expresia acestuia în ecuația (17.2) se obține:

$$\frac{d^2 w}{dx^2} = \frac{-P \cdot w}{EI}, \text{ care se mai scrie}$$

$$\frac{d^2 w}{dx^2} + \frac{P}{EI} w = 0$$

Notând

$$\frac{P}{EI} = \alpha^2$$

ecuația (17.3) ia forma

$$\frac{d^2 w}{dx^2} + \alpha^2 w = 0$$

și reprezintă o ecuație diferențială liniară omogenă, cu coeficienți constanți, de ordinul doi a cărei soluție are forma generală

$$w = C_1 \cos \alpha x + C_2 \sin \alpha x \quad (17.6)$$

în care C_1 și C_2 sunt constante de integrare ce se determină din condiții limită privitoare la modul de fixare a capetelor barei. În cazul studiat, capetele O și A fiind articulate, deplasările w din acestea vor fi zero, în consecință vom avea următoarele două condiții la limită:

a) $x = 0$; $w_0 = 0$, care înlocuită în ecuația (17.6) conduce la relația $0 = C_1 \cos 0 + C_2 \sin 0$, din care rezultă $C_1 = 0$.

b) $x = l$; $w_A = 0$. Înlocuind această valoare în relația (17.6) se obține $0 = 0 + C_2 \sin \alpha l = 0$, din care rezultă ecuația

$$C_2 \sin \alpha l = 0 \quad (17.7)$$

ce are două soluții: $C_2 = 0$ și $\sin \alpha l = 0$. Prima dintre ele se exclude, întrucât pentru $C_2 = 0$, ecuația (17.6) se reduce la $w = 0$, ceea ce ar

însemna că nu există flambaj, deformațiile w fiind nule pe toată lungimea barei.

Cum bara este deformată, rezultă că $C_2 \neq 0$, iar

$$\sin \alpha l = 0 \quad (17.8)$$

Ecuația (17.8) are o infinitate de soluții

$$\alpha l = k\pi, \quad k = 0, 1, 2, 3, \dots \quad (17.9)$$

punând în evidență existența unei infinități de valori a forței P ce conduc la flambajul barei.

Întrucât P_{cr} este reprezentată de cea mai mică forță ce conduce la flambajul barei, corespunzător acesteia, din soluțiile (17.9) vom reține soluția

minimă $\alpha l = \pi$, din care $\alpha = \frac{\pi}{l}$. Înlocuind această

valoare în relația (17.4), se obține $\frac{P_{cr}}{EI} = \frac{\pi^2}{l^2}$, și apoi

$$P_{cr} = \frac{\pi^2 EI}{l^2} \quad (17.10)$$

Relația (17.10) poartă denumirea de formula lui Euler, după numele autorului care a stabilit-o în anul 1744.

Dacă bara este încastrată la un capăt și articulată la capătul opus, flambajul acesteia se produce ca în figura 17.2, a. Forța critică de flambaj, dedusă printr-un calcul similar cu cel folosit la bara dublu articulată are expresia:

$$P_{cr} = \frac{\pi^2 EI}{(0,7l)^2} \quad (17.11)$$

Barele încastrate la un capăt și libere la capătul opus (fig. 17.2, c) și cele dublu încastrate (fig. 17.2, b), prin flambaj iau formele marcate punctat în figurile indicate.

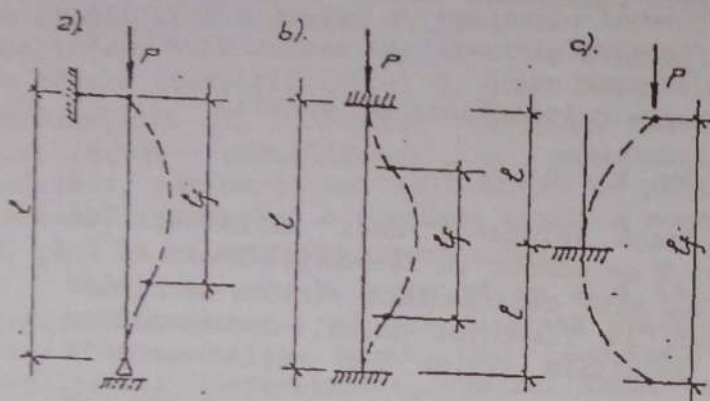


Fig. 17.2

Sarcinile critice de flambaj corespunzătoare acestora, se deduc similar deducerii sarcinii critice P_{cr} la bara dublu articulată și au valorile

$$P_{cr} = \frac{\pi^2 EI}{(2l)^2} \quad (17.12)$$

$$P_{cr} = \frac{\pi^2 EI}{(0,5l)^2} \quad (17.13)$$

Analizând expresiile forțelor critice de flambaj P_{cr} , pentru cele patru moduri de rezemare a barelor se constată că acestea pot fi sintetizate într-o singură relație

$$P_{cr} = \frac{\pi^2 EI}{\ell_f^2} \quad (17.14)$$

în care ℓ_f poartă denumirea de lungime de flambaj și are semnificația geometrică de lungime a barei, cuprinse între două puncte de inflexiune ale axei deformate (fig. 17.2). Valorile acesteia, rezultă din compararea relației (17.14) cu relațiile (17.10), (17.11), (17.12), (17.13):

- $\ell_f = l$ - pentru bara dublu articulată;
- $\ell_f = 0,7l$ - pentru bara încastrată la un capăt și articulată la capătul opus;
- $\ell_f = 2l$ - pentru bara încastrată la un capăt și liberă la capătul opus;
- $\ell_f = 0,5l$ - pentru bara dublu încastrată.

Momentul de inerție I ce intră în expresiile forței critice P_{cr} reprezintă momentul de inerție minim al secțiunii transversale, bara pierzându-și stabilitatea pe direcția de rigiditate minimă. Având în vedere acest lucru, relația (17.14) ia forma

$$P_{cr} = \frac{\pi^2 EI_{\min}}{\ell_f^2} \quad (17.15)$$

17.3 LIMITA DE VALABILITATE A FORMULEI LUI EULER

Notând cu A aria secțiunii transversale, tensiunile normale produse în aceasta de forța critică P_{cr} , în baza relației (9.5) au expresia

$$\sigma_{cr} = \frac{P_{cr}}{A} = \frac{\pi^2 EI_{\min}}{A \cdot \ell_f^2} \quad (17.16)$$

Având în vedere că $I_{\min} = A \cdot i_{\min}^2$, i_{\min} fiind raza de girație minimă a secțiunii, relația (17.16) devine

$$\sigma_{cr} = \frac{\pi^2 E i_{\min}^2}{\ell_f^2} = \frac{\pi^2 E}{\left(\frac{\ell_f}{i_{\min}}\right)^2} \quad (17.17)$$

Raportul ℓ_e/i_{\min} dintre lungimea de flambaj a barei și raza de girație minimă a secțiunii, poartă denumirea de coeficient de zveltețe sau coeficient de subțirime și se notează cu λ :

$$\lambda = \frac{\ell_e}{i_{\min}} \quad (17.18)$$

Cu aceasta, expresia tensiunilor critice de flambaj (17.17) devine

$$\sigma_{cr} = \frac{\pi^2 E}{\lambda^2} \quad (17.19)$$

În consecință, tensiunile critice de flambaj depind (sunt funcții) de coeficientul de zveltețe λ .

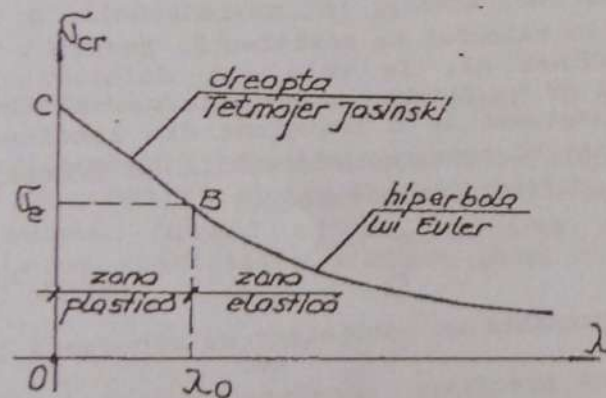


Fig. 17.3

Conform relației (17.19) funcția $\sigma_{cr}(\lambda)$ este reprezentată printr-o curbă hiperbolică, numită hiperbola lui Euler (fig. 17.3). Ea se apropie asimptotic de axa λ , punând în evidență că σ_{cr} descrește și tinde spre zero, când λ crește.

Pentru a nu se ajunge la bare cu capacitate critică de flambaj prea mică, care, având coeficienți de zveltețe prea mari ar prezenta

sensibilitate exagerată la lovituri și vibrații, în practica elementelor structurale coeficienții λ sunt limitați la anumite valori maxim admise λ_0 , ce poartă denumirea de coeficienți de zveltețe admisibili.

Valorile acestora sunt date în norme tehnice în funcție de tipul elementului, sistemul structural, felul construcției etc. Așa spre exemplu, pentru stâlpii principali, cu inimă plină, realizați din oțel la halele industriale $\lambda_0 = 120$, pentru diagonalele și montanții comprimați din componenta fermelor cu zăbrele $\lambda_0 = 150$. În consecință, elementele structurale comprimate și întinse centric, pe lângă alte condiții (rezistență, rigiditate etc) vor trebui să îndeplinească și condiția de zveltețe, care se exprimă prin relația:

$$\lambda \leq \lambda_0 \quad (17.20)$$

În Anexa 12 sunt prezentate valorile λ_0 pentru câteva elemente structurale solicitate axial din domeniul construcțiilor metalice. Ținând seama că formula lui Euler a fost stabilită pornind de la

ecuația fibrei medii deformate $\frac{d^2 w}{dx^2} = -\frac{M}{EI}$, deduse

în ipoteza valabilității legii lui Hooke, tensiunile σ_{cr} date de relația (17.19) trebuie să se găsească numai în domeniul de existență al acestei legi, respectiv pe domeniul de elasticitate al materialului, delimitat superior de tensiunea

σ_e . În consecință, va trebui să avem: $\sigma_{cr} = \frac{\pi^2 E}{\lambda^2} \leq \sigma_e$.

din care rezultă $\lambda^2 \geq \frac{\pi^2 E}{\sigma_e}$. Dacă se notează $\lambda_0^2 = \frac{\pi^2 E}{\sigma_e}$

sau $\lambda_0 = \pi \sqrt{\frac{E}{\sigma_c}}$, tensiunile σ_{cr} vor fi inferioare tensiunilor σ_c pentru orice λ care satisface relația

$$\lambda \geq \lambda_0 \quad (17.21)$$

ce definește deci limita de valabilitate a formulei lui Euler.

Pentru oțelul moale de construcții OL37, cu $E = 2,1 \times 10^6$ daN/cm² și $\sigma_c = 1900$ daN/cm² rezultă $\lambda_0 \approx 105$ iar pentru oțelul OL52 având același modul de elasticitate și $\sigma_c = 2850$ daN/cm² se obține $\lambda \approx 85$. Cum pentru $\lambda < \lambda_0$, formula lui Euler conduce la tensiuni $\sigma_{cr} > \sigma_c$, intervalul de la $\lambda = 0$ până la $\lambda = \lambda_0$, de nevalabilitate a formulei lui Euler, este numit *zonă plastică*, spre deosebire de *zonă de valabilitate a formulei*, în care $\sigma_{cr} \leq \sigma_c$ numită *zonă elastică* (fig. 17.3).

Dacă formula lui Euler este valabilă numai pentru domeniul $\lambda \geq \lambda_0$, se pune întrebarea firească: cum se vor calcula la flambaj barele având $\lambda < \lambda_0$, adică în domeniul plastic. Pentru rezolvarea acestei probleme au fost propuse numeroase formule empirice de legătură între σ_{cr} și λ , una din cele mai folosite fiind dată de Tetmayer - Iasinski, sub forma relației liniare

$$\sigma_{cr} = a - b\lambda \quad (17.22)$$

reprezentate grafic în figura 17.3 prin dreapta BC. Termenii a și b ai relației menționate sunt constante ce se determină experimental pentru fiecare material în parte. Pentru oțelul moale de construcții OL37, aceștia au valorile $a = 3100$ și $b = 11,40$, astfel că tensiunea critică se va exprima prin relația $\sigma_{cr} = 3100 - 11,4\lambda$, în care λ este dat de relația (17.18). Pentru lemn, $a = 293$; $b = 1,94$, cu care $\sigma_{cr} = 293 - 1,94 \lambda$.

Rezumând cele arătate mai sus, vom reține deci că tensiunile critice de flambaj σ_{cr} se obțin cu formula lui Euler (17.19) în domeniul $\lambda_0 > \lambda \geq \lambda_0$ și din formulele Tetmayer-Iasinski (17.22) pe domeniul $0 < \lambda < \lambda_0$ (vezi fig. 17.3).

17.4 CALCULUL PRACTIC AL BARELOR LA FLAMBAJ

Tensiunile critice de flambaj σ_{cr} sunt mărimi limită la care bara cedează prin flambaj.

Ele joacă deci același rol cu tensiunile σ_c și σ_r utilizate în calculul de rezistență. Pentru a se avea certitudinea că, în cele mai defavorabile situații bara nu va flamba, tensiunile normale din aceasta se limitează la o fracțiune din tensiunea critică σ_{cr} , numită tensiune admisibilă la flambaj, notată cu σ_{af} , definită prin raportul

$$\sigma_{af} = \frac{\sigma_{cr}}{C_f} \quad (17.23)$$

în care C_f reprezintă un coeficient de siguranță la flambaj.

Cu această precizare, condiția de stabilitate a barei se va exprima prin relația

$$\sigma = \frac{N}{A} \leq \sigma_{af} \quad (17.24)$$

Rezultând din împărțirea tensiunii critice σ_{cr} printr-o constantă C_f este evident că σ_{af} variază, ca și σ_{cr} în funcție de λ . Ea reprezintă o caracteristică de calcul la flambaj care se exprimă uzual prin intermediul rezistenței de calcul a materialului R și a unui coeficient $\varphi(\lambda)$, numit coeficient de flambaj, prin expresia:

$$\sigma_{st} = \varphi(\lambda) \cdot R = \varphi R \quad (17.25)$$

Valoarea coeficientului $\varphi(\lambda)$ este întotdeauna subunitară ($\varphi \leq 1$), motiv pentru care acesta se mai numește și coeficient de reducere la flambaj, el depinzând de materialul din care este alcătuită bara și de coeficientul ei de zveltețe λ . Pentru principalele materiale de construcții, coeficienții φ sunt dați în normele tehnice sub formă de tabele, funcție de diferite valori ale coeficientului de zveltețe λ (Anexa 14).

Având în vedere relațiile (17.24) și (17.25), condiția ce asigură stabilitatea barei se va exprima prin relația:

$$\sigma = \frac{N}{A} \leq \varphi R \quad (17.26)$$

Împărțită cu φ , aceasta ia forma: $\frac{\sigma}{\varphi} = \frac{N}{\varphi A} \leq R$,

în care raportul σ/φ definește tensiunea normală maximă ce poate fi admisă în bară, fără ca aceasta să flambeze. Notând cu σ_{max} valoarea acesteia, condiția de stabilitate a barei, dată de relația (17.26) devine

$$\sigma_{max} = \frac{N}{\varphi A} \leq R \quad (17.27)$$

Observând că forma acesteia este aceeași cu aceea a condiției de rezistență (9.7), rezultă că toate calculele de stabilitate la flambaj se vor efectua ca și în cazul compresiunii simple (fără flambaj), luând însă în locul ariei A , produsul φA .

Conținutul problemelor rezistenței materialelor privind calculul la flambaj este cel întâlnit la toate celelalte solicitări simple sau compuse iar rezolvarea lor se face pe baza relației (17.27). Fiind dată o bară, supusă la compresiune de o forță

axială P , de lungime l și secțiune transversală A , realizată dintr-un material având rezistența de calcul R , verificarea acesteia la compresiune cu flambaj revine la testarea satisfacerii inegalității (17.27). Pentru aceasta se calculează în prealabil lungimea de flambaj l_f în funcție de modul de fixare a capetelor barei și coeficientul de zveltețe λ dat de relația (17.18), în care $i_{min} = \sqrt{\frac{I_{min}}{A}}$; $I_{min} = \min[I_y, I_z]$. Cu λ astfel obținut, din anexa 14 rezultă coeficientul de reducere la flambaj φ .

La limită, inegalitatea (17.27) definește ecuația

$$\frac{N}{\varphi A} = R \quad (17.28)$$

din care se deduce:

a) Formula pentru dimensionare la flambaj

$$A_{nec} = \frac{N}{\varphi R} \quad (17.29)$$

Pentru aplicarea acesteia se calculează efortul axial N în funcție de încărcarea exterioară P și se alege materialul din care se va realiza bara, în baza căruia rezultă rezistența de calcul R .

Coeficientul de reducere la flambaj φ este funcție de aria secțiunii care, la dimensionare este necunoscută. Pentru aceasta, dimensionarea la compresiune cu flambaj se efectuează în unul din următoarele moduri:

a) Prin încercări

Folosind Anexa 12 se alege un coeficient de zveltețe $\lambda \leq \lambda_s$ în raport de care din anexa 14 se scoate coeficientul φ .

Apoi cu relația (17.29) se calculează λ_{nec} și se alcătuieste secțiunea ca formă și dimensiuni după care se verifică cu relația (17.27).

Dacă această inegalitate nu se verifică sau dacă diferența $R - \sigma_{max}$ este mare, conducând la o soluție neeconomicoasă, secțiunea se modifică în sens corespunzător și se reverifycă folosind aceeași relație. Efectuând câteva "tatonări" succesive, se ajunge la soluția căutată.

a2) Utilizând metoda coeficientului ξ

Se calculează un coeficient dat de relația

$$\xi = \ell_e \sqrt{\frac{kR}{P}} \quad (17.30)$$

în care ℓ_e reprezintă lungimea de flambaj a barei (Anexa 15) iar k o caracteristică a secțiunii ($k = \lambda^2/1$) dată în Anexa 13.

Având valoarea ξ , din Anexa 14 se obține coeficientul de reducere la flambaj φ .

În continuare, algoritmul de calcul pentru dimensionarea secțiunii este cel folosit la punctul a1, după obținerea coeficientului de flambaj φ .

b) Formula pentru calculul capacității portante la compresiune cu flambaj

$$N_{cap} = \varphi \cdot A \cdot R \quad (17.31)$$

în care φ se calculează după algoritmul folosit în calculul de verificare la flambaj cu relația (17.27).

Observații

1) Slăbirile locale influențează nesemnificativ mărimea forței critice de pierdere a stabilității barei, motiv pentru care în calculul la flambaj prezentat mai sus, aria A va avea semnificația de arie brută. Dacă slăbirea este mai importantă, suplimentar devine necesar a se face o verificare de

rezistență la compresiune centrică, în secțiunea slăbită, cu relația (9.12).

2) Fenomenul de pierdere a stabilității, studiat mai sus pentru bara dreaptă este întâlnit și în cazul altor structuri: bare curbe și arce, grinzi de secțiuni puțin rigide la încovoiere laterală (flambaj lateral), plăci curbe subțiri etc. În cazul plăcilor plane comprimate, fenomenul de pierdere a stabilității poartă denumirea de voalare.

17.5 FLAMBAJUL BARELOR DE SECȚIUNE COMPUSĂ

Dacă forța de compresiune transmisă unei bare este mare, secțiunea acesteia se alcătuieste din două sau mai multe profile legate între ele prin elemente de solidarizare, dispuse la anumite distanțe cu rol de asigurare a conlucrării și comportării secțiunilor ca un tot unitar. În figura 17.4 sunt indicate câteva moduri posibile de alcătuire, întâlnite în domeniul construcțiilor metalice.

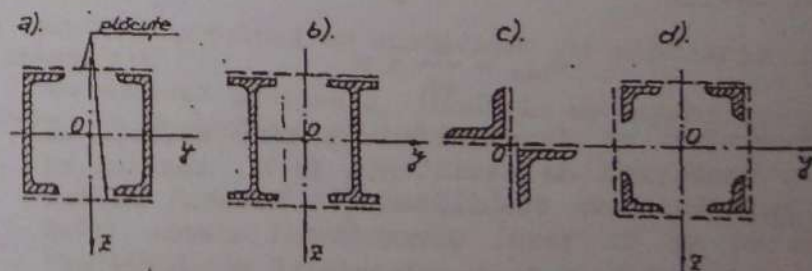


Fig. 17.4

Axele principale de inerție se numesc materiale și imateriale după cum acestea intersectează sau nu materialul secțiunii profilului.

Secțiunile indicate în figurile 17.4, a și b au câte o axa materială (Oy) și una imaterială (Oz), iar secțiunile din figurile 17.4, c și d au ambele axe

principale imateriale. Solidarizarea elementelor componente ale secțiunii poate fi realizată cu plăcuțe (fig. 17.5,a) sau cu zăbrelețe (fig. 17.5,b).

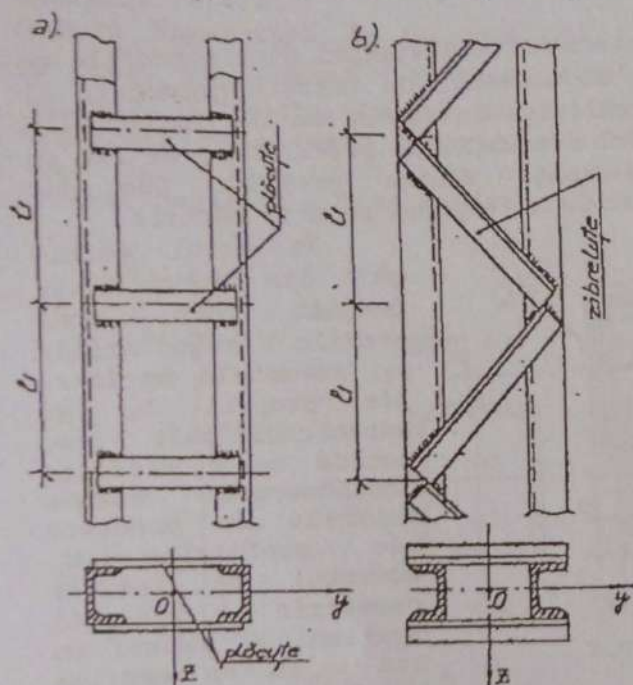


Fig. 17.5

Tensiunile critice σ_{cr} de pierdere a stabilității unei astfel de bare în raport cu axa materială sunt cele date de relația (17.19).

În raport cu axa imaterială, calculul acestora este diferit și se face cu relația

$$\sigma_{cr} = \frac{\pi^2 EI}{\lambda_{tr}^2} \quad (17.32)$$

în care λ_{tr} poartă denumirea de coeficient de zveltețe transformat.

Valoarea acestuia este dată de relația

$$\lambda_{tr} = \sqrt{\lambda_z^2 + \lambda_1^2} \quad (17.33)$$

în care λ_z reprezintă coeficientul de zveltețe al barei în raport cu axa imaterială Oz: $\lambda_z = \frac{\ell_z}{i_z}$, în

care $i_z = \sqrt{\frac{I_z}{A}}$, iar ℓ_z este lungimea de flambaj a barei pe direcția Oxy (se va observa că flambajul în raport cu axa materială se produce pe direcția z iar cel în raport cu axa imaterială oz pe direcția y).

Coeficientul de zveltețe λ_1 se referă la pierderea stabilității unui singur element al secțiunii pe lungimea ℓ_1 (fig. 17.5). În cazul solidarizării cu plăcuțe $\lambda_1 = \frac{\ell_1}{i_1}$; ℓ_1 fiind distanța

dintre axele a două plăcuțe consecutive iar i_1 raza de girație minimă a secțiunii transversale a unui singur profil, selectată din tabelul profilelor laminate.

Din considerente constructive, normele tehnice impun valoarea

$$\lambda_1 = \frac{\ell_1}{i_1} \leq 40 \quad (17.34)$$

Condiția de stabilitate a unei bare de secțiune compusă, se exprimă prin relația (17.27) în care A reprezintă suma ariilor tuturor profilelor din alcătuirea secțiunii compuse, iar ϕ se obține din Anexa 14 în funcție de λ , definit ca valoare maximă între λ_y și λ_{tr} ($\lambda = \max(\lambda_y, \lambda_{tr})$).

Remarcăm astfel că problema calculului de verificare și de stabilire a capacității portante la barele comprimate cu secțiune compusă diferă de cel

al barelor cu două axe materiale numai prin modul de stabilire a coeficientului φ și al ariei A .

Privitor la problema dimensionării, aceasta este puțin diferită, având ca obiect stabilirea mărimii profilelor, a distanței dintre acestea și dintre plăcuțe.

Urmare a acestui fapt, calculul se efectuează în două etape. În prima din ele se stabilește mărimea profilelor printr-un calcul în raport cu axa materială care se face cu totul identic cu cel prezentat în aliniatul 17.4.

Odată mărimea profilelor stabilită, distanța dintre ele se determină din condiția ca bara să aibă aceeași capacitate portantă în raport cu ambele axe (materială și imaterială) ceea ce revine la condiția

$$\lambda_y = \lambda_{cr} \quad (17.35)$$

Înlocuindu-l pe λ_{cr} din această relație cu expresia acestuia dată de (17.33), succesiv se obține:

$$\lambda_y = \sqrt{\lambda_z^2 + \lambda_1^2}; \quad \lambda_y^2 = \lambda_z^2 + \lambda_1^2.$$

Din ultima relație se calculează

$$\lambda_{z,nec} = \sqrt{\lambda_y^2 - \lambda_1^2} \quad (17.36)$$

Dacă lungimea l_1 nu este dată, ea se alege pe baza relației (17.34) din inegalitatea $l_1 \leq 40i_1$.

Având în vedere că $\lambda_{z,nec} = \frac{l_{fz}}{i_{z,nec}}$, se

calculează $i_{z,nec} = \frac{l_{fz}}{\lambda_{z,nec}}$ și apoi

$$I_{z,nec} = i_{z,nec}^2 \Lambda = \Lambda \left(\frac{l_{fz}}{\lambda_{z,nec}} \right)^2 \quad (17.37)$$

Pentru determinarea distanței dintre profile se egalează $I_{z,nec}$ cu momentul de inerție geometric al secțiunii I_z , calculat în raport cu axa imaterială. Se obține astfel o ecuație de gradul doi, ce are ca necunoscută distanța dintre profile. Una din rădăcinile acestuia va exprima soluția căutată.

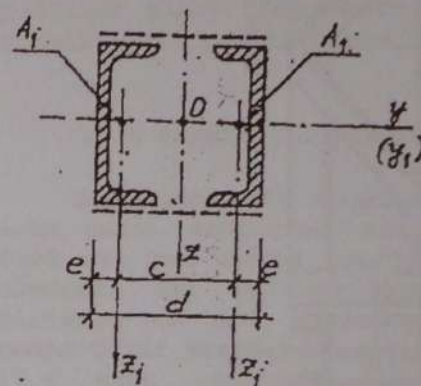


Fig. 17.6

În cazul secțiunii din figura 17.6, compuse din două profile U având ariile A_1 , momentele de inerție proprii I_{z1} și excentricitățile e , notând cu c distanța (necunoscută) dintre centrele de greutate ale profilelor U, momentul de inerție geometric al întregii secțiuni în raport cu axa z se va exprima sub forma:

$$I_z = 2 \left[I_{z1} + A_1 \cdot \left(\frac{c}{2} \right)^2 \right]$$

Punând condiția $I_z = I_{z,nec}$ se obține ecuația de gradul doi în c , $2 \left[I_{z1} + A_1 \cdot \left(\frac{c}{2} \right)^2 \right] = I_{z,nec}$. Reținând soluția ce corespunde problemei se obține distanța c și apoi cea dintre fețele laterale ale inimilor, mai ușor de măsurat, $d = c + 2e$.

17.6 EXEMPLE DE CALCUL

Exemplul 17.6.1

O bară încastrată la un capăt și liberă la capătul opus, de lungime $l = 2\text{ m}$ și alcătuită din două profile U_18 alăturate și sudate între ele, este încărcată cu o forță centrică de compresie $P = 840\text{ kN}$ (fig. 17.7). Se cere verificarea stabilității barei ($R = 2100\text{ daN/cm}^2$).

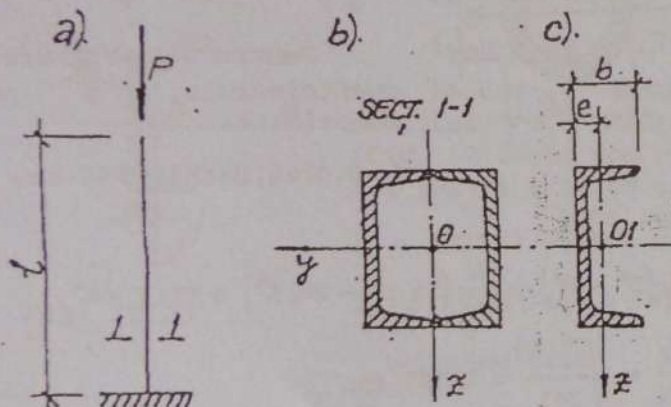


Fig. 17.7

Rezolvare

Pentru verificare se folosește relația (17.27); $N = P = 840\text{ kN}$. Caracteristicile geometrice ale profilului U_{18} , extrase din Anexa 4 sunt: $A_1 = 28\text{ cm}^2$; $I_{y1} = 1350\text{ cm}^4$, $I_x = 114\text{ cm}^4$, $e = 1,92\text{ cm}$, $b = 70\text{ mm}$. Pentru secțiunea transversală a barei (fig. 17.7, b) vom avea:

$$A = 2 \times 28 = 56\text{ cm}^2;$$

$$I_y = 2 \times 1350 = 2700\text{ cm}^4;$$

$$I_x = 2 \left[114 + 20(b - e)^2 \right] = 1673\text{ cm}^4; \quad I_{\min} = I_x;$$

$$i_{\min} = \sqrt{\frac{I_{\min}}{A}} = 5,466\text{ cm}$$

Lungimea de flambaj a barei, corespunzătoare rezemărilor acesteia este $l_f = 2l = 4\text{ m} = 400\text{ cm}$. Cu aceasta: $\lambda = \frac{l_f}{i_{\min}} = \frac{400}{5,466} = 73$.

Din anexa 14 se obține $\varphi = 0,743$.

Înlocuind elementele determinate mai sus în relația (17.27) se obține

$$\sigma_{\max} = \frac{84000}{0,743 \times 56} = 2019 \frac{\text{daN}}{\text{cm}^2} < R$$

Prin urmare, stabilitatea barei este asigurată.

Exemplul 17.6.2

Se cere să se dimensioneze un stâlp încastrat la un capăt și articulat la capătul opus, de lungime $l = 4\text{ m}$, încărcat cu o forță centrică $P = 800\text{ kN}$ (fig. 17.8). Se dă $R = 2100\text{ daN/cm}^2$.

Rezolvare

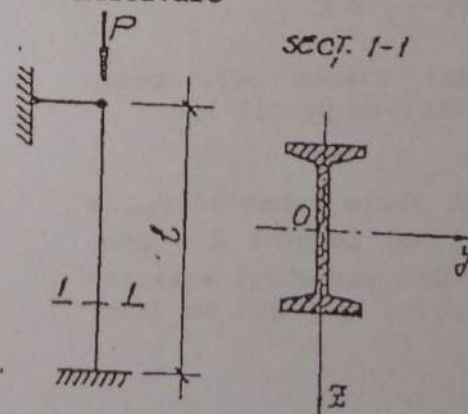


Fig. 17.8

Se utilizează metoda coeficientului ξ . În acest scop, din Anexa 13, se determină $k = 9,65$ iar pe baza datelor problemei se stabilesc:

$$\begin{aligned} l_f &= 0,7l = 0,7 \times 400 = \\ &= 280\text{ cm}; \\ N &= P = 800\text{ kN} = \\ &= 80000\text{ daN și} \end{aligned}$$

$$R = 2100 \text{ daN/cm}^2$$

Folosind relația (17.30) vom avea:

$$\xi = 280 \sqrt{\frac{9,65 \times 2100}{80000}} = 140,924 = 141$$

Din anexa 14 corespunzător valorii ξ astfel determinate rezultă $\varphi = 0,573$. Pentru dimensionare se utilizează relația (17.29)

$$\Lambda_{nec} = \frac{80000}{0,573 \times 2100} = 66,484 \text{ cm}^2$$

Corespunzător acestei arii, din Anexa 5 rezultă un profil I_{30} având: $A = 69,10 \text{ cm}^2$; $i_{min} = i_z = 2,56 \text{ cm}$. Pentru verificarea profilului ales, se calculează

$$\lambda = \frac{l_f}{i_{min}} = \frac{280}{2,56} = 109$$

și apoi, din Anexa 14 se scoate $\varphi = 0,553$. Folosind relația (17.27) vom avea:

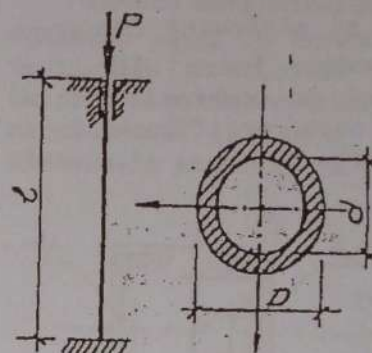
$$\sigma_{max} = \frac{80000}{0,553 \times 69,10} = 2094 \frac{\text{daN}}{\text{cm}^2} < R$$

în consecință, secțiunea aleasă este bună, bara urmând a fi realizată dintr-un profil I_{30} .

Exemplul 17.6.3

Se cere să se determine forța capabilă P_{cap} a unui stâlp, dublu încastrat, de lungime $l = 15\text{m}$, realizat din țevă de oțel având diametrul exterior $D = 245 \text{ mm}$ și diametrul interior $d = 205 \text{ mm}$ (fig. 17.9).

Rezolvare



Se utilizează relația (17.31) în care

$$\Lambda = \frac{\pi}{4} (D^2 - d^2) =$$

$$= \frac{\pi}{4} (24,5^2 - 20,5^2) = 141 \text{ cm}^2$$

Pentru obținerea coeficientului φ se calculează:

$$l_f = 0,5l = 0,5 \times 1500 = 750 \text{ cm};$$

Fig. 17.9

$$I = \frac{\pi}{64} (D^4 - d^4) = \frac{\pi}{64} (24,5^4 - 20,5^4) = 9017 \text{ cm}^4;$$

$$i = \sqrt{\frac{I}{A}} = \sqrt{\frac{9017}{141}} = 7,997 \text{ cm};$$

$$\lambda = \frac{l_f}{i} = \frac{750}{7,997} = 93,786 = 94$$

Din Anexa 14 se obține $\varphi = 0,660$, cu care

$$N_{cap} = \varphi AR = 0,660 \times 144 \times 2100 = 1954,26 \times 10^2 \text{ daN} \equiv 1954 \text{ kN}.$$

Exemplul 17.6.4

Un stâlp metalic dublu articulată de lungime $l = 7\text{m}$, este alcătuit din două profile U_z distanțate la 15 cm unul de celălalt și solidarizate cu plăcuțe (fig. 17.10). Se cere să se verifice dacă stâlpul poate fi încărcat cu o forță centrică de compresie $P = 1000 \text{ kN}$.

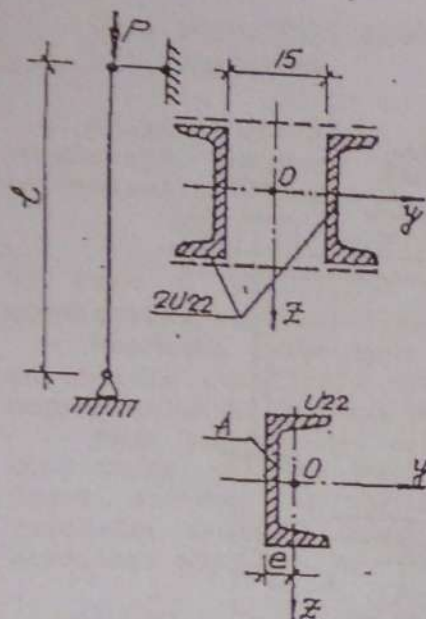


Fig. 17.10

Rezolvare

Din anexa 4 se extrag caracteristicile geometrice ale profilului U_{22} :

$$A = 37,4 \text{ cm}^2;$$

$$e = 2,14 \text{ cm};$$

$$I_y = 2690 \text{ cm}^4;$$

$$I_z = 197 \text{ cm}^4;$$

$$i_{1,\min} = i_z = 2,30 \text{ cm}$$

Pentru întreaga secțiune a stâlpului (fig. 17.10,b) vom avea:

$$A = 2 \times 37,4 = 74,80 \text{ cm}^2$$

$$I_y = 2 \times 2690 = 5380 \text{ cm}^4$$

$$I_z = 2 \left[197 + 37,4 (7,5 + e)^2 \right] = 7345 \text{ cm}^4$$

$$i_y = \sqrt{\frac{I_y}{A}} = 8,481 \text{ cm}; \quad i_z = \sqrt{\frac{I_z}{A}} = 9,91 \text{ cm}$$

Lungimii lui de flambaj $\ell_f = 700 \text{ cm}$, în raport cu axele Oy și Oz , îi vor corespunde următorii coeficienți de zveltețe:

$$\lambda_y = \frac{\ell_f}{i_y} = \frac{700}{8,481} = 82,537 \approx 83$$

$$\lambda_z = \frac{\ell_f}{i_z} = \frac{700}{9,910} = 70,636 \approx 71$$

Distanța ℓ_1 dintre plăcuțe nefiind dată, se va calcula în baza relației (17.34):

$$\ell_1 \leq 40 i_{1,\min} = 40 \times 2,30 = 92 \text{ cm}$$

$$\text{Adoptând } \ell_1 = \frac{\ell}{8} = \frac{700}{8} = 87,50 \text{ cm} < 40 i_{1,\min} = 92 \text{ cm}$$

(lungimea stâlpului s-a divizat într-un număr întreg de panouri), vom avea

$$\lambda_1 = \frac{\ell_1}{i_1} = \frac{87,5}{2,30} = 38$$

$$\lambda_{tr} = \sqrt{\lambda_z^2 + \lambda_1^2} = \sqrt{71^2 + 38^2} = 80,530 \approx 81$$

Pe baza valorilor de mai sus se deduce $\lambda_{max} = \lambda_y = 83$ pentru care, din Anexa 14 rezultă $\phi = 0,673$. Folosind relația (17.27) vom avea:

$$\sigma_{max} = \frac{100000}{0,673 \cdot 74,80} = 1986 \frac{\text{daN}}{\text{cm}^2} < R$$

În concluzie, bara poate fi încărcată cu $P = 1000 \text{ kN}$ fără să-și piardă capacitatea portantă prin flambaj.

CAPITOLUL 18

SOLICITĂRI DINAMICE

18.1 GENERALITĂȚI

În toate problemele de tensiuni și deformații studiate în capitolele precedente, acțiunea forțelor a fost considerată statică, adică crescând lent și continuu de la valoarea zero la valoarea finală. Ca urmare a vitezelor reduse și uniforme de creștere a intensității forțelor, accelerațiile imprimate de acestora corpurilor sollicitate sunt practic neglijabile.

În numeroase alte cazuri, forțele ce sollicită construcțiile sau elementele de construcție, pe timpul duratei lor de aplicare sau acțiune își modifică rapid modulul, direcția și sensul, imprimând corpurilor sollicitate accelerații a.

Asemenea acțiuni mecanice se numesc generic dinamice iar forțele care le produc, forțe dinamice. În figura (18.1,a) este arătată acțiunea unei mașini (având organe în mișcare) asupra unei grinzi, iar în figura (18.1,b) căderea unui corp pe un element structural.

Acțiunea vântului ce suflă în rafale și acțiunea cutremurelor de pământ asupra construcțiilor (fig. 18.1,c) sunt încărcări dinamice cu frecvențe deosebit de importante pentru construcții. Tot în categoria acestora pot fi menționate acțiunile valurilor mării asupra digurilor (fig. 18.1,d), avalanșele de zăpadă și alunecările de teren, inundațiile, baterea piloților, izbirea accidentală a unor vehicule etc.

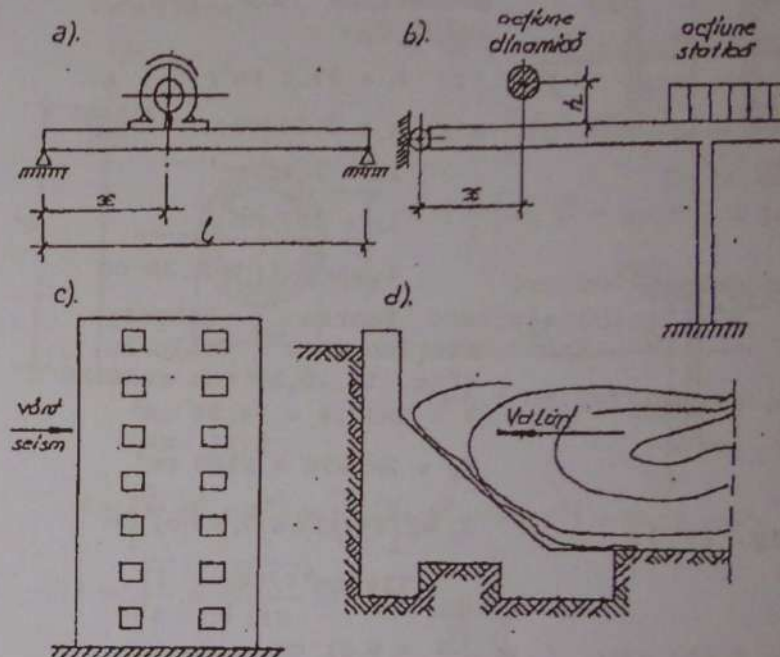


Fig. 18.1

Acțiunea dinamică a încărcărilor asupra construcțiilor este un fenomen deosebit de complex, neelucidat complet nici până în prezent, amplificat în bună parte și de comportarea materialelor din componența elementelor structurale al căror răspuns la acțiunile dinamice este mult diferit față de cel la acțiuni statice.

După modul de variație al accelerațiilor, acțiunile dinamice asupra construcțiilor pot fi:

- solicitări dinamice cu accelerație constantă în modul și direcție;
- solicitări dinamice prin șoc;
- solicitări dinamice cu accelerație variabilă în timp, de regulă periodică (numite și vibrații).

18.2 SOLICITĂRI DINAMICE CU ACCELERAȚIE CONSTANTĂ

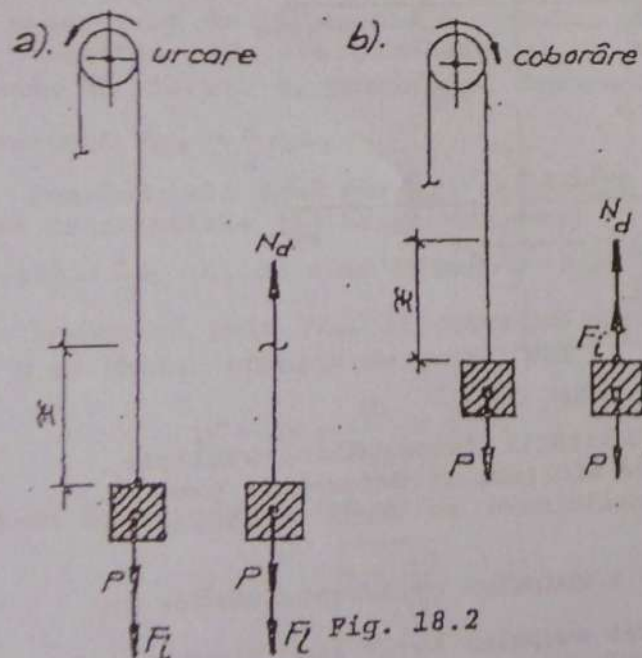
Asupra oricărui corp aflat în mișcare accelerată, în baza principiului lui d'Alembert acționează și o forță de inerție dată de relația

$$F_i = m \cdot a \quad (18.1)$$

în care m reprezintă masa corpului, iar a - accelerația mișcării acestuia.

Asemenea forțe apar la toate corpurile aflate în mișcare curbilinie sau rectilinie neunitară, la care accelerațiile sunt diferite de zero.

Dacă asupra unui astfel de corp acționează și alte forțe, acestea împreună cu cele de inerție vor forma sisteme în echilibrul dinamic ce permit rezolvări analoage celor efectuate pe sistemele în echilibru static.



Pentru ilustrare vom urmări în continuare modul de calcul al unui cablu de ascensor sau de macara ce poartă (ridică și coboară) cu accelerație constantă a greutatea P (fig. 18.2).

Forțele de inerție, așa cum se cunoaște din fizică, au sensul invers sensului mișcării corpului, în consecință, atunci când acesta va urca, sensul lor va fi de sus în jos (fig. 18.2,a) iar la coborâre, de jos în sus (fig. 18.2,b)

Neglijând greutatea proprie a cablului de tracțiune, acțiunea forței P asupra acestuia va fi una dinamică, însoțită de prezența forței de inerție F_i , date de relația (18.1).

Secționând cablul și notând cu N_d efortul axial din acesta, asupra corpului în mișcare vor acționa forțele N_d , greutatea lui proprie P și forța de inerție F_i (fig. 18.2).

Exprimându-le echilibrul printr-o ecuație de proiecție pe direcția cablului (verticală) se obține:

- la urcare (fig. 18.2,a)

$-N_d + P + F_i = 0$, din care rezultă:

$$\begin{aligned} N_d &= P + F_i = P + m \cdot a = \\ &= P + \frac{P}{g} a = P \left(1 + \frac{a}{g} \right) = \psi P. \end{aligned} \quad (18.2)$$

Termenul

$$\psi = 1 + \frac{a}{g} \quad (18.3)$$

poartă denumirea de coeficient dinamic. Dacă cabina ascensorului sau greutatea ridicată de macara este oprită într-o poziție x , acțiunea forței P asupra cablului va fi una statică, ce produce un efort axial

$$N_{st} = P \quad (18.4)$$

Comparând relațiile (18.2) cu (18.4) rezultă

$$N_d = \psi N_{st} \quad (18.5)$$

Notând aria secțiunii cablului cu A , tensiunile normale produse de acțiunea dinamică și statică a forței P în acesta, vor fi:

$$\sigma_d = \frac{N_d}{A} = \frac{\psi P}{A} \quad (a)$$

$$\sigma_{st} = \frac{N_{st}}{A} = \frac{P}{A} \quad (b)$$

Din cele două relații (a) și (b) rezultă

$$\sigma_d = \psi \sigma_{st} \quad (18.6)$$

• la coborâre (fig. 18.2, b)

$-N_d + P - F_1 = 0$, din care rezultă

$$N_d = P - F_1 = P - m \cdot a = P - \frac{P}{g} a = P \left(1 - \frac{a}{g} \right) \quad (18.7)$$

Dacă $a = g$, coborârea sarcinii P corespunde căderii libere, pentru care, din relația (18.7) rezultă $N_d = 0$.

Din expresiile relațiilor de mai sus rezultă că efortul N_d și tensiunea σ_d sunt maxime la urcare.

Condiția de rezistență a cablului se va scrie

$$\sigma_{max} = \sigma_d = \psi \sigma_{st} \leq R \quad (18.8)$$

În baza relațiilor (18.5) și (18.6) rezultă că atât eforturile cât și tensiunile din acțiuni dinamice cu accelerație constantă se pot obține din cele produse de acțiunea statică a forței respective prin multiplicare cu coeficientul dinamic ψ .

18.3 SOLICITĂRI DINAMICE PRIN ȘOC

Un element de construcție este solicitat prin șoc atunci când încărcările îi sunt aplicate brusc, cu toată intensitatea.

Cazul cel mai semnificativ în acest sens îl reprezintă căderea unui corp pe alt corp (fig. 18.3).

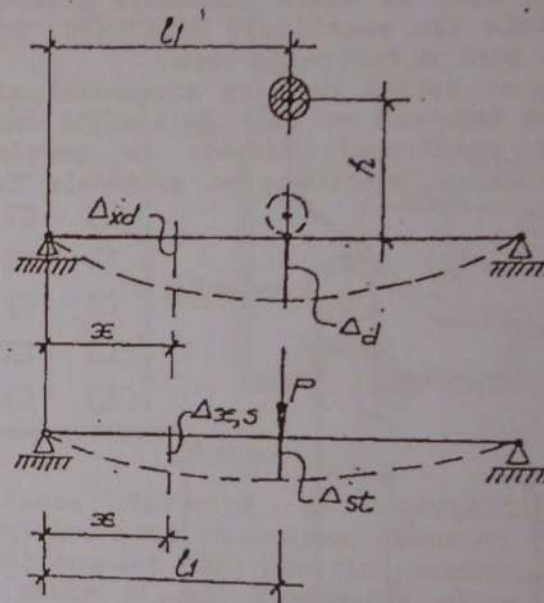


Fig. 18.4

Datorită complexității fenomenelor rezultate, în studiul stării de eforturi și deformații produse de acest tip de solicitare se admit următoarele ipoteze de calcul:

- Masa $m = \frac{P}{g}$ a corpului ce lovește rămâne în contact intim cu masa corpului lovit (șoc plastic);
- Se neglijează energia de deformație locală ca urmare a lovirii;

c) Aspectul deformațiilor corpului lovit este același ca și în cazul aplicării statice a forței.

Pe baza ipotezelor de mai sus, calculul elementelor de construcție la acțiunea șocului poate fi efectuat analog calculului la forțe statice, amplificând rezultatele obținute cu multiplicatorul dinamic ψ numit (în acest caz) și coeficient de impact, prin urmare

$$P_d = \psi P_{st} \quad (18.9, a)$$

$$\Delta_d = \Delta_{max} = \psi \Delta_{st} \quad (18.9, b)$$

$$\sigma_d = \sigma_{max} = \psi \sigma_{st} \quad (18.9, c)$$

Determinarea coeficientului ψ se face aplicând principiul conservării energiei, admitând că energia cinetică a corpului ce lovește $W_c = P(h + \Delta_d)$, din momentul impactului se transformă integral în energie potențială de deformare a corpului lovit W_{def} .

Valoarea acesteia este aceeași cu a lucrului mecanic al forței P_d parcurgând deplasarea Δ_d , în consecință $W_{def} = \frac{1}{2} P_d \Delta_d$.

Egalând cele două energii ($W_c = W_{def}$) și ținând seama de relațiile (18.19, a) vom avea:

$$P(h + \Delta_d) = \frac{1}{2} P_d \Delta_d, \text{ de unde } Ph + P \cdot \psi \cdot \Delta_{st} = \frac{1}{2} P \psi \cdot \Delta_{st} \psi.$$

Împărțind prin $P \Delta_{st}$ și ordonând după puterile lui ψ se obține ecuația de gradul doi

$$\psi^2 - 2\psi - \frac{2h}{\Delta_{st}} = 0 \quad (18.20)$$

a cărei soluție pozitivă este

$$\psi = 1 + \sqrt{1 + \frac{2h}{\Delta_{st}}} \quad (18.21)$$

în care h reprezintă înălțimea de la care cade corpul, iar Δ_{st} , deformarea elementului de construcție din acțiunea statică a forței P (fig. 18.3). Din relația (18.21, pentru $h = 0$, rezultă $\psi = 2$, prin urmare, forța P aplicată brusc pe un corp are asupra acestuia un efect dinamic.

Observații

1. Relația (18.21) pune în evidență că efectul dinamic materializat prin coeficientul ψ este cu atât mai mare cu cât înălțimea de cădere este mai mare, iar pentru același h , cu cât elementul lovit este mai rigid (Δ_{st} - mic).

Rezultă deci că influența măririi rigidității nu este favorabilă. Atunci când $\frac{2h}{\Delta_{st}} > 100$ în calculul coeficientului de impact ψ se admite relația simplificată

$$\psi \approx \sqrt{\frac{2h}{\Delta_{st}}} \quad (18.22)$$

2. Exprimând înălțimea h din legea vitezei $v = \sqrt{2gh}$ la căderea liberă a corpurilor cunoscută din Fizică se obține $h = \frac{v^2}{2g}$, care înlocuită în relația (18.21) permite exprimarea coeficientului dinamic în funcție de viteza corpului ce lovește

$$\psi = 1 + \sqrt{1 + \frac{v^2}{g \Delta_{st}}} \quad (18.23)$$

18.4 CALCULE DE REZISTENȚĂ LA SOLICITĂRILE DINAMICE

Așa cum s-a văzut paragrafele (18.2) și (18.3) acțiunile dinamice ale forțelor conduc la tensiuni superioare celor rezultate din acțiunea statică a forțelor respective. Ca urmare a acestui fapt, condiția de rezistență a unui element de construcție solicitat dinamic se va exprima prin relația

$$\sigma_d = \sigma_{max} = \psi \sigma_{st} \leq R \quad (18.24)$$

Problemele calculului de rezistență a barelor astfel solicitate pot fi de verificare, dimensionare și de stabilire a capacității lor portante. Ca și în cazul altor solicitări simple sau compuse, ele se rezolvă pornind de la condiția de rezistență. Pentru o bară dată ca secțiune (A); lungime (l) și încărcare dinamică (h, P), termenii acesteia pot fi calculați cu relațiile precizate în paragrafele 18.2 și 18.3, astfel că verificarea și capacitatea portantă a barei se pot obține relativ simplu.

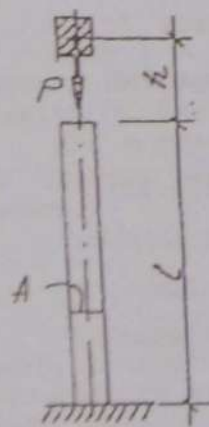


Fig. 18.4

Situația este cu totul diferită în cazul dimensionării barelor solicitate prin șoc, la care, pentru o alcătuire rațională, este necesar a fi cunoscut volumul acestora V, de care este legată capacitatea barei de înmagazinare a energiei potențiale de deformare W_{det} .

Pentru ilustrare vom urmări acest calcul în cazul unei bare prismatice solicitate la șoc longitudinal (axial) - fig. 18.4.

Folosind relațiile (18.9,c), (18.22) și (18.24) succesiv vom avea:

$$\Delta_{st} = \frac{N \cdot l}{EA} = \frac{Pl}{EA}; \psi = \sqrt{\frac{2h}{\Delta_{st}}} = \sqrt{\frac{2hEA}{Pl}}$$

$$\sigma_d = \psi \frac{N}{A} = \psi \frac{P}{A} = \sqrt{\frac{2hEA}{Pl}} \cdot \frac{P}{A} \leq R$$

La limită, în baza relației de mai sus vom avea:

$$\frac{2hEA}{Pl} \cdot \frac{P^2}{A^2} = R^2 \text{ sau } \frac{2h \cdot E \cdot Al}{P \cdot A^2 l^2} \cdot P^2 = \frac{2hEP}{Al} = R^2, \text{ din care se obține}$$

$$(Al)_{nec} = V_{nec} = \frac{2hEP}{R^2} \quad (18.25)$$

Având volumul necesar, dimensiunile secțiunii transversale și lungimea barei trebuie să fie astfel adoptate încât comportarea elementului la acțiunea șocului să fie cât mai favorabilă (se va avea în vedere că un element rigid se comportă mai defavorabil decât unul elastic - mai zvelt).

18.5 SOLICITĂRI DINAMICE CU ACCELERAȚIE VARIABILĂ ÎN TIMP (VIBRAȚIILE SISTEMELOR ELASTICE)

Dacă un element de construcție este scos din poziția sa de echilibru de o cauză perturbatoare (lovituri, variație în timp a mărimii unei încărcări aplicate etc), acesta va executa o serie de mișcări în jurul poziției inițiale de echilibru numite vibrații.

Așa spre exemplu, bara elastică din figura 18.5,a, scoasă din poziția de echilibru de o forță P și lăsată liberă va căuta să revină la poziția inițială executând o serie de vibrații în jurul poziției de echilibru stabil. Un punct curent m al

barei va executa deci mișcări oscilatorii, de regulă periodice și cu accelerație variabilă.

Distanța de la o poziție oarecare a punctului m , în timpul oscilațiilor, până la poziția de echilibru se numește *elongație*, fiind notată cu x .

Elongația maximă, respectiv distanța dintre o poziție extremă și poziția de echilibru poartă denumirea de *amplitudine* a oscilației, notată cu A (fig. 18.5).

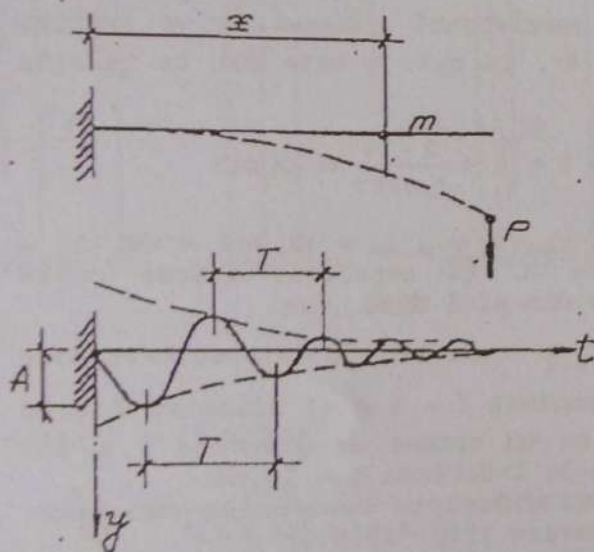


Fig. 18.5

Timpul în care sistemul oscilant revine la aceeași poziție, după ce a trecut o dată printr-un ciclu întreg de oscilație reprezintă *perioada* mișcării care se notează uzual cu T și se măsoară în secunde.

Inversul perioadei, respectiv numărul de oscilații ce se produc într-o secundă se numește *frecvență* a oscilației și se notează cu f , deci

$$f = \frac{1}{T} \quad (18.26)$$

Numărul de vibrații executate de sistem în 2π secunde, notat cu ω poartă numele de *pulsatie proprie* dată de relația

$$\omega = 2\pi f \quad (18.27)$$

Dacă forța perturbatoare P (fig. 18.5, a) își încetează acțiunea după scoaterea barei din poziția de echilibru, vibrațiile barei se vor produce liber (*vibrații libere*) iar dacă ea va acționa continuu, vibrațiile sistemului vor fi *forțate*. O serie de cauze fizice cum sunt frecările interioare, frecările cu aerul etc., au ca efect frânarea vibrațiilor libere până la stingerea lor totală - fenomenul poartă numele de *amortizarea vibrațiilor*.

Dacă asupra unui sistem oscilant ce efectuează vibrații libere se aplică o forță variabilă periodic numită *forță de excitație*, aceasta va imprimă sistemului o mișcare periodică care se compune cu mișcarea oscilatorie proprie producând o așa-zisă *mișcare oscilatorie forțată*. Dacă perioadele și direcțiile celor două mișcări sunt aceleași, prin propunerea efectelor, amplitudinea oscilațiilor tinde să crească foarte mult (indefinit), dând naștere așa-numitului fenomen de *rezonanță*, deosebit de periculos în construcții.

În timpul vibrației corpul elastic poate lua diferite poziții deformate, numite *forme proprii de vibrație*.

Calculul construcțiilor și elementelor de construcție la solicitări dinamice cu accelerații variabile în timp prezintă o multitudine de aspecte teoretice și particularități practice care fac obiectul unei discipline distincte - *Dinamica construcțiilor*.

10.6 EXEMPLE DE CALCUL

Exemplul 10.6.1

Se cere să se verifice dacă asupra unei grinzi realizate dintr-un profil I_{20} poate cădea un corp având greutatea $G = 100 \text{ daN}$, de la înălțimea $h = 30 \text{ cm}$ (fig. 18.6, a). Se dă $R = 2100 \text{ daN/cm}^2$ și $E = 2,1 \times 10^6 \text{ daN/cm}^2$.

Rezolvare

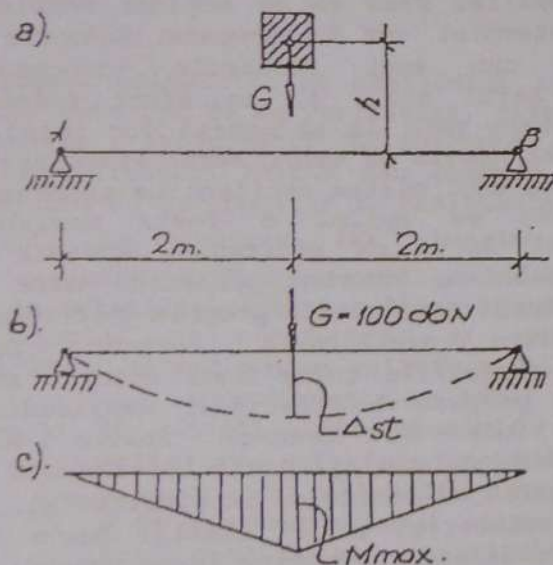


Fig. 18.6

Din Anexa 5 pentru profilul I_{20} rezultă $I_y = 2140 \text{ cm}^4$, $W_y = 214 \text{ cm}^3$. Aplicând static o forță G pe grindă (fig. 18.6, b) aceasta va produce momentul încovoietor M , dat de relația (7.8) și săgeata $f_{\max} = \Delta_{st}$ dată de relația (12.24), prin urmare

$$M_{\max} = \frac{G\ell}{4} = \frac{100 \times 400}{4} = 10000 \text{ daN cm}$$

$$\Delta_{st} = \frac{G\ell^3}{48EI_y} = \frac{100 \times (400)^3}{48 \times 2,1 \times 10^6 \times 2140} = 0,0297 \text{ cm}$$

În secțiunea periculoasă a barei, din acțiunea statică va lua naștere tensiunea

$$\sigma_{st, \max} = \frac{M_{\max}}{W_y} = \frac{10000}{214} = 46,729 \text{ daN/cm}^2.$$

Condiția de rezistență a barei se va exprima prin ecuația (18.8), în care ψ este dat de relația (18.21):

$$\psi = 1 + \sqrt{1 + \frac{2h}{\Delta_{st}}} = 1 + \sqrt{1 + \frac{2 \cdot 25}{0,0297}} = 42,043$$

Cu aceasta $\sigma_d = \sigma_{\max} = \psi \sigma_{st, \max} = 42,043 \times 46,729 = 1965 \text{ daN/cm}^2 < R$, în concluzie grinda poate prelua încărcarea dinamică dată.

Exemplul 18.6.2

O bară de lungime $\ell = 1 \text{ m}$ și diametru $d = 50 \text{ mm}$, este lovită cu un berbec de greutate $P = 800 \text{ daN}$, care cade de la înălțimea $h = 19 \text{ mm}$.

Se cere să se calculeze tensiunile din bară, în următoarele ipoteze (fig. 18.6.7)

- bara are diametrul constant $d = 50 \text{ mm}$;
- bara este strunjită pe o lungime $\ell_1 = 10 \text{ cm}$ la diametrul $d_1 = 45 \text{ mm}$;
- bara este strunjită pe toată lungimea la diametrul d_1 .

Rezolvare

Efectele acțiunii dinamice a încărcării se calculează cu relația (18.9), în care ψ se va calcula distinct pentru cele 3 situații a, b și c, funcție de deformația axială a barei.

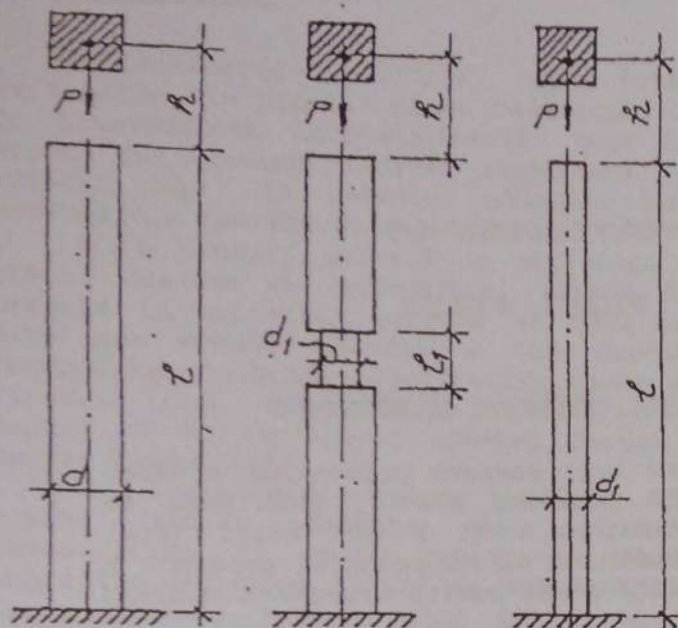


Fig. 18.7

a) Bară cu diametrul $d = 50 \text{ mm}$:

$$A = \pi \left(\frac{d}{2} \right)^2 = 19,635 \text{ cm}^2$$

$$\Delta_{st} = \frac{N \cdot \ell}{EA} = \frac{800 \times 100}{2,1 \times 10^6 \times 19,635} = 0,00194 \text{ cm}$$

$$\psi = \ell + \sqrt{1 + \frac{2 \cdot 2 \cdot 1,90}{0,00194}} = 45,269$$

$$\sigma_{st} = \frac{N}{A} = \frac{820}{19,635} = 40,744 \text{ daN/cm}^2$$

$$\sigma_d = \sigma_{max} = \psi \sigma_{st} = 45,269 \cdot 40,744 = 1844 \text{ daN/cm}^2 < R = 2100 \text{ daN/cm}^2$$

b) Bară strunjită pe lungimea ℓ_1 (fig. 18.7, b)

$$A = 19,635 \text{ cm}^2; A_1 = \pi \left(\frac{d_1}{2} \right)^2 = 15,904 \text{ cm}^2$$

$$\Delta_{st} = \frac{N \left(\frac{\ell_1}{A_1} + \frac{\ell - \ell_1}{A} \right)}{E} = \frac{800}{2,1 \times 10^6} \left(\frac{10}{15,904} + \frac{90}{19,635} \right) = 0,0199 \text{ cm}$$

$$\psi = 1 + \sqrt{1 + \frac{2 \cdot 1,90}{0,00199}} = 44,710$$

În secțiunea brută a barei, de arie A , tensiunile din acțiunea dinamică a forței vor fi:

$$\sigma_d = \sigma_{max} = 44,71 \times 40,744 = 1822 \text{ daN/cm}^2 < R$$

iar în secțiunea slăbită, de arie A_1 , vom avea

$$\begin{aligned} \sigma_{max} &= \psi \frac{N}{A_1} = 44,71 \times \frac{800}{15,904} = \\ &= 2249 \text{ daN/cm}^2 > R = 2100 \frac{\text{daN}}{\text{cm}^2} \end{aligned}$$

c) Bară strunjită pe toată lungimea

Dacă bara este strunjită pe toată lungimea la diametrul d_1 (fig. 18.7, c)

$$\Delta_{st} = \frac{N \cdot \ell}{EA_1} = \frac{800 \times 100}{2,1 \times 10^6 \times 15,904} = 0,00240 \text{ cm}$$

$$\psi = 1 + \sqrt{1 + \frac{2 \times 1,90}{0,0024}} = 40,804$$

$$\sigma_d = \sigma_{max} = 46,196 \cdot \frac{800}{15,904} = 2053 \frac{\text{daN}}{\text{cm}^2} < R 2100 \text{ daN/cm}^2$$

Rezultatele obținute mai sus reliefează că slăbirile locale de secțiune nu influențează defavorabil asupra tensiunilor. Pe măsura creșterii deformațiilor Δ_m , coeficienții ψ se reduc, diminuând efectul dinamic al forței. Se observă că bara strunjită numai pe 10 cm (fig. 18.7,b) nu satisface condiția de rezistență, în timp ce bara strunjită pe toată lungimea (fig. 18.7,c) înregistrează din aceeași solicitare, tensiuni inferioare tensiunii de calcul R.

CAPITOLUL 19

PLĂCI PLANE

19.1 DEFINIȚII. TENSIUNI ȘI EFORTURI

Plăcile plane sunt corpuri prismatice a căror înălțime h numită *grosimea plăcii*, este mică în raport cu dimensiunile a și b ale bazei (fig. 19.1,a). Locul geometric al mijloacelor grosimii h formează o suprafață plană numită *suprafață mediană a plăcii*.

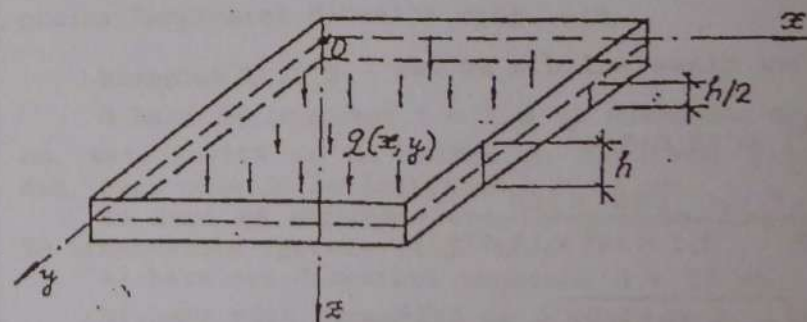


Fig. 19.1

Pentru a forma structuri statice, plăcile sunt fixate pe contur sau intermediar continuu sau în puncte, prin reazeme de tip încastrare, articulație sau reazem simplu. Grosimea lor poate fi constantă sau variabilă.

Spre deosebire de cel al barelor, studiul plăcilor este mult mai complex și nu poate fi făcut cu metodele Rezistenței Materialelor necesitând folosirea instrumentului matematic mai riguros al Teoriei Elasticității.

Determinarea stărilor de tensiune și deformăție din plăcile plane constituie o problemă de elasticitate tridimensională, care tratată în acest fel devine foarte complicată. Urmare a acestui fapt, în calculul plăcilor sunt admise următoarele ipoteze de calcul simplificatoare:

1. O dreaptă normală la suprafața mediană a plăcii înainte de deformăție, rămâne dreaptă și normală la suprafața mediană și după deformăție. Este așa numita ipoteză a lui Kirchhoff care generalizează ipoteza secțiunilor plane de la bare (ipoteza lui Bernoulli). Ipoteza sintetizează faptul că se neglijează efectul forței tăietoare asupra încovoierii.

2. Distanțele dintre punctele situate în planul median înainte de deformare rămân nemodificate și după deformare. Altfel spus, suprafața mediană a plăcii se deformează dar rămâne inextensibilă, jucând rolul fâșiei neutre de la încovoierea barei drepte.

3. Tensiunile normale în sensul perpendicularei la planul median, sunt neglijabile în raport cu celelalte tensiuni din același plan (median).

Raportând placa la un sistem de referință cartezian $Oxyz$, cu axele x și y conținute în planul median și axa z normală pe acesta (fig. 19.1), în baza ipotezei 3 rezultă $\sigma_z = 0$. Din ipoteza inextensibilității planului median ($z=0$), rezultă

$$\sigma_x^0 = \sigma_y^0 = 0 \quad (20.1)$$

Această ipoteză este însă valabilă numai atunci când deformățiile transversale ale plăcii w sunt mici în raport cu grosimea ei h , orientativ

$$w < \frac{h}{5} \quad (19.2)$$

La rândul lor, ipotezele (1) și (2) sunt valabile numai în cazul plăcilor cu grosime mică în

raport cu celelalte două dimensiuni ale acestora, cu aproximație,

$$h \leq \frac{l_{\min}}{5} \quad (19.3)$$

în care $l_{\min} = \min\{a, b\}$ reprezintă latura cea mai mică a plăcii. În baza ipotezelor de mai sus, starea de tensiune pe fețele văzute ale unui element infinitezimal prismatic de dimensiuni dx , dy , h , detașat dintr-o placă prin secționarea ei cu două perechi de plane paralele planelor xOz și yOz , așa cum este ea pusă în evidență de Teoria Elasticității, este arătată în figura 19.2, a.

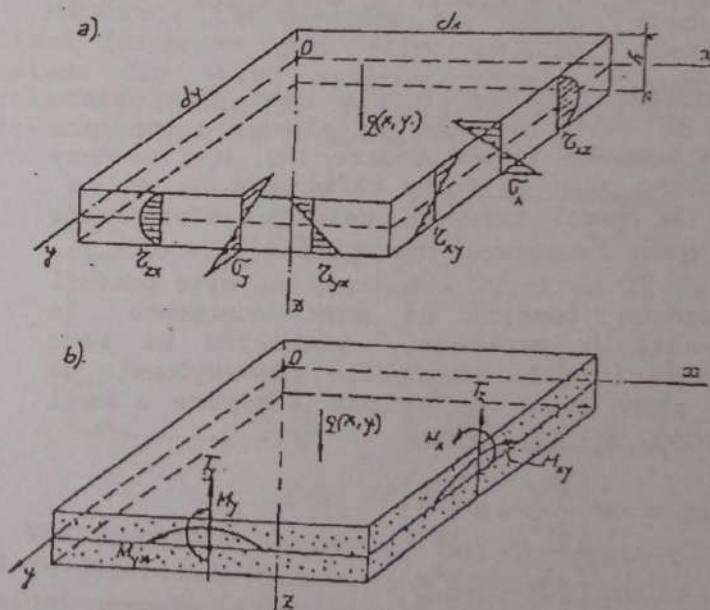


Fig. 19.2

Reducând tensiunile indicate în raport cu planul median al plăcii pe câte o lungime unitară

se obțin:

- în secțiunea x

$$M_x = \int_{-\frac{h}{2}}^{\frac{h}{2}} \sigma_x z dz; \quad M_{xy} = \int_{-\frac{h}{2}}^{\frac{h}{2}} \tau_{xy} z dz; \quad T_x = \int_{-\frac{h}{2}}^{\frac{h}{2}} \tau_{xz} z dz \quad (19.1)$$

- în secțiunea y:

$$M_y = \int_{-\frac{h}{2}}^{\frac{h}{2}} \sigma_y z dz; \quad M_{xy} = \int_{-\frac{h}{2}}^{\frac{h}{2}} \tau_{yx} z dz; \quad T_y = \int_{-\frac{h}{2}}^{\frac{h}{2}} \tau_{yz} z dz \quad (19.2)$$

Prin normare, în secțiunile unei plăci plane solicitate de forțe normale pe planul ei median, iau naștere momente încovoietoare (M_x , M_y), momente de torsiune (M_{xy} , M_{yx}) și forțe tăietoare (T_x , T_y).

Ca și în cazul barelor, calculul eforturilor secționale prin integrarea funcțiilor $\sigma_x = \sigma_x(x, y)$, $\sigma_y = \sigma_y(x, y)$ și $\tau_{xy}(x, y) = \tau_{yx}(x, y)$ nu este posibil întrucât aceste funcții nu sunt cunoscute. În soluția exactă a problemei, stabilită pe baza Teoriei Elasticității, eforturile susmenționate se calculează prin dublă și triplă derivare a unei funcții $W(x, y)$, cu relațiile:

$$\begin{aligned} M_x &= -D \left(\frac{\partial^2 w}{\partial x^2} + \mu \frac{\partial^2 w}{\partial y^2} \right) \\ M_y &= -D \left(\frac{\partial^2 w}{\partial y^2} + \mu \frac{\partial^2 w}{\partial x^2} \right) \\ M_{xy} &= M_{yx} = -D(1 - \mu) \frac{\partial^2 w}{\partial x \partial y} \\ T_x &= -D \left(\frac{\partial^3 w}{\partial x^3} + \mu \frac{\partial^3 w}{\partial x \partial y^2} \right) \end{aligned} \quad (19.3)$$

$$T_y = -D \left(\frac{\partial^3 w}{\partial x^3} + \frac{\partial^3 w}{\partial x^2 \partial y} \right)$$

în care, $D = \frac{Eh^3}{12(1 - \mu^2)}$ reprezintă rigiditatea la

încovoiere a plăcii, numită și rigiditate cilindrică iar $W(x, y)$ o funcție ce exprimă deplasările punctelor plăcii pe direcția z, care trebuie să satisfacă condițiile de contur și să verifice ecuația

$$\frac{\partial^4 w}{\partial x^4} + 2 \frac{\partial^4 w}{\partial x^2 \partial y^2} + \frac{\partial^4 w}{\partial y^4} = -\frac{2(x, y)}{D} \quad (19.4)$$

stabilită de Sophie Germain în 1815, numită ecuația diferențială a plăcilor plane. Utilizată în scopul calculului eforturilor, funcție $w(x, y)$ joacă rolul de funcție rezolvantă.

Având în vedere că o secțiune făcută printr-o placă are o lungime mare, în comparație cu secțiunea normală printr-o bară, eforturile secționale la plăci (M_x , M_y , $M_{xy} = M_{yx}$, T_x , T_y) variază de-a lungul secțiunii. Din acest motiv, ele se calculează pe unitatea de lungime, altfel spus pe secțiuni dreptunghiulare având baza unitară și înălțimea h .

Efectele momentelor încovoietoare M_x , M_y și a forțelor tăietoare T_x și T_y în secțiunile plăcii sunt cele cunoscute la grinzi.

Momentele de torsiune $M_{xy} = M_{yx}$ produc în secțiuni tensiunile $\tau_{xy} = \tau_{yx}$ iar la colțurile plăcii forțe concentrate, egale în mărime cu intensitatea momentelor, M_{xy} și respectiv M_{yx} . Prezența acestora se pune ușor în evidență printr-o operație de echivalență statică simplă (fig. 19.3).

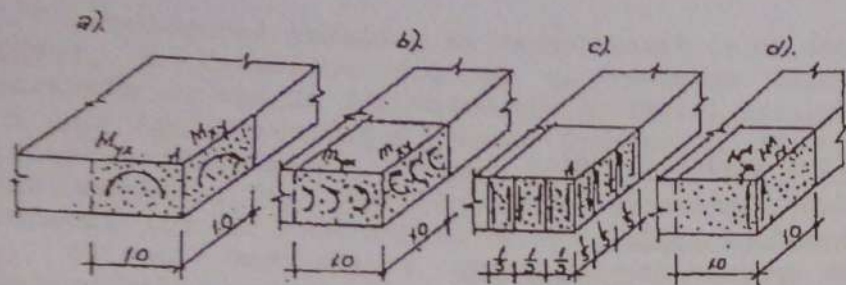


Fig. 19.3

Pentru o mai ușoară înțelegere, vom considera un colț de placă A, și fâșiile unitare aferente acestuia, în secțiunile cărora acționează momentele de torsiune $M_{xy}^{(A)} = M_{yx}^{(A)}$ (fig. 19.3, a). Înlocuind aceste momente cu un număr finit de cupluri

$$m_{xy} = m_{yx} = \frac{M_{xy}}{n} \quad (\text{în figura 19.3, b, s-a luat } n=3)$$

se obține un sistem static echivalent cu cel inițial. La rândul lor, cuplurile m_{xy} și m_{yx} sunt echivalente cu sistemele de forțe $T = M_{xy}^{(A)} = M_{yx}^{(A)}$, arătate în figura (19.3, c) care se anulează două câte două, mai puțin cele de colț (fig. 19.3, d) care dau naștere unei forțe rezultante

$$T = M_{xy}^{(A)} + M_{yx}^{(A)} \quad (19.4)$$

ce are tendința de ridicare a colțului de placă. O situația cu totul similară se produce în toate colțurile plăcii. Prezența forțelor concentrate la colțuri se verifică experimental, încărcând cu o sarcină uniform distribuită q o placă dreptunghiulară simplu rezemată (fig. 19.4, a).

În practică se iau măsuri constructive de ancorare a colțurilor plăcii, dacă acestea nu sunt menținute la poziție prin acțiunea unor forțe liniar distribuite transmise de pereți. Atunci când marginile adiacente colțului sunt încastrate,

forțele T date de relația (19.4) sunt nule deoarece pe laturi de contur încastrate, momentele de torsiune sunt nule.

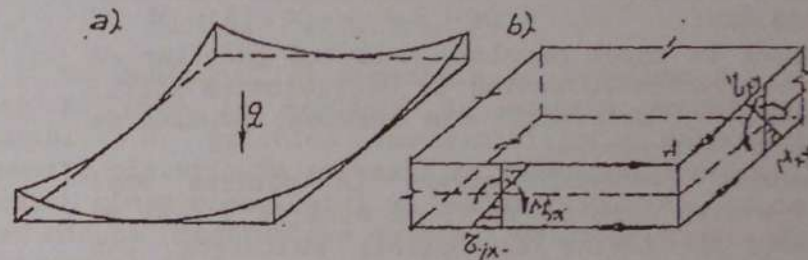


Fig. 19.4

Momentele de torsiune M_{xy} și M_{yx} produc la colțuri forfecare pură (fig. 19.4, b). Starea de tensiune din jurul acestor puncte, situate la partea superioară și inferioară a plăcii, este arătată în figurile 19.5, a și b.

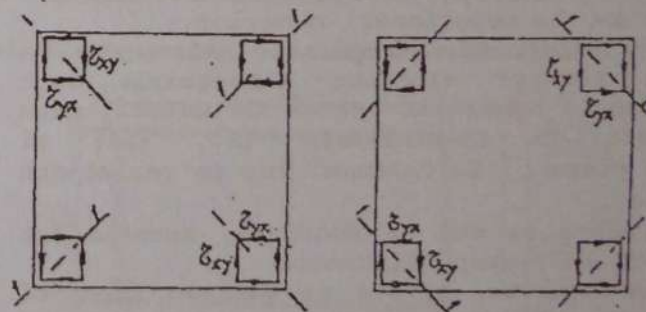


Fig. 19.5

Corespunzător acesteia, pe direcții la 45° față de direcțiile tensiunilor $\tau_{xy} = \tau_{yx}$ iau naștere tensiuni normale principale de întindere σ_1 . Pentru preluarea acestora, plăcile de beton ale planșelor de clădiri trebuie armate suplimentar cu bare dispuse pe direcția 1-1 a acestora pe o zonă limitată a colțului (fig. 19.5).

19.2 METODE DE CALCUL A PLĂCILOR DREPTUNGHILARE

Ca și în cazul barelor, calculul plăcilor ca elemente structurale revine la determinarea stării de eforturi și deformații din acestea, produse de încărcările exterioare.

Soluția problemei constă în găsirea unei funcții $w(x,y)$ care să verifice ecuația (19.3) și condițiile de contur ale plăcii calculate. Din punct de vedere matematic, aceasta revine la integrarea ecuației diferențiale (19.3) cu condiții la limită. Operația este însă dificilă, fiind posibilă doar în câteva cazuri particulare de alcătuire, încărcare și rezemare a plăcii. Pentru cazurile oarecare, problema integrării ecuației (19.3) este practic imposibilă de rezolvat analitic exact, motiv pentru care se apelează la soluții aproximative sau la soluționări numerice.

Studii și cercetări riguroase efectuate în timp asupra acestor elemente structurale, sunt concretizate prin numeroase metode de calcul, date în literatura de specialitate [3], [13] și utilizate în prezent, în calculul lor de rezistență și rigiditate.

Deși diverse ca mod de abordare, acestea pot fi clasificate în 3 grupe distincte.

a) Metode exacte, bazate pe găsirea funcției rezolvante $w(x,y)$. Sunt cunoscute din această grupă:

- soluții elementare prin polinoame;
- soluții prin serii de funcții (puteri);
- soluții prin serii trigonometrice simple sau duble;

b) Metode aproximative variaționale, bazate pe principiile variaționale ale Teoriei Elasticității. Din grupa acestora pot fi menționate:

- metoda abaterii medii pătratice minime;
- metoda ortogonalizării (Galerkin);

- metoda Reyleigh - Ritz;
- metoda Kantorovici-Krâlov;
- metoda colocației;
- c) Metode aproximative numerice
- metoda diferențelor finite;
- metoda elementelor finite;
- metoda fâșiilor (Marcus);

Din gama largă a acestora, specificată mai sus, în paragraful 19.3 se prezintă modul de utilizare a metodei fâșiilor în calculul plăcilor dreptunghiulare - metodă ușor de aplicat, apropiată de metodele Rezistenței Materialelor.

19.3 METODA FÂȘIILOR ÎN CALCULUL PLĂCILOR DREPTUNGHILARE REZEMATE PE CONTUR

Fie o placă dreptunghiulară oarecare, încărcată cu o forță q uniform distribuită, acționând normal pe planul medial al acesteia. Placa se consideră împărțită fictiv în fâșii paralele cu laturile ei, Ox și Oy (fig. 19.6)

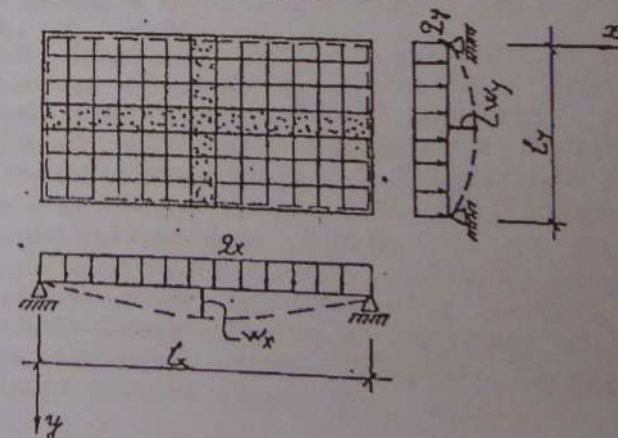


Fig. 19.6

Încărcarea totală q se repartizează celor două fâșii, o fracțiune din ea q_x revenind fâșiei paralele cu axa Ox iar diferența q_y fâșiei paralele cu axa Oy . Presupunând pentru început că fâșiile lucrează independent, forțele q_x și q_y se determină din condiția ca săgețile celor două fâșii, în punctul lor de intersecție să fie egale. Notând cu w_x și w_y deplasările menționate, acestea și încărcările susmenționate aferente celor două fâșii, vor satisface în fiecare punct relațiile:

$$\begin{cases} w_x = w_y \\ q_x + q_y = q \end{cases} \quad (19.5)$$

Soluția sistemului de ecuații (19.5) are forma

$$\begin{aligned} q_x &= xq \\ q_y &= (1 - x)q = pq \end{aligned} \quad (19.6)$$

În care x ține cont de natura rezemărilor plăcii și este exprimat obișnuit în funcție de raportul laturilor acestora $\lambda = \frac{\ell_y}{\ell_x}$. Cu q_x și q_y astfel determinați se calculează momentele M'_x și M'_y de fâșie (grindă) pe fiecare direcție.

$$M'_x = \frac{1}{\eta_x} q_x \ell_x^2 \quad (19.7)$$

$$M'_y = \frac{1}{\eta_y} q_y \ell_y^2$$

Aceste momente sunt însă supraevaluate, deoarece s-a considerat că fâșiile lucrează independent, neținând seama de efectul conlucrării acestora, exprimat prin coeficientul contracției transversale și prin prezența momentelor de torsiune. Având în vedere aceste efecte, valorile momentelor

reale M_x și M_y se vor corecta prin multiplicarea momentelor M'_x și M'_y cu un coeficient subunitar ξ , diferențiat pe cele două direcții (ξ_x, ξ_y):

$$M_x = \xi_x \cdot M'_x; M_y = \xi_y \cdot M'_y \quad (19.8)$$

De menționat că momentele de torsiune M_{xy} nu pot fi puse în evidență cu această metodă de calcul. În practica construcțiilor, exceptând anumite situații de rezemare și încărcare a plăcii, aceste momente sunt mici și pentru preluarea lor se iau măsuri constructive de tipul celor precizate în paragraful 19.1.

Cu notațiile $\lambda = \frac{\ell_y}{\ell_x}$; $q_x = xq$; $q_y = (1 - x)q = pq$

coeficienții x , momentele necorectate M'_x și M'_y , factorii de corecție ξ și momentele corectate, în câmp și pe reazeme, au valorile indicate mai jos, funcție de modul de rezemare al fâșiilor.

a) Placa rezemată pe tot conturul (fig. 19.7)

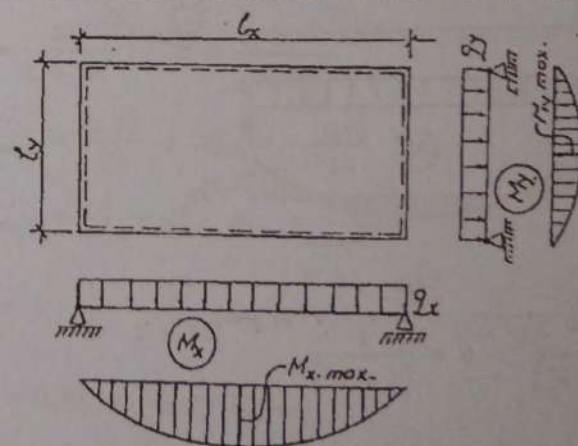


Fig. 19.7

$$\kappa = \frac{\lambda^4}{(1 + \lambda^4)} ; \rho = \frac{1}{(1 + \lambda^4)} ; M_{x, \max} = \frac{q_x \ell_x^2}{8} ;$$

$$M'_{y, \max} = \frac{q_y \ell_y^2}{8}$$

$$\xi_x = \xi_y = \xi = \eta - \frac{5}{6} \cdot \frac{\lambda^2}{1 + \lambda^4}$$

$$M_{x, \max} = \xi M'_{x, \max} ; M_{y, \max} = \xi M'_{y, \max}$$

b. Placa încastrată pe tot conturul (fig. 19.8)

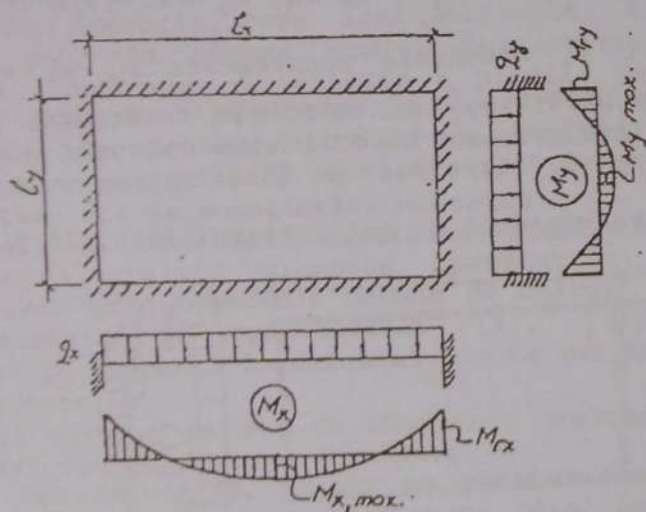


Fig. 19.8

$$\kappa = \frac{\lambda^4}{(1 + \lambda^4)} ; \rho = \frac{1}{(1 + \lambda^4)}$$

$$M'_{ex} = -\frac{1}{12} q_x \ell_x^2 ; M'_{ey} = -\frac{1}{12} q_y \ell_y^2$$

$$M'_{x, \max} = \frac{1}{24} q_x \ell_x^2 ; M'_{y, \max} = \frac{1}{24} q_y \ell_y^2$$

$$\xi_x = \xi_y = \xi = 1 - \frac{5}{18} \cdot \frac{\lambda^2}{1 + \lambda^4}$$

$$M_{rx} = \xi M'_{rx} ; M_{x, \max} = \xi M'_{x, \max}$$

$$M_{ry} = \xi M'_{ry} ; M_{y, \max} = \xi M'_{y, \max}$$

c) Placa încastrată pe două laturi adiacente și simplu rezemată pe celelalte două (fig. 19.9)

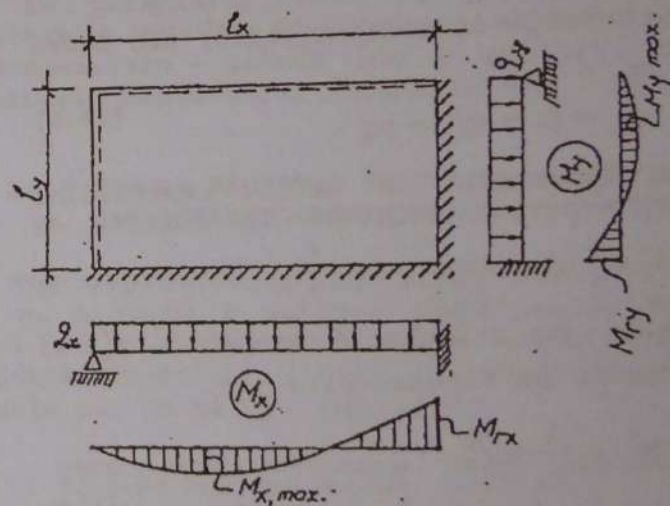


Fig. 19.9

$$\kappa = \frac{\lambda^4}{(1 + \lambda^4)} ; \rho = 1(1 + \lambda^4) ;$$

$$M'_{x, \max} = \frac{9}{128} q_x \ell_x^2 ; M'_{rx} = -\frac{q_x \ell_x^2}{8}$$

$$M'_{y, \max} = \frac{9}{128} q_y \ell_y^2 ; M'_{ry} = -\frac{q_y \ell_y^2}{8}$$

$$\xi_x = \xi_y = \xi = \frac{15}{32} \cdot \frac{\lambda^2}{1 + \lambda^4}$$

$$M_{rx} = \xi M'_{rx} ; M_{x, \max} = \xi M'_{x, \max}$$

$$M_{ry} = \xi M'_{ry} ; M_{y, \max} = \xi M'_{y, \max}$$

d) Placă încastrată pe o latură și simplu rezemată pe cele trei laturi (fig. 19.10)

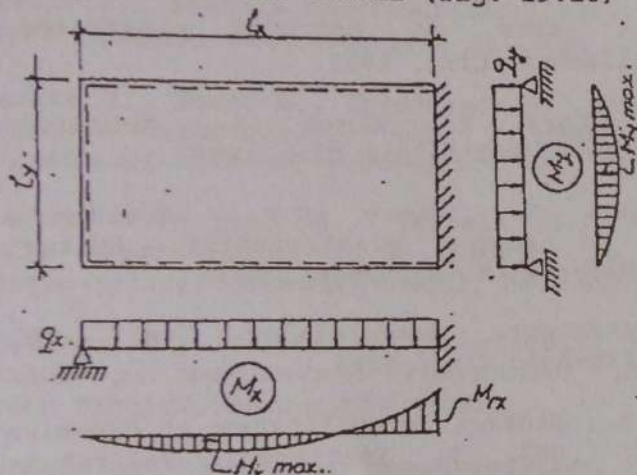


Fig. 19.10

$$\kappa = \frac{5\lambda^4}{2 + 5\lambda^4} ; \rho = \frac{2}{2 + 5\lambda^4}$$

$$M'_x = \frac{9}{128} q_x l_x^2 ; M'_{rx} = -\frac{1}{8} q_x l_x^2$$

$$M'_{y, \max} = \frac{q_y l_y^2}{8} ;$$

$$\xi_x = 1 - \frac{75}{32} \cdot \frac{\lambda^2}{2 + 5\lambda^4} ; \xi_y = 1 - \frac{5}{3} \cdot \frac{\lambda^2}{2 + 5\lambda^4}$$

$$M_x = \xi_x M'_x ; M_{rx} = \xi_x M'_{rx} ;$$

$$M_{y, \max} = \xi_y M'_{y, \max}$$

e) Placă încastrată pe trei laturi și simplu rezemată pe cea de-a treia (fig. 19.11)

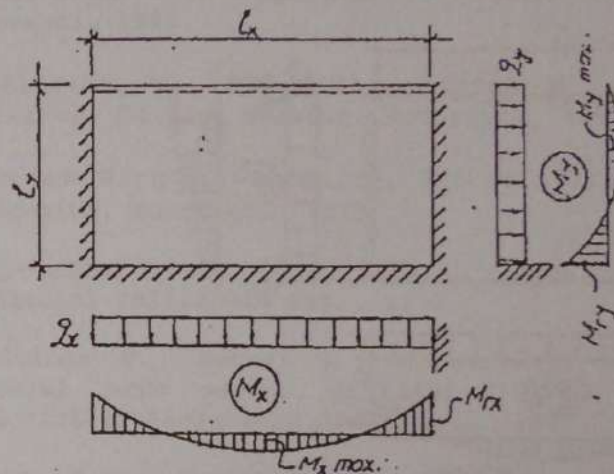


Fig. 19.11

$$\kappa = \frac{2\lambda^4}{1 + 2\lambda^4} ; \rho = \frac{1}{1 + 2\lambda^4}$$

$$M'_{x, \max} = \frac{q_x l_x^2}{24} ; M'_{rx} = -\frac{q_x l_x^2}{12}$$

$$M'_{y, \max} = \frac{9}{128} q_y l_y^2 ; M'_{ry} = -\frac{q_y l_y^2}{8}$$

$$\xi_x = 1 - \frac{5}{9} \cdot \frac{\lambda^2}{1 + 2\lambda^4} ; \xi_y = 1 - \frac{15}{32} \cdot \frac{\lambda^2}{1 + 2\lambda^4}$$

$$M_x = \xi_x M'_x ; M_{rx} = \xi_x M'_{rx} ;$$

$$M_{y, \max} = \xi_y M'_{y, \max} ; M_{ry} = \xi_y M'_{ry}$$

F) Placa încastrată pe două laturi opuse și simplu rezemate pe celelalte două (fig. 19.12)

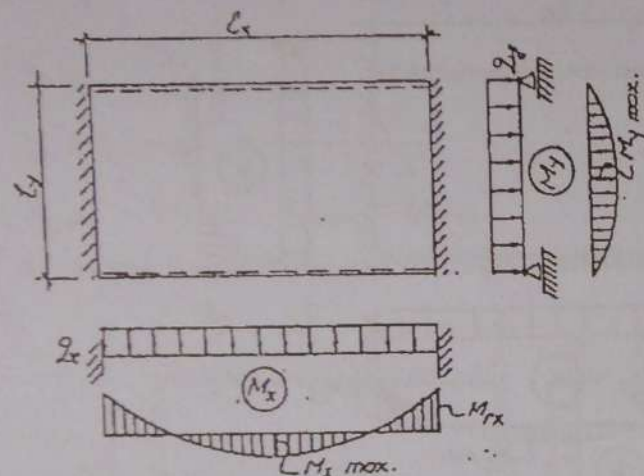


Fig. 19.12

$$\kappa = \frac{5\lambda^4}{1 + 5\lambda^4}; \quad \rho = \frac{1}{1 + 5\lambda^4}; \quad q_x = \kappa q; \quad q_y = \rho q$$

$$M'_{x,max} = \frac{q_x l_x^2}{24}; \quad M'_{rx} = -\frac{q_x l_x^2}{12}; \quad M'_{y,max} = \frac{q_y l_y^2}{8};$$

$$\xi_x = 1 - \frac{25}{18} \cdot \frac{\lambda^2}{1 + 5\lambda^4}; \quad \xi_y = 1 - \frac{5}{6} \cdot \frac{\lambda^2}{1 + 5\lambda^4}$$

$$M_{x,max} = \xi_x M'_{x,max}; \quad M_{rx} = \xi_x M'_{rx}; \quad M_{y,max} = \xi_y M'_{y,max};$$

BIBLIOGRAFIE

1. Bârsan G.M., Curs de mecanică teoretică, Institutul Politehnic Cluj, 1970.
2. Bârsan G.M., Borș, I., Alexa, P., Mecanica statică, Institutul Politehnic Cluj, 1983.
3. Bia C., Ille V., Soare M.V., Rezistența materialelor și teoria elasticității, Editura Didactică și Pedagogică, București, 1983.
4. Bia C., Rezistența materialelor, vol. II, Institutul Politehnic Cluj, 1988.
5. Cătărig A. ș.a., Statica, stabilitatea și dinamica construcțiilor, vol. I, Institutul Politehnic Cluj, 1981.
6. Diaconu M., Rezistența materialelor și teoria elasticității. Noțiuni teoretice și metodologice, exerciții de învățământ programat, culegere de probleme, vol. I, 1987, vol. II, 1985, Institutul Politehnic Iași.
7. Diaconu M., Gorbănescu D., Rezistența materialelor, vol. III și IV, Institutul Politehnic Iași, 1990.
8. Ille V., Bia C., Rezistența materialelor, vol. I, Institutul Politehnic Cluj, 1980.

9. Ille V., *Rezistența materialelor*, vol. II, Institutul Politehnic Cluj-Napoca, 1981.
10. Ille V., Bia C., Cocoveș C., Petrina P., Panțel E., Marțian I., Câmpeanu A., Ioani A., *Rezistența materialelor, Culegere de probleme*, Institutul Politehnic Cluj-Napoca, 1987.
11. Mazilu P., *Statica construcțiilor*, vol. I și II, Editura Tehnică, București 1955 și 1959.
12. Mazilu P., Posea N., Iordănescu E., *Probleme de rezistența materialelor*, vol. I 1969, vol. II 1975, Editura Tehnică, București.
13. Mazilu P., Țopa N., Ieremia M., *Aplicarea teoriei elasticității și a plăcilor în calculul construcțiilor*, Editura Tehnică, București, 1986.
14. Mateescu D., Caraba I., *Construcții metalice. Calculul și proiectarea elementelor din oțel*, Editura Tehnică, București, 1980.
15. Mûhsam H., *Mecanica construcțiilor*, vol. I, 1974, vol. II, 1975, Institutul Politehnic, Cluj-Napoca.
16. Panțel E., Ioani A., *Lecții de rezistența materialelor I*, Editura Napoca STAR, 2002.
17. Răutu S., Bănuț V., *Statica construcțiilor, Curs*, Editura Didactică și Pedagogică, București, 1972.

18. Răutu S., Bănuț V., *Statica construcțiilor, Culegere de probleme*, Editura Didactică și Pedagogică, București, 1969.
19. Soare M.V., Ille V., Bia C., *Rezistența materialelor în aplicații*, Editura Tehnică, București, 1996.
20. Vâlcovici V., Bălan St., Voinea R., *Mecanica teoretică*, Editura Tehnică, București, 1963.
21. Voinea R. ș.a., *Mecanică*, Editura Didactică și Pedagogică, București, 1975.
22. Precupanu D., *Rezistența construcțiilor*, Institutul Politehnic Iași, 1983.
23. Siminea P., Negrei L., *Construcții metalice, Calculul prin metoda stărilor limită*, Editura Didactică și Pedagogică, București, 1982.
24. Popa A.G., *Rezistența materialelor, îndrumător de lucrări*, Universitatea Tehnică Cluj-Napoca, 1998.



Anexa 1

UNITĂȚI DE MĂSURĂ

1. Unități de măsură ale sistemului internațional (SI)

1. Pentru forță: Newton (N) - Un Newton reprezintă forța necesară pentru a imprima corpului cu masa unitară o accelerație egală cu 1 m s^{-2}

2. Prefixe pentru formarea multiplilor și submultiplilor

Factor de multiplicare	10^9	10^6	10^3	10^2	10^1	10^{-1}	10^{-2}	10^{-3}	10^{-6}
Prefixul	giga	mega	kilo	hecto	deca	deci	centi	mili	micro
Simbolul prefixului	G	M	k	h	da	d	c	m	μ

3. Unități de măsură diferite de unitățile SI utilizate frecvent

Mărimea	Unitatea de măsură			
	Denumire	Simbol	Sistemul de unități din care face parte	Echivalentul în unitatea SI
Lungime	inch (țol)	in	FPS	$2,54 \cdot 10^{-2} \text{ m}$
	foot	ft	FPS	$0,3048 \text{ m}$
	yard	yd	FPS	$0,9144 \text{ m}$
	mile	mile	FPS	$1,6093 \cdot 10^3 \text{ m}$
Arie	square inch	in^2	FPS	$6,45161 \cdot 10^{-4} \text{ m}^2$
	square foot	ft^2	FPS	$9,2903 \cdot 10^{-2} \text{ m}^2$
Accelerație	gal	Gal	CGS	10^{-3} m/s^2
Masa	pound	lb	FPS	$0,453592 \text{ kg}$
	quintal	q	-	10^2 kg
	short ton	sh tn	-	$9,07185 \cdot 10^2 \text{ kg}$
	ton (long ton)	ton	-	$1,01605 \cdot 10^3 \text{ kg}$
	tonnă	t	-	10^3 kg

Mărimea	Unitatea de măsură			
	Numele	Simbol	Sistemul de unități din care face parte	Equivalentul în unitatea SI
Forță	dyna	dyn	CGS	10^{-5} N
	poundal	pdl	FPS	0,130255 N
	pound force	lbf	-	4,44822 N
	kilogram forță	kgf	MKS	9,80665 N ≈ 10 N
	short ton force	sh tnf	-	$8,89644 \cdot 10^3$ N
	long ton force	tonf	-	$9,96402 \cdot 10^3$ N
	ton forță	tf	-	$9,80665 \cdot 10^3$ N $\approx 10^4$ N
Presiune, tensiune mec.	pascal	Pa	MKS	1 N/m ²
	poundal per square foot	pdl/ft ²	FPS	1,48016 N/m ²
	kilogram forță pe metru pătrat	kgf/m ²	MKS	$9,80665$ N/m ² ≈ 10 N/m ²
	dynă pe cm ² (baryl)	dyn/cm ² (baryl)	CGS	10 N/m ²
	pound force per square inch	lbf/in ²	-	$6,89476 \cdot 10^3$ N/m ²
	atmosferă tehnică	at	-	9,80665 N/m ²
	ton force per square inch	tonf/in ²	-	$1,5474386 \cdot 10^8$ N/m ²
Lucru mecanic, energie	erg	erg	CGS	10^{-7} J
	foot-poundal	ft.pdl	FPS	$4,21401 \cdot 10^{-2}$ J
	foot-pound force	ft.lbf	-	1,35582 J
	kilogram forță metru	kgfm	MKS	9,80665 J ≈ 10 J
	kilowatt-ora	kWh	-	$3,6 \cdot 10^6$ J
	cal putere- ora	CP.h	-	$2,6478 \cdot 10^6$ J

CGS - centimetru-gram-secundă

MKS - metru-kilogram forță-secundă (sistemul tehnic)

FPS - foot-pound-sec (Absolute System of Units-ASU)

MKS - metru-kilogram-secundă

Anexa 2

REZISTENȚE DE CALITATE ȘI ADĂȘIRILOR

Rezistența pentru construcții civile, industriale și agricole din oțel (STAS 10102/0-78)
în daN/cm²

Specificația	Simbol	Coeficient ajustat față de R	Mărea ajustată	
			Cl. 33	Cl. 32
A. Produse laminale				
Rezistența normală	R^a	-	2 300	3 300
Rezistența de calcul	R	-	2 100	3 000
- întindere, compr., încovoieră	R_f	0,6	1 200	1 800
- forfecare	R_f			
B. Cordoane de sudură				
Îmbinări cap la cap, solicitate la				
- compresivă	R_c^a	1,0	2 100	3 000
- întindere	R_t^a	0,8	1 700	2 400
- forfecare	R_f^a	0,6	1 200	1 800
Îmbinări de colț, solicitate la forfecare	R_f^a	0,7	1 500	2 100
C. Îmbinări nituite cu nituri din			Cl. 34	Cl. 34
- forfecare	R_f^a	0,8	1 700	2 200
- presiune pe pereții găurilor	R_p^a	2,0	4 200	6 000
D. Îmbinări bulonate, cu șuruburi pasuite din grupa			(1,6)	(6,6)
- forfecare	R_f^a	0,8	1 700	2 400
- presiune pe pereții găurilor	R_p^a	2,0	4 200	6 000
- întindere în lijd	R_t^a	0,8	1 700	2 400
E. Îmbinări bulonate, cu șuruburi brute				
- forfecare	R_f^a	0,6	1 200	1 800
- presiune pe pereții găurilor	R_p^a	1,6	3 400	4 500
- întindere în lijd	R_t^a	0,8	1 700	2 400

Anexa 3

Caracteristici pentru profilul

STAS 424-71 Cămin: STAS 424-10		PROFIL COMPLEX CU ARMI EGALE Plăcuțel, orizontal, vertical, static							
		Dimensiunile secțiunii, mm				Aria secțiunii A, cm ²	Stasă de la 10 kg/m	Distanța axelor, cm	
		a	b	c	d			e	f
20 x 20 x 3	20	3	3,3	2		1,12	0,88	0,60	1,41
20 x 20 x 4		4				1,46	1,14	0,64	
25 x 25 x 3	25	3	3,3	2		1,42	1,11	0,72	1,77
25 x 25 x 4		4				1,85	1,45	0,76	
25 x 25 x 5		5				2,26	1,77	0,80	
30 x 30 x 3	30	3	3	2,3		1,74	1,36	0,84	2,12
30 x 30 x 4		4				2,27	1,70	0,88	
30 x 30 x 5		5				2,78	2,18	0,92	
35 x 35 x 3	35	3	3	2,3		2,04	1,60	0,96	2,47
35 x 35 x 4		4				2,67	2,05	1,00	
35 x 35 x 5		5				3,20	2,57	1,04	
40 x 40 x 3	40	3	6	3		2,35	1,84	1,07	2,83
40 x 40 x 4		4				3,08	2,42	1,12	
40 x 40 x 5		5				3,79	2,97	1,16	
45 x 45 x 3	45	3	7	3,3		3,49	2,74	1,21	3,18
45 x 45 x 4		4				4,30	3,35	1,28	
45 x 45 x 5		5				5,08	4,00	1,32	
50 x 50 x 3	50	3	7	3,3		3,89	3,06	1,36	3,34
50 x 50 x 4		4				4,80	3,77	1,40	
50 x 50 x 5		5				5,68	4,47	1,45	
50 x 50 x 6		6				6,56	5,13	1,49	
60 x 60 x 3	60	3	8	4		5,82	4,57	1,64	4,24
60 x 60 x 4		4				6,91	5,42	1,69	
60 x 60 x 5		5				8,42	6,69	1,77	
60 x 60 x 6		6				11,10	8,69	1,85	
70 x 70 x 3	70	3	9	4,3		8,13	6,38	1,93	4,93
70 x 70 x 4		4				10,10	7,90	1,97	
70 x 70 x 5		5				12,60	9,36	2,01	
70 x 70 x 6		6				14,90	11,31	2,05	
70 x 70 x 8		8				19,10	14,58	2,09	

corulter cu armi egale

Lungimea
4 + 12m

Cămin
Cl. 2

Exemplu de notare pe desen: pentru
a = 80 mm; f = 5 mm; i = 10725 mm;
L 80 x 8... 10725

I = momentul de inerție

W = modulul de rezistență

$r = \sqrt{\frac{I}{A}}$ = raza de girație

Raportate la axa de încovoiere respectivă.

Mărimile statice pentru secția de încovoiere

γ	γ_1	$Y - Y_1$		$Z - Z_1$		$U - U_1$		$V - V_1$	
		$J_y = I_z$ cm ⁴	$W_y = W_z$ cm ³	$J_z = I_y$ cm ⁴	$W_z = W_y$ cm ³	$J_u = I_v$ cm ⁴	$W_u = W_v$ cm ³	$J_v = I_u$ cm ⁴	$W_v = W_u$ cm ³
0,84	0,70	0,39	0,28	0,39	0,61	0,74	0,16	0,19	0,38
0,90	0,71	0,41	0,28	0,41	0,77	0,77	0,21	0,23	0,30
1,02	0,87	0,50	0,45	0,50	1,26	0,94	0,33	0,32	0,48
1,05	0,89	1,01	0,38	0,74	1,60	0,63	0,43	0,40	0,48
1,13	0,91	1,20	0,71	0,73	1,59	0,91	0,52	0,46	0,48
1,18	1,04	1,40	0,65	0,90	2,23	1,13	0,58	0,49	0,58
1,24	1,05	1,80	0,85	0,88	2,83	1,12	0,75	0,61	0,68
1,30	1,07	2,16	1,04	0,83	3,41	1,11	0,92	0,70	0,57
1,36	1,23	2,20	0,90	1,06	3,63	1,34	0,95	0,70	0,68
1,42	1,34	2,95	1,10	1,03	4,68	1,33	1,23	0,80	0,60
1,48	1,35	3,50	1,13	1,04	5,64	1,31	1,43	1,01	0,67
1,52	1,40	3,45	1,18	1,21	5,46	1,32	1,44	0,96	0,78
1,58	1,40	4,47	1,35	1,21	7,09	1,32	1,85	1,17	0,78
1,64	1,42	5,43	1,91	1,20	8,60	1,31	2,26	1,37	0,77
1,75	1,57	6,43	1,97	1,36	10,2	1,71	2,67	1,33	0,87
1,81	1,55	7,84	2,43	1,35	12,4	1,70	3,23	1,30	0,87
1,87	1,59	9,16	2,88	1,34	14,3	1,69	3,82	2,04	0,87
1,92	1,75	8,97	2,46	1,32	14,2	1,91	3,72	1,94	0,98
1,98	1,76	11,0	3,05	1,61	17,4	1,90	4,54	2,30	0,97
2,01	1,77	12,0	3,61	1,60	20,4	1,89	5,33	2,61	0,97
2,10	1,78	14,6	4,16	1,49	23,1	1,88	6,10	2,91	0,96
2,12	2,11	19,4	4,15	1,82	30,7	2,30	8,02	3,45	1,17
2,23	2,11	22,0	6,29	1,83	36,2	2,29	9,43	3,75	1,17
2,50	2,14	29,2	8,09	1,80	46,4	2,28	12,1	4,06	1,16
2,61	2,17	34,9	8,41	1,78	53,1	2,23	14,3	4,67	1,16
2,73	2,46	36,9	8,41	2,13	53,5	2,68	15,1	5,30	1,37
2,79	2,47	42,4	7,27	2,12	67,1	2,67	17,5	6,27	1,36
2,85	2,49	47,3	9,32	2,11	71,3	2,66	19,7	6,91	1,36
2,90	2,50	52,6	10,6	2,10	83,1	2,64	22,0	7,59	1,36
2,96	2,52	57,2	11,7	2,09	90,3	2,63	24,9	8,09	1,35

Caracteristici pentru profilul

Denumirea L	Dimensiunile profilului, mm				Aria secțiunii A cm ²	Masa liniară kg/m	Distanțe maxime, cm	
	a	b	c	d			e	f
80 x 80 x 8	80	8	10	3	9,33	7,36	2,17	3,66
x 8		8			9,33	7,36	2,17	3,66
x 10		10			12,10	11,9	2,34	
90 x 90 x 8	90	8	11	3,5	13,90	10,9	2,30	6,36
x 9		9			13,90	12,2	2,34	
x 10		10			17,10	13,4	2,38	
x 11		11			18,70	14,7	2,62	
100 x 100 x 8	100	8	12	6	15,3	12,2	2,74	7,07
x 10		10			13,2	15,0	2,82	
x 12		12			22,7	17,8	2,90	
120 x 120 x 10	120	10	13	6,5	23,2	18,2	3,31	8,49
x 12		12			27,3	21,6	3,40	
130 x 130 x 12	130	12	14	7	30,0	23,6	3,64	9,19
x 14		14			34,7	27,2	3,72	
x 16		16			39,3	30,9	3,80	
140 x 140 x 12	140	12	15	7,5	32,3	25,3	3,90	9,90
x 14		14			37,6	29,4	3,98	
x 16		16			42,3	37,3	4,20	
150 x 150 x 12	150	12	16	8	34,8	27,3	4,12	10,6
x 14		14			40,3	31,6	4,21	
x 16		16			46,7	36,9	4,29	
x 18		18			51,0	40,1	4,37	
160 x 160 x 12	160	12	17	8,5	37,4	29,7	4,39	11,3
x 14		14			43,3	34,0	4,47	
x 16		16			49,1	38,5	4,55	
x 18		18			54,8	43,0	4,63	

varurilor cu oțelul egal

Lungimea fixă
4 + 12m

Calitatea
UL 21

Exemplu de notare pe desen: pentru
 $a = 60 \text{ mm}$; $t = 5 \text{ mm}$; $l = 10215 \text{ mm}$;
 $L 50 \times 5 \dots 10215$

$I = \text{momentul de inerție}$
 $W = \text{modulul de rezistență}$
 $i = \sqrt{\frac{I}{A}} = \text{raza de girație}$

Raportate la axa de înclinare respectivă.

Mărimi statice pentru axa de înclinare										
Y ₁	Y ₂	Y - Y ₁		Z - Z ₁		U - U ₁		V - V ₁		
		I _y - I _{y1} cm ⁴	I _{yz} - I _{yz1} cm ⁴	I _z - I _{z1} cm ⁴	I _{yz} - I _{yz1} cm ⁴	I _u - I _{u1} cm ⁴	I _{uv} - I _{uv1} cm ⁴	I _v - I _{v1} cm ⁴	W _y - W _{y1} cm ³	W _v - W _{v1} cm ³
3,07	2,82	55,8	9,37	2,44	88,3	3,08	23,1	7,33	1,36	
3,15	2,82	72,2	12,0	2,43	110	3,08	28,0	8,30	1,53	
3,20	2,83	87,3	15,4	2,41	139	3,03	36,3	11,0	1,53	
3,33	3,17	104	16,1	2,74	166	3,45	43,1	12,2	1,76	
3,39	3,18	116	18,0	2,74	180	3,45	47,8	13,3	1,76	
3,65	3,26	129	21,1	2,74	204	3,45	52,5	14,4	1,73	
3,70	3,21	138	21,6	2,72	218	3,41	57,1	15,4	1,73	
3,87	3,32	145	19,9	3,06	230	3,83	59,8	15,4	1,96	
3,88	3,64	177	21,6	3,04	240	3,83	72,8	18,3	1,96	
4,11	3,37	207	29,1	3,02	328	3,80	85,7	20,9	1,91	
4,60	4,23	313	36,0	3,07	497	4,60	129	27,5	2,36	
4,80	4,26	368	42,7	3,65	584	4,60	151	31,5	2,33	
5,15	4,60	472	50,4	3,97	730	5,00	194	37,7	2,34	
5,26	4,63	540	58,2	3,94	837	4,97	223	42,4	2,33	
5,37	4,66	603	63,8	3,92	939	4,94	251	46,7	2,32	
5,50	5,04	602	59,7	4,31	937	5,43	248	44,9	2,70	
5,61	5,07	609	60,0	4,30	1051	5,42	281	50,5	2,74	
5,90	5,09	772	79,1	4,28	1230	5,40	314	61,3	2,72	
5,83	5,29	737	67,7	4,60	1170	5,80	303	52,0	2,95	
5,93	5,31	843	78,2	4,58	1310	5,77	347	58,3	2,94	
6,07	5,34	945	88,7	4,56	1510	5,71	381	64,1	2,93	
6,17	5,38	1030	92,3	4,54	1670	5,71	433	70,4	2,92	
6,19	5,74	913	78,6	4,94	1450	6,21	376	60,3	3,17	
6,30	5,77	1010	90,0	4,92	1602	6,20	431	68,1	3,16	
6,42	5,79	1175	103,0	4,89	1866	6,17	483	75,3	3,14	
6,53	5,82	1299	114,0	4,87	2061	6,13	537	82,1	3,13	

Anexa 4

Caracteristici

Condiții
STAS 544-71
STAS 544-78

PROFIL II
Dimensiuni, masă, unități statice

Simbol U	Dimensiuni, mm						Aria profilului mm ²	Masa linieară kg/m
	b	d	l	r				
6,5	65	42	5,5	7,5	7,5	4,0	9,03	7,05
8	80	45	6	8,0	8,0	4,0	11,0	8,61
10	100	50	6	8,5	8,5	4,5	13,5	10,6
12	120	55	7	9,0	9,0	4,5	17,0	13,4
14	140	60	7	10,0	10,0	5,0	20,4	16,0
16	160	65	7,5	10,5	10,5	5,5	21,0	18,0
18	180	70	8	11,0	11,0	5,5	26,0	22,9
20	200	75	8,5	11,5	11,5	6,0	32,2	25,3
22	220	80	9	12,5	12,5	6,5	37,4	29,4
24	240	85	9,5	13,0	13,0	6,5	42,3	33,2
26	260	90	10	14,0	14,0	7,0	48,3	37,9
30	300	100	10	15,0	15,0	8,0	68,0	46,2

pentru profilul U

Lungăluță:
6 + 12 m

Cămin:
01, 37

Exemplu de notare pe desen pentru
A = 120 mm; l = 120 mm;
U12...120

h = înălțimea profilului

l = grosimea metalului a tălpilor

R = raza de rotunjire interioară a tălpilor

r = raza de rotunjire a tălpilor la vîrf

I = momentul de inerție

W = modulul de rezistență

$i = \sqrt{\frac{I}{A}}$ = raza de girație

raportate la axa de înclinare respectivă

S_y = momentul static al secțiunii

e_y = distanța axei Z-Z de la marginea exterioară a inimii

b = lățimea tălpilor

d = grosimea inimii

Marșul static pentru axele de înclinare

Y-Y

Z-Z

S_y
cm³

e_y
cm

Simbol
U

I_y
cm⁴

I_z
cm⁴

i_y
cm

i_z
cm

I_x
cm⁴

I_y
cm⁴

i_x
cm

i_y
cm

i_z
cm

i_x
cm

i_y
cm

i_z
cm

i_x
cm

i_y
cm

i_z
cm

i_x
cm

i_y
cm

i_z
cm

i_x
cm

i_y
cm

i_z
cm

i_x
cm

i_y
cm

i_z
cm

i_x
cm

i_y
cm

i_z
cm

67,5

17,7

2,62

14,1

5,07

1,23

—

1,42

6,5

106

26,5

3,16

10,4

0,36

1,33

15,9

1,43

8

205

41,2

3,91

23,5

8,40

1,47

24,6

1,53

10

364

60,7

4,62

43,2

11,1

1,59

36,3

1,60

15

605

86,4

5,45

62,7

14,8

1,76

61,4

1,78

14

925

116

6,21

85,3

10,3

1,89

68,0

1,84

18

1350

150

6,88

114

22,4

2,02

83,6

1,92

16

1916

191

7,76

140

27,0

2,14

114

2,01

20

2690

245

8,43

167

33,6

2,30

146

2,14

22

3600

300

9,23

248

33,6

2,48

173

2,23

31

4820

371

9,99

317

47,7

2,56

221

2,36

26

8030

635

11,7

483

67,11

2,90

316

2,70

30

Anexa 5

Caracteristici pentru

Caracteristici pentru

Conținut STAS 343-71
STAS 343-80

PROFIL I
Dimensiuni, masă, caracteristici

Technical drawing of a T-profile (PROFIL I) showing dimensions: height h , flange width b , flange thickness d , web thickness t , and radius R . The flange is inclined at 14° .

Simbol I	Dimensiuni, mm	Aria secțiunii A cm^2	Greutate teoretică G kg/m				
	h	b	t	$d - R$			
8	80	42	3,30	3,5	2,3	7,58	5,93
10	100	50	6,80	4,5	2,7	10,0	8,22
12	120	58	7,70	5,1	3,1	14,0	11,2
14	140	66	8,60	5,7	3,4	18,3	14,4
16	160	74	9,50	6,3	3,8	22,0	17,3
18	180	83	10,40	6,9	4,1	27,0	21,3
20	200	90	11,30	7,5	4,5	33,5	26,3
22	220	98	12,20	8,1	4,9	39,6	31,1
24	240	106	13,10	8,7	5,3	46,1	36,2
26	260	113	14,10	9,4	5,6	53,4	41,9
28	280	119	15,20	10,1	6,1	61,1	48,0
30	300	125	16,20	10,8	6,5	69,1	54,2
32	320	131	17,30	11,5	6,9	77,5	61,1
36	360	143	19,30	13,0	7,8	97,1	76,2
40	400	155	21,60	14,4	8,6	118	92,6

Lățimea flacii
 $b + 12$ mm

Cărbuni:
UL 27

Exemplu de utilizare pe desen:
pentru $A \approx 750$ mm; $I = 1.250$ mm⁴
1. 22....1750

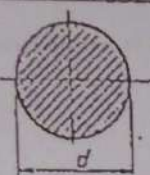
h = înălțimea profilului
 d = grosimea flăcii
 R = raza de rotunjire interioară a flăcăilor
 r = raza de rotunjire a flăcăilor la vârf
 I = momentul de inerție
 W = modulul de rezistență
 $i = \sqrt{\frac{I}{A}}$ = raza de girație

Raportate la axa de înclinare respectivă

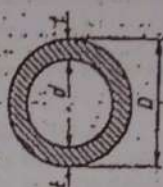
S_y = momentul static al semisecțiunii
 b = lățimea flăcăilor
 t = grosimea medie a flăcăilor

Datele statice pentru axele de înclinare						S_y cm ³	Simbol I
Y - Y			Z - Z				
I_y cm ⁴	W_y cm ³	i_y cm	I_z cm ⁴	W_z cm ³	i_z cm		
77,8	19,5	3,20	6,23	3,00	0,51	11,4	8
171	34,2	4,91	13,2	4,00	1,07	19,5	10
328	54,7	4,81	21,5	7,41	1,23	31,8	12
573	81,0	5,61	36,2	10,71	1,10	47,7	14
935	117	6,40	54,7	14,0	1,55	68,0	16
1450	161	7,20	81,3	19,0	1,71	93,4	18
2140	214	8,00	117	26,0	1,87	123	20
3060	278	8,80	162	33,1	2,02	162	22
4250	351	9,50	231	41,7	2,20	206	24
5740	442	10,4	288	51,0	2,32	257	26
7390	542	11,1	364	61,2	2,45	316	28
9800	653	11,5	461	72,2	2,66	381	30
12310	782	12,7	555	84,7	2,67	457	32
19610	1090	14,3	818	114,0	2,90	638	36
29210	1460	15,7	1160	149,0	3,13	837	40

Anexa 6

OȚEL ROTUND Diametre, secțiuni și masă				Conform STAS 333-71			
							
Diametrul d mm	Abateri limită mm	Aria secțiunii A cm²	Massă teoretică kg/m	Diametrul d mm	Abateri limită mm	Aria secțiunii A cm²	Massă teoretică kg/m
12	+0,4 -0,3	1,13	0,89	60	+0,8 -1,1	28,3	22,2
13		1,33	1,04	(63)		31,2	24,5
14		1,54	1,21	65		33,2	26,1
15		1,77	1,39	70		38,5	30,2
16		2,01	1,58	75		44,2	34,7
17		2,27	1,78	80	+0,8 -1,3	50,3	39,5
18		2,54	2,00	85		56,7	44,5
19		2,84	2,23	90		63,6	49,5
20		3,14	2,47	95		70,9	55,6
21		3,46	2,72				
22	+0,5 -0,7	3,80	2,98	100	+1,2 -1,7	78,5	61,1
(23)		4,15	3,26	(105)		80,6	63,0
24		4,52	3,55	110		95,0	74,0
25		4,91	3,85				
26		5,31	4,17	115	+1,4 -2,0	104	81,5
27		5,73	4,49	120		113	88,8
28		6,16	4,83	(125)		123	96,3
(29)		6,60	5,18	130		133	104
30		7,07	5,55	(135)		143	112
32		8,04	6,31	140	+1,7 -2,5	154	121
33		9,08	7,13	(145)		165	130
35		9,63	7,55	150		177	139
36		10,2	7,99	(155)		189	148
38	+0,7 -1,0	11,3	8,90	160	+2,5 -3,0	201	158
40		12,6	9,89	170		227	178
42		13,9	10,9	180		254	200
45		15,7	12,5	190		284	223
48		18,1	14,5	200		314	247
50		19,9	15,4	210		346	272
(52)		21,2	16,7	220		380	298
53		22,1	17,3	230		415	316
(54)		23,8	18,7	240		452	355
56		24,6	19,3	250		491	385
(58)		26,1	20,7	270		572	449
				300		706	555
Lungimi fixe: 2-6 m		Calitate: STAS 501-76		Exemplu de notare pe desen: pentru d=20 mm; l=5 000 mm Ø 20...5 000			

Anexa 7

Conform STAS 104/1.2-71 (extrase)	TEVI DIN OTEL PÂNĂ SUDURĂ CALDATE LA CALD Dimensiuni, valori standard	Lungimi fixe: l=12,5 m	Calitate: STAS 333-71 2881-74	Exemplu de notare pe desen: pentru D=80; l=8 mm l=7 520 mm Teavă 80X8...7 520															
																			
				$G = A \times l \times \gamma$ - masă pe metru pentru A în cm ² ; l=1 m=100 cm și $\gamma = 7,85$ kg/dm ³ =0,00785 kg/cm ³ $G = A \cdot 100 \cdot 0,00785 = A \cdot 0,785$ (kg/m)															
				$W = \frac{2I}{D} = \frac{(D^4 - d^4)}{32D}$ - modulul de rezistență $I = \frac{(D^4 - d^4)}{64}$ - momentul de inerție $r = \sqrt{\frac{I}{A}} = \frac{1}{4} \sqrt{D^2 + d^2}$ - raza de girație															
Diametrul exterior D mm	Gradul de elasticitate A (cm ²) și I (cm ⁴)																		
	2,5	3,0	3,5	4,0	4,5	5,0	5,5	6,0	6,5	7,0	8,0	9,0	10	11	12	14	16	18	20
42	A 3,10	3,08	4,23	4,78	5,30	5,81	6,31	6,79	7,70	8,58	9,33	10,0							
	I 6,07	7,03	7,91	8,71	9,45	10,1	10,7	11,3	12,3	13,0	13,7	14,1							
(44,5)	A 3,30	3,91	4,51	5,09	5,65	6,20	6,74	7,26	8,25	9,17	10,0	10,8							
	I 7,30	8,46	9,54	10,8	11,5	12,3	13,1	13,8	15,0	16,0	16,8	17,5							
48	A 3,57	4,24	4,89	5,53	6,15	6,75	7,34	7,92	9,02	10,0	11,0	11,2							
	I 9,28	10,8	12,2	13,5	14,7	15,8	16,9	17,8	19,5	20,9	22,1	23,0							
51	A 3,81	4,52	5,22	5,91	6,57	7,23	7,88	8,48	9,68	10,8	11,9	12,9	13,8	14,7					
	I 11,2	13,1	14,8	16,4	17,9	19,3	20,6	21,9	24,0	25,8	27,4	28,7	29,9	30,6					
54	A 4,1	4,91	5,68	6,43	7,00	7,70	8,38	9,05	10,3	11,6	12,7	13,8	14,9	15,8					
	I 15,7	17,8	19,8	21,6	23,5	25,0	26,5	29,2	31,5	33,5	35,1	36,0	37,7						
57	A 4,3	5,11	5,88	6,66	7,42	8,17	8,90	9,61	11,0	12,3	13,6	14,7	15,9	16,9					
	I 18,6	21,1	23,5	25,8	27,9	29,8	31,7	35,0	37,9	40,5	42,5	44,4	46,0						
60	A 4,57	5,37	6,21	7,04	7,85	8,64	9,42	10,2	11,7	13,1	14,4	15,7	17,0	18,1	20,3				
	I 21,9	24,9	27,7	30,4	32,9	35,3	37,6	41,8	45,2	48,3	51,0	53,4	55,4						

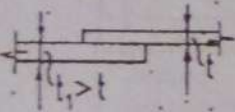
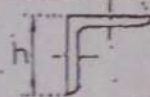
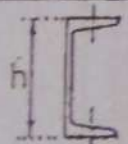
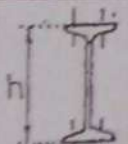
Anexa 8

SURUBURI ȘI NITURI

Nituri	Diametrul de calcul, mm	13	(15)	17	(19)	21	(23)	25	(28)
	Diametrul nominal, mm	12	(14)	16	(18)	20	(22)	24	(27)
Suruburi păruite	Tipul surubului, mm	M12	M16	M20	M22	M24	M27	M30	
	Diametrul tijei (de calcul), mm	13	17	21	23	25	28	31	
	Diametrul hef în zona filetată, mm	9,9	13,5	16,0	18,9	20,4	23,2	25,6	

Anexa 9

Alegerea diametrului maxim pentru șuruburi și nituri

Elementul care se îmbină și dimen- siunea caracteris- tică	Valoarea dimensiunii caracteristice în mm pentru diametrul maxim de nit d egal cu					
	d = 13	17	21	23	25	28
	4 - 6	7-8	9-12	10-14	13-18	> 18
	40-45	50-60	70	60	90-130	140-160
	80-100	120-140	160-180	200-220	240-300	-
	180-220	240-280	300-320	360-400	-	-

ANEXA 10

b/b	1,00	1,50	1,75	2	2,5	3	4	6	8	10	∞
α	0,208	0,231	0,239	0,246	0,258	0,267	0,282	0,299	0,307	0,313	0,333
β	0,141	0,196	0,214	0,229	0,249	0,263	0,281	0,299	0,307	0,313	0,333
γ	1,000	0,859	0,820	0,795	0,766	0,753	0,745	0,743	0,742	0,742	0,742

Anexa 11

Săgești admisiunile /

Nr. ord.	Denumirea elementelor de construcție	$\frac{f_s}{t}$	Conținut
1	2	3	
	A. Construcții civile, industriale și agricole		STAS 10103/ 10-78
1	Grinzile căilor de rulare cu înălță pînă sau cu zăbrele pentru: a) poduri rulante manuale b) poduri rulante electrice cu capacitatea de ridicare $Q \leq 500$ kN c) poduri rulante electrice cu capacitatea de ridicare $Q > 500$ kN	1/500 1/600 1/750 1/500 1/400	
2	Căile de rulare ale grinzilor rulante	1/500	
3	Căile de rulare pentru cărucioare rulante	1/400	
4	Grinzile platformelor clădirilor industriale: a) cînd nu susțin încăl ferate sau utilaje care produc vibrații: — grinzii principale — celelalte grinzii b) cînd susțin căl ferate înguste c) cînd susțin căl ferate cu ecartament normal	1/400 1/250 1/470 1/600	
5	Grinzile planșelor dintr-o etaj: a) grinzii principale b) celelalte grinzii	1/350 1/250	
6	Grinzile acoperișului și planșelor podurilor clădirilor: a) ferme, grinzii principale și grinzii care susțin cadre de luminătoare b) pane și căpriori	1/250 1/200	
7	Elementele jarpantel, pereților și luminătoarelor: a) bare verticale și rigle b) așchile ferestrelor (în plan vertical și orizontal) c) stâlpii pereților cînd materialul de închidere este elastic (tablă, azbociment, materiale plastice)	1/200 1/150 1/200	
8	Panouri metalice de înveliș: a) în zone fără aglomerări de zăpadă b) în zone cu aglomerări de zăpadă	1/150 1/100	
9	Tabla platelajului la platformele industriale	1/150— 1/200	
10	Estacade de conducte: a) la grinzii principale b) la grinzii secundare	1/350 1/200	

Апеха 12

Caratteristiche dei rielaboratori λ_n

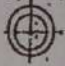
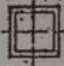
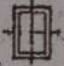
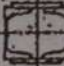
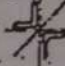
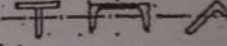

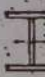


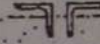
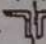
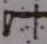
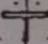
Sistemul de rezistență		Elemente	Bare Com- pri- mate
1		2	3
Pune	Cu zăbrele	Târlpi	120
		Diagonale și montanși	150
	Armate cu vergele și montanși	Târlpi	120
		Diagonale	200
		Montanși	150
Ferme		Târlpi, diagonale și montanși de rezem	120 ¹
		Celelalte bare ale ferinelor	150
		Elementele barelor compuse	50
Supraîmbinaș	Sistem tra- pezoidal	Regle	100
		Diagonale	
		Montanși	150
	Sistem M	Regle și mon- tanși	150
	Sistem pe trei rezem- e	Târlpi	120
		Diagonale și montanși	150
Stâlpi	Pentru		100
			120
			120
			150
			50
Secundar	Pentru		150

ANEXA 13

[illegible]

Анежа 14

$$\text{phase difference of } E = \frac{\lambda}{\sqrt{\epsilon_0}} = \sqrt{\frac{KR}{N}}$$

Tipul secțiunii	- Tuburi laminate la cold		- Chesoane sudate		- Profile deschise, flambaj în plan paralel cu axa de simetrie	
						
	- Profile I care flambează în plan paralel cu înălțimea		- Profile I care flambează în plan paralel cu lăpșile			
						
	- Profile deschise, flambaj în plan perpendicular pe axa de simetrie					
						
λ	φ	Σ	φ	Σ	φ	Σ
0	1.000	0.000	1.000	0.000	1.000	0.000
10	0,997	10,015	0,996	10,020	0,992	10,414
20	0,939	20,110	0,983	20,172	0,969	20,317
30	0,974	30,397	0,960	30,618	0,931	31,918
40	0,952	40,996	0,927	41,545	0,881	42,619
50	0,921	52,100	0,883	53,209	0,821	55,182
60	0,879	63,996	0,829	65,898	0,755	69,052
70	0,826	77,020	0,764	80,085	0,686	84,515
80	0,762	91,645	0,694	96,030	0,619	101,682
90	0,690	108,347	0,622	114,116	0,555	120,808
100	0,616	127,411	0,552	134,595	0,496	141,990
110	0,546	148,866	0,488	157,464	0,443	165,268
120	0,482	172,845	0,432	182,574	0,396	190,692
130	0,426	199,176	0,382	210,335	0,355	218,187
140	0,377	228,011	0,339	240,451	0,318	248,264
150	0,335	259,160	0,303	272,502	0,286	280,484
160	0,299	292,606	0,271	307,351	0,259	314,391
170	0,268	328,383	0,244	344,154	0,234	351,431
180	0,242	365,902	0,220	383,761	0,213	390,016
190	0,219	406,005	0,199	425,919	0,195	430,265
200	0,199	448,335	0,181	470,100	0,178	474,045

LUNGIMI DE FIAMBAJ, GRINZI CU ZĂBRELE

Distanța
construcției

Direcția de fiambaaj

Elementul

Trup

Diagonale și
montanți de
reacție

Cetelita
zăbrele

În planul grinii

l

l

$\geq 0,8 l$

Transversal planului grinii

l

l

l

În care: l este lungimea elementului între nodurile teoretice de la capetele sale,
 l_1 — distanța între nodurile fixate împotriva deplasării transversale ale
 planului grinii

Dacă cu capetele 1 și 2 împiedicată să se deplaseze transversal planul grinii și sol-
 citate de N_1 și N_2 ; $N_1 > N_2$

Scheia grinii

Lungimea de fiambaaj în plan și transversal planu-
lui grinii

The diagram shows a truss section with two main nodes, 1 and 2, at the top. Below them are two horizontal members. The left side is labeled N_1 and the right side N_2 . The horizontal distance between the vertical lines through nodes 1 and 2 is labeled l_1 . The vertical height of the truss is labeled l_2 . The truss consists of several diagonal and horizontal members forming a series of triangles.

În planul grinii: $l_1 = l_2$

Transversal planului grinii

$$l_2 = l_1 \left(0,75 + 0,25 \frac{N_2}{N_1} \right)$$

N_1 și N_2 se introduc cu semnele lor

Scheia grinii

Lungimi de fiambaaj

The diagram shows a truss section with two main nodes, 1 and 2, at the top. Below them are two horizontal members. The left side is labeled N_1 and the right side N_2 . The horizontal distance between the vertical lines through nodes 1 and 2 is labeled l_1 . The vertical height of the truss is labeled l_2 . The truss consists of several diagonal and horizontal members forming a series of triangles.

În planul
grinii

În plan (transversal) planului grinii

Caracteristicile nodurilor
de interes și a diag-
nalezilor

Fidel solidărilor
la barele care se
opun fiambaajului

Întin-
dere

Efort
ul

Com-
pres-
iune

Amba diagonale ne-
întrerupte

0,57

0,71

1

Bara care se opune fiam-
baajului este întreruptă
și barele fiind legate în-
tre ele cu șuruburi

0,71

0,71

1

0,57

0,71

1

Notă: Pentru alte cazuri a se consulta STAS 1010/76; STAS 1011-76, etc.